



UNIVERSIDAD  
NACIONAL  
DE LA PLATA



Facultad de  
**INFORMÁTICA**  
UNIVERSIDAD NACIONAL DE LA PLATA

Secretaría de Posgrado

## **Hybrid Networking SDN y SD-WAN: Interoperabilidad de Arquitecturas de Redes Tradicionales y Redes definidas por Software en la era de la digitalización**

---

Tesis Doctoral – Ciencias Informáticas

*Autor*

Gustavo D. Salazar Chacón

*Director*

Luis Marrone

La Plata, Argentina, 2021

**“Labor omnia improba vincit.”**

“El trabajo tenaz todo lo vence.”

---

Virgilio (70 a.C. – 19 a.C.)

Poeta Romano

Geórgicas. Libro I. Líneas 145-146.

**“Difficile est tenere quae acceperis nis exerceas.”**

“Es difícil retener lo que has aprendido a menos que debas practicarlo.”

---

Gaius Caecilius Cilo (61 d.C. – 113 d.C.)

Poeta Romano

# Abstract

Informatics Faculty

Doctorate in Computer and Informatics Science

**Hybrid Networking SDN and SD-WAN: Traditional Network Architectures and Software-Defined Networks Interoperability in digitization era**

**by Gustavo D. Salazar Chacón**

For a decade, business data networks have undergone a dizzying evolution given by the adoption of cloud-based models, containers and microservices, primarily because they provide greater flexibility, effectiveness, and cost reduction in Information Technology.

Data networks allow transmitted information to reach any place, at any time, however, the requirements of current users and modern companies increasingly demand a better response from the telecommunications infrastructure. These requirements were more evident during the time of COVID-19 pandemic, leading us to the “Age of Data and Wisdom”, virtuality, and Digital Transformation, since most human and economic activities depend on an adequate and secure transfer of information supported by data networks. This is how data became the most important intangible asset of the 21st Century.

As more 4G/5G-WiFi6E mobile devices enter the network, as well as novel applications and services, an increased forwarding and processing load is added, creating difficulties in both management and monitoring, as well as configuration and troubleshooting in case of failures.

*Software-Defined Networking* (SDN), since its creation and adoption, has promised to be the solution to the aforementioned problems through the use of techniques such as programmability, Open-Hardware with P4-programmatic capabilities, extreme agility, separation of concerns, in addition to the use of Graphical Interfaces that provide total visibility.

This thesis takes a look at the evolution of data networks towards the SDN paradigm and its various adoptions (*SD-Access, SD-Data Center and SD-WAN*). In order to check its feasibility of implementation, and addressing the fundamentals of these technologies, the investigation starts from what decoupling of Control Plane from the Data Plane in network equipment implies, to the concept of a cultural and technological change called *NetDevOps*, essential for the SDN-agile ecosystem to function properly, going through the analysis of next-generation standardized protocols that allow the implementation of these environments in real world: *LISP, VXLAN, OMP* and *Segment-Routing*, while developing proofs of concepts (PoCs) in emulated and physical scenarios, thus closing the investigative process that validates the SDN integration based on *software* and *hardware programmability* with traditional networks, and that is the main contribution of the present doctoral thesis.

## **Keywords**

PoCs (Proof-of-Concepts); Software-Defined Networks (SDN); SD-WAN; SD-Access; LISP; VXLAN; Segment-Routing; Viptela; Open Networking; NetDevOps; OpenFlow; SDN-Controllers (ODL, ONOS, RYU); Data Formats (JSON, XML, YAML); NETCONF; RESTCONF; Data Models (YANG); Napalm, Netmiko; Ansible; P4; REST-APIs, SDLC.

## **Copyright**

Copyright © Gustavo David Salazar-Chacón, National University of La Plata (UNLP).

The National University of La Plata has the right to present and publish this thesis through printed copies reproduced in paper or digital format, or by any other known means; and to be disseminated through scientific repositories and to admit its copying and distribution for non-commercial educational or research, but providing credit to the author, Gustavo Salazar.

# Resumen

Facultad de Informática

Doctorado en Ciencias Informáticas

**Hybrid Networking SDN y SD-WAN: Interoperabilidad de Arquitecturas de Redes Tradicionales y Redes definidas por Software en la era de la digitalización**

**por Gustavo D. Salazar Chacón**

Desde hace una década, las redes de datos empresariales han experimentado una evolución vertiginosa dada por la adopción de modelos basados en la nube, contenedores y microservicios, primordialmente por que entregan mayor flexibilidad, efectividad y reducción de costos en cuanto a Tecnologías de la Información se refiere.

Las redes de datos permiten que la información transmitida pueda llegar en cualquier momento a cualquier lugar, sin embargo, los requerimientos de usuarios y empresas actuales exigen cada vez una mejor respuesta de la infraestructura de telecomunicaciones. Esos requerimientos fueron más evidentes durante la época de pandemia COVID-19, llevándonos a una “Era de Datos y Sabiduría”, virtualidad y Transformación Digital, ya que la mayor parte de las actividades humanas y económicas dependen de una adecuada y segura transferencia de información sustentada por las redes de datos. Es así como los datos se convirtieron en el bien intangible más importante del siglo XXI.

A medida que más dispositivos móviles 4G/5G-WiFi6E ingresan a la red, así como aplicaciones y servicios novedosos entran en funcionamiento, una mayor carga de envío y procesamiento se añade a la red, generando dificultades tanto en la administración y monitoreo, como en la configuración y restablecimiento en caso de fallas.

*Software-Defined Networking* (o SDN por sus siglas en inglés), desde su creación y posterior adopción, ha prometido ser la solución a los problemas mencionados a través del uso de técnicas como programabilidad, *Hardware* Abierto con capacidades programáticas con P4, agilidad extrema, además del empleo de Interfaces Gráficas seguras que otorgan visibilidad total de la infraestructura.

La presente tesis da un vistazo a la evolución de las redes de datos hacia el paradigma SDN y sus diversas adopciones (*SD-Access*, *SD-Data Center* y *SD-WAN*) con el fin de comprobar su facilidad de implementación, para lo cual se aborda los fundamentos de dichas tecnologías, partiendo de lo que implica el desacoplamiento del Plano de Control del Plano de Datos en equipos de red, hasta el concepto de cambio cultural y tecnológico denominado *NetDevOps*, imprescindible para que el ecosistema ágil SDN funcione de forma adecuada, atravesando por el análisis de protocolos estandarizados de próxima generación que permiten la implementación de estos entornos en redes reales: LISP, VXLAN, OMP y *Segment-Routing*, desarrollando a la par pruebas de concepto (PoCs) en ambientes de emulación y con equipos físicos, cerrando de esa manera el proceso investigativo que da validez a la integración de SDN basadas en programabilidad con redes tradicionales, siendo esa justamente la mayor contribución entregada por esta tesis.

## **Palabras Clave**

Pruebas de Concepto (PoCs); Redes Definidas por Software (SDN); SD-WAN; SD-Access; LISP; VXLAN; Segment-Routing; Viptela; Open Networking; NetDevOps; OpenFlow; Controladores SDN (ODL, ONOS, RYU); Formato de Datos (JSON, XML, YAML); NETCONF; RESTCONF; Modelo de Datos (YANG); Napalm, Netmiko; Ansible; P4; REST-APIs, SDLC.

## **Derechos de Autor**

Copyright © Gustavo David Salazar-Chacón, Universidad Nacional de La Plata.

La Universidad Nacional de La Plata tiene el derecho para presentar y publicar esta tesis a través de copias impresas reproducidas en papel o en formato digital, o por cualquier otro medio conocido; y de divulgar a través de repositorios científicos y de admitir su copia y distribución con objetivos educativos o de investigación, no comerciales, siempre que se dé crédito al autor, Gustavo Salazar.

# Dedicatoria

A mi amada esposa Cristinita, a mis amados padres, Sorayita y Gustavo Ramiro, a mis abuelitos, a mi querida familia y amigos, este logro es dedicado a todos y cada uno de ustedes.

## Agradecimiento

Al concluir el objetivo más importante en mi vida académica, quiero agradecer a Dios y a la Virgen María por todo, en especial por cuidar de mi familia, seres queridos y de mí en momentos de incertidumbre tan difíciles que está atravesando el mundo y mi país.

Gracias a mis ángeles en el cielo que han intercedido en nuestras súplicas y oraciones ante Dios Padre: Isabelita, Pedrito y Pepito y a mi ángel en la Tierra Ginita, mis abuelitos.

A mi esposa Cristinita, te agradezco el apoyo incondicional que me has brindado durante estos años de compartir el camino juntos, gracias por darme ese aliento adicional que necesité en momentos de angustia, los besos y abrazos en momentos de alegría y por dedicarme palabras de amor para que siga hasta cumplir todos los objetivos que me proponga, te amo.

Agradezco profundamente a mis amados padres, Sorayita y Gustavo Ramiro, no hubiera conseguido absolutamente nada sin su guía, consejos, amor y comprensión, gracias por su tiempo, esfuerzo, apertura y ayudarme a ser una mejor persona y un mejor docente universitario que enseña basado en valores, valores que los aprendí por ustedes, mis mejores amigos y ejemplo a seguir, los amo papitos, ¡esto es por ustedes!

A mi familia y amigos, les agradezco sus buenos pensamientos y deseos, siempre han llegado en el momento justo, gracias por estar junto a mí.

Quiero agradecer a la Universidad Nacional de La Plata, en especial a mi director, Luis Marrone, quien confió en mí para junto a él dictar la cátedra de Redes Definidas por *Software* en la Universidad, compartiendo los conocimientos adquiridos durante mis estudios doctorales a estudiantes de Argentina y Ecuador, además de haberme guiado para la publicación de artículos científicos de vanguardia que sustentan esta investigación, siendo reconocidos con uno de ellos como Mejor artículo en la Universidad de Columbia, logro realizado con esfuerzo y dedicación.

Quiero agradecer también a toda la planta de profesores, al personal administrativo y todos quienes conforman la UNLP, sus conocimientos y experiencias compartidas han caído en terreno fértil, ténganlo por seguro que aplicaré todos lo aprendido durante el doctorado en mis actividades docentes y profesionales.

Finalmente, un agradecimiento a la SENESCYT, Secretaría de Educación Superior, Ciencia, Tecnología e Innovación de Ecuador, por el apoyo brindando para la consecución de este éxito académico.

¡Gracias!

*Gustavo David*

# Índice de Contenidos

Abstract.....	iii
Resumen.....	v
Dedicatoria.....	vii
Agradecimiento.....	vii
Índice de Contenidos.....	viii
Lista de Figuras.....	xii
Lista de Tablas.....	xxi
Lista de <i>Scripts</i> .....	xxii
1. Introducción.....	26
1.1 Publicaciones Científicas.....	30
1.2 Objetivos y Aporte de la Investigación.....	32
Objetivo General.....	32
Objetivos Específicos.....	32
Aporte de la Investigación.....	32
1.3 Contexto y Estado del Arte de las Redes de Información y Datos: Transformación o Mutación Digital.....	33
1.4 Estructura de la Tesis Doctoral.....	41
2 Fundamentos de las Redes Definidas por Software.....	44
2.1 Definición de SDN: Conceptualización, beneficios y posibles impactos en la Industria....	44
2.2 Arquitectura y Componentes básicos de SDN.....	49
2.3 Automatización, Orquestación y Programabilidad de las Redes: DevOps y Redes Basadas en Contexto.....	55
2.3.1 El poder de la Automatización de Redes y NetDevOps.....	57
2.3.2 <i>Application Programming Interfaces</i> - APIs.....	61
2.3.3 Herramientas para Automatización y Programabilidad de Redes: <i>Ansible, Puppet, Chef</i> y <i>Netmiko-NAPALM-Nornir</i> como Herramientas tipo <i>Python Library</i> .....	69
2.4 Comparación entre SDN y otras formas de virtualización.....	87
2.5 OpenDaylight Project y NFV.....	90
2.6 Funcionamiento de las Redes SDN basadas en OpenFlow (Open Networking Foundation).....	94
2.6.1 Proceso de <i>Forwarding</i> en OpenSDN.....	95
2.6.2 Canal OpenFlow y Mensajes OpenFlow.....	97
2.6.3 Manejo de Mensajes OpenFlow.....	99
2.6.4 Conexiones en el Canal <i>OpenFlow</i> .....	101

2.7	Controladores SDN.....	102
2.8	SDN como plataforma para la revolución de las tecnologías emergentes: IoT, Cloud y Digitalización.....	108
2.8.1	Fundamentos de NG-SDN: SDN de próxima Generación .....	110
2.8.2	Programación en NG-SDN: P4 y <i>Stratum</i> .....	110
3	Redes Híbridas: Infraestructura Tradicional y SDN.....	116
3.1	Segment-Routing (SR) y Grupo de trabajo SPRING en Redes Tradicionales y SDN, una alternativa a MPLS.....	118
3.1.1	Segment-Routing: Fundamentos y Origen.....	119
3.1.2	Segment-Routing: Plano de Datos y Plano de Control .....	120
3.2	Software-Defined Access/Software-Defined Branch y Software-Defined Data Center	124
3.2.1	SD-Access/SD-Branch: Multidominios y Políticas comunes .....	126
3.2.2	SD-Access/SD-Branch: Conceptualización y Arquitectura ( <i>Fabric</i> de SD-Access mediante LISP).....	129
3.2.3	SD-Access: Roles.....	131
3.2.4	SD-Data Center: Conceptualización e Importancia.....	132
3.3	Software-Defined WAN: Propuesta de rediseño del transporte de información y control de camino en redes Underlay y Overlay .....	133
3.3.1	SD-WAN: Rediseñando la WAN.....	135
3.3.2	SD-WAN: Pronto ROI, Fabricantes y Mercado Mundial.....	137
3.3.3	SD-WAN: Componentes de la Implementación tipo Viptela .....	141
3.4	Redes Híbridas SDN: Relación del Networking Tradicional con SD-WAN .....	148
3.4.1	Plano de Orquestación en SD-WAN: Plano faltante de la Red Tradicional.....	149
3.4.2	Generación de Túnel DTLS para el Plano de Control en SD-WAN.....	150
3.4.3	Selección de Mejor Camino en SD-WAN.....	151
4.	Simulación/Emulación de Redes SDN Híbridas .....	153
4.1	Emulación de Segment-Routing con MPLS de Plano de Datos.....	153
4.1.1	Topología y Emulación de SR-MPLS .....	153
4.1.2	Resultados de la Emulación de SR .....	158
4.2	Emulación de LISP como <i>Fabric</i> de SD-Access.....	161
4.2.1	Topología y Emulación de LISP .....	162
4.2.2	Resultados de la Emulación de LISP .....	165
4.3	Emulación de Red OpenSDN Híbridas: SDN y Redes Tradicionales.....	171
4.3.1	Instalación de Controladores SDN: ODL y ONOS .....	173
4.3.2	Topología y Emulación de OpenSDN Híbrida.....	190
4.3.3	Resultados de Emulación OpenSDN Híbrida .....	195

4.4	Prueba de Concepto de NG-SDN .....	206
4.4.1	Programación en P4.....	206
4.4.2	Topología del PoC de NG-SDN: Programación en P4, YANG, OpenConfig-gNMI (Telemetría) y ONOS .....	215
4.5	PoC de SD-WAN en EVE-ng .....	236
4.5.1	Cisco <i>DevNet Sandbox</i> y <i>dCloud</i> .....	236
4.5.2	SD-WAN en la vida real .....	237
4.5.3	<i>vManage</i> REST-API .....	240
4.5.4	Topología del PoC de SDWAN Viptela: Prueba de Concepto en EVE-ng.....	241
4.5.5	Capacidad de Monitoreo en PoC de SDWAN Viptela.....	266
5.	Implementación de Red Prototipo SDN .....	273
5.1	Hardware para redes SDN .....	273
5.1.1	Zodiac FX SDN <i>Switch</i> .....	274
5.1.2	Zodiac WX SDN <i>Wireless AP</i> .....	275
5.2	Topología de la Red SDN .....	277
5.3	Resultados de Conectividad en Infraestructura SDN Física .....	286
	Conclusiones de la Investigación.....	295
	Estudios Futuros.....	297
	Acrónimos.....	299
	Bibliografía .....	304
	Anexos .....	316
	Anexo A: Formatos y Estructuras de Datos para <i>NetDevOps</i> .....	316
	Estructura y Reglas de Formato de Datos para JSON, YAML y XML .....	317
	Anexo B: Guía de Instalación GNS3-VM, EVE-ng y Mininet.....	321
	Instalación de GNS3-VM (WebUI).....	321
	Instalación de EVE-ng.....	323
	Instalación de Mininet .....	326
	Anexo C: NETCONF en la Práctica.....	328
	Establecimiento del Canal de comunicación NETCONF entre Servidor Ubuntu (Cliente NETCONF) y equipo de red ( <i>Router CSR1000v</i> ) .....	329
	Selección del modelo YANG para NETCONF y <i>CSR1000v</i> .....	330
	Uso del <i>output</i> de la consulta como <i>Jinja2 Template</i> para configurar una interfaz de <i>CSR1000v</i> .....	331
	Anexo D: Ansible para entornos <i>NetDevOps</i> en infraestructuras de Red.....	335
	Direccionamiento IP de Red de Administración .....	336
	Llaves SSH en equipos Cumulus Linux .....	337

Configuración de Ansible en <i>Network Automation Appliance</i> .....	338
Llaves SSH en <i>NetAdmin Docker</i> (Ansible).....	338
Playbook <i>VXLAN.yml</i> .....	340
Configuración de <i>VXLAN</i> .....	341
Corrida (Play) de <i>Playbook VXLAN.yml</i> .....	343
Anexo E: Pruebas de Concepto de Netmiko y Napalm – Telemetría.....	346
Envío de Comandos a través de Netmiko a una infraestructura tradicional .....	346
Uso de NAPALM para configurar un equipo desde un Archivo y generar procesos de Telemetría y comparación de cambios de configuración .....	351
Anexo F: Scripts para la Implementación de PoC NG-SDN .....	356
Anexo G: Proceso de Instalación de SDWAN Viptela en EVE-ng.....	372
Anexo H: Entrada en Funcionamiento de <i>Zodiac FX</i> y <i>Zodiac WX</i> – SDN en infraestructura física con <i>Aruba VAN SDN Controller</i> y <i>RYU-FlowManager</i> .....	376

## Lista de Figuras

Figura 1-1 Arquitecturas Spine-Leaf en DCs modernos.....	35
Figura 1-2 Evolución DCs.....	35
Figura 1-3 Data Center de Nueva Generación.....	36
Figura 1-4 Evolución de las Redes WAN.....	36
Figura 1-5 Infraestructura SD-WAN.....	37
Figura 1-6 Redes Basadas en la Intención.....	37
Figura 1-7 Transformación Digital.....	38
Figura 1-8 Adopción de Internet de las Cosas (IoT).....	39
Figura 2-1 Reinventado la red con SDN, AI y ML (Machine Learning).....	44
Figura 2-2 Impacto económico en la Seguridad de los Datos.....	45
Figura 2-3 Evolución de la Infraestructura de Cómputo.....	46
Figura 2-4 Impacto económico en la falta de Innovación.....	46
Figura 2-5 Intent-Based Networking.....	47
Figura 2-6 Intent-Based Networking soportada por SDN.....	47
Figura 2-7 SDN según la ONF.....	48
Figura 2-8 Open-Hardware de Facebook – 6-Pack /Backpack device.....	48
Figura 2-9 SDN: Aproximaciones y Conceptos.....	49
Figura 2-10 Planos estructurales de un equipo de red.....	50
Figura 2-11 Esquema de Red Wireless con controladora – Split MAC Architecture.....	51
Figura 2-12 CEF – Cisco Express Forwarding.....	52
Figura 2-13 SDN: Nuevo paradigma de las redes.....	52
Figura 2-14 SDN: Esquemización de SDN: Northbound y Southbound APIs.....	53
Figura 2-15 SDN: Capas de Aplicación, Control e Infraestructura.....	54
Figura 2-16 Evolución de DevOps.....	56
Figura 2-17 Definición de DevOps.....	57
Figura 2-18 Datos Estadísticos – Cambios y Tshoot de red realizados de forma manual.....	58
Figura 2-19 Ecosistema, Pipeline y ToolChain de DevOps.....	58
Figura 2-20 Cambios en una Red según NetDevOps Pipeline.....	59
Figura 2-21 SDLC – Software Development Lifecycle.....	60
Figura 2-22 XML vs. JSON vs. YAML.....	61
Figura 2-23 Esquema de un API.....	61
Figura 2-24 Stack para Programabilidad en las Redes.....	62
Figura 2-25 Esquema de funcionamiento REST API.....	64
Figura 2-26 Partes de una URI.....	65
Figura 2-27 Estructura petición REST.....	65
Figura 2-28 Respuesta parcial en JSON a una petición REST.....	66
Figura 2-29 Petición RESTful mediante Postman a una API de Twitter.....	66
Figura 2-30 Códigos de Estatus HTTP comunes en RESTful APIs.....	67
Figura 2-31 Modelo Simple IETF tipo YANG.....	68
Figura 2-32 Esquema de funcionamiento de NETCONF.....	68
Figura 2-33 NETCONF vs RESTCONF.....	69
Figura 2-34 Flujo de Idempotencia en programación de NetDevOps.....	72
Figura 2-35 Esquema de APIs Stateless y Stateful.....	73
Figura 2-36 Logo de Ansible.....	74
Figura 2-37 Estructura de Ansible.....	75

Figura 2-38 Uso de Módulo mediante Ansible CLI.....	77
Figura 2-39 Esquema de Puppet .....	82
Figura 2-40 Ejecución comando puppet device.....	83
Figura 2-41 Esquema de Chef.....	84
Figura 2-43 Esquema de NAPALM.....	87
Figura 2-43 Las Cuatro Eras del Networking.....	87
Figura 2-44 OpenDaylight – Linux Foundation.....	90
Figura 2-45 OpenDaylight Architecture– Linux Foundation.....	92
Figura 2-46 OpenDaylight y OpenStack.....	93
Figura 2-47 OpenDaylight y NFV: OPNFV.....	94
Figura 2-48 Principales componentes de un OpenFlow Switch.....	95
Figura 2-49 Proceso de Matching en OpenFlow.....	96
Figura 2-50 Proceso de OpenFlow Table Pipeline .....	96
Figura 2-51 Diagrama de Packet Flow en un OpenFlow Switch.....	97
Figura 2-52 Intercambio de mensajes OpenFlow entre Switch y Controlador - Setup.....	99
Figura 2-53 Fail Standalone Mode OpenFlow Switch.....	99
Figura 2-54 Intercambio de mensajes OpenFlow entre Switch y Controlador – Actualización de flujos.....	100
Figura 2-55 Esquemización de un Controlador SDN.....	104
Figura 2-56 Comparación de Throughput y Latencia - Controladores SDN.....	105
Figura 2-57 Proyectos SDN para la ONF: NG-SDN.....	108
Figura 2-58 Mininet: Componentes.....	109
Figura 2-59 NG-SDN Stack.....	110
Figura 2-60 Aproximación Top-Down en el ecosistema SDN con Open Hardware.....	111
Figura 2-61 Lenguaje de Programación P4 – Bloques de función en Targets.....	111
Figura 2-62 Esquema de Funcionamiento de P4 en PISA (Protocol-Independent Switch Architecture) .....	114
Figura 2-63 Arquitectura de P4.....	114
Figura 2-64 Esquemización de Stratum .....	115
Figura 2-65 Esquemización de NG-SDN de ONF.....	115
Figura 3-1 Partes de una Infraestructura empresarial moderna – Transformación Digital .....	117
Figura 3-2 Logo de Segment Routing.....	118
Figura 3-3 Source-Routing en un entorno IP.....	119
Figura 3-4 Source-Routing Path y Segment Routing Domain.....	120
Figura 3-5 SIDs: Globales y Locales.....	121
Figura 3-6 Node-SID .....	121
Figura 3-7 Adjacency-SID.....	122
Figura 3-8 Combinación de Node-SID y Adjacency-SID en un mismo Dominio SR.....	122
Figura 3-9 Esquemización de SR PCE bajo un concepto SDN.....	124
Figura 3-10 Plano de Datos y Plano de Control en SR .....	124
Figura 3-11 Evolución de los requerimientos de una red IT .....	125
Figura 3-12 Conceptualización de Redes Basadas en la Intención .....	125
Figura 3-13 Cisco DNA – Digital Network Architecture .....	126
Figura 3-14 Diseño de red clásica empresarial mediante modelo jerárquico de tres capas.....	127
Figura 3-15 Diseño L2 de red clásica empresarial vs. Diseño L3 de red clásica empresarial.....	127
Figura 3-16 Creación de Multidominios en la red empresarial – SD-Access/SD-Branch .....	128

<i>Figura 3-17 Red de Campus de próxima generación: SD-Access + SD-WAN + Multidominios + MultiCloud</i> .....	128
<i>Figura 3-18 Paradigma Underlay-Overlay</i> .....	129
<i>Figura 3-19 Esquematación de LISP</i> .....	130
<i>Figura 3-20 Encapsulación de VXLAN-GPO</i> .....	131
<i>Figura 3-21 Componentes y Roles de SD-Access</i> .....	131
<i>Figura 3-22 Evolución del Data Center</i> .....	133
<i>Figura 3-23 La WAN Híbrida – Independencia de Transporte</i> .....	134
<i>Figura 3-24 Redes de Nueva Generación</i> .....	134
<i>Figura 3-25 Evolución de la WAN con miras a SD-WAN</i> .....	134
<i>Figura 3-26 Modelo de Seguridad Zero-Trust</i> .....	135
<i>Figura 3-27 SD-WAN basado en políticas</i> .....	136
<i>Figura 3-28 Ejemplo de SD-WAN basado en políticas: Viptela</i> .....	136
<i>Figura 3-29 SD-WAN: Túneles IPsec bajo demanda - Segmentación</i> .....	137
<i>Figura 3-30 SD-WAN: Ahorro y pronto ROI</i> .....	137
<i>Figura 3-31 Mercado y crecimiento mundial de SD-WAN</i> .....	139
<i>Figura 3-32 Mercado Chino para SD-WAN – proyecciones al 2026</i> .....	140
<i>Figura 3-33 Mercado Brasileño para SD-WAN – Implementaciones en premisa/cloud/híbridas</i> .....	140
<i>Figura 3-34 Esquematación de una WAN moderna: SD-WAN</i> .....	141
<i>Figura 3-35 Esquema de SD-WAN Viptela</i> .....	142
<i>Figura 3-36 Segmentación en SD-WAN Viptela: RFC4023 e IPsec</i> .....	143
<i>Figura 3-37 Tipos de VPNs en SD-WAN Viptela</i> .....	143
<i>Figura 3-38 Cisco vManage Dashboard – Plano de administración de SD-WAN Viptela</i> .....	144
<i>Figura 3-39 Comunicación Plano de Control y Plano de Datos en SD-WAN: OMP</i> .....	145
<i>Figura 3-40 Rutas OMP TLOC en SD-WAN Viptela</i> .....	147
<i>Figura 3-41 Rutas OMP en SD-WAN: vRoutes, TLOC y Rutas de servicio</i> .....	148
<i>Figura 3-42 Full-Mesh de Sesiones OMP entre vSmarts redundantes</i> .....	149
<i>Figura 3-43 Proceso de ingreso de un WAN Edge detrás de NAT a un vBond (Proceso STUN)</i> .....	150
<i>Figura 3-44 Proceso de autenticación DTLS entre vSmart - vBond</i> .....	151
<i>Figura 4-1 Topología PoC – Segment-Routing</i> .....	154
<i>Figura 4-2 Configuración de vPC1 para PoC de Segment Routing</i> .....	158
<i>Figura 4-3 Prueba de Conectividad entre vPC1 y vPC2 en el PoC de Segment Routing</i> .....	159
<i>Figura 4-4 Traceroute entre CE-HQ y vPC2 en el PoC de Segment Routing (Marcaje de SR)</i> .....	159
<i>Figura 4-5 Contenido de CEF (NLRI) en PE1 y sus respectivo labels SR en el PoC de Segment Routing</i> .....	159
<i>Figura 4-6 Comprobación del no uso de LDP en el PoC de Segment Routing</i> .....	159
<i>Figura 4-7 Captura de Tráfico en Wireshark - PoC de Segment Routing</i> .....	160
<i>Figura 4-8 MPLS como Plano de Datos de Segment-Routing</i> .....	160
<i>Figura 4-9 Planos de Control y Datos en SD-Access: SD-Access como Tránsito y SD-WAN como tránsito</i> .....	161
<i>Figura 4-10 Topología PoC – LISP</i> .....	162
<i>Figura 4-11 Tabla BGP – Nube de Tránsito LISP (eBGP)</i> .....	163
<i>Figura 4-12 Conectividad en la Nube de Tránsito LISP (eBGP) – Ping T1(CSR2) a T3 (CSR4)</i> .....	164
<i>Figura 4-13 Establecimiento de sesión LISP xTRs con Map Server/Resolver</i> .....	165
<i>Figura 4-14 Registro por parte del Map Server/Resolver a los RLOCs (xTRs) y EIDs de cada sitio en PoC de LISP</i> .....	166
<i>Figura 4-15 Conectividad Extremo a Extremo: Ping entre Sitio-1 y Sitio-2 en el PoC de LISP</i> .....	166

<i>Figura 4-16 Traceroute entre RLOC de Sitio-1 (xTR) y Sitio-2 en el PoC de LISP</i> .....	167
<i>Figura 4-17 Traceroute entre RLOC de Sitio-1 y Sitio-2 en el PoC de LISP</i> .....	167
<i>Figura 4-18 Esquematzación del Encabezado LISP IPv4-in-IPv4</i> .....	168
<i>Figura 4-19 Captura de Tráfico en Wireshark – Encabezado de LISP</i> .....	168
<i>Figura 4-20 Captura de Tráfico en Wireshark – LISP Map Request</i> .....	169
<i>Figura 4-21 Captura de Tráfico en Wireshark – LISP Map ACK (TCP)</i> .....	169
<i>Figura 4-22 Esquematzación de LISP como protocolo Southbound en contexto SDN</i> .....	170
<i>Figura 4-23 Proyecto OpenLISP</i> .....	170
<i>Figura 4-24 Esquematzación de Administración/Control Centralizado en SDN</i> .....	171
<i>Figura 4-25 Esquematzación de OpenSDN tradicional</i> .....	171
<i>Figura 4-26 Arquitectura de OpenFlow emulada en Mininet</i> .....	172
<i>Figura 4-27 Actualización de GNS3-VM a la versión 2.2.20</i> .....	172
<i>Figura 4-28 Open DayLight version estable 13.0 Aluminium</i> .....	173
<i>Figura 4-29 Servidor Ubuntu en GNS3-VM para instalación de ODL y ONOS</i> .....	173
<i>Figura 4-30 Update de Ubuntu previa instalación de ODL</i> .....	174
<i>Figura 4-31 Instalación de Java en Ubuntu previa instalación de ODL</i> .....	174
<i>Figura 4-32 Descarga de ODL Aluminium</i> .....	174
<i>Figura 4-33 Descomprimir ODL Aluminium</i> .....	174
<i>Figura 4-34 Inicialización de Apache Karaf - ODL Aluminium</i> .....	175
<i>Figura 4-35 Activación de features de ODL para el plano de datos</i> .....	175
<i>Figura 4-36 Front-End de ODL</i> .....	176
<i>Figura 4-37 Instalación de Git Core - ONOS</i> .....	177
<i>Figura 4-38 Instalación de Maven - ONOS</i> .....	177
<i>Figura 4-39 Instalación de JDK – ONOS</i> .....	178
<i>Figura 4-40 Comprobación de la versión instalada de JDK – ONOS</i> .....	178
<i>Figura 4-41 Estableciendo variable de entorno JAVA_HOME – ONOS</i> .....	178
<i>Figura 4-42 Clonación de Onos Project</i> .....	179
<i>Figura 4-43 Edición de archivo bashrc - ONOS</i> .....	179
<i>Figura 4-44 Variables de entorno de ONOS, Maven y Karaf</i> .....	179
<i>Figura 4-45 Proceso previo a realizar el Build de ONOS</i> .....	180
<i>Figura 4-46 Proceso de instalación de Bazel – ONOS</i> .....	181
<i>Figura 4-47 Copia de archivo POM (Maven) – ONOS</i> .....	181
<i>Figura 4-48 Clean Install – ONOS</i> .....	181
<i>Figura 4-49 Designación de IP a controlador – ONOS</i> .....	182
<i>Figura 4-50 Instalación de la versión adecuada de Bazel – ONOS</i> .....	182
<i>Figura 4-51 Arranque del controlador ONOS (ok clean) en carpeta ONOS</i> .....	182
<i>Figura 4-52 CLI - ONOS</i> .....	183
<i>Figura 4-53 Activación de GUI2 en CLI - ONOS</i> .....	183
<i>Figura 4-54 Front-End de ONOS</i> .....	184
<i>Figura 4-55 Instalación de ONOS como Docker en GNS3-VM</i> .....	185
<i>Figura 4-56 Cambio de Direccionamiento en Controlador ONOS</i> .....	186
<i>Figura 4-57 Front-End de ONOS – Instalación en Docker de GNS3</i> .....	186
<i>Figura 4-58 Docker de Ubuntu para GNS3-VM</i> .....	187
<i>Figura 4-59 Pull de descarga de Docker de Ubuntu para GNS3-VM</i> .....	187
<i>Figura 4-60 Proceso de Carga de Mininet a GNS3-VM con 4 interfaces</i> .....	188
<i>Figura 4-61 Vinculación de interfaces vmnet a GNS3-VM y Mininet</i> .....	188
<i>Figura 4-62 Dir. IP interfaces vmnet para PoC ODL</i> .....	189

<i>Figura 4-63 Topología PoC SDN Híbrida – Controlador ODL – Escenario 1</i> .....	190
<i>Figura 4-64 Topología PoC SDN Híbrida – Controlador ONOS – Escenario 2</i> .....	191
<i>Figura 4-65 Activación de interfaces en Mininet dentro de GNS3-VM para PoC ODL/ONOS</i> .....	192
<i>Figura 4-66 Conectividad de Mininet hacia el Plano de Control-Administración dentro de GNS3-VM en PoC ODL/ONOS</i> .....	192
<i>Figura 4-67 Habilitación de Interfaces OVS en PoC ODL/ONOS</i> .....	193
<i>Figura 4-68 Arranque de Controlador en PoC ODL</i> .....	193
<i>Figura 4-69 Activación de ODL (Apache Karaf) en PoC ODL</i> .....	193
<i>Figura 4-70 Arranque de Mininet en PoC ODL/ONOS</i> .....	194
<i>Figura 4-71 Ingreso al GUI de Controlador en PoC ODL</i> .....	195
<i>Figura 4-72 Topología descubierta por Controlador en PoC ODL</i> .....	195
<i>Figura 4-73 Prueba de conectividad en Hosts de Mininet en PoC ODL</i> .....	196
<i>Figura 4-74 Herramientas de visualización de nodos y enlaces en PoC ODL</i> .....	196
<i>Figura 4-75 Uso de YangUI en PoC ODL: get statics-work-mode</i> .....	197
<i>Figura 4-76 Uso de YangUI en PoC ODL: OpenDayLight Inventory (nodes)</i> .....	198
<i>Figura 4-77 Uso de Yangman en PoC ODL: Personalizando API Inventory (nodes)</i> .....	199
<i>Figura 4-78 Ejecución exitosa de Mininet en PoC ONOS</i> .....	200
<i>Figura 4-79 Logs en CLI de controlador en PoC ONOS</i> .....	200
<i>Figura 4-80 Topología descubierta por Controlador en PoC ONOS</i> .....	201
<i>Figura 4-81 Dispositivos, Enlaces y Usuarios descubiertos en PoC ONOS</i> .....	202
<i>Figura 4-82 Información de Controlador en PoC ONOS</i> .....	202
<i>Figura 4-83 Aplicaciones disponibles en PoC ONOS</i> .....	202
<i>Figura 4-84 Encapsulación de ICMP dentro de OpenFlow en PoC ODL/ONOS</i> .....	203
<i>Figura 4-85 Gráficos comparativos entre ODL y ONOS</i> .....	205
<i>Figura 4-86 Barras sobre la Transmisión de paquetes OpenFlow: (a) ONOS y (b) ODL</i> .....	205
<i>Figura 4-87 Esquematzación de NG-SDN: Stratum NOS-Switch</i> .....	206
<i>Figura 4-88 Esquematzación de un equipo de red en P4 – V1Model</i> .....	207
<i>Figura 4-89 Topología PoC NG-SDN</i> .....	215
<i>Figura 4-90 Características de VM – NG-SDN</i> .....	216
<i>Figura 4-91 Arranque de VM – NG-SDN</i> .....	216
<i>Figura 4-92 Actualización e instalación de dependencias de VM – NG-SDN</i> .....	217
<i>Figura 4-93 Compilación en p4c – PoC NG-SDN</i> .....	217
<i>Figura 4-94 Inicialización de Mininet y ONOS – PoC NG-SDN</i> .....	218
<i>Figura 4-95 Conexión P4Runtime Shell y Leaf1 – PoC NG-SDN</i> .....	219
<i>Figura 4-96 Entradas estáticas NDP y prueba de ping – PoC NG-SDN</i> .....	219
<i>Figura 4-97 Entradas de conmutación h1a hacia h1b – PoC NG-SDN</i> .....	220
<i>Figura 4-98 Entradas de conmutación h1b hacia h1a – PoC NG-SDN</i> .....	220
<i>Figura 4-99 Conectividad exitosa entre hosts h1a y h1b – PoC NG-SDN</i> .....	220
<i>Figura 4-100 Infraestructura desde Mininet – PoC NG-SDN</i> .....	221
<i>Figura 4-101 YANG en el PoC NG-SDN – gNMI: Interfaz con paradigma Get-Set</i> .....	222
<i>Figura 4-102 OpenConfig en PoC NG-SDN</i> .....	224
<i>Figura 4-103 Modelos de OpenConfig</i> .....	224
<i>Figura 4-104 Módulo Intefaces en OpenConfig – árbol YANG</i> .....	225
<i>Figura 4-105 Docker yang-tools – PoC NG-SDN</i> .....	226
<i>Figura 4-106 Herramienta Pyang para modelo YANG – PoC NG-SDN</i> .....	226
<i>Figura 4-107 Formato canónico XML de modelo YANG – PoC NG-SDN</i> .....	226
<i>Figura 4-108 Protobuf demo_port de modelo YANG – PoC NG-SDN</i> .....	227

<i>Figura 4-109 Protobuf enums (velocidad de interfaz) de modelo YANG – PoC NG-SDN</i> .....	227
<i>Figura 4-110 gNMI Client CLI – PoC NG-SDN</i> .....	228
<i>Figura 4-111 gNMI Client CLI con respuesta legible – PoC NG-SDN</i> .....	228
<i>Figura 4-112 gNMI Client CLI – get del estado de Interfaz – PoC NG-SDN</i> .....	229
<i>Figura 4-113 gNMI Client CLI – set para pagar una Interfaz – PoC NG-SDN</i> .....	230
<i>Figura 4-114 Inicialización Controlador ONOS – PoC NG-SDN</i> .....	231
<i>Figura 4-115 Aplicaciones ONOS – PoC NG-SDN</i> .....	231
<i>Figura 4-116 Pipeconf soportado por ONOS – PoC NG-SDN</i> .....	232
<i>Figura 4-117 Flujograma Pipeconf en ONOS – PoC NG-SDN</i> .....	232
<i>Figura 4-118 Carga de App Pipeconf ONOS – PoC NG-SDN</i> .....	233
<i>Figura 4-119 Push del archivo netcfg.json a ONOS – PoC NG-SDN</i> .....	234
<i>Figura 4-120 Comprobación de Push del archivo netcfg.json a ONOS – PoC NG-SDN</i> .....	234
<i>Figura 4-121 Descubrimiento de Switches Stratum y sus enlaces en ONOS – PoC NG-SDN</i> .....	234
<i>Figura 4-122 ONOS GUI – PoC NG-SDN</i> .....	235
<i>Figura 4-123 Página principal de DevNet Sandbox– PoC SDWAN</i> .....	236
<i>Figura 4-124 Página de tópicos de dCloud– PoC SDWAN</i> .....	237
<i>Figura 4-125 Router Tradicional – PoC SDWAN</i> .....	238
<i>Figura 4-126 Esquema de SDWAN – PoC SDWAN</i> .....	238
<i>Figura 4-127 Esquema de SDWAN – PoC SDWAN</i> .....	239
<i>Figura 4-128 Esquema de funcionamiento de una API – PoC SDWAN</i> .....	240
<i>Figura 4-129 Topología SDWAN Viptela – PoC SDWAN</i> .....	241
<i>Figura 4-130 Inicialización de vManage – PoC SDWAN</i> .....	242
<i>Figura 4-131 Acceso inicial vía Web a vManage - PoC SDWAN</i> .....	243
<i>Figura 4-132 Cambio de credenciales en DB de vManage - PoC SDWAN</i> .....	243
<i>Figura 4-133 Conectividad de vBond en el Plano de Control - PoC SDWAN</i> .....	245
<i>Figura 4-134 Ingreso a Administration-Setting - vManage - PoC SDWAN</i> .....	245
<i>Figura 4-135 Edición de dir. IP vBond en vManage - PoC SDWAN</i> .....	246
<i>Figura 4-136 Usar certificados externos para autenticación en vManage - PoC SDWAN</i> .....	246
<i>Figura 4-137 Contenido de ROOTCA.pem copiado en vManage - PoC SDWAN</i> .....	247
<i>Figura 4-138 Generación de vmanage_csr en vManage - PoC SDWAN</i> .....	248
<i>Figura 4-139 Instalación y sincronización de vmanage.crt en vManage (Success) - PoC SDWAN</i> .....	249
<i>Figura 4-140 Añadir vSmart en vManage - PoC SDWAN</i> .....	250
<i>Figura 4-141 Añadir vBond en vManage - PoC SDWAN</i> .....	251
<i>Figura 4-142 Pasos para crear CSR de vBond en vManage - PoC SDWAN</i> .....	252
<i>Figura 4-143 Instalar vBond.crt en vManage - PoC SDWAN</i> .....	253
<i>Figura 4-144 Certificados instalados para vBond, vSmart y vManage en vManage - PoC SDWAN</i> .....	253
<i>Figura 4-145 Envío exitoso de Certificados a vBond desde vManage - PoC SDWAN</i> .....	254
<i>Figura 4-146 vManage, vBond y vSmart funcionales y con Certificado instalado - PoC SDWAN</i> ...	257
<i>Figura 4-147 vEdge sin Certificado instalado - PoC SDWAN</i> .....	257
<i>Figura 4-148 Proceso de copia de ROOTCA.pem de vManage a vEdge - PoC SDWAN</i> .....	258
<i>Figura 4-149 Virtual Account en Smart Account de Cisco Software Central - PoC SDWAN</i> .....	259
<i>Figura 4-150 Aprovisionamiento de vEdges en Smart Account – Plug and Play Connect (PnP) - PoC SDWAN</i> .....	260
<i>Figura 4-151 Obtención serialFile.viptela – Plug and Play Connect (PnP) - PoC SDWAN</i> .....	261
<i>Figura 4-152 Carga de vEdge Clouds a vManage- PoC SDWAN</i> .....	262

<i>Figura 4-153 Generación de Bootstrap Configuration de vEdge Cloud en vManage- PoC SDWAN.....</i>	<i>263</i>
<i>Figura 4-154 Proceso de activación de licencia y envío a Controladores de vEdge Cloud en vManage- PoC SDWAN.....</i>	<i>265</i>
<i>Figura 4-155 Conectividad exitosa de vEdge Cloud a vManage- PoC SDWAN.....</i>	<i>265</i>
<i>Figura 4-156 Main Dashboard de vManage- PoC SDWAN.....</i>	<i>266</i>
<i>Figura 4-157 Monitoreo desde vManage- PoC SDWAN.....</i>	<i>268</i>
<i>Figura 4-158 Control de Inventario y Acceso Remoto a vEdge desde vManage- PoC SDWAN.....</i>	<i>269</i>
<i>Figura 4-159 Establecimiento de paridad OMP entre vEdge-vSmart - PoC SDWAN.....</i>	<i>270</i>
<i>Figura 4-160 Keepalives (ICMP) entre vSmart-vBond - PoC SDWAN .....</i>	<i>271</i>
<i>Figura 4-161 Políticas y Templates - PoC SDWAN .....</i>	<i>272</i>
<i>Figura 5-1 logo de Northbound Networks .....</i>	<i>273</i>
<i>Figura 5-2 Zodiac FX – Características Físicas .....</i>	<i>274</i>
<i>Figura 5-3 Esquema de Zodiac FX .....</i>	<i>275</i>
<i>Figura 5-4 Zodiac WX.....</i>	<i>276</i>
<i>Figura 5-5 Topología PoC SDN en equipos físicos.....</i>	<i>277</i>
<i>Figura 5-6 Red Física SDN implementada mediante Zodiac FX(2), Zodiac WX y Controlador RYU – Inicio de Cableado .....</i>	<i>278</i>
<i>Figura 5-7 Configuración realizada en Zodiac FX-1(a), Zodiac FX-2(b) y Zodiac WX (c y d).....</i>	<i>280</i>
<i>Figura 5-8 Conectividad entre Controlador RYU con Zodiac FX-1, Zodiac FX-2 y Zodiac WX.....</i>	<i>280</i>
<i>Figura 5-9 Activación de Controlador RYU y FlowManager para gestionar Zodiac FX-1, Zodiac FX-2 y Zodiac WX.....</i>	<i>281</i>
<i>Figura 5-10 Topología y Flujos generados en Controlador RYU-FlowManager para Zodiac FX-1, Zodiac FX-2 y Zodiac WX.....</i>	<i>282</i>
<i>Figura 5-11 Flujos cargados desde el Controlador RYU-FlowManager a Zodiac FX-1, Zodiac FX-2 y Zodiac WX.....</i>	<i>284</i>
<i>Figura 5-12 Análisis Flujo 1 cargado a Plano de Datos – RYU.....</i>	<i>285</i>
<i>Figura 5-13 Análisis Flujo 2 cargado a Plano de Datos – RYU.....</i>	<i>285</i>
<i>Figura 5-14 Red física SDN – Prueba de Conectividad .....</i>	<i>286</i>
<i>Figura 5-15 Dir. IP Laptop1 - Red física SDN – Prueba de Conectividad.....</i>	<i>287</i>
<i>Figura 5-16 Dir. IP Laptop2 - Red física SDN – Prueba de Conectividad.....</i>	<i>287</i>
<i>Figura 5-17 Ping fallido debido a falta de flujos - Red física SDN – Prueba de Conectividad.....</i>	<i>287</i>
<i>Figura 5-18 Flujos para Switch Zodiac FX-2 - Red física SDN – Prueba de Conectividad .....</i>	<i>288</i>
<i>Figura 5-19 Flujos para Switch Zodiac FX-1 - Red física SDN – Prueba de Conectividad .....</i>	<i>289</i>
<i>Figura 5-20 Resumen de Flujos para Switch Zodiac FX-2 - Red física SDN – Prueba de Conectividad .....</i>	<i>290</i>
<i>Figura 5-21 Resumen de Flujos para Switch Zodiac FX-1 - Red física SDN – Prueba de Conectividad .....</i>	<i>290</i>
<i>Figura 5-22 Ping exitoso entre hosts - Red física SDN – Prueba de Conectividad.....</i>	<i>290</i>
<i>Figura 5-23 Topología visualizada en RYU FlowManager - Red física SDN – Prueba de Conectividad .....</i>	<i>291</i>
<i>Figura 5-24 Asociación exitosa de equipos Inalámbricos - Red física SDN – Prueba de Conectividad .....</i>	<i>292</i>
<i>Figura 5-25 Estado de Puerto y Paquetes transmitidos - Red física SDN – Prueba de Conectividad .....</i>	<i>292</i>
<i>Figura 5-26 Captura de mensajes OpenFlow - Red física SDN – Prueba de Conectividad.....</i>	<i>293</i>
<i>Figura 5-27 Tablas y Flujos - Red física SDN – Prueba de Conectividad.....</i>	<i>294</i>

## Lista de Figuras (Anexos)

<i>Figura A – 1 Formato de Datos: HTML</i> .....	316
<i>Figura A – 2 Popularización de JSON frente al resto de formato de datos</i> .....	317
<i>Figura A – 3 Ejemplo de Formato JSON</i> .....	318
<i>Figura A – 4 Comparación Formato JSON vs Formato YAML</i> .....	319
<i>Figura A – 5 Explicación de Formato YAML</i> .....	319
<i>Figura A – 6 Comparación Formato YAML vs Formato XML</i> .....	320
<i>Figura B – 1 Descarga, Importación y Arranque de GNS3-VM</i> .....	321
<i>Figura B – 2 Carga de NOS a GNS3-VM y creación de nuevo proyecto</i> .....	322
<i>Figura B – 3 Zona de trabajo de GNS3-VM (WEBUI)</i> .....	323
<i>Figura B – 4 Descarga VM de EVE-ng.</i> .....	323
<i>Figura B – 5 Acceso a EVE-ng.</i> .....	324
<i>Figura B – 6 Envío de NOS a EVE-ng mediante WinSCP.</i> .....	325
<i>Figura B – 7 Ubicación de equipos y conexiones en Eve-ng</i> .....	325
<i>Figura B – 8 Descarga, Arranque e ingreso a CLI de Mininet</i> .....	326
<i>Figura C – 1 Infraestructura para Prueba de Concepto NETCONF (con salida a Internet)</i> .....	328
<i>Figura C – 2 Direccionamiento IPv4 y Conexión a Internet – CSR1000v</i> .....	328
<i>Figura C – 3 Direccionamiento IPv4 y Conexión a Internet – Servidor Ubuntu (Cliente NETCONF)</i> .....	329
<i>Figura C – 4 Confirmación de instalación de Python3 y PIP3</i> .....	330
<i>Figura C – 5 Instalación de ncclient (Cliente NETCONF)</i> .....	330
<i>Figura C – 6 Comprobación de configuración programática mediante NETCONF en router CSR1000v</i> .....	334
<i>Figura D – 1 Topología para PoC de Ansible para configurar VXLAN en entornos Open Networking</i> .....	335
<i>Figura D – 2 Network Automation Appliance – GNS3-VM Marketplace</i> .....	335
<i>Figura D – 3 Topología emulada en GNS3-VM – Ansible para VXLAN en entornos OpenSource (Cumulus Linux) con Network Automation Docker</i> .....	336
<i>Figura D – 4 Prueba de conectividad entre Ansible, Spine y Leaf1-Leaf2</i> .....	337
<i>Figura D – 5 Creación del archivo host</i> .....	338
<i>Figura D – 6 Prueba de conectividad desde Ansible a los equipos a configurar (Cumulus Linux)</i> .	339
<i>Figura D – 7 Corrida de Ansible Playbook para la configuración programática de VXLAN</i> .....	343
<i>Figura D – 8 Resumen del resultado de la corrida de Ansible Playbook</i> .....	343
<i>Figura D – 9 Activación de servicios FRR y VXRD en Cumulus Linux</i> .....	343
<i>Figura D – 10 Prueba de conectividad de extremo a extremo</i> .....	344
<i>Figura D – 11 Prueba de conectividad de extremo a extremo</i> .....	344
<i>Figura D – 12 Aprendizaje de direccionamiento MAC mediante ARP de extremo a extremo (L2 sobre L3)</i> .....	344
<i>Figura D – 13 Captura Wireshark: Encapsulación VXLAN (VNID-VLAN mapping)</i> .....	345

<i>Figura E - 1 Topología Lógica PoC de Netmiko .....</i>	<i>346</i>
<i>Figura E - 2 Topología Física PoC de Netmiko .....</i>	<i>347</i>
<i>Figura E - 3 Configuración IP del Config-Server y prueba de conectividad .....</i>	<i>348</i>
<i>Figura E - 4 Configuración SSH en RI-UNLP.....</i>	<i>348</i>
<i>Figura E - 5 Instalación de Netmiko mediante pip3 en Config-Server.....</i>	<i>348</i>
<i>Figura E - 6 Resultado de PoC Netmiko.....</i>	<i>350</i>
<i>Figura E - 7 Corroboración de Resultado de PoC Netmiko .....</i>	<i>350</i>
<i>Figura E - 8 Instalación de NAPALM mediante pip3 en Config-Server .....</i>	<i>351</i>
<i>Figura E - 9 Ejecución exitosa de CheckNAPALM.py.....</i>	<i>352</i>
<i>Figura E - 10 Activación de SCP en R1-UNLP para la buena comunicación con NAPALM .....</i>	<i>352</i>
<i>Figura E - 11 Ejecución exitosa de script con NAPALM.....</i>	<i>354</i>
<i>Figura E - 12 Funcionamiento correcto de OSPF en SW-UNLP.....</i>	<i>355</i>
<i>Figura G - 1 Página de descarga de las Imágenes de equipos – PoC SDWAN .....</i>	<i>372</i>
<i>Figura G - 2 Creación de nuevo Lab en EVE-ng – PoC SDWAN.....</i>	<i>372</i>
<i>Figura G - 3 Equipos aún no habilitados – PoC SDWAN.....</i>	<i>373</i>
<i>Figura G - 4 Nombres específicos para emulación en EVE-ng – PoC SDWAN.....</i>	<i>373</i>
<i>Figura G - 5 Carga de Imágenes a EVE-ng – PoC SDWAN .....</i>	<i>374</i>
<i>Figura G - 6 Creación de disco para vManage en EVE-ng – PoC SDWAN .....</i>	<i>374</i>
<i>Figura G - 7 Arreglo de permisos en EVE-ng – PoC SDWAN .....</i>	<i>375</i>
<i>Figura G - 8 Equipos SDWAN en EVE-ng – PoC SDWAN .....</i>	<i>375</i>
<i>Figura H - 1 Zodiac FX.....</i>	<i>376</i>
<i>Figura H - 2 Puerto COM4 asignado a Zodiac FX – Administrador de Dispositivos .....</i>	<i>376</i>
<i>Figura H - 3 Conexión y encendido inicial - Zodiac FX.....</i>	<i>377</i>
<i>Figura H - 4 Acceso a CLI de Zodiac FX.....</i>	<i>377</i>
<i>Figura H - 5 Comando help y modos de configuración - Zodiac FX.....</i>	<i>378</i>
<i>Figura H - 6 Comandos show básicos - Zodiac FX.....</i>	<i>378</i>
<i>Figura H - 7 Configuración por defecto - Zodiac FX.....</i>	<i>379</i>
<i>Figura H - 8 Cambio de Dir. IP, Gateway y Dir. De Controlador OpenSDN - Zodiac FX.....</i>	<i>380</i>
<i>Figura H - 9 GUI – Araba VAN SDN Controller .....</i>	<i>380</i>
<i>Figura H - 10 Arranque en VM – Araba VAN SDN Controller .....</i>	<i>381</i>
<i>Figura H - 11 Configuración IP estática – Araba VAN SDN Controller.....</i>	<i>382</i>
<i>Figura H - 12 Ingreso a interfaz GUI – Araba VAN SDN Controller .....</i>	<i>383</i>
<i>Figura H - 13 Prueba conectividad máquina huésped a Switch OpenFlow .....</i>	<i>383</i>
<i>Figura H - 14 Reconocimiento de Zodiac FX – Araba VAN SDN Controller .....</i>	<i>385</i>
<i>Figura H - 15 Conexión exitosa entre Zodiac FX y Araba VAN SDN Controller por OpenFlow.....</i>	<i>386</i>
<i>Figura H - 16 Puerto en Zodiac WX.....</i>	<i>386</i>
<i>Figura H - 17 Encendido y conexión inicial de Zodiac WX .....</i>	<i>387</i>
<i>Figura H - 18 Ingreso a GUI de Zodiac WX – LuCI (LUA Configuration Interface).....</i>	<i>387</i>
<i>Figura H - 19 Cambio de Contraseñas – Zodiac WX.....</i>	<i>388</i>
<i>Figura H - 20 Redes Inalámbricas por defecto – Zodiac WX.....</i>	<i>388</i>
<i>Figura H - 21 Cambios Configuración Red Inalámbrica – Zodiac WX .....</i>	<i>389</i>
<i>Figura H - 22 Cambio de Dir. IP – Zodiac WX .....</i>	<i>390</i>

<i>Figura H - 23 Cambio de Dir. IP – Zodiac WX</i> .....	390
<i>Figura H - 24 Activar OpenFlow – Zodiac WX</i> .....	390
<i>Figura H - 25 Reconocimiento de Zodiac WX por Aruba VAN SDN Controller</i> .....	392
<i>Figura H - 26 Deshabilitar modo Híbrido – Aruba VAN SDN Controller</i> .....	393
<i>Figura H - 27 Visualización de Zodiac FX, Zodiac WX y hosts – Aruba VAN SDN Controller</i> .....	393
<i>Figura H - 28 Comandos para instalación de RYU Controller</i> .....	394
<i>Figura H - 29 Verificación de instalación de RYU</i> .....	394
<i>Figura H - 30 Aplicaciones en RYU</i> .....	394
<i>Figura H - 31 Instalación FlowManager - RYU</i> .....	395
<i>Figura H - 32 GUI de FlowManager - RYU</i> .....	395
<i>Figura H - 33 Conectividad entre RYU y equipos OpenFlow (Zodiac FX/WX)</i> .....	395
<i>Figura H - 34 RYU Topology Viewer de Zodiac FX/WX</i> .....	397
<i>Figura H - 35 Flow Manager RYU SDN Controller - Zodiac FX/WX</i> .....	398

## Lista de Tablas

Tabla 1-1 Fases evolutivas del Internet .....	34
Tabla 2-1 Interfaces SDN: Northbound y Southbound .....	54
Tabla 2-2 Casos de Uso de Programabilidad SDN .....	55
Tabla 2-3 APIs tipo <i>Web Services</i> .....	63
Tabla 2-4 Métodos de RESTful API .....	64
Tabla 2-5 Operaciones de NETCONF y Métodos de RESTCONF .....	68
Tabla 2-6 Bash y SDKs .....	71
Tabla 2-7 Puntos Clave de SDN .....	88
Tabla 2-8 Puntos Clave de NFV .....	89
Tabla 2-9 Similitudes y Diferencias entre NFV y SDN .....	89
Tabla 2-10 Características de Controladores SDN .....	106
Tabla 3-1 Número de Dispositivos per-cápita .....	116
Tabla 3-2 Operaciones en SR vs Operaciones en MPLS-LDP .....	123
Tabla 3-3 Comparación de diversos fabricantes de soluciones SD-WAN .....	138
Tabla 4-1 Resultados Prueba de Conectividad (Ping) ODL vs ONOS .....	204
Tabla 4-2 Resultados de Tasa de Ráfaga ( <i>Burst Rate</i> ) ODL vs ONOS .....	204
Tabla 4-3 Comparación gNMI vs NETCONF .....	225
Tabla 5-1 Características Zodiac FX – Switch SDN.....	274
Tabla F-1 Comandos <i>make</i> usado en Poc NG-SDN .....	356
Tabla H-1 Características de <i>Aruba VAN SDN Controller</i> .....	380

## Lista de Scripts

Script 1 Ansible Configuration File.....	76
Script 2 Ansible Inventory File.....	76
Script 3 Módulos de Ansible mediante CLI.....	77
Script 4 Estructura básica de un Ansible Playbook.....	78
Script 5 Variable (vars) en un Ansible Playbook.....	78
Script 6 Lazo (with_items:) en un Ansible Playbook.....	79
Script 7 Condicional (when:) en un Ansible Playbook.....	79
Script 8 Llamada de un Ansible Playbook en un Ansible Playbook.....	79
Script 9 Ejemplo básico de Jinja2 Template en un Ansible Playbook.....	80
Script 10 Ejemplo con bucles y variable en Jinja2 Template de un Ansible Playbook.....	80
Script 11 Archivo puppet.conf – Puppet Proxy Agent.....	82
Script 12 Archivo device.conf – Puppet Proxy Agent.....	83
Script 13 Archivo ConfSW1.pp – Puppet Manifest.....	83
Script 14 Puppet Manifest vs. Chef Cookbook – Hello World.....	84
Script 15 Chef Cookbook para la configuración IP de una interfaz L3.....	85
Script 16 Chef Cookbook para la configuración de una interfaz L2 como parte de VLAN 10.....	85
Script 17 Bloques de función Parser en P4: Cabecera Ethernet, IPv4, Protocolo personalizado ....	112
Script 18 Implementación de Bloques de función Parser en P4.....	113
Script 19 Proceso Match-Action en P4.....	113
Script 20 Configuración de VRF en PE2 (IOS-XR) para Segmentación de Tráfico en PoC de Segment- Routing.....	155
Script 21 Configuración de interfaces en PE2 para PoC de Segment-Routing.....	155
Script 22 Configuración de OSPFv2 en PE2 para PoC de Segment-Routing (Conexión PE-CE).....	155
Script 23 Verificación de vecindad OSPFv2 entre PE2-CE2 para PoC de Segment-Routing (Conexión PE-CE).....	156
Script 24 Configuración de IS-IS y SR en la Nube del proveedor para PoC de Segment-Routing (Conexión PE-P-PE).....	156
Script 25 Verificación de aprendizaje de ruta por IS-IS en la Nube del proveedor.....	157
Script 26 Configuración de iBGP – L3VPNv4 en la Nube del proveedor (Conexión PE-PE).....	157
Script 27 Configuración de Política de Enrutamiento en IOS-XR para iBGP L3VPNv4.....	158
Script 28 Redistribución de rutas aprendidas en L3VPNv4 hacia OSPF.....	158
Script 29 Configuración de eBGP en T1 para la nube de tránsito SD-Access.....	163
Script 30 Configuración de LISP en xTR.....	164
Script 31 Configuración de LISP en xTR.....	165
Script 32 Librerías base de P4 para main.p4.....	207
Script 33 Variables y Constantes en P4 para la construcción del Router IPv6.....	208
Script 34 Establecimiento de Cabeceras en P4 para la construcción del Router IPv6.....	208
Script 35 Inicialización del Pipeline al procesar un paquete de entrada/salida en P4.....	209
Script 36 Metadata al procesar un paquete de entrada/salida en P4.....	209
Script 37 Configuración parcial de función ParserImp para empezar el procesamiento de paquetes.....	210
Script 38 Configuración parcial de L2-Conmutación en P4.....	211
Script 39 Configuración de MyStationTable para verificar si se debe enrutar o no un paquete en P4.....	211
Script 40 Procesos de Enrutamiento IPv6 en P4.....	212

<i>Script 41 Preparación del paquete para salir del Equipo en P4</i> .....	213
<i>Script 42 Actualización de Checksum antes de salir el paquete a su destino en P4</i> .....	213
<i>Script 43 Función Deparser – Serialización del Paquete en P4</i> .....	214
<i>Script 44 Instanciamiento de Arquitectura V1Model en P4</i> .....	214
<i>Script 45 Sintaxis YANG – PoC NG-SDN</i> .....	222
<i>Script 46 Identidades y tipos de datos YANG para equipo de Red – PoC NG-SDN</i> .....	223
<i>Script 47 YANG Groupings: Asignación de Velocidad de puerto y lectura del estado del puerto – PoC NG-SDN</i> .....	223
<i>Script 48 YANG Containers: Asignación de puertos y lectura del estado del puerto solo lectura – PoC NG-SDN</i> .....	224
<i>Script 49 Configuración básica de vManage – Commit - PoC SDWAN</i> .....	243
<i>Script 50 Configuración básica de vBond - PoC SDWAN</i> .....	244
<i>Script 51 Configuración básica de vSmart - PoC SDWAN</i> .....	244
<i>Script 52 Creación de Certificado en vManage - PoC SDWAN</i> .....	246
<i>Script 53 Generación de vmanage.crt en vManage - PoC SDWAN</i> .....	248
<i>Script 54 Eliminar encriptación para ingreso de vBond en vManage - PoC SDWAN</i> .....	250
<i>Script 55 Creación de vBond.crt en vManage - PoC SDWAN</i> .....	252
<i>Script 56 Configuración de Encriptación DTLS para TLOC en vSmart, vManage y vBond - PoC SDWAN</i> .....	255
<i>Script 57 Configuración básica de vEdge - PoC SDWAN</i> .....	257
<i>Script 58 Instalación de ROOTCA.pem en vEdge - PoC SDWAN</i> .....	258
<i>Script 59 Generación de túnel IPSec-TLOC en vEdge - PoC SDWAN</i> .....	264
<i>Script 60 Vinculación de número de chasis/Token para vEdge - PoC SDWAN</i> .....	265
<i>Script 61 Credenciales de acceso y habilitación de NETCONF – CSR1000v</i> .....	329
<i>Script 62 Definición de parámetros para la Sesión NETCONF</i> .....	330
<i>Script 63 Estructura IOS-XE Native YANG Model para telemetría simple</i> .....	331
<i>Script 64 Output del programa para telemetría simple – NETCONF</i> .....	331
<i>Script 65 Output del programa para telemetría simple en VS CODE – NETCONF</i> .....	332
<i>Script 66 Jinja2 Template de nombre CONFIGNETCONF-PoC-GSALAZAR.xml para Configuración de interfaz mediante NETCONF</i> .....	333
<i>Script 67 Modificación del Archivo en Python para correr junto con Jinja2 Template – NETCONF</i> .....	333
<i>Script 68 Ejecución exitosa (ok) del Archivo en Python – lectura de Jinja2 Template – NETCONF</i> .....	333
<i>Script 69 Configuración de Direcccionamiento Ipv4 en equipos Cumulus Linux (Open Networking)</i> .....	337
<i>Script 70 Generación de llaves SSH para conexión entre Ansible y equipos Cumulus Linux</i> .....	337
<i>Script 71 Configuración de Host File (Inventory File) – Ansible</i> .....	338
<i>Script 72 Obtención de llaves SSH entre Ansible y dispositivos a configurar (Cumulus Linux)</i> .....	339
<i>Script 73 Edición del archivo ansible.cfg para evitar el chequeo de las llaves SSH</i> .....	339
<i>Script 74 Direcccionamiento IP de equipos Cumulus Linux (NCLU) mediante Ansible Playbook</i> ....	340
<i>Script 75 Configuración de OSPF en equipos Cumulus Linux (NCLU) mediante Ansible Playbook – Underlay</i> .....	341
<i>Script 76 Configuración de VXLAN (SNV y VTEP) en el Playbook VXLAN.yml</i> .....	341
<i>Script 77 Configuración de VXLAN (Asignación de VLANs en Leaf1 y Leaf2) en el Playbook VXLAN.yml</i> .....	342
<i>Script 78 Configuración de VXLAN (Mapeo VLAN-ID a VNID) en el Playbook VXLAN.yml</i> .....	342

<i>Script 79 Configuración IP de la Infraestructura para conectividad SSH con Config-Server (Netmiko)</i> .....	347
<i>Script 80 Configuración de script (UNLPNetmiko.py) para envío de comandos a equipos Cisco IOS</i> .....	349
<i>Script 81 Script para comprobar conexión NAPALM-Equipo</i> .....	351
<i>Script 82 Configuración mediante comandos Cisco IOS para enviar mediante NAPALM (archivo .cfg)</i> .....	352
<i>Script 83 Script en Python usando NAPALM para configurar OSPF, crear una interfaz Lo10 y comparar cambios en las configuraciones</i> .....	353
<i>Script 84 Parámetros Mininet – Docker-compose.yml</i> .....	357
<i>Script 85 Topología para Mininet – PoC NG-SDN</i> .....	358
<i>Script 86 Módulo YANG para PoC NG-SDN</i> .....	360
<i>Script 87 Netcfg.json (ONOS) para PoC NG-SDN</i> .....	365
<i>Script 88 InterpreterImpl.java (ONOS) para PoC NG-SDN</i> .....	371

*Página intencionalmente en blanco*

# Capítulo 1

## 1. Introducción

Las Tecnologías de la Información han evolucionado en las últimas décadas con una rapidez impresionante gracias a que los requerimientos de usuarios de redes modernas así lo han demandado, no en vano Platón mencionó que “La necesidad es la madre de todas las invenciones” (Platón, 369 ac).

Por nombrar algunas tendencias que modifican paradigmas dentro de las redes están: BYOX, siglas de *Bring Your Own Everything*<sup>1</sup>, el cual cambia la forma de desarrollar los negocios al permitir el uso de dispositivos electrónicos personales y acceder con ellos a la red empresarial en cualquier momento y cualquier lugar, mejorando la productividad notablemente más aún con el advenimiento de las redes inalámbricas y celulares de nueva generación (WiFi6E, 4G-LTE AdvancedPro y 5G/6G), las cuales se han repotenciado con la computación en la nube y virtualización tan necesaria hoy en día. Algo similar ocurrió en las industrias con redes de sensores (*All-IP Industrial Networks*) y automatización de sus sistemas mediante AI (inteligencia artificial), cambio conocido como Industria 4.0, impulsado por la conectividad de lo no conectado o IoT (*Internet of Things*), llevando ese concepto a lo más cercano al usuario final, el hogar, tema abordado por el *World Economic Forum* tanto en el año 2016 como en el 2017 (World Economic Forum, 2017).

Todos esos avances han hecho que sea difícil imaginar el momento cuando el universo digital no se encontraba a nuestra disposición. El ser humano ahora requiere sentirse conectado y tener toda la información al alcance de la mano y de forma instantánea, desarrollando un eslabón más en la conectividad extrema, donde las cosas, procesos, datos y personas se relacionan entre sí. Este concepto se amplió a lo que se definió como la Transformación Digital, siendo ahora no solo un tópico tecnológico, sino un asunto que impacta e impactará a toda la sociedad en su conjunto.

La digitalización, corazón de la Transformación Digital antes mencionada, modificará la forma en que vivimos, trabajamos, aprendemos y jugamos, posibilitando traer todo lo imaginable a la realidad, justamente este tema fue tomando en cuenta en *Cisco Live Barcelona 2019* (Cisco Systems - Senior VicePresident Liz Centoni, 2019), en el *Cisco Academy Conference LATAM 2017* desarrollado en la Ciudad de México y el *Cisco Academy Conference LATAM 2019* en Guayaquil, Ecuador (Cisco Systems, 2019).

Por nombrar unos ejemplos de esta digitalización están la VR (Realidad Virtual) y AR (Realidad Aumentada), tópicos en auge para el comercio y el entretenimiento, pero también lo será para revolucionar la forma de estudiar en escuelas y universidades, así como generar nuevos modelos de negocio y de trabajo, convirtiéndose en una oportunidad enorme para la humanidad de los próximos treinta o cuarenta años que tendrá la responsabilidad de no sólo pensar en la tecnología, sino en generar una sinergia entre innovación y medioambiente, por ello, las áreas

---

<sup>1</sup> También denominado Consumerización de las tecnologías de la información

que más énfasis tienen gracias a la digitalización y acorde a *Habitat III* (HabitatIII, 2016) dictado en Ecuador en el año 2016 son:

- Ciudades Inteligentes: Conjunto de servicios novedosos que mejorarán los estándares de vida de los ciudadanos. Tráfico automovilístico inteligente, manejo de sitios de estacionamiento de autos, vigilancia y seguridad ciudadana, comprar lo que se desea sin necesidad de hacer colas, trámites consolidados en ventanillas únicas y conectividad total a Internet inalámbrica segura y de altísimo ancho de banda, por nombrar algunos servicios a implementar en las ciudades modernas.
- Medioambiente Inteligente: Programas como manejo adecuado de desechos, uso de energía limpia, control de polución serán temas que mejorarán con sistemas IoT.
- Salud Inteligente: La Telemedicina servirá para llegar con cuidados médicos e incluso cirugías a sitios remotos usando redes convergentes y telepresencia, así como para monitorear a pacientes y recibir cuidados de médicos extranjeros en caso de ser necesario. IoT está muy involucrado en mejorar los tratamientos de salud.
- Agricultura Inteligente: Agricultura usando sensores para controlar la temperatura y humedad con el fin de maximizar la producción de productos del campo. Mejorar la cadena de distribución y manejo de los alimentos también forma parte de este sistema inteligente.
- Industria, Producción y Logística Inteligente: Sistemas inteligentes de control y monitoreo de las plantas industriales, empleando análisis y automatización de procesos mediante una red segura de datos permitirá controlar la cadena de valor de un producto: desde su invención hasta la etapa de producción y post-producción (cadena de valor inteligente).
- Monedas Inteligentes: El uso de sistemas digitales como modelos de monetización no es solo una moda, sino una necesidad donde las transacciones económicas son inmediatas, así como deben ser seguras empleando sistemas de autenticación, encriptación y control de integridad como *Blockchain*. Bitcoin (Bitcoin, 2020), según algunos entendidos del tema, será la moneda del futuro. Hay que mencionar también que nuevas monedas electrónicas están surgiendo, por ejemplo, Libra, la criptomoneda creada por Facebook (Coppola, 2019), la cual junto con Calibra, su sistema monetario o “billetera digital”, intentaron revolucionar las finanzas, por ello, los gobiernos muestran ya su preocupación por la falta de estandarización y legislación adecuada en este campo (Infobae, 2019).

Desde un punto de vista más técnico, la digitalización implica conectar personas y cosas, pero dando importancia y valor a los datos que surgen de esa conectividad. El fundamento de esa conexión extrema es la red; sin embargo, las empresas y organizaciones involucradas en mantener y transportar los datos, el bien intangible más importante hoy en día (Salazar & Chafla, 2015), han incluido mecanismos para adaptarse a estas tecnologías emergentes no con la misma velocidad y desarrollo que las demandas de tráfico actual, por ese motivo la disrupción tecnológica desplazará a aquellos negocios que no se adaptan a estos cambios, incluso a proveedores de servicio de Internet (ISPs) que no migren sus infraestructuras a unas más modernas.

Un hecho que cambió el mundo tal como lo concebimos fue la pandemia de COVID-19<sup>2</sup>, hecho que permitió visualizar las dificultades que ciertos modelos de negocio, educación y salud han tenido y tienen para adoptar la transformación digital, mostrando la necesidad de cambios culturales para dar continuidad y estabilidad económica, no solo en esas áreas, sino también en el resto de las actividades humanas dependientes de tecnología.

Las industrias y empresas han pagado millones de dólares debido a la revolución digital en la última década, es más, los gerentes generales (CEOs) tienen muy presente este cambio y consideran una inversión obligatoria el mejorar sus infraestructuras de telecomunicaciones, pues si no se adaptan, sucumbirán ante la competencia que utilice la información generada en sus redes y cree nuevo conocimiento para liderar sus negocios, pero, ¿Es realmente necesaria una inversión tan alta en las infraestructuras? La respuesta a esa pregunta dependerá de la aproximación empresarial tecnológica a los objetivos planteados por la compañía. Gartner ha planteado un conjunto de buenas prácticas y guías a tomar en cuenta por el BoD (*Board of Directors*) (Gomolski, 2019) y llegar a la tan anhelada transformación digital, sin embargo, bajo el contexto e impacto de COVID-19, trajo consigo desafíos socioeconómicos nunca pensados, impactando directamente en el grado de preparación que tienen las infraestructuras tecnológicas para afrontar estos inconvenientes. Un estudio propuesto por el Observatorio CAF (Banco de Desarrollo de América Latina) del Ecosistema Digital, presentó publicaciones con base de evidencia empírica sobre la posición y oportunidades de Latinoamérica en términos de digitalización, dando resultados alarmantes:

En particular, se identifica una disminución de velocidad de banda ancha fija en Chile (-3%) y Ecuador (-19,6%), combinando esto con un incremento de la latencia en la misma tecnología en Brasil (11,7%), Chile (19,0%), Ecuador (11,8%) y México (7,4%) ... El propósito de este trabajo es evaluar cómo está América Latina posicionada y cómo la digitalización puede jugar un papel fundamental en mitigar los efectos de la pandemia. En efecto, el análisis del impacto econométrico del primer virus SARS-Cov, demostró que los países con una infraestructura de conectividad desarrollada pudieron mitigar en un 75% las pérdidas económicas asociadas con la pandemia (CAF - Banco de Desarrollo de América Latina, 2020)

Es importante mencionar que, por más de treinta años, las redes y las infraestructuras de TI (Tecnologías de la Información) han evolucionado, comenzado por una conexión de un par de computadoras, hasta hoy en día, donde varios sitios remotos pueden conectarse entre sí, uniendo compañías, ciudades y países enteros. Esto trajo consigo una demanda de tráfico de más de un Zettabyte para el 2017, con una proyección de 4.8ZB para el 2022 (Cisco Systems, 2019), mientras que para el año 2021 se espera existan cerca de 30 billones de dispositivos interconectados (Hanes et al., 2017), con millones de conexiones M2M o "*Machine-to-Machine*". La digitalización está en su etapa de despliegue y sin lugar a duda las infraestructuras de red tendrán un rol importantísimo para que eso ocurra, rompiendo paradigmas y así posibilitar la hiper-conectividad.

---

<sup>2</sup> COVID-19: El Director General de la Organización Mundial de la Salud (OMS), el Doctor Tedros Adhanom Ghebreyesus, anunció el 11 de marzo de 2020 que la nueva enfermedad por el coronavirus 2019 (COVID-19) puede caracterizarse como una pandemia. La caracterización de pandemia significa que la epidemia se ha extendido por varios países, continentes o todo el mundo, y que afecta a un gran número de personas.: Link: <https://www.paho.org/es/tag/enfermedad-por-coronavirus-covid-19>

Diseños estructurados de redes que contemplen características como jerarquía, modularidad, resiliencia y flexibilidad se requerirán para dar soporte a los negocios. Es justamente ahí donde el concepto de redes inteligentes y programables nace (Salazar & Chafra, 2015).

Una red inteligente y programable es aquella que posee un conjunto de controles de tráfico y características de flexibilidad que involucran a la LAN, WAN y *Data Center* (DC) para un adecuado envío de datos mediante la orquestación y toma de decisiones empleando marcaje dinámico de paquetes, técnica usada en modelos de Calidad de Servicio (QoS) de próxima generación.

La siguiente evolución del *networking* es el concepto de red centralizada *open source*/interoperable en lugar de red distribuida tradicional, donde el controlador es quien tomará las decisiones de enrutamiento y conmutación definidas en *scripts* a través de lenguajes de programación como Python, Java, P4, Bash, C++ o cualquier lenguaje que el administrador de la red desee. Estos *scripts*, que en palabras más simples generan aplicaciones de *software*, se muestran bajo APIs o *Application Programming Interfaces*, diseñadas para enviar señales al controlador según los requerimientos planteados por el usuario a través de un tipo de formato de intercambio de datos como JSON, YAML o XML. Una API muy usada y que perfectamente se adapta a esos formatos son las REST-APIs (*Representational State Transfer APIs*). Este cambio se da bajo el concepto de SoC (*Separation of Concerns*) traído del mundo del *software* y de IoT, concepto que facilita el diseño, interacción y resultado de un proyecto/programa/infraestructura. Cabe decir que en la actualidad existe una tendencia evolutiva de cambio de interfaces de configuración entre el usuario y la infraestructura de igual manera. Tradicionalmente se usa CLIs (*Command Line Interfaces*) que emplean formato estructurado de configuración, pero, para administrar los cambios y necesidades modernas de una forma más adecuada y efectiva, es necesario el uso de datos estructurados con formatos como los mencionados anteriormente, junto con modelos como YANG para su procesamiento.

Ciertas implementaciones y desarrollos tecnológicos, por otro lado, traen el concepto de redes *Underlay* y *Overlay* a través de DMPVN, BGP, VXLAN, MPLS-VPN, EVPN y mecanismos modernos de encapsulación y etiquetado como MPLS *Segment-Routing* y LISP, permitiendo un crecimiento óptimo y escalable de la infraestructura ya sea usando el Internet, redes celulares de última generación o enlaces de bajo costo sin comprometer el desempeño, la confiabilidad y seguridad, manteniendo una disponibilidad de “cinco nueves”<sup>3</sup> para dar lugar a las redes inteligentes y programables; para estas redes, desde el lado del proveedor se acuñó el nombre de *intelligent WAN*, SD-WAN o WAN definido por *Software*.

Una *iNetwork* (*Intelligent Network*) dinámicamente enrutará el tráfico priorizándolo según el uso de las diversas aplicaciones, dispositivos finales y condiciones de red para tener la mejor experiencia de usuario posible sin desfinanciar a una empresa que cuenta con una red ya implementada, generando un pronto retorno de inversión (ROI) en caso de que se tenga que realizar alguna actualización obligatoria.

Las Redes Definidas por Software o SDN por sus siglas en inglés (*Software-Defined Networks*) cambiarán el presente y futuro de las redes pues, rompe paradigmas tradicionales, pero con el

---

<sup>3</sup> 99.999% de disponibilidad en la red – 5.26 minutos de caída anual máximo.

objetivo de mejorar el desempeño y la experiencia del usuario adaptándose a los cambios tecnológicos demandados.

SDN y el concepto de *iNetwork* son muy compatibles entre sí, quizá el segundo es paso previo a la implementación completa del primero en una red de producción, pues dentro de las características de redes inteligentes y programables se conceptualiza a un Controlador Máster que centralizará las operaciones de configuración y/o gestión.

Es necesario emplear estándares definidos y especificar unos nuevos para que realmente SDN sea viable como mecanismo de comunicación en las redes modernas y ahí surgen nuevos desafíos para los profesionales en Tecnologías de la Información, desafíos que serán abordados en la presente investigación, así como trabajos futuros en temas de seguridad, escalabilidad y flexibilidad en este tipo de entornos, acuñando el concepto que Cisco Systems trajo en el 2020, *User Defined Networking* o Redes definidas por el usuario (Cisco Systems - User Defined Network, 2020), redes que serán ágiles bajo el paraguas de *NetDevOps*.

## 1.1 Publicaciones Científicas

A continuación, se muestran diversos artículos científicos y Conferencias (publicados e indexados en revistas de renombre, la mayoría en inglés) escritos y dictados por el autor de la tesis, los cuales dan soporte a la presente investigación doctoral:

- G. D. Salazar-Chacón and A. R. Reinoso García, "*Segment-Routing Analysis: Proof-of-Concept Emulation in IPv4 and IPv6 Service Provider Infrastructures*," 2021 IEEE International IOT, Electronics and Mechatronics Conference (IEMTRONICS), 2021, pp. 1-7, doi: 10.1109/IEMTRONICS52119.2021.9422559.
- A. Gordón, and G. Salazar-Chacón, "*DRP Analysis: Service Outage in Data Center due to Power Failures*," 2020 11th IEEE Annual Information Technology, Electronics and Mobile Communication Conference (IEMCON), 2020, pp. 0182-0187, doi: 10.1109/IEMCON51383.2020.9284920.
- G. D. Salazar-Chacón and L. Marrone, "*OpenSDN Southbound Traffic Characterization: Proof-of-Concept Virtualized SDN-Infrastructure*," 2020 11th IEEE Annual Information Technology, Electronics and Mobile Communication Conference (IEMCON), 2020, pp. 0282-0287, doi: 10.1109/IEMCON51383.2020.9284938.
- J. E. Vaca P. and G. D. Salazar-Chacón., "*VXLAN-IPSec Dual-Overlay as a Security Technique in Virtualized Datacenter Environments*" 2020 IEEE ANDESCON, 2020, pp. 1-6, doi: 10.1109/ANDESCON50619.2020.9272160.
- G. Salazar-Chacón, E. Naranjo and L. Marrone. (2020). "*Open networking programmability for VXLAN Data Centre infrastructures: Ansible and Cumulus Linux feasibility study*". Revista Ibérica de Sistemas e Tecnologias de Informação, (E32), 469-482.
- G. Salazar, "*Ansible y SDN en acción: Los pilares de la Era de la Programabilidad*", Cisco Community Support, 26 de noviembre, 2019 [online]. Disponible: <https://youtu.be/m0bSM8Xv10g>

- G. Andrade-Salinas, G. Salazar-Chacon and L. M. Vintimilla. (2019). "Integration of IoT Equipment as Transactional Endorsing Peers over a Hyperledger-Fabric Blockchain Network: Feasibility Study". In International Conference on Applied Technologies (pp. 95-109). Springer, Cham.
- G. D. Salazar Ch., C. Hervas, E. Estevez and L. Marrone, "High-Level IoT Governance Model Proposal for Digitized Ecosystems," 2019 International Conference on Information Systems and Software Technologies (ICI2ST), 2019, pp. 79-84, doi: 10.1109/ICI2ST.2019.00018.
- G. D. Salazar Ch, C. Venegas, and L. Marrone, "MQTT-Based Prototype Rover with Vision-As-A-Service (VAAS) in an IoT Dual-Stack Scenario," 2019 Sixth International Conference on eDemocracy & eGovernment (ICEDEG), 2019, pp. 344-349, doi: 10.1109/ICEDEG.2019.8734341.
- G. D. Salazar Ch., E. F. Naranjo and L. Marrone, "SDN-Ready WAN networks: Segment Routing in MPLS-Based Environments," 2018 9th IEEE Annual Ubiquitous Computing, Electronics & Mobile Communication Conference (UEMCON), 2018, pp. 173-178, doi: 10.1109/UEMCON.2018.8796613. – Best Paper – Columbia University.
- G. D. Salazar Ch., C. Venegas, M. Baca, I. Rodríguez, and L. Marrone, "Open Middleware proposal for IoT focused on Industry 4.0," 2018 IEEE 2nd Colombian Conference on Robotics and Automation (CCRA), 2018, pp. 1-6, doi: 10.1109/CCRA.2018.8588117.
- E. F. Naranjo and G. D. Salazar Ch, "Underlay and overlay networks: The approach to solve addressing and segmentation problems in the new networking era: VXLAN encapsulation with Cisco and open source networks," 2017 IEEE Second Ecuador Technical Chapters Meeting (ETCM), 2017, pp. 1-6, doi: 10.1109/ETCM.2017.8247505.
- G. Salazar, "Direccionamiento IPv6 - Bases y Fundamentos" Cisco, 02 Febrero 2016. [online]. Disponible: <https://supportforums.cisco.com/blog/12914981/direccionamiento-ipv6-bases-y-fundamentos>
- G. Salazar, "Fundamentos de QoS-Calidad de Servicio en Capa 2 y Capa 3", 2016, [online] Disponible: <https://community.cisco.com/t5/blogsrouting-y-switching/fundamentos-de-qos-calidad-de-servicio-en-capa-2-ycapa-3lba-p/3103715>
- G. Salazar Chacón y G. Chafía Altamirano. (2015). "Empleo de Path-control Tools en una red empresarial moderna mediante Políticas de Enrutamiento". 3C Tecnología. Glosas De Innovación Aplicadas a La Pyme, 4(1), 1-18. Recuperado a partir de <http://ojs.3ciencias.com/index.php/3c-tecnologia/article/view/233>
- G. Salazar, "DMVPN Fase1 y 2 en IPv4 Fundamentos y Configuración básica enfocado al CCIE RS", 2017, [online] Disponible: <https://community.cisco.com/t5/videos-routing-y-switching/dmvpn-fase1-y-2-en-ipv4-fundamentos-y-configuraci%C3%B3n-b%C3%A1sica/ba-p/3104173>
- G. Salazar, "Fundamentos de IP Multicast Routing y sus Modos de Operación: Demo en Vivo", 2017, [online] Disponible: [https://www.youtube.com/watch?v=xKD\\_Vppf8co](https://www.youtube.com/watch?v=xKD_Vppf8co)

## 1.2 Objetivos y Aporte de la Investigación

### Objetivo General:

Comprobar la factibilidad de implementación de una red definida por software (SDN) en ambientes híbridos IP-SDN donde la automatización de flujos de datos en base a las aplicaciones, visibilidad total, así como la programabilidad y rapidez son necesarios, más aún cuando la digitalización y Cloud Computing marcarán el presente y futuro de los negocios, la salud, la industria y las telecomunicaciones en general.

### Objetivos Específicos:

- Identificar las necesidades y requerimientos de usuarios y empresas actuales, evaluando su impacto en las infraestructuras tradicionales.
- Identificar los avances tecnológicos, procedimientos y protocolos para adaptar las redes tanto a nivel LAN y WAN a la era del Internet de las cosas, *Cloud-Fog Computing* y la digitalización.
- Definir la Programabilidad, Automatización y Orquestación en las Redes y su relación con la Inteligencia Artificial, Cloud, IoT y SDN.
- Definir y analizar el concepto de SDN y SD-WAN como propuestas de continuidad a los negocios conformados por redes de datos masivos.
- Establecer los beneficios de las Redes Definidas por Software para permitir comunicaciones empresariales consistentes.
- Entender la arquitectura, topologías SDN y su operación mediante *OpenFlow*, *OpenDaylight* y sus diversos estándares.
- Comparar a SDN con otras formas de virtualización como NFV y Redes *Underlay-Overlay* (VXLAN, LISP y Segment-Routing).
- Determinar la posibilidad de integración e interoperabilidad de redes tradicionales IP con Redes SDN mediante automatización/programabilidad y su impacto en las redes tanto empresariales como de proveedores de servicio (SD-WAN).
- Diseñar y Simular una red prototipo SDN y SD-WAN mediante un software de emulación de redes avalado por la industria y la comunidad educativa.
- Implementar una red prototipo SDN, así como implementar la programabilidad en Redes Tradicionales y confirmar la factibilidad de su integración en equipos reales que soporten esta tecnología.

### Aporte de la Investigación

Realizar pruebas de concepto sobre SDN, automatización y redes programables, así como de telemetría, *OpenNetworking* y nuevos protocolos de transporte, planteando además modelos innovadores de interoperabilidad entre redes tradicionales y redes definidas por *software* son los aportes principales de esta investigación, pues permitieron llegar a las conclusiones finales luego de un análisis profundo de los resultados obtenidos en la fase de simulación/emulación y pruebas en equipos reales, dando lugar a una red híbrida IP-SDN donde no necesariamente se tienen los equipos robustos o flujos de tráfico tan altos como en las redes de un Centro de Datos SDN (SD-DC).

Durante el desarrollo de la tesis, se emplea *software* de emulación de redes avalado por la comunidad universitaria, la academia y por empresas fabricantes de tecnología en redes, empresas que basan sus procesos en ciclos de vida como *DevOps*, *Lean-Agile*, *ITIL*, *FCAPS* y

PPDIOO, donde el prototipado de las tecnologías es fundamental para el éxito de las industrias de telecomunicaciones contemporáneas.

Una vez verificada la factibilidad de los conceptos y protocolos planteados en la investigación mediante *software* emulador, la fase final del desarrollo de esta tesis doctoral comprueba el comportamiento de SDN en equipos físicos, aterrizando los conceptos de programabilidad y SDN a la realidad.

Sin lugar a duda, la experimentación es clave para cualquier investigación científica, ya que traslada los conceptos teóricos a la práctica, dando así un impacto trascendental a la presente tesis doctoral, totalmente adecuada al método científico experimental y a la metodología heurística aplicada.

### **1.3 Contexto y Estado del Arte de las Redes de Información y Datos: Transformación o Mutación Digital**

Las redes de datos han pasado de simplemente unir dispositivos electrónicos como computadoras, laptops, teléfonos IP, a conectar elementos biológicos y lo que tradicionalmente no es conectable, con el fin de digitalizar el entorno, maximizando de esa manera las ventajas que una infraestructura de datos puede dar más allá de sólo romper las barreras geográficas de comunicaciones; pero con ello también aumentaron los riesgos, problemas y nuevos requerimientos que deben ser solucionados con tecnologías emergentes.

Llegar al punto donde nos encontramos en términos de conectividad ha sido un camino evolutivo que se ha convertido en una revolución innovadora en los últimos años.

Los sistemas de comunicaciones, desde las primeras civilizaciones con las señales de humo, mensajeros a pie y a caballo, señales acústicas, visuales y el telégrafo hidráulico en el siglo IV a.C. han tratado de comunicar a los seres humanos a larga distancia. Tuvieron que pasar muchos años para lograr avances significativos en las comunicaciones, por ejemplo la instalación del telégrafo óptico en la Edad Contemporánea en 1684, implementación de la red telegráfica eléctrica en 1866, desarrollo del TDM (*Time Division Multiplexing*) gracias a los estudios de Emile Baudot y Tomás Edison a finales del siglo XIX, patente del teléfono en 1876 por Alexander Graham Bell, bases de la Teoría de la Información por parte de Claude Shannon, Harry Nyquist y Ralph Hartley a inicios del siglo XX dieron los cimientos para el origen de los sistemas de transmisión de datos contemporáneos, nacimiento que se confirmó con el desarrollo del primer organismo de estandarización en las telecomunicaciones denominado ITU (*International Telecommunication Union*) adscrita a la ONU en 1947. El siguiente eslabón evolutivo fue la creación del módem en la década de los 60s en los laboratorios Bell, dando lugar a la era de la Conmutación de Paquetes definida por Leonard Kleinrock en el MIT y modelado bajo el *Stack* TCP/IP de Robert Kahn y Vinton Cerf en 1975; paso a paso dieron cabida al nacimiento de las telecomunicaciones tal como las conocemos hoy, desarrollando ARPANET, el embrión de Internet en los 70s, construido gracias a los avances e investigaciones del Departamento de Defensa de Estados Unidos (DoD) y ARPA (*Advanced Research Projects Agency*).

La evolución en los medios de transmisión también ha favorecido esta revolución, por ejemplo, los cables submarinos, en un inicio para comunicar países europeos (Gran Bretaña con el resto

de Europa) mediante el telégrafo y teléfono, hoy ya con fibra óptica que recorre la Tierra (TeleGeography, 2020), están otorgando la capacidad requerida de grandes anchos de banda en cualquier lugar del mundo, siendo además un cableado que sigue su expansión.

ARPANET se convierte en Internet y se da un boom comercial a partir de ahí, muchos de los requerimientos empresariales dependen del ciberespacio y se da comienzo a la hiperconectividad del ser humano, modificando la forma en que vive, aprende, trabaja, cuida de su salud, se divierte y se comunica. Por todo ello y en vista de la necesidad de más direcciones para identificar todos los dispositivos interconectados, así como para mejorar errores de despliegue y seguridad de IPv4, en junio del 2011, el *Internet Society* (ISOC) lleva a cabo el *World IPv6 Day* (Internet Society, 2020) y en junio del 2012 oficialmente se lanza IPv6.

El Internet se ha convertido en una tecnología WAN ideal, debido a su bajo costo, escalabilidad, flexibilidad y adaptabilidad, lo que ha impactado la manera en que las empresas conectan sus sedes, eliminando sus principales debilidades: la seguridad y bajo ancho de banda.

Las fases evolutivas del Internet las podemos apreciar en el siguiente cuadro:

**Tabla 1-1 Fases evolutivas del Internet**

<b>Fase</b>	<b>Descripción</b>
Fase 1: Conectividad (Acceso Digital)	Esta fase conecta las personas a servicios como e-mail, la web, así como a búsquedas de información.
Fase 2: Economía conectada (Negocio Digital)	Esta fase habilita el comercio electrónico y mejoras en la cadena de distribución de productos, junto con la colaboración en los negocios.
Fase 3: Experiencias Inmersivas (Interacciones Digitales)	Esta fase extiende la experiencia del Internet junto con la inclusión de video, redes sociales, movilidad. Nacimiento del Cloud.
Fase 4: Internet de las Cosas (Mundo Digital)	Esta fase añade conectividad a los objetos y máquinas en el mundo que nos rodea, así como habilita nuevos servicios y experiencias. Conectar lo no conectado de forma segura.

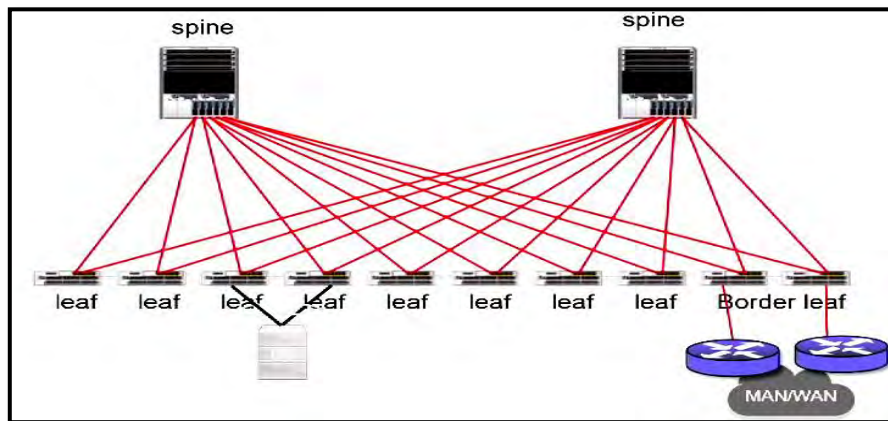
Fuente: (Hanes et al., 2017)

Actualmente nos encontramos entre la fase 3 y fase 4 del Internet.

En general, “las tecnologías de la Información y las comunicaciones están evolucionando hacia un modelo de consumo en la nube” (Salazar Ch & Naranjo, 2017), lo que también implica un rediseño de las arquitecturas en los DCs, donde la flexibilidad y movilidad, resiliencia, servicios bajo demanda, analítica de datos, capacidad *multitenant*, microsegmentación, así como excelente desempeño y escalabilidad son aspectos que deben ser tomados en cuenta en diseños de redes modernos.

Como un resultado claro de ello, los DCs están evolucionando de su diseño jerárquico tradicional tipo *Fat-Tree* a uno denominado *Spine-Leaf* (ver *Figura 1-1*), dando así una aproximación mucho más simple, ágil, con soporte de tráfico *east-west* y *north-south* de manera más eficiente (Salazar-Chacón & Vaca, 2020).

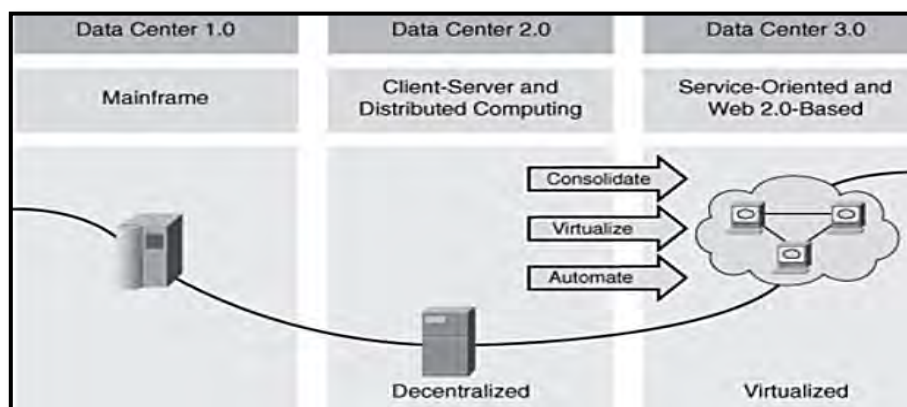
Según (Salazar Ch & Naranjo, 2017), estas son las razones primordiales para desarrollar soluciones con SDN, redes híbridas o al menos redes tradicionales que tengan características de *Open-Networking*, automatización y programabilidad (*NetDevOps*).



**Figura 1-1 Arquitecturas Spine-Leaf en DCs modernos.**  
Recuperado de (Salazar Ch & Naranjo, 2017)

Los centros de datos modernos se encuentran en la tercera generación, tal como se aprecia en la *Figura 1-2*. Las generaciones evolutivas en los DCs comienzan con los *mainframes*, siendo éstos los de 1ra. Generación, el siguiente eslabón es el modelo Cliente-Servidor y computación distribuida como 2da. Generación, y la 3ra. Generación, según (Bruno & Jordan, 2011) es aquella que está definida por los siguientes componentes:

- Virtualización: Abstracción de los Sistemas Operativos del *Hardware*. Computación en la nube depende de la Virtualización, donde la abstracción separa el *hardware* de las aplicaciones (SaaS, PaaS e IaaS<sup>4</sup> y demás entonos como servicios).
- *Unified Fabric*: Medios Físicos y recursos de *networking* que dan soporte al altísimo ancho de banda. Ejemplos son *Fibre-Channel over Ethernet* (FCoE).
- *Unified Computing*: Plataformas computacionales convergentes de próxima generación, tanto a nivel de procesamiento como memoria.
- Hiper-convergencia: Almacenamiento, *Backups* y flexibilidad transparente para el usuario.

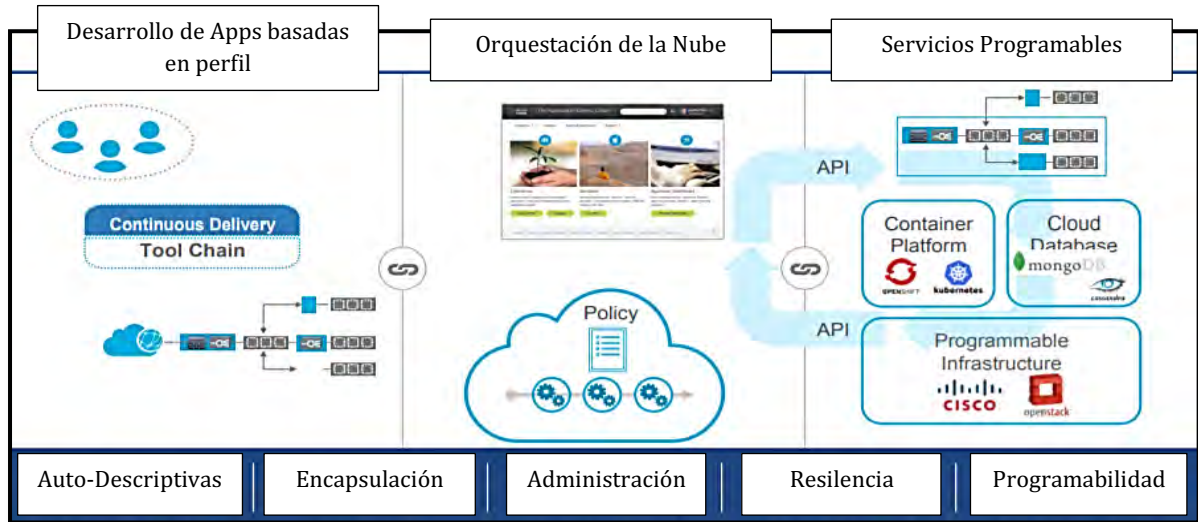


**Figura 1-2 Evolución DCs.**  
Recuperado de (Bruno & Jordan, 2011)

<sup>4</sup> SaaS – Software as a Service; PaaS – Platform as a Service; IaaS – Infrastructure as a Service

De acuerdo con (Bruno & Jordan, 2011), el DC 3.0 fomenta el pronto retorno de inversión (ROI) y disminuye el costo total de propiedad (TCO).

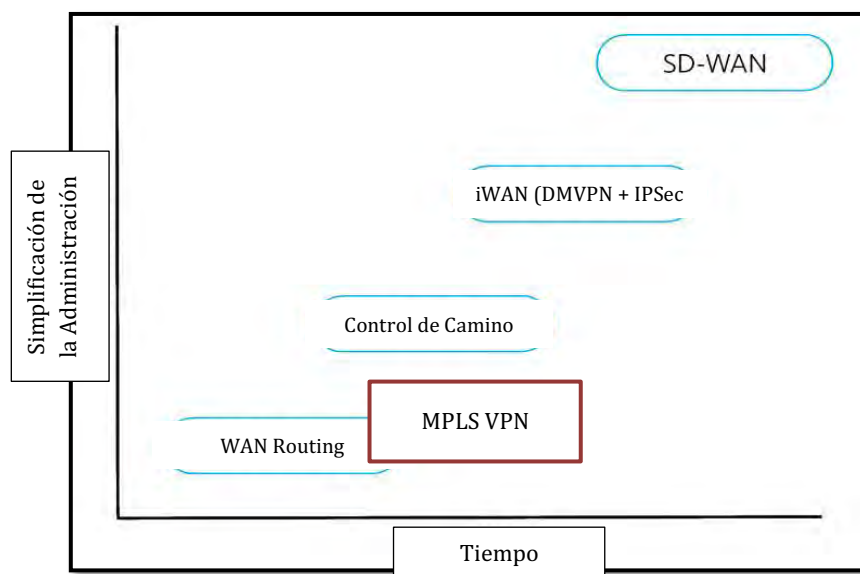
Varios fabricantes de *hardware* y *software* como Microsoft, Schneider Electric y Cisco Systems nombran un eslabón adicional basado en la centralización de las aplicaciones, rapidez de configuración, visibilidad y seguridad total, así como programabilidad, orquestación y optimización automática, eslabón totalmente relacionando con la Industria 4.0 y nueva generación de redes de datos, tal como se aprecia en la *Figura 1-3*.



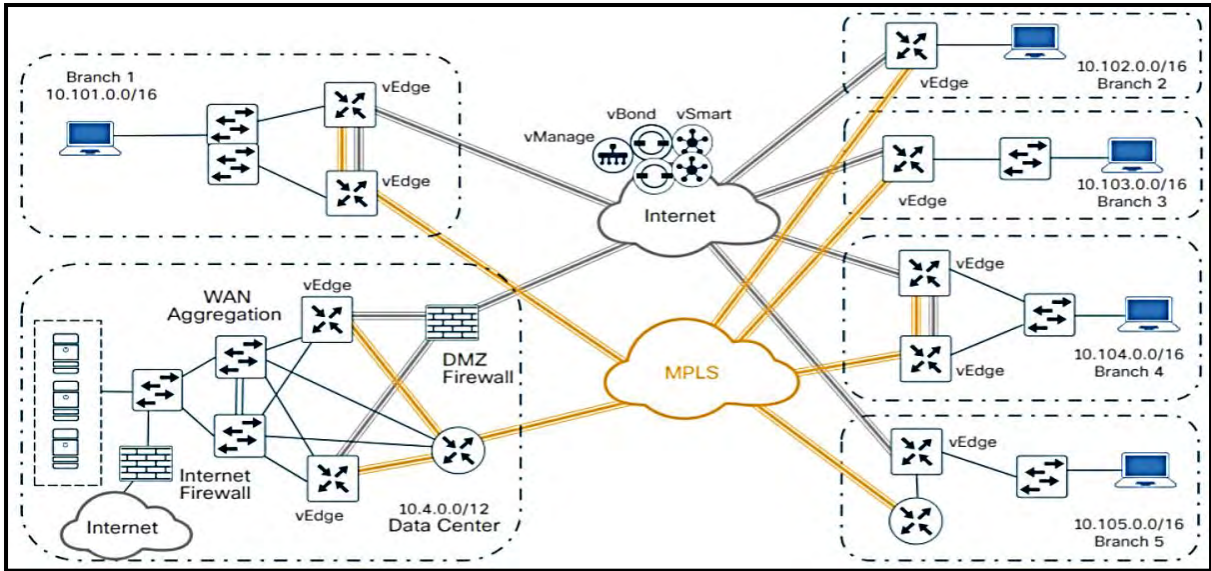
**Figura 1-3 Data Center de Nueva Generación.**  
 Recuperado de (Manville, Woolwine, & Benny, 2019)

La infraestructura de redes de comunicaciones que da cabida a estos cambios tecnológicos también debe adaptarse a la hiperconectividad y DCs de nueva generación, por ello, muchos protocolos y tecnologías de transporte surgieron a la par de las necesidades del usuario final.

La *Figura 1-4* muestra esa evolución, marcando a MPLS (*Multiprotocol Label Switching*) como punto de inflexión en la evolución de las redes de transporte de datos WAN, mientras la *Fig. 1-5* muestra una topología de SD-WAN, presente y futuro de las Redes de Transporte.



**Figura 1-4 Evolución de las Redes WAN**  
 Fuente: Autor



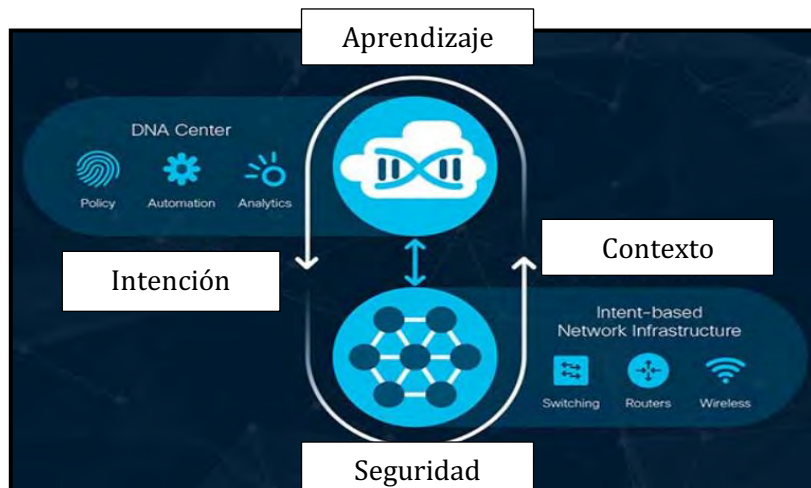
**Figura 1-5 Infraestructura SD-WAN.**  
 Recuperado de (Cisco Systems, 2019)

Las redes modernas deben tener ciertas características que complementen el criterio tradicional de escalabilidad, tolerancia a fallas, QoS y seguridad, pues los requerimientos de los usuarios y de las empresas así lo demandan.

Además de esas características básicas, deben tener:

- Resolución **automática** de fallas y errores.
- Defensa **automática** ante ataques.
- Optimización **automática**.
- Análisis **automático** de datos para una toma de decisiones adecuada.
- Visibilidad completa de la red mediante **Insights**.

El concepto de automático significa dotar de inteligencia y facilidad de manejo a las redes para que puedan adaptarse al entorno y de esa manera cubrir los requerimientos de IoT, *BigData*, BYOX, Conectividad 5G/6G, teletrabajo, *streaming* de video masivo, realidad virtual, entre otros.



**Figura 1-6 Redes Basadas en la Intención.**  
 Recuperado de (Cisco Systems, 2019)

Debido a que las redes requieren de un mejor entendimiento del contexto para generar visibilidad total y demás funciones importantes en las redes actuales, la importancia de los datos toma un nivel superlativo y con ello, el avance en el proceso de digitalización va de la mano de esa evolución.

La digitalización da una importancia relevante a los datos, es más, todo elemento que forma parte de una red podrá generar algún tipo de información.

Según Juniper Networks, el tráfico de datos se incrementará en 9.6 veces para el año 2025, conectando una cantidad de más de 30 billones de dispositivos para el 2020-2021 y cerca de 80 billones para el 2025 (Wexler, 2016). Más que seguro, esa expectativa se quedará corta debido a los requerimientos de conectividad generados por la pandemia COVID-19.

Por otro lado, la transformación digital va más allá de la digitalización, pues no solo es una nueva tendencia tecnológica, es en realidad una estrategia empresarial y cambio cultural muy rentable que involucra a la innovación de los mercados y giros de negocio, pensando en el beneficio de los usuarios finales y de la empresa.

Bob Parker, vicepresidente de *IDC Research*, indicó que al menos el 55% de las organizaciones usarán plataformas tecnológicas digitales, las mismas que habilitarán nuevos productos y servicios digitales, impactando enormemente en las Tecnologías de la Información mundial. (Parker & Shawn, 2018). En dicho evento de IDC, se llegó a la conclusión que, soportado por plataformas tecnológicas móviles-sociales, junto con analítica y *cloud*, la transformación digital representa una oportunidad de redefinición de la experiencia de clientes, logrando nuevos niveles de productividad empresarial.

Gracias a la digitalización, los datos pueden ser fácilmente accesibles a través de diversas plataformas, equipos e interfaces. Ahora es momento de dar valor e importancia a cada uno de esos datos generados, provocando así una gran rentabilidad y nuevas plazas de trabajo.

Ejemplos claros de que la digitalización es el nuevo "oro negro" de la economía, son las grandes empresas que basan su rentabilidad en el uso de los datos de sus clientes con el fin de entregar un servicio, tal como se aprecia en la *Figura 1-7*.

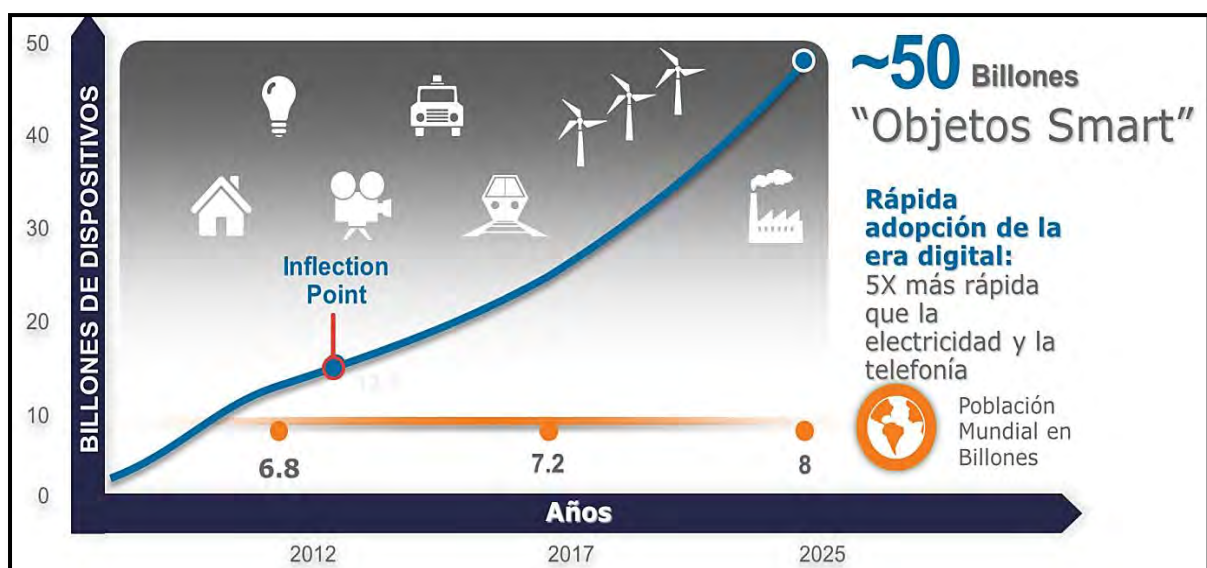


**Figura 1-7 Transformación Digital.**  
Recuperado de (Boorsma, 2016)

Para llegar a la digitalización y transformación digital, IoT tiene un sitio especial, pues está modificando la vida del ser humano, así como del mundo empresarial también, razón por la cual es mencionado y analizado en esta introducción.

Si bien existen muchas definiciones para el Internet de las Cosas, la más adecuada es la que se acuñó por Kevin Ashton en 1999. Ashton mencionó que IoT se refiere a la interconexión digital de objetos simples que se encuentran en la cotidianidad. Ashton realizó las primeras pruebas e investigaciones empleando etiquetas de radio RFID, dando así el primer paso para redes D2D (*Device-to-Device*) y M2M para el sector industrial.

Se tiene la idea de que cada persona está rodeado de entre 1000 a 5000 objetos que podrían conectarse y según una investigación de *ABI Research*, para el 2020 habrá más de 30 billones de cosas conectadas a Internet (*ABI Research*, 2013), tal como se mencionó anteriormente.



**Figura 1-8 Adopción de Internet de las Cosas (IoT)**  
Fuente: Autor

A pesar de ser clara esa definición, IoT ha tenido aplicaciones que van más allá de M2M o D2D, en realidad, hoy se incursiona en la programabilidad y en el valor de los datos, por lo que el IoT moderno trata de la interconexión de Personas, Objetos, Datos y Procesos automatizados.

Según (Salazar, Venegas, Baca, & et-al, 2018), la Industria 4.0 no es solo alta tecnología, comunicaciones M2M y digitalización, pues además representa una manera de diseñar e implementar procesos dentro de la compañía, procesos que deben estar acompañados de una adecuada analítica y capacitación del talento humano y es ahí donde *BigData* o MacroDatos toma importancia, cambiando el contexto a "Mutación Digital".

*BigData* es un término muy escuchado y se refiere a la adquisición y procesamiento de un gran volumen de datos, ya sean estos estructurados o no estructurados, los cuales se generan tanto de nuevas tendencias tecnológicas como la Digitalización, IoT, o de la automatización de procesos convirtiéndolos en inteligentes, así como de procesos digitalizados tradicionales también.

La importancia de *BigData* radica en brindar valor a estos datos recolectados más que únicamente a la masividad de información que procesa.

Si bien es cierto que el almacenamiento y procesamiento de datos es un término que proviene de algunas décadas atrás, *BigData* es un concepto relativamente nuevo, pues se lo acuñó gracias a los trabajos e investigaciones realizadas por Doug Laney en los primeros años de la década de los 2000s, dándole características básicas como las denominadas y bien conocidas tres Vs:

- **Volumen:** La masividad de datos es quizá la característica que hace reconocido a *BigData*, pues en efecto es así. Empresas, industrias, procesos y las actividades cotidianas del ser humano generan una gran variedad de volúmenes de datos de diversas fuentes, tanto de eventos transaccionales como información de uso de plataformas en línea, tendencias que ocurren en redes sociales, transacciones bancarias o también datos provenientes de comunicación D2D, P2M y M2M en procesos industriales o soluciones IoT. En el pasado, almacenar y procesar esta cantidad de datos hubiera sido un problema, pero hoy en día, con la creación de aplicaciones y el avance tecnológico para tratar este volumen de información tan grande han disminuido estas dificultades, un caso muy relevante es el del *Framework Hadoop*, cuya creación está íntimamente relacionada con la necesidad que tuvo Google de procesar e indexar la inmensa cantidad de información que posee años atrás y lo bueno de esta aproximación, es el hecho que nació en un entorno de software libre para *BigData*.
- **Velocidad:** Los flujos de datos que se adquieren en este tipo de implementaciones llegan con una velocidad muy grande, esto gracias a que muchos (la mayoría) de procesos son entornos reactivos en tiempo real, lo que implica que los procesos, por ejemplo, industriales o IoT, una vez que se capta el flujo, se debe tomar una decisión o realizar una acción mediante un actuador. Sistemas considerados *Real-Time*, son recurrentes en el mundo *BigData*.
- **Variedad:** En cada uno de estos flujos, los datos vendrán en diversos formatos, desde no estructurados, estructurados provenientes de una base de datos tradicional, datos numéricos, textuales hasta datos transacciones de servicios TCP o UDP.

Las empresas del futuro usarán todas estas herramientas para sostener sus negocios. Se mencionó la existencia de empresas que lo entendieron desde muchos años atrás y hoy dominan el mercado (*Figura 1-7*), pero ¿En realidad estas empresas son producto de una evolución progresiva o son mutaciones instantáneas que vieron su oportunidad en el mundo digital? La respuesta a esa interrogante planteada en (Gómez, 2017) la dio Aileen Lee, quien acuñó a este tipo de negocios denominados “Unicornio”, como aquellas que lograban superar el valor de USD\$1000 millones de dólares en sus etapas de levantamiento de capital, naciendo no como una evolución natural de empresas tradicionales, sino producto de una disrupción. Ejemplos existen en Netflix, MercadoLibre o Airbnb, quienes no nacieron de la evolución de Blockbuster, del comercio y de las cadenas hoteleras respectivamente, sino como un nuevo negocio basado en tecnologías disruptivas, que, en época de pandemia, incluso deben seguir innovando si no quieren desaparecer.

Según (Gómez, 2017), el secreto para que las empresas tradicionales triunfen, radica en desarrollar modelos de negocio innovadores que les permita competir con empresas que nacieron en el mundo digital.

El fundamento para la transformación digital en las empresas está en la evolución de su infraestructura de comunicaciones, una red digital enfocada a la programabilidad, simplicidad e inteligencia, red *Open-Source* que rompa los paradigmas tradicionales y justamente esas son, los pilares de las Redes Definidas por Software.

## 1.4 Estructura de la Tesis Doctoral

Una vez familiarizado con el contexto tecnológico y evolución de las redes de comunicaciones hacia las Redes programables y Definidas por Software (SDN), se plantea la estructura de la presente tesis doctoral, cuyo contenido se describe de la siguiente manera:

### Capítulo I: Introducción

En este capítulo se define el estado del arte de las redes de información y datos, así como su impacto en la transformación digital, dando soporte a los nuevos requerimientos de los usuarios y empresas de siglo XXI. De la misma manera, se plantean los objetivos y aporte de la investigación de la presente tesis, junto con las publicaciones científicas realizadas por el autor en el marco del tema propuesto.

### Capítulo II: Fundamentos de las Redes Definidas por Software

Se expone la conceptualización, beneficios, impactos en la industria, arquitectura, componentes básicos y tipos de controladores de una Red Definida por Software comparándolas mediante KPIs (indicadores de desempeño), además de entender la importancia de las APIs en el contexto amplio SDN, partiendo de la evolución en Eras del *Networking*, hasta el concepto de *OpenSDN*, *NG-SDN* y programabilidad en *hardware abierto* con Lenguaje P4.

Se define el concepto de *NetDevOps* y se plantea la necesidad de la programabilidad en las Redes Definidas por Software, así como el uso de *Frameworks* abiertos y de herramientas desarrolladas en *Python* que permitan que las redes tradicionales puedan convivir con las redes de nueva generación.

Finalmente, se plantea la relación de SDN con IoT, *Cloud Computing* y la Digitalización, para con ello entender el ecosistema SDN.

### Capítulo III: Redes Híbridas: Infraestructura tradicional y SDN

SDN vista desde un entorno de túneles inteligentes y programables se plantea en este capítulo, solución aceptada en el mercado y desplegada en implementaciones de redes en la actualidad. Se define a *SD-Access*, *SD-DC* y *SD-WAN* junto con su integración a las redes tradicionales, teniendo a MPLS-LDP como punto de evolución en las redes de transporte de nueva generación y a VXLAN, LISP y *MPLS-Segment Routing* como tecnologías a implementar en el presente y futuro en los ISPs y DCs.

Se conceptualiza a SD-WAN Viptela como una solución práctica y efectiva. Se determina mediante PoCs su factibilidad de uso e implementación.

## Capítulo IV: Simulación/Emulación de Redes SDN Híbridas

En este capítulo se emularán varios entornos en forma de PoCs (Pruebas de Concepto), entre ellos: *Segment Routing*, LISP como parte del entorno *SD-Access*, VXLAN bajo un ambiente programable con *Ansible*, así como una infraestructura SDN mediante Mininet, *Open Virtual Switches* (OVS) y dos tipos de controladores externos (*OpenDayLight* y ONOS). Previamente se dará una breve explicación de las herramientas de emulación usadas, así como de los controladores, máquinas virtuales y aplicaciones de programabilidad utilizados.

Para finalizar el capítulo, se desarrollan dos PoCs de ambientes modernos y comercialmente viables: SD-WAN Viptela y NG-SDN basado en ONOS, *switches Stratum* y controlador ONOS bajo programación del plano de datos en P4.

El análisis de factibilidad, capturas de tráfico y estudio de protocolos e intercambio de mensajes se generó dentro de cada PoC.

## Capítulo V: Implementación de una Red Prototipo SDN

El capítulo V plantea una topología física real SDN empleando elementos como *Switches OpenFlow* y *OpenHardware* (*Northbound Zodiac FX* y *Zodiac WX*) para redes cableadas e inalámbricas, así como controladores virtualizados (*RYU-FlowManager* y *Aruba VAN SDN Controller*), planteando de esa manera infraestructuras SDN mediante dispositivos que se pueden encontrar en una red SMB (*Small-Medium Business*).

Los resultados de capturas de tráfico y pruebas de factibilidad se exponen al final del capítulo.

## Conclusiones de la Investigación

Se exponen las conclusiones del presente trabajo investigativo una vez se ha pasado por planteamientos teóricos e investigación científica del tema, contrastando la teoría con la práctica mediante distintos métodos de experimentación, tanto en entornos emulados como físicos.

## Estudios Futuros

Con el fin de cerrar el estudio de Infraestructuras SDN y su interacción con las redes tradicionales, se propuso los siguientes tópicos relevantes: Empleo de aplicaciones de Inteligencia Artificial para el monitoreo y visibilidad de una red SD-WAN masiva tipo *ThousandEyes*; comprensión del entorno SASE para controlar niveles de riesgos en ciberseguridad; y finalmente solucionar el problema de la Colocación de sedes distribuidas en ambientes *multicloud* (*CoLocation*) en entornos SD-WAN con tecnologías similares a *Cloud-OnRamp*.

## Acrónimos

Se enlistan los acrónimos utilizados en la presente tesis doctoral.

## Bibliografía

Se enlistan los libros, artículos y revistas científicas, así como memorias, páginas web y blogs de relevancia en el ámbito tecnológico empleados en el presente trabajo doctoral.

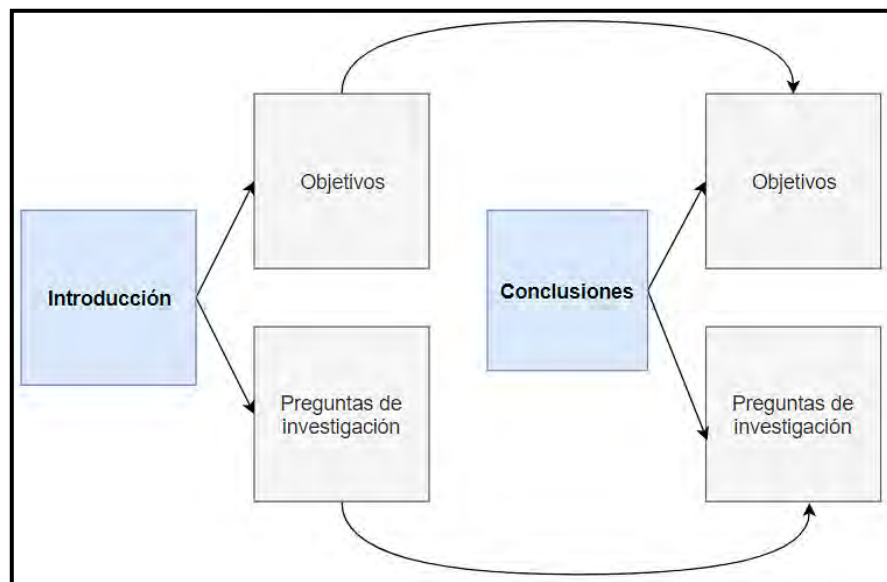
## Anexos

Este trabajo investigativo cuenta además con ocho (8) Anexos teórico-prácticos, mostrando documentos, métodos, programación e instrumentos investigativos en general, los cuales se usaron y/o crearon para sustentar el desarrollo de tesis doctoral.

Entre los anexos están:

- **Anexo A: Formatos y Estructuras de Datos para *NetDevOps* (JSON, YAML y XML)**
- **Anexo B: Guía de Instalación GNS3-VM, EVE-ng y Mininet**
- **Anexo C: NETCONF en la Práctica**
- **Anexo D: Ansible para entornos *NetDevOps* en infraestructuras de Red: VXLAN**
- **Anexo E: Pruebas de Concepto de Netmiko y Napalm - Telemetría**
- **Anexo F: Scripts para la Implementación de PoC NG-SDN**
- **Anexo G: Proceso de Instalación de SDWAN Viptela en EVE-ng**
- **Anexo H: Entrada en Funcionamiento de *Zodiac FX* y *Zodiac WX* - SDN en infraestructura física con *Aruba VAN SDN Controller* y *RYU-FlowManager***

Cabe decir que para llegar a las conclusiones de la investigación doctoral, se siguió el flujograma planteado a continuación, junto con el método científico y heurístico para comprobar la factibilidad de uso de las tecnologías mencionadas a través de pruebas de concepto con emuladores de grandes prestaciones e implementación de un prototipo con equipos físicos.



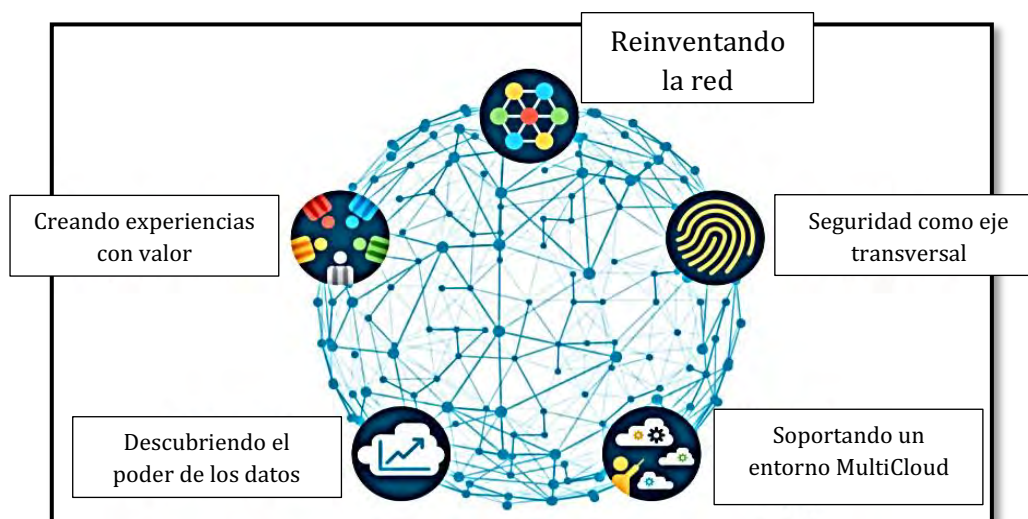
**Figura 1-9** Flujograma conclusiones de tesis doctoral – Método Científico Circular y heurístico  
Fuente: Autor

## Capítulo 2

# 2 Fundamentos de las Redes Definidas por Software

**H**oy en día se considera a SDN un tópico tecnológico de moda, ya que prácticamente todas las implementaciones de redes de estos últimos años abarcan alguna variante del concepto *Software-Defined*.

Lo más interesante de esta evolución en las redes es que si bien ya tiene algunos años tratando de darse un lugar en las infraestructuras y en muchos casos, logrando posicionarse de una manera muy adecuada en el mercado del *networking* empresarial, no existe en sí una definición única para SDN pues aún depende del fabricante que lo despliegue, sin embargo, en todas las definiciones está la búsqueda de mejorar patrones de rendimiento, seguridad, enfocado a la nube y visibilidad usando el *Internet-Fabric* como medio de transporte, reinventando de esa manera las redes de datos y comunicaciones.



*Figura 2-1 Reinventado la red con SDN, AI y ML (Machine Learning).  
Recuperado de (Cisco Systems, 2018)*

### 2.1 Definición de SDN: Conceptualización, beneficios y posibles impactos en la Industria

Los negocios necesitan de una renovación en sus infraestructuras de comunicaciones con el fin de:

- Tener redes inteligentes y con ello tomar mejores decisiones que beneficien al negocio.
- Mejorar la postura de seguridad y brindar visibilidad y control total de la red. La Seguridad es una parte fundamental de toda estrategia de digitalización. A medida que la conectividad extrema avanza, la exposición a riesgos y amenazas aumenta también. En base a un estudio de (Oracle, 2017), el costo promedio global de la violación a la seguridad de los datos llegó a \$USD3.62 Millones de dólares en el 2017 y en el 2020

llegó a \$USD3.86 Millones de dólares según IBM (IBM, 2020), lo que implica un crecimiento sostenido.



**Figura 2-2 Impacto económico en la Seguridad de los Datos**  
*Recuperado de (Cisco Systems, 2018)*

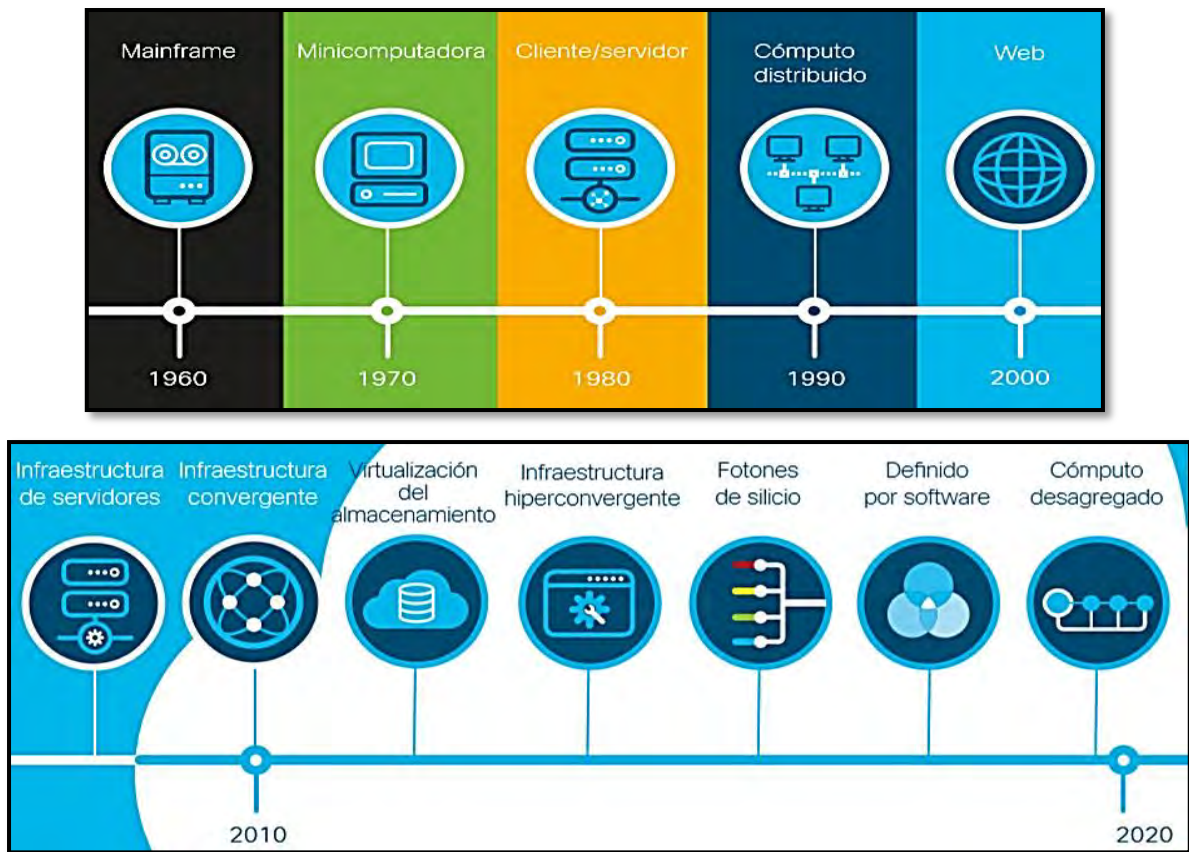
- Enriquecer la experiencia del usuario de las redes, dándoles comunicaciones transparentes, bajo demanda y con niveles de QoS claros.
- Transformar procesos y modelos de negocio, aumentando con ello la productividad y efectividad, por ejemplo, al permitir que aplicaciones soliciten dinámicamente recursos y servicios a la red.
- Contratar, retener y empoderar talento humano mejorando el comprometimiento, desarrollo en innovación y creatividad (*DevOps* y *NetDevOps*).
- Otorgar a las infraestructuras de red un enfoque holístico y clave para el crecimiento empresarial, reduciendo OPEX y simplificando su despliegue e implementación.

La evolución de las redes y del cómputo, tal como lo vimos antes, ha progresado rápidamente en los últimos años. Según (Forbes, 2017), el año 2017 fue el inicio de un ascenso meteórico de la tecnología, tanto en campo de SDN, AI y ML, jugando un rol primordial en la transformación digital, donde entornos abiertos, *open-source* y *open-hardware*, así como el crecimiento y avances en el uso del *Cloud* han transformado el entorno de producción, almacenaje y procesamiento de datos, abaratando costos, mejorando el *performance* y dando lugar a *BigData*.

En el pasado, sistemas inteligentes requerían mucho poder computacional que en el momento era extremadamente costoso conseguirlo, pero con el avance de la ciencia y tecnología, evolución de la Informática, mejora en los CPUs, GPUs y *Cloud/Fog Computing* han reducido el precio y dificultad de contar con ese poderío informático requerido (*Figura 2-3*).

Entornos colaborativos tanto del sector público como privado, universidades, compañías y gobiernos están fomentando estos cambios revolucionarios en las comunicaciones y campos de las Tecnologías de la Información.

Debido a la ubicuidad de las redes de comunicaciones, (Ransbotham, Kiron, & Gerbert, 2017) indican que el 84% de los ejecutivos aceptan estos cambios y deben prepararse para tomar una ventaja competitiva.



**Figura 2-3 Evolución de la Infraestructura de Cómputo**  
 Recuperado de (Cisco Systems, 2019)

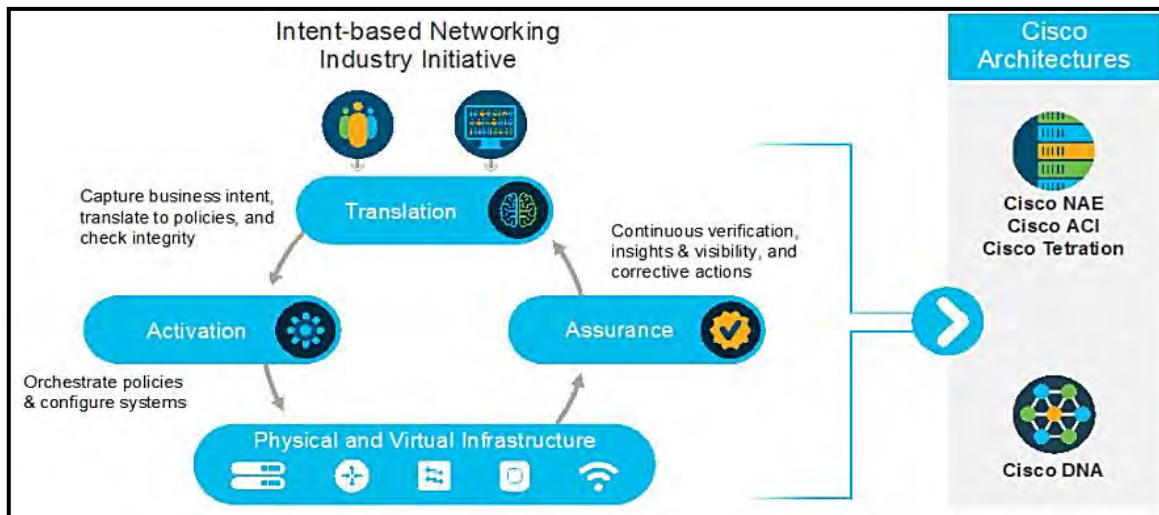
Contar con una red que sea ágil, programable, rentable, segura e inteligente es un requerimiento y entender a SDN, siendo este cambio tecnológico el puntal de esta migración, toma una relevancia muy grande. Ya desde inicios del 2017, se realizaron predicciones indicando el impacto económico en las industrias que no realicen transformaciones digitales en sus negocios. Para el 2020, los negocios e industrias que sean innovadoras tomarán \$USD1.2 Trillones de dólares de aquellas que no lo sean (McCormick, 2016). Con la pandemia esa cifra sería aún mayor.



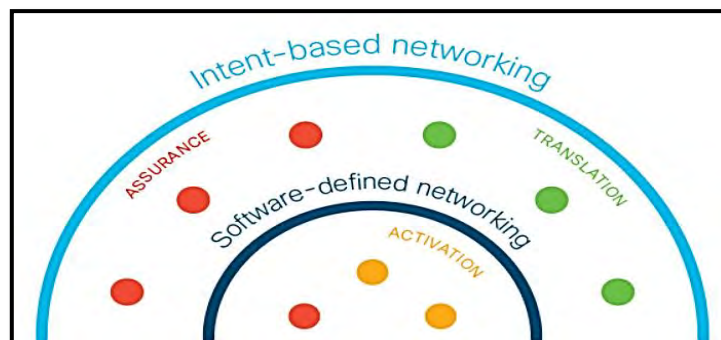
**Figura 2-4 Impacto económico en la falta de Innovación**  
 Recuperado de (Cisco Systems, 2018)

SDN se encuentra en una etapa de estandarización, proceso importante para su desarrollo y así cubrir los requerimientos en la era de la digitalización.

Para Cisco Systems, SDN se implementa mediante el modelo de *Intent-Based Networking*, donde la escalabilidad, automatización a través de programabilidad, visibilidad centralizada y optimización de las redes tanto de infraestructura o *Enterprise*, DC y *Cloud* público/privado son elementos infaltables (Cisco Systems, 2020).



**Figura 2-5 Intent-Based Networking**  
Recuperado de (Apostolopoulos, 2018)

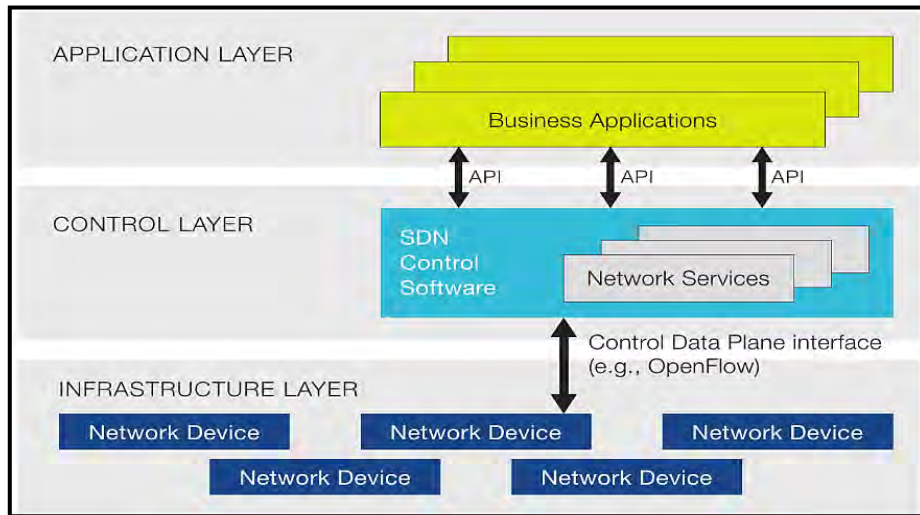


**Figura 2-6 Intent-Based Networking soportada por SDN**  
Recuperado de (Apostolopoulos, 2018)

Otros *vendors* muy relevantes en el desarrollo de SDN como VMWare, se han preparado durante los últimos años para adoptar esta nueva ola de innovación mediante virtualizaciones especiales de la red o NVs (*Network Virtualizations*) ofreciendo maneras de implementar SDN de forma flexible y sin utilizar demasiados recursos, tanto computacionales como económicos. VMWare adquirió Nicira en 2012, uno de los mayores impulsores de la creación de *vSwitches*, desarrollando VMWare NV en forma de contenedores denominándolo VMWare NSX, compañía dedicada a SD-DC (VMWare SDX-Central, 2018).

Por su parte, Juniper (Juniper Networks, 2019), Citrix (Citrix, 2019), Huawei (Huawei, 2019), Cisco Systems (Cisco Meraki SD-WAN, 2019), entre otros fabricantes adoptaron también el concepto de *Underlay-Overlay Networks*, motivando así el despliegue de SD-WAN, concepto que será analizado más adelante.

Debido a esta diversidad de conceptos, la ONF (*Open Networking Foundation*<sup>5</sup>), consorcio sin fines de lucro creado para delinear el camino de los nuevo modelos de negocio e infraestructura, trabajando colaborativamente como una comunidad abierta para consolidar proyectos de desagregación de redes, *White-Box Networks*, así como para establecer estándares que revolucionarán la industria del *networking*, definió a SDN como la separación física del plano de control del plano de datos de un equipo, con el fin de centralizadamente controlar, monitorear y programar varios dispositivos a la vez a través de peticiones/respuestas desde una API.



**Figura 2-7 SDN según la ONF**  
Recuperado de (SDX Central, 2019)

SDN también se relaciona con el uso de equipos abiertos u *Open Hardware*. Un proyecto abierto originalmente lanzado por el equipo de *Open vSwitch (OVS)* en Nicira (ahora parte de VMWare) nombrado *Open Virtual Network (OVN)* se encarga de desarrollar estándares y protocolos agnósticos en esta área, usando APIs transparentes e interoperables.

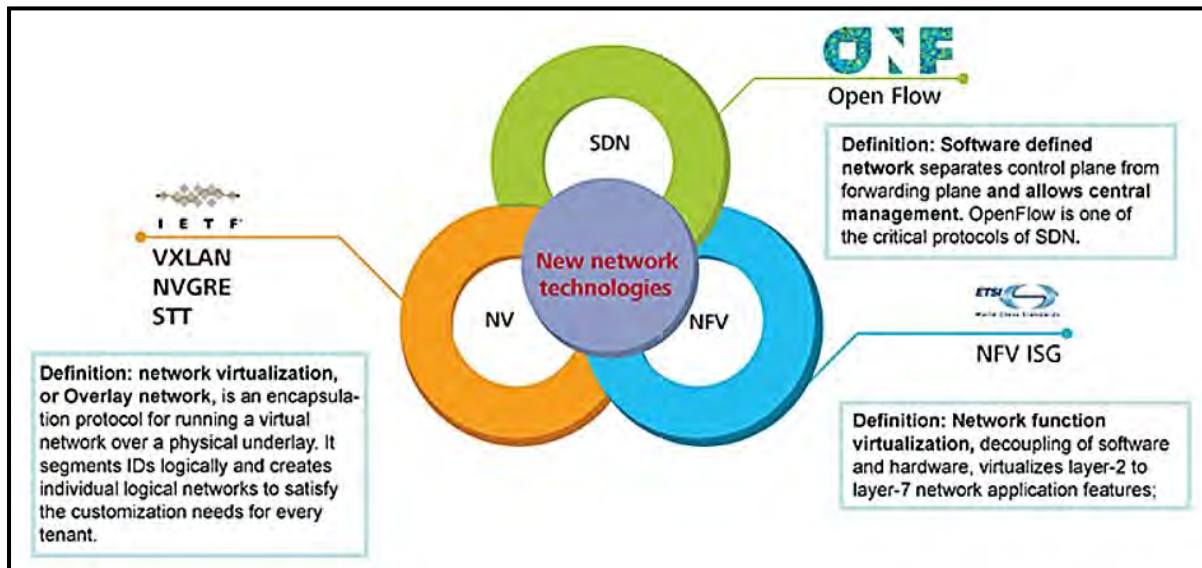
Empresas como Facebook han desarrollado sus propios equipos y *hardware* (Figura 2-8), basando la inteligencia de dichos equipos en la programabilidad abierta y centralizada que entrega el administrador de la red. Facebook denominó esta solución como *Hybrid SDN*.



**Figura 2-8 Open-Hardware de Facebook – 6-Pack /Backpack device**  
Recuperado de (Bachar, 2015)

<sup>5</sup> ONF: <https://www.opennetworking.org/>

Por lo general, equipos de red abiertos o *White-Boxes* corren NOS (*Network Operating Systems*) basados en Linux, un ejemplo sería Cumulus Linux<sup>6</sup>, dando una mejor adaptación a entornos virtualizados en *DataCenters* que tengan VXLAN, *Segment Routing*, etc. Una de las ventajas de esta aproximación, es que, al ser protocolos abiertos, no dependen de un fabricante para implementar una infraestructura (Solución *Open Source* u *Open Networking*).



**Figura 2-9 SDN: Aproximaciones y Conceptos**  
Recuperado de (H3C, 2019)

A pesar de que existan muchos conceptos y aproximaciones de SDN, esta tecnología es una realidad, es así como empresas alrededor del mundo están adoptando SDN y sus variaciones.

Las redes definidas por *Software* seguirán evolucionando durante los próximos años, por tal motivo los profesionales en IT deben entender a SDN, desarrollar mejoras y nuevas aplicaciones.

Según (Citrix, 2019), se estima que el mercado de SDN (en especial en el ámbito de infraestructura, Acceso y DC) crezca en más de \$USD12 billones de dólares para el 2022, además, acorde con el análisis de (Dell'Oro Group, 2020), ya para el 2019 el *SDN Market* creció en un 64% comparado con el 2018, siendo Cisco Systems, Silver Peak, Versa, VMWare y Fortinet los cinco mejores SDN-SDWAN *vendors* en el mundo.

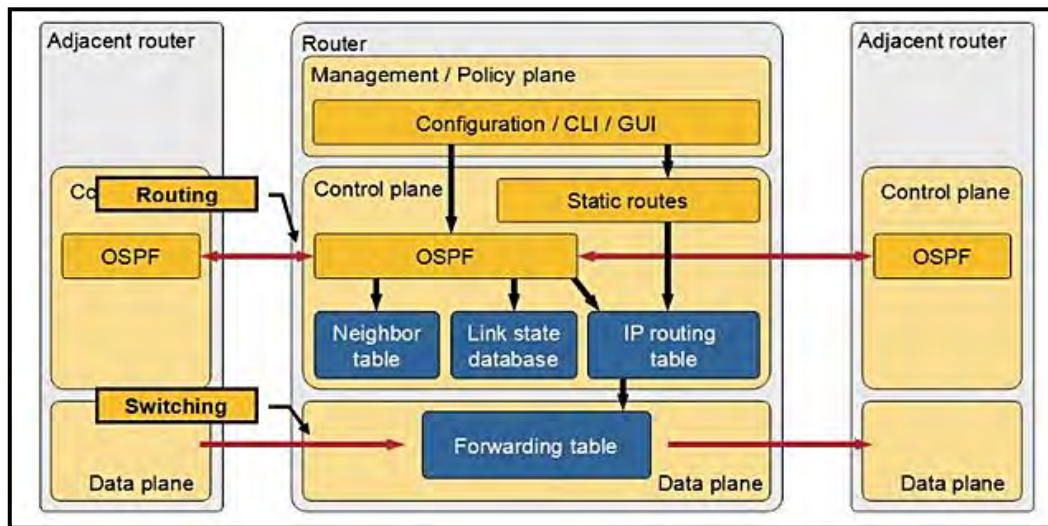
## 2.2 Arquitectura y Componentes básicos de SDN

Con el fin de comprender la arquitectura y componentes básicos de SDN, en primer lugar, se deben definir los planos estructurales de un equipo de red.

Bajo el contexto de las Tecnologías de la Información, un plano estructural de un equipo es el área de operación usada para diferenciar los distintos flujos de tráfico y el uso que se les da.

<sup>6</sup> Cumulus Linux: <https://cumulusnetworks.com/products/cumulus-linux/>

Las arquitecturas de red suelen diferenciar el flujo de datos de usuario de aquellos flujos que sirven para tomar la decisión de reenvío (mensajes de los protocolos de enrutamiento) y aquellos usados para monitorearlos o administrarlos remotamente.



**Figura 2-10 Planos estructurales de un equipo de red**  
Recuperado de (Pepelnjak, 2013)

### Plano de Datos

También conocido como plano de reenvío o plano de usuario (*Forwarding Plane*), es el plano de un equipo de red implementado en *hardware* donde el flujo de datos llega y sale del dispositivo en dirección del destino a través de una interfaz de entrada y salida respectivamente.

El plano de datos se considera el “músculo operativo” del dispositivo de red.

### Plano de Control

A diferencia del plano de reenvío, el plano de control se implementa en *software* (en el CPU del equipo), por lo tanto, no es tan veloz para procesar los flujos de información como lo es el *hardware*.

La función principal de este plano estructural es la de recopilar información de control, por ejemplo, la proveniente de los protocolos de enrutamiento, con el fin de construir la denominada Tabla de Enrutamiento (RIB - *Routing Information Base*), tabla que indica al equipo cuál es la interfaz de salida que debe tomar el flujo de datos proveniente del plano de datos.

De igual manera, el plano de control, además de generar la tabla de enrutamiento, la cual consta de las direcciones de red de destino junto con la interfaz por la que el tráfico debe salir para alcanzarla, la lógica de procesamiento de este plano permite definir ciertos paquetes que serán descartados, filtrados, marcados o priorizados.

En equipos convencionales y en *networking* tradicional, tanto el plano de control y el plano de datos, se encuentran en el mismo dispositivo, muchas veces implementados en el *firmware* de *routers* y *switches*.

El plano de control se considera el “cerebro” del dispositivo de red.

### Plano de Administración

El plano de administración, parte del plano de control, es el encargado de permitir que el administrador pueda configurar los equipos, así como monitorearlos y visualizarlos tanto de forma local como remota. Este plano permite que se pueda ingresar a un equipo de red por sus distintas líneas de acceso (Consola/Auxiliar, Líneas VTY) o empleando protocolos especializados de monitoreo de red (SSH, SNMP).

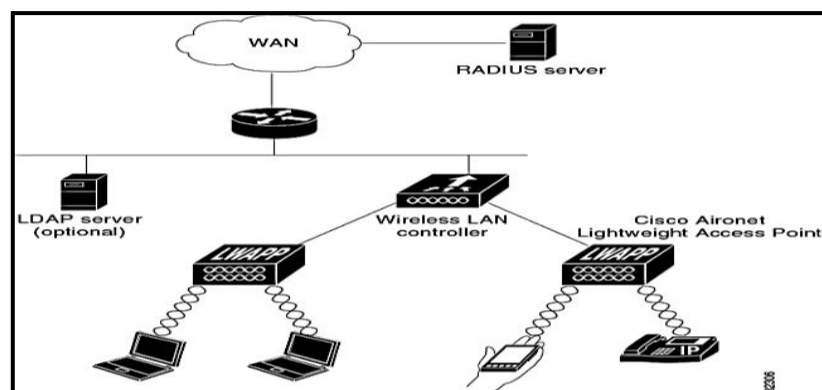
En el caso de las líneas VTY o líneas de acceso virtual, esta forma de ingreso se denomina en banda (*In-Band*) y se da gracias al uso de protocolos como SSH; mientras los puertos de consola y auxiliar, requieren de un cable especial para configurar los equipos, por lo que el administrador debe estar cerca para configurarlo. Esta forma de acceso se denomina Fuera de Banda (*Out-Of-Band* u OOB).

El plano de administración permite tener una interfaz entendible entre los equipos de red y quien debe configurarlos o monitorearlos.

### SDN: Una tendencia Moderna

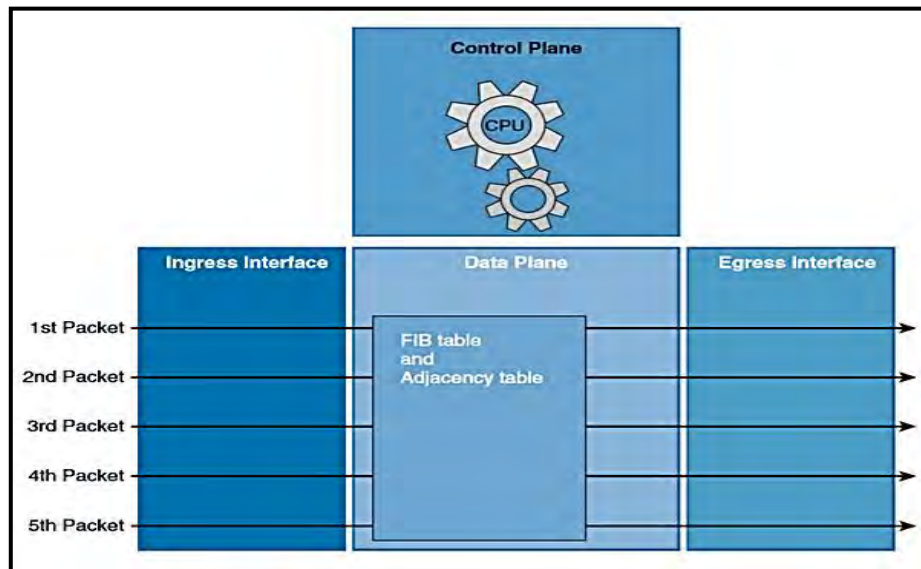
La tendencia moderna es desacoplar el plano de control del plano de reenvío con el fin de centralizar la inteligencia, entregar programabilidad y acceso abierto a los protocolos, dando como resultado, una administración flexible y un envío de datos efectivo, este es uno de los conceptos que tiene SDN, pero llegar a ese punto no fue repentino, los diversos fabricantes de equipos de *networking* han ido adaptando sus sistemas operativos para de alguna manera lograr una separación de estos planos estructurales.

El concepto de la ONF para SDN nació de las redes *wireless*. En un inicio, los APs (*Access Points*) poseían toda su inteligencia de forma distribuida en cada uno de ellos, sin embargo, al crecer el tamaño de la red y la necesidad de instalar más APs con el fin de generar mayor área de cobertura, su integración, monitoreo y administración era más complicada, por tal motivo, se diseñó un entorno con APs ligeros denominados LAPs (*LighWeight Access Points*) pues no tenían un plano de control, encargándose solo de recibir y enviar datos y con un Controlador Wireless o WLC (*Wireless LAN Controller*), encargado de integrar, configurar y generar visibilidad total de la red inalámbrica, es decir, ser el “Cerebro de la Red Wireless”. La comunicación entre los APs ligeros y el controlador *Wireless* se da gracias a CAPWAP (*Control and Provisioning of Wireless Access Points*), protocolo estandarizado en el RFC 5415 en el año 2009, el cual se basó en el protocolo LWAPP (*Light Weight Access Point Protocol*).



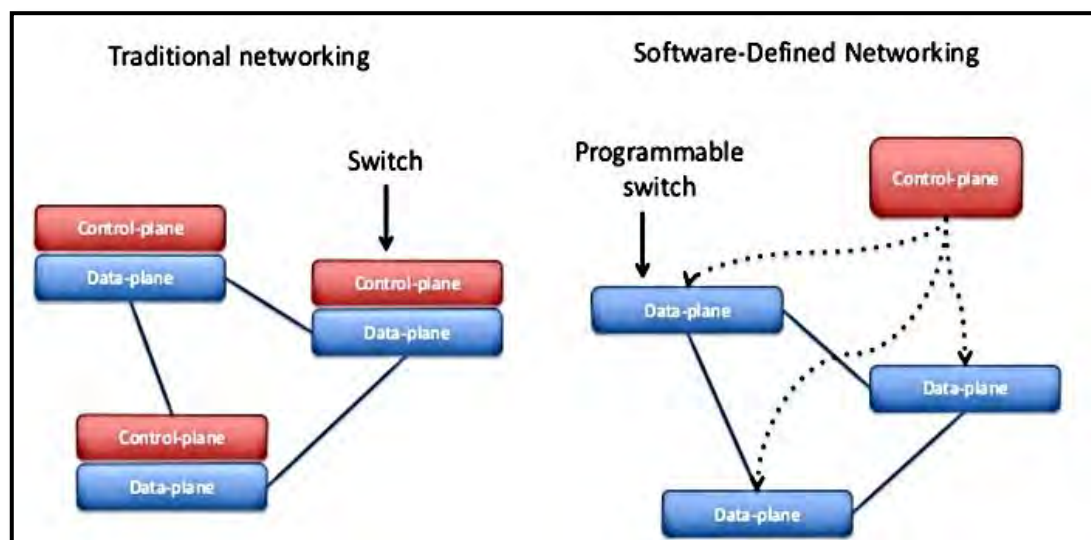
**Figura 2-11 Esquema de Red Wireless con controladora – Split MAC Architecture**  
Recuperado de (Cisco Systems, 2018)

Muchos fabricantes de equipos de infraestructura tanto de *networking* de Campus como de DCs, dieron sus primeros pasos tratando de separar el plano de control del de datos modificando sus sistemas operativos monolíticos. Cisco Systems lo realizó con un tipo de conmutación de paquetes denominado CEF (*Cisco Express Forwarding*), duplicando su RIB (*Routing Information Base*) ubicada en el CPU, en una tabla llamada FIB (*Forwarding Information Base*) almacenada en un caché del plano de datos junto con una tabla de adyacencia similar a la tabla ARP, logrando así una conmutación más rápida al ejecutarse los procesos de decisión de envío a nivel de *hardware*. Este mecanismo fue replicado en otras versiones de Sistemas operativos, tanto de Cisco como de otras marcas.



**Figura 2-12 CEF – Cisco Express Forwarding**  
*Recuperado de (Teare, Vachon, & Graziani, 2015)*

Posteriormente surgió el nuevo paradigma de SDN, donde existe un plano de inteligencia y toma de decisiones centralizado en un Controlador, ante el cual, diversos equipos de plano de datos se relacionan, cumpliendo con ello todo lo que requiere una infraestructura de redes moderna.



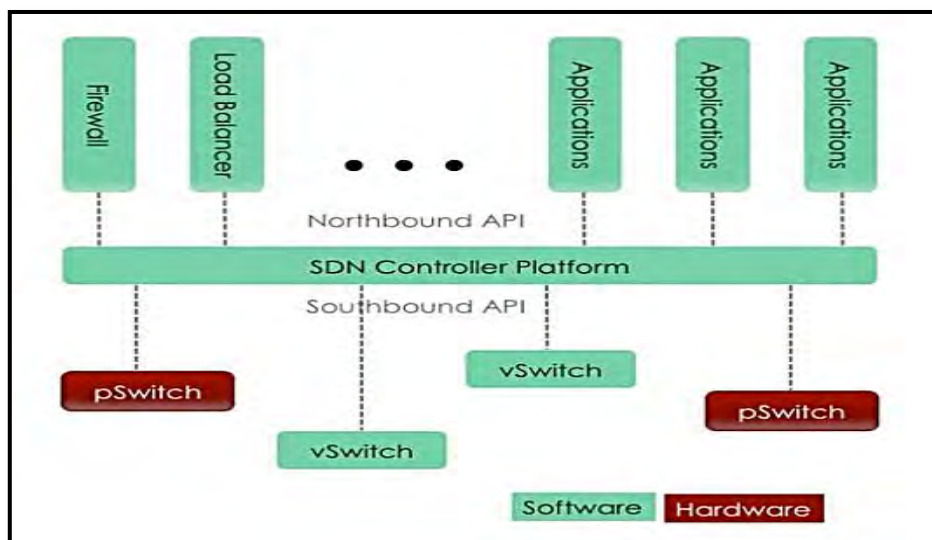
**Figura 2-13 SDN: Nuevo paradigma de las redes**  
*Recuperado de (Capone & Cascone, 2015)*

## Componentes de SDN

Los componentes básicos de una infraestructura de este tipo son:

- **Equipos de Red:** Son los dispositivos que conforman el plano de datos o plano de *forwarding* de la red. En este caso, estos dispositivos carecen de inteligencia y solo poseen rapidez de envío. Cabe mencionar que pueden ser equipos físicos o virtuales.
- **Controlador SDN:** Equipo encargado de dotar de inteligencia a la red. Es el lugar donde se toman las decisiones de envío, se establecen políticas de enrutamiento, conmutación, seguridad, así como políticas empresariales. Conformar el Plano de Control centralizado de la red, es decir, su cerebro. Es posible que el controlador se comunique hacia las aplicaciones, así como hacia los equipos de red usando APIs especializadas.
- **Northbound/Southbound Interfaces:** APIs que permiten la comunicación desde el controlador hacia las Aplicaciones y el Plano de datos respectivamente. Emplean protocolos de comunicaciones estandarizados o propietarios.
- **NOS (Network Operating System):** Sistema Operativo que emplean tanto los Controladores como los Equipos de Red. Pueden ser sistemas operativos abiertos o propietarios.
- **Servicios y Aplicaciones:** Constituyen la Capa de Aplicación del modelo ONF. Pueden ser aplicaciones que emplea el negocio (BSS - *Business Support System*) o aplicaciones que sirven para la operación de la red (OSS - *Operations Support System*) encargadas de dar visibilidad y comunicación con el administrador de la red.

El controlador (Plano de Control), es quien divide los dos tipos de protocolos/APIs que conforman una arquitectura SDN: *Northbound* y *Southbound*.



**Figura 2-14 SDN: Esquematización de SDN: Northbound y Southbound APIs**  
Recuperado de (Guis, 2012)

Tabla 2-1 Interfaces SDN: Northbound y Southbound

Interfaces	Descripción
<i>Northbound (API) Interface</i>	<p>Conjunto de protocolos que permiten la comunicación entre las aplicaciones del negocio y Apps para controlar los equipos de la red y el controlador. Esta API permite que la información de control de la red sea válida para instancias de abstracción mayores, tales como aplicaciones gráficas tipo <i>Front-ends</i> y dar <i>insights</i> a la red.</p> <p>Existen varios protocolos <i>Northbound</i> dependiendo de la infraestructura, por ejemplo, en entornos Cisco Systems se suele usar protocolos tipo REST (RESTCONF); en otros entornos con diferentes controladores como <i>OpenDayLight</i> (ODL) se usan además de RESTCONF, NETCONF o AMQP (<i>Advanced Message Queing Protocol</i>). El principal problema de estos protocolos es la falta de estandarización actualmente, pero entornos <i>Restful</i> son los más usados.</p>
<i>Southbound Interface</i>	<p>Conjunto de protocolos que permiten comunicar el controlador con los equipos que conforman el plano de datos, abstrayéndolos completamente de la Capa de Aplicación.</p> <p>Estos protocolos han tenido un mayor desarrollo en cuanto a la estandarización e interoperabilidad. Un gran ejemplo es <i>OpenFlow</i> (ONF), pero no es el único, existen muchos más como BGP-LS (<i>Border Gateway Protocol - Link State</i>), NETCONF, PCEP (<i>Path Computation Element Protocol</i>), MQTT (<i>Message Queue Telemetry Transport</i>), CoAP (<i>Constrained Application Protocol</i>), entre otros.</p>

Fuente: Elaboración Propia

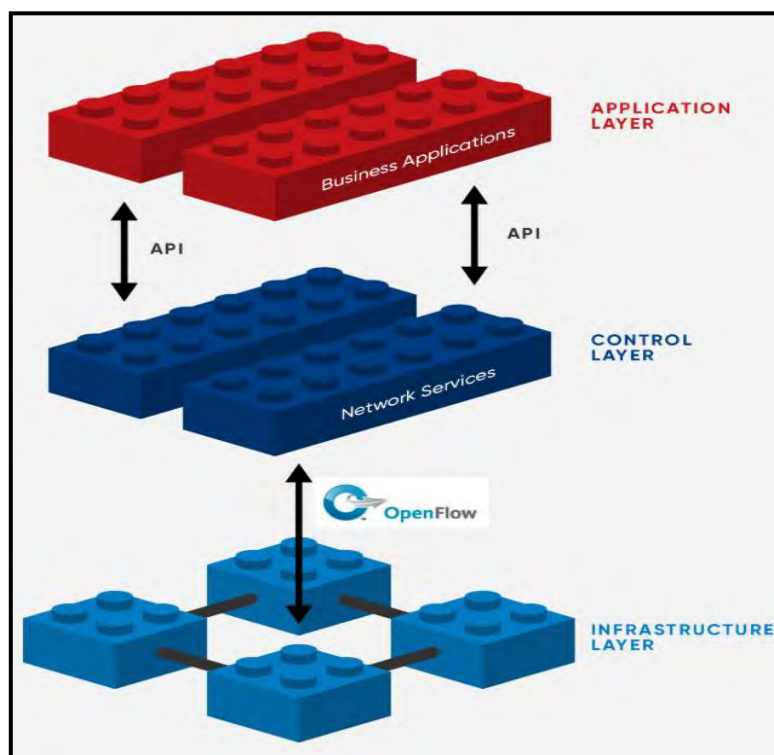


Figura 2-15 SDN: Capas de Aplicación, Control e Infraestructura  
Recuperado de (Open Networking Foundation - ONF, 2020)

## 2.3 Automatización, Orquestación y Programabilidad de las Redes: DevOps y Redes Basadas en Contexto

SDN tiene el objetivo de crear infraestructuras mucho más ágiles, escalables, seguras y flexibles que las redes tradicionales. Uno de los mecanismos para llegar a ello es mediante la “Automatización” y así crear redes programables.

“Si el software va a comerse el mundo, entonces SDN se comerá al networking” fue dicho ya en el 2016 por (Rivenes, 2016). Las redes se han vuelto complejas y una forma de administrarlas adecuadamente es a través de SDN, es más, tal como lo hemos analizado, los usuarios demandan de cambios mucho más rápidos, velocidad que las redes tradicionales monolíticas no pueden satisfacer.

Según (Rivenes, 2016), los principios de SDN llevan las redes a lo que se acuñó como *Infrastructure-as-a-Code* (IaaS o IaC), lo cual permite que la automatización y orquestación sea una realidad, no obstante, IaaS también puede implementarse como una innovación en las redes tradicionales sin necesariamente llegar al punto de convertirla en SDN mediante mecanismos de automatización y programabilidad en redes y así exista una convivencia de redes modernas y de legado.

La Tabla 2-2, según (SDX Central, 2019), se establecen tres casos de uso donde se requiere y se necesita programación en SDN. La mayoría de los casos donde es posible aplicar la automatización y programabilidad es en la comunicación entre el controlador SDN con las aplicaciones y el plano de datos mediante APIs *Northbound* y *Southbound* respectivamente, sin embargo, sin importar donde se aplique, programabilidad adicional en la red llevará a un mejor uso del ancho de banda, mejora en el desempeño, así como a maximizar la eficiencia operacional y control de errores.

Tabla 2-2 Casos de Uso de Programabilidad SDN

Casos de Uso	Descripción/Características
Ajustar flujos de Red	Este caso de uso se enfoca en los protocolos, como <i>OpenFlow</i> , protocolo que será estudiado más adelante, con el fin de permitir la interacción de los controladores SDN con los <i>routers</i> y <i>switches</i> del plano de Datos. Para ajustar y manipular el tráfico en base a alguna política, se debe manipular los flujos en la red SDN, permitiendo así responder bajo demanda y automáticamente a los cambios.
Habilitar <i>DevOps</i> para automáticamente programar la red ( <i>NetDevOps</i> )	El segundo caso de uso planteado va de la mano de la coordinación, automatización y filtraje en una red, con el fin de alinear de mejor manera las necesidades con las aplicaciones que corren en SDN. Con esta característica lo que se busca es extender las capacidades de automatización de los equipos del plano de datos de una forma escalable con el fin de soportar un mayor número de servicios, tal como se encuentra en estructuras de <i>Cloud Computing</i> , lo cual solo es posible con algún tipo de lenguaje utilizado en la creación de APIs y que se permita generar respuestas “ <i>Cross-domain</i> ”. Claros ejemplos de un formato adecuado de datos son JSON ( <i>Javascript Object Notation</i> ), XMPP ( <i>Extensible Messaging and Presence Protocol</i> ) y YAML ( <i>Yet Another Markup Language – Ain’t Markup Language</i> ). <b>Ver Anexo A: Formatos y Estructuras de Datos para NetDevOps</b>

Programabilidad para generar automatización SDN

El último caso de uso muestra la intención de tener redes basadas en contexto, es decir, llevar la automatización al extremo, donde la red emplea AI y ML para tomar decisiones por sí misma.

Fuente: (SDX Central, 2019)

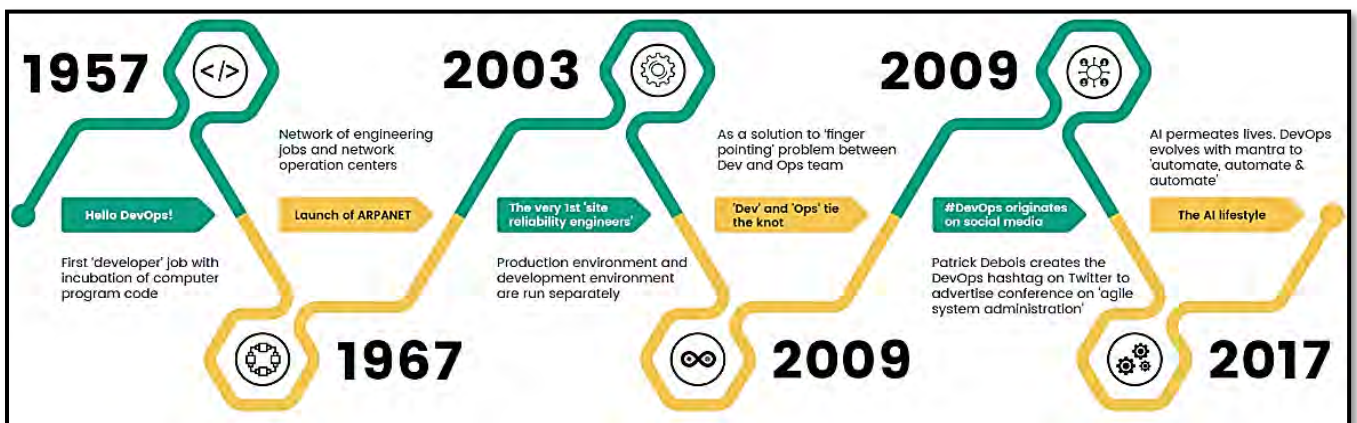
Tomando como referencia a la Tabla 2-2, SDN y *DevOps* no son para nada excluyentes el uno del otro, en realidad, *DevOps* compagina perfectamente en estos entornos.

En el primer caso de uso, se plantea SDN en su forma más simple, es decir, controlar *Hardware* con *Software* abierto, dando lugar a una red flexible y escalable, por ejemplo, mediante *OpenFlow* (u otro protocolo que permita controlar el plano de datos). Este hecho implica que las redes podrán alinearse sin problema con *DevOps* en una forma de *IaaS*, pero ¿Cuál es finalmente la definición de *DevOps*?

*DevOps* se refiere a la orquestación de procesos complejos, interdependientes y asociados con el desarrollo de *software* y las Operaciones en Tecnologías de la Información con el fin de acelerar los procesos de producción y desarrollo de servicios. *DevOps* se trató algún tiempo atrás y nació desde el lado del manejo puro de IT. La *Figura 2-16* muestra la evolución de *DevOps*, comenzando desde el primer código pensado como un desarrollador usando Fortran en 1957.

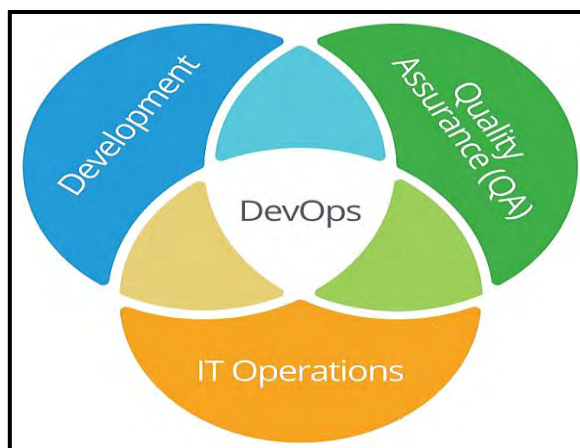
De acuerdo con (Gaurav, 2017), luego del crecimiento exponencial del Internet, en el 2003, Google contrató a Ben Treynor para liderar un proyecto donde se debía mantener estable y funcional una infraestructura por al menos el 99.97%, trabajando de la manera más transparente entre el equipo de desarrollo (*developers*) y el de operaciones (*IT Operations*) para lograr una satisfacción total del cliente. Con esa experiencia, John Allspaw y Paul Hammond, en la Conferencia *O'Reilly Velocity Conference*<sup>7</sup> del 2009, acuñan el nombre *DevOps* para referirse al equipo multidisciplinario, pero totalmente integrado que trabaja en una infraestructura automatizada.

A partir de ese momento, *DevOps* fue tendencia en la forma de implementar infraestructuras en IT, convirtiéndose en un movimiento cultural global que abarca temas de desarrollo, operación, automatización, seguridad, agilidad, pruebas de concepto y pruebas de desempeño, así como de cambio de estructura organizacional empresarial.



**Figura 2-16 Evolución de DevOps**  
Recuperado de (Gaurav, 2017)

<sup>7</sup> O'Reilly Velocity Conference: <https://conferences.oreilly.com/velocity/velocity2009/public/schedule/speaker/24342>



**Figura 2-17 Definición de DevOps**  
 Recuperado de (MeritStep, 2019)

El segundo caso de uso de la Tabla 2-2 está más relacionado al concepto de *NetDevOps* como tal, el cual se definirá a continuación y se establecerán sus diferencias y similitudes con la automatización y programabilidad de la red.

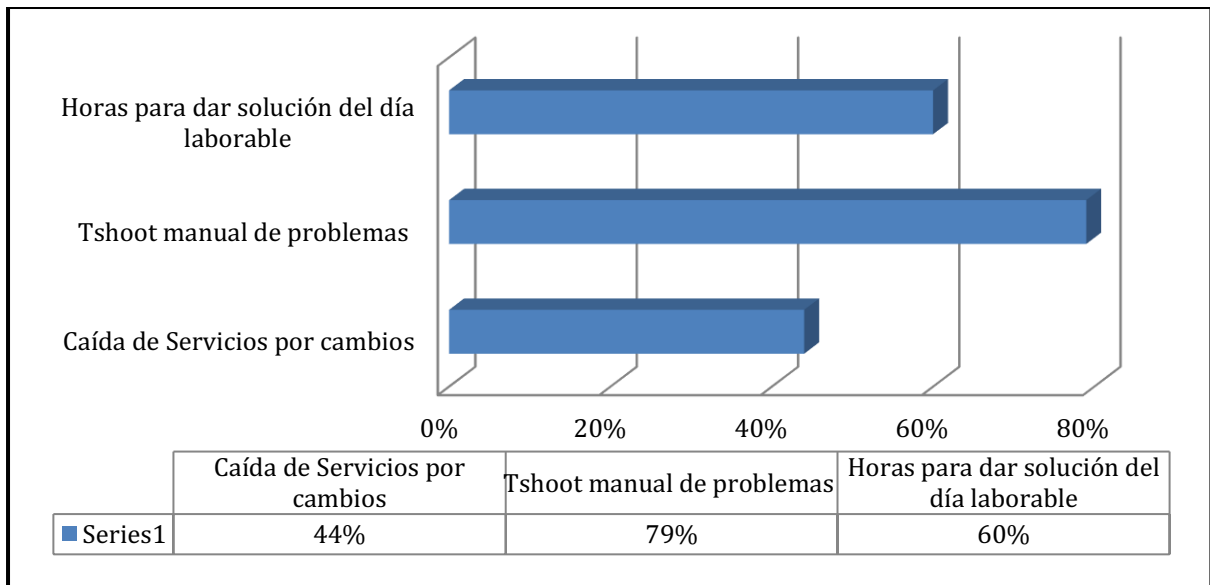
SDN, IaaS y *DevOps* promueven la creación y uso de un conjunto de herramientas para lograr una mayor y mejor adopción de la automatización en las redes.

### 2.3.1 El poder de la Automatización de Redes y NetDevOps

La automatización de las redes ha sido un tópico requerido y anhelado por mucho tiempo, pero debido a su difícil implementación en redes tradicionales, no ha impactado sino en los últimos años. Junto con SDN y un ambiente tecnológico adecuado, de forma natural todo conducirá hacia una automatización en todos los niveles.

Iniciativas tipo IaaS empezarán con los términos “*Dev*” y “*Ops*”, pero, a pesar de que los sistemas operativos estén automatizados y las aplicaciones automáticamente implementadas, la infraestructura de red, en muchos entornos, quizá la mayoría al momento de escribir la presente tesis, son estáticamente definidos y no automatizados, únicamente basados en modelos L2-L3 tradicionales con soluciones propietarias, dando problemas de interoperabilidad, escalabilidad y dificultad de monitoreo.

Partiendo de una investigación de la Revista *Network World* (Bednarz, 2016), se realizó una encuesta a 315 expertos en redes de empresas de tamaño mediano a grande, concluyendo que al rededor del 44% de los cambios que se generan en una infraestructura llevan a algún tipo de suspensión de servicios. La forma más habitual de encontrar y solucionar la red (mecanismo de *Tshoot*), según el 79% de los encuestados es usando CLI (*Command Line Interface*) e inspeccionar la configuración manualmente, quizá usar algún tipo de herramienta de monitoreo SNMP y finalmente *ping* o realizar una traza (*traceroute*). El último dato obtenido de esta investigación fue que el tiempo promedio para dar respuesta a un problema, según el 60% de la población encuestada es de 1 a 5 horas. La *Figura 2-18* resume esos datos estadísticos.

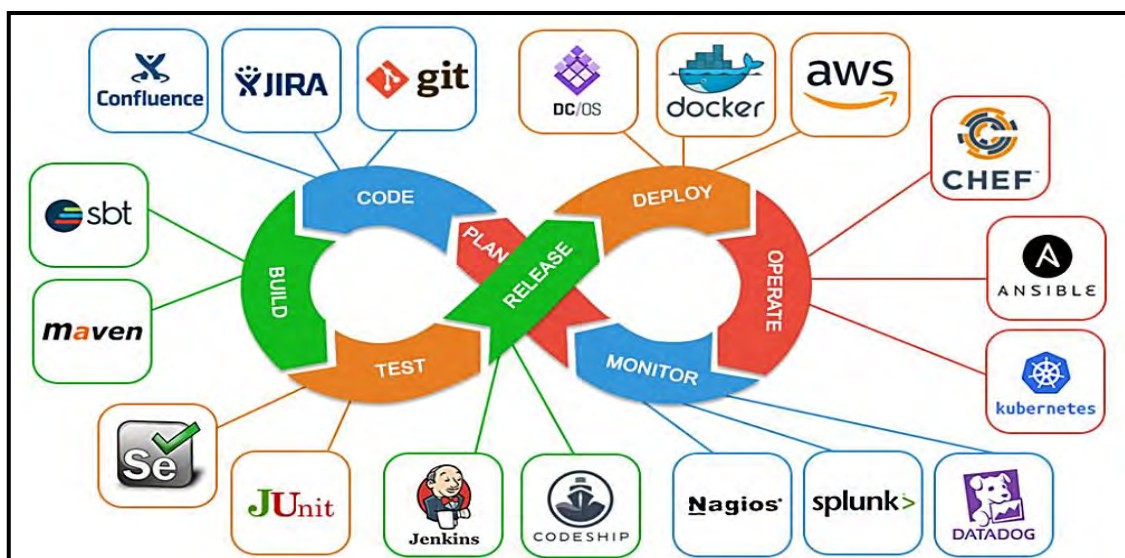


**Figura 2-18 Datos Estadísticos – Cambios y Tshoot de red realizados de forma manual**  
 Basado en (Bednarz, 2016)

Por todos estos motivos, es extremadamente necesario la programabilidad y automatización en la red.

Cabe mencionar que Programabilidad en la Red no es sinónimo de NetDevOps, ya que conocer *Python* y *Ansible*, así como representación de formatos de datos como *YAML* y *templates* tipo *Jinja*<sup>8</sup> son únicamente parte, fundamental eso sí, del conjunto que se denomina *NetDevOps*.

*DevOps* ha permitido el desarrollo de APIs que gestionan de mejor manera la automatización de IT, formando un *pipeline*, estableciendo además fases que constituyen el *development and operations*. Dichas fases, junto con las aplicaciones más importantes en el mundo del *DevOps* se aprecian en la *Figura 2-19*.



**Figura 2-19 Ecosistema, Pipeline y ToolChain de DevOps**  
 Recuperado de (Erdem, 2019)

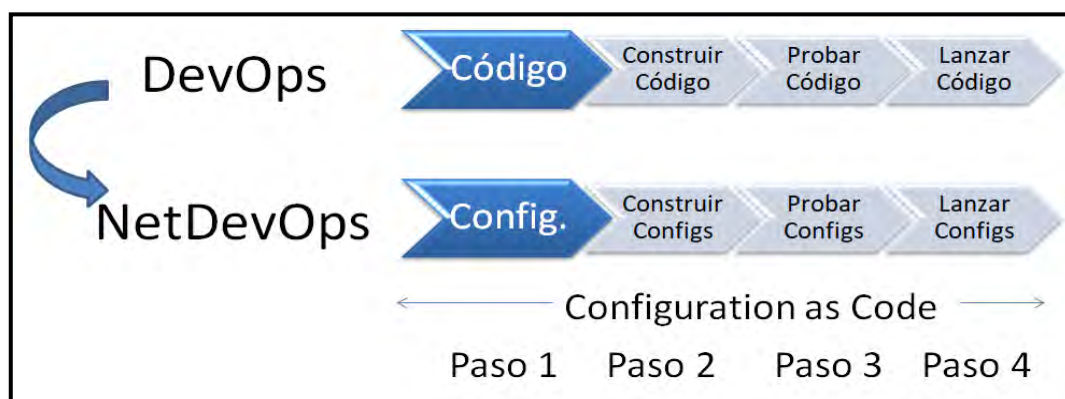
<sup>8</sup> Jinja Template: <http://jinja.pocoo.org/>

*NetDevOps* es traer *DevOps* al *networking*; es así como un ingeniero en *DevOps* asegura la continua entrega del servicio IT, cambiando con ello el aspecto cultural-empresarial, buenas prácticas y herramientas que mejoran la efectividad. Bajo este modelo, tanto el equipo de desarrollo como el de operaciones no están separados, sino se unen en un solo equipo de trabajo, involucrándose en todas las etapas del ciclo de vida de una aplicación e infraestructura, por ello, las habilidades de los profesionales en este campo son variadas, algunas funcionando como eje transversal y llevando a la red a un concepto totalmente holístico.

En el modelo *DevOps*, existen tres prácticas habituales en el desarrollo, implementación y puesta en marcha de un *software*, una de las cuales se analizó en los párrafos anteriores:

- Integración Continua o CI por sus siglas en inglés de *Continuous Integration*: Práctica en la cual los desarrolladores guardan sus códigos en un repositorio central y colaborativo. En ese repositorio se pueden correr pruebas automáticas y gestión de versiones. Ejemplos muy importantes están en Git, Netbox, etc.
- Entrega Continua o CD por sus siglas en inglés de *Continuous Delivery*: Práctica donde los cambios en código son automáticamente enviados a un ambiente de pruebas después de la etapa de construcción (*Build Stage*).  
El término CI-CD de igual manera se emplea para establecer este *pipeline*.
- IaaC o *Infrastructure-as-Code*: Práctica donde la infraestructura es aprovisionada y administrada usando código en oposición a usar CLI, empleando técnicas como CI y CD.

Al tomar en cuenta en este *pipeline* a la infraestructura de red, nace el término *NetDevOps*, el cual no es más que la combinación de programabilidad en la red y más profundo, *Configuration as Code* e IaaC, con la compilación, prueba, entrega e implementación automática de extremo a extremo en la infraestructura empleando APIs adecuadas para el contexto de las redes de datos.



**Figura 2-20 Cambios en una Red según NetDevOps Pipeline**  
Basado en (Afaq, 2018)

El *NetDevOps pipeline* puede dividirse en 4 pasos de ejecución (Fig. 2-20):

- Paso 1: Consiste en crear, verificar, ejecutar y enviar los cambios de configuración a un entorno de pruebas de concepto antes de implementarlo directamente, validando así su comportamiento. Este entorno se lo denomina *devBranch*. Herramientas basadas en Git como *GitHub* y *Ansible* para control de versiones o VCS (*Version Control System*), además de entornos de emulación de redes como Vagrant<sup>9</sup>, Cisco CML - *Cisco Modeling Labs*<sup>10</sup>,

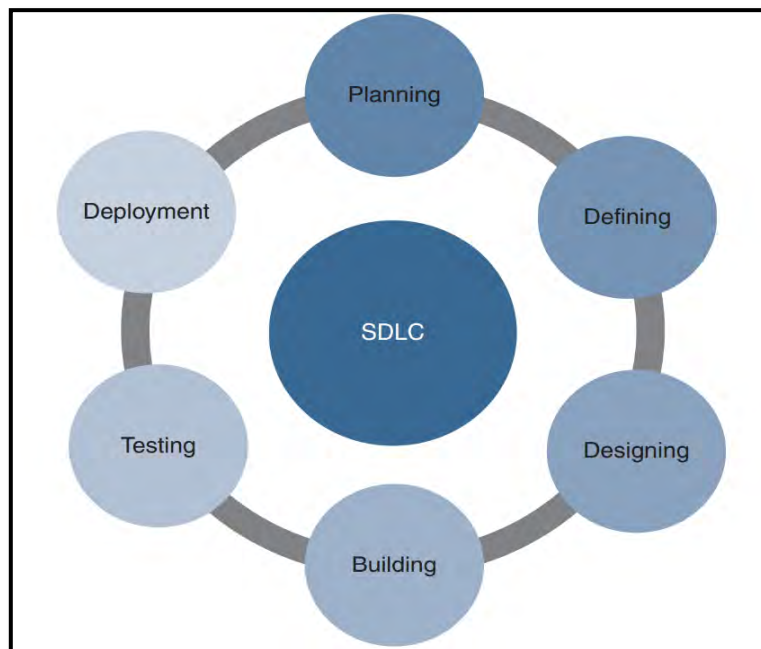
<sup>9</sup> Vagrant: <https://www.vagrantup.com/>

EVE-ng<sup>11</sup>, GNS3-VM<sup>12</sup>, Mininet<sup>13</sup>, entre otros, son muy útiles en este paso, considerado como un *white-box testing* o unidades de prueba de concepto remoto (*GitPush*).

- **Paso 2:** Durante el paso 1, tan pronto como se desarrolló el *devBranch* y *GitPush* en los entornos emulados, se establece una estrategia de prueba en la infraestructura virtualizada, ejecutando todos los cambios requeridos a través de APIs de automatización. En este paso se generan los denominados *testing playbooks*, normalmente establecidos por los departamentos empresariales de QA (*Quality Assurance*).
- **Paso 3:** En este paso, una vez la prueba de concepto ha sido verificada y aceptada, se genera el *masterBranch* de ser posible, es decir, la etapa de la infraestructura demo o pruebas piloto.
- **Paso 4:** Una vez todos los códigos de automatización, programabilidad y monitoreo fueron probados y validados tanto en ambientes virtualizados como en pilotos, es momento de enviar las configuraciones al ambiente de producción, normalmente a través de un Ansible *Playbook* o cualquier API similar.

Los principios de operación detrás de *NetDevOps* se basan en medir el tiempo que le toma a la red en converger si se da un cambio o fallo, así como en el tiempo de implementar nuevamente otra infraestructura modificando los *scripts* definidos y validados en los pasos 1 y 2.

Estos pasos van de la mano con modelos y *frameworks* que han permitido que diversos programas se diseñen e implementen adecuadamente. Entre estos se puede mencionar al definido en la ISO 12207<sup>14</sup> o *Software Development Lifecycle* (SDLC) y sus modelos más importantes como *Waterfall*, *Lean*, *Agile* y *prototyping*.



**Figura 2-21 SDLC – Software Development Lifecycle**  
**Recuperado de** (Jackson, Gooley, Iliesiu, & Malegaonkar, 2020)

<sup>10</sup> Cisco Modeling Labs: <https://www.cisco.com/c/en/us/products/cloud-systems-management/modeling-labs/index.html>

<sup>11</sup> EVE-ng (Emulated Virtual Environment): <https://www.eve-ng.net/>

<sup>12</sup> GNS3-VM: <https://www.gns3.com/>

<sup>13</sup> Mininet: <http://mininet.org/>

<sup>14</sup> ISO/IEC 12207: ISO - ISO/IEC/IEEE 12207:2017 - Systems and software engineering — Software life cycle processes

Con el fin de comprender de mejor manera el mundo de la automatización y cómo es posible contar con un entorno programable en la red, el **Anexo A: Formatos y Estructuras de Datos para NetDevOps**, da un resumen sobre los formatos de datos utilizados en este ecosistema y sus características.

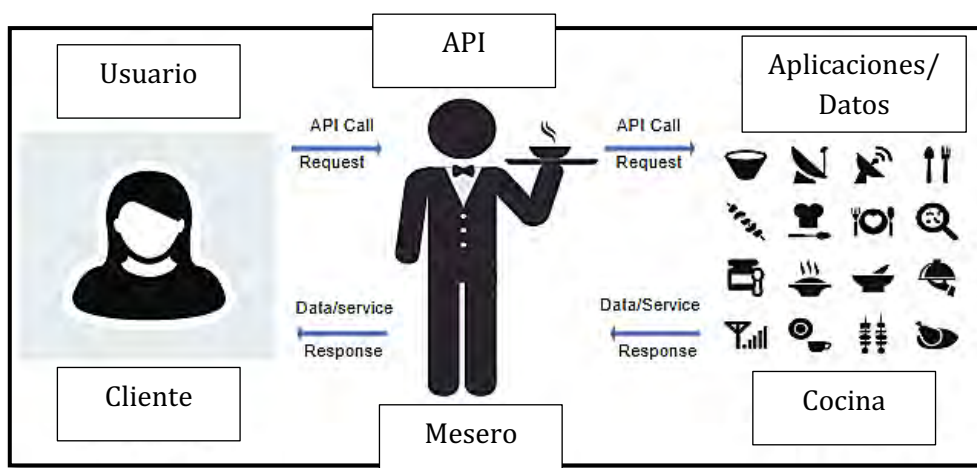
XML	JSON	YAML
<pre>&lt;Servers&gt;   &lt;Server&gt;     &lt;name&gt;Server1&lt;/name&gt;     &lt;owner&gt;John&lt;/owner&gt;     &lt;created&gt;123456&lt;/created&gt;     &lt;status&gt;active&lt;/status&gt;   &lt;/Server&gt; &lt;/Servers&gt;</pre>	<pre>{   Servers: [     {       name: Server1,       owner: John,       created: 123456,       status: active     }   ] }</pre>	<pre>Servers: - name: Server1   owner: John   created: 123456   status: active</pre>

**Figura 2-22 XML vs. JSON vs. YAML**  
Recuperado de (IBM Developer, 2019)

### 2.3.2 Application Programming Interfaces - APIs

Los formatos de Datos son utilizados por distintos dispositivos inteligentes para transferir información relevante y realizar alguna actividad automatizada. La interfaz que permite ese intercambio se denomina API por las siglas en inglés de Interfaz de Aplicación Programable, es así que una definición rápida de API sería un software que permite a otras aplicaciones acceder a sus datos e interactuar con ellos.

Una API permite definir un conjunto de reglas que describen una aplicación y así interactuar con otra. Estas APIs, en el mundo hiperconectado actual, las encontramos por doquier, por ejemplo, AWS (*Amazon Web Services*), Facebook, Google, servicios de aerolíneas para buscar vuelos, búsquedas en servicios de comida a domicilio o distintos entornos IoT utilizan algún tipo de API para interactuar con su entorno. La pandemia de COVID-19, dio un impulso adicional al empleo de APIs, pues también existen para obtener estadísticas en tiempo real de contagios, así como de información referente a ese tema.



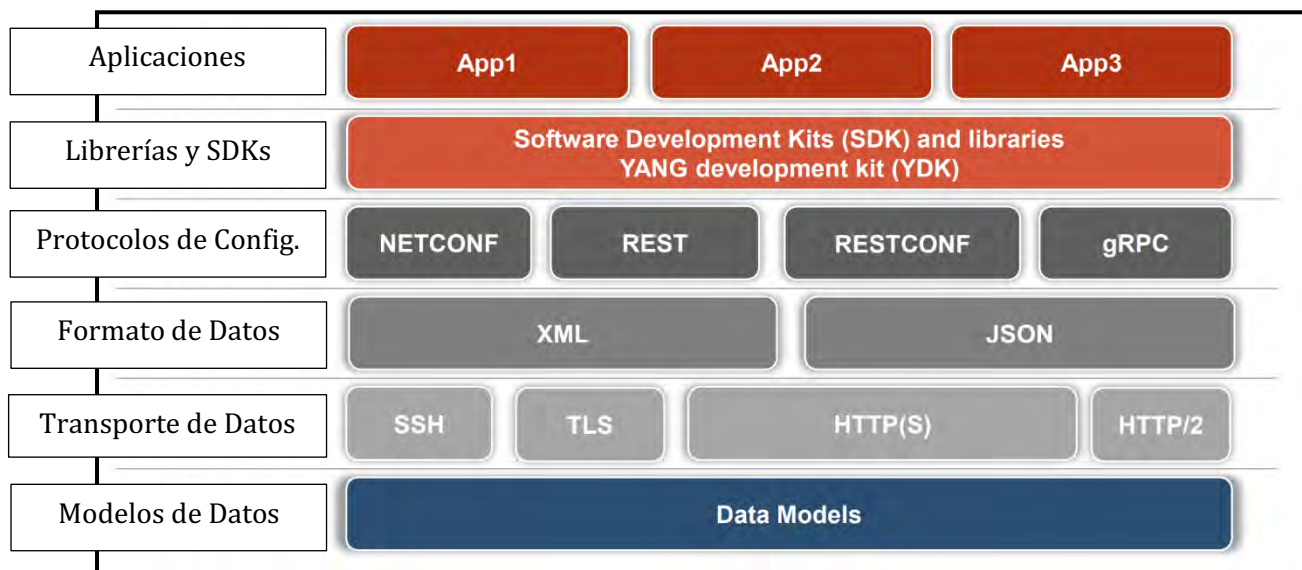
**Figura 2-23 Esquema de un API**  
Recuperado de (Cisco Netacad, 2020)

En base a una explicación excelente sobre APIs dada por (Cisco Netacad, 2020), en la **Figura 2-23 Esquema de un API**, podemos apreciar el funcionamiento de una Interfaz de Aplicación

Programable, el cual sería como un intermediario entre el usuario y el pedido (*request*) de información o interacción con los datos. En dicha figura se hace un símil con un pedido de un cliente de comida en un restaurante a través de un mesero, mesero que funcionaría como API entre el comensal y la comida que está siendo preparada en la cocina.

En esta era de la programabilidad, es necesario visualizar el entorno, el cual, bajo mi criterio está conformado por:

- Formato de Datos que se pueden intercambiar en una infraestructura de red estructuradamente (XML, YAML, JSON)
- Modelos de Datos que permiten estandarizar este tipo de intercambio programático, describiendo al conjunto de datos. El más importante en la actualidad, YANG.
- Mecanismos de transporte seguro entre todos los actores que intercambian datos en el *networking* moderno. Muchas APIs suelen usar SSH, TLS o HTTPS para el intercambio de información, datos y órdenes.
- APIs que sirven como intermediario entre la administración, gestión y el *hardware/software* subyacente, por ejemplo, RESTful – RESTCONF y tipo NETCONF.



**Figura 2-24 Stack para Programabilidad en las Redes**  
*Recuperado de (Roman & Bryan, 2018)*

### Tipos de APIs y su Contexto

Una API puede clasificarse en tres categorías:

- **API de Servicio:** En este tipo de API, una aplicación puede llamar a otra para desarrollar alguna acción, normalmente de forma independiente entre ellas. Ejemplo de esta API sería el pago mediante tarjeta de crédito en una página Web de un comercio.
- **API Informativa:** API que permite que una aplicación solicite información a otra aplicación, por ejemplo, para funciones de telemetría e inventario de equipos en la infraestructura.
- **API de Hardware:** APIs que permiten obtener acceso a dispositivos tipo sensores. Son muy usado en entornos IoT.

Al momento de diseñar o querer utilizar una determinada API, es necesario tomar en cuenta el tipo de acceso también, así como flexibilidad y propiedad de uso, es así como las APIs pueden considerarse de:

- Acceso Público: También denominadas *Open-APIs*, son aquellas que están disponibles para el uso del público en general sin restricciones, de ahí que, muchos proveedores de servicios y de contenidos como *Google Maps* por ejemplo, requieren que los usuarios empleen un *token* abierto para monitorear el uso de las peticiones realizadas. En la cuenta de GitHub *Public APIs*<sup>15</sup>, está una lista ordenada en categorías de APIs abiertas.
- Acceso Interno: También denominadas *Internal-APIs*, son aquellas usadas por una determinada organización con el fin de obtener datos para uso interno. Ejemplos típicos están en la recolección de información estadística de ventas en una empresa.
- *Partner API*: APIs creadas con el fin de mantener información entre una empresa y sus colaboradores y así facilitar el giro del negocio. Este tipo de APIs tuvo un crecimiento grande en época de pandemia de COVID-19 para el envío de comida a domicilio desde una central general de acceso.

Si bien existen diversos tipos de APIs, las APIs que están basados en estándares de servicios Web han tomado relevancia en *networking* principalmente por su ubicuidad y facilidad de aprendizaje.

Un servicio Web es el servicio que emplea la WWW (*World Wide Web*) sobre el Internet para su funcionamiento. Existen cuatro tipos de APIs en este contexto:

- SOAP – *Simple Object Access Protocol* (basado en XML)
- REST – *Representational State Transfer* (basado en mecanismos HTTP)
- XML-RPC – *eXtensible Markup Language – Remote Procedure Call*
- JSON-RPC – *JavaScript Object Notation – Remote Procedure Call*

**Tabla 2-3 APIs tipo Web Services**

	SOAP	REST	XML-RPC	JSON-RPC
Formato de Datos	XML	JSON, XML, YAML, etc.	XML	JSON
Primer Lanzamiento	1998	2000	1998	2005
Característica principal	Estable	Flexible y muy usado	Simple y muy usado	Simple

Fuente: (Cisco Netacad, 2020)

En vista de que SOAP, si bien emplea una estructura tipo XML para intercambiar información sobre HTTP o SMTP desde que fue creado por Microsoft en 1998, es considerado lento y complejo. De ahí nace la idea de desarrollar una API que no requiera del uso de XML, naciendo en ese momento un REST API, el cual usa HTTP, volviéndose una opción popular gracias a su

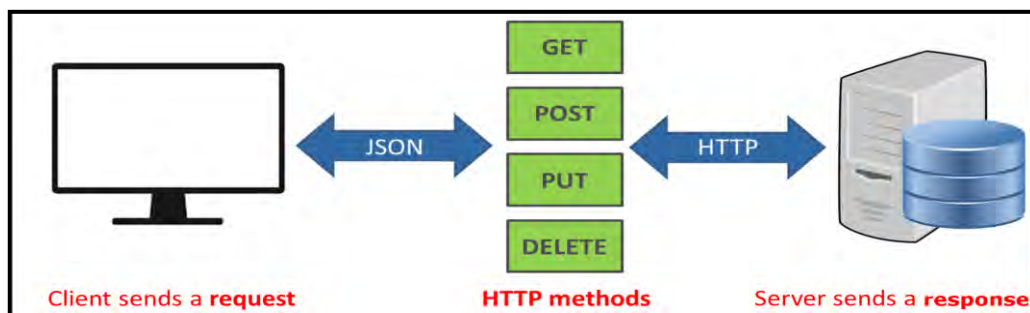
<sup>15</sup> Public-APIs: <https://github.com/public-apis/public-apis>

estructura. Según (Cisco Netacad, 2020), más del 80% de todas las APIs usan un variante tipo REST.

### RESTful API

REST es una API diseñada para arquitecturas de tipo servicios web, pero eso no implica que es únicamente utilizado con ese fin, en realidad, hace referencia al estilo de arquitectura web cliente-servidor, el cual posee algunas características y comportamiento en particular que puede ser ampliamente utilizado en *NetDevOps*.

En general, una REST API corre sobre el protocolo HTTP, definiendo un conjunto de peticiones-respuestas comunes llamadas métodos, dos conocidos son GET y POST.



**Figura 2-25 Esquema de funcionamiento REST API**  
 Imagen bajo licencia Creative Commons (Esta foto bajo CC BY-SA-NC)

Para que una API sea considerada RESTful, debe tener las siguientes características:

- Desarrollado bajo un entorno cliente-servidor, donde el cliente maneja el *front-end*, mientras el servidor maneja el *back-end* de la aplicación.
- Debe contar con un entorno de tipo *stateless*, es decir, sin memoria de datos del lado del servidor al momento de realizar peticiones. El estado de la sesión se almacena en el cliente.
- Posibilidad de almacenaje de respuesta en *caché*.

Con el fin de implementar un RESTful API, es necesario tomar en consideración que, al implementarse mediante HTTP, se tienen cuatro (4) elementos básicos:

- URI (Identificador Uniforme de Recursos).
- Formato de datos admitido por la API (JSON, YAML, XML o cualquiera que sea un estándar de hipertexto válido).
- Métodos válidos para HTTP
- Control de API mediante hipertexto.

Los métodos u operaciones más comunes son *POST*, *GET*, *PUT*, *PATCH* y *DELETE*, mismas que son las más comunes para HTTP también (ver *Tabla 2-4*):

**Tabla 2-4 Métodos de RESTful API**

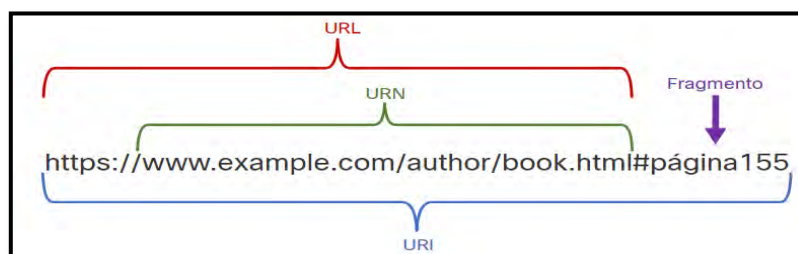
Método HTTP/RESTful	Descripción de la Operación
<i>Post</i>	Crear un dato/información
<i>Get</i>	Obtener/Leer un dato

<i>Put/Patch</i>	Actualizar un dato / Parcialmente almacenar un dato
<i>Delete</i>	Eliminar un dato
<i>Head</i>	Obtener el <i>header</i> de una petición <i>Get</i> , por lo general para comparar modificaciones
<i>Trace</i>	Solicitud para generar un <i>trace</i> de las acciones llevadas a cabo por el server

Fuente: (Jackson, Gooley, Iliesiu, & Malegaonkar, 2020)

Para identificar un recurso o servicio Web como las RESTful APIs se emplea un URI (*Uniform Resource Identifier*), el cual es una cadena de caracteres que se basa en dos especializaciones:

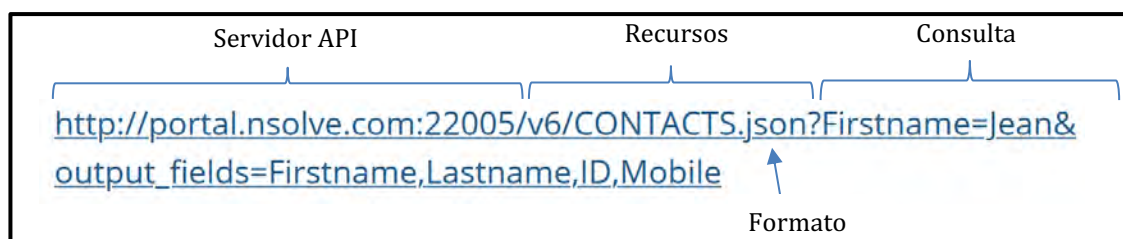
- URN (Nombre Uniforme de Recursos): Identifica la nomenclatura del recurso.
- URL (Localizador Uniforme de Recursos): Define la ubicación de red del recurso.



**Figura 2-26 Partes de una URI**  
Recuperado de (Cisco Netacad, 2020)

La estructura de una petición REST, tiene tanto la identificación del Servidor API mediante una estructura URI, donde consta tanto la URL (URN + Protocolo), así como la localización de los recursos y la consulta o razón de la petición junto con el formato de datos.

En la porción de la consulta de la petición REST, se encuentra tanto el formato de datos a usar (JSON, XML, YAML, entre otros), la clave o patrones de seguridad, autorización y seguimiento y los parámetros propiamente dichos de la consulta, como el caso de la *Figura 2-27 Estructura petición REST*, donde se realiza una petición preguntando sobre los datos de contacto (Primer nombre, apellido, Identificación y número celular) de los usuarios registrados cuyo nombre sea Jean



**Figura 2-27 Estructura petición REST**  
Basado de (nSolve - Excellence in software design, 2019)

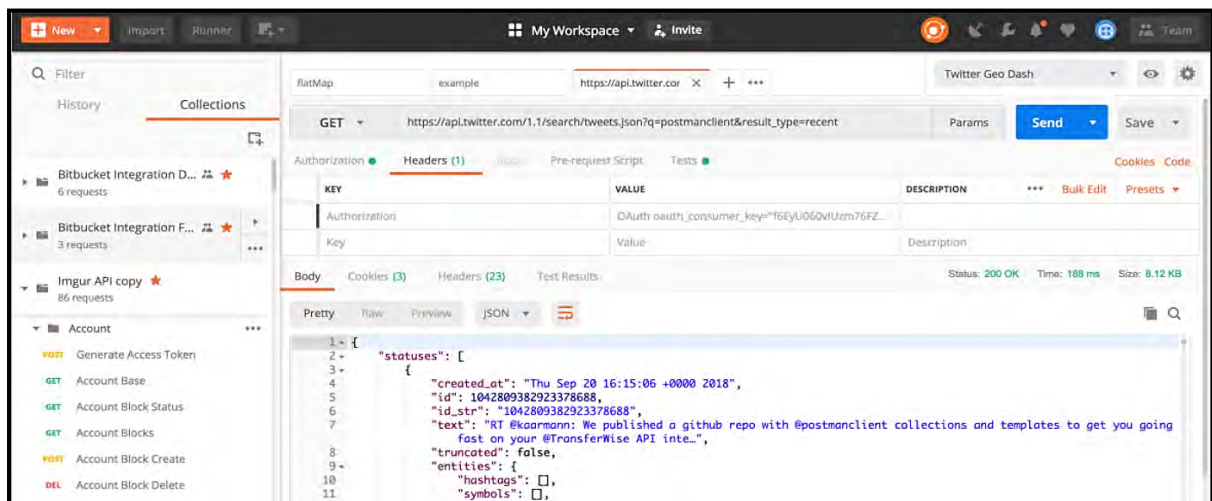
La respuesta de la petición REST anterior es la siguiente:

```
{
  "CONTACTS": {
    "Contact": [
      {
        "Firstname": "Jean",
        "Lastname": "Barnet",
        "Mobile": "07703 392745",
        "ID": 1763
      },
      {
        "Firstname": "Jean",
        "Lastname": "Parsons",
        "Mobile": "07703 355730",
        "ID": 1971
      },
      {
        "Firstname": "Jean",
        "Lastname": "Jones",
        "Mobile": "09843502893",
        "ID": 44057
      }
    ]
  }
}
```

**Figura 2-28 Respuesta parcial en JSON a una petición REST**  
Recuperado de (nSolve - Excellence in software design, 2019)

Podemos apreciar, según la figura anterior, que se obtuvo los datos solicitados.

Una aplicación muy útil para probar RESTful APIs es *Postman*<sup>16</sup>, pues tiene todo lo necesario para construir y enviar peticiones. De la misma manera que al usar ese *software*, es posible interactuar con una REST API mediante *scripts* de Python, a través de cURL y con páginas Web para desarrolladores.



**Figura 2-29 Petición RESTful mediante Postman a una API de Twitter**  
Recuperado de (Logan, 2018)

Debido a que el proceso RESTful maneja una estructura cliente-servidor, las peticiones HTTP generan códigos o estatus de respuesta para reconocer si la comunicación fue exitosa o no:

- **Código 1xx (Informativo):** La petición fue exitosamente recibida por el equipo de red/servidor, por lo que el proceso continúa.

<sup>16</sup> Postman: <https://www.postman.com/>

- **Código 2xx (Exitoso):** La petición fue exitosamente recibida, entendida, aceptada y servida por el equipo de red/servidor.
- **Código 3xx (Redirección):** Se requiere de acciones adicionales para completar la petición.
- **Código 4xx (Error del Cliente/Usuario):** La petición no fue entendida, es una petición no autorizada o es una petición a un recurso no encontrado en el equipo de red/server.
- **Código 5xx (Error del Equipo de Red/Servidor):** El equipo de red/servidor falló en el intento de procesar la petición.

Success (2xx)	Description	Client Error (4xx)	Description
200	Request Succeeded	400	Bad Request. Malformed Syntax
201	The request has been fulfilled; new resource created	401	Unauthorized
204	The server fulfilled request but does not return a body	403	Server understood request, but refuses to fulfill it.
		404	Resource not found given URI
Server Error (5xx)	Description		
500	Internal Server Error		
501	Not implemented		

**Figura 2-30 Códigos de Estatus HTTP comunes en RESTful APIs**  
*Recuperado de (Roman & Bryan, 2018)*

Partiendo de ese conocimiento, es posible emplear mecanismos de solicitud-respuesta para orquestar, aprovisionar, configurar y monitorear de forma automática y programática a equipos y sistemas operativos de red (NOS).

Protocolos como NETCONF (*NET CONFiguration*) y RESTCONF, permiten utilizar estas arquitecturas de intercambio de mensajes y dar mecanismos alternativos a la administración de una infraestructura de red moderna. En ese punto, el uso de un CLI (*Command Line Interface*) con protocolos de administración tradicional como SNMP es opcional, pues se podrá emplear *scripts* en Python o usar cualquier herramienta que realice peticiones tipo RESTful.

NETCONF fue creado en el año 2006 en el RFC 4741, a partir del cual evolucionó hacia el RFC 6241<sup>17</sup> en el 2011 con el fin de sobrellevar las dificultades de administrar una infraestructura de red de forma efectiva. Este protocolo establece un canal de comunicación entre un mánager y un agente o nodo monitoreado a través de SSH en el puerto 830 (*NETCONF port*) con el fin de entregar características o capacidades (*capabilities*) soportados en modelos de datos tipo XML en un inicio y actualmente YANG – *Yet Another Next Generation* (RFC 7950<sup>18</sup>) en un formato cliente-servidor tipo RPC (*Remote Procedure Call*).

YANG es un tipo de lenguaje para modelado de datos en infraestructuras de red y datos intercambiados en una red. Si bien, inicialmente fue creado para NETCONF, hoy es utilizado tanto con RESTCONF como con cualquier protocolo que se adapte a este modelo para establecer

<sup>17</sup> NETCONF – RFC 6241: <https://tools.ietf.org/html/rfc6241>

<sup>18</sup> YANG Model – RFC 7950: <https://tools.ietf.org/html/rfc7950>

configuraciones estandarizadas y estados operacionales de los datos, proveyendo de esa manera sintaxis y semántica clara.

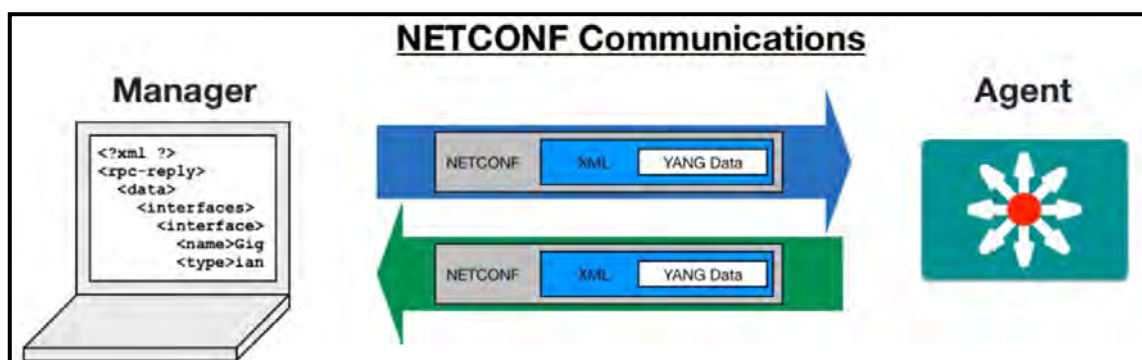
```

module: ietf-interfaces
  +--rw interfaces
  |   +--rw interface* [name]
  |       +--rw name                string
  |       +--rw description?        string
  |       +--rw type                 identityref
  |       +--rw enabled?             boolean
  |       +--rw link-up-down-trap-enable? enumeration {if-mib}?
  +--ro interfaces-state
  |   +--ro interface* [name]
  |       +--ro name                string
  |       +--ro type                 identityref
  |       +--ro admin-status         enumeration {if-mib}?
  |       +--ro oper-status          enumeration
  [...]
  
```

**Figura 2-31 Modelo Simple IETF tipo YANG**  
 Recuperado de (Roman & Bryan, 2018)

YANG tiene una definición totalmente estándar (IETF, ITU y *OpenConfig*), así como en entornos *vendor-specific* y para extensiones de protocolos como en BGP para equipos IOS-XE (*Model Driven Programmability*).

Por otro lado, RESTCONF es un protocolo tipo HTTP definido en el RFC 8040<sup>19</sup>, en el que, en lugar de usar XML para codificar datos, emplea JSON también, pero no hay que pensar que RESTCONF es el reemplazo de NETCONF, pues con RESTCONF se puede usar una API RESTful que genere peticiones y configurar equipos de red mediante *DataStores* o capacidades almacenadas en NETCONF.



**Figura 2-32 Esquema de funcionamiento de NETCONF**  
 Recuperado de (Okasha, 2017)

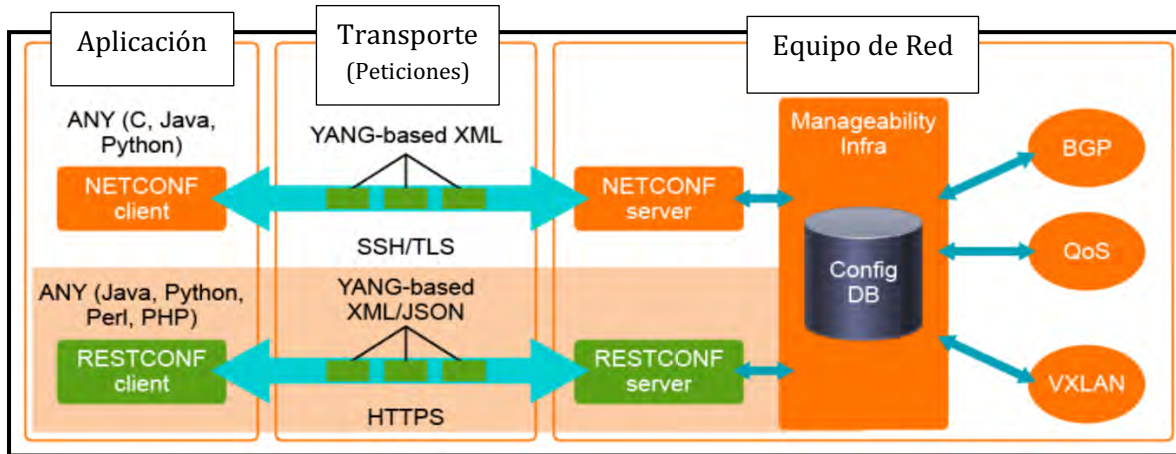
**Tabla 2-5 Operaciones de NETCONF y Métodos de RESTCONF**

Función	NETCONF	RESTCONF/RESTful
Crear una fuente de datos	<edit-config> </edit-config>	POST
Obtener datos/metadatos	<get-config> </get-config>	GET

<sup>19</sup> RESTCONF - RFC 8040: <https://tools.ietf.org/html/rfc8040>

Crear o reemplazar fuente de datos	<edit-config> (nc:operation="replace")	PUT
Borrar una fuente de datos	<edit-config> (nc:operation="delete")	DELETE

Basado de: (IETF RFC 8040, 2017)



**Figura 2-33 NETCONF vs RESTCONF**  
Recuperado de (Roman & Bryan, 2018)

Con el fin de tener una idea más clara de la utilidad y funcionamiento de NETCONF, en el **Anexo C: NETCONF en la Práctica**, se plantea una Prueba de Concepto exitosa en un Router Cisco con IOS-XE (CSR1000v), tanto para telemetría básica (obtener información del equipo), como para configuración mediante programabilidad.

### 2.3.3 Herramientas para Automatización y Programabilidad de Redes: Ansible, Puppet, Chef y Netmiko-NAPALM-Nornir como Herramientas tipo Python Library

Como lo mencionado en capítulos anteriores, la automatización de las redes ha sido un tópico requerido y anhelado por mucho tiempo, pero debido a su difícil implementación en redes tradicionales, no ha impactado sino en esta última época. Junto con SDN y un ambiente tecnológico adecuado, de forma natural, todo conducirá hacia una automatización y programabilidad en todos los niveles.

Según (Cisco NetAcad DevNet Associate Course, 2020), automatización es usar código para configurar, implementar y administrar aplicaciones junto con la infraestructura tanto a nivel de redes, cómputo y almacenamiento, así como los servicios que corren.

Al momento de escribir la presente tesis, puedo decir que hoy más que nunca es una necesidad para toda infraestructura contar con herramientas que le permitan escalar sus operaciones más fácil y rápidamente, esto gracias a los nuevos requerimientos de usuarios del siglo XXI y de sistemas críticos modernos, requerimientos más necesarios durante y post pandemia COVID-19.

Dispositivos de red como *routers, switches, firewalls, Access points*, tradicionalmente eran configurados de forma manual y monolítica mediante entornos tipo CLI (*Command Line Interfaces*) o en el mejor de los casos mediante un protocolo *in-band* como SSHv2 o SNMPv3

para mejorar el entorno de configuración a distancia, de todas maneras, todo proceso manual es lento y muy complicado en su adaptación a nuevas capacidades, así como son propensos a tener varios errores humanos que causen discontinuidad en la comunicación o en la entrega del servicio, falta de documentación actualizada o incompleta en tiempo real, difícil de probar y de difícil compaginación con las mejores prácticas modernas.

La automatización es una parte clave de entornos SDN y desde mi punto de vista, es una manera de interoperar entre las redes tradicionales y las redes definidas por *software* debido a que otorgan los siguientes beneficios:

- *Frameworks* para tener un tipo de Infraestructura “*Self-service*”, es decir, una infraestructura bajo demanda, tanto a nivel de pruebas de concepto, como para implementaciones completas. Un ejemplo puede verse en el **Anexo C: NETCONF en la Práctica** y **Anexo D: Ansible para entornos NetDevOps en infraestructuras de Red**
- Escalamiento bajo demanda a nivel de APIs, principalmente por la heterogeneidad del tráfico. Plataformas en *Clouds* son muy adaptables en este punto.
- Visibilidad de la infraestructura a gran nivel.
- Mitigación automática de problemas o errores al reconocerlos y en niveles de automatización avanzado, autocorregir el problema.

Tal como se vio en **2.3.1 El poder de la Automatización de Redes y NetDevOps**, no se puede dejar de hablar del concepto *DevOps* en el contexto de automatizar redes. Es así como hace más de una década atrás, Patrick Debois, dio luces a un concepto denominado *Agile Infrastructure and Operations*, entregando lineamientos y un contexto claro para emplear métodos de Desarrollo en el área de Operación de infraestructura (Debois, 2008). La presentación influyó en cómo automatizar infraestructura física y virtual usando mecanismos de control de versiones, tal como lo que se hace con Git<sup>20</sup>. A partir de 2008, el concepto *DevOps* se volvió muy popular.

Entre los principios elementales de *DevOps* y por supuesto de *NetDevOps* están:

- Enfocado en la automatización de tareas.
- Generación de pruebas de concepto, control de versiones y pensar que el error es parte del camino al desarrollo correcto.
- Mejora constante para generar mejores beneficios empresariales y reducción de costos (Las Tecnologías de la Información son el soporte de todo negocio del siglo XXI), así como mejores tomas de decisiones.
- La implementación de infraestructuras de red va de la mano de concepto de *Lean-Agile*, es decir bajo principios de simplicidad, rapidez, efectividad y siempre tener código/*scripts* funcionales.
- Los diseños de red, hoy en día, siguen patrones tipo MVC<sup>21</sup> (*Model-View-Controller*) con el fin de adaptarse de mejor manera a los cambios tecnológicos mediante el concepto de SoC (*Separate-of-Concerns*) y modularidad, así como el *Observer Pattern*<sup>22</sup> empleado para el envío de cambios de configuración de forma masiva.

---

<sup>20</sup> Git: <https://git-scm.com/>

<sup>21</sup> MVC Pattern: <https://dotnet.microsoft.com/apps/aspnet/mvc>

<sup>22</sup> Observer Pattern: <https://www.baeldung.com/java-observer-pattern>

Las herramientas más importantes que se encuentran en el área de *NetDevOps* están lideradas por **Ansible, Puppet, Terraform, SaltStack** y **Chef** por nombrar unas cuantas, sin embargo, es posible desarrollar APIs nativas que interactúen con el *fabric* subyacente y permitan dar control, visibilidad y orquestación, muchas de ellas construidas a través de Python.

Existen varias herramientas básicas para automatizar redes, por lo que empezaré a nombrar las más elementales antes de Ansible, herramienta insigne de *NetDevOps*, en la siguiente Tabla.

**Tabla 2-6 Bash y SDKs**

Herramienta básica de Automatización	Descripción/Características
Bash	Bash ( <i>Bourne Again Shell</i> ) es el nombre del <i>Shell</i> de Unix, por lo que su uso es común en varias distros de Linux y en MacOS (actualmente se emplea el <i>Z-Shell</i> ). Es un <i>Shell</i> que se podría encontrar en prácticamente cualquier aplicación o sistema operativo que corra entornos abiertos, por lo que es considerado muy ubicuo. Configurar mediante <i>Bash scripts</i> es básicamente igual a hacerlo en una CLI, ya que permite interpretar órdenes, por ello, es posible usarlo en entornos de automatización y programabilidad de infraestructuras
Diversos lenguajes de programación sofisticados con SDKs	Cuando las implementaciones se vuelven más complejas, en especial al tratarse de operar y construir entornos virtualizados, suele emplearse SDKs ( <i>Software Development Kits</i> ) por ejemplo AWS SDK para Python o AWS para Javascript en Node.js, con ello, es posible tener librerías y <i>built-in features</i> como JSON, YAML o interacciones tipo REST (APIs) para trabajar con <i>datasets</i> complejos, operaciones en paralelo, reconocimiento de errores, etc.

Fuente: (Cisco DevNet - Programming Fundamentals, 2020)

### **Idempotencia y Características de las Herramientas en *NetDevOps***

Cuando se tiene en mente realizar programabilidad en una red, es imprescindible contar con un procedimiento claro de programación como el usado en la programación imperativa, el cual no es más que aquel enfocado a tener una secuencia de comandos ordenados con el fin de conseguir un objetivo, generando controles de flujo, verificación de estructura, telemetría, etc.

Los *scripts* deben ser efectivos y reusables, por lo que el código tiene que:

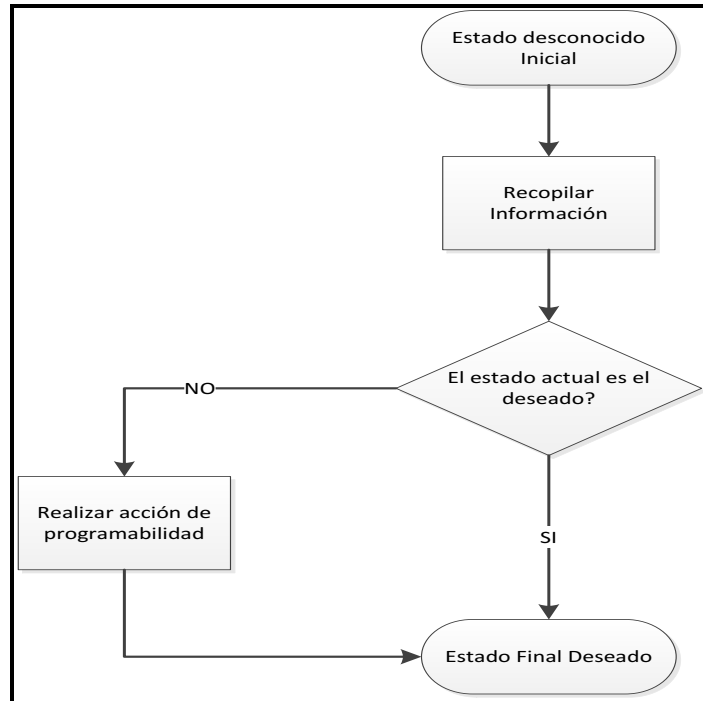
- Estar estandarizado tanto en parámetros, banderas, errores, etc.
- Ser jerárquico en su estructura, dividiéndose en tareas de forma lógica y efectiva.
- Ser de alto nivel para toda la implementación y de bajo nivel para el desarrollo en fases.
- Lo más genérico y reusable posible, esto conlleva al concepto de idempotencia.

Uno de los objetivos primordiales de la automatización y programabilidad de redes es tener idempotencia en sus *scripts*, es decir, llegar a un estado deseado luego de la aplicación del código sin importar las condiciones iniciales en que se encuentre la infraestructura.

La idempotencia en *NetDevOps* se basa en los siguientes principios:

1. Asegurar que el cambio que se va a realizar en la infraestructura no se ha realizado anteriormente. Este principio en inglés se llama "*First, do no harm*", en el cual es mejor no realizar ningún cambio, a realizar algo que resulte en un error irrecuperable.

2. Principio de Inmutabilidad y control de cambios en etapas de pruebas de concepto. Este principio verifica todas las posibilidades de cambios no en un entorno de producción, sino en un entorno PoC (*Proof-Of-Concept*). De igual manera se plantea realizar entornos *Infrastructure-as-Code* bajo emulaciones con *software* adecuado.
3. Evitar efectos o daños colaterales, producto de la programabilidad en la infraestructura.
4. Todos los componentes del entorno de programabilidad deben ser idempotentes.



**Figura 2-34** Flujograma de Idempotencia en programación de NetDevOps  
 Basado de (Cisco NetAcad DevNet Associate Course, 2020)

Herramientas de automatización y programabilidad como Ansible, Terraform, Puppet o Chef ofrecen capacidades muy poderosas en comparación con mecanismos de configuración y programación tradicionales como Bash o empleando nativamente algún lenguaje de programación como Python aún si se dispone de SDKs, pues estas herramientas reúnen funciones variadas en un entorno tipo API para simplificar y estandarizar su acceso, disminuyendo el hecho de incluir código extenso y tener *scripts* más simples y legibles, pero sin dejar a un lado la posibilidad de acceder al código puro para una revisión profunda.

Las herramientas antes mencionadas permiten además la inclusión de *plugins* totalmente configurables en *Python, Ruby, Go*, o cualquier otro lenguaje que sea aceptado.

Durante estos últimos años se han desarrollado módulos especializados para diferentes *vendors* o marcas de equipos de infraestructura de red y servidores, así como para desarrollar funciones especializadas que puedan correr de forma masiva/escalable como restauración y respaldo de configuraciones, generar copias de código o *snapshots*, etc., sin descuidar aspectos relacionados con seguridad y encriptación de archivos sensibles y críticos bajo entornos cliente-servidor a través de agentes distribuidos.

Una de las ventajas de contar con herramientas de automatización es la posibilidad de obtener datos e información de la infraestructura, comúnmente conocido como generar un inventario o telemetría en *networking*. Entre los datos que se pueden recopilar están las versiones de los

sistemas operativos, detalles de los archivos de configuración, tiempos de reinicio de los equipos, entre otros.

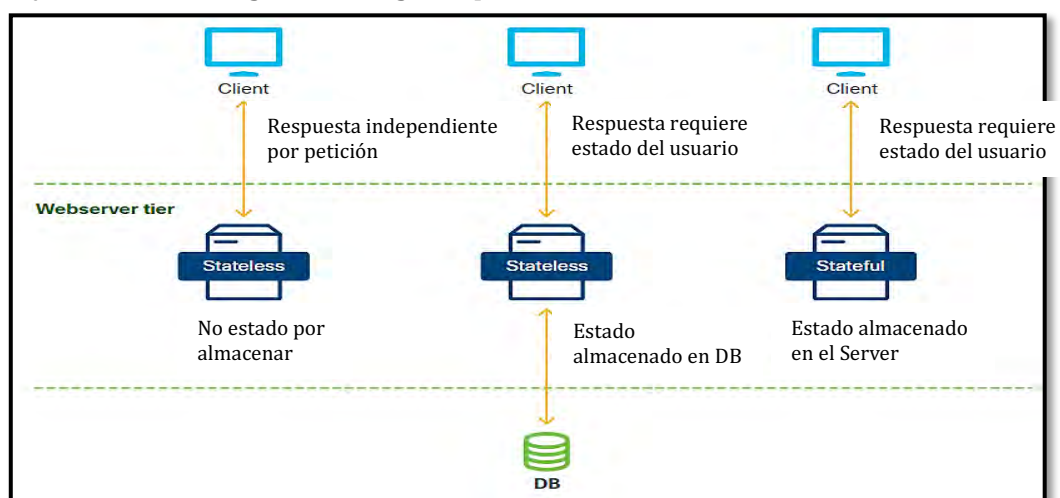
Además, en su mayoría, incluyendo Ansible, Puppet y Chef, son herramientas de tipo *Open Source*, cuyo desarrollo está apoyado en la comunidad de *software* abierto para mejorar y disminuir los *bugs*, así como ser distribuidos mediante *GitHub* o cualquier otro tipo de repositorio público como Ansible Galaxy.

La idea de tener *Infrastructure-as-Code* y SDN obliga a que los desarrollos en temas de programabilidad sean idempotentes, garantizando así que el objetivo general se consiga a través de etapas que sean claras, reversibles y adaptables. De igual manera, esas infraestructuras se adaptan mejor cuando las herramientas se diseñan para ser *stateless* en lugar de *stateful*.

Tanto Ansible, como Puppet, Chef o la mayoría (por no decir todas) las herramientas de *NetDevOps* deben mantener entornos sin-estado, pues en base a análisis y pruebas de concepto realizadas durante la presente tesis, es posible afirmar que las APIs que mantengan el estado (mantengan en el servidor el estado) son inconvenientes para una automatización de tipo *full-stack* (infraestructura y servicios/aplicaciones en su conjunto) principalmente por que el estado será destruido por un *rebuild* típico de la infraestructura, además de que estos entornos son difíciles de actualizar y de realizar migraciones.

En APIs de tipo sin-estado, se tienen aplicaciones que requieren interacciones atómicas o asíncronas entre un cliente y servidor, en donde cada petición tiene una respuesta independiente de otras peticiones anteriores. Un ejemplo de ello son las APIs tipo RESTful. De todas formas, para este tipo de APIs, existe una manera de mantener cierta información externamente tanto al cliente como al servidor. Estos entornos son las aplicaciones tipo HTTP, donde es necesario mantener una *cookie* por motivos de proyección comercial para la interacción, por ello, la *cookie* se almacena en una base de datos que actúa como un intermediario. En este último caso, si se necesita de autenticación basada en *cookie*, implicaría que la información se mantenga en el servidor, convirtiendo de esa manera en una aplicación *stateful*.

Para mayor claridad, la siguiente imagen explica esos tres escenarios:



**Figura 2-35 Esquema de APIs Stateless y Stateful**  
Basado en (Cisco NetAcad DevNet Associate Course, 2020)

Según (Cisco NetAcad DevNet Associate Course, 2020), la primera herramienta funcional dedicada a la automatización y programabilidad de redes fue Puppet, lanzada en el año 2005 como una herramienta totalmente abierta. Posteriormente se comercializó como Puppet Enterprise por Puppet Labs en el 2011.

Además de que Puppet, Ansible y Chef son las herramientas más utilizadas al momento de escribir la presente tesis, pues las tres poseen las siguientes características en común:

- Curva de Aprendizaje rápida.
- Tienen versiones abiertas (*open source*).
- Tienen la capacidad de administrar, monitorear y configurar equipos de infraestructura de diversas marcas aplicando *plugins* o módulos de fácil uso.

### **Ansible**

Es una herramienta que simplifica muchas tareas en el campo de las Tecnologías de la Información, dando agilidad, aprovisionamiento y automatización en la configuración, implementación y orquestación de servicios.

Una de las premisas clave de Ansible es dar la posibilidad de modelar la infraestructura de TI describiendo la interrelación de todos sus sistemas en lugar de administrarlos un sistema por vez.

Genera un entorno sin agentes o *agentless*, por lo que es muy simple de desplegar usando además un formato de datos como YAML en sus *Ansible Playbooks* lo que lo hace ideal para entornos que desean mantener texto claro en su configuración.

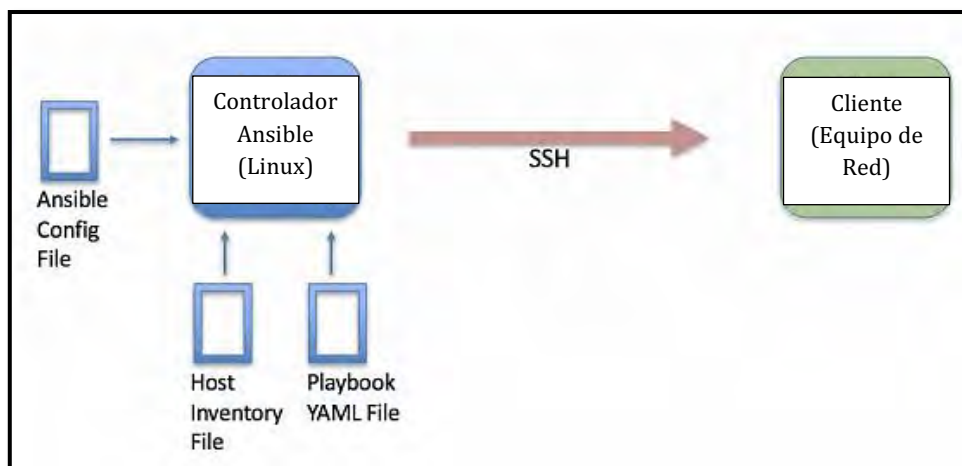


*Figura 2-36 Logo de Ansible  
Recuperado de (Huang, 2020)*

### Módulos de Ansible

Ansible funciona al conectar distintos nodos (o equipos), enviando programas llamados Módulos de Ansible hacia ellos, siendo estos programas escritos de manera que sean recursos para llegar al estado deseado de la infraestructura.

Ansible ejecuta estos módulos, por lo general mediante transferencia tipo SSH y los remueve cuando termina la ejecución.



**Figura 2-37 Estructura de Ansible**  
 Recuperado de (Tamilselvan, Froehlich, & Raghunathan, 2019)

La librería de módulos puede estar en cualquier máquina, sin la necesidad de un servidor dedicado, uso de demonios o base de datos estática.

Los módulos para automatizar infraestructura de red multimarca se encuentran en la siguiente documentación de Ansible:

**[https://docs.ansible.com/ansible/latest/modules/list\\_of\\_network\\_modules.html](https://docs.ansible.com/ansible/latest/modules/list_of_network_modules.html)**

En cuanto a la seguridad y control de acceso, es posible usar *passwords* así como llaves SSH sin necesidad de otorgar acceso *root* (concepto de mínimo privilegio); pero se debe tener en cuenta que con el uso de contraseñas, Ansible las mostraría en texto plano, por lo que se sugiere usar llaves SSH o al menos Ansible Vault<sup>23</sup>

En caso de usar llaves SSH, se facilita la automatización de ejecución de *playbooks*.

### Ansible Configuration File

Este es un archivo predeterminado que contiene parámetros para ser usados con el sistema de automatización de Ansible, sin embargo, puede ser editado y personalizado.

El *path* de su ubicación es **/etc/ansible** y por defecto tiene el nombre de **Ansible.cfg**.

Se emplea el comando **ansible --version** para encontrar su ubicación y versión.

La siguiente figura muestra un *Ansible Configuration File* de ejemplo, en la cual se identifica la ubicación del *Inventory File*, el uso de variables descubiertas en los equipos a automatizar (*gathering*), *timeout* para las conexiones fallidas de SSH (10 segundos), no uso de avisos o advertencias luego de correr Ansible y la no creación de un archivo tipo *retry* en caso de fallas.

<sup>23</sup> Ansible Vault: [https://docs.ansible.com/ansible/latest/user\\_guide/playbooks\\_vault.html#playbooks-vault](https://docs.ansible.com/ansible/latest/user_guide/playbooks_vault.html#playbooks-vault)

```
[defaults]
inventory = /etc/ansible/hosts
gathering = explicit
host_key_checking = False
timeout = 10
deprecation_warnings = False
retry_files_enabled = False
```

**Script 1 Ansible Configuration File**

*Recuperado de (Tamilselvan, Froehlich, & Raghunathan, 2019)*

Según el *Script 1 Ansible Configuration File*, no existe verificación de llaves SSH (*host\_key\_checking = False*), lo que implicaría una debilidad en cuanto a control de acceso. Siempre es preferible considerar una adecuada conexión SSH antes de usar Ansible.

El siguiente *link* da una explicación de todas las opciones posibles en un *Ansible Configuration File*:

[https://docs.ansible.com/ansible/2.4/intro\\_configuration.html](https://docs.ansible.com/ansible/2.4/intro_configuration.html)

**Ansible Inventory File**

Este es un archivo que contiene información sobre los equipos a automatizar, por ejemplo, sus direcciones IP o variables de configuración para lograr una conexión por SSH (usuario y contraseña). Se debe recordar que es preferible usar llaves SSH, así como activación de *Python Interpreter* al usar *Python Virtual Environments* en entornos de Centros de Datos.

Es además posible agrupar usuarios, equipos de red, servidores que tengan características y configuraciones similares bajo un grupo en particular. Cada grupo se identifica por un nombre entre corchetes [ ]. Existe también un grupo general llamado **ALL**.

```
[IOS]
R1 ansible_host=172.16.101.98 ansible_user=cisco ansible_ssh_pass=cisco

[XR]
R2 ansible_host=172.16.101.99 ansible_user=cisco ansible_ssh_pass=cisco

[ALL:children]
IOS
XR
```

**Script 2 Ansible Inventory File**

*Recuperado de (Tamilselvan, Froehlich, & Raghunathan, 2019)*

En el *Script 2 Ansible Inventory File*, se identifican dos equipos de red de nombre **R1** y **R2** con sus respectivas direcciones IP y credenciales de SSH. Además, se crearon dos grupos, uno para equipos con **IOS**, grupo al que pertenece R1 y otro grupo para equipos con **XR** al cual pertenece R2. Es importante mencionar que se puede usar el servicio DNS o el archivo *hosts* dentro del equipo de Ansible para evitar poner las direcciones IP en *Inventory File*.

## Ansible Playbooks

Un *playbook* en Ansible es el archivo que controla las acciones a realizar en los equipos. Están escritos en YAML (ver **Anexo A: Formatos y Estructuras de Datos para NetDevOps**), el cual es un formato de datos intuitivo y de fácil lectura para el humano.

Tal como se revisó anteriormente, Ansible *Playbooks* hacen uso de módulos para ejecutar tareas específicas en equipos, considerándolos como *scripts* pre-diseñados. Para usar estos módulos, se puede realizar mediante el CLI de Ansible (forma directa), a través del *playbook* o con APIs. Se pueden construir módulos totalmente personalizados.

Entre los módulos más útiles en entornos Cisco están:

- ios\_command / ios\_config
- iosxr\_command / iosxr\_config

```
cisco@ansible-controller:~$ ansible-doc -l | grep ^ios
ios_banner : Manage multiline banners on Cisco IOS
devices
ios_command : Run commands on remote devices
running Cisco IOS
ios_config : Manage Cisco IOS configuration sections
```

*Script 3 Módulos de Ansible mediante CLI  
Recuperado de (Tamilselvan, Froehlich, & Raghunathan, 2019)*

En caso de ejecutar individualmente un determinado módulo desde el CLI de Ansible, se aplica la siguiente sintaxis:

**ansible <dispositivo\_Inventory File> -m <nombre\_módulo> -a <comando\_específico>**

```
$ ansible IOS -m raw -a "show ip int brief"
R1 | SUCCESS | rc=0 >>Interface
IP-Address      OK? Method Status      Protocol
GigabitEthernet1  172.16.101.98  YES TFTP  up          up
GigabitEthernet2  10.0.0.5       YES TFTP  up          up
Loopback0         192.168.0.1    YES TFTP  up          up
Loopback101      1.1.1.101     YES manual administratively down down
Shared connection to 172.16.101.98 closed.
Connection to 172.16.101.98 closed by remote host.
cisco@ansible-controller:~$
```

*Figura 2-38 Uso de Módulo mediante Ansible CLI  
Recuperado de (Tamilselvan, Froehlich, & Raghunathan, 2019)*

La *Figura 2-38 Uso de Módulo mediante Ansible CLI* permite obtener el resultado del comando *show ip interface brief* de los equipos del grupo IOS, en este caso R1, desde la consola de configuración de Ansible, dando así características de telemetría básica.

Analizando más a profundidad un *playbook* de Ansible, este archivo constituye una colección de corridas del proceso de automatización, también llamado *plays*. Cada *play* es un conjunto de tareas, mientras una tarea es un conjunto de módulos.

Además de los módulos **ios\_config** y **ios\_commands** para equipos con Cisco IOS, existe un módulo que suele ser empleado, el módulo **raw**.

El módulo raw en Ansible, permite enviar que cualquier comando (según documentación de Ansible, es un *low and dirty command*<sup>24</sup>) al dispositivo y obtener una respuesta rápida en la consola de Ansible.

**Playbooks**

Archivos YAML comienzan con ---

```

---
- name: get time from IOS hosts, using raw module
  hosts: IOS
  tasks:
    - name: execute show clock
      raw:
        show clock

- name: get time from XR hosts, using raw module
  hosts: XR
  tasks:
    - name: execute show clock
      raw:
        show clock
  
```

1er Play a un equipo con IOS

1ra Tarea usando el módulo raw

2do Play a un equipo con IOS-XR

2da Tarea usando el módulo raw

**Script 4 Estructura básica de un Ansible Playbook**  
 Basado en (Tamilselvan, Froehlich, & Raghunathan, 2019)

Dentro de un *playbook*, en especial para la etapa de control de acceso y conexión entre Ansible y la infraestructura a automatizar, se utilizan variables, las cuales se las puede definir en el *Ansible Inventory File* o directamente en el *Ansible Playbook*.

Una variable en Ansible se emplea para almacenar información que podría cambiar en los *hosts* o equipos; y para llamarlas en el *Playbook* se usa el símbolo de doble llave entre comillas “**{{ }}**”.

```

---
- name: Backup IOS-XR Config
  hosts: ios
  gather_facts: false
  connection: local

  vars:
    host: "{{ ansible_host }}"
    username: "{{ ansible_user }}"
    password: "{{ ansible_ssh_pass }}"
  
```

**Script 5 Variable (vars) en un Ansible Playbook**  
 Recuperado de (Tamilselvan, Froehlich, & Raghunathan, 2019)

<sup>24</sup> Módulo Raw: [https://docs.ansible.com/ansible/latest/modules/raw\\_module.html](https://docs.ansible.com/ansible/latest/modules/raw_module.html)

## Lazos y Condicionales en Ansible Playbooks

Un lazo o *loop* es una tarea repetitiva y se usa con valores o variables definidas mediante la estructura **loop**: o **with\_items**:. El *Script 6 Lazo (with\_items:) en un Ansible Playbook* muestra un lazo para recolectar información de un equipo Cisco (*show versión* y *show running-config*).

Un condicional por su parte se emplea para realizar una determinada tarea siempre que se cumpla una condición o estado (al regresar la condición *true*). Funciona mediante la estructura **when**:. El *Script 7 Condicional (when:) en un Ansible Playbook* muestra el uso del comando *show ip interface brief* de un equipo Cisco siempre que su nombre sea R1.

```
tasks:
  - name: Collect Rtr Ver and Cfg
    ios_command:
      authorize: yes
      commands: "{{ item }}"

    with_items:
      - show version
      - show run
```

**Script 6 Lazo (with\_items:) en un Ansible Playbook**  
Recuperado de (Tamilselvan, Froehlich, & Raghunathan, 2019)

```
tasks:
  - name: Collect Router Version
    ios_command:
      authorize: yes
      commands:
        - show ip int bri
    when: inventory_hostname == " R1"
```

**Script 7 Condicional (when:) en un Ansible Playbook**  
Recuperado de (Tamilselvan, Froehlich, & Raghunathan, 2019)

## Reutilización de Playbooks y Jinja2 templates

La reutilización de un *Playbook* dentro de otro *Playbook* es una acción común. Se realiza importando un archivo de extensión YML mediante **import\_playbook** o **import\_task**.

```
---
- name: route summary from IOS routers
  import_playbook: p2-ioscmd.yml

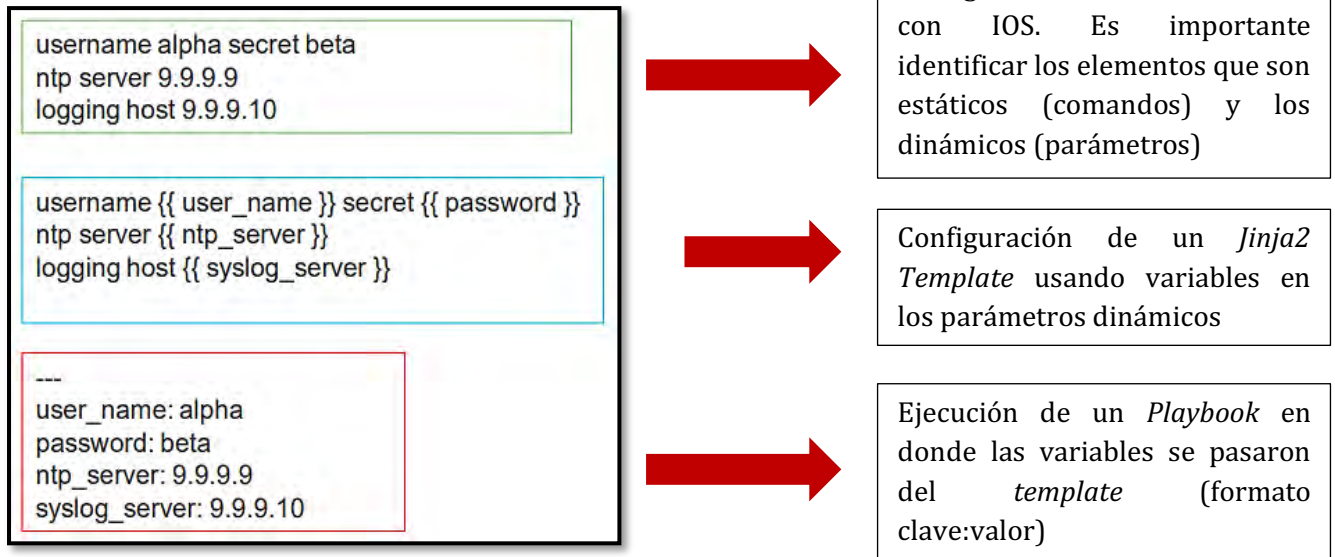
- name: route summary from XR routers
  import_playbook: p3-xrcmd.yml
```

**Script 8 Llamada de un Ansible Playbook en un Ansible Playbook**  
Recuperado de (Tamilselvan, Froehlich, & Raghunathan, 2019)

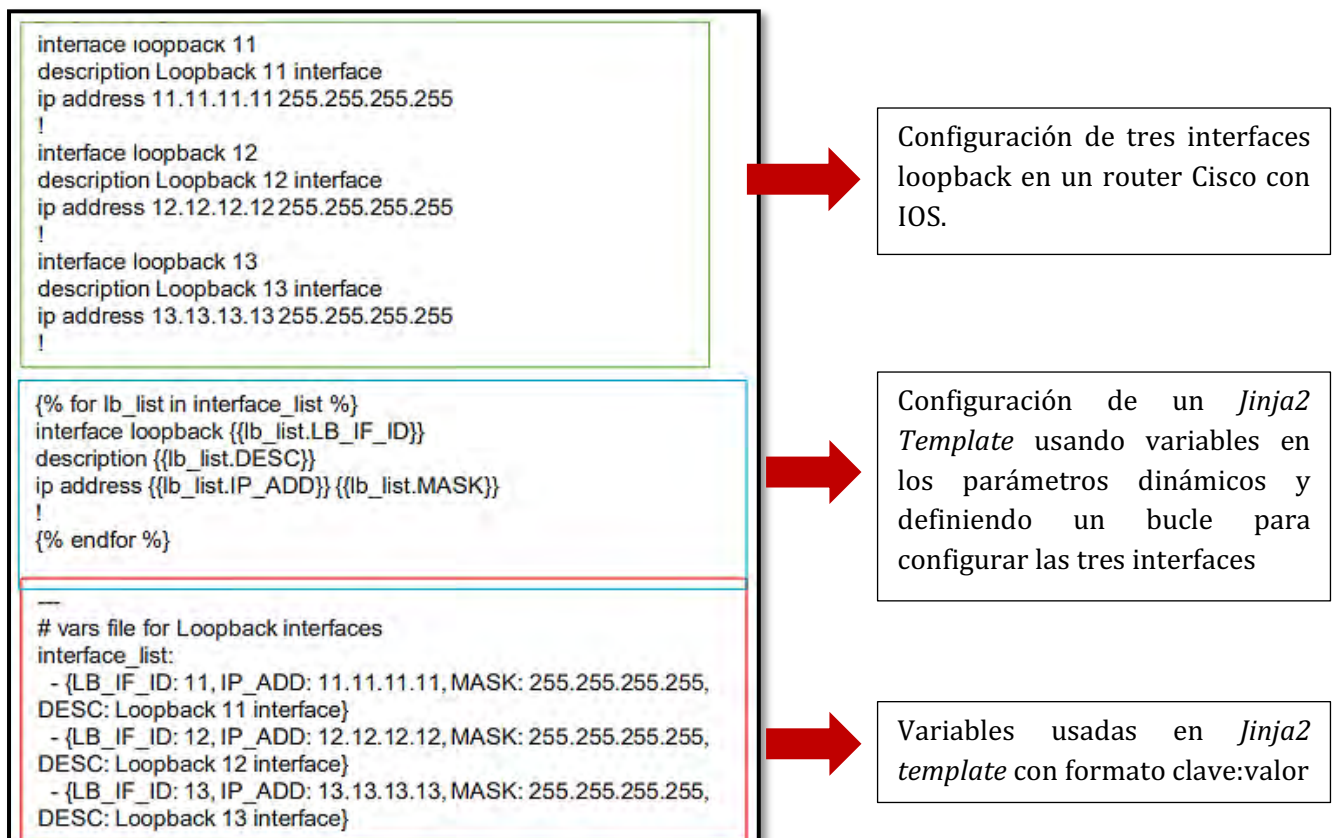
Al igual que importar un *Playbook*, también es posible generar *templates* o scripts pre-diseñados que faciliten las tareas de automatización. Una manera es mediante *Jinja2, template* que puede ser llamado e interactuar con *Playbooks*.

*Jinja2* es un *template engine* con formato escrito en Python y con extensión .j2, el cual contiene variables y expresiones lógicas que son evaluados para ser reemplazados con valores actuales escritos en las variables declaradas en el *Playbook*.

Las variables escritas en *Jinja2 Template* son declaradas entre doble llaves `{{ }}` y los bucles usando llaves y signo de porcentaje `{% ... %}`.



**Script 9 Ejemplo básico de Jinja2 Template en un Ansible Playbook**  
 Basado en (Tamilselvan, Froehlich, & Raghunathan, 2019)



**Script 10 Ejemplo con bucles y variable en Jinja2 Template de un Ansible Playbook**  
 Basado en (Tamilselvan, Froehlich, & Raghunathan, 2019)

Con el fin de poner en acción entornos de automatización de configuraciones y procesos de red con Ansible, el **Anexo D: Ansible para entornos NetDevOps en infraestructuras de Red** dará una visión general de la utilidad de esta herramienta en una infraestructura **VXLAN** con equipamiento **Open-hardware (Cumulus Linux)**.

De igual manera, Gustavo Salazar, autor de la presente tesis, realizó una conferencia virtual con el tema “**Ansible y SDN en acción: los pilares de la era de la Programabilidad**” en el que se explica la teoría y una demostración de Ansible en entornos Cisco IOS usando GNS3-VM como emulador de redes. El siguiente link muestra dicho evento internacional:

**<https://community.cisco.com/t5/videos-routing-y-switching/community-live-video-ansible-y-sdn-en-acci%C3%B3n-los-pilares-de-la/ba-p/3993738>**

### **Chef y Puppet**

La filosofía de *NetDevOps* combina el adecuado desarrollo de *software* con las operaciones de infraestructura en el campo de las Tecnologías de la Información, para lo cual se emplean diversas herramientas que facilitan esa integración y automatización de funciones, una de ellas Ansible tal como se analizó en la sección anterior, por lo que es momento de mencionar a las dos herramientas que junto con Ansible forman el principal ecosistema de desarrollo en el área del *networking*: Puppet y Chef.

Antes de empezar con el análisis, es necesario definir el concepto de Managers de Configuración, los cuales no son más que equipos/servidores que dotan de una capa de abstracción a la red, entre la configuración deseada por el administrador de la red y la infraestructura en sí, dando conceptos de idempotencia, monitoreo de acciones y automatización explicado en capítulos anteriores, creando un ecosistema y ambiente efectivo, donde se almacena datos para tomar decisiones y acciones a futuro.

Puppet y Chef están entre los primeros, más conocidos y principales *Managers* de Configuración.

#### Puppet

Puppet es una herramienta *open-source* de administración y configuración centralizada y automatizada de recursos tanto para el área de servidores y DCs como en el campo de las redes de datos. En la actualidad existen desarrollos comerciales que brindan soporte como *Puppet Enterprise*<sup>25</sup>.

Puppet, al igual que Chef, están escritos en base al lenguaje Ruby<sup>26</sup> para establecer sus procesos de automatización, pero para Puppet, se maneja su propio lenguaje de configuración por motivos de simplicidad denominado *Puppet DSL – Domain Specific Language*, creando *scripts* denominados **manifiestos**, en los cuales se define el estado deseado de la infraestructura. La configuración completa, la cual puede estar compuesta por uno o más manifiestos, se conoce como **catálogos**.

Una diferencia entre Puppet y Ansible, es que Ansible es *agentless*, mientras Puppet es *agent-based*, lo que implica que, para conseguir automatizar una red, un agente debe estar instalado en

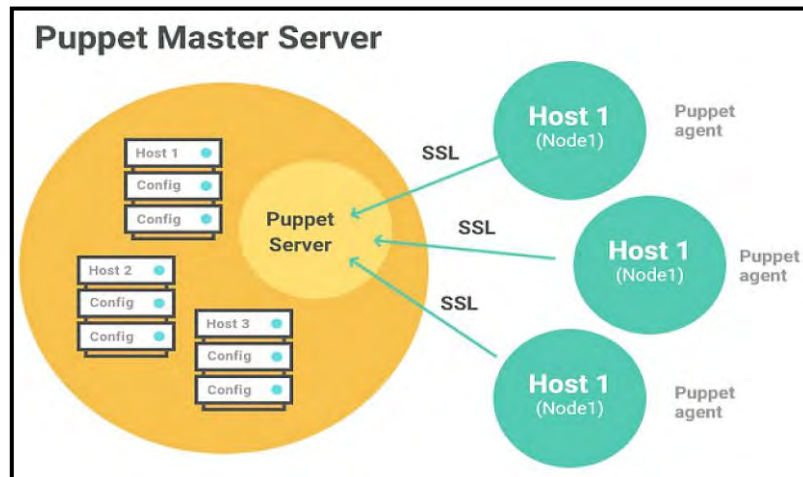
---

<sup>25</sup> Puppet Enterprise: <https://puppet.com/products/puppet-enterprise/>

<sup>26</sup> Ruby: <https://www.ruby-lang.org/es/>

cada uno de los nodos a ser administrados y configurados, lo que en ciertas ocasiones puede ser una desventaja, especialmente en entornos de múltiples fabricantes, en esos casos se utiliza un elemento denominado *Puppet Proxy Agent*.

La arquitectura base de Puppet se puede ver en la siguiente imagen.



**Figura 2-39 Esquema de Puppet**  
Recuperado de (Yigal, 2017)

Puppet funciona bajo en concepto de cliente/servidor, donde los clientes son los nodos administrados que tienen el agente Puppet instalado y el servidor es el equipo que centraliza las configuraciones. Este último se denomina *Puppet Master-Server*.

De igual manera permite tener un control de cambios y versiones al realizar verificaciones periódicas (por defecto cada 30 minutos), dando así visibilidad al administrador, además de control de errores, logs e información sobre los equipos (*Puppet Facter*)

Existe además un repositorio denominado *Puppet Forge*<sup>27</sup> donde la comunidad comparte sus avances, mejoras y adiciones de módulos a ser usados en Puppet.

#### Conexión entre la infraestructura y Puppet Master-Server

Es claro decir que equipos de red necesitarán de un *Puppet Proxy-Agent*, el cual no es más que un dispositivo que pueda realizar conexiones SSH con la infraestructura (TCP 22) y establecer una conexión al *Master-Server* (TCP 8140) mediante certificados SSL válidos.

El *Puppet Proxy-Agent* debe contar con un archivo que identifique al servidor, así como a los nodos, el primero bajo el nombre de **puppet.conf** y el segundo **device.conf** en el *path /etc/puppet*.

```
[agent]
server = puppet.ejemploPHDTesis.com
```

**Script 11 Archivo puppet.conf – Puppet Proxy Agent**  
Fuente: Autor

<sup>27</sup> Puppet Forge: <https://forge.puppet.com/>

```
[SW1.ejemploPHDTesis.com]
type cisco
url ssh://puppet:password@SW1.ejemploPHDTesis.com/?enable=UNLP
```

*Script 12 Archivo device.conf – Puppet Proxy Agent*  
*Fuente: Autor*

En los *Scripts 11 y 12* se establece la conexión de un *Puppet Proxy-Agent* hacia un *Puppet Master* en la dirección IP correspondiente a `puppet.ejemploPHDTesis.com` y la conexión hacia un *switch* de nombre `SW1` en la dirección IP correspondiente a `SW1.ejemploPHDTesis.com`. La URL a este equipo debe contener el usuario y contraseña SSH para ingresar, así como el *enable secret* para ingresar al modo de configuración global.

Según la documentación de (Puppet, 2021), se sugiere tener un NTP Server y DNS Server.

Para inicializar la comunicación, en el *Puppet Proxy Agent* se requiere del comando **puppet device** y en *Puppet Master* **puppet cert sign SW1.ejemploPHDTesis.com**

```
$ puppet device SW1.ejemploPHDTesis.com --verbose
applying configuration to SW1.ejemploPHDTesis.com at
ssh://SW1.ejemploPHDTesis.com/
Info: Creating a new SSL key for SW1.ejemploPHDTesis.com
Info: Caching certificate for ca
Info: Creating a new SSL certificate request for SW1.ejemploPHDTesis.com
Info: Certificate Request fingerprint (SHA256):
65:FC:AA:E3:F5:E5:5D:05:D0:D9:...
Info: Caching certificate for ca
```

*Figura 2-40 Ejecución comando puppet device*  
*Fuente: Autor*

### Puppet Manifest en Puppet Master

Un manifiesto es el archivo donde se encuentra la configuración que será enviada a los nodos en Puppet y tienen extensión `.pp`. La característica fundamental es que al tener un lenguaje propio de Puppet (*Puppet DSL*), se emplea el paradigma de programación declarativa tipo JSON o YAML en lugar de imperativa como en bash o Python.

```
# Configurando la Interfaz e1/1 de SW1 como puerto L2 en Puppet
cisco_interface { "Ethernet1/1" :
  switchport_mode => enabled,
}
```

*Script 13 Archivo ConfSW1.pp – Puppet Manifest*  
*Fuente: Autor*

Se debe tener en cuenta que es factible el uso de módulos e importarlos de *Puppet Forge* para facilitar ciertas configuraciones típicas, como en un *switch* la creación de VLANs o en un *router* instanciar el enrutamiento mediante OSPF.

## Chef

Junto con Ansible y Puppet, Chef es una de las herramientas *open-source* más usadas en el contexto de *NetDevOps*. Tiene características similares con Puppet, pues está escrito en Ruby, utiliza un modelo basado en agente y tiene configuración declarativa, aunque es posible alinearlos más al estilo de Ruby (imperativo).

El *Script 14 Puppet Manifest vs. Chef Cookbook – Hello World* muestra la comparación de *Hello World* escrito como Manifiesto (de Puppet) y *Cookbook* (de Chef).

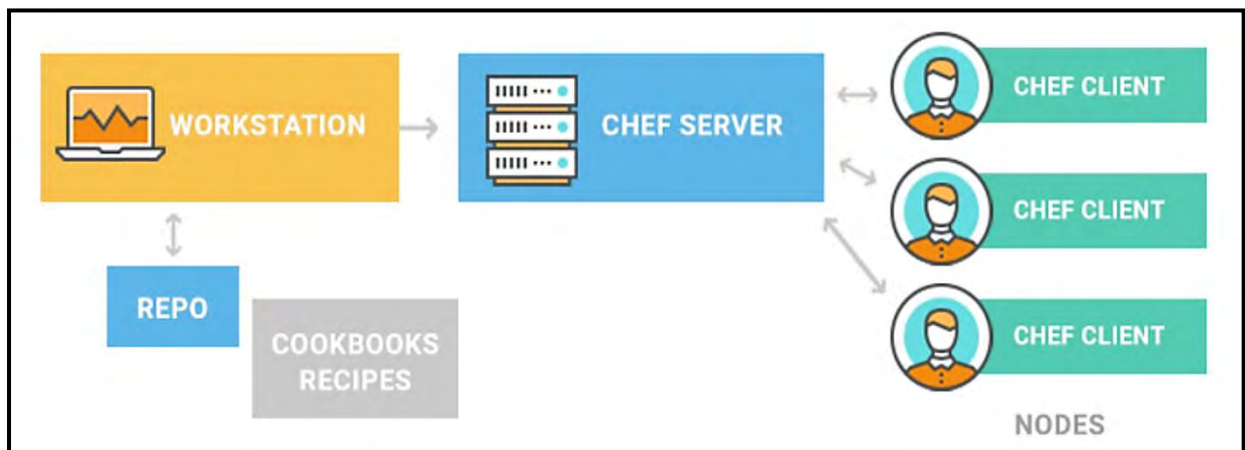
```
# Puppet
file { '/tmp/hello'
  ensure => 'present',
  content => "hello, world!",
}
```

```
# Chef
file '/tmp/hello' do
  content 'hello, world!'
end
```

**Script 14 Puppet Manifest vs. Chef Cookbook – Hello World**  
Recuperado de (Yigal, 2017)

Como se observa en la *Figura 2-41 Esquema de Chef*, existe un dispositivo denominado *Chef Workstation*, el cual es una máquina que administrará la red; en dicha computadora, estarán las herramientas necesarias para automatizar la infraestructura. El nombre del archivo que contiene la configuración de los equipos se llama *recipes* o recetas en español. El conjunto de recetas, librerías, archivos, módulos, pruebas, se denomina *Cookbook*.

La siguiente figura muestra la estructura básica de Chef.



**Figura 2-41 Esquema de Chef**  
Recuperado de (Yigal, 2017)

Otra de las herramientas presente en *Chef Workstation* es *Chef Repo*, el cual es el repositorio general en donde tanto las recetas y *Cookbooks* son creados y se sugiere se tenga en conjunto con un control de versión como Git.

La línea de comando de *Chef Workstation* se conoce como *Chef* y *Knife* y esta corre en una instancia denominada *Chef Infra-Server* o *Chef-Server*, el cual es considerado el punto de control y administración de la infraestructura.

Por otro lado, los nodos o dispositivos a configurar deben contar con un *software* que los convierta en *Chef Infra-Clients*. Muchos fabricantes tienen en sus NOS (*Network Operating Systems*) soporte integrado para Chef, tanto en ambientes físicos o virtuales. Según (Jackson, Gooley, Iliesiu, & Malegaonkar, 2020), Cisco Systems, F5, Arista, entre otros, cuentan con el cliente de Chef integrado en sus equipos.

Para la comunicación *Chef Infra-Server* y *Chef Infra-Client*, se utiliza un mecanismo de registro mediante pares de llaves públicas RSA, con el fin de sincronizar *Cookbooks* sólo con los dispositivos debidamente autenticados.

Chef cuenta con una herramienta con las mismas funciones de recolección de información (Utilización de CPU, memoria, OS, etc) que *Puppet Facter*, el cual se llama *Chef Ohai*<sup>28</sup>

Para el uso de módulos prediseñados y facilitar la configuración mediante Chef, existe *Chef Supermarket*<sup>29</sup>.

### Ejemplo de Chef Cookbook

Para ilustrar la configuración de un par de *Cookbooks*, los siguientes *scripts* sirven para la configuración IP de una interfaz L3 y el segundo *script* para la asignación de una interfaz L2 a la VLAN 10 en equipos Cisco con IOS.

```
cisco_interface 'Ethernet1/1' do
  action :create
  ipv4_address '192.168.10.10'
  ipv4_netmask_length 24
  ipv4_proxy_arp true
  ipv4_redirects true
  shutdown false
  switchport_mode 'disabled'
end
```

**Script 15 Chef Cookbook para la configuración IP de una interfaz L3**  
Fuente: Autor

```
cisco_interface 'Ethernet1/1' do
  action :create
  access_vlan 10
  shutdown false
  switchport_mode 'access'
  switchport_vtp true
end
```

**Script 16 Chef Cookbook para la configuración de una interfaz L2 como parte de VLAN 10**  
Fuente: Autor

---

<sup>28</sup> Chef Ohai: <https://docs.chef.io/ohai/>

<sup>29</sup> Chef Supermarket: <https://supermarket.chef.io/>

## Netmiko, NAPALM y Nornir: Herramientas tipo Python *Library*

El contexto de *NetDevOps* entrega una gran cantidad de herramientas útiles para tener automatización y programabilidad en las redes, la pregunta ahora sería, cuál de todas usar. La respuesta depende tanto de la situación, equipos, tipo de infraestructura o incluso de las habilidades de los profesionales en Tecnologías de la Información.

Una herramienta adicional es el uso de librerías en programas escritos en Python, lenguaje considerado OOP u *Object-Oriented Programming* tanto para trabajar con datos estructurados y no estructurados, así como funcionar como herramienta *NetDevOps*, para con ello obtener libertad total de administración, configuración y automatización.

Con el fin de lograr la comunicación entre el dispositivo central de configuración (o controlador de configuración) y la infraestructura de TI, es imprescindible un protocolo seguro que permita el envío y recepción de mensajes, inmediatamente, saltarán las siglas SSH (*Secure Shell*). **Paramiko**<sup>30</sup> es una implementación de SSH para Python usado para interconectar distintos *hosts*, sin embargo, resultó ser complicado para ciertos equipos en especial en procesos de autenticación, es así que surgió **Netmiko**<sup>31</sup>, una librería Python construida sobre Paramiko diseñada para solventar esas dificultades.

Ahora, una vez que se tiene claro la forma de conexión, se debe definir cuál es la manera de generar procesos automáticos basado en programabilidad a través de Python.

**NAPALM**<sup>32</sup>, considerado una especie de capa de abstracción o API que se ubica sobre cualquier protocolo, diseñado para establecer comunicación entre el equipo de automatización y la infraestructura (SSH, SSL, TLS, etc.) dando la posibilidad de obtener, fusionar o reemplazar una configuración enviada a distintos NOS (*Network Operating Systems*), así como realizar acciones de telemetría y obtención de datos. NAPALM tiene la posibilidad de trabajar junto con Ansible/Puppet/Chef para simplificar los *Playbooks/Manifiestos/Cookbooks*.

NAPALM es una excelente librería para automatización, pero sigue dando inconvenientes al momento de generar inventarios de equipos, recolectar datos de la red, así como tiene poca capacidad de *multi-threading*, es decir, bajo desempeño para ejecutar tareas en cientos de equipos a la vez, es ahí donde se considera a **Nornir** una buena opción.

**Nornir**<sup>33</sup> provee la misma funcionalidad que Ansible, pero en un entorno 100% escrito en Python, lo cual es ideal para tener libertad de programación y generar entornos mucho más efectivos a medida que la cantidad de nodos a programar aumenta. Es un *framework* que podría combinarse con NAPALM/Netmiko y así obtener un entorno realmente flexible.

Para verificar la factibilidad de uso de Netmiko y NAPALM con equipos tradicionales reales, el **Anexo E: Pruebas de Concepto de Netmiko y Napalm - Telemetría** permite analizar la ejecución de un par de PoCs de estas herramientas en un entorno con infraestructura tradicional.

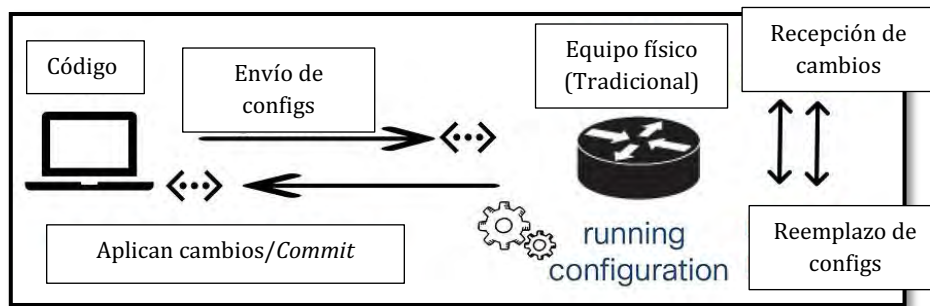
---

<sup>30</sup> Paramiko: <http://www.paramiko.org/>

<sup>31</sup> Netmiko: <https://pypi.org/project/netmiko/>

<sup>32</sup> NAPALM: <https://napalm-automation.net/>

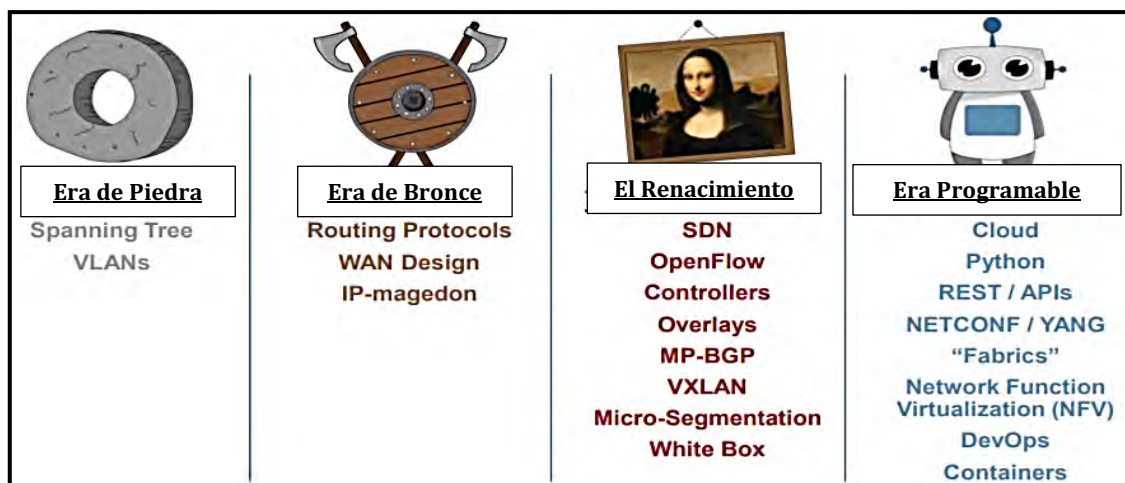
<sup>33</sup> Nornir: <https://nornir.readthedocs.io/en/latest/>



**Figura 2-42 Esquema de NAPALM**  
 Recuperado de (Clark, 2019)

## 2.4 Comparación entre SDN y otras formas de virtualización

Hank Preston, Cisco DevNet Developer Evangelist, identificó las cuatro Eras del *Networking*, estableciendo su evolución, las cuales se pueden resumir en la *Figura 2-43*.



**Figura 2-43 Las Cuatro Eras del Networking**  
 Recuperado de (Salazar-Chacón, Naranjo, & Marrone, 2020)

La "Era de Piedra" y la "Era de Bronce" del *networking* son las eras de las redes tradicionales y monolíticas. MPLS es considerado el eslabón entre la era de Bronce y la "Era del Renacimiento".

La "Era del Renacimiento" y la "Era Programable" son las nuevas eras del *Networking*.

Tal como se ha mencionado anteriormente, el futuro de las redes de datos es la automatización, y *NetDevOps* tiene en su núcleo a la automatización mediante APIs.

El *Networking* requiere de cierta innovación tecnológica para hacer posible esta programabilidad y automatización, el primer paso fue permitir que el *software* controle plenamente el *hardware*, pero para que ello ocurra, es necesario del uso de *hardware* genérico y estándar que fomente la innovación, dando así origen a *OpenNetworking* y *Software Defined Networking* (SDN); con este ecosistema, se llegaría a una automatización de red completa, por lo tanto SDN es el eslabón para migrar de la "Era del Renacimiento" a la "Era de la Programabilidad".

### Software Defined Networking

Los retos principales de las redes tradicionales son su elevado CAPEX y OPEX en su implementación, presión externa por parte de proveedores de contenido, crecimiento exponencial de uso de ancho de banda en las infraestructuras, provisión manual tanto para despliegue como monitoreo y resolución de problemas, además de equipos y protocolos propietarios que no interactúan adecuadamente, así como el uso masivo del *cloud*, redes extremadamente complejas, poco escalables y lentas, por nombrar los retos más relevantes que han sido explicados en páginas anteriores.

Estas presiones a la infraestructura motivaron a la innovación en las redes, dando cabida en primer lugar a SDN y a NFV, ya que las redes tradicionales no operan adecuadamente en términos de rendimiento con las redes empresariales y más aún en DCs y SPs modernos.

SDN según lo analizado implica la separación del plano de control del plano de datos o funciones de envíos de paquetes. En base al criterio de Ed Tittel en (Tittel, 2018), SDN define esencialmente el “*big picture*” de las redes del presente y futuro: una infraestructura deseada, en donde se tiene control mediante políticas inteligentes y visibilidad total, justamente esa característica es el nexo con *NetDevOps*, contar con un control centralizado.

Los elementos clave de SDN se establecen en la *Tabla 2-7*

**Tabla 2-7 Puntos Clave de SDN**

<b>Puntos clave de SDN</b>	<b>Descripción/Características</b>
Control de Red Programable	Habilidad de aprovisionar nuevos elementos de red y equipos o reconfigurar los existentes desde un conjunto de interfaces programables, permitiendo a los administradores de la red configurarla de manera fácil, empleando herramientas de <i>scripting</i> o mediante APIs propias o de terceros y entornos GUI.
Agilidad en la respuesta (Acción reactiva inmediata)	SDN permite el ajuste dinámico de los flujos de datos con el fin de adaptarse rápidamente a las necesidades particulares de la infraestructura y la demanda de usuarios.
Inteligencia Centralizada (Controladores)	Los controladores, implementados a nivel de <i>software</i> (virtualizados) o <i>hardware</i> , mantienen una vista coherente de toda la red. Desde el punto de vista de las aplicaciones, SDN sería como “un solo <i>switch</i> lógico”.
Configuración Programable	Los administradores de la red podrán configurar, controlar, asegurar y modificar los recursos de red usando programas SDN automáticos, incluso creando sus propias APIs a través de protocolos e interfaces estandarizadas.
Estandarización y <i>Vendor-Neutral</i>	La estandarización, el uso de <i>Open-Hardware-OpenNetworking</i> y la interoperabilidad es un aspecto extremadamente relevante.

Fuente: (Tittel, 2018)

### Network Functions Virtualization (NFV)

NFV lleva la virtualización y abstracción de la red a un próximo nivel al separar no sólo el plano de control del plano de datos, sino toda función que un equipo puede hacer del *hardware* que lo contiene, es decir, mediante VMs un equipo puede funcionar como *router*, en otro momento como *switch*, *firewall*, *load-balancer*, o cualquier otra función requerida en el momento, por lo que las funciones de red se ejecutan en cualquier nivel y lugar de la red, desde las periferias hasta el núcleo, aceptando, reenviando, realizando *shaping* o filtrando el tráfico de red a medida que este cursa la infraestructura.

Los puntos más importantes de NFV se indican en la *Tabla 2-8*.

**Tabla 2-8 Puntos Clave de NFV**

<b>Puntos clave de NFV</b>	<b>Descripción/Características</b>
Software virtualizado en lugar de <i>hardware</i> dedicado	Esta característica significa que los servicios de red como enrutamiento, conmutación, balanceo de carga, optimización WAN, pueden ser reemplazados por VMs, las cuales se gestionan y orquestan bajo un hipervisor o controlador si la infraestructura subyacente es SDN.
Reducción substancial de CAPEX y OPEX	Los servicios de red, cualquiera que estos se requieran, podrán correr bajo servidores con procesador ARM, x86 o de cualquier tipo, reduciendo así los gastos de capital y operativos. Debido a la flexibilidad que representa tener un servidor, principalmente porque es posible aumentar o disminuir su capacidad en base a las necesidades del <i>software</i> , no es necesario sobredimensionar una red para momentos de gran demanda como tradicionalmente se hacía. De igual manera genera ahorros en cuanto a espacio y consumo eléctrico (Xu, Liu, Wang, & Xu, 2016).
Iniciativa generada por la Industria	NFV es una iniciativa propuesta en sus inicios por AT&T, BT ( <i>British Telecom</i> ), Deutsche Telekom y otros grandes telecos a nivel mundial. Actualmente NFV está coordinado y estandarizado a través de ETSI ( <i>European Telecommunications Standard Institute</i> )

Fuente: (Tittel, 2018)

SDN y NFV usan abstracciones de red, pero cada uno con una aproximación y ejecución distinta, tiene similitudes y diferencias las cuales se resumen en la *Tabla 2-9*.

**Tabla 2-9 Similitudes y Diferencias entre NFV y SDN**

<b>Similitudes</b>	
Emplean Abstracciones de Red	El uso de la virtualización es evidente tanto en SDN como en NFV, sin embargo, cada uno lo hace a un nivel de profundidad distinto. El primero separa las funciones del plano de control del plano de datos, mientras el segundo se basa en la total separación de cualquier función del <i>hardware</i> .
Pueden funcionar en	Es ideal, hoy en día, ejecutar SDN sobre una infraestructura NFV. En este caso, SDN reenvía los paquetes de un dispositivo a otro al mismo

conjunto: SDN y NFV	tiempo: las funciones del plano de control para el enrutamiento, establecimiento de políticas, conmutación, corren en un VM en algún lugar de la red o en el <i>Cloud</i> . En este caso, NFV entrega dichas funcionalidades de red denominadas VNF ( <i>Virtual Network Functions</i> ) y SDN los controla y orquesta de forma programática.
Mejoran la efectividad de la infraestructura	SDN y NFV mejoran sustancialmente el desempeño de la red, tanto a nivel operativo, funcional como económico y en experiencia de usuario.
Crecimiento del Mercado	El estudio de proyección realizado por <i>Infonetics Research</i> y publicado en (Ingram Micro, 2017), el mercado global para <i>hardware</i> y <i>software</i> creció de \$USD500 millones en 2013 a \$11 billones en 2018 y se prevé que crezca mucho más hasta el 2025, debido a efectos de la pandemia COVID-19.

---

### Diferencias

---

Niveles de abstracción	Una de las diferencias entre SDN y NFV radica en la manera en cómo separan y abstraen los recursos de la red. SDN abstrae recursos de red físicos como <i>routers</i> y <i>switches</i> , envía la toma de decisiones al plano de control centralizado, el cual decide cómo enviar el tráfico y el <i>hardware</i> implementa en sí el plano de datos. NFV, por el contrario, virtualiza todos los recursos físicos de red gestionados a través de un hipervisor, permitiendo de esa manera el crecimiento exponencial de la red sin adicionar más equipos físicos.
Áreas de Operación	SDN fue diseñado para funcionar en una red de campus, DC o incluso en un ambiente enfocado al <i>Cloud</i> , mientras NFV se enfoca más a infraestructuras de proveedores de servicio.
Organizaciones y Protocolos que los apalancan	SDN, tal como lo hemos visto, está soportado por ONF, generando <i>OpenSDN</i> implementado mediante <i>OpenFlow</i> como protocolo <i>Southbound</i> , mientras NFV por ETSI NFV <i>Working Group</i>

Fuente: (Tittel, 2018)

## 2.5 OpenDaylight Project y NFV

*OpenDaylight* (ODL)<sup>34</sup>, proyecto soportado por *The Linux Foundation* desde enero del 2018, nació en abril del 2013 con el fin de avanzar en la adopción y penetración de SDN, así como generar una base fuerte para NFV, todo con un enfoque de programabilidad y automatización.



**Figura 2-44 OpenDaylight – Linux Foundation**  
 Recuperado de (*OpenDaylight - The Linux Foundation Projects, 2021*)

<sup>34</sup> ODL: <https://www.opendaylight.org/>

ODL se ha convertido en la plataforma tipo controlador SDN más ampliamente implementada en tan solo 7 años de existencia. Hasta la fecha de escritura de la presente tesis, ODL ha generado 14 *releases*, tiene más de 1000 autores de contenido y la comunidad *OpenDaylight* más de un billón de subscriptores según *The Linux Foundation Projects*.

Entre los *vendors* y fabricantes de tecnología fundadores del proyecto están *Arista Networks, Big Switch Networks, Brocade-Lumina, Cisco, Citrix, Ericsson, HP, IBM, Juniper Networks, Microsoft, NEC, Nuage Networks, PLUMgrid, RedHat* y *VMware*.

*Aluminium*, lanzamiento número 13 de ODL (22 de septiembre del 2020), ha consolidado un logro que demuestra el comprometimiento de la comunidad en lograr un entorno abierto, escalable e interoperable en el mundo de SDN ya que ahora soporta nativamente *features* como *edge* y *cloud-native*, así como compatibilidad con proyectos relacionados como ONAP (*Open Network Automation Platform*)<sup>35</sup>, Kubernetes<sup>36</sup>, OpenStack<sup>37</sup> y OPNFV<sup>38</sup>. Cabe decir que existe un nuevo *realese* de nombre *Silicon* (lanzamiento 14 el 2 de abril del 2021), pero a la fecha de la escritura de esta tesis, la versión estable es la 13.0 *Aluminium*.

#### Acerca de *The OpenDaylight Foundation*

El objetivo de ODL *Foundation* es facilitar la colaboración entre desarrolladores, usuarios finales, compañías miembros de LFN (*Linux Foundation Networking*), proyectos *open source* en general y así producir soluciones tecnológicas relevantes y confiables.

El comité de dirección técnica de ODL *Foundation* (TSC)<sup>39</sup> provee un liderazgo sobre el camino técnico a seguir, así como da las pautas para prácticas colaborativas. El TSC es elegido por la comunidad ODL, quedando en funciones con renovación anual.

#### Acerca de la Arquitectura ODL

El núcleo de ODL es el llamado MD-SAL por las siglas de *Model-Driven Service Abstraction Layer*, con el que es posible representar los dispositivos de red de la infraestructura subyacente (*underlying*) como objetos, cuyas interacciones se procesan mediante el llamado SAL.

SAL es el mecanismo de intercambio de datos y modelo de adaptación entre los dispositivos de red representados por modelos YANG y las aplicaciones del entorno. En este punto es importante mencionar que los Modelos YANG proveen una descripción generalizada de las capacidades de una aplicación o dispositivo sin requerir detalles de su implementación, lo que es ideal para SAL, pues estos modelos u objetos son simplemente definidos por sus roles en una determinada interacción.

Dentro de los roles están el de productor, el cual implementa una API generando datos, mientras el rol de consumidor usa dicha API y consume los datos. Estos roles describen de mejor manera la interacción dentro de un SAL de ODL que los mismos términos de SDN *Northbound* y *Southbound* respectivamente.

ODL es considerado un entorno abierto modular y multiprotocolo, entregando el máximo de flexibilidad en un controlador al permitir la inclusión de servicios automatizados, además de

---

<sup>35</sup> ONAP: <https://www.onap.org/>

<sup>36</sup> Kubernetes: <https://kubernetes.io/es/>

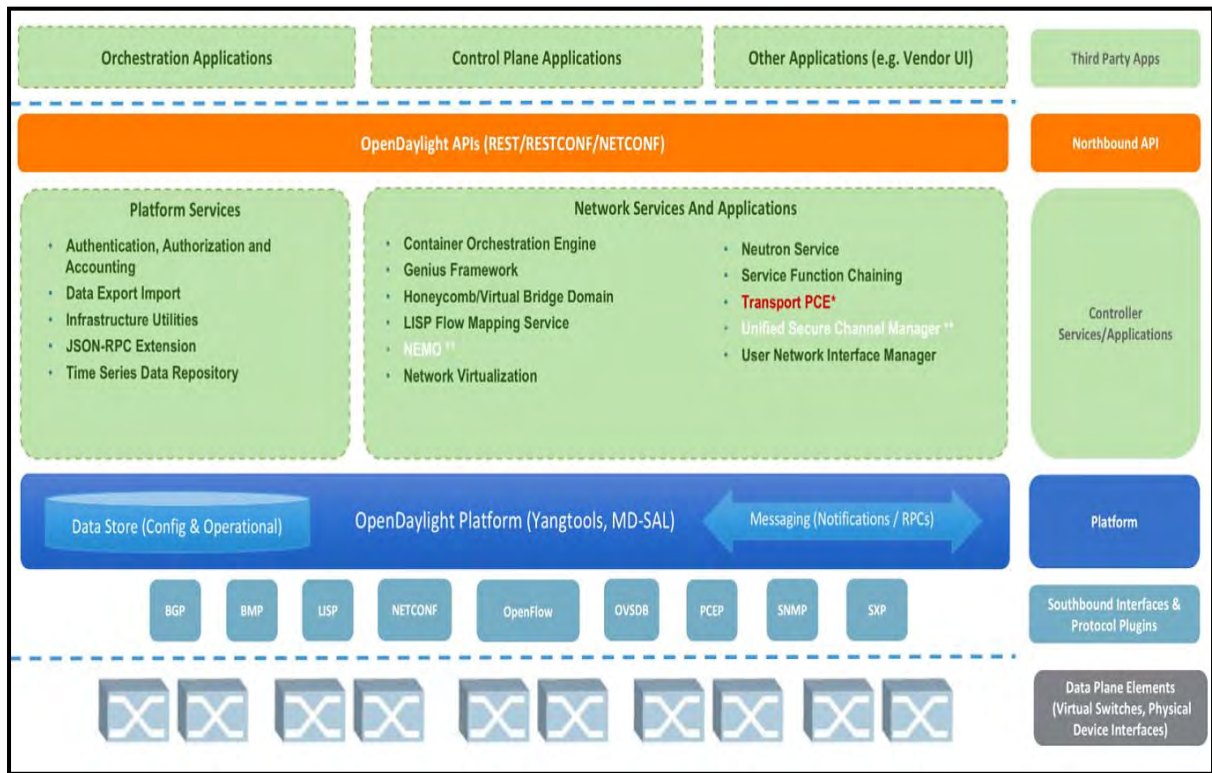
<sup>37</sup> OpenStack: <https://www.openstack.org/>

<sup>38</sup> Open Platform for NFV: <https://www.opnfv.org/>

<sup>39</sup> TSC de ODL: <https://www.opendaylight.org/about/governance/tsc>

soportar perfectamente protocolos como *OpenFlow*, *OVSD*, *NETCONF*, *BGP*, entre otros, tal como se aprecia en la *Figura 2-45*.

El nuevo *release*, *Magnesium*, da la posibilidad además de integrarse nativamente con el *networking* tradicional y determinístico mediante dos nuevos proyectos: *DetNet* y *Plastic*, así como ha mejorado los servicios para un proveedor de servicios mediante *TransportPCE* y *BGP-CEP*, incluyendo mejoras e integración con *Segment Routing* (mejoras al RFC 5440 y *BGP-LS*).



**Figura 2-45 OpenDaylight Architecture- Linux Foundation**  
*Recuperado de (OpenDayLight - Fluorine Release, 2018)*

### Seguridad en ODL

La seguridad es un eje transversal en toda comunicación, razón por la cual ODL ha mejorado en todos sus *releases* este aspecto, específicamente en tres áreas denominadas S3P o Seguridad, Escalabilidad y Desempeño.

Entre los procesos de mejora están conceptos de AAA (*Authentication, Authorization and Accounting*), así como aprovisionamiento de seguridad automática en dispositivos de red y controladores, respondiendo así a las nuevas vulnerabilidades encontradas, trabajando en conjunto con la gran comunidad ODL.

### NFV: Caso de Uso

La promoción de uso de *Frameworks* y arquitecturas abiertas que brinden soporte a un nuevo ecosistema de tecnologías disruptivas ha dado la oportunidad a que tanto el empleo de *Clouds* como de *NFV (Network Functions Virtualization)* puedan ser solucionadas con la adopción temprana de una red SDN tanto en el ámbito empresarial como de proveedores de servicio (Sistemas Autónomos de Tránsito).

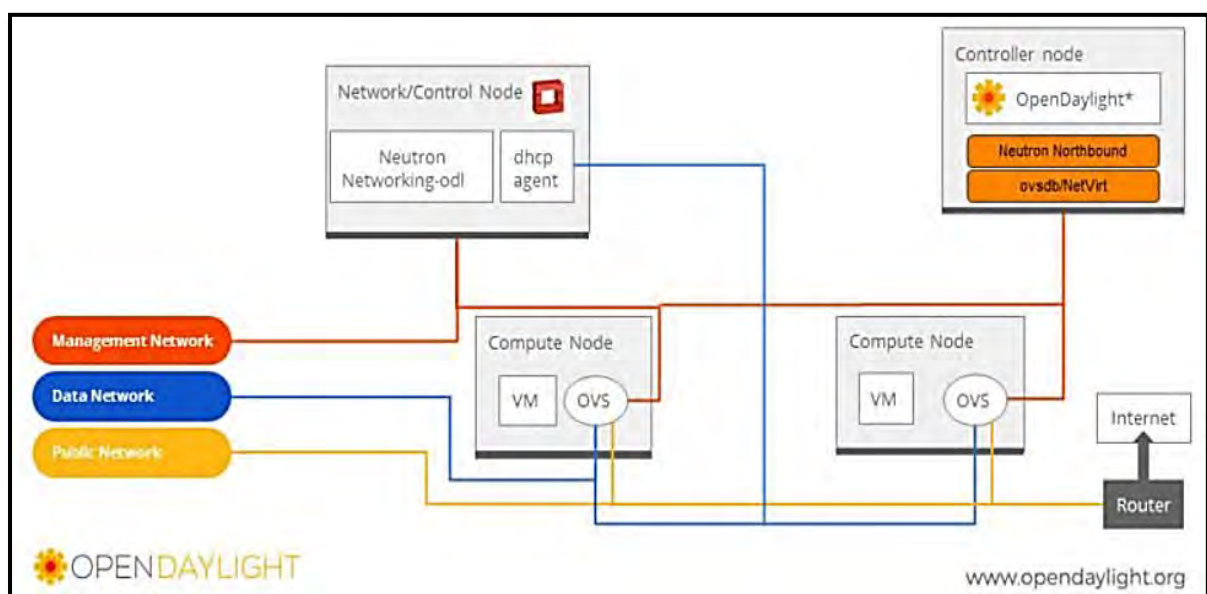
En el núcleo de estas nuevas infraestructuras de comunicaciones y redes está el controlador SDN, el cual mediante APIs abiertas, un conjunto de aplicaciones, soporte a un gran número de dispositivos de red y con la habilitación de programabilidad y automatización, dan paso a un control y administración de la red de forma inteligente.

La migración a este tipo de “nueva generación de redes” tiene muchos obstáculos en su camino, principalmente en el área de la estandarización, interoperabilidad y soporte con múltiples fabricantes/*vendors*, así como interoperar junto a redes tradicionales, razón por la cual la administración, monitoreo y diseño se ve impactado.

Por estas razones, se está evaluando desde el punto de vista de *carriers* e ISPs el uso de una arquitectura SDN común, la cual conciba un control dinámico, flexible y basado en políticas, pero bajo entornos programáticos; es ahí que dichos operadores ven a NFV como una solución práctica para reducir la dependencia de un hardware y herramientas de gestión dedicado, manteniendo entornos virtualizados y controlados mediante automatización.

Migrar hacia el denominado *virtualized networking* implica un cambio substancial y ODL es la arquitectura ideal para apalancar a SDN.

*OpenDayLight* provee abstracción y programabilidad abierta para infraestructuras definidas por software, así como total integración con entornos *cloud* de próxima generación mediante *OpenStack*, por ejemplo, a través de las *open APIs* como Neutron<sup>40</sup> y Neutron/Multi-L2<sup>41</sup> tal como se observa en la *Figura 2-46*.



**Figura 2-46 OpenDaylight y OpenStack**  
 Recuperado de (*OpenDayLight*, 2018)

Modernos y futuros ISPs y CSPs (*Communications Service Providers*) diseñarán una implementación adecuada de NFV sobre SDN, y ODL es una de las plataformas en las cuales se han desarrollado pruebas de concepto o PoCs, entre ellas las series de *ETSI NFV Proof of Concepts*<sup>42</sup> y en particular la prueba No. 19 denominada *Service Acceleration of Network*

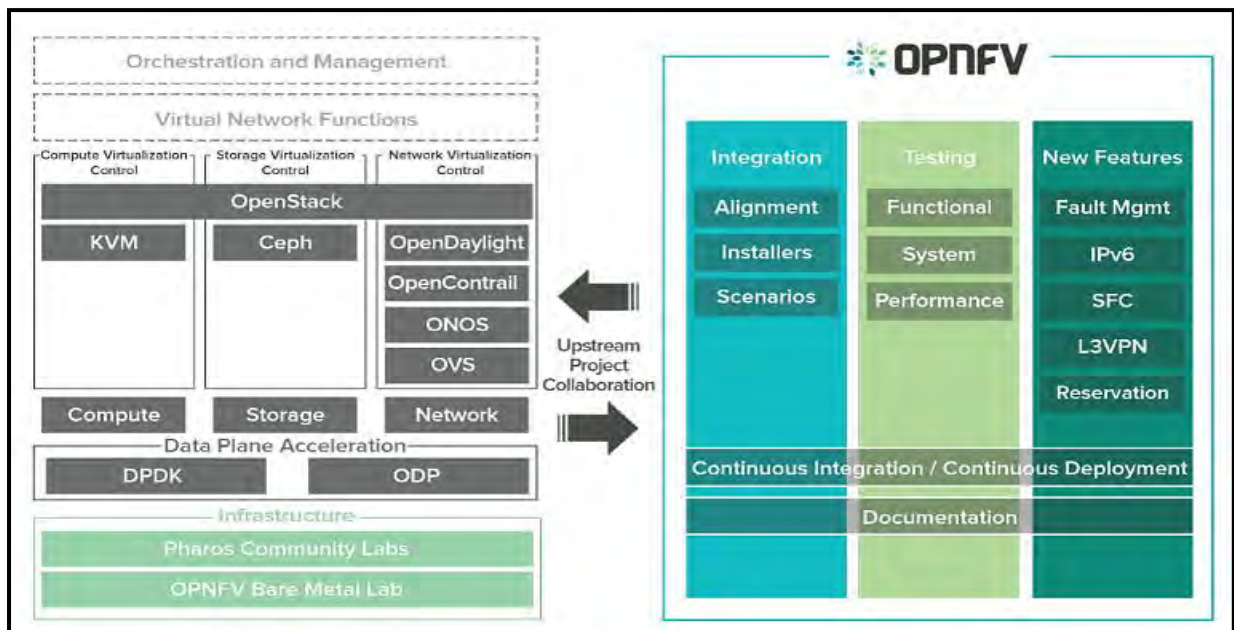
<sup>40</sup> Neutron API (OpenStack): <https://wiki.openstack.org/wiki/Neutron>

<sup>41</sup> Neutron/ML2: <https://wiki.openstack.org/wiki/Neutron/ML2>

<sup>42</sup> NFV Proof of Concepts: <https://www.etsi.org/technologies/nfv/nfv-poc>

*Functions in Carrier Networks* realizada con ODL para demostrar cómo SDN puede mejorar la adopción de NFV y orquestación de servicios a través de OpenStack. Este PoC fue auspiciado por AT&T y múltiples fabricantes de vSwitches.

*OpenDayLight* es seleccionada como una de las plataformas claves en OPNFV (*Open Platform for NFV*), proyecto *open source* administrado por la *Linux Foundation*.



**Figura 2-47 OpenDaylight y NFV: OPNFV**  
 Recuperado de (*OpenDayLight*, 2018)

## 2.6 Funcionamiento de las Redes SDN basadas en OpenFlow (Open Networking Foundation)

En ambientes SDN, la abstracción del Plano de Control del Plano de Datos se da gracias al controlador SDN, en el cual se definen las políticas de enrutamiento y conectividad necesarias para que una aplicación corra dentro de cualquier infraestructura sin preocuparse de elementos físicos o ASICs (*Application-Specific Integrated Circuits*). Esas políticas son enviadas al Plano de Datos usando diversos protocolos *southbound*, entre ellos *OpenFlow*.

Cuando la infraestructura emplea *OpenFlow*, dicha infraestructura SDN se denomina *OpenSDN*.

Con el fin de implementar las políticas definidas en el controlador, el Plano de Datos que en este caso serían *OpenFlow Switches*, tienen una o más tablas de flujos (*Flow-table*), un *Meter-Table* por cada flujo y un *Group-Table*, este último para métodos adicionales de envío de datos. Las tablas de un equipo *OpenSDN* permiten realizar búsquedas rápidas de paquetes y envío de datos según políticas preestablecidas.

A nivel físico, un equipo *OpenSDN* según (Open Networking Foundation - OpenFlow Switch Spec, 2013), puede tener puertos tanto físicos, lógicos o reservados, sean necesarios, los cuales sirven como entrada o salida de flujo de datos.

La Figura 2-48 muestra una esquematización de los componentes de un equipo (*switch*) *OpenSDN*.

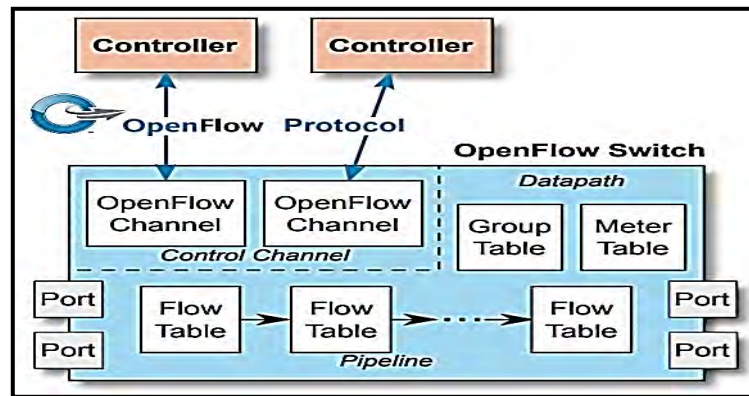


Figura 2-48 Principales componentes de un OpenFlow Switch  
Recuperado de (Open Networking Foundation, 2016)

El controlador que usa OpenFlow en realidad no cambia ninguna configuración de los equipos del plano de datos, simplemente actualiza o modifica sus tablas de flujo, por ello, el controlador podría añadir, actualizar o borrar entradas a esas tablas con efectividad.

Para evitar únicos puntos de falla, múltiples controladores pueden coexistir en la misma infraestructura, en esos casos, *OpenFlow-Channels* son usados.

### OpenFlow Entries

Existen dos entradas principales en las Tablas de flujo:

- Entrada de flujo reactivo: Es un tipo de entrada dinámica necesaria para la conectividad de extremo a extremo en la infraestructura OpenSDN.
- Entrada de flujo proactivo: Es un tipo de entrada previamente programada en el controlador mediante una determinada política de enrutamiento y *forwarding*. Esta entrada está en constante avance, pues es factible contar con inteligencia artificial para predecir comportamientos (infraestructuras *Next-Generation* o aquellas capaces de gestionar, monitorear y controlar el comportamiento antes, durante y después de un evento en la red).

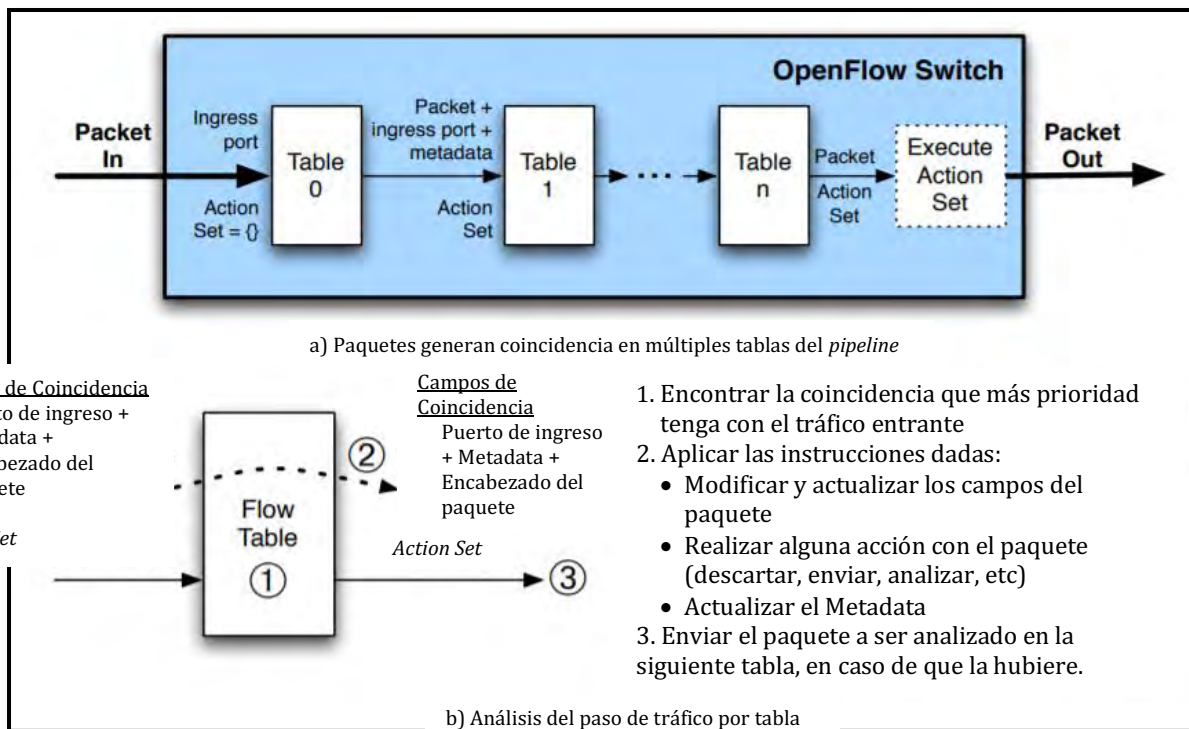
### 2.6.1 Proceso de *Forwarding* en OpenSDN

La Tabla de flujo está compuesta por una serie de entradas las cuales se usan como campos de coincidencia según el tráfico que ingresa al equipo.

Es importante mencionar que un *OpenFlow Switch* podría tener más de una *flow table*, por ello, el proceso de *matching* o coincidencia empieza en la primera tabla de flujo o *Flow Table 0* y continúa secuencialmente a través de las demás tablas en la llamada *Table Pipeline*.

Las entradas de la tabla son secuenciales basadas en una prioridad: a mayor prioridad, el proceso de *matching* o coincidencia ocurre primero.

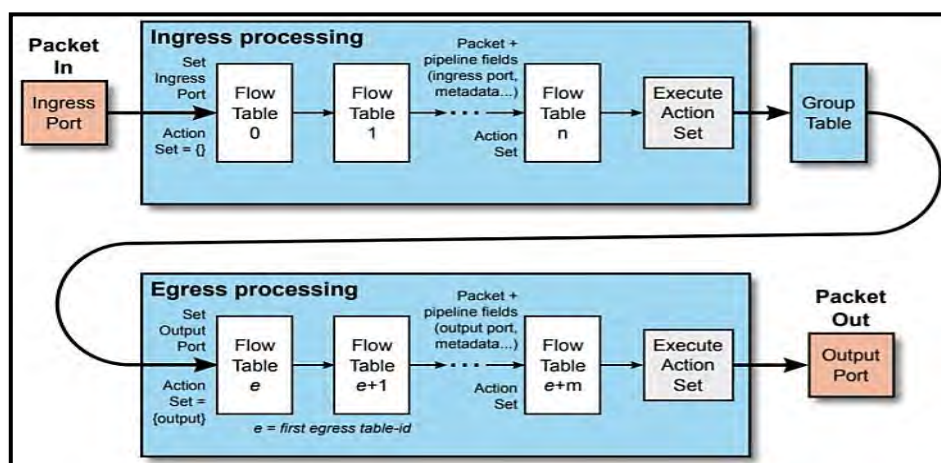
La actualización de los datos que ocurre de tabla a tabla se denomina *OpenFlow Metadata*.



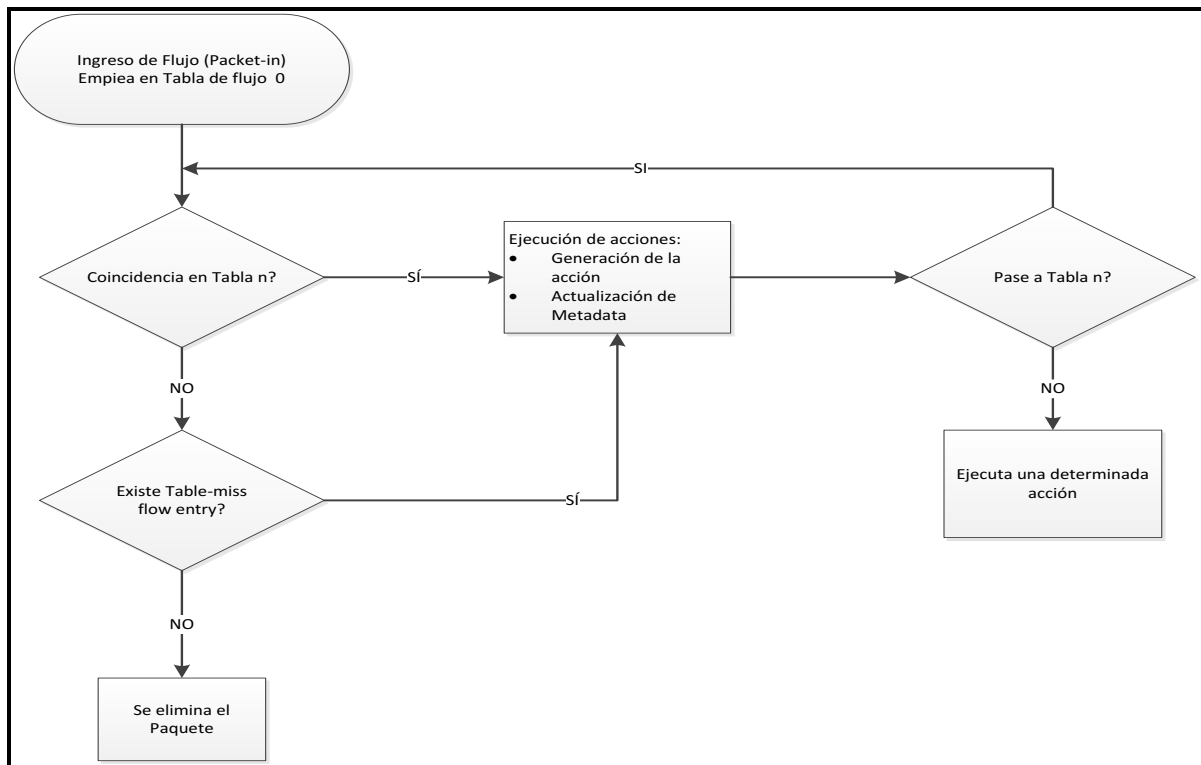
**Figura 2-49 Proceso de Matching en OpenFlow**  
Basado en (Open Networking Foundation - OpenFlow Switch Spec, 2013)

En el momento en que una coincidencia se da, una acción es ejecutada, entre ellas, realizar el envío, eliminar el paquete, filtrarlo, realizar una priorización QoS, generar un *tag* de VLAN, VXLAN o MPLS, entre otras acciones. Si no existe coincidencia, la acción depende de la configuración de la tabla denominada *Table-miss Flow Entry*.

La Figura 2-50 esquematiza el proceso de *Table Pipeline*, mientras la Figura 2-51 el diagrama de flujo del *matching* o coincidencia de un flujo.



**Figura 2-50 Proceso de OpenFlow Table Pipeline**  
Recuperado de (Open Networking Foundation, 2016)



**Figura 2-51 Diagrama de Packet Flow en un OpenFlow Switch**  
Basado en (Open Networking Foundation, 2016)

## 2.6.2 Canal OpenFlow y Mensajes OpenFlow

El canal *OpenFlow* es el término empleado para referirse a la interfaz que conecta un *OpenFlow switch* a un controlador SDN. A través de esta interfaz, el controlador configura y administra el dispositivo que pertenece al plano de datos, así como recibe eventos y logs por parte del *switch* para enviarlas en sentido *Northbound* y notificar al administrador de la red.

El canal de control del *switch* puede soportar tanto un solo Canal *OpenFlow* con un único controlador, o múltiples canales permitiendo que más de un controlador administre el *OpenFlow Switch*.

Con el fin de establecer esa comunicación dispositivo-controlador, el protocolo *OpenFlow* define tres tipos de mensajes según (Open Networking Foundation - OpenFlow Switch Spec., 2015):

- Mensajes *controller-to-switch*
- Mensajes asincrónicos
- Mensajes simétricos

### Mensajes Controller-to-Switch

Estos mensajes los envía primero el controlador y pueden o no tener respuesta del *switch*.

Entre los mensajes de este tipo están:

- *Features*: Uno de los mensajes iniciales en el intercambio entre controlador-switch. El controlador intentará solicitar la identidad y características básicas del *switch* a controlar enviando *feature-requests*. La respuesta por parte del *switch* es el *feature-reply*. Este proceso ocurre en el establecimiento del canal *OpenFlow*.

- *Configuration*: El controlador puede solicitar parámetros de configuración en el *switch*, para ello usa este mensaje.
- *Modify-State*: Son mensajes enviados por el controlador para administrar el estado de un *switch*, mediante las acciones de añadir, borrar o modificar entradas de flujo y setear propiedades del puerto del *switch*.
- *Read-State*: Mensajes usados por el controlador para recolectar información y estadística a nivel de Plano de Datos.
- *Packet-out*: Usados por el controlador para enviar mensajes a través de un puerto del *switch*, así como reenviar paquetes recibidos mediante mensajes *Packet-in*. Los mensajes *Packet-out* deben contener el paquete entero a enviar, junto con una lista de acciones a ser aplicadas. En caso de una lista vacía de acciones, el paquete es eliminado.
- *Role-Request* y *Asynchronous-Config*: Mensajes empleados para reconocer el rol que se tiene dentro de un canal OpenFlow (*role request*) y para aplicar filtros adicionales en mensajes asíncronos (*Assynchronous-Config*). Son especialmente usados cuando existen entornos multicontrolador.

### Mensajes Asíncrónicos

Este tipo de mensajes se envían sin una solicitud explícita del controlador al *switch* cuando llega un paquete o hay un cambio en su estado.

Entre los mensajes más importante de este tipo están:

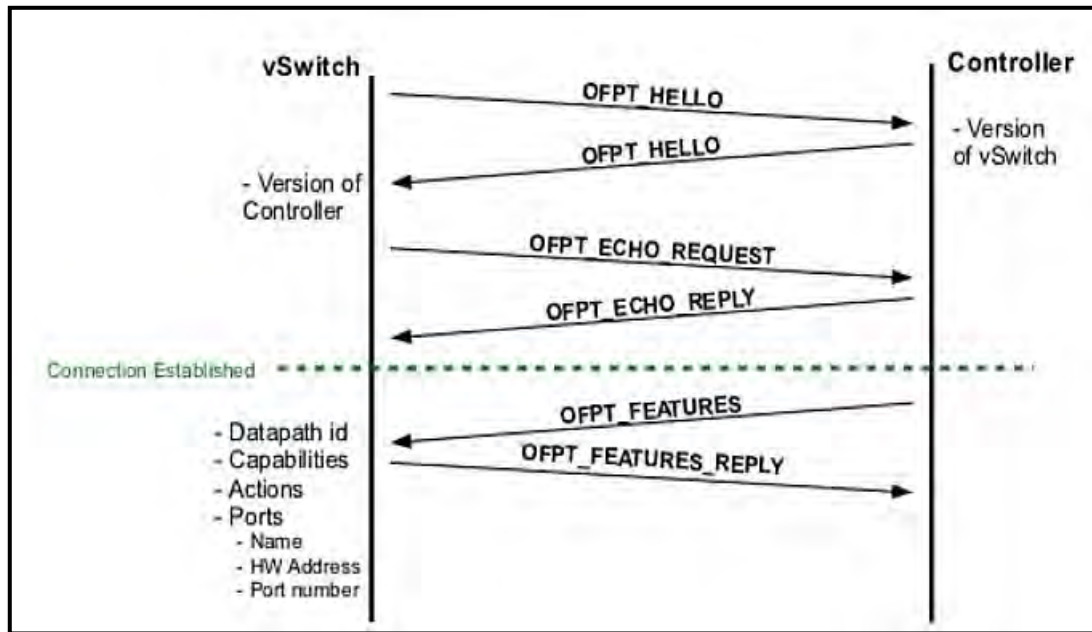
- *Packet-in*: Mensaje utilizado para transferir el control de un paquete al controlador.
- *Flow-Removed*: Mensaje que informa al controlador sobre la remoción de un *flow entry* de la tabla de flujos que tenga la bandera `OFPPF_SEND_FLOW_REM`, normalmente generadas cuando se recibe una petición de borrado de flujo.
- *Port-Status*: Informa al controlador sobre el cambio en un puerto.
- *Role-Status*: Usado cuando el controlador informa de un cambio en su estado, por ejemplo, al tener un entorno multicontrolador y cuando uno de ellos se elige como *master*, el *switch* enviará un mensaje de tipo *role-status* al antiguo controlador.
- *Controller-Status*: Sirve para informar cuando ocurre un cambio en el canal *OpenFlow*, por ejemplo, cuando un controlador pierde contacto con el plano de datos.
- *Flow-Monitor*: Sirve para informar al controlador sobre un cambio en el *flow table* en un tipo de *tracking* nativo.

### Mensajes Simétricos

Los mensajes simétricos se envían como parte del desenvolvimiento y operación del protocolo *OpenFlow* y sin que sean solicitados. Entre los más importantes de este tipo podemos mencionar:

- *Hello*: Intercambiados entre el *switch* y controlador una vez que empieza el proceso de conexión.
- *Echo*: Utilizado como mecanismo para saber si la conexión *switch*-controlador sigue activa. Se lo puede usar para medir latencia y ancho de banda de la red SDN.
- *Error*: Mensaje empleado como notificación de problemas de conexión, mayormente enviado por el *switch* para indicar una falla en cualquier petición iniciada por el controlador.

- *Experimenter*: Mecanismo estandarizado utilizado por *switches OpenFlow* para ofrecer funcionalidades adicionales o implementaciones futuras del protocolo.



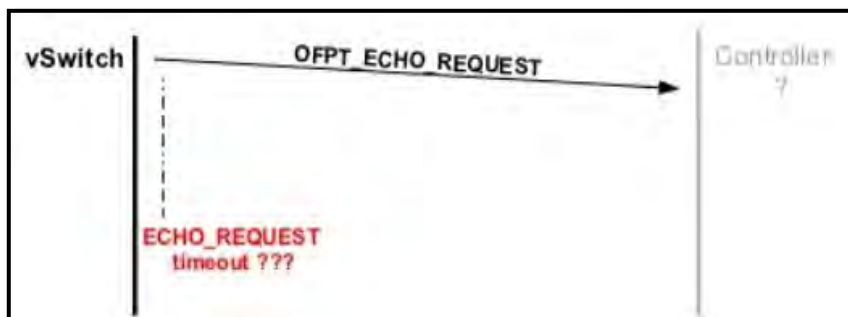
**Figura 2-52 Intercambio de mensajes OpenFlow entre Switch y Controlador - Setup**  
 Recuperado de (Curran, 2012)

### 2.6.3 Manejo de Mensajes OpenFlow

El protocolo *OpenFlow* tiene un concepto de entrega y procesamiento confiable de mensajes, pero sin que ello implique el uso de ACKs o acuses de recibo de forma automática o asegurar un procesamiento de mensajes en el mismo orden que salen del origen.

#### Entrega y Envío de Mensajes

Los mensajes tienen garantía de entrega a menos que el canal *OpenFlow* se caiga por completo, en cuyo caso el controlador no contará con ninguna información sobre el estado del *switch*, por lo que el plano de datos entraría en un estado conocido como *fail standalone mode* o modo de funcionamiento independiente por falla tal como se observa en la *Figura 2-53*.



**Figura 2-53 Fail Standalone Mode OpenFlow Switch**  
 Recuperado de (Curran, 2012)

### Procesamiento de Mensajes

El 100% de los mensajes enviado por el controlador al *switch* deben ser procesados, muchos de los cuales requieren un *reply*, pues en caso de que el *switch* no sea capaz de procesar algún mensaje, éste enviará un mensaje de error.

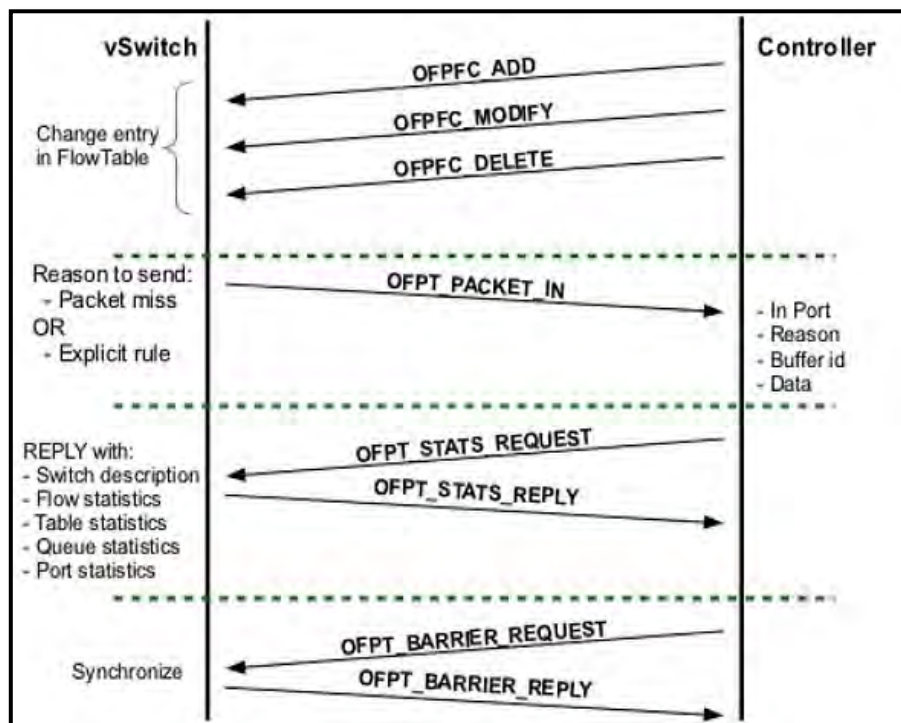
De igual manera, los *switches* deben enviar al controlador todos los mensajes asíncronos generados por cambios de estado *OpenFlow*, eliminación de un flujo, cambio de estado de puerto o recepción de mensajes *packet-in*, generando así consistencia entre el estado real del *switch* y la visión que tiene el controlador del plano de datos.

Por su parte el controlador podría ignorar ciertos mensajes que recibe, pero con la aclaración de que debe responder a mensajes *echo* para prevenir que el *switch* termine la conexión por falta de comunicación.

### Agrupación y Orden de Mensajes

El controlador tiene la capacidad de agrupar mensajes mediante los mensajes opcionales *Bundle messages*, considerados como una unidad de mensajería y son procesados todos en conjunto, mientras el ordenamiento de los mensajes se lleva a cabo por los denominados *barrier messages*.

En caso de no contar con estos *barriers*, el *switch* podrá arbitrariamente ordenar los mensajes para maximizar su desempeño.



**Figura 2-54 Intercambio de mensajes OpenFlow entre Switch y Controlador – Actualización de flujos**  
Recuperado de (Curran, 2012)

#### 2.6.4 Conexiones en el Canal *OpenFlow*

El canal *OpenFlow* es usado para intercambiar mensajes *OpenFlow* entre el *switch* y el controlador, un canal por cada *switch* que el controlador tenga a su mando, mientras el *switch* puede tener más de un canal *OpenFlow* en entornos multicontrolador (*multiplexing*).

El requerimiento necesario es que exista conectividad TCP/IP entre *switch*-controlador ya sea que estén directamente conectados o no y para su instanciamiento, se puede emplear TLS o TCP en texto plano, aunque esta última opción no se recomienda.

El dispositivo que usualmente empieza la comunicación será el *switch* por motivos de seguridad, de todas maneras, es posible que un controlador establezca la comunicación primero, pero en caso excepcionales donde hay cambios de estado en la red.

##### Conexión URI

Es importante que el *switch* identifique de forma única la conexión con su controlador. Esto se logra mediante una URI (Identificador único de recursos) de conexión.

Como se explicó en **2.3 Automatización, Orquestación y Programabilidad de las Redes: DevOps y Redes Basadas en Contexto** acerca de una URI, el formato de una URI para SDN está dado por el RFC 3986<sup>43</sup>, el cual consta de al menos las siguientes partes:

##### **Protocolo://nombre-o-direcciónIP:puerto**

- **Protocolo:** En el caso de OpenSDN, define el protocolo usado como transporte de los mensajes *OpenFlow*, por ejemplo, TLS o TCP para conexiones primarias y TLS, DTLS, TCP o UDP para conexiones auxiliares, ya que estas últimas pueden no requerir transporte confiable (orientado a la conexión).
- **Nombre o Dirección:** Se refiere a la Dir. IP (IPv4/IPv6) del controlador o su respectivo *hostname*. En caso de que sea Dir. IPv6, esta debe ir entre corchetes según e RFC 2732.
- **Puerto:** Puerto de transporte empleado por el protocolo *OpenFlow*. En caso de no estar presente, se asume su puerto por defecto 6653.

##### Fragmentación, Control de Flujo y Seguridad

El tamaño máximo de un mensaje *OpenFlow* es de hasta 64KB, lo que supera el tamaño de 1.5KB de MTU tradicional y *OpenFlow* no posee mecanismos de fragmentación, por ello, el protocolo de transporte, de ser el caso, podría realizar el proceso de fragmentación y reensamblaje, así como el mecanismo de control de flujo en la recepción de mensajes.

Cabe recalcar que *OpenFlow* no implementa por sí mismo niveles de seguridad (confidencialidad, integridad, disponibilidad y anti-repudio), es así como el protocolo de transporte debe proveer de la seguridad necesaria.

En el 2020, se presentó una investigación titulada “**OpenSDN Southbound Traffic Characterization: Proof-of-Concept Virtualized SDN-Infrastructure**”, la cual se publicó en IEEE Xplore, explicando y demostrando el comportamiento de OpenSDN y de *Openflow* (Salazar-Chacón & Marrone, 2020)

---

<sup>43</sup> RFC 3986 – URI: <https://tools.ietf.org/html/rfc3986>

## 2.7 Controladores SDN

Durante el transcurso de la presente tesis, se ha dejado en claro que SDN es un nuevo paradigma para administrar, operar y enviar datos en una infraestructura de red, en la cual existe un controlador central encargado de brindar la inteligencia y toma de decisiones, liberando así de esa responsabilidad a los equipos, así como de la necesidad de intercambio de mensajes en el plano de datos, consiguiendo de esa manera mayor efectividad en la red.

El éxito de esta forma de envío de datos depende de que el Plano de Control esté separado y centralizado a través de un Controlador.

No obstante, SDN ya tiene algunos años de pruebas y desarrollos, por ese motivo, los controladores han ido evolucionando en el tiempo también. Actualmente se puede decir que existen dos conjuntos grandes:

- Controladores SDN para entornos NFV, DCs, WAN y Acceso modernos.
- Controladores SDN tradicionales para administrar el plano de Datos de una red.

Existe una lista de muchos controladores SDN que se adaptan a cualquiera de esos dos conjuntos, muchos incluso han servido como punto de partida de otros debido a la naturaleza mayoritaria de una comunidad *open-source*. En base al artículo de (Velrajan, 2019), la mayoría de los controladores SDN actuales funcionan bajo *OpenFlow*.

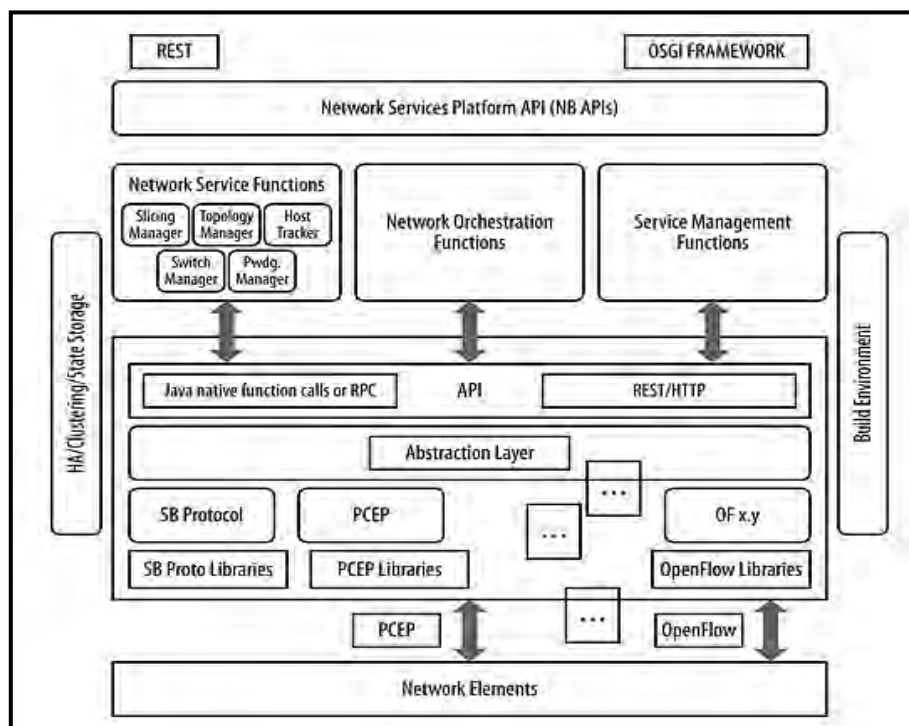
El listado según (Velrajan, 2019) es el siguiente:

1. **OpenDayLight (ODL):** Es el controlador *Open-Source* más popular. Tiene el soporte para al menos una docena de *Southbound* APIs, entre ellas NETCONF y PCEP para configurar y administrar dispositivos del plano de datos. Muchos fabricantes de infraestructura y *vendors* reconocidos a nivel mundial como *Lumina Networks, Ericsson* y *Cisco Systems* basan sus soluciones en ODL.
2. **Open Network Operating System (ONOS):** Según la ONF, es considerado un controlador modular para SDN/NFV de próxima generación, construida para dar soporte a las necesidades actuales de proveedores y empresas, generando redes dinámicas con interfaces programáticas sencillas, incluso con la nueva innovación de ONOS *Cloud Controller*. Para más información, es posible entrar a: <https://opennetworking.org/onos/>
3. **Network Operating System (NOX):** Es el controlador basado en OpenFlow original, sirviendo como fuente del desarrollo de otros Controladores escritos en C++ para Linux. Su versión *opensource* puede ser descargada de: <http://www.noxrepo.org/>
4. **Network Operating System in Python (POX):** Es un desarrollo basado en NOX pero escrito en Python, adecuado para implementarse en Windows, MacOS y por supuesto Linux. Su uso es principalmente para entornos educativos y de investigación. Puede descargarse de: <https://github.com/noxrepo/pox>
5. **Beacon:** Es un controlador abierto escrito en Java de tipo modular y con soporte para varias plataformas. Ha sido usado en una gran cantidad de investigaciones en el que se ha demostrado en pruebas de concepto administrar 100 vSwitches, 20 switches físicos y corriendo por meses sin que exista caídas de servicio. Beacon puede descargarse de: <https://openflow.stanford.edu/display/Beacon/Home>

6. **Big Switch Network Controller – DANZ Monitoring Fabric:** Es una Plataforma de *networking* para SDN que provee una inteligencia unificada y alta disponibilidad para administrar y monitorear una red. *Big Switch Controller* de Arista migró a *DANZ Monitoring Fabric*, considerado un *Network Packet Broker* (NPB) basado en los conceptos de IoT para generar NetOps, DevOps y SecOps. Para más información: <https://www.arista.com/en/products/danz-monitoring-fabric>
7. **Maestro:** Es una plataforma escalable escrita en Java multihilo para Switches OpenFlow. Provee una interfaz modular para dotar de automatización y entornos programáticos para gestionar una red de datos moderna. Puede descargarse de: <http://zhengcai.github.io/maestro-platform/>
8. **RYU:** Es un sistema operativo dedicado para arquitecturas SDN. Según sus creadores, provee un control centralizado y una API bien estructurada que facilita el uso de los operadores para administrar una red SDN. Fue desarrollado por NTT Labs. Para más información de este controlador, así como de su estructura: <https://www.ntt-review.jp/archive/ntttechnical.php?contents=ntr201408fa4.html>
9. **Floodlight:** Uno de los más conocidos controladores SDN desarrollados en Java por la comunidad, el cual tiene soporte para OpenFlow 1.0 hasta la versión 1.5, pero no ha tenido mayor contribución desde el 2017, principalmente por ser el corazón del controlador Big Switch. Para más información del proyecto Floodlight, puede acceder a <https://floodlight.atlassian.net/wiki/spaces/floodlightcontroller/overview?homepageId=1343545>
10. **Faucet:** Es un controlador SDN para entornos OpenFlow 1.3 de tipo compacto que permite a los administradores de una red operarla tal como un *clúster* de servidores, moviendo funciones de red como enrutamiento, descubrimiento de vecinos y algoritmos de *switching* a un *software* independiente y abierto con el fin de administrar de mejor manera la infraestructura. Para más información de este controlador: <https://faucet.nz/>
11. **Virtual Application Networks (VAN):** Es un controlador de lo más exitoso en los inicios de SDN, tanto bajo HP como bajo Aruba (parte de HP Enterprise), considerado por muchos como el corazón de infraestructuras SDN, el cual ofrece inteligencia, automatización y monitoreo total de la red. Presenta total soporte para el protocolo OpenFlow. Actualmente no tiene soporte de HPE, pero se puede encontrar documentación relevante sobre su instalación y características en: [https://support.hpe.com/hpsc/public/docDisplay?docId=a00003658en\\_us&docLocale=en\\_US](https://support.hpe.com/hpsc/public/docDisplay?docId=a00003658en_us&docLocale=en_US)
12. **NEC ProgrammableFlow Controller:** Es un controlador desarrollado bajo OCP (*Open Compute Project*) que trata de dar un entorno similar al *networking* tradicional. En teoría, es un controlador con la capacidad de soportar hasta 10000 *switches*. Es posible encontrar información en: <https://www.necam.com/SDN/>
13. **Ericsson Cloud SDN Controller:** Diseñado para una comunicación inter-intra DCs para grandes flujos de tráfico de equipos físicos como virtuales. Combina el uso de OpenDayLight con capacidades de enrutamiento avanzadas y enfoque hacia NFV. Para más información: <https://www.ericsson.com/en/portfolio/digital-services/cloud-infrastructure/cloud-sdn>

Sin importar el tipo de controlador SDN, sea este abierto o fabricado por algún *vendor*, la idea general de este equipo es aquella en la que:

- Administra el estado de la red en conjunto con la estructura de datos (tablas y/o bases de datos) de un equipo. Esta estructura de datos sirve como un repositorio de información de los equipos controlados.
- Provee de un modelo de alto nivel que captura las imágenes de la topología y sus elementos. En la actualidad, se usa mucho el modelo YANG.
- Otorga una moderna API, normalmente tipo RESTful, exponiendo así los servicios que da el controlador a una aplicación amigable con el administrador de la red. Idealmente, esta API es producto del Modelo YANG de la topología.
- Debe generarse una sesión de comunicación segura entre Controlador y Agentes.

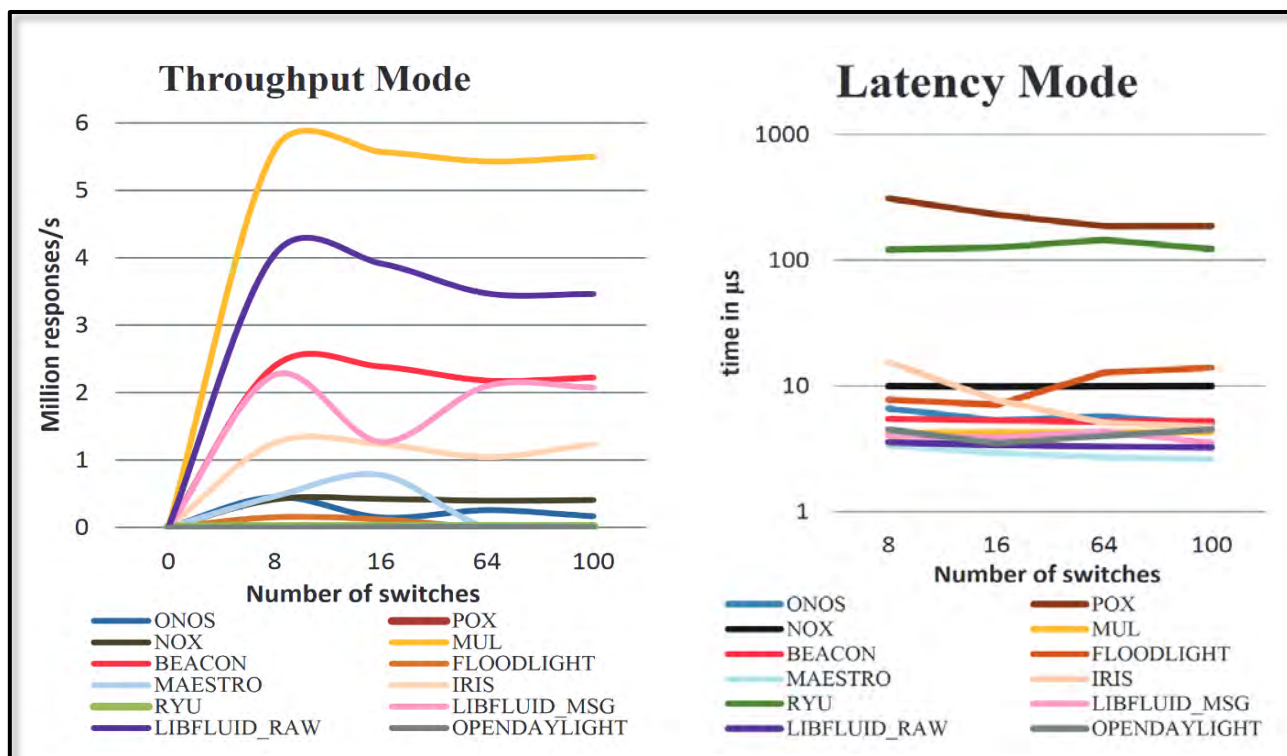


**Figura 2-55 Esquematización de un Controlador SDN**  
 Recuperado de (Nadeau & Gray, 2013)

Basado en (Salman, Elhajj, Kayssi, & Chehab, 2016), se desarrolló el cuadro comparativo entre los distintos Controladores SDN disponibles, el cual se puede apreciar en la **Tabla 2-10** Características de Controladores SDN.

Según la investigación planteada por (Salman, Elhajj, Kayssi, & Chehab, 2016), en base a *testbeds* realizados en Cbench<sup>44</sup>, se determinaron las siguientes tendencias en cuanto a *Throughput* y latencia (Ver **Fig. 2-56**).

<sup>44</sup> Cbench: <https://pypi.org/project/cbench/>



**Figura 2-56 Comparación de Throughput y Latencia - Controladores SDN**  
 Recuperado de (Salman, Elhadj, Kayssi, & Chehab, 2016)

Dicho estudio varió la cantidad de *switches*, así como la cantidad de peticiones hacia el controlador.

Según (Salman, Elhadj, Kayssi, & Chehab, 2016), los controladores SDN codificados en lenguaje C tienen mejor desempeño en general (Mul y LibFluid) y bajo ese desempeño los desarrollados en Java (Beacon, Iris y Maestro), sin embargo, en cuanto a latencia, Maestro tiene los mejores registros, principalmente debido a su modo de procesamiento adaptativo. Por su lado, aquellos basados en Python, no mostraron una mejora significativa.

No está por demás mencionar que la latencia y *Throughput* no deben ser los únicos parámetros para tomar en cuenta, pues la modularidad presente en ONOS y OpenDayLight hacen que sean los Controladores SDN preferidos tanto en ambientes PoC como comerciales.

La inclusión de nuevos protocolos *Southbound* del mundo IoT también es un factor para considerar, es ahí donde ONOS y ODL sobresalen.

Tabla 2-10 Características de Controladores SDN

Controlador SDN	Desarrollado en (Lenguaje Programación)	Interfaz con el Administrador (FrontEnd)	Info disponible	Modularidad	Soporte OS	Southbound APIs	Northbound APIs	Partner empresarial	Soporte OpenStack	Ideal para
<b>ONOS</b>	Java	HTTP-Web	Buena	Alta	Linux, MAC y Windows	OF 1.0, 1.3; NETCONF	RESTful	AT&T, Ciena, Cisco, Ericsson, Huawei, Intel, NEC, Sk Telecom, Fujitsu, ON.Lab	No	DC, WAN e ISP
<b>ODL (OpenDayLight)</b>	Java	HTTP-Web	Muy buena	Alta	Linux, MAC y Windows	OF 1.0, 1.3, 1.4; NETCONF, YANG, OVSDB, PCEP, BGP-LS, LISP, SNMP	RESTful	Linux Foundation con membresías para empresas como Cisco, IBM, NEC, etc.	Sí	DC, WAN, Campus e ISP
<b>NOX</b>	C++	Python	Poca	Baja	Linux	OF 1.0	RESTful	Nicira	No	Campus
<b>POX</b>	Python	Python	Poca	Baja	Linux, MAC y Windows	OF 1.0	RESTful	Nicira	No	Campus
<b>RYU</b>	Python	HTTP-Web	Adecuada	Adecuada	Linux	OF 1.0, 1.2, 1.3, 1.4, NETCONF, OF-CONFIG	RESTful	Nippo Telegraph, Telephone Corp.	Sí	Campus

<b>Beacon</b>	Java	HTTP-Web	Adecuada	Adecuada	Linux, MAC y Windows	OF 1.0	RESTful	Universidad de Standford	No	Investigación y PoCs
<b>Maestro</b>	Java	No	Poca	Adecuada	Linux, MAC y Windows	OF 1.0	RESTful	RICE, NSF	NO	Investigación y PoCs
<b>Flood-Light</b>	Java	HTTP-Web (Java-Based)	Buena	Adecuada	Linux, MAC y Windows	OF 1.0, 1.3	RESTful	Big Switch Networks	No	Campus
<b>Iris</b>	Java	HTTP-Web	Adecuada	Adecuada	Linux, MAC y Windows	OF 1.0, 1.3; OVSDB	RESTful	ETRI	NO	ISP
<b>MUL</b>	C	HTTP-Web	Adecuada	Adecuada	Linux	OF 1.4, 1.3. OVSDB, OF-CONFIG	RESTful	Kulcloud	Sí	DC
<b>Lib-FLUID</b>	C++	No	Adecuada	Adecuada	Linux	OF 1.0, 1.3	-	ONF	NO	-

Fuente: (Salman, Elhajj, Kayssi, & Chehab, 2016)

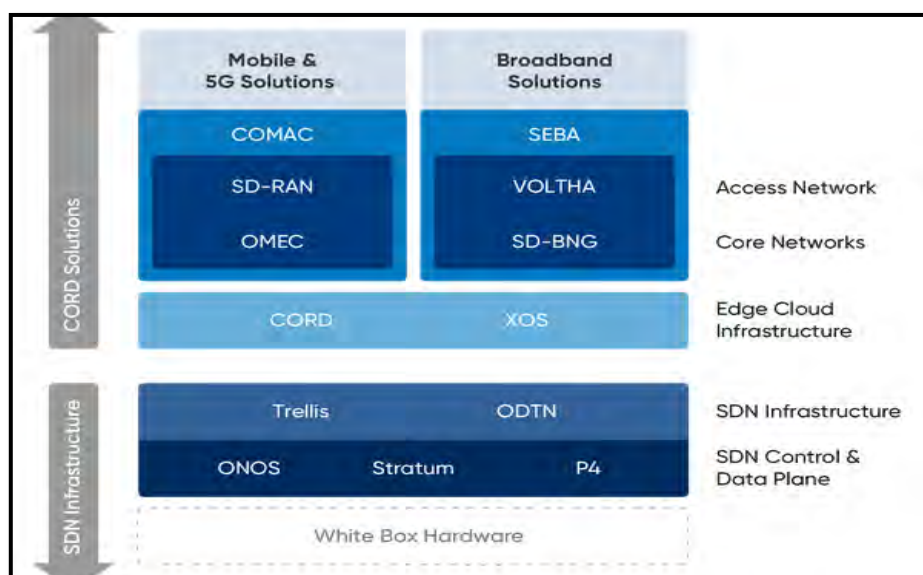
## 2.8 SDN como plataforma para la revolución de las tecnologías emergentes: IoT, Cloud y Digitalización

Los momentos actuales requieren de catalizar la transformación de la industria del *networking* pues es el soporte de cualquier negocio y actividad del siglo XXI, todo ello ahondado con requerimientos de empresas y de todos los sectores estratégicos como salud, educación, administración de recursos públicos en época de pandemia COVID-19, es así que el consorcio sin fines de lucro denominado *Open Networking Foundation* (ONF) ha desarrollado alianzas estratégicas para fomentar la evolución de la infraestructura de datos en entornos abiertos y colaborativos con miras al futuro, cubriendo campos investigativos, evangelización de SDN y educativos.

Una ola de innovación marcada por la demanda creciente de *White boxes* en lugar de productos propietarios y cerrados y de plataformas abiertas está surgiendo. Según (ONF - Open Networking Foundation, 2020) este ecosistema del “nuevo *networking*” representa una oportunidad única para operadores, así como fabricantes de tecnología, reduciendo los costos de inversión en un 25% al 40% y en la cadena de suministro, representa una oportunidad de mercado SDN de \$73 Billones de dólares para el 2025.

Entre los proyectos más significativos de la ONF están:

- Redes Móviles  
*Enterprise Edge 5G/4G EdgeCloud-as-a-Service*  
*O-RAN Compliant SD-RAN*  
*OMEC (Open Mobile Evolved Packet Core – EPC)*
- Cloud y Servicios en la Nube (IoT)  
*CORD y XOS (Edge Cloud Infrastructure Platform)*
- Infraestructura SDN  
*Trellis (un fabric distribuido para SDN/NFV en arquitecturas spine-leaf)*  
*ODTN (Transporte Óptico)*  
*NG-SDN (Next-Generation SDN) con soporte para lenguaje P4.*

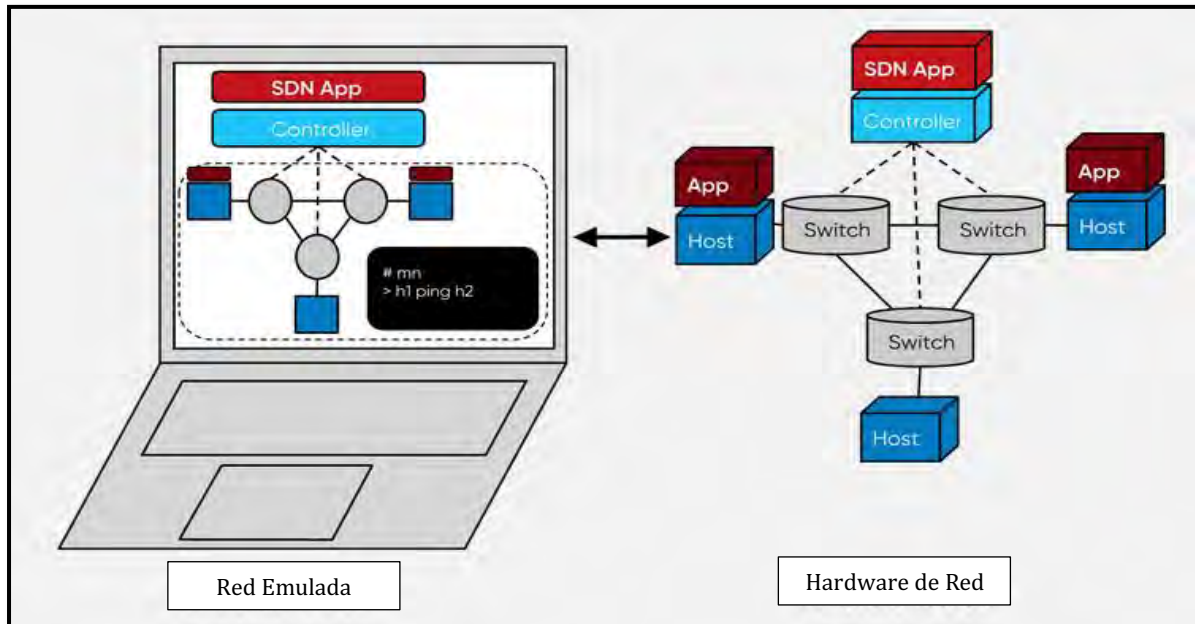


**Figura 2-57 Proyectos SDN para la ONF: NG-SDN**  
 Recuperado de (Open Networking Foundation - ONF, 2020)

Junto con los proyectos antes mencionados, la ONF trabaja para mejorar el emulador de redes basados en controlador denominado Mininet.

Según la ONF, Mininet provee un ambiente para *testbeds* virtuales sobre SDN, permitiendo tener emulaciones de grandes prestaciones en cualquier laptop, servidor, PC o en la nube, dando lugar a una migración rápida del entorno de prueba hacia el mundo real.

Mininet corre código real, así como aplicaciones tipo UNIX/LINUX, aplicativos con Kernel Linux y cualquier protocolo del stack de *networking*.



**Figura 2-58 Mininet: Componentes**  
Recuperado de (ONF - Open Networking Foundation, 2021)

Mininet consiste de:

- Hosts Aislados  
Grupo de procesos a nivel de usuario enviados al entorno de emulación de red que proveen interfaces, puertos y tablas de enrutamiento.
- Enlaces Emulados  
Es factible emular enlaces lo más apegado a la realidad debido a *Linux Traffic Control* (tc). Cada host cuenta con su propia interfaz emulada Ethernet.
- Switch Emulados  
Tanto el Linux Bridge como un OVS (Open vSwitch) corriendo en modo Kernel puede implementarse en Mininet

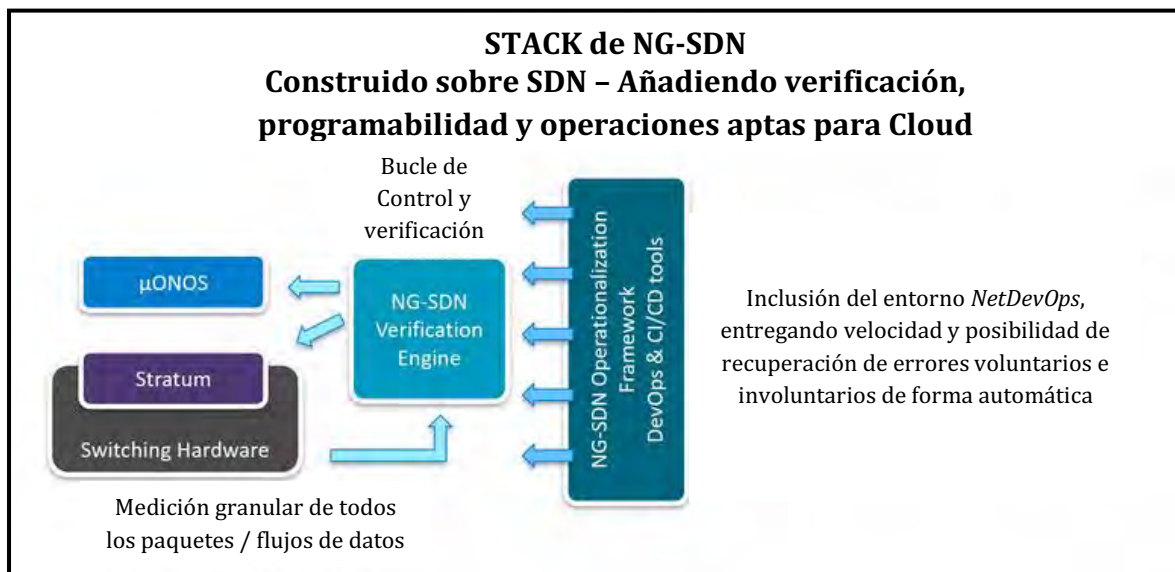
En el **Anexo B: Guía de Instalación GNS3-VM, EVE-ng y Mininet** se explica el proceso de instalación de Mininet.

### 2.8.1 Fundamentos de NG-SDN: SDN de próxima Generación

NG-SDN es uno de los proyectos más relevantes de la ONF, plataforma que integra los mayores avances en cuanto a SDN se refiere, por ejemplo, *Open Hardware*, infraestructuras programables, implementaciones tipo *zero-touch* con capacidad de funcionar en la nube para dar mayor flexibilidad, control y efectividad a la red.

Los elementos abiertos que componen esta solución son:

- uONOS: Plataforma de configuración y control centralizado para administrar *switches* Stratum.
- Stratum: Sistema Operativo para *switches* SDN basado en modelos de configuración abiertos, interfaces SDN y programación denominada P4.
- Motor de Verificación NG-SDN: Mecanismo para dota de visibilidad y control general y granular de la red (chequeo de cada paquete/flujo de datos), otorgando *insights* a la red.
- Framework para Operacionalización de NG-SDN: Herramienta para incluir el entorno CI/CD y DevOps a la red, dotando de orquestación, programabilidad, verificación y cambios automáticos.



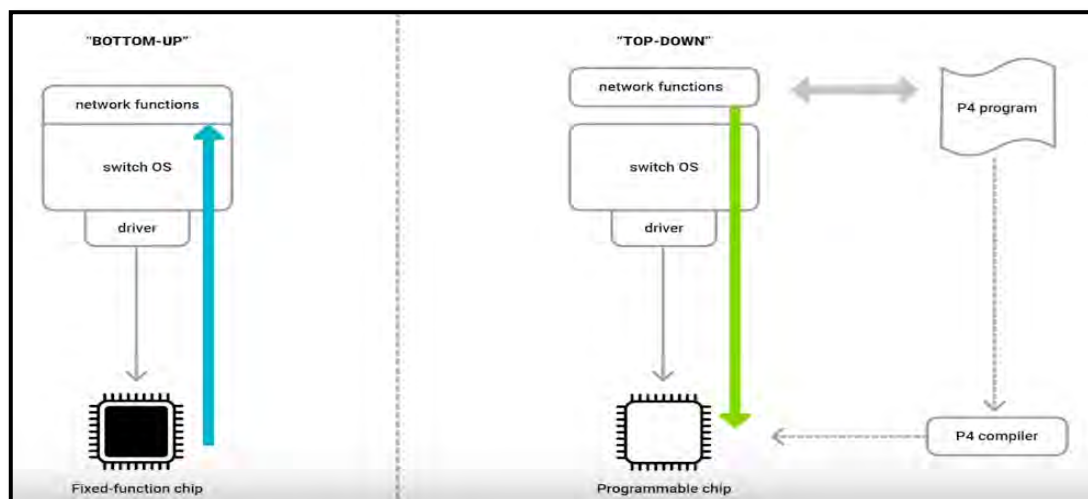
**Figura 2-59 NG-SDN Stack**  
*Recuperado de* (ONF - Open Networking Foundation, 2021)

### 2.8.2 Programación en NG-SDN: P4 y Stratum

P4, cuyo nombre proviene de *Programming Protocol-Independent Packet Processors*, es un lenguaje que permite expresar cómo los paquetes se procesan por el plano de datos en un equipo de *networking* físico o virtual (*switch*, *router* o cualquier dispositivo de red). Como se ha visto en capítulos pasados, el *networking* tradicional posee ASICs muy específicas y propietarias que no permiten modificar el comportamiento del plano de datos, es así que en el *Open Networking*, con el uso de cajas blancas u *Open Hardware* con NOS abiertos se dio un avance significativo en desarrollos e investigaciones, dando mayor adaptabilidad y programación específica.

En el ecosistema SDN, es necesario un lenguaje que diera la facilidad de programar únicamente la funcionalidad del plano de datos, ya que el controlador y en general el plano de control, son gestionados mediante *Northbound* APIs.

En otras palabras, programas como en P4, describen el comportamiento de envío, programa que luego es convertido por un compilador en meta data que utiliza el plano de control y el plano de datos para la transmisión de datos. Esto se conoce como “*Top-Down Approach*”, en contra posición del tradicional y cerrado “*Bottom-up*”.



**Figura 2-60 Aproximación Top-Down en el ecosistema SDN con Open Hardware**  
Recuperado de (CodiLime, 2020)

Una de las ventajas de P4 es su apertura a los aportes de la comunidad, pero gestionada bajo un modelo de gobernanza adecuado con el fin de que los mejores aportes sean integrados a la solución de programación. ONF apoya este proyecto mediante vínculos de membresía y colaboración.

- Programming Protocol-Independent Packet Processors
- Breve Reseña:
  - Mayo 2013: Idea inicial y creación del nombre **P4**
  - Sep. 2014: 1ra espec. P4<sub>14</sub>
  - Mayo 2014: 1ra espec. P4<sub>16</sub>

Community-Developed

P4<sub>16</sub>  
Language

P4<sub>16</sub> Core Library

+

Vendor-supplied

Extern Libraries

Architecture Definition

La especificación P4<sub>16</sub> redujo la complejidad del lenguaje de programación y dio un núcleo más estable

---

Arquitectura P4

Identifica los bloques de función presentes en un *Target* del plano de datos y especifica las interfaces entre ellos

**Figura 2-61 Lenguaje de Programación P4 – Bloques de función en Targets**  
Recuperado de (CodiLime, 2020)

Para P4, los *Targets* u objetivos son los dispositivos del plano de datos, como *switches* o SmartNICs programables. los cuales recibirán algún dato encapsulado. Ese dato, debe ser identificado y representado como Bloque de función programable en base a sus características (cabeceras del proceso de encapsulación).

Los bloques de función programables son de dos tipos:

- Parser - Analizador: Encargado de identificar las cabeceras presentes en cada paquete. En el programa P4 se debe definir la estructura y comportamiento del flujo de datos. La representación de las cabeceras más importantes pasa al primer bloque de Control
- Control: Realiza las acciones de envío en base a tablas (envío, bloqueo, eliminación), control de coincidencias (*match-action behavior*), verificación de errores.

Como ejemplo de Bloques tipo *parser* se tiene esta definición de cabeceras para trama Ethernet, Paquete IPv4 y para un protocolo personalizado, así como una estructura que combina todos esos *parsers*.

```
// Ethernet header definition
header ethernet t {
    bit<48>  dst_addr;
    bit<48>  src_addr;
    bit<16>  ethertype;
}

// IPv4 header definition
header ipv4 t {
    bit<4>   ver;
    bit<4>   ihl;
    bit<8>   diffserv;
    bit<16>  totlen;
    bit<16>  identification;
    bit<3>   flags;
    bit<13>  frag_offset;
    bit<8>   ttl;
    bit<8>   proto;
    bit<16>  hdrCSM;
    bit<32>  src_addr;
    bit<32>  dst_addr;
}

// custom protocol header definition
header myCustomProtocol t {
    bit<16>  proto_id;
    bit<8>   virtual_connection_id;
    bit<8>   flags;
    bit<16>  src_node_id;
    bit<16>  dst_node_id;
}

// a struct combining all headers
struct headers {
    ethernet_t ethernet;
    myCustomProtocol_t myCustomProtocol;
    ipv4_t ipv4;
}
```

**Script 17 Bloques de función Parser en P4: Cabecera Ethernet, IPv4, Protocolo personalizado**  
Recuperado de (CodiLime, 2020)

Para implementar un Bloque Parser, se le debe dar un nombre y establecer estados iniciales en los datos tal como se visualiza en el siguiente *script*.

Nombre Parser

```

parser MyParser(packet_in packet,
                out headers hdr,
                inout metadata meta,
                inout standard_metadata_t standard_metadata) {

    state start {
        transition parse_ethernet;
    }

    state parse_ethernet {
        packet.extract(hdr.ethernet);
        transition select(hdr.ethernet.etherType) {
            TYPE_IPV4 : parse_ipv4;
            default : accept;
        }
    }

    state parse_ipv4 {
        packet.extract(hdr.ipv4);
        transition accept;
    }
}

```

Estados

Parser

**Script 18 Implementación de Bloques de función Parser en P4**  
 Recuperado de (CodiLime, 2020)

El funcionamiento de P4 para programar el plano de datos se basa en comparaciones con tablas, con las cuales realiza un proceso de *match-action*, por ejemplo, si se desea enviar tráfico proveniente de una determinada IPv4 y con una determinada dirección MAC:

Acciones a ejecutar en la tabla

```

action drop() {
    mark_to_drop();
}

action ipv4_forward(macAddr_t dstAddr, egressSpec_t port) {
    standard_metadata.egress_spec = port;
    hdr.ethernet.srcAddr = hdr.ethernet.dstAddr;
    hdr.ethernet.dstAddr = dstAddr;
    hdr.ipv4.ttl = hdr.ipv4.ttl - 1;
}

table ipv4_lpm {
    key = {
        hdr.ipv4.dstAddr: lpm;
    }

    actions = {
        ipv4_forward;
        drop;
        NoAction;
    }

    size = 1024;
    default_action = drop();
}

```

Nombre de la Tabla

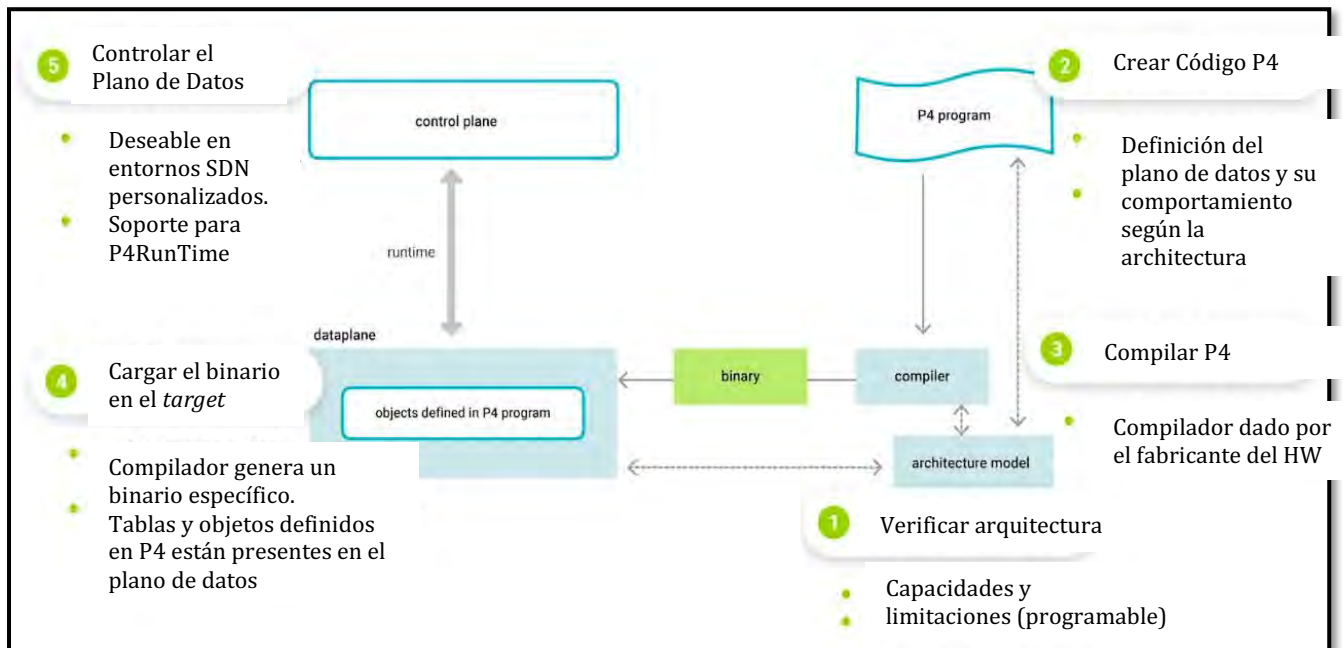
Clave de coincidencia

match	action
10.0.1.1/32	ipv4_forward(00:0a:00:00:01:01, 1)
10.0.86.0/24	drop
10.0.3.3/32	ipv4_forward(00:0a:00:00:03:03, 3)

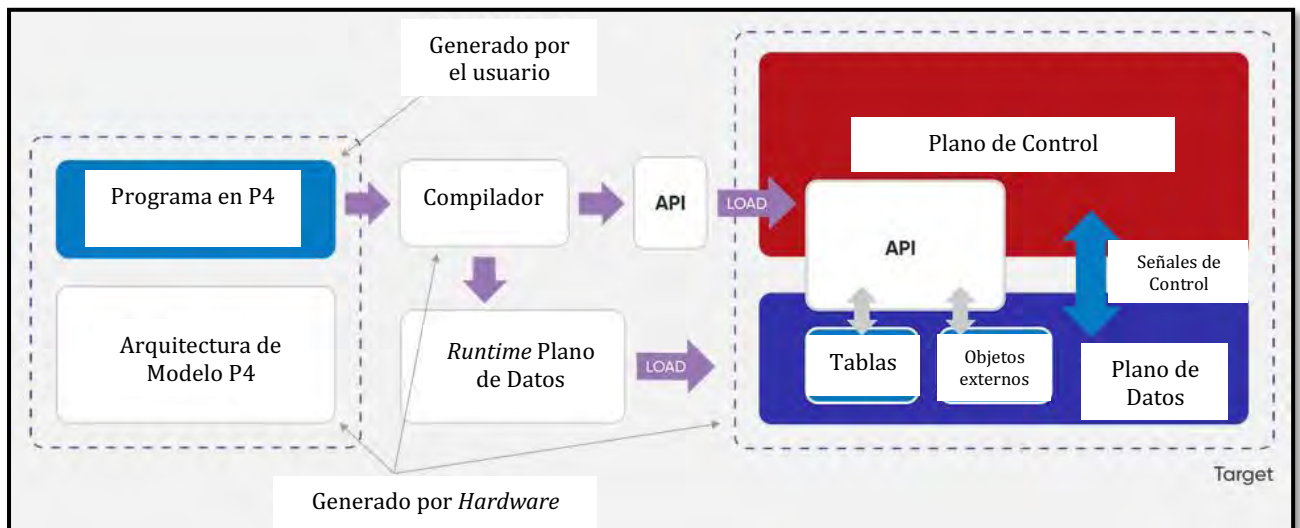
**Script 19 Proceso Match-Action en P4**  
 Recuperado de (CodiLime, 2020)

Cabe decir que cada bloque de control debe tener un sub-bloque tipo *apply*, el cual especifica cómo los paquetes van a ser procesados.

La compilación y ejecución de P4 en un equipo de red se puede resumir en este esquema:



**Figura 2-62 Esquema de Funcionamiento de P4 en PISA (Protocol-Independent Switch Architecture)**  
 Recuperado de (CodiLime, 2020)



**Figura 2-63 Arquitectura de P4**  
 Recuperado de (ONF - Open Networking Foundation, 2021)

Para más información sobre P4, la ONF ha publicado los siguientes sitios y repositorios:

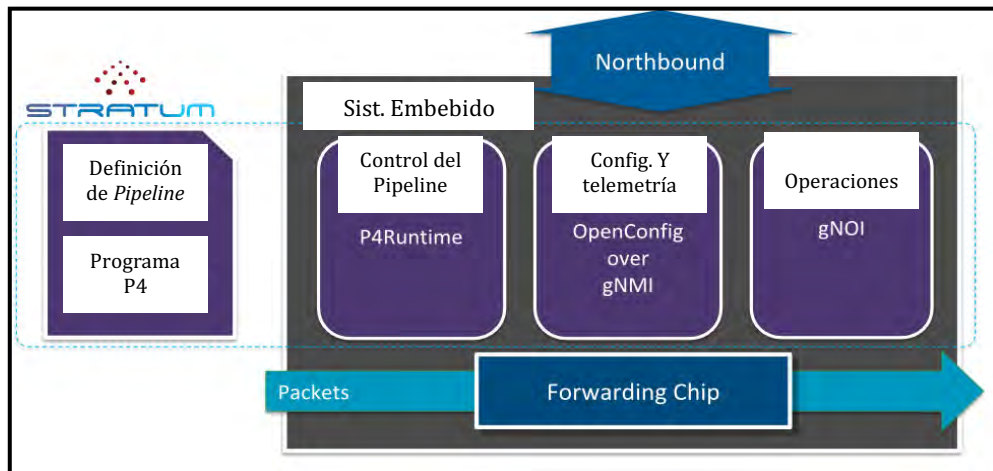
P4 Wiki: <https://wiki.opennetworking.org/display/COM/P4>

Página Web de P4: <https://p4.org/>

GitHub de P4: <https://github.com/p4lang/>

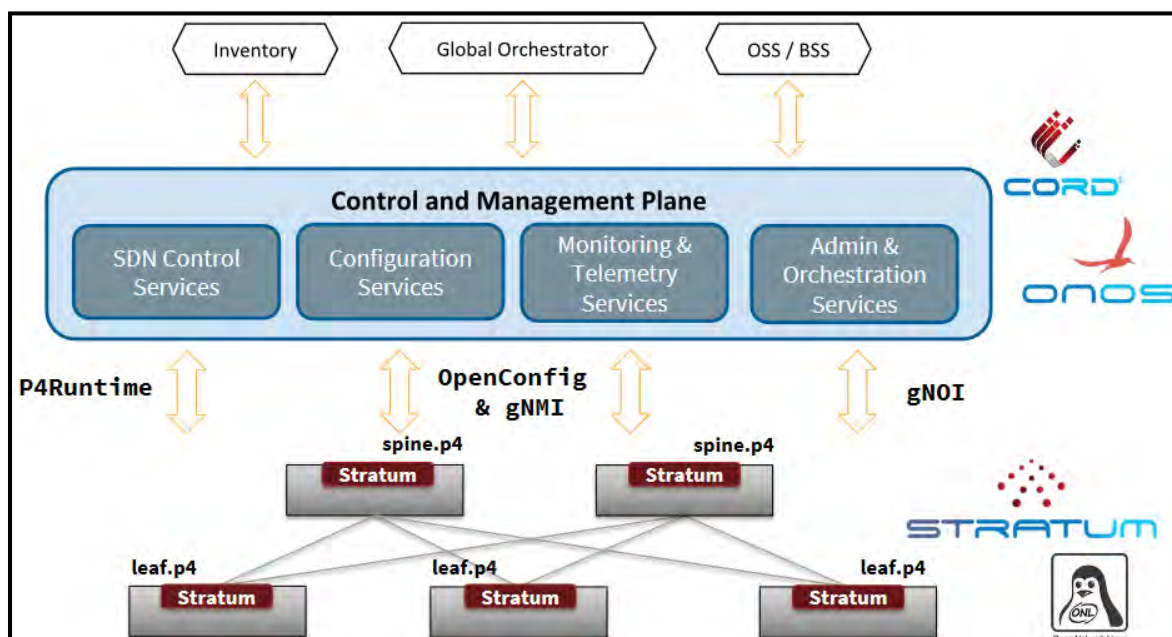
Por su parte, el *hardware* juega un rol muy importante dentro de este entorno de NG-SDN, en este caso, **Stratum** es el NOS totalmente independiente del equipo subyacente empleado (cajas blancas) para redes SDN con el apoyo de la ONF, organismo que lo considera un componente clave de las soluciones SDN del futuro.

Stratum implementa las interfaces *Northbound* más novedosas en el mundo SDN, incluyendo a P4RunTime (API para la programación P4 del plano de datos), gNMI<sup>45</sup>/OpenConfig y gNOI<sup>46</sup>.



**Figura 2-64 Esquemización de Stratum**  
Recuperado de (O'Connor, 2018)

La esquematización de NG-SDN para la ONF sería la siguiente:



**Figura 2-65 Esquemización de NG-SDN de ONF**  
Recuperado de (O'Connor, 2018)

<sup>45</sup> gNMI: gRPC Network Management Interface

<sup>46</sup> gNOI: gRPC Network Operation Interface

## Capítulo 3

# 3 Redes Híbridas: Infraestructura Tradicional y SDN

La evolución de las redes de datos, como se ha analizado a lo largo del **Capítulo 2, Fundamentos de las Redes Definidas por Software**, es un proceso que establece el cómo las redes modernas deben diseñarse, administrarse y cómo deben operar en un mundo de Transformación Digital y es ahí el verdadero reto de los profesionales en el campo de las Tecnologías de la Información, encontrar cómo adaptar las redes tradicionales hacia el ecosistema SDN mientras estamos en esta transición.

Las tecnologías del tipo *OpenNetworking*, *NG-SDN*, *NetDevOps* e *Intent-Based Networking* están ya rompiendo esquemas en el campo de las Telecomunicaciones y en lo que respecta a las redes de datos, la Redes tipo Campus o empresariales jugarán un rol determinante para dar soporte a los nuevos requerimientos de clientes.

Con el paso del tiempo, protocolos tradicionales como STP (*Spanning-Tree Protocol*) han ido cambiados por soluciones como VSS (*Virtual Switching System*) o vPC (*Virtual Port-Channel*) con el fin usar al máximo los recursos disponibles en una infraestructura. Eso mismo está ocurriendo con el resto de los protocolos, incluso modificando los esquemas de diseño de redes, pasando de un tradicional Modelo de 3-capas a un diseño *Spine-Leaf*.

Es innegable pensar que las redes debían evolucionar, pues con solo pensar en el incremento de dispositivos conectados a Internet y los requerimientos de usuarios, empresas y gobiernos durante la pandemia de COVID-19, hacen que sea más que una evolución, una revolución en las redes de datos.

Según (Nefkens, 2020), para el final del 2021, América Latina tendrá un promedio de cerca de 3 dispositivos electrónicos per-cápita conectados a Internet y Norteamérica cerca de 13, lo cual es realmente un reflejo de la inclusión de IoT en nuestras vidas, más allá de solamente el campo industrial o de sensores.

Tabla 3-1 Número de Dispositivos per-cápita

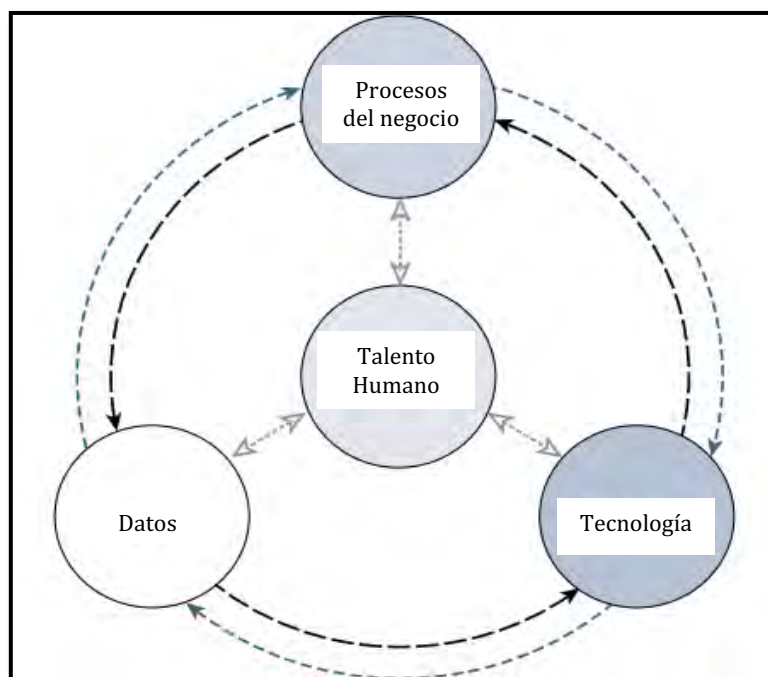
Región	2016	2021	Crecimiento Anual
Asia Pacífico	1.9	2.9	8.3%
Europa	5.3	8.9	10.9%
América Latina	2.1	2.9	7%
Norteamérica	7.7	12.9	11%
África	1.1	1.4	5.4%
Promedio Mundial	2.3	3.5	8.5%

Fuente: (Nefkens, 2020)

Debido a este aumento de dispositivos y elementos conectados, la complejidad es otro factor por considerar en las redes modernas.

Unos años atrás, las redes de tipo campus o empresarial eran simples, contaban con VLANs, asignación de puertos y enrutamiento entre las sedes, era una configuración básicamente estática, sin embargo, en los momentos en que nos encontramos, el dinamismo es parte de las redes empresariales, así como la inclusión de elementos necesarios en una empresa, por ejemplo VoIP, colaboración, uso de la nube, es decir, la inclusión de políticas tanto de seguridad como de Calidad de Servicio para dar soporte a las tecnologías mencionadas.

De ello, se puede decir que las redes modernas, requieren de entornos que sean fácilmente administrables, con capacidad de visibilidad total y que tengan funciones proactivas para encajar plenamente en un mundo de transformación digital, donde el talento humano es el centro.



**Figura 3-1 Partes de una Infraestructura empresarial moderna - Transformación Digital**  
**Basado en** (Nefkens, 2020)

La mayoría de las redes creadas y diseñadas en el año 2021, año de publicación de esta tesis, aún requieren de configuraciones equipo por equipo, lo que implica tiempo de configuración manual, lamentablemente, eso ya no es deseable, la inmediatez es un requisito hoy en día, las tecnologías evolucionan, los datos se incrementan para soportar los procesos del negocio, lo que implica una mayor capacitación del talento humano.

Pero estos cambios no solo han afectado a las redes tipo Campus, también a las WAN y a las redes de acceso, es así como, en el presente capítulo, se conceptualiza y se demuestra la evolución de las tecnologías que permitan una migración adecuada hacia el mundo de la programabilidad, automatización y SDN, incluso en etapa en que las redes tradicionales deben convivir con las redes modernas.

### 3.1 Segment-Routing (SR) y Grupo de trabajo SPRING en Redes Tradicionales y SDN, una alternativa a MPLS

Según (Salazar Ch., Naranjo, & Marrone, 2018), las plataformas de red deben ofrecer una infraestructura de TI adaptable que permita dar soporte a las necesidades del negocio, por tal motivo, una estrategia de modernización es necesaria, tomando en cuenta al cambio de paradigma hacia SDN.

Es un hecho que las Telecomunicaciones están evolucionando con miras a entornos definidos por software, y *Segment-Routing* (SR), ha emergido como una solución práctica y eficiente del lado de la WAN, otorgando control flexible, con posibilidad de manejo de flujos de tráfico en una red de proveedor de servicio, razones por las que muchos SPs están ideando planes de migración.



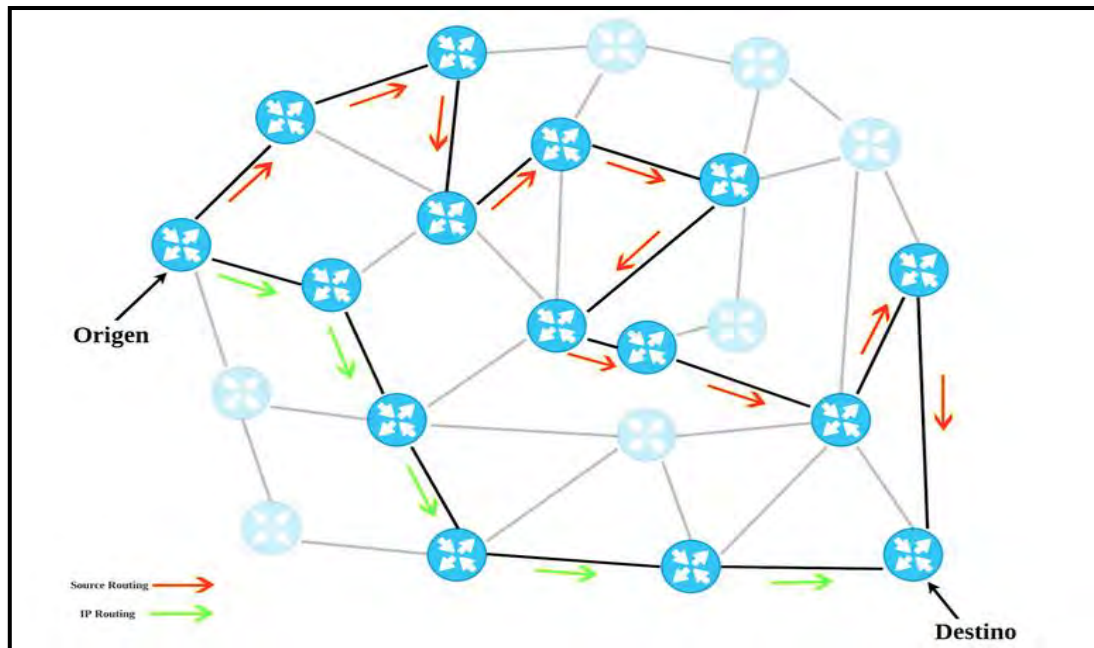
**Figura 3-2 Logo de Segment Routing**  
*Recuperado de* (Segment Routing, 2021)

Es importante mencionar que la idea básica empleada en SR no es para nada un concepto nuevo, es más, *source-routing* es una manera de enviar datos en una red IP idealizada hace un par de décadas atrás, pero su implementación en entornos de tráfico masivo es relativamente nueva. La idea fue concebida desde la publicación del RFC 791 que habla sobre IPv4 a inicio de los 80s.

*Source-Routing* o envío desde la fuente, es una técnica de envío de paquetes en la que el *router* emisor o *router* de primer salto selecciona la mejor ruta de una manera predefinida contenida en el propio paquete en lugar de emplear protocolos de enrutamiento basados en el destino.

La ruta seleccionada mediante *source-routing* es un camino arbitrario y puede diferir completamente de la mejor ruta seleccionada mediante enrutamiento tradicional enfocado en el destino, pero ese comportamiento no es en sí algo malo, pues puede servir para mecanismos de solución de problemas o para encontrar diversas rutas alternas al camino principal.

Se puede tomar como ejemplo el planteado en la siguiente figura, donde se tiene el mejor camino establecido por el intercambio de mensajes mediante OSPF (en verde) y el camino seleccionado arbitrariamente por el *router* de origen.



**Figura 3-3 Source-Routing en un entorno IP**  
 Recuperado de (Peñalosa, 2018)

En el RFC 791 se plantean dos tipos de *source-routing*:

- Loose Source and Record Route (LSRR): Camino definido en el origen, en el que los próximos saltos pueden o no estar directamente conectados. Esta forma de expresar la ruta es similar al funcionamiento de un GPS, donde se establecen puntos en el trayecto hacia el destino final.
- Strict Source and Record Route (SSRR): Es similar a LSRR, pero es necesario que los próximos saltos estén directamente conectados, caso contrario, el paquete es descartado.

El fin último de esta forma de enviar paquetes era contar con un mecanismo para resolución de problemas y así sea factible encontrar caminos alternos, aunque no los óptimos, hacia el mismo destino, pero sin almacenar estos caminos en una estructura de datos o tabla, como la tabla de enrutamiento, sino que estos caminos estén contenidos en un encabezado del paquete.

Con el paso del tiempo, la IETF entendió que no era adecuado llevar dentro de un encabezado la ruta a seguir, principalmente por motivos de seguridad, por ello, los *routers* modernos tienen deshabilitado por defecto la opción de *source-routing*.

### 3.1.1 Segment-Routing: Fundamentos y Origen

La idea de SR fue propuesta por Cisco Systems bajo el liderazgo de Clarence Filsfils en noviembre del 2012 (Davidson, 2017) y la IETF formó el grupo de trabajo SPRING (*Source Packet Routing in Networking*) en octubre del 2013 para el continuo desarrollo de esta tecnología de forma estándar, creando el RFC 8402<sup>47</sup> desarrollado en Julio del 2018.

La idea inicial de Clarence Filsfils, según un conversatorio dado por él en el año 2016 y publicado por *Tech Field Day* (Filsfils, 2016) permite migrar a un entorno SDN con mayor facilidad, pero esta idea surgió de analizar y comprender cómo un equipaje de aeropuerto se

<sup>47</sup> RCF 8402 – Segment Routing Architecture: <https://tools.ietf.org/html/rfc8402>

marcaba en el origen y tenía poca probabilidad de pérdida, a pesar del gran número de equipajes, viajes, rutas y trasbordos, lo que sin duda para Filisfil, revolucionará el envío de tráfico en ambientes WAN dentro de los próximos cinco a diez años.

En base al artículo de (Salazar Ch., Naranjo, & Marrone, 2018), se indica que SR es una tecnología de generación de túneles inteligentes u *overlays* que elegantemente cumple los requerimientos de conectividad WAN y soluciones de ingeniería de tráfico sin recurrir a otros protocolos, dando sencillez a la comunicación entre sedes, pero manteniendo el concepto de etiquetado, por ello, muchos consideran a SR como el futuro de MPLS.

SR emplea el paradigma de envío *source-routing* pero siguiendo una política de envío compuesta por instrucciones denominadas segmentos. Un segmento representa cualquier instrucción topológica identificada por su *Segment-Identifier* (SID). Este segmento es incluido en un *Segment-Routing Header* (SRH) dentro de un paquete IP en el *router* de origen, el cual es analizado a medida que dicho paquete viaja por la infraestructura, evitando mantener un estado del paquete en una estructura de datos en los nodos intermediarios, otorgando gran flexibilidad y sencillez en las políticas de enrutamiento.

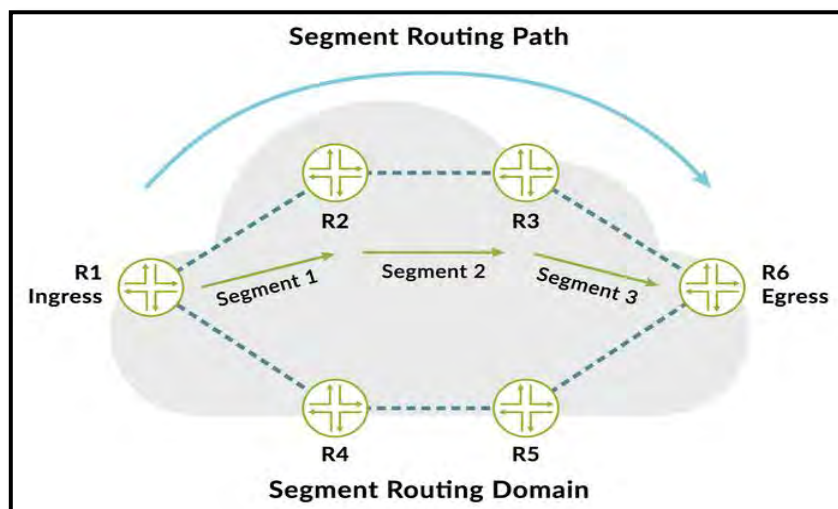


Figura 3-4 Source-Routing Path y Segment Routing Domain  
Recuperado de (Juniper Networks, 2021)

### 3.1.2 Segment-Routing: Plano de Datos y Plano de Control

#### Plano de Datos

El plano de datos define el cómo se genera el proceso de encapsulación en SR, generando su encabezado (SRH) dentro de un paquete IP.

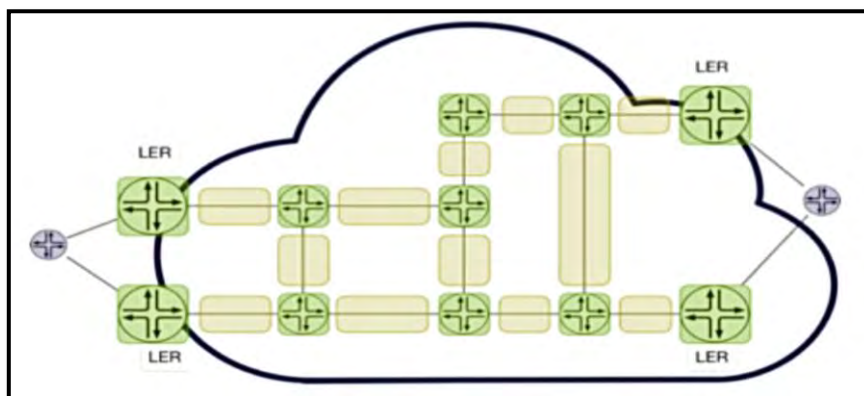
Según el RFC 8402 y por la investigación de (Salazar-Chacón & Reinoso, 2021), SR tiene dos tipos de implementaciones en cuanto al plano de datos u *underlay* se refiere:

- SR sobre MPLS: Funciona en conjunto con MPLS-LDP; y
- SR sobre IPv6 (SRv6): Funciona nativamente en un entorno IPv6.

Un SRH contiene una lista ordenada de segmentos según su SID.

Existen dos tipos de SIDs:

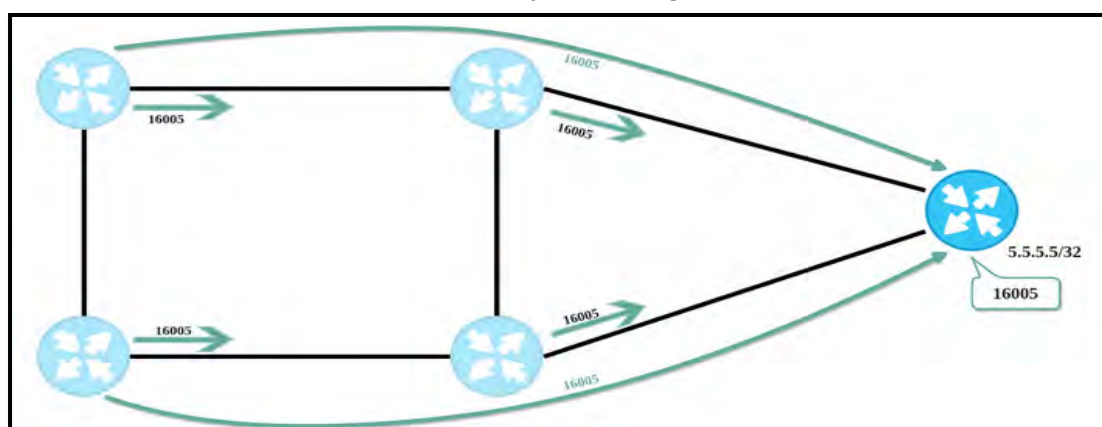
- **SID con significado global:** SID que tiene relevancia dentro de todo el dominio SR, lo que implica que todos los nodos de la nube SR conocen de su valor y la acción a realizar asociada al LFIB. Los rangos reservados para este SID van de 16000 a 23999. Este rango tiene un nombre especial, *Segment Routing Global Block (SRGB)*, pero este rango puede diferir entre fabricantes.
- **SID con significado local:** SID que tiene relevancia en el segmento de origen (enlace entre el *router* que lo genera y el próximo salto) y toman un valor fuera del SRGB.



**Figura 3-5 SIDs: Globales y Locales**  
Recuperado de (Arista Networks, 2021)

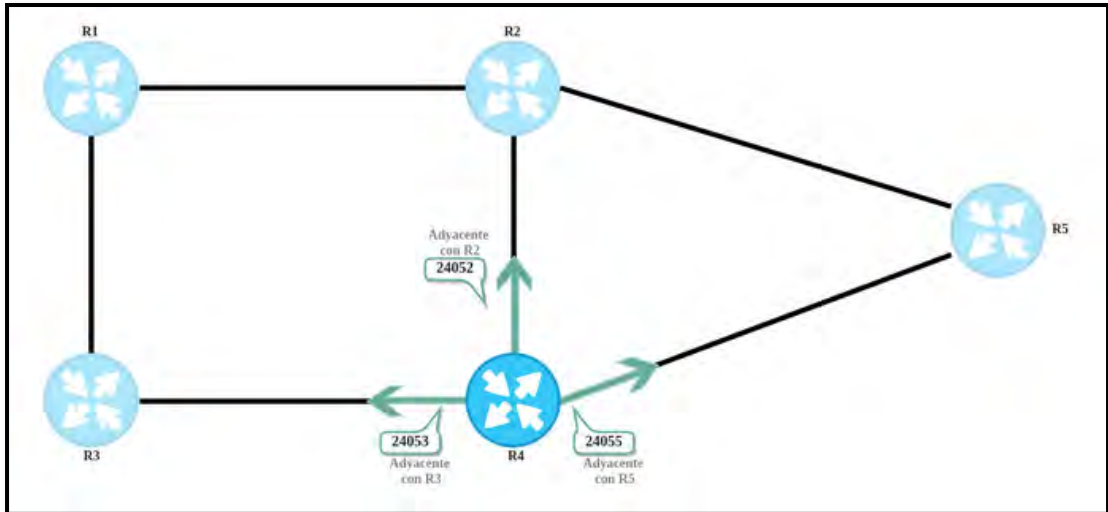
De acuerdo con (Filsfils, Michielsen, & Talaulikar, 2017), existen varios tipos de segmentos:

- **Node-SID:** Segmento de significado global, distribuido por un IGP de estado de enlace (IS-IS/OSPF), por ello, representa el camino más corto a un destino o prefijo especificado y tiene como símil el salto especificado en *Loose Source Routing*. Cabe decir que la configuración del valor de SID que representa a este segmento es configurada por el administrador de la infraestructura y es su responsabilidad mantenerlo único. Se recomienda configurar un Node-SID a las interfaces *Loopback*. Debido a estas características, se lo llama también *IGP Prefix Node Segment*.



**Figura 3-6 Node-SID**  
Recuperado de (Peñaloza, 2018)

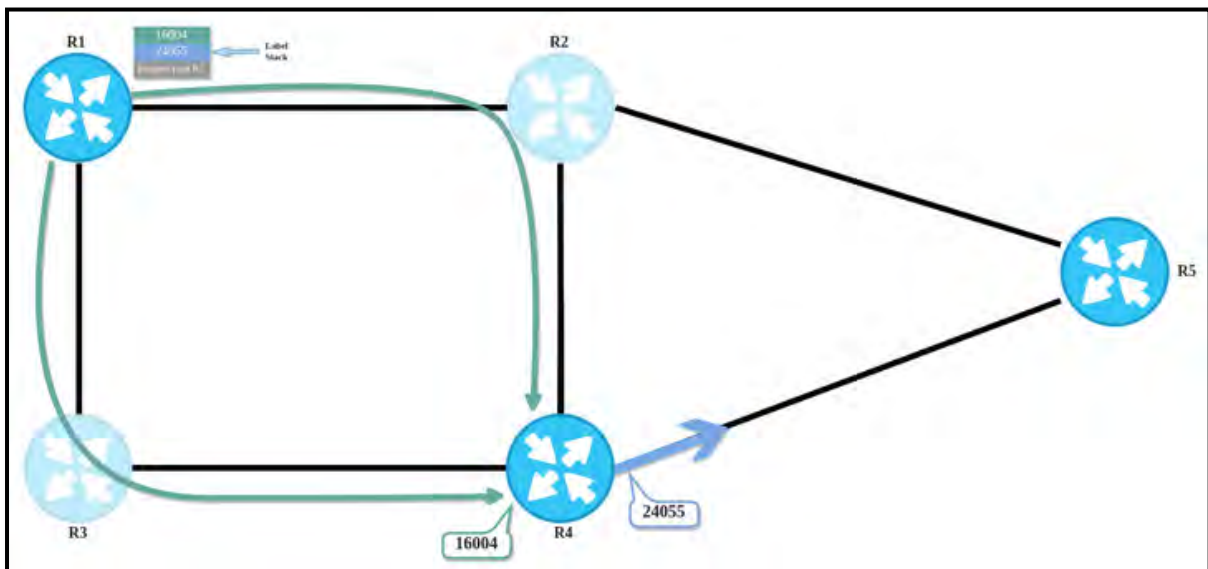
- **Adjacency-SID:** SID distribuido por los IGP de Estado de Enlace el cual describe una adyacencia en *routers* bajo el mismo IGP. A diferencia de los *Node-SID*, este tipo de segmento es auto asignado por el *router* y permite el cambio de etiquetas dentro de un *Node-SID*. Su función es símil a un *Strict Source Routing*.



**Figura 3-7 Adjacency-SID**  
 Recuperado de (Peñalosa, 2018)

- **Service-SID:** Identificador de un servicio específico. Es un SID Local.
- **BGP-SID:** Similar a un IGP-SID, pero en lugar de IGP, muestra el camino a un prefijo aprendido por BGP y es anunciado por este protocolo de enrutamiento.

Todos estos segmentos pueden ser combinados e impuestos en un paquete en una transmisión en el dominio SR, logrando así todas las características que *source-routing* tiene, pero sin la limitación de nuevo saltos, así como proveer mejoras a nivel de ECMP (*Equal-Cost Multipath*) y *Fast-Reroute*.



**Figura 3-8 Combinación de Node-SID y Adjacency-SID en un mismo Dominio SR**  
 Recuperado de (Peñalosa, 2018)

De igual manera que en MPLS-LDP, la facilidad de la inclusión de segmentos en un paquete a manera de etiquetas da un mejor entendimiento a SR, por eso, las operaciones que un nodo puede realizar con los segmentos en el dominio SR pueden mapearse con las operaciones en MPLS-LDP así:

**Tabla 3-2 Operaciones en SR vs Operaciones en MPLS-LDP**

<b>Operación en SR</b>	<b>Operación en MPLS-LDP</b>	<b>Función/Característica</b>
*SR Header (SRH)	<i>Label Stack</i>	Lista de segmentos o etiquetas
*Active Segment	<i>Top Most Label</i>	Segmento/Etiqueta en uso actual durante la transmisión
<i>Push</i>	<i>Push</i>	Actualiza la lista de segmentos, ubicando el segmento activo en lo más alto de la lista
<i>Continue</i>	<i>Swap</i>	Cambio de segmento o etiqueta a medida que el paquete transita la nube SR
<i>Next</i>	<i>Pop</i>	Marca el siguiente segmento como segmento activo o quita el segmento de ser el caso

\*No son operaciones, pero son parte fundamental de SR  
Fuente: (Salazar Ch., Naranjo, & Marrone, 2018)

Es importante decir que *Segment Routing* puede ser implementando sobre una red MPLS-LDP sin cambiar el plano de datos de MPLS.

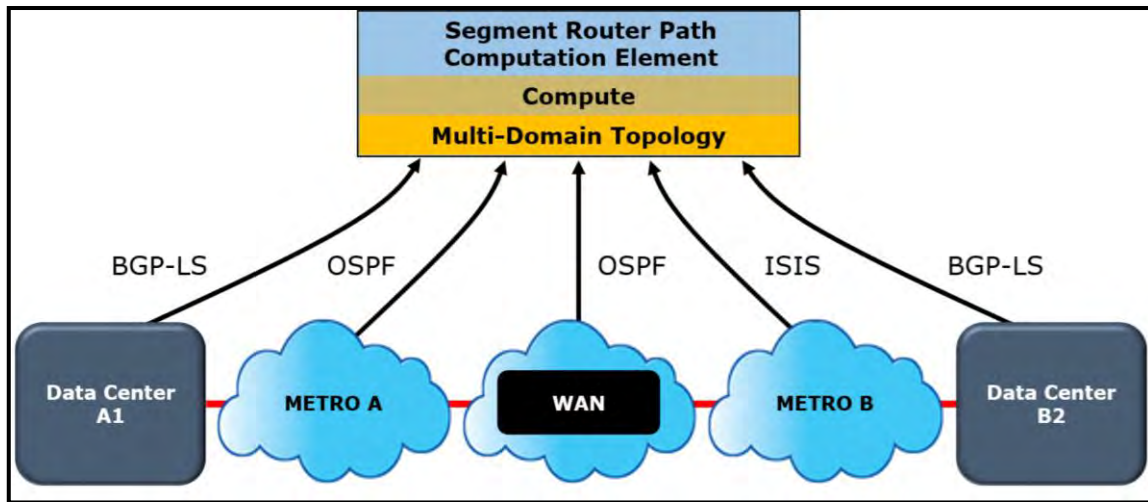
### Plano de Control

El plano de control, por otra parte, define el cómo la información de los SIDs es enviada y actualizada en el dominio SR.

*Node-SIDs* y *Adjacency-SIDs* son anunciados en la red por IGPs que soportan módulos de SR, actualmente, IS-IS y OSPF e incluso una familia de enrutamiento (*address-family*) en BGP.

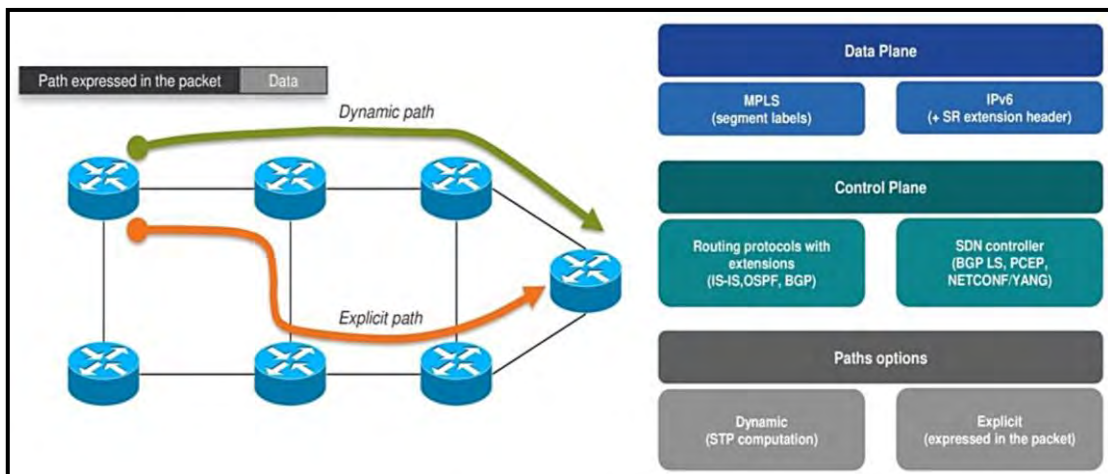
Tal como se menciona en (Salazar Ch., Naranjo, & Marrone, 2018), uno de los principales propósitos del plano de control es indicar al nodo de ingreso cómo seleccionar el camino. En la actualidad hay tres métodos para lograrlo:

- Configuración Manual: Un túnel estático de SR es configurado entre los nodos del dominio SR.
- Empleo de IGPs de Estado de Enlace como Underlay: El *router* de ingreso al dominio SR calcula el SPF (*Shortest Path First*) hacia el destino como base de una política de enrutamiento.
- A través de un Controlador SDN: SR provee un entorno que permite el uso de un controlador SDN como ODL mediante PCEP (*Path Computation Element*), ofreciendo gran capacidad de instanciar políticas de ingeniería de tráfico.



**Figura 3-9 Esquematación de SR PCE bajo un concepto SDN**  
 Recuperado de (Perrin, 2017)

En **4.1 Emulación de Segment-Routing con MPLS de Plano de Datos**, se realiza una emulación tanto bajo BGP como en una nube MPLS-LDP con el fin de probar el comportamiento de esta tecnología en escenarios PoC avalados en congresos internacionales, poniendo en práctica lo mencionado en cuanto al Plano de Datos y de Control de SR.



**Figura 3-10 Plano de Datos y Plano de Control en SR**  
 Recuperado de (Chaloupka, 2017)

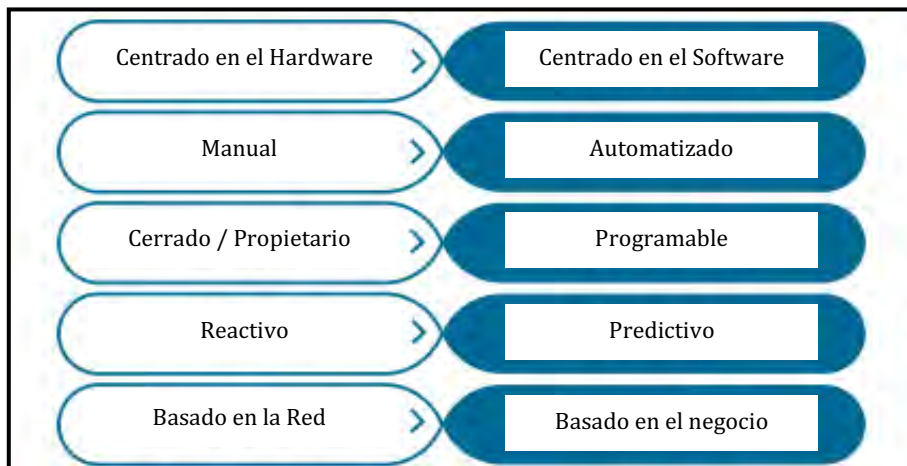
### 3.2 Software-Defined Access/Software-Defined Branch y Software-Defined Data Center

Las redes del presente y futuro, además de ser vistas como una colección de dispositivos, medios y servicios, deben ser vistas como un sistema holístico, casi omnipresente en la mayoría de actividades humanas.

La escalabilidad de las redes ha llegado a niveles nunca pensados y el uso del tradicional CLI no permite la configuración y menos el control de todos los elementos de una red, incluso, métodos tradicionales de administración de redes como SNMP, han quedado obsoletos en la era de la Transformación Digital.

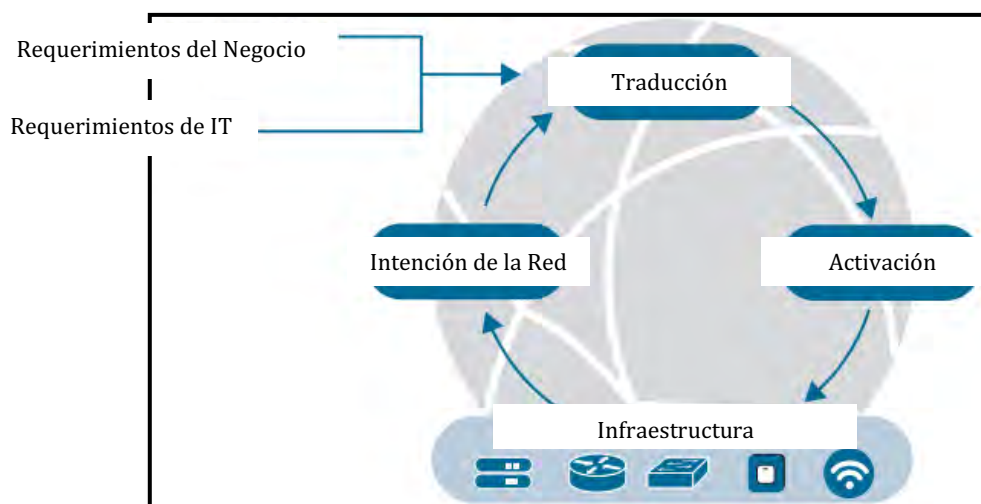
El personal a cargo de una infraestructura de TI busca maneras de controlar la red de forma sencilla, rápida y segura, es por ello por lo que, SDN y el análisis de Controladores de red son focos de estudio e investigación.

Un controlador SDN debe ofrecer la capacidad de administrar una red como si este fuera un sistema, en otras palabras, abstrayendo y automatizando las políticas presentes.



**Figura 3-11 Evolución de los requerimientos de una red IT**  
**Basado en** (Gooley, Hasan, & Vemula, 2021)

Para dar solución a estos cambios, un *framework* interesante se ha abierto camino, Cisco Systems lo denomina *Intent-Based Networking* o Redes Basadas en la Intención, mientras Huawei lo denomina *Intent-Driven Networks*<sup>48</sup>, pero sin importar su nombre, estas tecnologías determinan lo que requiere un negocio para automáticamente traducirlo a tareas que debe realizar la red para dar sustento al negocio. Según (Gooley, Hasan, & Vemula, 2021), esta es una tarea con lógica circular con el fin de generar políticas de enrutamiento, seguridad, QoS, pero no basta con solo crear las políticas, el siguiente paso es orquestarlas ya que en la actualidad existen tanto elementos físicos como virtuales, la capacidad de monitoreo y de *insights* es fundamental, dando así visibilidad completa a la red.



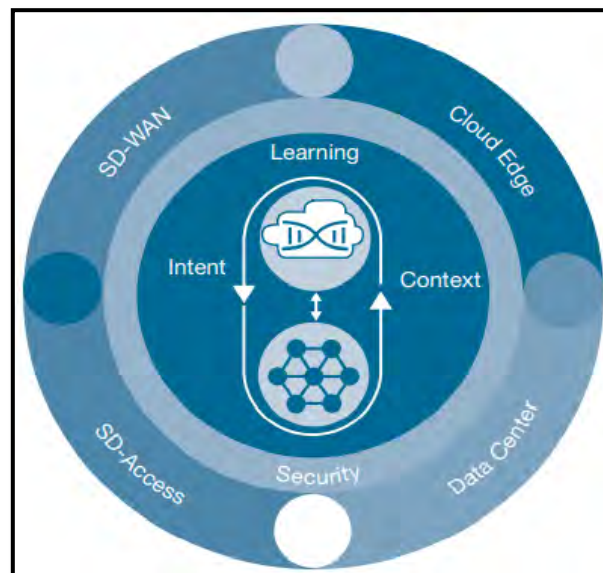
**Figura 3-12 Conceptualización de Redes Basadas en la Intención**  
**Recuperado de** (Gooley, Hasan, & Vemula, 2021)

<sup>48</sup> Intent-Driven Networks: <https://www.huawei.com/en/news/2018/2/Huawei-Launches-the-Intent-Driven-Network-Solution>

Diseñar una arquitectura de esas características sin duda es un reto para todos los profesionales en TI, por ello, la infraestructura de red es dividida en áreas funcionales que den lugar a un entorno SDN basado en la intención:

- Gestión de la WAN mediante SD-WAN
- Gestión de la red de campus o red empresarial mediante SD-Access/SD-Branch
- Gestión del Centro de Datos y el *Cloud* mediante SD-DC

Esta separación en áreas funcionales enfocadas a la digitalización y con miras a entornos SDN, muchos fabricantes lo denominaron *Digital Network Architecture*, arquitectura que se basa en la intención, está informada por contexto, siempre aprendiendo y con seguridad como eje transversal.



**Figura 3-13 Cisco DNA – Digital Network Architecture**  
Recuperado de (Gooley, Hasan, & Vemula, 2021)

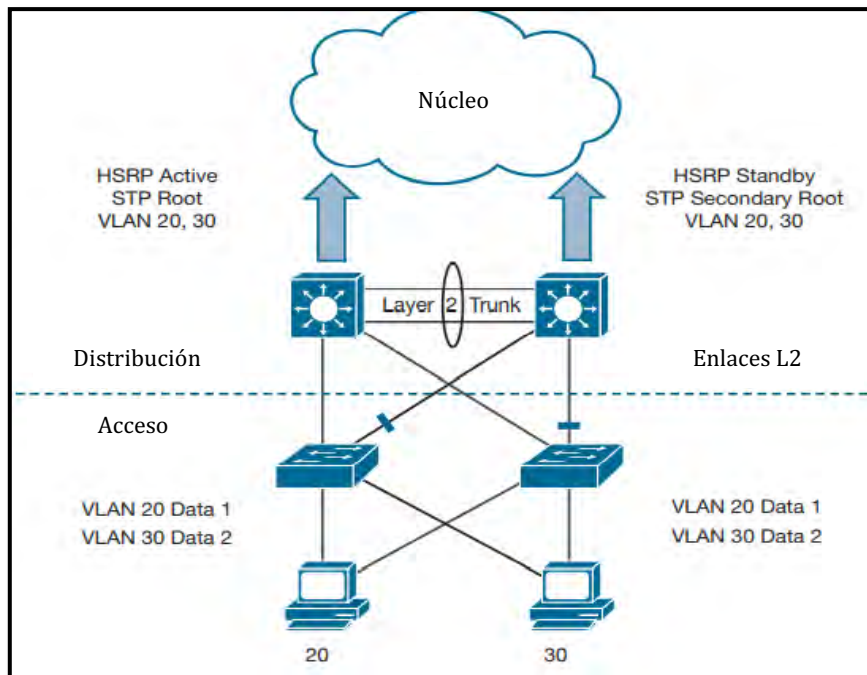
### 3.2.1 SD-Access/SD-Branch: Multidominios y Políticas comunes

Las demandas de los usuarios, incrementados por el contexto de pandemia COVID-19, han hecho que soluciones pasadas traten de solventar problemas de las redes del día de hoy. Es más, el campo del *networking* no se ha adaptado en la misma medida que las necesidades en tecnologías de la información: Las redes sirven para transportar datos y nada más, lo cual, durante esta tesis, se ha demostrado que no es su única función.

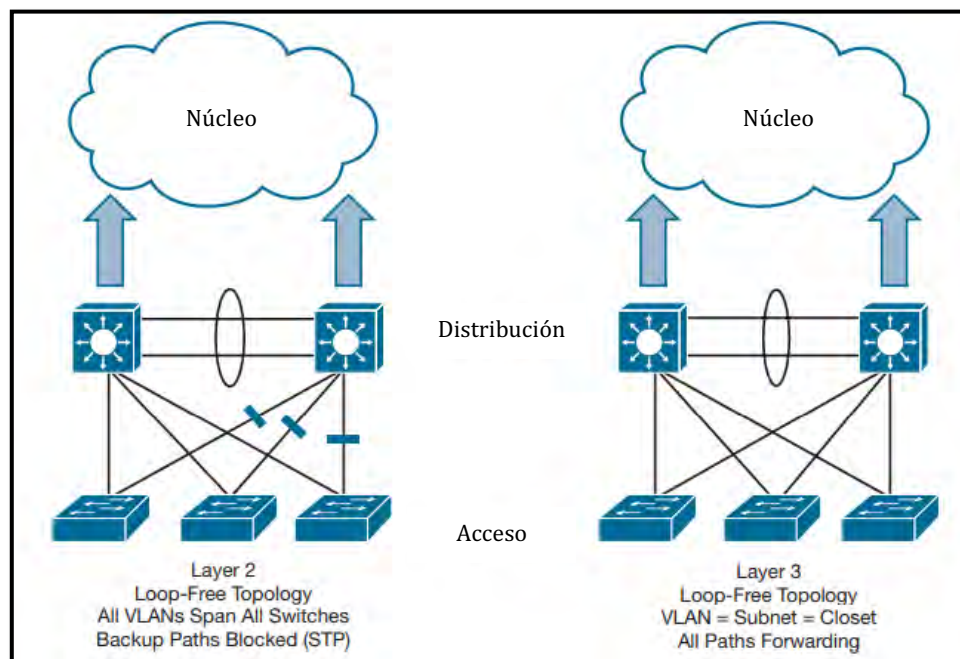
Una de las tecnologías que más se analiza su real beneficio es *Spanning-Tree Protocol* (STP), diseñado para evitar bucles L2, no obstante, puede ocasionar problemas en la red en caso de no ser manejado apropiadamente. Si bien STP ha evolucionado a PVST+, RSTP, MST, sigue generando dificultades, en especial al bloquear recursos. De igual manera, hay que tener cuidado cuando una red con STP tiene mecanismos de redundancia de primer salto o FHRP, siglas de *First Hop Redundancy Protocol*, ya que puede ocasionar problemas de envío.

Las redes, para evitar complicaciones, han optado por tener entornos L3 desde el acceso, lo que mejora las prestaciones y desempeño, de todas maneras, hay que tomar en cuenta que en un entorno L3, las VLANs no se propagan, se debe tener consideraciones especiales cuando haya redes inalámbricas con WLC, así como considerar que se aumentará el valor de la inversión.

Un diagrama de una típica red empresarial, bajo el modelo de diseño jerárquico de tres capas (Acceso, Distribución y Núcleo) se observa en las siguientes figuras:



**Figura 3-14** Diseño de red clásica empresarial mediante modelo jerárquico de tres capas  
Recuperado de (Gooley, Hasan, & Vemula, 2021)

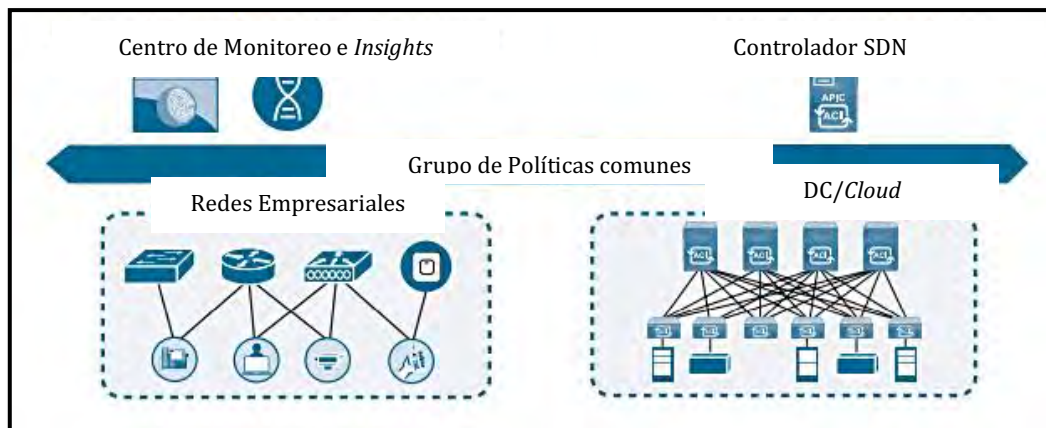


**Figura 3-15** Diseño L2 de red clásica empresarial vs. Diseño L3 de red clásica empresarial  
Recuperado de (Gooley, Hasan, & Vemula, 2021)

Debido a que los datos ya no son estáticos y estos se generan en cualquier lugar de la red gracias a IoT y a BYOX, los diseños clásicos mostrados en las Fig. 3-14 y Fig. 3-15 no son los óptimos y las tendencias en IT marcan el camino hacia la definición de Multidominios, generando seguridad, simplicidad y un mejor control para la administración.

Un punto clave de entornos multidominio es contar con una política que pase por todos los sectores generadores de datos, tratando de otorgar consistencia y tráfico determinista.

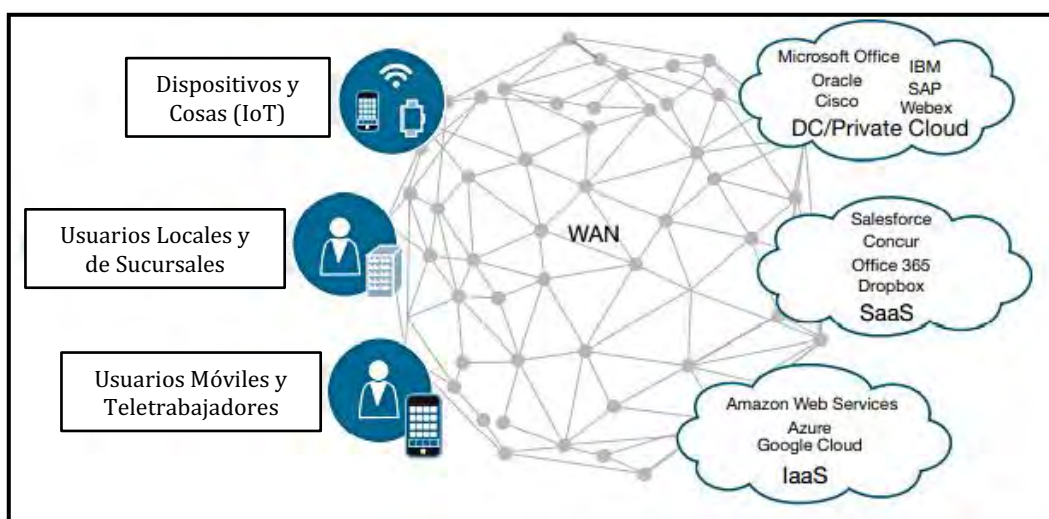
La generación de multidominios es el paso inicial a la creación del denominado SD-Access o SD-Branch, términos acuñados por diversos fabricantes, en la que la política establecida es compatible con el lado SD-WAN. Una esquematización de ello se observa en la Fig. 3-16.



**Figura 3-16 Creación de Multidominios en la red empresarial - SD-Access/SD-Branch**  
Basado en (Gooley, Hasan, & Vemula, 2021)

La inclusión de entornos tipo *Cloud* también complica el panorama en una red empresarial, pues aparecen conceptos como *Shadow IT*, es decir, líneas del negocio (LoB) que circulan a través de diversos proveedores de *Cloud* para entregar el servicio sin control directo de los departamentos de TI, causando dificultades a nivel de privacidad y seguridad en general.

Solamente redes de empresariales de próxima generación serán capaces de abordar estas dificultades y entregar adecuadamente los servicios y una excelente experiencia de usuario uniendo el lado LAN con el WAN, tal como se aprecia en la Fig. 3-17.



**Figura 3-17 Red de Campus de próxima generación: SD-Access + SD-WAN + Multidominios + MultiCloud**  
Basado en (Gooley, Hasan, & Vemula, 2021)

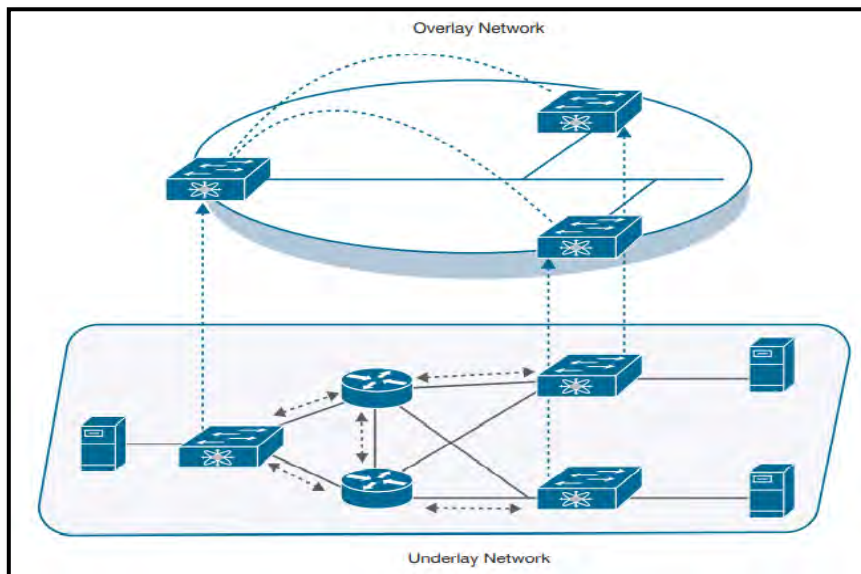
### 3.2.2 SD-Access/SD-Branch: Conceptualización y Arquitectura (*Fabric de SD-Access mediante LISP*)

SD-Access/SD-Branch surgió como resultado de la modernización de la red de Campus hacia una red de próxima generación en la que modelos y tecnologías tradicionales no permiten entregar el servicio de la manera más adecuada.

SD-Access se implementa bajo la premisa de la creación de redes con el paradigma *Underlay-Overlay*, dando a la red empresarial una red lógica robusta, segura, simple y de fácil monitoreo y gestión.

La red *Underlay* está compuesta por los mismos equipos de la red tradicional: *switches*, *routers*, *firewalls*, equipos de seguridad como IDS/IPS, etc. La principal función de la red *underlay* es la de conectar los nodos y generar comunicación entre ellos.

El *fabric* de SD-Access es la red *Overlay*, la cual separa el Plano de Envío del Plano de Control de forma lógica, simplificando de esa manera a la red subyacente (*underlay*). Se integra además un plano denominado Plano de Políticas/Orquestación. La Fig. 3-18 muestra el concepto del paradigma *Underlay-Overlay*.



**Figura 3-18 Paradigma Underlay-Overlay**  
Basado en (Gooley, Hasan, & Vemula, 2021)

Los protocolos que se pueden usar en SD-Access y construir el *Fabric* necesario son:

- Plano de Control basado en el protocolo LISP (*Locator ID Separation Protocol*).
- Plano de Datos basado en VXLAN (*Virtual Extensible LAN*).
- Plano de Políticas y Orquestación mediante Controlador SDN y/o de seguridad.

LISP es considerado por (Cisco Systems, 2018) como una arquitectura de red y protocolo que implementa el uso de identificadores o *namespaces* en lugar de una sola dirección IP para identificar un nodo en la infraestructura, desarrollando así un sistema de mapeo bajo demanda.

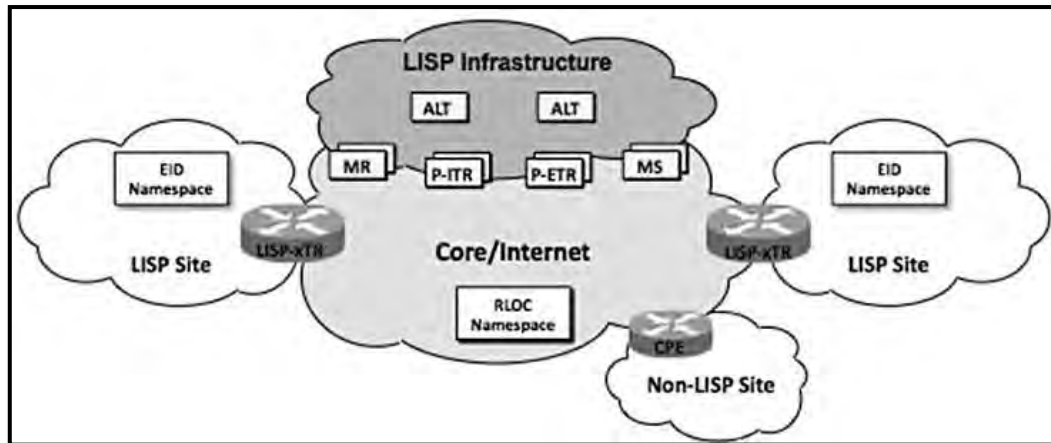
Un nodo en LISP podrá tener:

- *Endpoint-ID* (EIDs), los cuales se asignan a dispositivos finales.

- *Routing o Record Locators (RLOCs)*, asignados a dispositivos intermediarios, principalmente *routers* y generar un sistema de ruteo global.

Al contar con esos identificadores, se puede administrar mejor las infraestructuras que tienen gran cantidad de usuarios y mantener coherencia en su direccionamiento IP, ya que los EIDs tendrán una determinada dirección IP y los RLOCs otra dirección IP, es decir, LISP separa la identidad de la localización de un equipo, evitando así enrutamientos subóptimos.

La Fig. 3-19 muestra una esquematización de LISP:



**Figura 3-19 Esquematización de LISP**  
Recuperado de (Cisco Systems, 2018)

El funcionamiento de LISP permite que al conectarse un usuario a la infraestructura, el dispositivo de acceso registra su EID: Registra su dirección IP y/o dirección MAC, así como su ubicación a través de su interfaz *Loopback* como RLOC hacia un servidor de mapeo que funciona de forma similar a un servidor DNS que posee todos los EIDs y RLOCs de la red, de esta manera, cuando se requiere que el tráfico se dirija a un destino en particular, el dispositivo de origen solicita el RLOC del destino al servidor de mapeo, disminuyendo la cantidad de entradas en la tabla de enrutamiento de los equipos.

En otras palabras, LISP funciona bajo un paradigma de solicitud-respuesta, en el que los equipos no mantienen el estado de las redes, sino que le preguntan a un servidor de mapeo por la información necesaria, generando un Plano de Control manejable e ideal para el entorno SD-Access/SD-Branch. Este concepto es muy similar a entornos tipo iWAN con el protocolo NHRP.

La segmentación en entornos multidominio con gran cantidad de usuarios es un requerimiento necesario. Tradicionalmente esto se logra con VLANs, ACLs e incluso con VRFs (*Virtual Routing and Forwarding*), si bien estos métodos logran segmentar la red, no son lo suficientemente escalables ni tampoco seguros, en especial en entornos con múltiples *Clouds*, por ello, es mejor identificar al usuario y no seguirlo únicamente por su dirección IP. Mecanismos como *TrustSec*<sup>49</sup> segmentan la red en base a etiquetas denominadas *Scalable Group Tags* o SGTs, con ello, las políticas se aplican a los SGTs en lugar de a una dirección IP y así traducir una intención de negocio a una política de red.

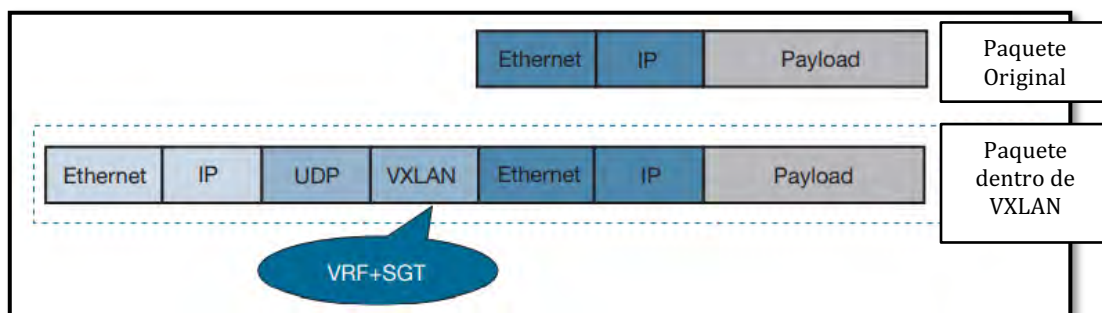
<sup>49</sup> Cisco TrustSec: [Cisco TrustSec Software-Defined Segmentation - Cisco](#)

Se realizó una PoC de LISP en **4.2 Emulación de LISP como Fabric de SD-Access** y de esa manera, comprobar la factibilidad de uso y configuración de este protocolo.

VXLAN, definido en el RFC 7348<sup>50</sup> como una técnica de encapsulación y creación de túneles IP/UDP (Salazar Ch & Naranjo, 2017), tiene la función de ser el Plano de Datos de SD-Access gracias a sus características intrínsecas como creación de VNIDs, soporte en L2 y L3 y sencillez de configuración (Ver **Fuente: Autor**

Configuración de VXLAN, parte del **Anexo D: Ansible para entornos NetDevOps en infraestructuras de Red**).

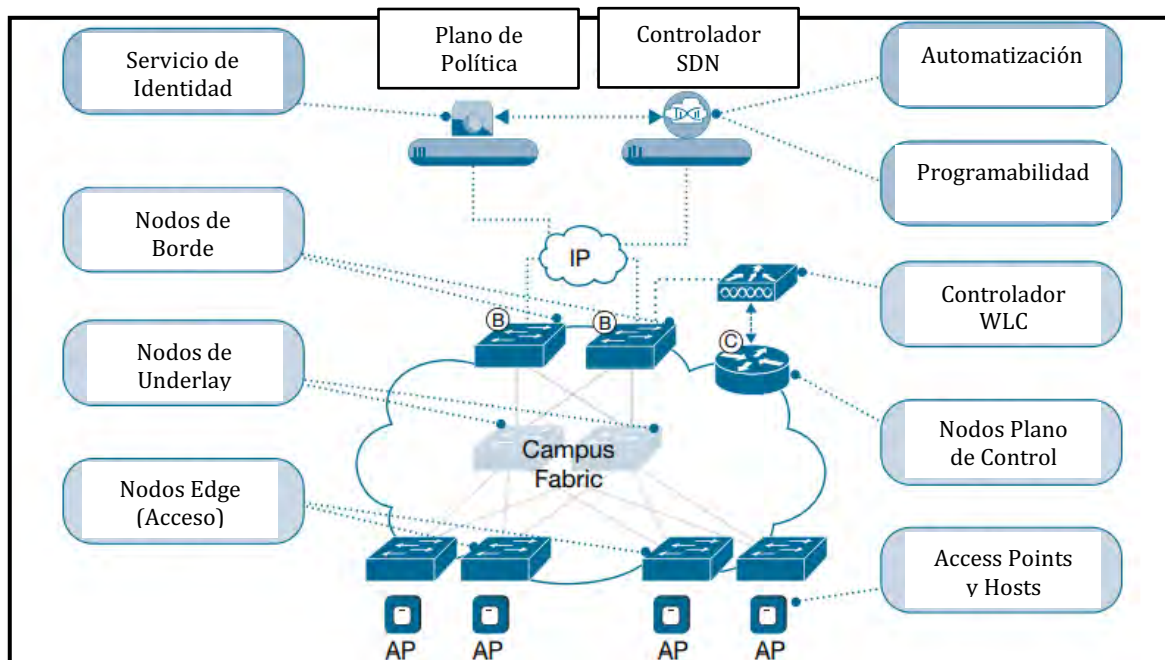
Pero, para que VXLAN se integre plenamente con LISP y formen el *fabric* de SD-Access, la especificación original de VXLAN se convierte en VXLAN-GPO, actualmente como IETF Draft denominado *VXLAN Group Policy Option*, para incluir un campo para la etiqueta SGT de LISP.



**Figura 3-20 Encapsulación de VXLAN-GPO**  
Recuperado de (Gooley, Hasan, & Vemula, 2021)

### 3.2.3 SD-Access: Roles

Los componentes principales de SD-Access se muestran en la Fig. 3-21.



**Figura 3-21 Componentes y Roles de SD-Access**  
Recuperado de (Gooley, Hasan, & Vemula, 2021)

<sup>50</sup> RFC 7348 VXLAN: <https://tools.ietf.org/html/rfc7348>

### Componentes de SD-Access:

- **Controlador SDN:** Controlador que provee automatización basada en la intención para los usuarios, así como analítica para verificar flujos de datos, telemetría e *insights*. Puede implementarse con un controlador abierto como ODL o propietario como el *Cisco DNA Center*. Es factible implementar técnicas de programabilidad bajo *NetDevOps* de igual manera.
- **Plano de Políticas:** Equipo que dinámicamente agrupa los usuarios finales con su SGT para la aplicación de las políticas basadas en la intención. Puede implementarse mediante Cisco ISE, Citrix Gateway, FortiNAC, AWS Resource Access Manager o cualquier equipo que realiza control de acceso, postura, portal cautivo y co-locación.
- **Nodo de Plano de Control:** Es el equipo encargado de resolver y registrar a los usuarios finales con el fin de asignarles su EID (*Endpoint ID*). Tiene mucha importancia dentro del *Fabric* de SD-Access, pues permite la movilidad de los *hosts*. En la *Fig. 3-21* está marcado con la letra C.
- **Nodo de Borde:** Equipo que conecta la red externa (fuera de SD-Access) con la red interna a nivel L3. En la *Fig. 3-21* están marcados con la letra B.
- **Nodo Edge:** Equipo considerado de acceso. Es el encargado de concentrar y dar acceso a los usuarios finales. Debido a que son el acceso, tienen la responsabilidad de brindar autenticación y autorización (Conceptos de AAA – Autenticación, Autorización y Auditoría). Normalmente, en entornos de mucha movilidad, se emplean *Anycast L3 Gateways*, para tener un router que funcione como puerta de enlace común.
- **Controlador WLC (Opcional):** Permite la inclusión de APs ligeros a la red, formando un túnel CAPWAP-VXLAN con los nodos *Edge*.

#### **3.2.4 SD-Data Center: Conceptualización e Importancia**

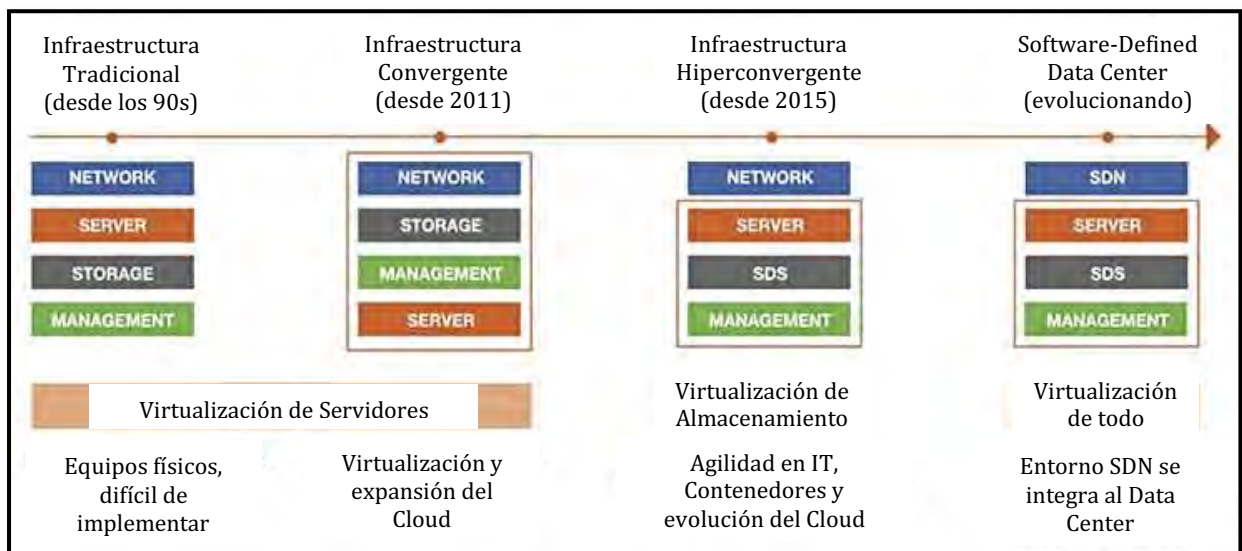
En base a (IBM, 2021), SD-DC es un centro de datos donde los recursos y servicios empresariales son aprovisionados, monitoreados y administrados mediante técnicas y procesos definidos por *software*.

Por lo visto hasta el momento, una de las razones para los cambios de paradigmas en redes hacia entornos SDN, es la agilidad de implementación con seguridad y una de las maneras de lograrlo, es con SD-DC en el área de procesamiento de datos corporativos.

IBM también menciona que el uso de *Cloud*, virtualización de servicios y virtualización de la red son parte de la infraestructura empresarial moderna, por lo que aplicar los conceptos de SDN al mundo del DC es una obligación de los departamentos de IT.

Según (SDxCentral, 2015), al virtualizar el DC, todos sus recursos tanto de almacenamiento como de procesamiento pueden abstraerse en una forma de *software*, es así como la ventaja real para los usuarios es que toda la infraestructura para el tratamiento de los datos que circulan por la red se abstraiga en un *Cloud*, reduciendo así costos en CaPEX y OpEX.

La integración entre SD-Access (también llamado SD-LAN o SD-Branch), con SD-DC y SD-WAN es primordial para tener redes de próxima generación que apalanquen los objetivos empresariales del siglo XXI, tal como las vemos en la *Fig. 3-22*.

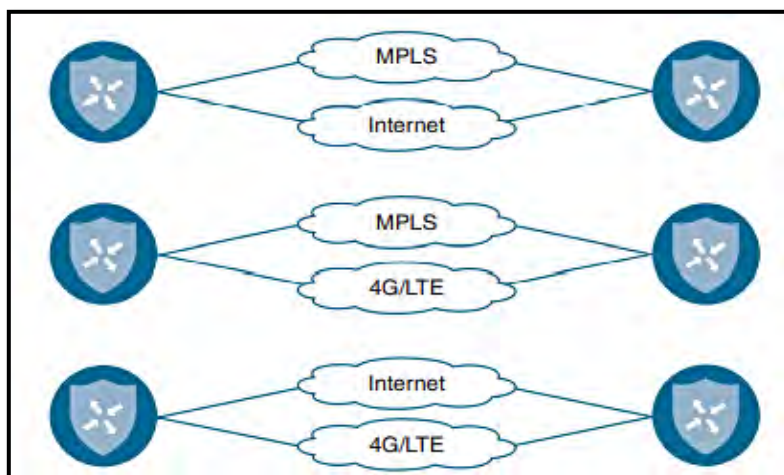


**Figura 3-22 Evolución del Data Center**  
 Recuperado de (Data Center Frontier, 2018)

### 3.3 Software-Defined WAN: Propuesta de rediseño del transporte de información y control de camino en redes Underlay y Overlay

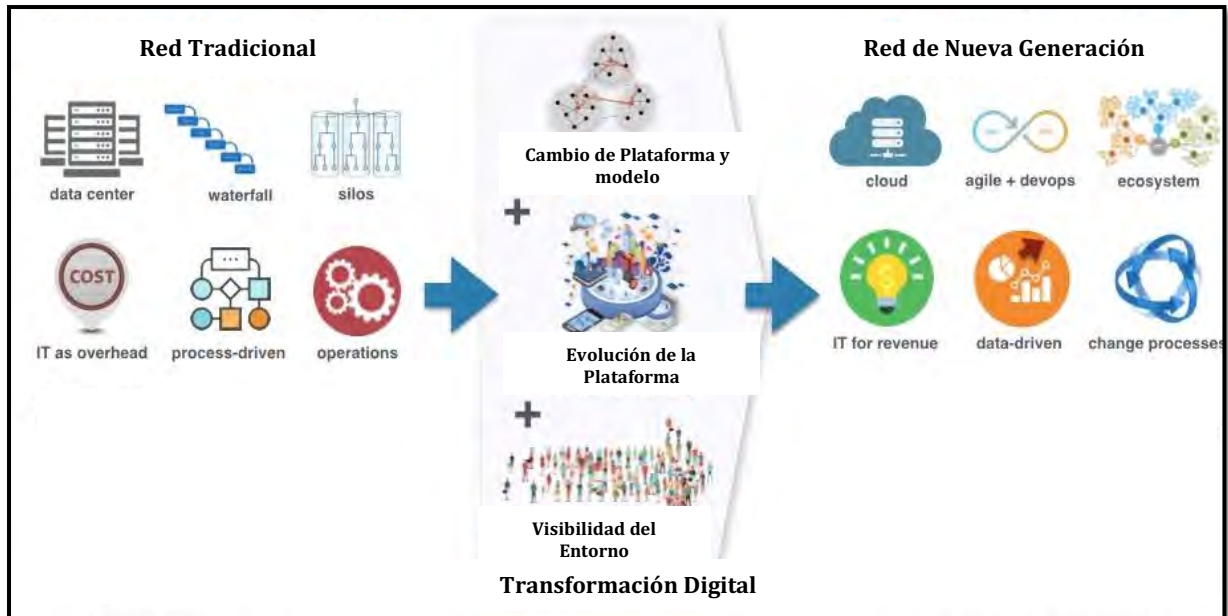
El rumbo hacia Redes de Nueva Generación representa una evolución trascendental en términos de protocolos, estandarización y de entrenamiento del talento humano para cubrir las necesidades de los usuarios modernos, pero conseguir esos objetivos planteados en SLAs corporativos tomaría un costo elevado en cuanto a inversión, además de mucho tiempo en el diseño e implementación si se realiza con tecnologías tradicionales.

Por estos motivos, surgió el concepto de una WAN híbrida, la cual cuenta con enlaces adicionales/*backups* que no son MPLS y así contar con escalabilidad y resiliencia en la red. Estos enlaces redundantes o usados para ciertas aplicaciones del negocio toman el nombre de “**Independencia de Transporte**”, ya que pueden ser creadas con diversas tecnologías tales como enlaces de Internet de banda ancha, L2VPNs o incluso enlaces 4G-LTE/5G, generando así libertad en la elección del *Underlay*.



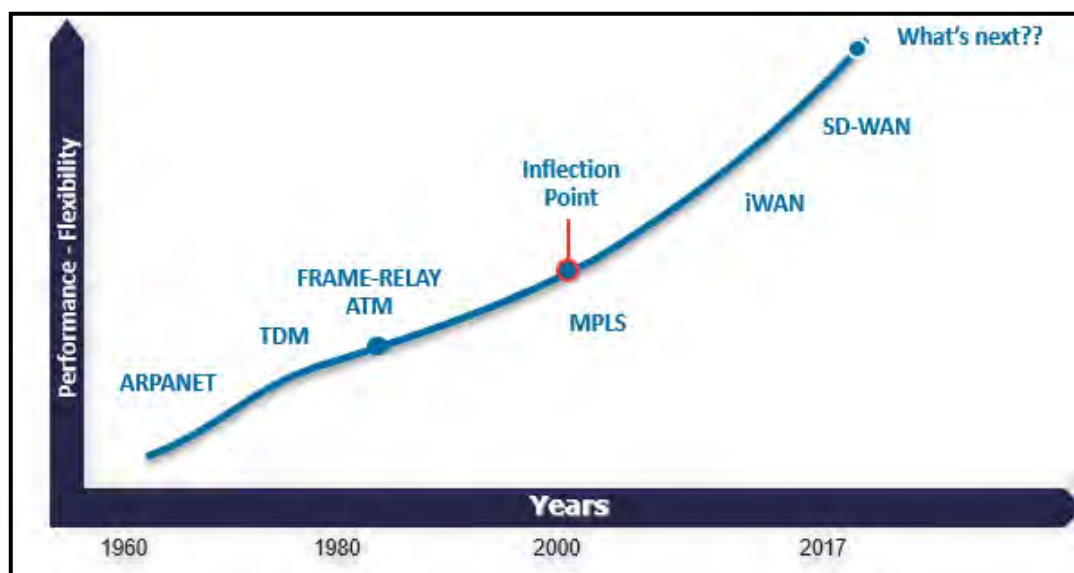
**Figura 3-23 La WAN Híbrida - Independencia de Transporte**  
 Recuperado de (Gooley, Yanch, Schuemann, & Curran, 2021)

Es obvio mencionar que estas redes empresariales requieren del establecimiento de políticas de enrutamiento y de seguridad con el fin de interconectar sus sedes. Estas políticas serían muy complejas de establecer con el paradigma de *networking* tradicional, incluso con técnicas como PBR (*Policy-Based Routing*), por ello, se debe repensar a la WAN pero con el paradigma SDN en mente, naciendo de esa manera SD-WAN tal como se observa en la Fig. 3-24.



**Figura 3-24 Redes de Nueva Generación**  
 Recuperado de (Hinchcliffe, 2018)

Llegar al concepto de SD-WAN no fue repentino, es más, según (Salazar-Chacón & Reinoso, 2021), se tuvo un proceso gradual, comenzando con entornos conectados mediante DMVPNs-IPSec, luego con iWAN y finalmente SD-WAN.



**Figura 3-25 Evolución de la WAN con miras a SD-WAN**  
 Recuperado de (Salazar & Solano, Fundamentos de Cisco Intelligent WAN, 2018)

### 3.3.1 SD-WAN: Rediseñando la WAN

Las WANs en la actualidad se han rediseñado para dar soporte a los requerimientos de conectividad a larga distancia de usuarios y empresas. Según un análisis de campo y por experiencia propia, se puede decir que las áreas clave de mejora son:

- Conectividad segura y flexible.
- Pensando en entornos multidominio y/o *multicloud*.
- Calidad de experiencia (QoE) al máximo nivel, más aún, en momentos donde la telemática ha llegado a campos de la educación, salud y economía.
- Operaciones ágiles.

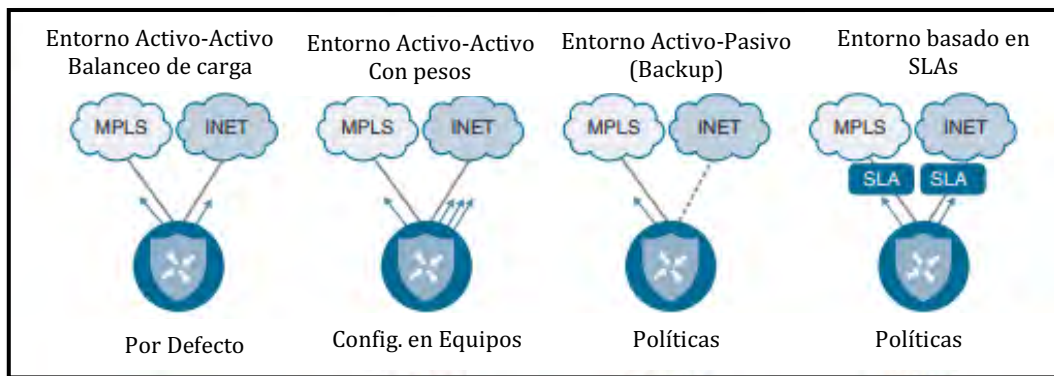
La seguridad debe ser una parte integral de toda red, por ello, en tiempos modernos la segmentación y establecimiento de políticas claras es fundamental, es así como los conceptos de SDN analizados en **2. Fundamentos de las Redes Definidas por Software** se aplican en las redes WAN, separando el plano de control, datos y administración en toda la infraestructura utilizando el modelo denominado *Zero-Trust*<sup>51</sup>, el cual significa que todo proceso debe ser autenticado y autorizado, tal como se aprecia en la *Fig. 3-26*.



**Figura 3-26 Modelo de Seguridad Zero-Trust**  
*Basado en* (Cloudfare, 2021)

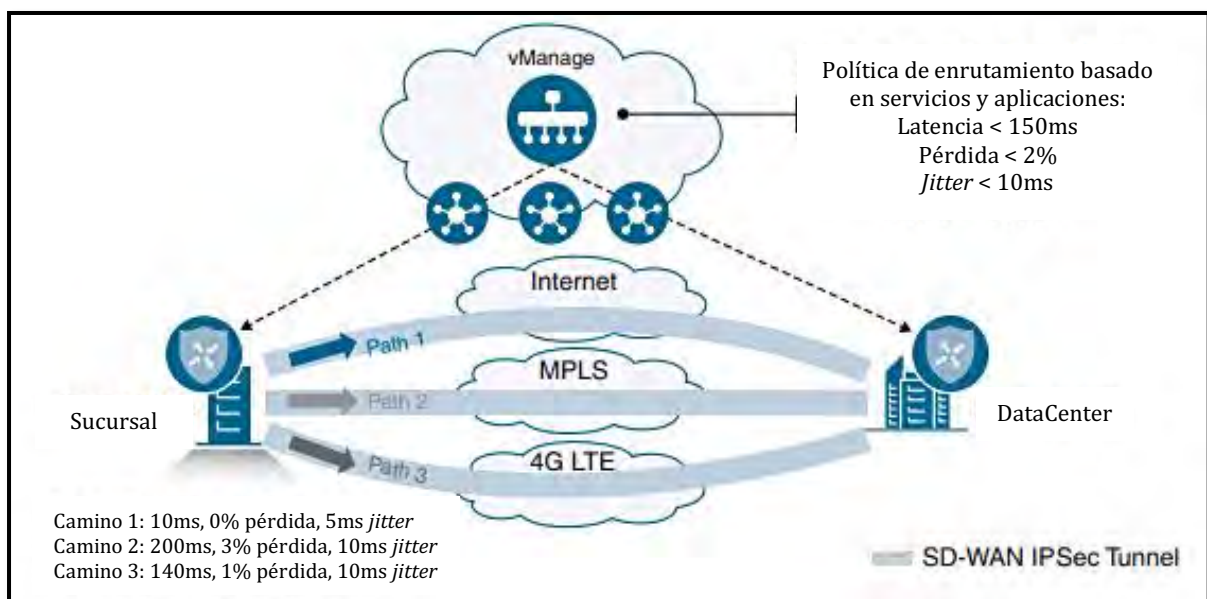
De igual manera, la operación y administración de una red WAN debe estar orientada al servicio, coordinando el enrutamiento y la orquestación de manera simple y rápida, debe ser un entorno basado en políticas y SLAs, donde APIs dan acceso al Controlador, gestionando la red de forma proactiva.

<sup>51</sup> Modelo Zero-Trust: <https://www.welivesecurity.com/la-es/2020/09/14/zero-trust-que-es-modelo-seguridad-crecio-adopcion/>



**Figura 3-27 SD-WAN basado en políticas**  
 Basado en (Gooley, Yanch, Schuemann, & Curran, 2021)

Un ejemplo de SLA y gestión de tráfico se observa en la Fig. 3-28, en la que la WAN permite mantener parámetros como *jitter*, pérdida de paquetes y latencia en valores establecidos en la política de enrutamiento empresarial, utilizando *multipaths* e independencia de transporte.

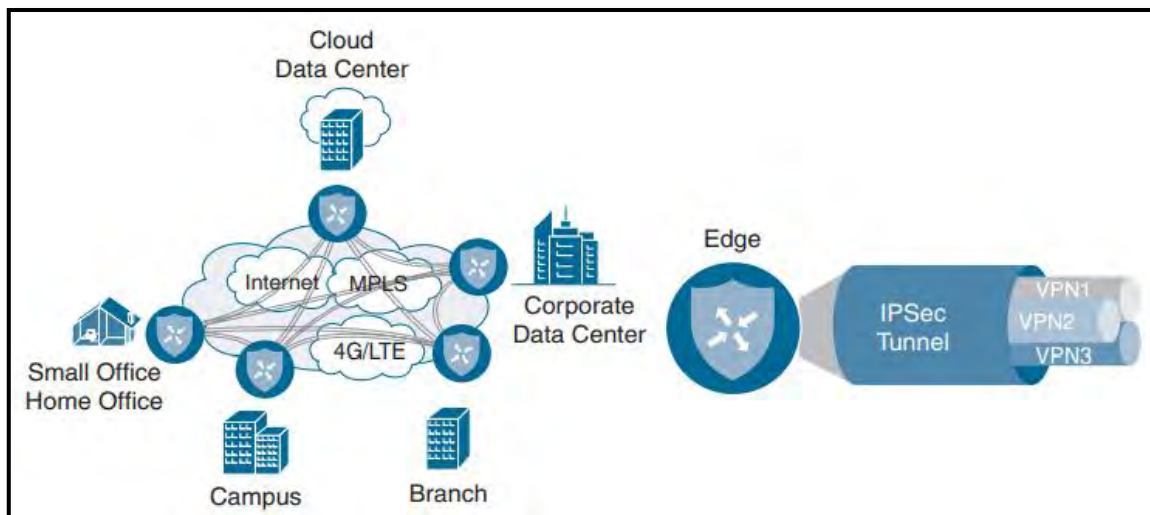


**Figura 3-28 Ejemplo de SD-WAN basado en políticas: Viptela**  
 Basado en (Gooley, Yanch, Schuemann, & Curran, 2021)

En cuanto a seguridad, la segmentación y encriptación de datos en tránsito a través de túneles IPSec bajo demanda son las mejores opciones, pues al no mantener una VPN fija, se evita la posibilidad de que intrusos ingresen u observen los datos y siendo estas VPNs bajo demanda, es posible segregar el tráfico según los datos que estén circulando. Este entorno fue concebido gracias a iWAN (*Intelligent WAN*), por muchos considerado el antecesor de SD-WAN.

Un *webinar* internacional presentado por el Gustavo Salazar (Salazar & Solano, 2018), autor de la tesis, sobre iWAN puede observarse en el siguiente enlace:

<https://community.cisco.com/t5/videos-routing-y-switching/webcast-video-fundamentos-de-cisco-intelligent-wan/ba-p/3399530>

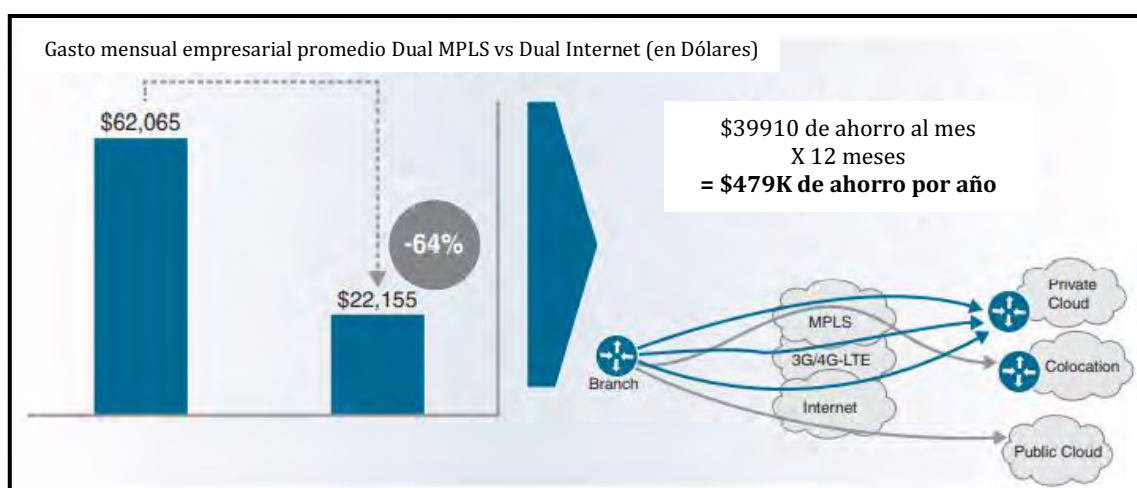


**Figura 3-29 SD-WAN: Túneles IPsec bajo demanda - Segmentación**  
 Recuperado de (Gooley, Yanch, Schuemann, & Curran, 2021)

### 3.3.2 SD-WAN: Pronto ROI, Fabricantes y Mercado Mundial

Las infraestructuras de red optan por consolidarse como una solución totalmente centralizada, dando flexibilidad no solo a la red, sino al negocio, incluso permitiendo que sea éste quien tome control de las políticas a implementar, moviéndose así a un modelo más OpEX que un modelo CapEX, en especial al haber fabricantes que pueden rentar la infraestructura a una empresa, por ello, uno de los primeros pasos al considerar una migración de una red tradicional WAN a SD-WAN es verificar el retorno de inversión (ROI) que produciría.

En base al análisis de costos realizado por (Gooley, Yanch, Schuemann, & Curran, 2021), se tiene un ahorro mensual cercano al 60% al comparar una solución dual de MPLS (WAN dedicada) que usando un entorno de independencia de transporte mediante acceso a Internet o 4G/5G.



**Figura 3-30 SD-WAN: Ahorro y pronto ROI**  
 Recuperado de (Gooley, Yanch, Schuemann, & Curran, 2021)

Por todos estos motivos, SD-WAN es una tecnología que está revolucionando la red empresarial.

Fabricantes como Fortinet, Cisco, VMWare Velocloud, Citrix, Versa Networks y CloudGenix (PaloAlto) son los más representativos en el mercado SD-WAN mundial, la mayoría de ellos ofreciendo simplicidad, optimización de tráfico y uso del paradigma SDN.

Con el fin de comparar a estos fabricantes, se decidió usar los siguientes parámetros:

- ASIC de próxima generación: Es aquella ASIC diseñada para tareas especializadas del entorno SD-WAN, generando gran escalabilidad y eficiencia.
- Integración con equipamiento de Seguridad avanzada: Una adecuada solución SD-WAN debe nativamente incorporar equipos como NGFW (*Next-Generation Firewalls*)
- Buen TCO por Mbps protegido: Medida clara del TCO (*Total Cost of Ownership*) en términos de Mbps protegidos.
- Disponibilidad Multiplataforma e Interoperabilidad: Equipos SD-WAN deben incluir tanto factores de forma físicos como virtuales que permitan la implementación de esta tecnología.
- Selección Dinámica de caminos: SD-WAN mejora la resiliencia de la red a través de selección dinámica de caminos mediante independencia de transporte.
- SD-Access segura: La convergencia entre la WAN y el acceso a la red reduce riesgos, incrementa la agilidad y permite una mejor administración.

En base al estudio realizado por (Fortinet, 2021), así como de una investigación de campo, se llegó a la siguiente tabla comparativa:

**Tabla 3-3 Comparación de diversos fabricantes de soluciones SD-WAN**

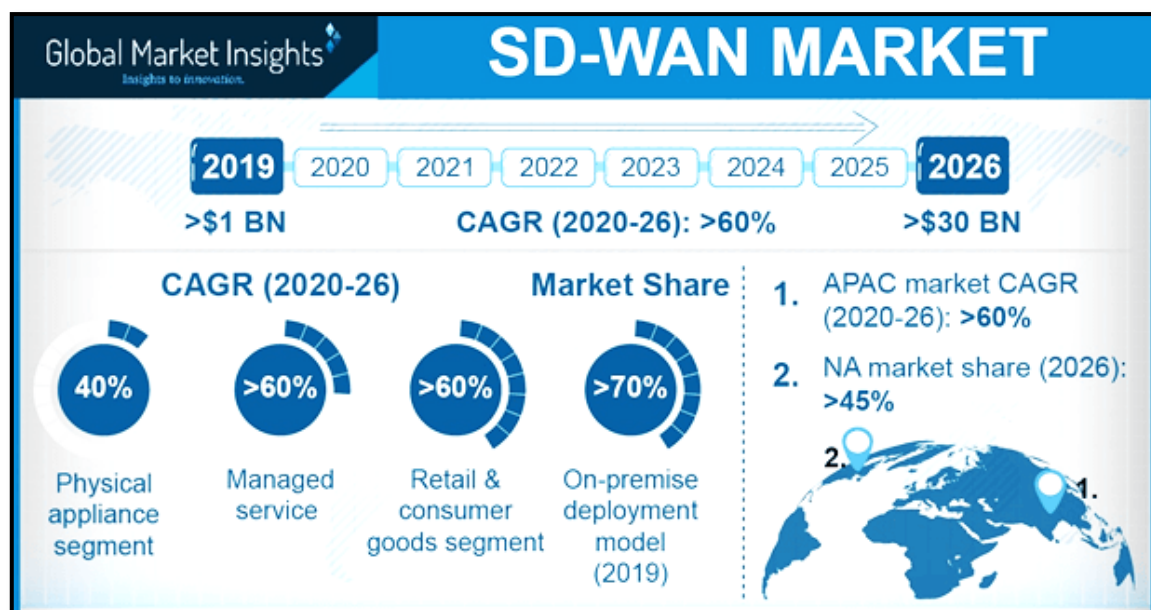
	Fortinet	Cisco Viptela	HPE Silver Peak	VMware VeloCloud	Palo Alto Prisma SD- WAN	Versa Networks
NG-ASIC	SÍ	SÍ	NO	NO	NO	NO
Integración con Equipos de seguridad avanzada	SÍ	SÍ	NO	NO	NO	SÍ
TCO por Mbps protegido	\$4	Desconocido	\$37	\$28	Desconocido	\$10
Disponibilidad Multiplataforma e Interoperabilidad	SÍ	SÍ	SÍ	SÍ	SÍ	SÍ
Selección Dinámica de Caminos	SÍ	SÍ	SÍ	SÍ	NO	NO
SD-Access/SD-Branch Segura	SÍ	SÍ	NO	NO	NO	NO

Fuente: (Fortinet, 2021)

Sin importar el tipo de fabricante, todos buscan la mejora de la WAN en cuanto a productividad se refiere, así como dotar de seguridad a la infraestructura de extremo a extremo.

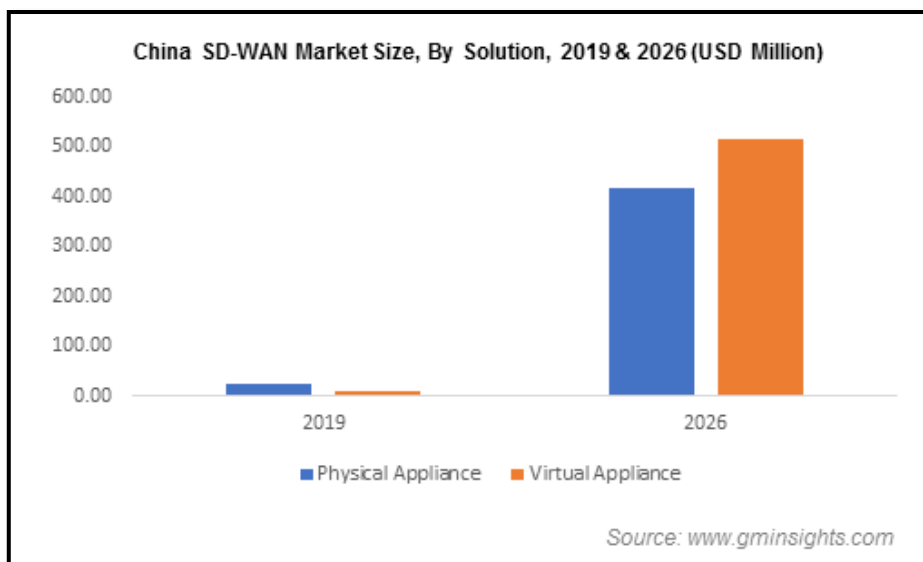
La llegada de la pandemia COVID-19 trajo muchas dificultades a todo el mundo, pero fue posible mantener los sistemas críticos como la educación, salud y sector energético a través del uso de aplicaciones basadas en la nube y otras tecnologías que dieron soporte a este tipo de servicios para el desenvolvimiento desde la casa durante los confinamientos. Esta coyuntura permitió el despliegue de SD-WAN con más rapidez, sin embargo, debido al cierre de fábricas de elementos y piezas, el desarrollo y evolución de SD-WAN tuvo una barrera que lo afectó a corto plazo, en especial en la creación de dispositivos, a pesar de ello, SD-WAN creció positivamente, ya que la implementación de redes 5G es un hecho y 5G requiere de infraestructuras de red tipo SD-WAN para lograr una adecuada infraestructura moderna capaz de soportar flujos masivos de datos en tiempo real.

El mercado mundial de SD-WAN tiene mucho por crecer, es más, según (Global Market Insights, 2020), se espera una tasa de crecimiento anual compuesto (CAGR – *Compound Annual Growth Rate*) que bordea el 60% entre el año 2020 y 2026, además de una inversión que pasará de 1 Billón de dólares en el 2019 a 30 Billones para el 2026.



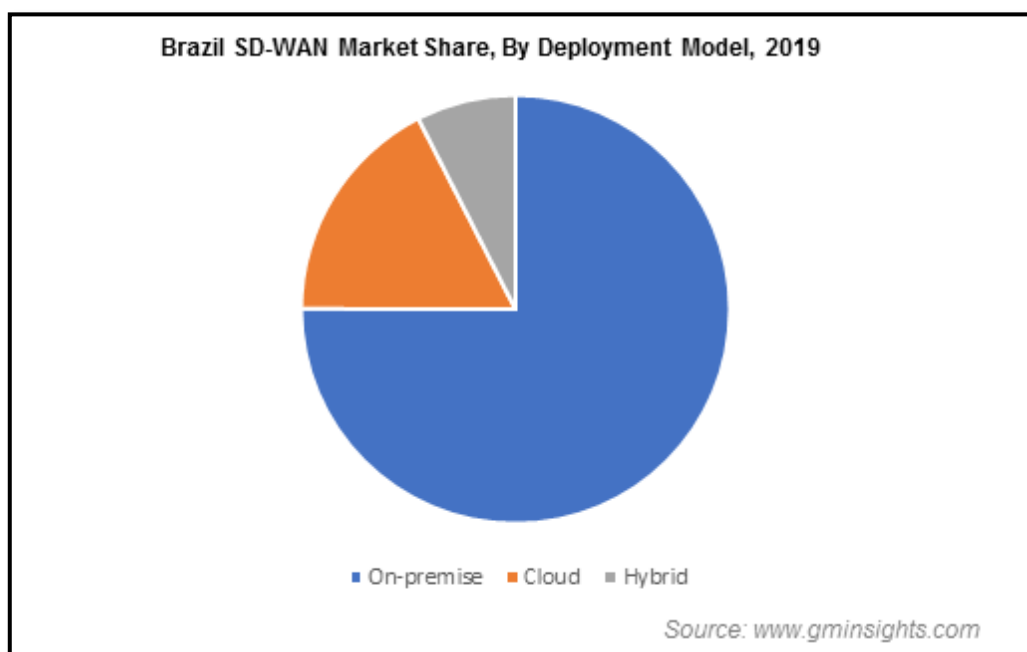
**Figura 3-31 Mercado y crecimiento mundial de SD-WAN**  
Recuperado de (Global Market Insights, 2020)

Una de las regiones que más necesidad de SD-WAN con dispositivos virtuales tendrá es Asia. La Fig. 3-32 muestra esa tendencia para China.



**Figura 3-32 Mercado Chino para SD-WAN – proyecciones al 2026**  
 Recuperado de (Global Market Insights, 2020)

En la región de América del Sur, el crecimiento es similar al global en cuanto a adopción SD-WAN, sin embargo, no se confía en entornos basados completamente en *Cloud* o *IaaS* (*Infrastructure-as-a-Service*), por ello, se tienen implementaciones en premisas casi en su mayoría. Brasil es un caso que muestra esta tendencia latinoamericana (Fig, 3-33).



**Figura 3-33 Mercado Brasileño para SD-WAN – Implementaciones en premisa/cloud/híbrid**  
 Recuperado de (Global Market Insights, 2020)

Estas tendencias comprueban que SD-WAN es la tecnología a usar para interconexión de sedes empresariales, así como para sostener servicios necesarios para el desarrollo de una sociedad, incluyendo a soluciones de conectividad inalámbrica 4G/5G.



**Figura 3-34 Esquematización de una WAN moderna: SD-WAN**  
 Basado en (Barton, 2017)

Según el Cuadrante de *Gartner*, las empresas líderes en implementaciones SD-WAN (*WAN Edge Infrastructure 2020*) son VMWare, Fortinet, Versa Networks, Cisco (Viptela), Silver Peak y Palo Alto.

### 3.3.3 SD-WAN: Componentes de la Implementación tipo Viptela

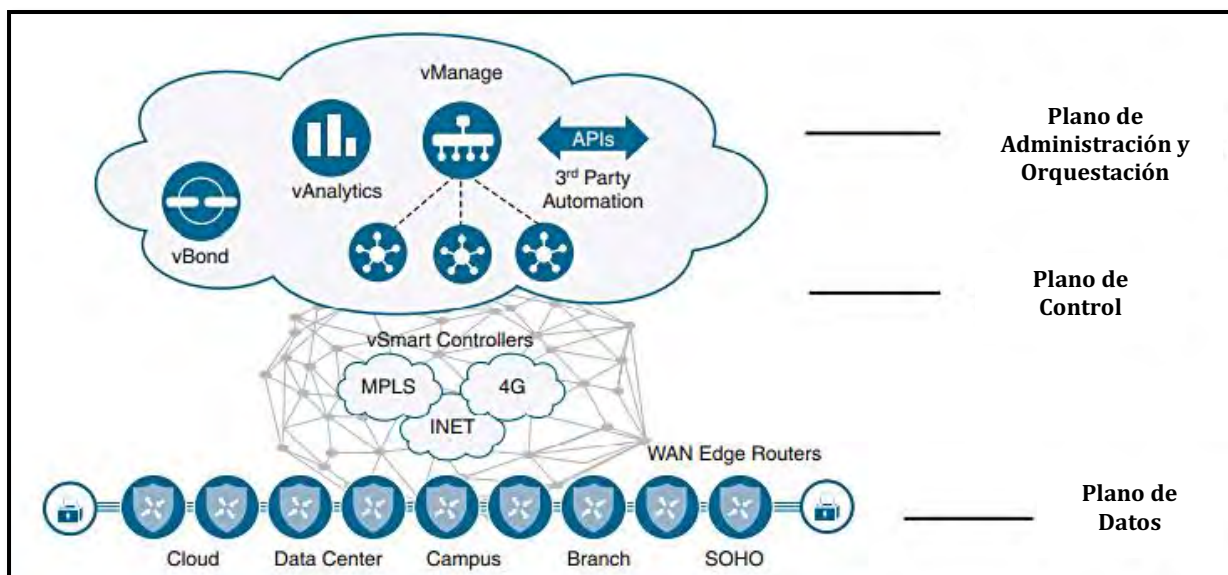
En redes tradicionales, todos los planos estructurales (control, datos y administración) de los equipos de red de diversas funciones y factores de forma se implementan individual e independientemente en cada dispositivo: *routers*, *switches*, equipos de seguridad, entre otros.

Para configurar ese tipo de infraestructura existe CLI (*Command Line Interface*) para ingresar comandos que programan el CPU para activar/desactivar interfaces en función de lo que se desea en la red.

A medida que las redes se vuelven más y más grandes, se requiere de más intervención por parte de quien las administre, lo que puede generar más puntos de falla debido a la complejidad que se genera.

Otro factor por considerar es la constante actualización de las tablas de enrutamiento en *routers* en caso de alguna modificación en la red, impactando de esa forma el desempeño y escalabilidad a medida que las infraestructuras crecen y escalan.

Por ello, las soluciones SD-WAN se basan en infraestructuras distribuidas bajo el paradigma SDN tal como se aprecia en la *Fig. 3-35*, la cual muestra un esquema de SD-WAN tipo Viptela.



**Figura 3-35 Esquema de SD-WAN Viptela**  
 Recuperado de (Gooley, Yanch, Schuemann, & Curran, 2021)

Al contar con una arquitectura distribuida, el Plano de Control es el encargado de conocer todas las rutas de la red, liberando de la necesidad que cada equipo calcule su tabla de enrutamiento, pues este proceso solo se realiza una vez en el Controlador, consiguiendo así una vista completa de la topología, control centralizado y disminución de sobrecarga administrativa.

#### Plano de Datos de SD-WAN Viptela

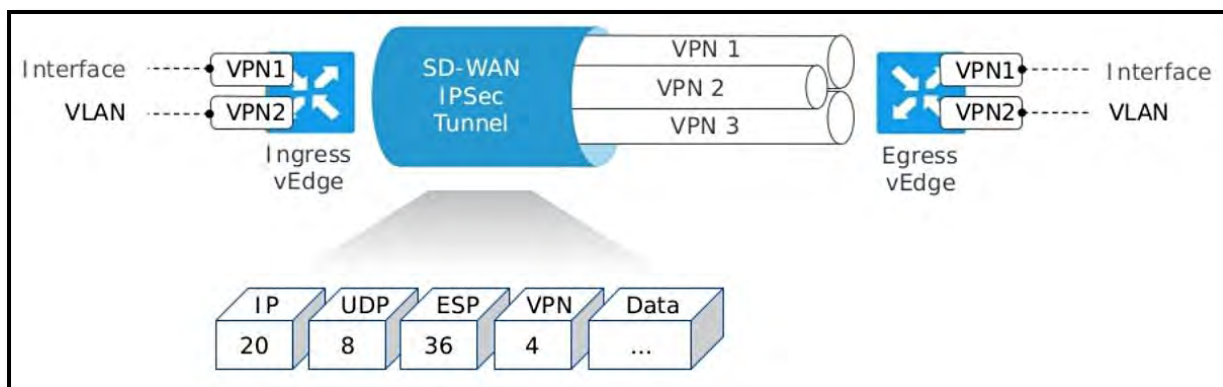
En el **Cap. 2 Fundamentos de las Redes Definidas por Software**, se explicó que el Plano de Datos hace referencia a los elementos físicos que permiten el envío de tráfico en una red, entre ellos, las interfaces, medios y conectores.

Para SD-WAN Viptela, el plano de datos hace referencia a los bordes de la WAN (*WAN Edges*), pudiendo implementarse mediante **vEdge routers** o Cisco IOS-XE SD-WAN Routers.

El plano de datos para la solución SD-WAN Viptela permite soportar el *Overlay* generado, así como apegándose a la definición tradicional de SDN, es el plano que envía tráfico de red. Cada *router* que forme parte de SD-WAN establecerá conexiones en este plano mediante túneles seguros bajo demanda de tipo IPsec.

La segmentación intrínseca del plano de Datos en SD-WAN Viptela se debe a la implementación del RFC 4023<sup>52</sup> (*MPLS Encapsulation in IP or GRE* o también llamado MPLS-in-IP), lo que implica la separación en varias instancias independientes en el Plano de Datos según los requerimientos del negocio. Las VPNs/túneles generados están completamente aislados uno de otro, a menos que una política permita su comunicación. Todas estas VPNs se encriptan a través de un encabezado IPsec, concepto análogo a las VRFs instanciadas en entornos MPLS-LDP para separar tráfico y virtualizar *routers*. La Fig. 3-36 muestra ello:

<sup>52</sup> MPLS-in-IP/GRE: <https://tools.ietf.org/html/rfc4023>



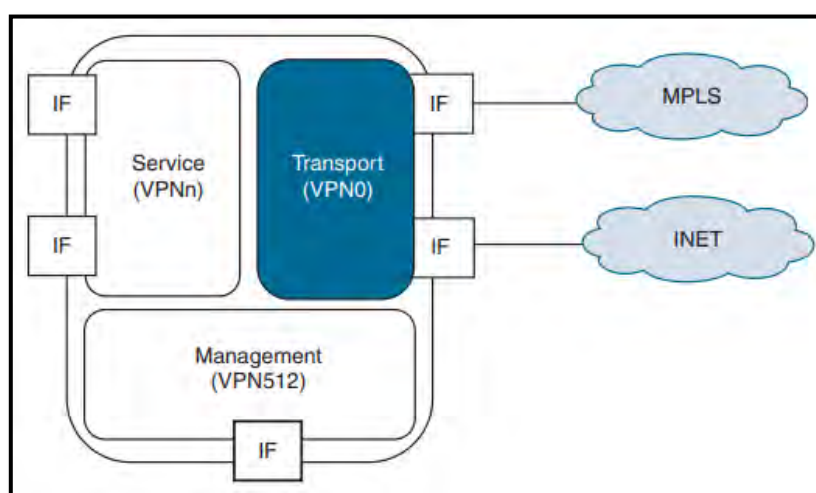
**Figura 3-36 Segmentación en SD-WAN Viptela: RFC4023 e IPsec**  
 Recuperado de (Barton, 2017)

En esta solución se utiliza *Bidirectional Forwarding Detection* (BDF) dentro del túnel IPsec para verificar parámetros como pérdida, *jitter* y retraso al aplicar alguna política.

Según (Gooley, Yanch, Schuemann, & Curran, 2021), existen tres tipos de VPN en SD-WAN Viptela para lograr segmentación coherente (Fig. 3-37):

- **VPN de Servicio:** VPN empleada para el envío de tráfico de usuario. Estas VPNs establecen el *Overlay* y terminan en el lado de la LAN. El ID que poseen va de 1 a 511.
- **VPN de Transporte:** Permiten la generación del *Underlay* o establecimiento de la infraestructura física. Normalmente se refiere como VPN 0 y se la denomina *WAN VPN*.
- **VPN de Administración:** Interfaz para configuración fuera de banda (OOB – *Out-of-Band*). Tiene un valor de VPN de 512.

En cuanto al control de acceso e ingreso de *WAN Edges* a la infraestructura SD-WAN, se emplean mecanismos tipo *Zero-Touch Provisioning* (ZTP), DNS Security, protección para dispositivos finales, NGFW, *Zero-Trust*, etc.



**Figura 3-37 Tipos de VPNs en SD-WAN Viptela**  
 Recuperado de (Gooley, Yanch, Schuemann, & Curran, 2021)

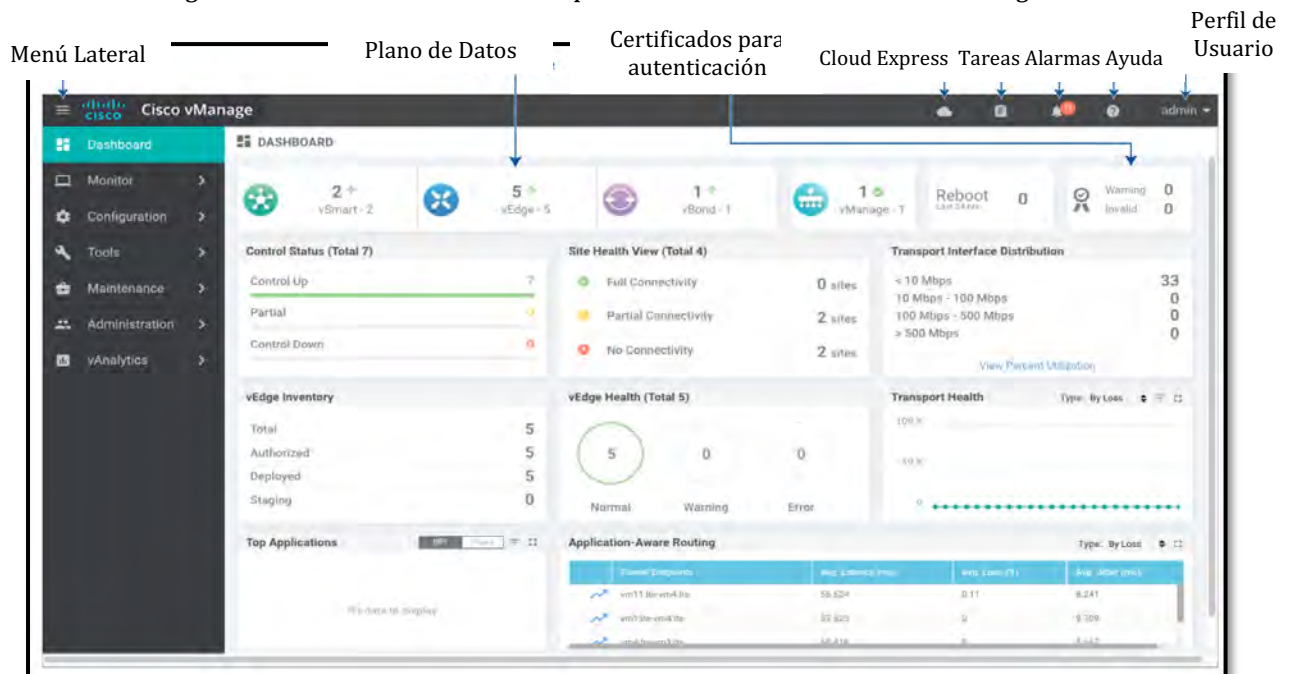
### Plano de Administración de SD-WAN Viptela

La solución SD-WAN Viptela introduce el concepto de **vManage**, el cual es un tipo de NMS (*Network Management System*) para administrar la infraestructura SD-WAN.

La función de **vManage** es la de ser el centro de monitoreo, gestión, aprovisionamiento y creación de políticas de SD-WAN, por lo que es posible tener una comunicación vía API usando RestCONF o NetCONF (ver **Anexo C: NETCONF en la Práctica**).

El plano de administración de SD-WAN Viptela es muy escalable, proveyendo redundancia de gestión en *Clústers* de **vManage**, soportando hasta seis mil (6000) *WAN Edges*.

Cada *WAN Edge* forma un único e individual plano de administración con **vManage**.



**Figura 3-38 Cisco vManage Dashboard – Plano de administración de SD-WAN Viptela**  
Recuperado de (Cisco Systems)

Etapas de monitoreo y solución de inconvenientes deben ejecutarse en el Plano de Monitoreo de SD-WAN, ya que esta solución se incluye también el denominado **vAnalytics** con el fin de analizar el tráfico de forma predictiva mediante técnicas de *Machine Learning*. Muchos fabricantes implementan este concepto con licencias adicionales en la solución que no suele implementarse por defecto.

### Plano de Control de SD-WAN Viptela

El dispositivo que se encarga de proveer las funciones del plano de control para SD-WAN Viptela se denomina **vSmart**, el cual se considera como el “Cerebro” de esta solución novedosa.

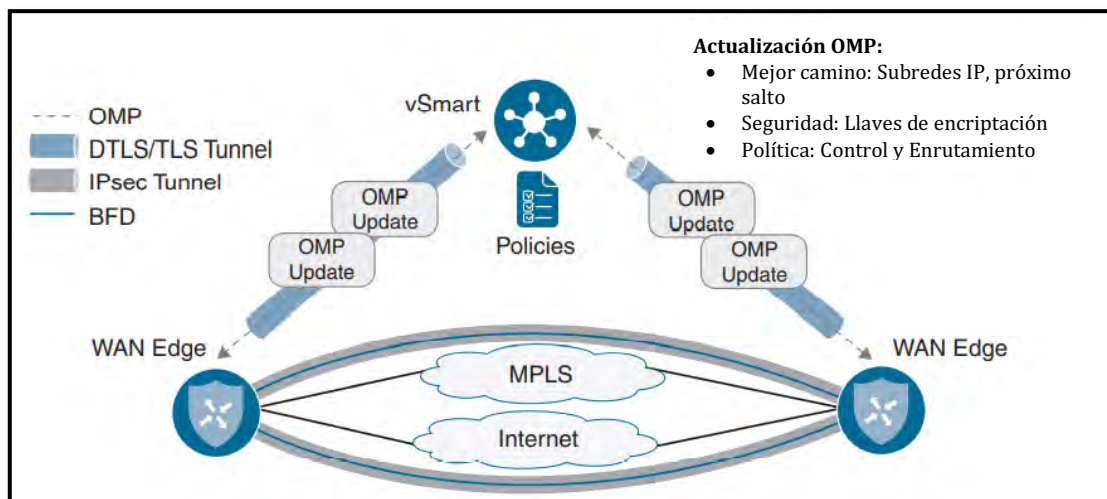
Un **vSmart** tiene la responsabilidad de la implementación de políticas del plano de control basadas en la creación de VPNs dinámicas, así como manejar la parte de seguridad y encriptación del *Fabric* de SD-WAN.

Los entornos basados en paradigmas SDN se han creado para dotar de escalabilidad y a su vez, sean implementaciones sencillas de poner en marcha. El entorno de SD-WAN es muy flexible,

permitiendo WANs muy grandes gracias a la separación del Plano de Control, del de Datos y de Administración.

En SD-WAN, solamente los *vSmarts* aprenden sobre el enrutamiento necesario para enviar tráfico en la red, siendo estos equipos quienes calculan y determinan la tabla de enrutamiento y luego la distribuyen a los *WAN Edges*; disminuyendo la complejidad y dando flexibilidad al entorno de enrutamiento, ya que es posible escalar a niveles masivos.

El protocolo empleado para compartir la información de enrutamiento por parte de los *vSmart* se denominó **Overlay Management Protocol (OMP)**, encargándose también del enrutamiento, por lo que también es considerado por varias investigaciones como un protocolo de enrutamiento de nueva generación, el cual además de servir para encontrar el mejor camino a un destino, de igual manera maneja las actualizaciones y comunicaciones en el *Overlay* de SD-WAN Viptela. Debido a la importancia que tiene, las actualizaciones enviadas por OMP entre *vSmart* y *WAN Edges* se envían en un túnel seguro, ya sea con IPsec o DTLS/TLS.



**Figura 3-39 Comunicación Plano de Control y Plano de Datos en SD-WAN: OMP**  
Basado en (Gooley, Yanch, Schuemann, & Curran, 2021)

Si bien la imagen mostrada en la *Fig. 3-39* suele ser la más común, es posible que la política sea generada en el plano de administración (*vManage*), en ese caso, la política se distribuye a los *vSmart* mediante NetCONF y luego los *vSmart* distribuyen dicha política a los *WAN Edges* mediante OMP. Un *WAN Edge* puede conectarse hasta con tres *vSmart*.

En entornos Cisco SD-WAN, OMP está habilitado por defecto tanto en los *vSmart* como en los *WAN Edge* tipo *vEdges*. Tan pronto como esos equipos son autenticados y construyen el túnel seguro con DTLS/TLS (al aceptarse los certificados de autenticación), el protocolo OMP establece una paridad y comienza el intercambio de información de enrutamiento.

Para OMP según (Cisco Systems, 2019), existen tres tipos de rutas:

- **Rutas OMP (*vRoutes*):** Rutas aprendidas por OMP en el SD-WAN *fabric* para permitir la comunicación de las sedes detrás de un *WAN Edge*. Los prefijos de red que un *WAN Edge* desea comunicar, es enviado a los *vSmart*, de forma similar a una actualización de enrutamiento tradicional. OMP puede anunciar rutas directamente conectadas, rutas estáticas y rutas redistribuidas de protocolos IGP como OSPF, EIGRP y BGP.

Los atributos que en Rutas OMP se pueden encontrar están:

- ✓ TLOC: Identificador del próximo salto de la Ruta OMP
- ✓ Origin: Identifica el origen de la ruta, por ejemplo, si proviene de un IGP.
- ✓ Originator: Identifica la IP del sistema de quien anuncia la ruta, es decir del vecino en OMP
- ✓ OMP *Preference*: Atributo que puede ser usado para modificar la selección de la mejor ruta por parte de OMP. Opera de forma similar a *Local Preference* en BGP.
- ✓ *Service*: Equipo de red, como un FW, a ser identificado dentro de SD-WAN.
- ✓ *Site-ID*: Símil a un ASN (*Autonomous System Number*) en BGP. Se suele usar para orquestación de tráfico. Todos los sitios deben tener un *Site-ID* único para prevenir bucles de enrutamiento.
- ✓ Tag: Tag para políticas de enrutamiento y selección de caminos.
- ✓ VPN: Identificador de la VPN desde la cual la ruta es anunciada. Sirve en los procesos de segmentación

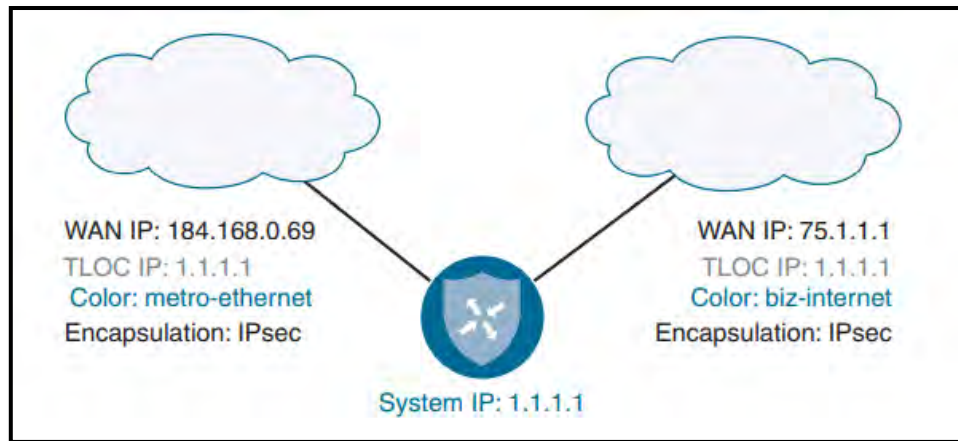
- Rutas *Transport Location* (TLOC): Son identificadores que unen una *vRoute* a una ubicación o sede física. TLOC es una dirección IP que es conocida y alcanzable desde la red *Underlay*. Las rutas OMP resuelven su próximo salto a una ruta TLOC. Este atributo es muy similar al atributo *Next\_Hop* de BGP.

Dentro de las rutas TLOC, se encuentran los siguientes atributos:

- ✓ Dirección IP del sistema: Es un símil al *Router-ID* en OSPF. Es una dirección IP que no necesita estar en la tabla de enrutamiento, pero debe ser única dentro de todos los *WAN Edges*, por lo que es una manera de identificar unívocamente a los *WAN Edges*.

Existen dos tipos de IPs del sistema:

- Dirección Privada TLOC: Este atributo contiene la dirección IP privada derivada de una interfaz física de un *WAN Edge*.
  - Dirección Pública TLOC: Debido a que los *WAN Edge* construyen sus conexiones en el plano de control se notifica vía STUN (*Session Traversal Utilities for NAT*) definido en el RFC 5389, pues normalmente en un entorno IPv4 estarán las sedes empresariales detrás de NAT. Este atributo contiene una dirección IP pública y enrutable en Internet.
- ✓ Carrier: El tipo de conexión, sea pública o privada.
  - ✓ Color: Forma de marcar una conexión WAN específica en el plano de datos o plano físico, interfaz que puede modificar una política de enrutamiento. Entre las opciones habilitadas al momento de escribir la presente tesis están: *biz-internet, bronze, custom1-3, default, gold, green, lte, metro-ethernet, mpls, private1-6, public-internet, red, 3g, silver*.
  - ✓ Tipo de Encapsulación: Identifica el tipo de encapsulación usada en el túnel del plano de datos: IPsec o GRE.
  - ✓ *Preference* y *Weight*: Atributos para seleccionar el mejor camino según políticas de enrutamiento. Su valor por defecto es 0.

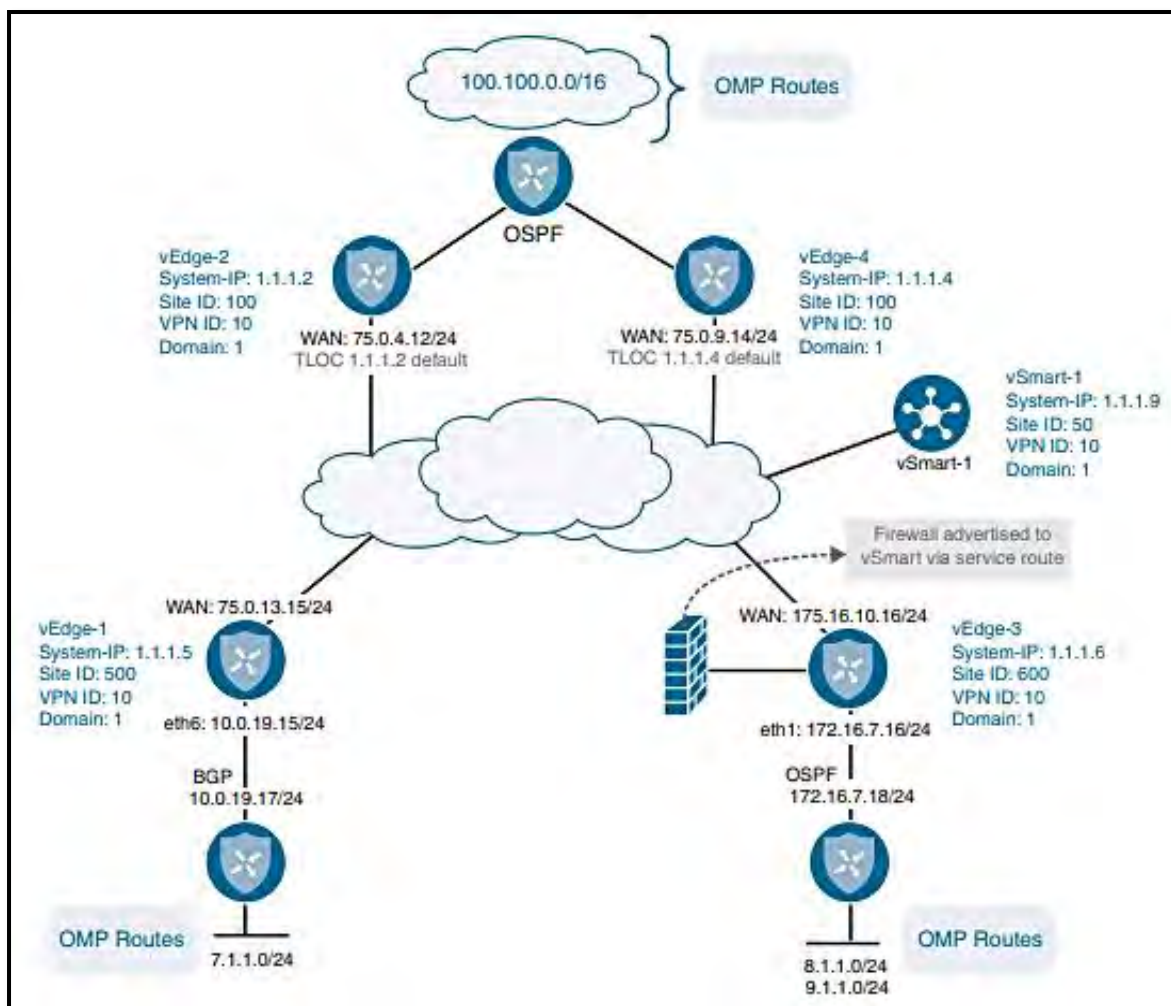


**Figura 3-40 Rutas OMP TLOC en SD-WAN Viptela**  
 Recuperado de (Gooley, Yanch, Schuemann, & Curran, 2021)

- **Rutas de Servicio:** Identifica un dispositivo de red en particular al *Overlay* de SD-WAN. Dentro de esos dispositivos están *firewalls*, IPS o cualquier otro dispositivo que pueda procesar tráfico de red y por algún motivo, sea necesario que el tráfico atravesase ese dispositivo. Esto se conoce como *Service-Chaining*.

La *Fig. 3-41* muestra un ejemplo con las distintas Rutas en OMP en un entorno SD-WAN que interconecta sedes por detrás de los *WAN Edges*.

En **4.2 PoC de SD-WAN en EVE-ng** se realiza una Prueba de Concepto sobre Viptela, demostrando su factibilidad de uso e implementación, llevando la parte conceptual a la práctica.



**Figura 3-41 Rutas OMP en SD-WAN: vRoutes, TLOC y Rutas de servicio**  
 Recuperado de (Gooley, Yanch, Schuemann, & Curran, 2021)

### 3.4 Redes Híbridas SDN: Relación del *Networking* Tradicional con SD-WAN

El *networking* tradicional tuvo que romper con sus paradigmas de redes clásicas y entrar al ecosistema de SDN y la programabilidad.

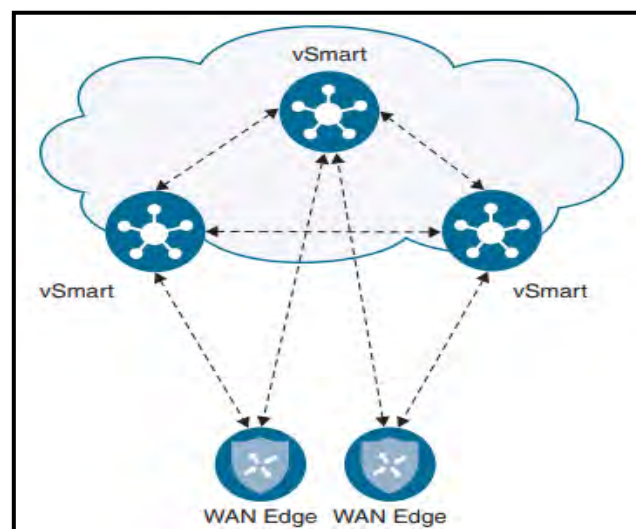
Un ejemplo de la convivencia entre lo tradicional y la nueva generación de redes se pudo apreciar en la *Fig. 3-41* que muestra una topología de SD-WAN Viptela, donde conceptos tradicionales de enrutamiento y conmutación se mezclan con conceptos de Plano de Control, Datos y administración desagregados, dotando así de flexibilidad, total visibilidad y rapidez de implementación, sin dejar de lado la simplicidad.

Es más, en entornos SD-WAN, las mejores características de ciertos protocolos tradicionales como BGP, han servido de punto de partida para el desarrollo de nuevos dispositivos, roles y reglas de comunicación, los *vSmart* del plano de Control son una muestra de ello.

Los *vSmart* funcionan de forma similar al concepto de *route-reflector* de BGP, ya que son el punto de recepción de información de enrutamiento proveniente de los *WAN Edges* y pueden aplicar políticas antes de anunciar esos cambios en la red. No hay que olvidar que las políticas se definen y crean en el plano de Administración (*vManage*) y los *vSmart* aplican dichas políticas en el *fabric* de SD-WAN.

En tecnologías WAN antecesoras a SD-WAN (MPLS-L3VPN, DMVPN o iWAN), asegurar la red requería de procesos intensos para los CPUs de cada dispositivo como el manejo de las llaves de encriptación quizá empleando *frameworks* tipo ISAKMP/IKE en la conocida fase 1 de IPsec (Fase 1 de IKE). Todo ese procesamiento, es ahora responsabilidad de los *vSmart*, incluso mejorando el mecanismo y manejo de llaves en un entorno centralizado.

Quizá una de las preguntas más obvias en entornos SD-WAN, es qué ocurre si por algún motivo, se pierde conexión con el Plano de Control. La respuesta es simple, el tráfico sigue fluyendo por el Plano de Datos con el último estado de la tabla de enrutamiento, en el caso de SD-WAN Viptela, por 12 horas luego de la pérdida de conectividad entre *WAN Edge* y *vSmart*. Por motivos de redundancia, se sugiere tener pares de *vSmart* dispersos en varios lugares de la infraestructura, formando un *full-mesh* de sesiones OMP entre ellos para mantener sincronización.



**Figura 3-42 Full-Mesh de Sesiones OMP entre vSmarts redundantes**  
Recuperado de (Gooley, Yanch, Schuemann, & Curran, 2021)

### 3.4.1 Plano de Orquestación en SD-WAN: Plano faltante de la Red Tradicional

Es quizá el plano más importante del entorno SD-WAN moderno, pues cumple funciones que permiten integrar todos los componentes de SD-WAN, es el punto de autenticación para el ingreso de equipos al *fabric* SD-WAN y permite la mejora continua en base al contexto empresarial.

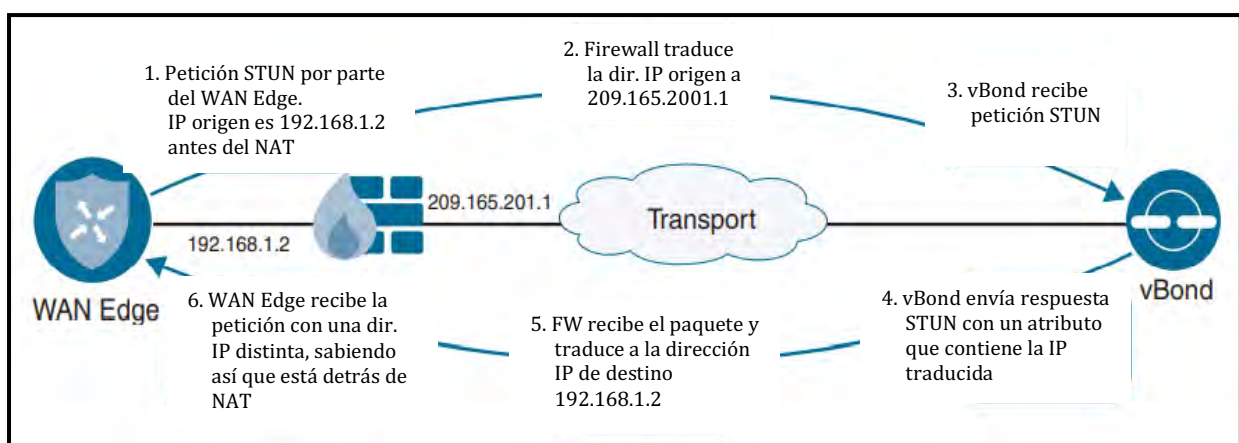
Para SD-WAN Viptela, el equipo encargado del Plano de Orquestación se llama **vBond**.

Cuando un *WAN Edge* desea ingresar a la red SD-WAN, lo único que conoce es la dirección IP del *vBond*, recibiendo esa información ya sea por procesos *Zero-Touch*, *Plug-and-Play*, Configuración *Bootstrap* o por configuración manual.

Los *WAN Edge* intentarán formar una conexión temporal con el *vBond*, pues una vez que la conectividad está activa con el Plano de Control y Administración, *vSmart* y *vManage* respectivamente, la conexión con el *vBond* desaparece.

Sin embargo, en el momento que se intenta formar esa conexión temporal, los *WAN Edges* entran en un proceso de autenticación en el que si es exitoso, se forma un túnel DTLS. Luego, el *vBond* distribuye la información de conectividad para los *vSmart* y *vManage* a los *WAN Edges*.

Una de las mejores funcionalidades presente en el plano de orquestación, es la capacidad que tienen los *vBond* de aceptar peticiones de ingreso al *fabric* SD-WAN incluso si los *WAN Edges* están detrás de un equipo que haga NAT. En ese caso, los *vBond* operan como un Servidor STUN (NAT Traversal) y los *WAN Edges* como clientes STUN, donde los *vBond* deben tener direccionamiento público.



**Figura 3-43 Proceso de ingreso de un WAN Edge detrás de NAT a un vBond (Proceso STUN)**  
 Basado en (Gooley, Yanch, Schuemann, & Curran, 2021)

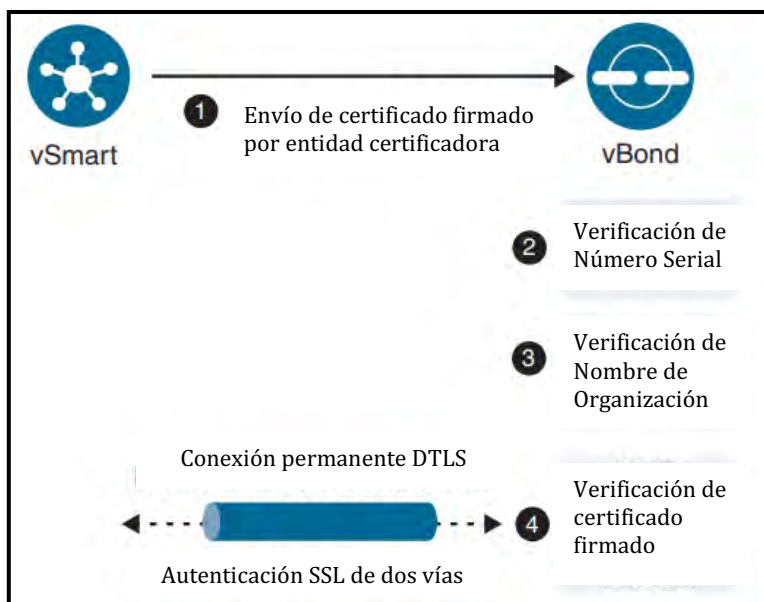
### 3.4.2 Generación de Túnel DTLS para el Plano de Control en SD-WAN

En *networking* tradicional, el plano de control únicamente se enfoca en cómo enviar tráfico en la red mediante protocolos de enrutamiento y eligiendo la mejor ruta a un determinado destino. Si se desea dar seguridad a los protocolos de enrutamiento, es un proceso manual e intensivo en cuanto a consumo de recursos, que incluso puede dejar sin funcionamiento a la red por un tiempo determinado, esto ya que la seguridad en redes se consideró un proceso añadido más que una característica intrínseca, siendo una debilidad de las redes tradicionales.

Por otro lado, en SD-WAN, la seguridad es una característica fundamental. Los túneles de Planos de Control están encriptados y autenticados mediante DTLS/TLS.

Los túneles DTLS/TLS tipo una vía, son mantenidos por todos los componentes de SD-WAN: *vBond*, *vSmart*, *WAN Edges* y *vManage*) a través de certificados SSL. En la negociación del establecimiento de los túneles, cada dispositivo validará que el certificado recibido esté firmado por una entidad certificadora raíz confiable (el *vManage* puede tomar esa función).

La comunicación DTLS ocurre sobre el puerto UDP 12346, mientras TLS emplea TCP, por defecto se elige DTLS. La *Fig. 3-44* muestra el proceso de autenticación con DTLS.



**Figura 3-44 Proceso de autenticación DTLS entre vSmart - vBond**  
 Basado en (Gooley, Yanch, Schuemann, & Curran, 2021)

Una vez que los túneles DTLS del plano de control están activos, otros protocolos como OMP y NetCONF pueden también usarlos.

### 3.4.3 Selección de Mejor Camino en SD-WAN

Algo que poseen en común las redes tradicionales con SD-WAN Viptela, es el proceso de selección del mejor camino, pues es similar al proceso que se lleva a cabo con BGP, pero que para SD-WAN se realiza con OMP.

OMP debe elegir el mejor camino a todos los destinos disponibles, pero evitando bucles de enrutamiento. Se debe mencionar que un *WAN Edge* instalará en su tabla de enrutamiento una ruta OMP solo si su TLOC o próximo salto es válido. Se considera un TLOC válido si existe una sesión bidireccional asociada a ese TLOC.

A medida que los *WAN Edges* anuncian rutas OMP a los *vSmart*, estos últimos realizan el proceso de selección del mejor camino y lo anuncian a los *WAN Edges*. Esta selección puede ser influenciada por una política de enrutamiento.

La selección del mejor camino ocurre con este proceso:

1. Existencia de una ruta OMP válida, es decir si existe un TLOC válido. Este punto es similar a BGP, donde el atributo *Next\_Hop* debe ser válido.
2. Ruta OMP localmente originada: Desde un *WAN Edge*, se prefiere una ruta originada localmente que una aprendida desde el *vSmart*.
3. Más baja Distancia Administrativa: Si múltiples rutas para el mismo destino se reciben, se selecciona la que tenga menos AD. OMP tiene una AD de 250 en *vEdges* y 251 para equipos con Cisco XE-SDWAN.
4. Mayor preferencia OMP
5. Mayor preferencia TLOC

6. Preferir el origen de la ruta en base a este orde: Directamente conectadas, estáticas, eBGP, EIGRP, OSPF intra-área, OSPF inter-área, OSPF externo, EIGRP externo, iBGP, desconocido
7. Menor métrica de origen
8. Mayor System-ID
9. Mayor dirección privada TLOC.

vSmarts puede anunciar hasta 16 rutas del mismo costo, por defecto, 4.

En los próximos capítulos de la presente tesis, se plantearán entornos de prueba de concepto y factibilidad (PoCs) de los protocolos y tecnologías más importantes del contexto de nueva generación de redes y con ello poner en práctica la teoría analizada, investigada y planteada dentro del *Networking* moderno:

- *Segment-Routing* en un *Fabric* de MPLS
- LISP como base del paradigma *Underlay-Overlay* de SD-Access/SD-Branch
- VXLAN en un entorno de Programabilidad (Parte del **Anexo D: Ansible para entornos NetDevOps en infraestructuras de Red**)
- PoC de SDN empleando *OpenFlow* como protocolo *Southbound* bajo controladores *OpenDayLight* y ONOS.
- PoC de *Next-Generation* SDN.
- Emulación de SD-WAN Viptela.
- Implementación con equipos físicos de una red prototipo SDN.

## Capítulo 4

# 4. Simulación/Emulación de Redes SDN Híbridas

Los protocolos y tecnologías analizadas en los capítulos anteriores serán puestos a prueba en entornos de emulación de infraestructuras de alto nivel utilizando herramientas de *Hardware* y *Software* de última generación, sustentadas por publicaciones científicas desarrolladas mientras se escribía la presente tesis.

Las fases PoC, así como la verificación de la implementación en equipos reales SDN, dotan de un valor muy relevante a esta investigación, dando un gran paso para la puesta en marcha de este tipo de tecnologías y protocolos en redes empresariales reales, permitiendo así que la Tesis sea un proceso circular investigativo, donde se ha iniciado con la observación de los hechos para fundamentar la hipótesis planteada, se diseñarán experimentos tanto en emulaciones como en equipos, logrando sistematicidad y a su vez objetividad.

### 4.1 Emulación de Segment-Routing con MPLS de Plano de Datos

Usando como base el artículo científico de Gustavo Salazar, autor de la tesis, publicado en el congreso internacional IEEE UEMCON 2018 desarrollado en la Universidad de Columbia, Nueva York, ganador como mejor paper, titulado *SDN-Ready WAN Networks: Segment-Routing in MPLS-Based Environments* (Salazar Ch., Naranjo, & Marrone, 2018), se planteó la prueba de concepto en EVE-ng del punto 4.1.1. *Topología y Emulación de SR-MPLS* (Para ver el proceso de instalación de EVE-ng ver **Anexo B: Guía de Instalación GNS3-VM, EVE-ng y Mininet**).

#### 4.1.1 Topología y Emulación de SR-MPLS

Tal como se analizó en 3.1.2 *Segment-Routing: Plano de Datos y Plano de Control*, SR puede ser implementando a través de MPLS-LDP como plano de datos, es decir, usando ese concepto, la lista de segmentos es encapsulada en una etiqueta de MPLS, dando lugar a un *fabric* que ofrece transporte de datos sin requerir a protocolos adicionales o mecanismos de señalización como LDP o RSVP para obtener beneficios de ingeniería de tráfico, tal como se indica en (Salazar Ch., Naranjo, & Marrone, 2018) y en (Salazar-Chacón & Reinoso García, 2021).

Para el PoC de SR se plantea una conectividad Matriz-Sucursal mediante un ISP, donde la comunicación entre PE-CE se realiza a través de OSPF.

Entre PEs, se tiene un *underlay* MPLS, estableciendo un túnel L3-VPNv4 con conexión iBGP.

Se usará IS-IS como el IGP dentro de la nube del proveedor. IS-IS necesita una extensión dentro del *address-family* para IPv4 con el fin de soportar SR.

El hecho de que este tipo de SR tenga como *underlay* a MPLS, permite una interoperabilidad mediante un equipo denominado *SR Mapping-Server* en caso de que un nodo sin capacidades de comprender SR exista en el camino.

La topología SR-MPLS emulada se indica en la Fig. 4-1, la cual consta de dos tipos de equipos con los siguientes NOS:

- IOL-IOS AdvEnterpriseK9-15.4.1T para los CEs
- Cisco XR-K9 6.0.1 para la Nube del proveedor

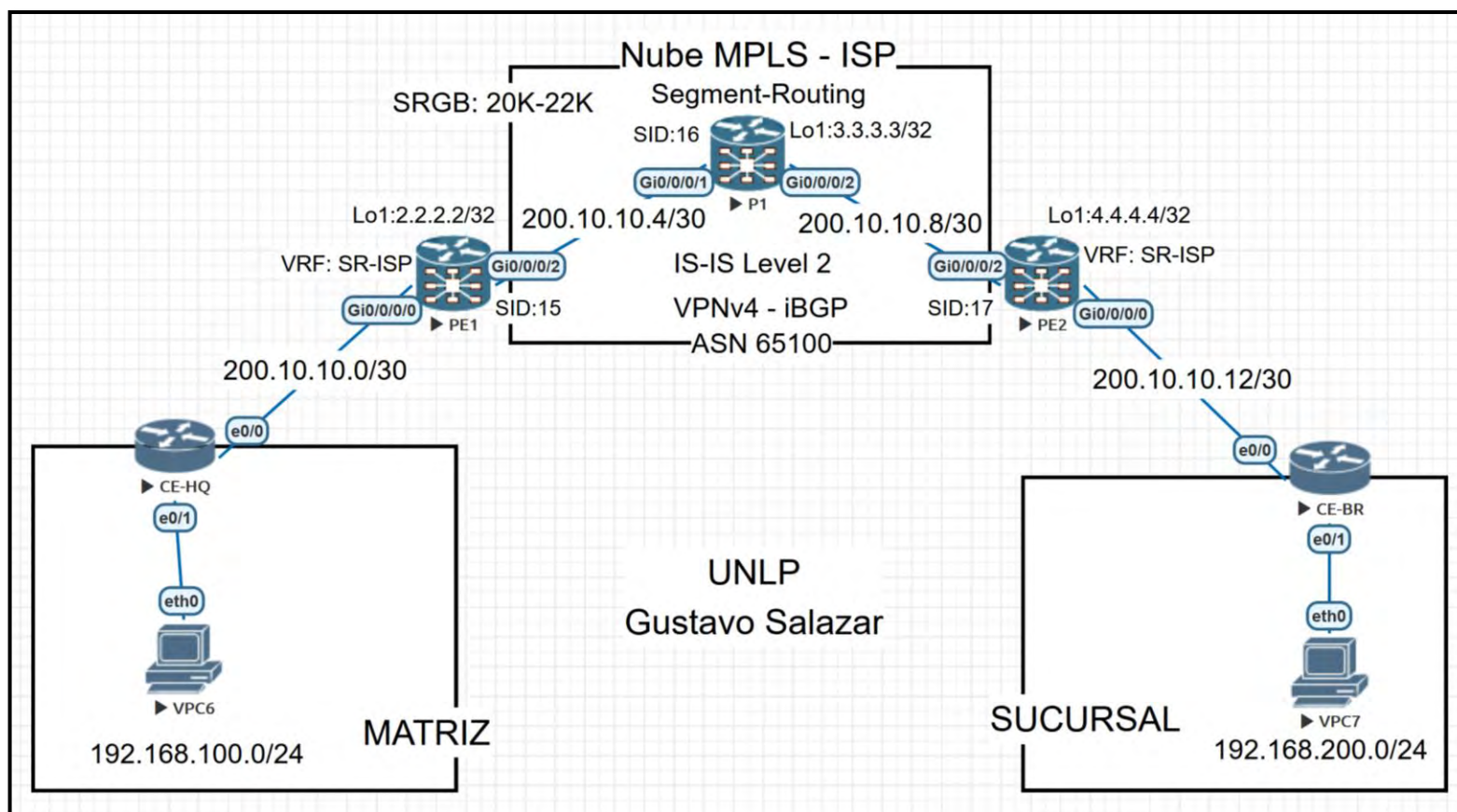


Figura 4-1 Topología PoC - Segment-Routing  
Fuente: Autor

## Conectividad CE-PE

La conectividad CE-PE se da a través de OSPFv2 de área única. Se utilizó una VRF de nombre SR-ISP del lado del PE con el fin de segmentar el tráfico entre diversos clientes.

En el *script* se observa la configuración del IGP mencionado dentro de una VRF en PE2 y la creación de la interfaz *Loopback* como identificador para IS-IS y *Segment-Routing*

```
RP/0/0/CPU0:ios(config)#hostname PE2
RP/0/0/CPU0:ios(config)#
RP/0/0/CPU0:ios(config)#vrf SR-ISP
RP/0/0/CPU0:ios(config-vrf)#address-family ipv4 unicast
RP/0/0/CPU0:ios(config-vrf-af)#import route-target
RP/0/0/CPU0:ios(config-vrf-import-rt)#65100:1
RP/0/0/CPU0:ios(config-vrf-import-rt)#exit
RP/0/0/CPU0:ios(config-vrf-af)#export route-target
RP/0/0/CPU0:ios(config-vrf-export-rt)#65100:1
RP/0/0/CPU0:ios(config-vrf-export-rt)#exit
RP/0/0/CPU0:ios(config-vrf-af)#exit
```

**Script 20 Configuración de VRF en PE2 (IOS-XR) para Segmentación de Tráfico en PoC de Segment-Routing**  
*Fuente: Autor*

```
RP/0/0/CPU0:ios(config)#int lo1
RP/0/0/CPU0:ios(config-if)#ipv4 add 3.3.3.3 255.255.255.255
RP/0/0/CPU0:ios(config-if)#
RP/0/0/CPU0:ios(config-if)#exit
RP/0/0/CPU0:ios(config)#int g0/0/0/0
RP/0/0/CPU0:ios(config-if)#vrf SR-ISP
RP/0/0/CPU0:ios(config-if)#ipv4 add 200.10.10.13 255.255.255.252
RP/0/0/CPU0:ios(config-if)#no shut
RP/0/0/CPU0:ios(config-if)#exit
```

**Script 21 Configuración de interfaces en PE2 para PoC de Segment-Routing**  
*Fuente: Autor*

```
RP/0/0/CPU0:ios(config)#router ospf 3
RP/0/0/CPU0:ios(config-ospf)#vrf SR-ISP
RP/0/0/CPU0:ios(config-ospf-vrf)#area 0
RP/0/0/CPU0:ios(config-ospf-vrf-ar)#interface g0/0/0/0
RP/0/0/CPU0:ios(config-ospf-vrf-ar-if)#exit
RP/0/0/CPU0:ios(config-ospf-vrf-ar)#exit
RP/0/0/CPU0:ios(config-ospf-vrf)#exit
RP/0/0/CPU0:ios(config-ospf)#exit
RP/0/0/CPU0:ios(config)#
RP/0/0/CPU0:ios(config)#commit
Mon Apr 19 18:20:58.045 UTC
```

**Script 22 Configuración de OSPFv2 en PE2 para PoC de Segment-Routing (Conexión PE-CE)**  
*Fuente: Autor*

Si la configuración es correcta y una vez que se ha configurado el CE, se podrá verificar la adyacencia CE-PE.

```
RP/0/0/CPU0:PE2#show ospf vrf SR-ISP neigh
Mon Apr 19 18:47:41.015 UTC

* Indicates MADJ interface
# Indicates Neighbor awaiting BFD session up

Neighbors for OSPF 3, VRF SR-ISP

Neighbor ID    Pri   State           Dead Time   Address        Interface
4.4.4.4        1     FULL/DR         00:00:36   200.10.10.14  GigabitEthernet0/0/0/0
Neighbor is up for 00:26:31

Total neighbor count: 1
```

*Script 23 Verificación de vecindad OSPFv2 entre PE2-CE2 para PoC de Segment-Routing (Conexión PE-CE)  
Fuente: Autor*

### Configuración Nube ISP (Segment-Routing con plano de datos MPLS)

Dentro de la Nube del proveedor, es necesaria la configuración de un IGP Estado de Enlace capaz de soportar SR, tal como se indicó en **3.1 Segment-Routing (SR) y Grupo de trabajo SPRING en Redes Tradicionales y SDN, una alternativa a MPLS**.

Para el caso de este PoC, se empleará IS-IS con un **SRGB de 20000 a 22000**. De igual manera, se configuró una relación iBGP entre PEs para la comunicación a través de **L3VPNv4** y circulen dentro de dicho túnel, los prefijos de OSPF de la Matriz y Sucursal. Se estableció también un *Prefix-SID* de índice 15, 16 y 17 para PE1, P y PE2 respectivamente.

```
RP/0/0/CPU0:PE1(config)#
RP/0/0/CPU0:PE1(config)#router isis 1
RP/0/0/CPU0:PE1(config-isis)#is-type level-2-only
RP/0/0/CPU0:PE1(config-isis)#net 49.0001.0000.0015.00
RP/0/0/CPU0:PE1(config-isis)#segment-routing global-block 20000 22000
RP/0/0/CPU0:PE1(config-isis)#address-family ipv4 unicast
RP/0/0/CPU0:PE1(config-isis-af)#metric-style wide
RP/0/0/CPU0:PE1(config-isis-af)#segment-routing mpls sr-prefer
RP/0/0/CPU0:PE1(config-isis-af)#exit
RP/0/0/CPU0:PE1(config-isis)#int lo1
RP/0/0/CPU0:PE1(config-isis-if)#address-family ipv4 unicast
RP/0/0/CPU0:PE1(config-isis-if-af)#prefix-sid index 15
RP/0/0/CPU0:PE1(config-isis-if-af)#exit
RP/0/0/CPU0:PE1(config-isis-if)#exit
RP/0/0/CPU0:PE1(config-isis)#interface gi0/0/0/2
RP/0/0/CPU0:PE1(config-isis-if)#address-family ipv4 unicast
RP/0/0/CPU0:PE1(config-isis-if-af)#exit
RP/0/0/CPU0:PE1(config-isis-if)#exit
RP/0/0/CPU0:PE1(config-isis)#exit
RP/0/0/CPU0:PE1(config)#commit
```

*Script 24 Configuración de IS-IS y SR en la Nube del proveedor para PoC de Segment-Routing (Conexión PE-P-PE)  
Fuente: Autor*

La tabla de enrutamiento debe mostrar conocimiento de todas las interfaces *Loopback* dentro de la nube del proveedor aprendidas por IS-IS, tal como se observa en el *Script 25* para PE1.

```
RP/0/0/CPU0:PE1#show ip route
Mon Apr 19 20:12:55.475 UTC

Codes: C - connected, S - static, R - RIP, B - BGP, (>) - Diversion path
D - EIGRP, EX - EIGRP external, O - OSPF, IA - OSPF inter area
N1 - OSPF NSSA external type 1, N2 - OSPF NSSA external type 2
E1 - OSPF external type 1, E2 - OSPF external type 2, E - EGP
i - ISIS, L1 - IS-IS level-1, L2 - IS-IS level-2
ia - IS-IS inter area, su - IS-IS summary null, * - candidate default
U - per-user static route, o - ODR, L - local, G - DAGR, l - LISIP
A - access/subscriber, a - Application route
M - mobile route, r - RPL, (!) - FRR Backup path

Gateway of last resort is not set

L   2.2.2.2/32 is directly connected, 02:09:10, Loopback1
i L2 3.3.3.3/32 [115/20] via 200.10.10.6, 00:11:07, GigabitEthernet0/0/0/2
i L2 4.4.4.4/32 [115/30] via 200.10.10.6, 00:00:24, GigabitEthernet0/0/0/2
C   200.10.10.4/30 is directly connected, 00:16:41, GigabitEthernet0/0/0/2
L   200.10.10.5/32 is directly connected, 00:16:41, GigabitEthernet0/0/0/2
i L2 200.10.10.8/30 [115/20] via 200.10.10.6, 00:11:07, GigabitEthernet0/0/0/2
```

**Script 25 Verificación de aprendizaje de ruta por IS-IS en la Nube del proveedor**  
*Fuente: Autor*

El último paso es el establecimiento de iBGP entre PEs (L3VPNv4) y redistribución de ruta aprendidas por OSPF en la VRF SR-ISP. El *Script 26* muestra esa configuración en PE1.

```
RP/0/0/CPU0:PE1(config)#router bgp 65100
RP/0/0/CPU0:PE1(config-bgp)#bgp router-id 2.2.2.2
RP/0/0/CPU0:PE1(config-bgp)#address-family vpnv4 unicast
RP/0/0/CPU0:PE1(config-bgp-af)#neighbor 4.4.4.4
RP/0/0/CPU0:PE1(config-bgp-nbr)#remote-as 65100
RP/0/0/CPU0:PE1(config-bgp-nbr)#update-source lo1
RP/0/0/CPU0:PE1(config-bgp-nbr)#exit
RP/0/0/CPU0:PE1(config-bgp)#vrf SR-ISP
RP/0/0/CPU0:PE1(config-bgp-vrf)#rd 100:100
RP/0/0/CPU0:PE1(config-bgp-vrf)#address-fam ipv4 unicast
RP/0/0/CPU0:PE1(config-bgp-vrf-af)#redistribute ospf 2
RP/0/0/CPU0:PE1(config-bgp-vrf-af)#exit
RP/0/0/CPU0:PE1(config-bgp-vrf)#exit
RP/0/0/CPU0:PE1(config-bgp)#exit
RP/0/0/CPU0:PE1(config)#commit
```

**Script 26 Configuración de iBGP - L3VPNv4 en la Nube del proveedor (Conexión PE-PE)**  
*Fuente: Autor*

Con el fin de que el proceso de enrutamiento fluya, es necesario se aplique una política que permita el paso de tráfico y se formen las adyacencias en la VPNv4 (esto debido al comportamiento del NOS IOS-XR). También, es necesaria la redistribución de rutas de BGP a OSPF para que los CEs tengan conocimiento de las rutas de cada sede. Esta configuración debe darse en los PEs (*Script 27 y Script 28*).

```
RP/0/0/CPU0:PE1(config)#route-policy PASS-ALL
RP/0/0/CPU0:PE1(config-rpl)#pass
RP/0/0/CPU0:PE1(config-rpl)#end-policy
```

**Script 27 Configuración de Política de Enrutamiento en IOS-XR para iBGP L3VPNv4**  
*Fuente: Autor*

```
RP/0/0/CPU0:PE1(config)#router ospf 2
RP/0/0/CPU0:PE1(config-ospf)#vrf SR-ISP
RP/0/0/CPU0:PE1(config-ospf-vrf)#redistribute bgp 65100
RP/0/0/CPU0:PE1(config-ospf-vrf)#
RP/0/0/CPU0:PE1(config-ospf-vrf)#commit
```

**Script 28 Redistribución de rutas aprendidas en L3VPNv4 hacia OSPF**  
*Fuente: Autor*

#### 4.1.2 Resultados de la Emulación de SR

Si todo el proceso de configuración fue realizado correctamente, se puede alcanzar la conectividad de extremo a extremo, es decir, entre Matriz y Sucursal del PoC propuesto en la *Fig. 4-1*.

La configuración de los vPC es como la que se muestra en la *Fig. 4-2*. vPC1 representa un host de la Matriz con dirección IPv4 192.168.100.10/24 y puerta de enlace 192.168.100.1; mientras la vPC2 representa un host de la sucursal con dirección IPv4 192.168.200.10/24 y puerta de enlace 192.168.200.1.

```
VPCS is free software, distributed under the terms of the "BSD" licence.
Source code and license can be found at vpcs.sf.net.
For more information, please visit wiki.freecode.com.cn.
Modified version supporting unetlab by unetlab team

Press '?' to get help.

VPCS> ip 192.168.100.10/24 192.168.100.1
Checking for duplicate address...
PC1 : 192.168.100.10 255.255.255.0 gateway 192.168.100.1
```

**Figura 4-2 Configuración de vPC1 para PoC de Segment Routing.**  
*Fuente: Autor*

La *Fig.4-3* muestra la conectividad de extremo a extremo (ping entre vPC1y vPC2), comprobando de esa manera la factibilidad de uso de *Segment-Routing* en una infraestructura de proveedor sin contar con otros protocolos de etiquetado o señalización adicional (como LDP o RSVP respectivamente), eso se demuestra mediante las *Fig. 4-4* y *Fig. 4-5*, visualizando un *traceroute* entre la puerta de enlace de la Matriz (CE-HQ) y el *host* de la sucursal con el marcaje y las operaciones de SR: *Continue* o cambio de etiqueta y *Next* o retirada de etiqueta, así como el uso de un comando en IOS-XR desde PE1 para verificar el contenido de CEF (*Cisco Express Forwarding*) y sus NLRI (*Network Layer Routing Information*) junto a sus respectivos *labels* en SR; mientras en la *Fig. 4-6* el uso de un comando en IOS-XR evidenciando el no empleo de LDP en la nube del proveedor.

```

VPCS> show ip

NAME          : VPCS[1]
IP/MASK       : 192.168.100.10/24
GATEWAY      : 192.168.100.1
DNS           :
MAC          : 00:50:79:66:68:06
LPORT       : 20000
RHOST:PORT   : 127.0.0.1:30000
MTU          : 1500

VPCS> ping 192.168.200.10

84 bytes from 192.168.200.10 icmp_seq=1 ttl=59 time=14.811 ms
84 bytes from 192.168.200.10 icmp_seq=2 ttl=59 time=15.572 ms
84 bytes from 192.168.200.10 icmp_seq=3 ttl=59 time=15.044 ms
84 bytes from 192.168.200.10 icmp_seq=4 ttl=59 time=15.648 ms
84 bytes from 192.168.200.10 icmp_seq=5 ttl=59 time=15.710 ms

```

**Figura 4-3 Prueba de Conectividad entre vPC1 y vPC2 en el PoC de Segment Routing.**

*Fuente: Autor*

```

CE-HQ#traceroute 192.168.200.10 source 192.168.100.1 numeric
Type escape sequence to abort.
Tracing the route to 192.168.200.10
VRF info: (vrf in name/id, vrf out name/id)
 1 200.10.10.2 3 msec 1 msec 2 msec
 2 200.10.10.6 [MPLS: Labels 20017/24002 Exp 0] 14 msec 14 msec 15 msec
 3 200.10.10.10 [MPLS: Label 24002 Exp 0] 15 msec 18 msec 16 msec
 4 200.10.10.14 16 msec 18 msec 17 msec
 5 192.168.200.10 20 msec 14 msec 15 msec

```

**Figura 4-4 Traceroute entre CE-HQ y vPC2 en el PoC de Segment Routing (Marcaje de SR).**

*Fuente: Autor*

```

RP/0/0/CPU0:PE1#show cef 4.4.4.4 | include labels
Mon Apr 19 21:25:50.265 UTC
      local label 20017      labels imposed {20017}
RP/0/0/CPU0:PE1#
RP/0/0/CPU0:PE1#show cef 3.3.3.3 | include labels
Mon Apr 19 21:26:01.214 UTC
      local label 20016      labels imposed {ImplNull}

```

**Figura 4-5 Contenido de CEF (NLRI) en PE1 y sus respectivo labels SR en el PoC de Segment Routing**

*Fuente: Autor*

```

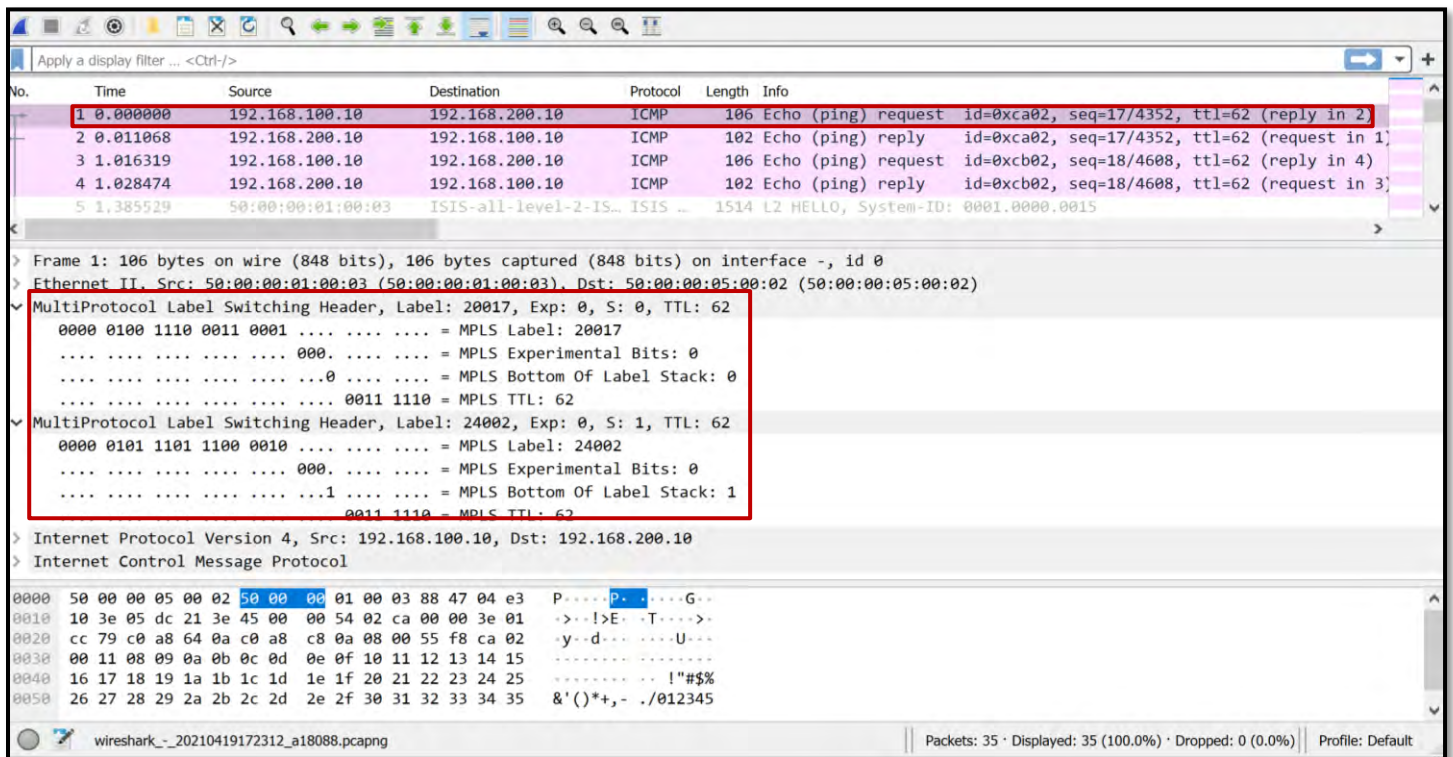
RP/0/0/CPU0:PE1#show mpls int gi0/0/0/2 detail
Mon Apr 19 21:24:35.600 UTC
Interface GigabitEthernet0/0/0/2:
      LDP labelling not enabled
      LSP labelling not enabled
      MPLS ISIS enabled
      MPLS enabled

```

**Figura 4-6 Comprobación del no uso de LDP en el PoC de Segment Routing**

*Fuente: Autor*

Finalmente, en las Fig. 4-7 y Fig. 4-8 se tiene una captura de tráfico mediante *Wireshark* de la comunicación entre vPC1 y vPC2 en la cual se comprueba que SR puede ser transportado en un Plano de Datos MPLS (MPLS Label 20017) tipo L3VPNv4 con iBGP como protocolo de enrutamiento entre PEs, facilitando la migración de un entorno MPLS-LDP a SR-MPLS, así como una interoperabilidad adecuada, sin embargo, se debe indicar que SR se concibió para ser transportado nativamente en IPv6, así como usar Controladores SDN en entornos masivos, normalmente usando PCEP tal como se indica en (Salazar Ch., Naranjo, & Marrone, 2018) y en (Salazar-Chacón & Reinoso García, 2021).



**Figura 4-7 Captura de Tráfico en Wireshark - PoC de Segment Routing**

Fuente: Autor

```
RP/0/0/CPU0:PE1#show mpls forwarding detail
Mon Apr 19 22:39:32.162 UTC
Local Outgoing Prefix      Outgoing   Next Hop    Bytes
Label Label      or ID      Interface  Next Hop    Switched
-----
20016 Pop        SR Pfx (idx 16)  Gi0/0/0/2  200.10.10.6  0
    Updated: Apr 19 20:01:48.000
    Version: 12, Priority: 1
    Label Stack (Top -> Bottom): { Imp-Null }
    NHID: 0x0, Encap-ID: N/A, Path idx: 0, Backup path idx: 0, Weight: 0
    MAC/Encaps: 14/14, MTU: 1500
    Packets Switched: 0

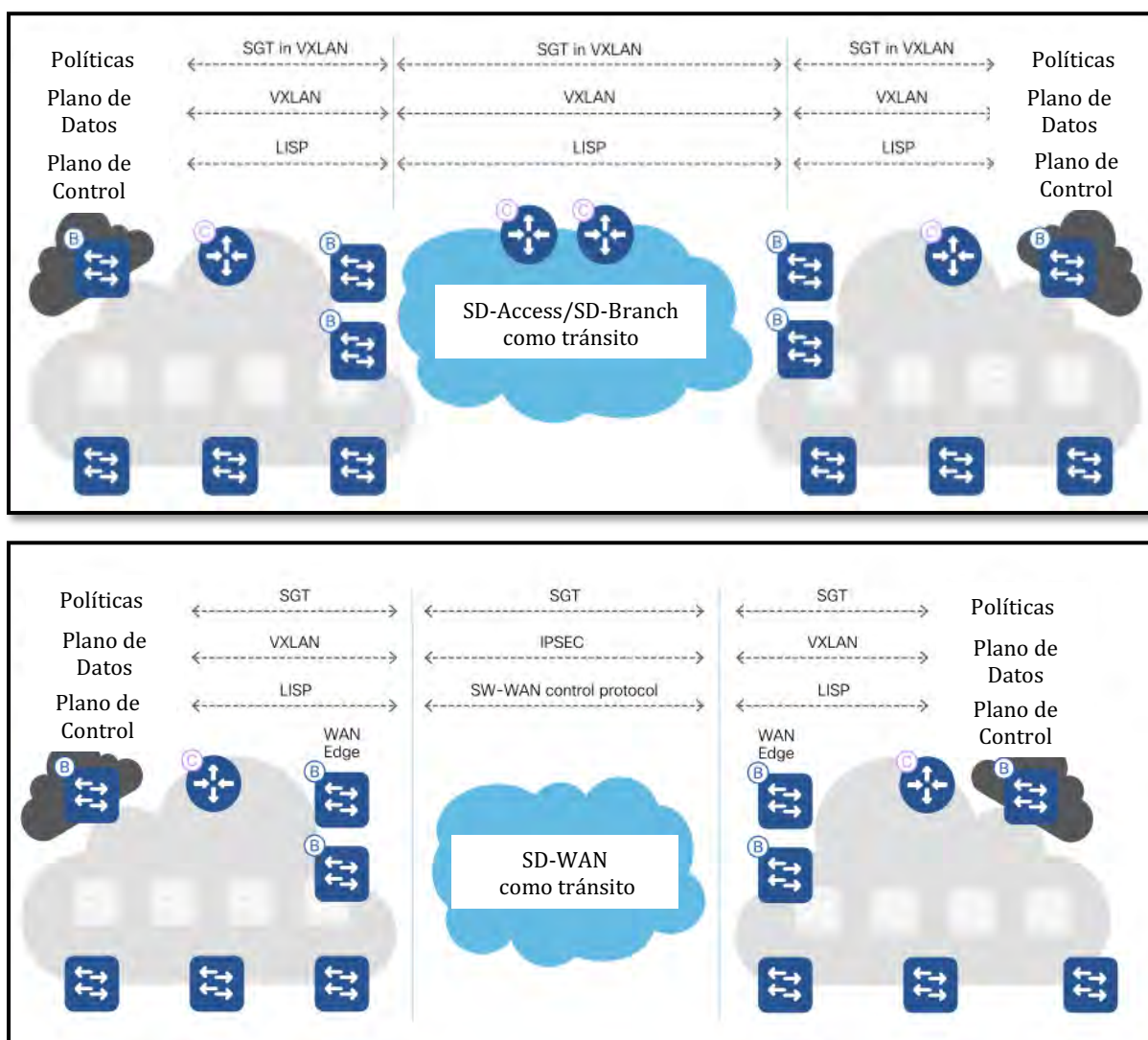
    Traffic-Matrix Packets/Bytes Switched: 0/0
20017 20017      SR Pfx (idx 17)  Gi0/0/0/2  200.10.10.6  109403
    Updated: Apr 19 20:12:30.856
    Version: 14, Priority: 1
    Label Stack (Top -> Bottom): { 20017 }
    NHID: 0x0, Encap-ID: N/A, Path idx: 0, Backup path idx: 0, Weight: 0
    MAC/Encaps: 14/18, MTU: 1500
    Packets Switched: 1285
```

**Figura 4-8 MPLS como Plano de Datos de Segment-Routing**

Fuente: Autor

## 4.2 Emulación de LISP como Fabric de SD-Access

SD-Access/SD-Branch, analizado en 3.2 *Software-Defined Access/Software-Defined Branch y Software-Defined Data Center*, es una clara evolución de la red empresarial comenzando desde la red de acceso, Integrando redes cableadas, redes inalámbricas con WLC, entornos tipo BYOX e IoT, dando visibilidad, automatización y rapidez de conexión entre diferentes sitios empresariales a manera de un Campus Distribuido bajo el mismo entorno corporativo (Red de Tránsito SD-Access) o con integración con SD-WAN en caso que las sedes sean más lejanas, permitiendo una ubicuidad de la conectividad con seguridad en mente.



**Figura 4-9 Planos de Control y Datos en SD-Access: SD-Access como Tránsito y SD-WAN como tránsito**  
 Basado en (Hill, et al., 2019)

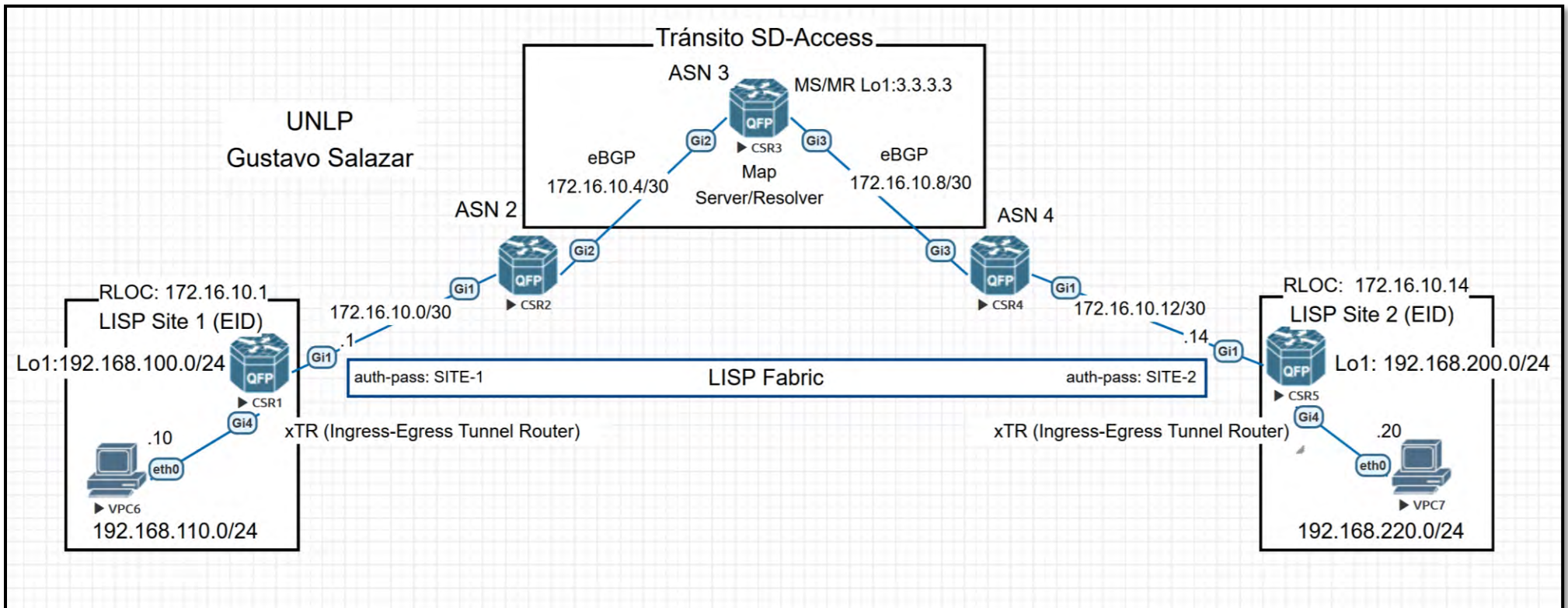
En la Fig. 4-9 se identifican los protocolos necesarios para traer esas ventajas a las redes de nueva generación, por ello, en esta sección se hará una Prueba de Concepto y factibilidad de LISP, protocolo principal para el *fabric* de SD-Access.

#### 4.2.1 Topología y Emulación de LISP

La topología usada para el PoC de LISP se indica en la *Fig. 4-10*, la cual fue diseñada con el siguiente NOS para todos los nodos:

- CSR1000vng-UniversalK9.17.02.01

El objetivo de la prueba de concepto será usar LISP y unir dos sedes empresariales, bajo el sistema de tránsito SD-Access donde estará ubicado el *Map Server/Resolver* mediante el cual se relacionará los RLOCs que identifican cada sede y permitir la transferencia de información.



**Figura 4-10 Topología PoC - LISP**

Fuente: Autor

Recordemos que LISP (*Locator/ID Separation Protocol*) es una arquitectura de enrutamiento que cambia la semántica para el direccionamiento IP en una red corporativa, separando la identidad del dispositivo (llamado EID - *Endpoint Identifier*) de su ubicación (llamado RLOC - *Routing Locator*), trayendo con ello muchas ventajas en cuanto a desempeño y seguridad.

Una vez se ha configurado el direccionamiento IPv4 mostrado en la *Fig. 4-10*, se debe establecer el enrutamiento en la nube de tránsito (T1, T2 y T3), conocido como el RLOC *Namespace*. El *Script 29* muestra la configuración de eBGP en la nube para T1 (CSR2). Es necesario exista conectividad entre T1, T2 y T3, incluyendo los enlaces entre Sitio-1 (CSR1) y T1 (CSR2), así como entre Sitio-2 (CSR5) con T3 (CSR4):

```
T1(config)#router bgp 2
T1(config-router)#neigh 172.16.10.6 remote-as 3
T1(config-router)#network 172.16.10.0 mask 255.255.255.252
T1(config-router)#network 172.16.10.4 mask 255.255.255.252
T1(config-router)#
```

**Script 29 Configuración de eBGP en T1 para la nube de tránsito SD-Access**  
Fuente: Autor

La nube de SD-Access formará vecindades eBGP dentro de dicha nube. La *Fig. 4-11* muestra la tabla BGP en T2 como parte del *Fabric* SD-Access.

```
T2#show ip bgp summary
BGP router identifier 3.3.3.3, local AS number 3
BGP table version is 13, main routing table version 13
5 network entries using 1240 bytes of memory
6 path entries using 816 bytes of memory
3/3 BGP path/bestpath attribute entries using 864 bytes of memory
2 BGP AS-PATH entries using 48 bytes of memory
0 BGP route-map cache entries using 0 bytes of memory
0 BGP filter-list cache entries using 0 bytes of memory
BGP using 2968 total bytes of memory
BGP activity 5/0 prefixes, 6/0 paths, scan interval 60 secs
5 networks peaked at 06:48:25 Apr 21 2021 UTC (00:06:55.182 ago)
```

Neighbor	V	AS	MsgRcvd	MsgSent	TblVer	InQ	OutQ	Up/Down	State/PfxRcd
172.16.10.5	4	2	22	22	13	0	0	00:15:28	2
172.16.10.10	4	4	13	16	13	0	0	00:07:58	1

**Figura 4-11 Tabla BGP - Nube de Tránsito LISP (eBGP)**  
Fuente: Autor

Las sedes o LISP EID *Namespaces* (para el PoC las redes 192.168.100.0/24 y 192.168.110.0/24 para el SITIO-1 y 192.168.200.0/24 y 192.168.220.0/24 para el SITIO-2) no se deben enviar al RLOC *Namespace*, este es un punto clave en la seguridad que entrega LISP, ya que la conectividad de extremo a extremo tiene lugar gracias a los pares del Túnel LISP: *Ingress/Egress Tunnel Router* (ITR/ETR). Para el PoC de la *Fig. 4-10* SITE-1(CSR1) y SITE-2 (CSR5) toman la función de xTR o equipo que funciona como ITR y ETR, equipos que generarán el proceso de encapsulación/desencapsulación LISP luego del proceso de solicitud-respuesta enviado hacia el *Map Server/Resolver* y establecer el *Fabric* LISP. Existen roles adicionales como los LISP Proxy ETR/ITR, los cuales permiten la comunicación a entornos sin soporte de LISP.

La función de un *Map Resolver* (MR) es la de aceptar solicitudes de un ITR, desencapsular dichos mensajes y luego enviarlos hacia el *Map Server* (MS) responsable del ETR.

Por motivos de escalabilidad y resiliencia, los equipos asignados como MR/MS, ya sea que funcionen independientemente o en un mismo equipo, deben tener redundancia con otros MR/MS a través de GRE o sesiones BGP. Estos escenarios se conocen como *LISP Alternative Logical Topology* (ALT), la cual no está presente en todas las implementaciones.

Hasta este punto, la conectividad entre T1 y T3 (conectividad en el RLOC *namespace*) se comprueba mediante un *ping* (conectividad en nube de tránsito mediante eBGP):

```
T1#ping 172.16.10.10
Type escape sequence to abort.
Sending 5, 100-byte ICMP Echos to 172.16.10.10, timeout is 2 seconds:
!!!!
Success rate is 100 percent (5/5), round-trip min/avg/max = 5/8/13 ms
T1#
T1#traceroute 172.16.10.10
Type escape sequence to abort.
Tracing the route to 172.16.10.10
VRF info: (vrf in name/id, vrf out name/id)
 1 172.16.10.6 6 msec 1 msec 2 msec
 2 172.16.10.10 [AS 3] 25 msec 16 msec *
```

**Figura 4-12 Conectividad en la Nube de Tránsito LISP (eBGP) - Ping T1(CSR2) a T3 (CSR4)**  
Fuente: Autor

### Conectividad mediante *LISP Fabric*

Con el fin de conectar el Sitio 1 (SITE-1) y Sitio 2 (SITE-2), se debe configurar LISP tanto en los extremos (xTRs), así como en la nube de tránsito. Los Sitios 1 y 2 deben apuntar a un *Map Server/Resolver* ubicado en la nube de tránsito y tener una ruta por defecto hacia la nube LISP.

El *Script 30* muestra el establecimiento de LISP en *Site-1* (CSR1):

<pre>SITE-1(config)#router lisp SITE-1(config-router-lisp)#locator-set SITE-1 SITE-1(config-router-lisp-locator-set)#172.16.10.1 priority 0 weight 0 SITE-1(config-router-lisp-locator-set)#exit-locator-set SITE-1(config-router-lisp)#</pre>	<p>Definición del RLOC. <i>Priority</i> y <i>Weight</i> permiten seleccionar caminos y balancear carga.</p>
<pre>SITE-1(config-router-lisp)#instance-id 0 SITE-1(config-lisp-inst)#service ipv4 SITE-1(config-lisp-inst-srv-ipv4)#eid-table default SITE-1(config-lisp-inst-srv-ipv4)#database-mapping 192.168.100.0/24 locator-set SITE-1 SITE-1(config-lisp-inst-srv-ipv4)#database-mapping 192.168.110.0/24 locator-set SITE-1 SITE-1(config-lisp-inst-srv-ipv4)#</pre>	<p>Creación de EIDs: Designación de IPs de sedes</p>
<pre>SITE-1(config-lisp-inst-srv-ipv4)#itr map-resolver 3.3.3.3 SITE-1(config-lisp-inst-srv-ipv4)#itr SITE-1(config-lisp-inst-srv-ipv4)# *Apr 23 06:16:01.234: %LINEPROTO-5-UPDOWN: Line protocol on Interface LISP0, changed state to up SITE-1(config-lisp-inst-srv-ipv4)#</pre>	<p>Identificación del <i>Map-Resolver</i> y creación de interfaz LISP0</p>
<pre>SITE-1(config-lisp-inst-srv-ipv4)#etr map-server 3.3.3.3 key SITE-1 SITE-1(config-lisp-inst-srv-ipv4)#etr SITE-1(config-lisp-inst-srv-ipv4)#exit-service-ipv4 SITE-1(config-lisp-inst)#exit-instance-id SITE-1(config-router-lisp)#exit-router-lisp SITE-1(config)#</pre>	<p>Identificación del <i>Map-Server</i> junto a su llave de autenticación</p>
<pre>SITE-1(config)#ip route 0.0.0.0 0.0.0.0 172.16.10.2 SITE-1(config)#</pre>	<p>Configuración de ruta estática por defecto apuntado a la nube LISP</p>

**Script 30 Configuración de LISP en xTR**  
Fuente: Autor

La configuración del *Script 30*, es la misma para el otro extremo del túnel LISP, obviamente siguiendo el direccionamiento correspondiente del *Site-2* (CSR5).

El siguiente paso es definir el Map Server/Resolver en la nube de tránsito LISP, para lo cual se debe ejecutar los comandos establecido en el *Script 31* para configurar el direccionamiento y autenticación para el registro del Sitio 1 y Sitio 2 en T2 (CSR3):

```
T2(config)#router lisp
T2(config-router-lisp)#service ipv4
T2(config-lisp-srv-ipv4)#map-server
T2(config-lisp-srv-ipv4)#map-resolver
T2(config-lisp-srv-ipv4)#exit-service-ipv4
T2(config-router-lisp)#
T2(config-router-lisp)#instance-id 0
T2(config-lisp-inst)#service ipv4
T2(config-lisp-inst-srv-ipv4)#exit-service-ipv4
T2(config-lisp-inst)#
T2(config-lisp-inst)#site SITE-1
T2(config-router-lisp-site)#authentication-key SITE-1
T2(config-router-lisp-site)#eid-record 192.168.100.0/24 accept-more-specifics
T2(config-router-lisp-site)#eid-record 192.168.110.0/24 accept-more-specifics
T2(config-router-lisp-site)#
T2(config-router-lisp-site)#exit-site
T2(config-router-lisp)#
T2(config-router-lisp)#site SITE-2
T2(config-router-lisp-site)#authentication-key SITE-2
T2(config-router-lisp-site)#eid-record 192.168.200.0/24 accept-more-specifics
T2(config-router-lisp-site)#eid-record 192.168.220.0/24 accept-more-specifics
T2(config-router-lisp-site)#exit-site
T2(config-router-lisp)#
T2(config-router-lisp)#do wr
Building configuration...
[OK]
```

Habilitación de funciones como *Map-Server* y *Map-Resolver* y asignación de *instance-id 0* bajo IPv4

Definición de Sitios LISP

**Script 31 Configuración de LISP en xTR**  
Fuente: Autor

#### 4.2.2 Resultados de la Emulación de LISP

Al terminar la configuración de los nodos con éxito, se puede alcanzar la conectividad de extremo a extremo, es decir, entre Sitio-1 y Sitio-2 del PoC propuesto en la *Fig. 4-10*.

Mediante el comando de la *Fig. 4-13* se puede verificar el establecimiento de sesión LISP entre los RLOCs de SITE-1 y SITE-2 con LISP *Map-Server*.

```
SITE-1#show lisp session

Sessions for VRF default, total: 1, established: 1
Peer           State      Up/Down      In/Out      Users
3.3.3.3:4342   Up         00:43:01     7/5         3
SITE-1#
```

```
SITE-2#show lisp session

Sessions for VRF default, total: 1, established: 1
Peer           State      Up/Down      In/Out      Users
3.3.3.3:4342   Up         00:45:49     7/5         3
```

**Figura 4-13 Establecimiento de sesión LISP xTRs con Map Server/Resolver**  
Fuente: Autor

Desde el punto de vista del *Map Server/Resolver*, se debe verificar el establecimiento de la relación entre este equipo y los RLOCs hacia cada uno de los EID *namespaces* definidos para la conectividad entre los sitios. La *Fig.4-14* muestra el estado de *UP* y del registro de los equipos parte de la infraestructura LISP.

```
T2#show lisp site
LISP Site Registration Information
* = Some locators are down or unreachable
# = Some registrations are sourced by reliable transport
```

Site Name	Last Register	Up	Who Last Registered	Inst ID	EID Prefix
SITE-1	00:14:37	yes#	172.16.10.1:30514		192.168.100.0/24
	00:10:07	yes#	172.16.10.1:30514		192.168.110.0/24
SITE-2	00:18:33	yes#	172.16.10.14:51099		192.168.200.0/24
	00:08:54	yes#	172.16.10.14:51099		192.168.220.0/24

**Figura 4-14 Registro por parte del Map Server/Resolver a los RLOCs (xTRs) y EIDs de cada sitio en PoC de LISP**  
Fuente: Autor

La prueba de conectividad de extremo a extremo se establece mediante un ping entre los Sitios y un *traceroute* entre el RLOC del Sitio-1 al Sitio-2:

```
VPCS> show ip
NAME       : VPCS[1]
IP/MASK    : 192.168.110.10/24
GATEWAY    : 192.168.110.1
DNS        :
MAC        : 00:50:79:66:68:06
LPORT     : 20000
RHOST:PORT : 127.0.0.1:30000
MTU        : 1500

VPCS> ping 192.168.200.1

84 bytes from 192.168.200.1 icmp_seq=1 ttl=251 time=2.245 ms
84 bytes from 192.168.200.1 icmp_seq=2 ttl=251 time=1.913 ms
84 bytes from 192.168.200.1 icmp_seq=3 ttl=251 time=2.078 ms
84 bytes from 192.168.200.1 icmp_seq=4 ttl=251 time=1.971 ms
84 bytes from 192.168.200.1 icmp_seq=5 ttl=251 time=4.292 ms

VPCS> ping 192.168.220.20

84 bytes from 192.168.220.20 icmp_seq=1 ttl=59 time=2.467 ms
84 bytes from 192.168.220.20 icmp_seq=2 ttl=59 time=1.951 ms
84 bytes from 192.168.220.20 icmp_seq=3 ttl=59 time=2.261 ms
84 bytes from 192.168.220.20 icmp_seq=4 ttl=59 time=2.278 ms
```

**Figura 4-15 Conectividad Extremo a Extremo: Ping entre Sitio-1 y Sitio-2 en el PoC de LISP**  
Fuente: Autor

```

SITE-1#traceroute 192.168.220.20 numeric
Type escape sequence to abort.
Tracing the route to 192.168.220.20
VRF info: (vrf in name/id, vrf out name/id)
 1 172.16.10.2 1 msec 2 msec 1 msec
 2 172.16.10.6 1 msec 2 msec 1 msec
 3 172.16.10.10 2 msec 4 msec 3 msec
 4 172.16.10.14 4 msec 4 msec 4 msec
 5 192.168.220.20 5 msec 2 msec 2 msec
SITE-1#

```

**Figura 4-16 Traceroute entre RLOC de Sitio-1 (xTR) y Sitio-2 en el PoC de LISP**  
Fuente: Autor

Al existir la conectividad mostrada en las *Figs. 4-15* y *4-16*, es factible que los nodos de cada Sitio o xTRs tengan conocimiento sobre los EIDs del otro Sitio, así, por ejemplo, el nodo *Site-1* con RLOC 172.16.10.1 puede conocer mediante LISP los EIDs 192.168.200.0/24 y 192.168.220.0/24 a través del RLOC 172.16.10.14. De la misma manera, el *Site-2*. Estos EIDs no se envían en la nube de tránsito LISP (SD-Access), dando así seguridad y segmentación.

La *Fig. 4-17* muestra ese aprendizaje a través del *Fabric LISP*.

```

SITE-1#show ip lisp map-cache
LISP IPv4 Mapping Cache for EID-table default (IID 0), 3 entries

0.0.0.0/0, uptime: 00:00:00, expires: 00:00:59, via static-send-map-request
Negative cache entry, action: send-map-request
-----
192.168.200.0/24, uptime: 00:31:27, expires: 23:28:32, via map-reply, complete
Locator      Uptime      State  Pri/Wgt    Encap-IID
172.16.10.14 00:31:27   up     1/1        -
192.168.220.0/24, uptime: 00:08:29, expires: 23:51:31, via map-reply, complete
Locator      Uptime      State  Pri/Wgt    Encap-IID
172.16.10.14 00:08:29   up     0/0        -

```

```

SITE-2#show ip lisp map-cache
LISP IPv4 Mapping Cache for EID-table default (IID 0), 3 entries

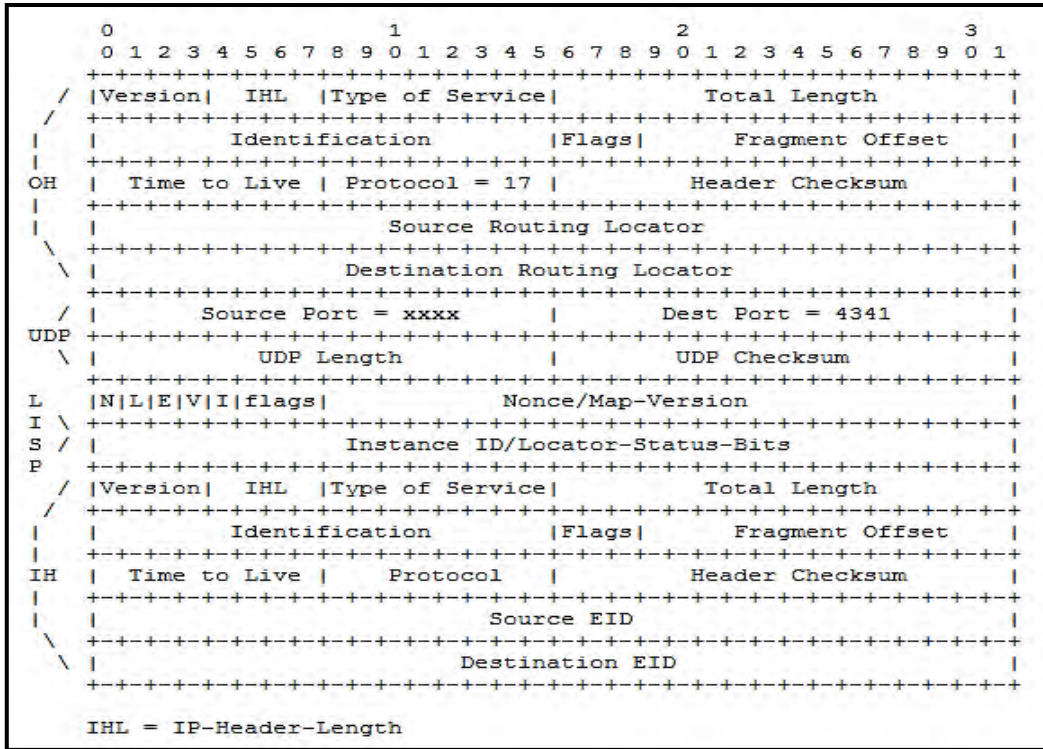
0.0.0.0/0, uptime: 00:00:01, expires: 00:00:59, via static-send-map-request
Negative cache entry, action: send-map-request
-----
192.168.100.0/24, uptime: 00:21:30, expires: 23:38:29, via map-reply, complete
Locator      Uptime      State  Pri/Wgt    Encap-IID
172.16.10.1 00:21:30   up     0/0        -
192.168.110.0/24, uptime: 00:13:30, expires: 23:46:29, via map-reply, complete
Locator      Uptime      State  Pri/Wgt    Encap-IID
172.16.10.1 00:13:30   up     0/0        -

```

**Figura 4-17 Traceroute entre RLOC de Sitio-1 y Sitio-2 en el PoC de LISP**  
Fuente: Autor

Se tomó capturas de tráfico con Wireshark para demostrar mediante este PoC la estructura de la encapsulación LISP, la cual está en el RFC experimental 6830<sup>53</sup>: *The Locator/ID Separation Protocol (LISP)*, tal como se observa en las *Fig. 4-18* y *Fig. 4-19*.

<sup>53</sup> RFC 6830: <https://tools.ietf.org/html/rfc6830>



**Figura 4-18 Esquemización del Encabezado LISP IPv4-in-IPv4**  
 Recuperado de (Internet Engineering Task Force - IETF, 2013)

File Edit View Go Capture Analyze Statistics Telephony Wireless Tools Help

Apply a display filter ... <Ctrl-/>

No.	Time	Source	Destination	Protocol	Length	Info
1	0.000000	192.168.110.10	192.168.220.20	ICMP	134	Echo (ping) request id=0xaf71, seq=15/3840, ttl=63 (reply in 2)
2	0.011889	192.168.220.20	192.168.110.10	ICMP	134	Echo (ping) reply id=0xaf71, seq=15/3840, ttl=63 (request in 1)
3	1.013582	192.168.110.10	192.168.220.20	ICMP	134	Echo (ping) request id=0xb071, seq=16/4096, ttl=63 (reply in 4)
4	1.024082	192.168.220.20	192.168.110.10	ICMP	134	Echo (ping) reply id=0xb071, seq=16/4096, ttl=63 (request in 3)
5	2.025732	192.168.110.10	192.168.220.20	ICMP	134	Echo (ping) request id=0xb171, seq=17/4352, ttl=63 (reply in 6)
6	2.027767	192.168.220.20	192.168.110.10	ICMP	134	Echo (ping) reply id=0xb171, seq=17/4352, ttl=63 (request in 5)
7	2.404020	0.0.0.0	0.0.0.0	LISP	122	Encapsulated Map-Request for 0.0.0.0/0
8	3.029821	192.168.110.10	192.168.220.20	ICMP	134	Echo (ping) request id=0xb271, seq=18/4608, ttl=63 (reply in 9)

> Frame 1: 134 bytes on wire (1072 bits), 134 bytes captured (1072 bits) on interface -, id 0

> Ethernet II, Src: 50:00:00:01:00:00 (50:00:00:01:00:00), Dst: 50:00:00:02:00:00 (50:00:00:02:00:00)

> Internet Protocol Version 4, Src: 172.16.10.1, Dst: 172.16.10.14

> User Datagram Protocol, Src Port: 46878, Dst Port: 4341

- Source Port: 46878
- Destination Port: 4341
- Length: 100
- [Checksum: [missing]]
- [Checksum Status: Not present]
- [Stream index: 0]
- > [Timestamps]

> Locator/ID Separation Protocol (Data)

> Internet Protocol Version 4, Src: 192.168.110.10, Dst: 192.168.220.20

> Internet Control Message Protocol

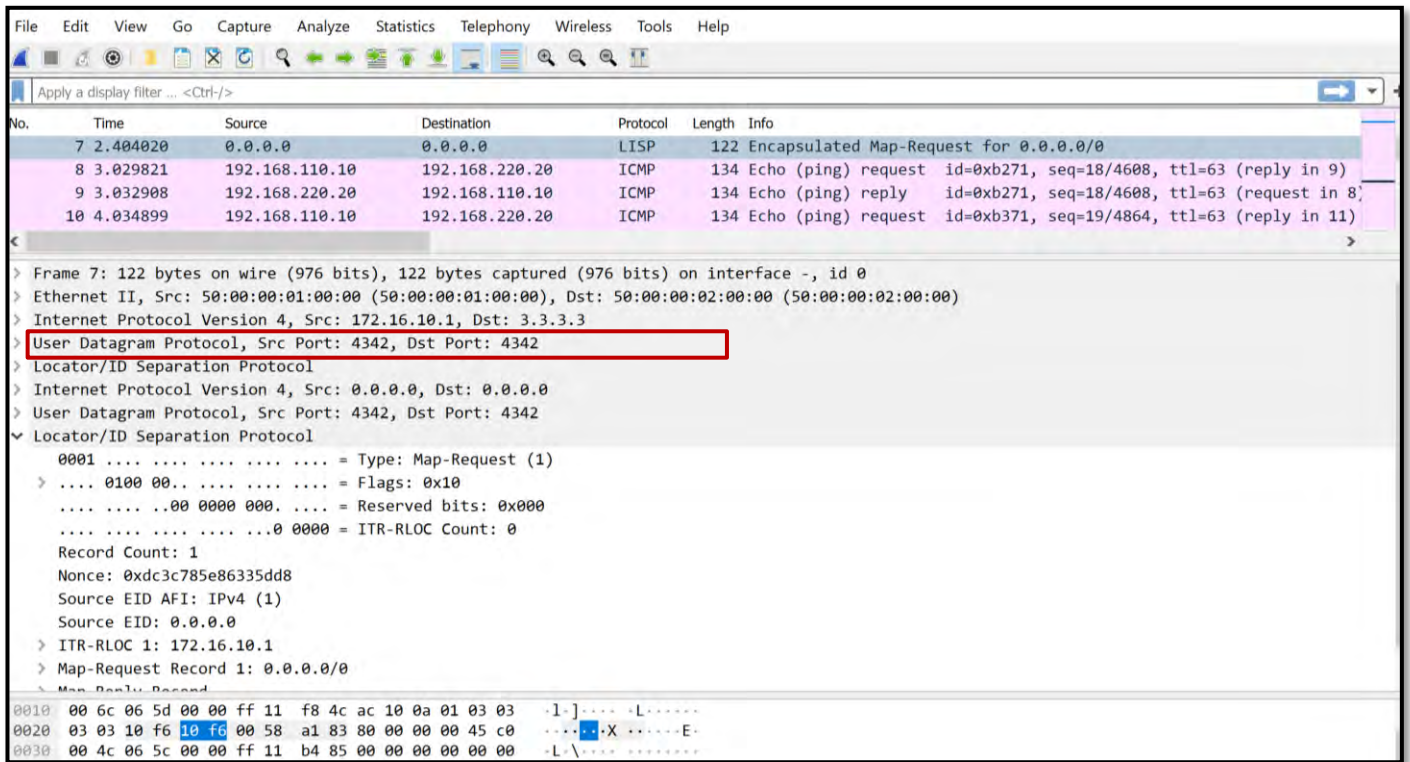
```

0020  0a 0e b7 1e 10 f5 00 64 00 00 40 00 00 00 00 00  .....d..@...
0030  00 01 45 00 00 54 71 af 00 00 3f 01 3e 8a c0 a8  ..E..Tq...?->...
0040  6e 0a c0 a8 dc 14 08 00 70 8b af 71 00 0f 08 09  n.....p..q....
0050  0a 0b 0c 0d 0e 0f 10 11 12 13 14 15 16 17 18 19  .....! "##$%&'()
0060  1a 1b 1c 1d 1e 1f 20 21 22 23 24 25 26 27 28 29  .....*+,-./01 23456789
0070  2a 2b 2c 2d 2e 2f 30 31 32 33 34 35 36 37 38 39  ;;<=>?
0080  3a 3b 3c 3d 3e 3f

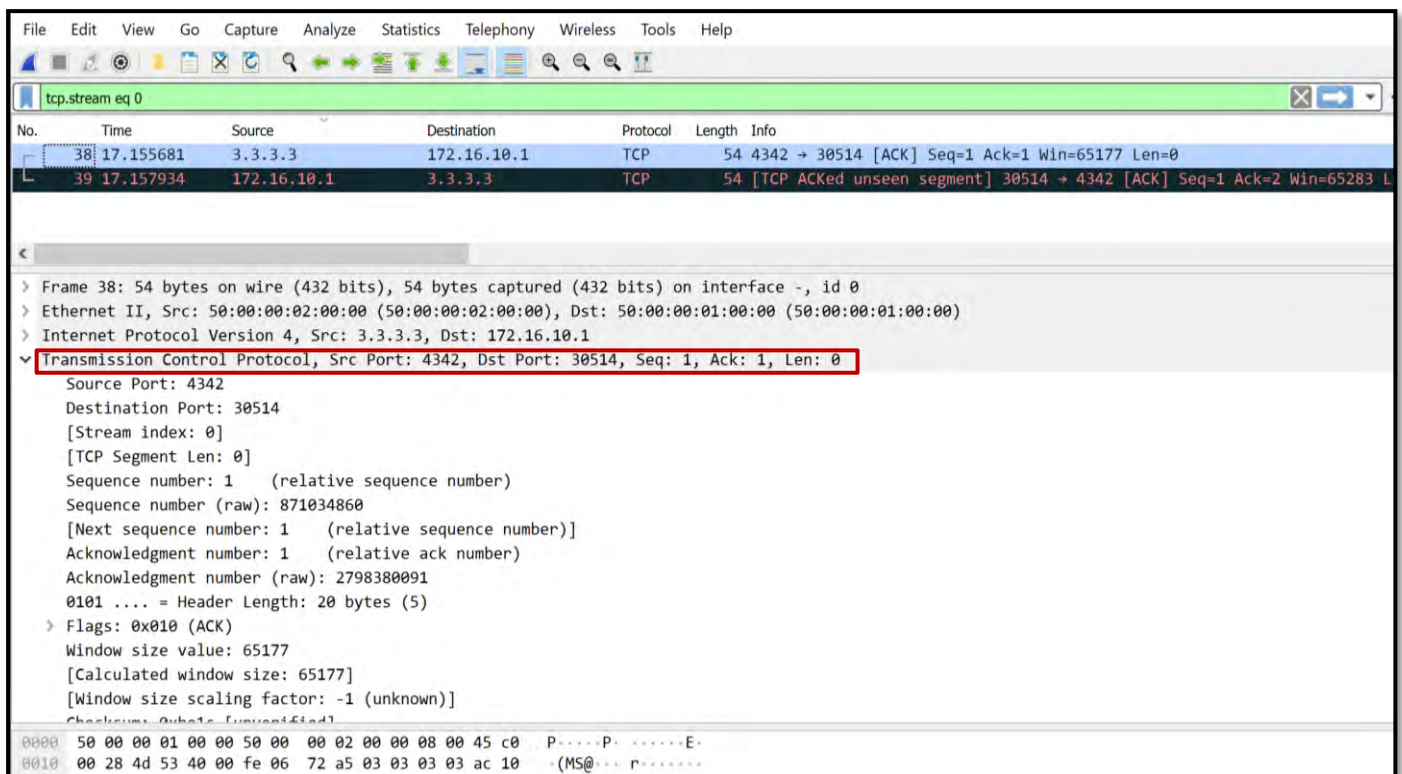
```

**Figura 4-19 Captura de Tráfico en Wireshark - Encabezado de LISP**  
 Fuente: Autor

Fue posible durante un ping continuo capturar un LISP *Map Request* desde el Sitio-1 (xTR-RLOC) y el LISP *Map ACK*

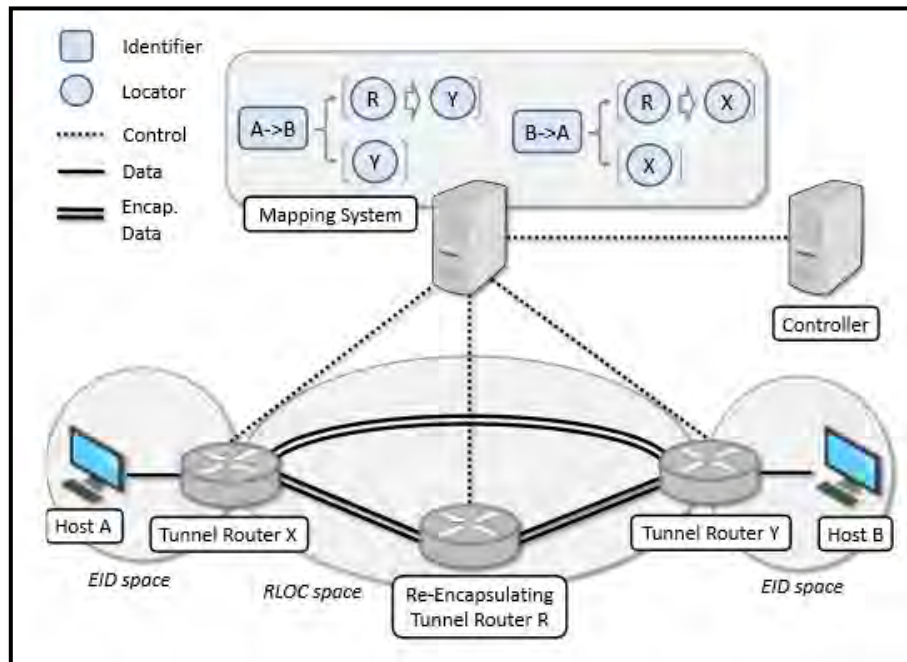


**Figura 4-20 Captura de Tráfico en Wireshark – LISP Map Request**  
Fuente: Autor



**Figura 4-21 Captura de Tráfico en Wireshark – LISP Map ACK (TCP)**  
Fuente: Autor

Para finalizar con este PoC, se debe mencionar que investigaciones recientes proponen a LISP como un protocolo *Southbound* de SDN (Rodríguez-Natal, et al., 2015), es más, luego de concluir con éxito el PoC se puede decir que LISP posee una estructura alineada al contexto SDN (Separación de Plano de Control y Datos) mediante la relación xTR-RLOC y *Map Server/Resolver*, lo que lo hace un protocolo ideal para Redes de Nueva Generación.



**Figura 4-22 Esquematización de LISP como protocolo Southbound en contexto SDN**  
 Recuperado de (Rodríguez-Natal, et al., 2015)

LISP está en pleno proceso de apertura, pues el proyecto *OpenLISP*<sup>54</sup>, toma lo mejor de la implementación propietaria, junto con las especificaciones del RFC 6830 en la implementación del protocolo en un *kernel FreeBSD-NOS* manejando *sockets* y tuplas para dar lugar a la separación de entre EID y RLOC de un equipo.

## The OpenLISP Project

OpenLISP is an open source implementation of the [LISP](#) Protocol running in the kernel of the [FreeBSD](#) Operating System. OpenLISP focuses on the data plane operation, meaning that it implements the LISP-Cache and the LISP-Database in the kernel space, as well as the encaps/decap functions. Everything that is related to the control plane is meant to run in the user space. OpenLISP does not provide any specific control plane protocol implementation (i.e., no mapping distribution protocol is provided). Rather OpenLISP implements a new type of sockets, called the **Mapping Sockets** providing an API that can be used by any users space process.

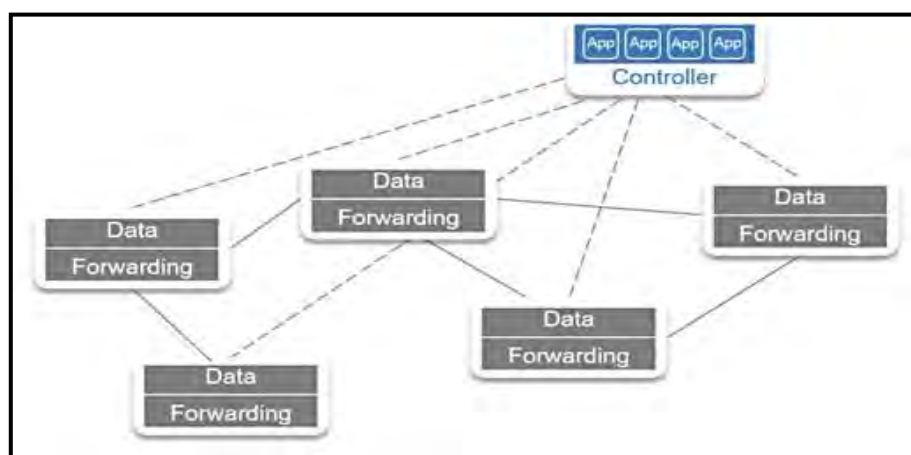
**Figura 4-23 Proyecto OpenLISP**  
 Recuperado de (OpenLisp, n.d.)

<sup>54</sup> OpenLISP: <http://www.openlisp.org/>

### 4.3 Emulación de Red OpenSDN Híbridas: SDN y Redes Tradicionales

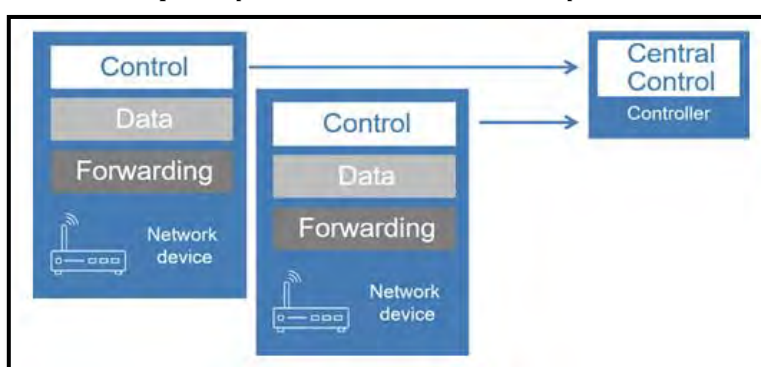
Según lo mencionado en el *Capítulo 2: Fundamentos de las Redes Definidas por Software*, existe una conceptualización generalizada de estas Redes de nueva generación dada por la ONF:

“Se define a este paradigma como la separación del Plano de Control del Plano de Datos que tradicionalmente está en el mismo equipo de red, con el fin de centralizar el control, administración y monitoreo de varios dispositivos en un solo rol denominado Controlador, abstrayendo de esa forma los planos estructurales de una infraestructura.” (Open Networking Foundation - ONF, 2020)



**Figura 4-24 Esquemización de Administración/Control Centralizado en SDN**  
Recuperado de (Guillermo, 2017)

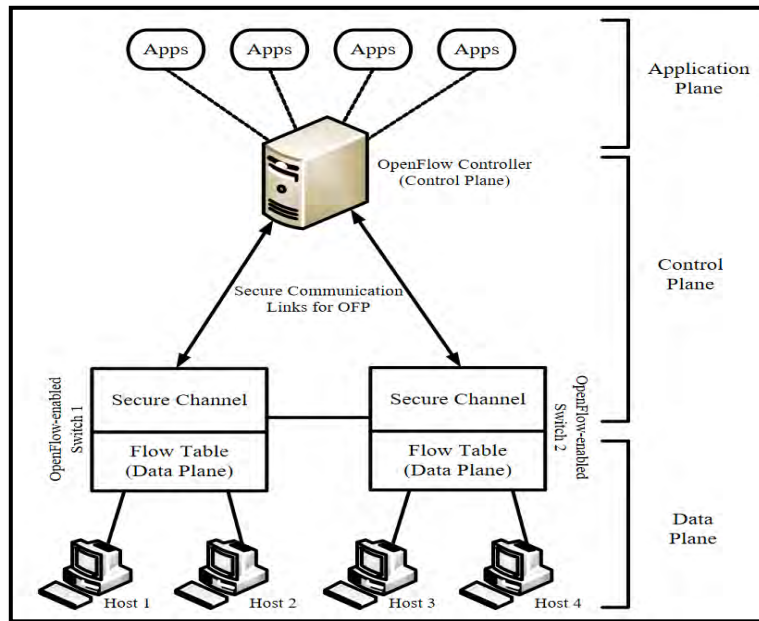
Sin embargo, implementar estos entornos en ambientes de producción real fue posible gracias al concepto de *Underlay-Overlay*, motivando así el uso de los distintos “sabores” de SDN: *SD-Access/SD-Branch*, *SD-DataCenter* y *SD-WAN* (Salazar-Chacón & Marrone, 2020), donde un Controlador es el encargado de definir las políticas de enrutamiento, gestión y administración necesarias para la Transformación Digital moderna. Dichas políticas son enviadas hacia el plano de datos usando protocolos *Southbound* como *OpenFlow*. Según (Salazar-Chacón & Marrone, 2020), cuando la red SDN emplea *OpenFlow*, se convierte en *OpenSDN*.



**Figura 4-25 Esquemización de OpenSDN tradicional**  
Recuperado de (Guillermo, 2017)

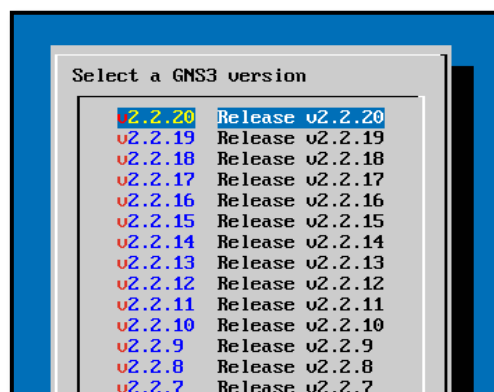
El protocolo *OpenFlow* fue analizado en **2.6 Funcionamiento de las Redes SDN basadas en OpenFlow (Open Networking Foundation)**, por lo que en este capítulo se pondrá en ejecución un PoC en Mininet y GNS3-VM para comprobar el funcionamiento y factibilidad de implementación utilizando tanto un Controlador *OpenDayLight* como ONOS (ver **2.5 OpenDaylight Project y NFV**) para gestionar y controlar redes SDN y redes tradicionales.

Basada en la arquitectura de *OpenFlow* mostrada en la *Fig. 4-26*, Mininet permitirá emular dicha arquitectura con total precisión y fidelidad.



**Figura 4-26** Arquitectura de *OpenFlow* emulada en *Mininet*  
 Recuperado de (Zohar Bholebawa & Dalal, 2016)

Para conocer la instalación de Mininet y GNS3-VM, puede leer el **Anexo B: Guía de Instalación GNS3-VM, EVE-ng y Mininet**, sin embargo, para este PoC se actualizó nuevamente tanto la GUI de GNS3 como la VM a la versión 2.2.20, versión actual al momento de realizar esta prueba de concepto y factibilidad.

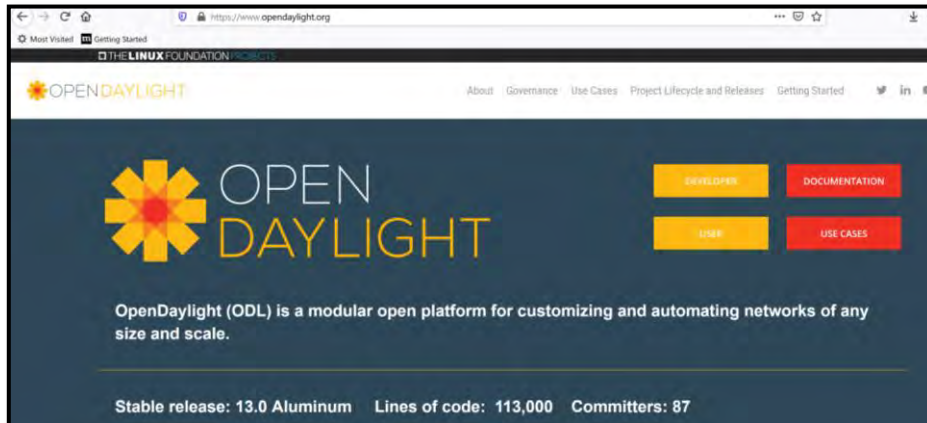


**Figura 4-27** Actualización de *GNS3-VM* a la versión 2.2.20  
 Fuente: Autor

### 4.3.1 Instalación de Controladores SDN: ODL y ONOS

En cuanto a los controladores SDN, se emplearán tanto ODL como ONOS.

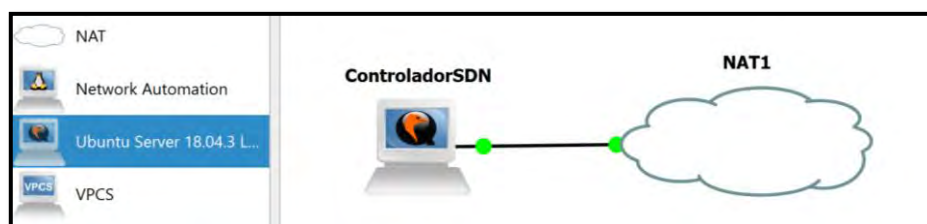
Para la instalación de ODL, se ingresará a la página oficial, lugar que nos indica que la versión estable de *OpenDayLight* es *Aluminium*. Se descarga dicha versión para este PoC.



**Figura 4-28 Open DayLight version estable 13.0 Aluminium**  
**Fuente:** (OpenDaylight - The Linux Foundation Projects, 2021)

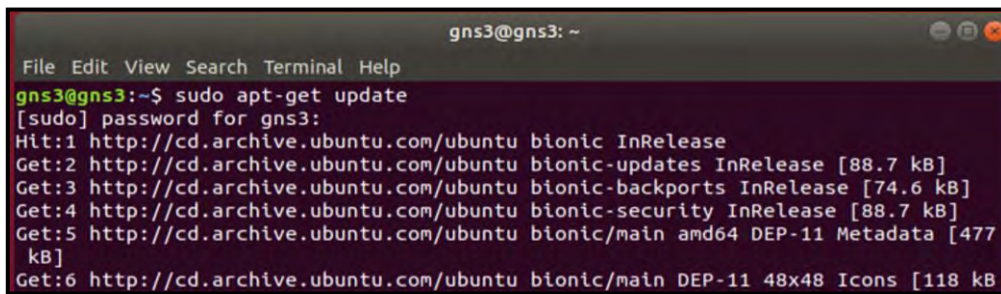
La instalación de ODL tomará lugar en Ubuntu 18.04 previamente alojado en GNS3 bajo el siguiente procedimiento:

Crear un proyecto en GNS3-VM y ubicar en la zona de trabajo a Ubuntu junto con una nube NAT para que el equipo pueda tener salida a Internet (Fig. 4-29).



**Figura 4-29 Servidor Ubuntu en GNS3-VM para instalación de ODL y ONOS**  
**Fuente:** Autor

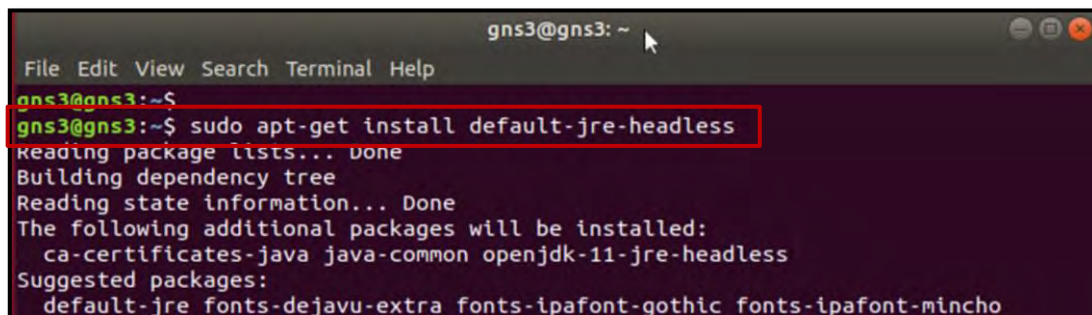
Arrancar Ubuntu y en una terminal realizar un *update*



```
gns3@gns3: ~  
File Edit View Search Terminal Help  
gns3@gns3:~$ sudo apt-get update  
[sudo] password for gns3:  
Hit:1 http://cd.archive.ubuntu.com/ubuntu bionic InRelease  
Get:2 http://cd.archive.ubuntu.com/ubuntu bionic-updates InRelease [88.7 kB]  
Get:3 http://cd.archive.ubuntu.com/ubuntu bionic-backports InRelease [74.6 kB]  
Get:4 http://cd.archive.ubuntu.com/ubuntu bionic-security InRelease [88.7 kB]  
Get:5 http://cd.archive.ubuntu.com/ubuntu bionic/main amd64 DEP-11 Metadata [477 kB]  
Get:6 http://cd.archive.ubuntu.com/ubuntu bionic/main DEP-11 48x48 Icons [118 kB]
```

**Figura 4-30 Update de Ubuntu previa instalación de ODL**  
Fuente: Autor

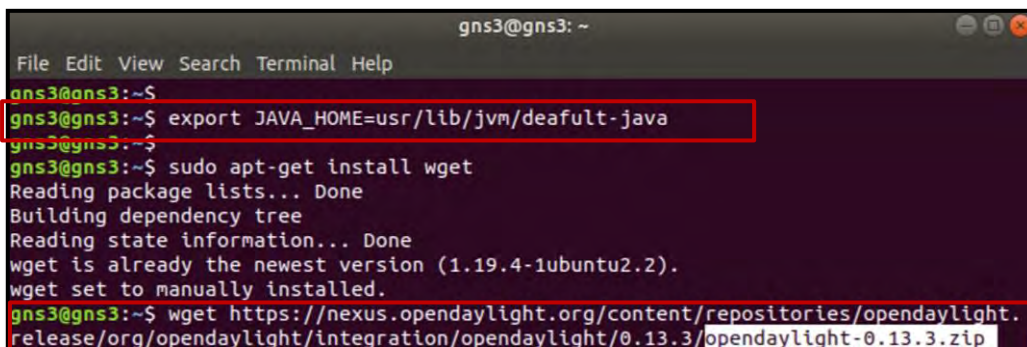
Luego, se instalará Java para el adecuado funcionamiento de ODL y exportar su ubicación



```
gns3@gns3: ~  
File Edit View Search Terminal Help  
gns3@gns3:~$ sudo apt-get install default-jre-headless  
Reading package lists... Done  
Building dependency tree  
Reading state information... Done  
The following additional packages will be installed:  
  ca-certificates-java java-common openjdk-11-jre-headless  
Suggested packages:  
  default-jre fonts-dejavu-extra fonts-ipafont-gothic fonts-ipafont-mincho
```

**Figura 4-31 Instalación de Java en Ubuntu previa instalación de ODL**  
Fuente: Autor

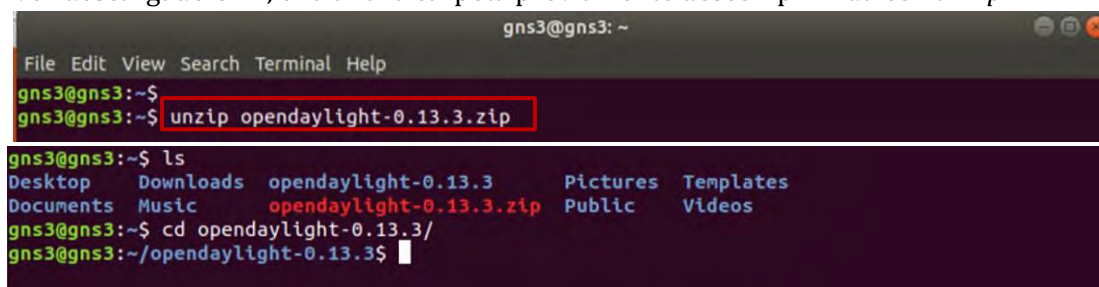
Para obtener ODL de la página oficial (wget), además de definir la variable de entorno JAVA\_HOME, se realiza lo siguiente:



```
gns3@gns3: ~  
File Edit View Search Terminal Help  
gns3@gns3:~$ export JAVA_HOME=/usr/lib/jvm/default-java  
gns3@gns3:~$ sudo apt-get install wget  
Reading package lists... Done  
Building dependency tree  
Reading state information... Done  
wget is already the newest version (1.19.4-1ubuntu2.2).  
wget set to manually installed.  
gns3@gns3:~$ wget https://nexus.opendaylight.org/content/repositories/opendaylight.  
release/org/opendaylight/integration/opendaylight/0.13.3/opendaylight-0.13.3.zip
```

**Figura 4-32 Descarga de ODL Aluminium**  
Fuente: Autor

Una vez descargado ODL, entrar a la carpeta previamente descomprimida con *unzip*:



```
gns3@gns3: ~  
File Edit View Search Terminal Help  
gns3@gns3:~$ unzip opendaylight-0.13.3.zip  
gns3@gns3:~$ ls  
Desktop Downloads opendaylight-0.13.3 Pictures Templates  
Documents Music opendaylight-0.13.3.zip Public Videos  
gns3@gns3:~$ cd opendaylight-0.13.3/  
gns3@gns3:~/opendaylight-0.13.3$
```

**Figura 4-33 Descomprimir ODL Aluminium**  
Fuente: Autor

Ya que el *Front-End* de ODL funciona con *Apache Karaf*<sup>55</sup>, este debe ser inicializado primero en cada ocasión que se desee arrancar el controlador SDN.

```

gns3@gns3: ~/opendaylight-0.13.3/bin
File Edit View Search Terminal Help
gns3@gns3:~/opendaylight-0.13.3/bin$ ls
aaa-cli-jar.jar          custom_shard_config.txt  setenv                  status
check_modules.sh       extract_modules.sh       setenv.bat              status.bat
client                  inc                       set_persistence.sh     stop
client.bat             instance                 shell                   stop.bat
configure-cluster-ipdetect.sh instance.bat             shell.bat
configure_cluster.sh   karaf                    start
contrib                karaf.bat               start.bat

gns3@gns3:~/opendaylight-0.13.3/bin$
gns3@gns3:~/opendaylight-0.13.3/bin$ export JAVA_HOME=/usr/lib/jvm/default-java
gns3@gns3:~/opendaylight-0.13.3/bin$
gns3@gns3:~/opendaylight-0.13.3/bin$ ./karaf
Apache Karaf starting up. Press Enter to open the shell now...
100% [=====]

Karaf started in 2s. Bundle stats: 12 active, 12 total

Hit '<tab>' for a list of available commands
and '[cmd] --help' for help on a specific command.
Hit '<ctrl-d>' or type 'system:shutdown' or 'logout' to shutdown OpenDaylight.

opendaylight-user@root>
opendaylight-user@root>

```

**Figura 4-34 Inicialización de Apache Karaf - ODL Aluminium**  
Fuente: Autor

El paso antes de abrir el *Front-End* del controlador es activar ciertos *features* para que ODL pueda administrar el plano de datos, entre ellos DLUX (GUI de ODL), ODL-L2Switch, etc:

```

opendaylight-user@root>
opendaylight-user@root>
opendaylight-user@root>feature:install odl-restconf odl-l2switch-switch odl-mdsal-apidocs odl-
dlux-core odl-dluxapps-nodes odl-dluxapps-topology odl-dluxapps-yangui odl-dluxapps-yangvisual
zer odl-dluxapps-yangman

Hit '<tab>' for a list of available commands
and '[cmd] --help' for help on a specific command.
Hit '<ctrl-d>' or type 'system:shutdown' or 'logout' to shutdown OpenDaylight.

opendaylight-user@root>

```

**Figura 4-35 Activación de features de ODL para el plano de datos**  
Fuente: Autor

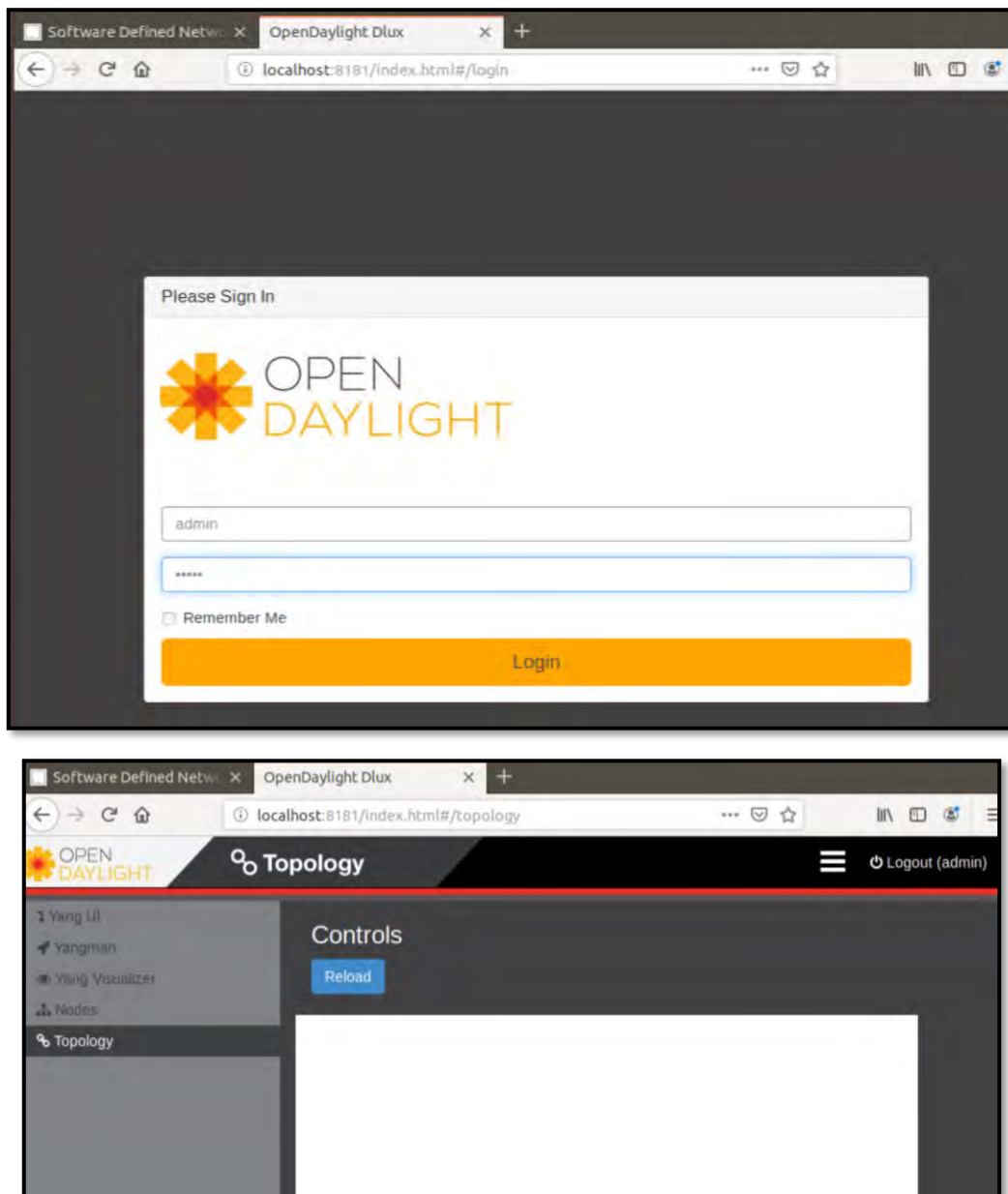
<sup>55</sup> Apache Karaf: <https://karaf.apache.org/stories>

En caso de que no sea posible activar ciertos *features*, en especial L2Switch y DLUX (*Front-End*), se debe instalar una versión anterior de ODL como la *Nitrogen* y que funcione junto a *Java Environment 8*. Lamentablemente este es un impedimento de sacar el máximo potencial de las últimas versiones de ODL, pues se implementan en JRE 11 o superior, además de perder el soporte por parte de la comunidad *OpenDayLight* de ciertos *features* de control de infraestructura.

Para ingresar al GUI, abra un navegador y digite la siguiente URL en el equipo donde se instaló ODL:

***Localhost:8181/index.html***

Ingrese con el *user/password* de **admin/admin** tal como en la *Fig. 4-36*



**Figura 4-36 Front-End de ODL**

*Fuente: Autor*

Por otro lado, para la instalación de ONOS, se requiere de ciertos paquetes y dependencias en un equipo con Linux, por lo que se necesita acceso a Internet a través de una nube NAT en GNS3 previa su actualización (*apt-get update*) como lo visto en la Fig. 4-29 y Fig. 4-30.

Para la correcta instalación de ONOS se clonará un repositorio mediante Git a través de *Git Core*.

```
gns3@gns3:~$  
gns3@gns3:~$ sudo apt-get install git-core  
Reading package lists... Done  
Building dependency tree  
Reading state information... Done  
Note, selecting 'git' instead of 'git-core'  
Suggested packages:  
  git-daemon-run | git-daemon-sysvinit git-doc git-el git-email git-gui gitk  
  gitweb git-cvs git-mediawiki git-svn  
The following packages will be upgraded:  
  git  
1 upgraded, 0 newly installed, 0 to remove and 457 not upgraded.  
Need to get 3,916 kB of archives.  
After this operation, 73.7 kB of additional disk space will be used.  
Get:1 http://cd.archive.ubuntu.com/ubuntu bionic-updates/main amd64 git amd64 1  
2.17.1-1ubuntu0.8 [3,916 kB]  
25% [1 git 1,217 kB/3,916 kB 31%]
```

**Figura 4-37 Instalación de Git Core - ONOS**  
Fuente: Autor

ONOS requiere de *Maven*<sup>56</sup> o *Buck*<sup>57</sup> para compilar, gestionar y añadir *Apps/Software* que permitan el adecuado funcionamiento de este controlador. Hay que recordar que ha sido diseñado en Apache Karaf en un ambiente JDK también.

Instalación de Maven para ONOS (En una carpeta de nombre *Applications*)

```
gns3@gns3:~$ cd ~  
gns3@gns3:~$ mkdir Applications  
gns3@gns3:~$ wget http://archive.apache.org/dist/maven/maven-3/3.3.9/binaries/ap  
ache-maven-3.3.9-bin.tar.gz  
--2021-05-31 16:44:16-- http://archive.apache.org/dist/maven/maven-3/3.3.9/bina  
ries/apache-maven-3.3.9-bin.tar.gz  
Resolving archive.apache.org (archive.apache.org)... 138.201.131.134, 2a01:4f8:1  
72:2ec5::2  
Connecting to archive.apache.org (archive.apache.org)|138.201.131.134|:80... con  
nected.  
HTTP request sent, awaiting response... 200 OK  
Length: 8491533 (8.1M) [application/x-gzip]  
Saving to: 'apache-maven-3.3.9-bin.tar.gz'  
  
apache-maven-3.3.9- 100%[======>] 8.10M 1.60MB/s in 5.1s  
2021-05-31 16:44:22 (1.60 MB/s) - 'apache-maven-3.3.9-bin.tar.gz' saved [8491533  
/8491533]  
gns3@gns3:~$ tar -zxvf apache-maven-3.3.9-bin.tar.gz -C ../Applications/
```

**Figura 4-38 Instalación de Maven - ONOS**  
Fuente: Autor

<sup>56</sup> Maven: <https://maven.apache.org/>

<sup>57</sup> Buck: <https://buck.build/> - Sistema para realizar *builds* de apps creado por Facebook.

En cuanto al ambiente JDK, se requiere de Java 8/11 y de establecer la variable de entorno JAVA\_HOME tal como se muestra en la Fig. 4-39.

```
gns3@gns3:~$ sudo apt-get install software-properties-common -y
Reading package lists... Done
Building dependency tree
Reading state information... Done
The following additional packages will be installed:
  python3-software-properties software-properties-gtk
The following packages will be upgraded:
  python3-software-properties software-properties-common software-properties-gtk
3 upgraded, 0 newly installed, 0 to remove and 454 not upgraded.
Need to get 96.7 kB of archives.
After this operation, 0 B of additional disk space will be used.
Get:1 http://cd.archive.ubuntu.com/ubuntu bionic-updates/main amd64 software-propertie
s-common all 0.96.24.32.14 [10.1 kB]
```

```
gns3@gns3:~$ sudo add-apt-repository ppa:webupd8team/java -y
Get:1 http://ppa.launchpad.net/webupd8team/java/ubuntu bionic InRelease [15.4 kB]
Hit:2 http://cd.archive.ubuntu.com/ubuntu bionic InRelease
Hit:3 http://cd.archive.ubuntu.com/ubuntu bionic-updates InRelease
Hit:4 http://cd.archive.ubuntu.com/ubuntu bionic-backports InRelease
Hit:5 http://cd.archive.ubuntu.com/ubuntu bionic-security InRelease
Fetched 15.4 kB in 2s (6,458 B/s)
```

\*Realizar un `apt-get update` luego del comando anterior

```
gns3@gns3:~$ sudo apt-get install openjdk-8-jdk -y
Reading package lists... Done
Building dependency tree
Reading state information... Done
The following additional packages will be installed:
  ca-certificates-java fonts-dejavu-extra java-common libatk-wrapper-java
  libatk-wrapper-java-jni libgail-common libgail18 libgif7 libgtk2.0-0 libgtk2.0-bin
  libgtk2.0-common libice-dev libpthread-stubs0-dev libsm-dev libx11-6 libx11-dev
  libx11-doc libxau-dev libxau6 libxcb1-dev libxdmcp-dev libxt-dev
```

**Figura 4-39 Instalación de JDK - ONOS**  
Fuente: Autor

Para verificar la correcta instalación de Java, usar el comando de la Fig. 4-40.

```
gns3@gns3:~$ java -version
openjdk version "1.8.0_292"
OpenJDK Runtime Environment (build 1.8.0_292-8u292-b10-0ubuntu1-18.04-b10)
OpenJDK 64-Bit Server VM (build 25.292-b10, mixed mode)
gns3@gns3:~$ update-alternatives --config java
There is only one alternative in link group java (providing /usr/bin/java): /usr/lib/jvm/
java-8-openjdk-amd64/jre/bin/java
Nothing to configure.
```

**Figura 4-40 Comprobación de la versión instalada de JDK - ONOS**  
Fuente: Autor

Al completar la instalación de Java, es requerido establecer la variable de entorno JAVA\_HOME.

```
gns3@gns3:~$ export JAVA_HOME=/usr/lib/jvm/java-8-openjdk-amd64/
gns3@gns3:~$
gns3@gns3:~$ env | grep JAVA_HOME
JAVA_HOME=/usr/lib/jvm/java-8-openjdk-amd64/
```

**Figura 4-41 Estableciendo variable de entorno JAVA\_HOME - ONOS**  
Fuente: Autor

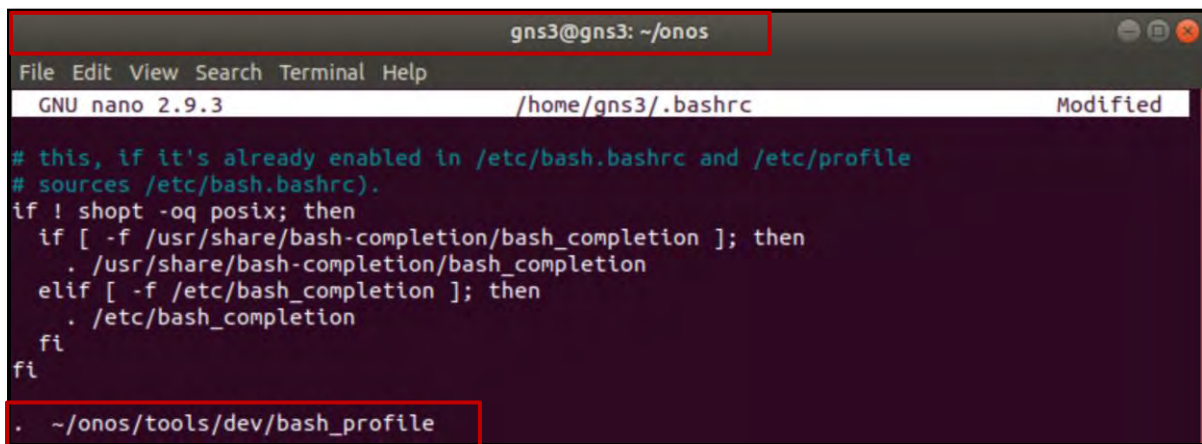
Para la descarga de ONOS, se clonará el repositorio de dicho proyecto de *Onos Project*:

```
gns3@gns3:~$ git clone https://gerrit.onosproject.org/onos
Cloning into 'onos'...
remote: Counting objects: 245, done
remote: Finding sources: 100% (603936/603936)
remote: Total 603936 (delta 240026), reused 603883 (delta 240026)
Receiving objects: 100% (603936/603936), 181.93 MiB | 9.08 MiB/s, done.
Resolving deltas: 100% (240026/240026), done.
Checking out files: 100% (11391/11391), done.
gns3@gns3:~$ cd onos
gns3@gns3:~/onos$ git checkout master
Already on 'master'
Your branch is up to date with 'origin/master'.
gns3@gns3:~/onos$
```

*Figura 4-42 Clonación de Onos Project*  
Fuente: Autor

ONOS posee un archivo denominado *bash\_profile* para configurar sus variables de entorno. En ese archivo se debe editar con **nano** `~/bashrc` e incluir al final la siguiente línea.

`. ~/onos/tools/dev/bash_profile`



```
gns3@gns3: ~/onos
File Edit View Search Terminal Help
GNU nano 2.9.3 /home/gns3/.bashrc Modified
# this, if it's already enabled in /etc/bash.bashrc and /etc/profile
# sources /etc/bash.bashrc).
if ! shopt -oq posix; then
  if [ -f /usr/share/bash-completion/bash_completion ]; then
    . /usr/share/bash-completion/bash_completion
  elif [ -f /etc/bash_completion ]; then
    . /etc/bash_completion
  fi
fi
. ~/onos/tools/dev/bash_profile
```

*Figura 4-43 Edición de archivo bashrc - ONOS*  
Fuente: Autor

Una vez realizado ello, las variables de entorno de ONOS, Maven y Karaf deben estar definidas:

```
gns3@gns3:~/onos$ nano ~/.bashrc
gns3@gns3:~/onos$
gns3@gns3:~/onos$ . ~/.bashrc
gns3@gns3:~/onos$
gns3@gns3:~/onos$ env | grep ONOS_ROOT
ONOS_ROOT=/home/gns3/onos
gns3@gns3:~/onos$ env | grep MAVEN
MAVEN=/home/gns3/Applications/apache-maven-3.3.9
gns3@gns3:~/onos$
gns3@gns3:~/onos$ env | grep KARAF_ROOT
gns3@gns3:~/onos$
gns3@gns3:~/onos$ export KARAF_ROOT=/home/gns3/Applications/apache-karaf-3.0.8
gns3@gns3:~/onos$ env | grep KARAF_ROOT
KARAF_ROOT=/home/gns3/Applications/apache-karaf-3.0.8
```

*Figura 4-44 Variables de entorno de ONOS, Maven y Karaf*  
Fuente: Autor

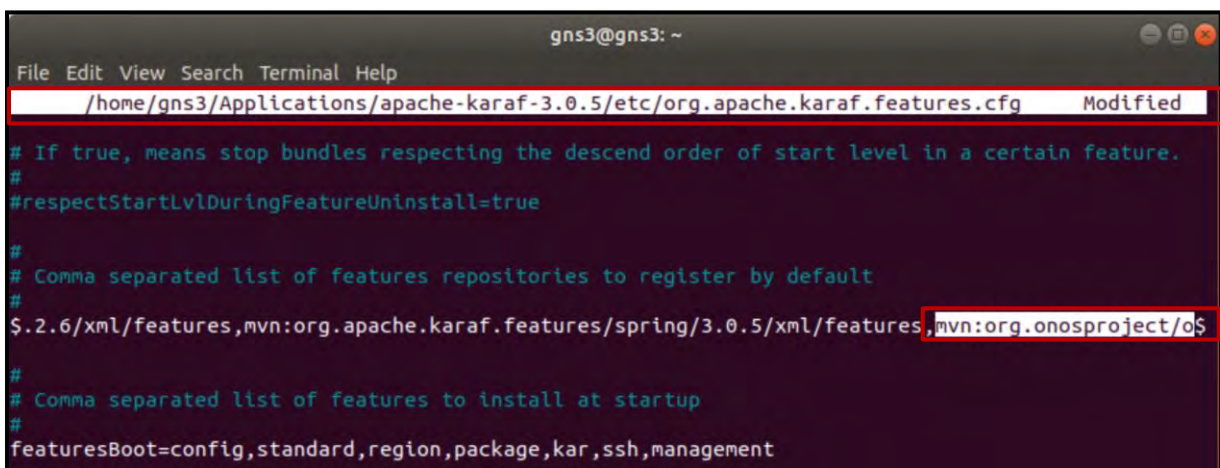
En la etapa final de la configuración de ONOS se realiza un *Build* y *Deploy*.

Para ello, es necesario editar el *Features Repositories* con el proceso mostrado en la Fig. 4-45:

```
gns3@gns3:~/onos$ clear
gns3@gns3:~/onos$
gns3@gns3:~/onos$ cd ..
gns3@gns3:~$
gns3@gns3:~$ nano /home/gns3/Applications/apache-karaf-3.0.5/etc/org.apache.karaf.features.cfg
gns3@gns3:~$
gns3@gns3:~$
```

Añadir la siguiente línea con una coma antes en la ubicación mostrada:

**mvn:org.onosproject/onos-features/1.10.0-SNAPSHOT/xml/features**



```
gns3@gns3: ~
File Edit View Search Terminal Help
/home/gns3/Applications/apache-karaf-3.0.5/etc/org.apache.karaf.features.cfg Modified
# If true, means stop bundles respecting the descend order of start level in a certain feature.
#
#respectStartLvlDuringFeatureUninstall=true
#
# Comma separated list of features repositories to register by default
#
$.2.6/xml/features,mvn:org.apache.karaf.features/spring/3.0.5/xml/features,mvn:org.onosproject/o$
#
# Comma separated list of features to install at startup
#
featuresBoot=config,standard,region,package,kar,ssh,management
```

*Figura 4-45 Proceso previo a realizar el Build de ONOS*  
*Fuente: Autor*

ONOS está diseñado en *Bazel*<sup>58</sup>, por lo que también debe ser instalado:

```
gns3@gns3:~$ sudo apt install apt-transport-https curl gnupg
[sudo] password for gns3:
Reading package lists... Done
Building dependency tree
Reading state information... Done
The following additional packages will be installed:
  dirmngr gnupg-l10n gnupg-utils gpg gpg-agent gpg-wks-client gpg-wks-server
  gpgconf gpgsm gpgv libcurl4
Suggested packages:
  tor parcimonie xloadimage sdaemon
The following NEW packages will be installed:
  apt-transport-https
The following packages will be upgraded:
  curl dirmngr gnupg gnupg-l10n gnupg-utils gpg gpg-agent gpg-wks-client
  gpg-wks-server gpgconf gpgsm gpgv libcurl4
13 upgraded, 1 newly installed, 0 to remove and 439 not upgraded.
Need to get 2,530 kB of archives.
After this operation, 178 kB of additional disk space will be used.
Do you want to continue? [Y/n]
```

<sup>58</sup> Bazel: <https://bazel.build/>

```

gns3@gns3:~$ curl -fsSL https://bazel.build/bazel-release.pub.gpg | gpg --dearmor
r > bazel.gpg
gns3@gns3:~$
gns3@gns3:~$ sudo mv bazel.gpg /etc/apt/trusted.gpg.d/
gns3@gns3:~$
gns3@gns3:~$ echo "deb [arch=amd64] https://storage.googleapis.com/bazel-apt stable
jdk1.8" | sudo tee /etc/apt/sources.list.d/bazel.list
deb [arch=amd64] https://storage.googleapis.com/bazel-apt stable jdk1.8
gns3@gns3:~$

gns3@gns3:~$
gns3@gns3:~$ sudo apt update && sudo apt install bazel
Hit:1 http://cd.archive.ubuntu.com/ubuntu bionic InRelease
Get:2 https://storage.googleapis.com/bazel-apt stable InRelease [2,256 B]
Get:3 http://cd.archive.ubuntu.com/ubuntu bionic-updates InRelease [88.7 kB]
Hit:4 http://ppa.launchpad.net/webupd8team/java/ubuntu bionic InRelease
Get:5 http://cd.archive.ubuntu.com/ubuntu bionic-backports InRelease [74.6 kB]
Get:6 http://cd.archive.ubuntu.com/ubuntu bionic-security InRelease [88.7 kB]
Get:7 https://storage.googleapis.com/bazel-apt stable/jdk1.8 amd64 Packages [6,0
77 B]
Fetched 260 kB in 2s (122 kB/s)
Reading package lists... 98%

```

**Figura 4-46 Proceso de instalación de Bazel – ONOS**  
Fuente: Autor

Con el propósito de realizar el *Build* de ONOS, Maven requiere de la existencia de un archivo POM (*Project Object Model*), el cual es un archivo escrito en XML que indica el proceso general de instalación.

La ubicación del archivo POM de Maven es en el *path*:

**`/home/gns3/onos/tools/build`**

De ese *path* hay que copiar a:

**`/home/gns3/onos/`**

```

gns3@gns3:~/onos/tools/build$ cp pom.xml /home/gns3/onos
gns3@gns3:~/onos/tools/build$

```

**Figura 4-47 Copia de archivo POM (Maven) – ONOS**  
Fuente: Autor

Realizar un *clean install* de ONOS:

```

gns3@gns3:~$ cd onos
gns3@gns3:~/onos$ ls
apps  CODE_OF_CONDUCT.md  Dockerfile  LICENSE.txt  pom.xml  README.md  utils
BUILD  core                 docs        models       protocols  RELEASES.md  web
cli   deps                drivers     pipelines    providers  tools        WORKSPACE
gns3@gns3:~/onos$ mvn clean install
[INFO] Scanning for projects...
[INFO]
[INFO] -----
[INFO] Building onos-base 2
[INFO] -----
[INFO]
[INFO] --- maven-clean-plugin:2.5:clean (default-clean) @ onos-base ---

```

**Figura 4-48 Clean Install – ONOS**  
Fuente: Autor

Cambie la dirección IP de ONOS a la asignada para el PoC (192.168.10.11/24), así como se debe agregar unos Apps para que se instalen una vez corra ONOS:

```
gns3@gns3:~/onos$ export ONOS_IP=192.168.10.11
gns3@gns3:~/onos$ export ONOS_NIC=192.168.10.*
gns3@gns3:~/onos$
gns3@gns3:~/onos$ export ONOS_APPS=drivers,openflow,proxyarp,mobility,fwd
gns3@gns3:~/onos$
```

Figura 4-49 Designación de IP a controlador - ONOS  
Fuente: Autor

Arranque el servicio de ONOS (Preste atención a la versión de Bazel):

```
gns3@gns3:~/onos$
gns3@gns3:~/onos$ ok clean
ERROR: The project you're trying to build requires Bazel 3.7.2 (specified in /home/gns3/onos/.bazelversion), but it wasn't found in /usr/bin.

You can install the required Bazel version via apt:
sudo apt update && sudo apt install bazel-3.7.2

If this doesn't work, check Bazel's installation instructions for help:
https://docs.bazel.build/versions/master/install-ubuntu.html
gns3@gns3:~/onos$ sudo apt update && sudo apt install bazel-3.7.2
Hit:1 https://storage.googleapis.com/bazel-apt stable InRelease
Hit:2 http://cd.archive.ubuntu.com/ubuntu bionic InRelease
Hit:3 http://ppa.launchpad.net/webupd8team/java/ubuntu bionic InRelease
Get:4 http://cd.archive.ubuntu.com/ubuntu bionic-updates InRelease [88.7 kB]
Get:5 http://cd.archive.ubuntu.com/ubuntu bionic-backports InRelease [74.6 kB]
Get:6 http://cd.archive.ubuntu.com/ubuntu bionic-security InRelease [88.7 kB]
Fetched 252 kB in 2s (116 kB/s)
Reading package lists... 6%
```

Figura 4-50 Instalación de la versión adecuada de Bazel - ONOS  
Fuente: Autor

Corrigiendo el error de la versión de Bazel, tomará un tiempo el arranque inicial (**ok clean**).

Debe tener instalado *Python* de igual manera:

```
sudo apt-get install ssh git curl zip unzip python python3 bzip2
sudo apt-get install pkg-config g++ zlib1g-dev
```

```
gns3@gns3:~/onos$ ok clean
WARNING: Running Bazel server needs to be killed, because the startup options are different.
Starting local Bazel server and connecting to it...
INFO: Analyzed target //:onos-local (1665 packages loaded, 52539 targets configured).
INFO: Found 1 target...
INFO: From Building utils/misc/libonlab-misc-native-class.jar (203 source files):
utils/misc/src/main/java/org/onlab/util/RichComparable.java:25: warning: [ComparableType] Type of Comparable (T) is not the same as implementing class (RichComparable<T>).
public interface RichComparable<T> extends Comparable<T> {
    ^
(see https://errorprone.info/bugpattern/ComparableType)
[814 / 1,318] .../app:onos-apps-openstacknetworking-app_swagger_java; 0s linux-sandbox
```

Figura 4-51 Arranque del controlador ONOS (ok clean) en carpeta ONOS  
Fuente: Autor

Al correr ONOS, se podrá acceder a la configuración y a la GUI de este controlador.

```
gns3@gns3:~$ onos localhost
Welcome to Open Network Operating System (ONOS)!

  ONOS

Documentation: wiki.onosproject.org
Tutorials:    tutorials.onosproject.org
Mailing lists: lists.onosproject.org

Come help out! Find out how at: contribute.onosproject.org

Hit '<tab>' for a list of available commands
and '[cmd] --help' for help on a specific command.
Hit '<ctrl-d>' or type 'logout' to exit ONOS session.

gns3@root > nodes 19:56:53
id=192.168.10.11, address=192.168.10.11:9876, state=ACTIVE, version=2.6.0.328fb6
0363, updated=8m29s ago *
```

*Figura 4-52 CLI - ONOS*  
*Fuente: Autor*

Para habilitar el *front-end* de ONOS, se debe activar la App GUI2 en el CLI de ONOS:

```
gns3@gns3:~$ onos localhost
Welcome to Open Network Operating System (ONOS)!

  ONOS

Documentation: wiki.onosproject.org
Tutorials:    tutorials.onosproject.org
Mailing lists: lists.onosproject.org

Come help out! Find out how at: contribute.onosproject.org

Hit '<tab>' for a list of available commands
and '[cmd] --help' for help on a specific command.
Hit '<ctrl-d>' or type 'logout' to exit ONOS session.

gns3@root > nodes 20:10:57
id=192.168.10.11, address=192.168.10.11:9876, state=ACTIVE, version=2.6.0.328fb6
0363, updated=22m54s ago *
gns3@root > apps -s|grep gui2 20:11:29
 34 org.onosproject.gui2 2.6.0.SNAPSHOT ONOS GUI2
gns3@root > app activate org.onosproject.gui2 20:19:29
Activated org.onosproject.gui2
```

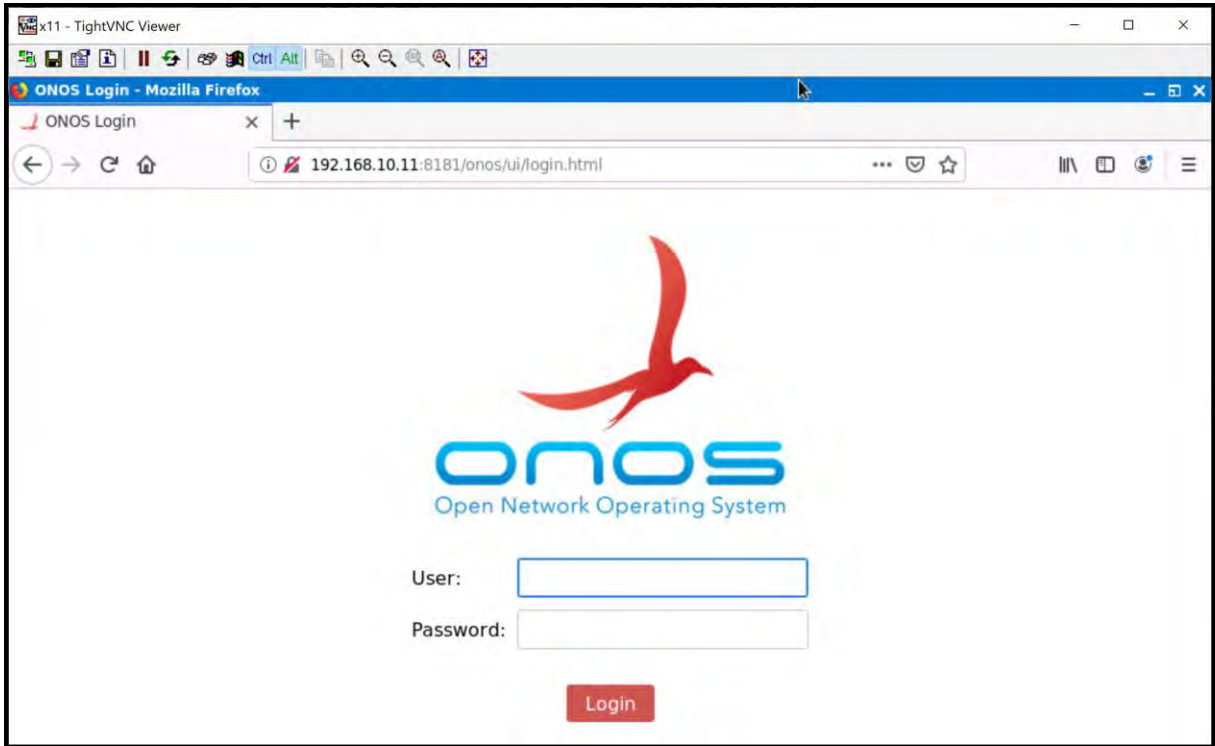
*Figura 4-53 Activación de GUI2 en CLI - ONOS*  
*Fuente: Autor*

Una vez activa la GUI, es posible entrar de forma gráfica al controlador ONOS usando las siguientes credenciales:

**onos (como usuario) y rocks (como contraseña)**

La URL de ingreso es:

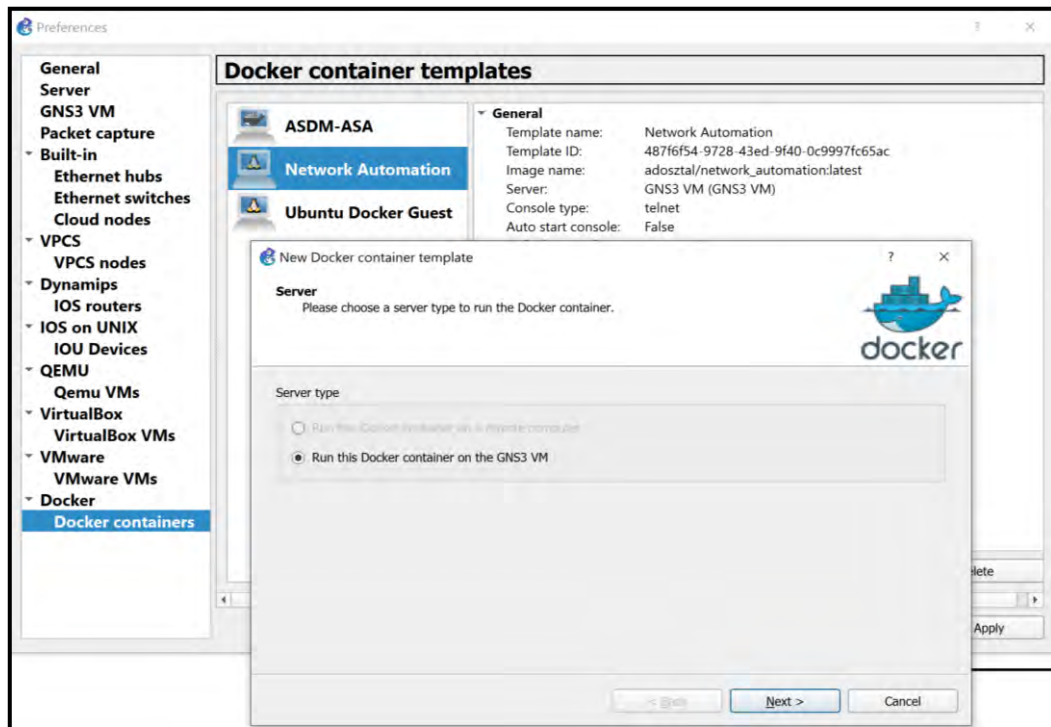
**Dir-IP-ONOS:8181/onos/ui/login.html**

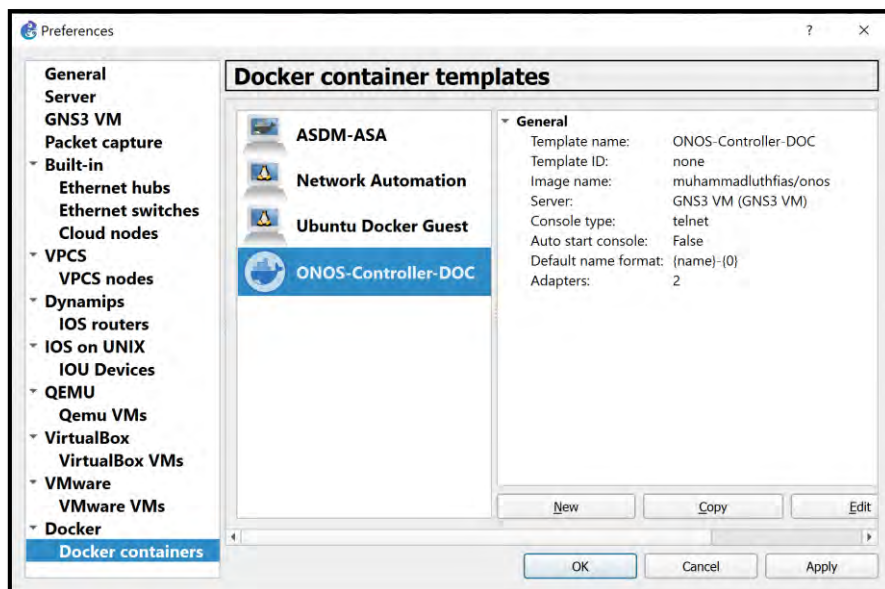
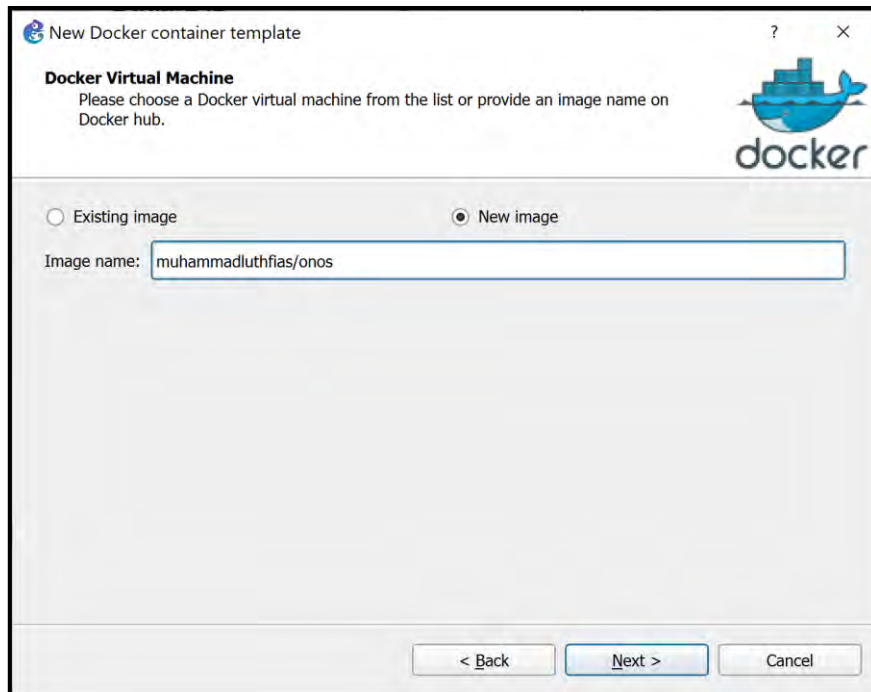


**Figura 4-54 Front-End de ONOS**  
Fuente: Autor

Si por alguna razón no se realiza con éxito el *Build*, se puede importar un *Docker* de ONOS previamente diseñado e instalarlo en GNS3-VM.

Para tener ONOS mediante un *Docker*, se instalará en GNS3 dicho *Docker Container* creado por Muhammad Luthfias. Un beneficio de hacerlo así, es que ONOS será un *appliance* de GNS3.

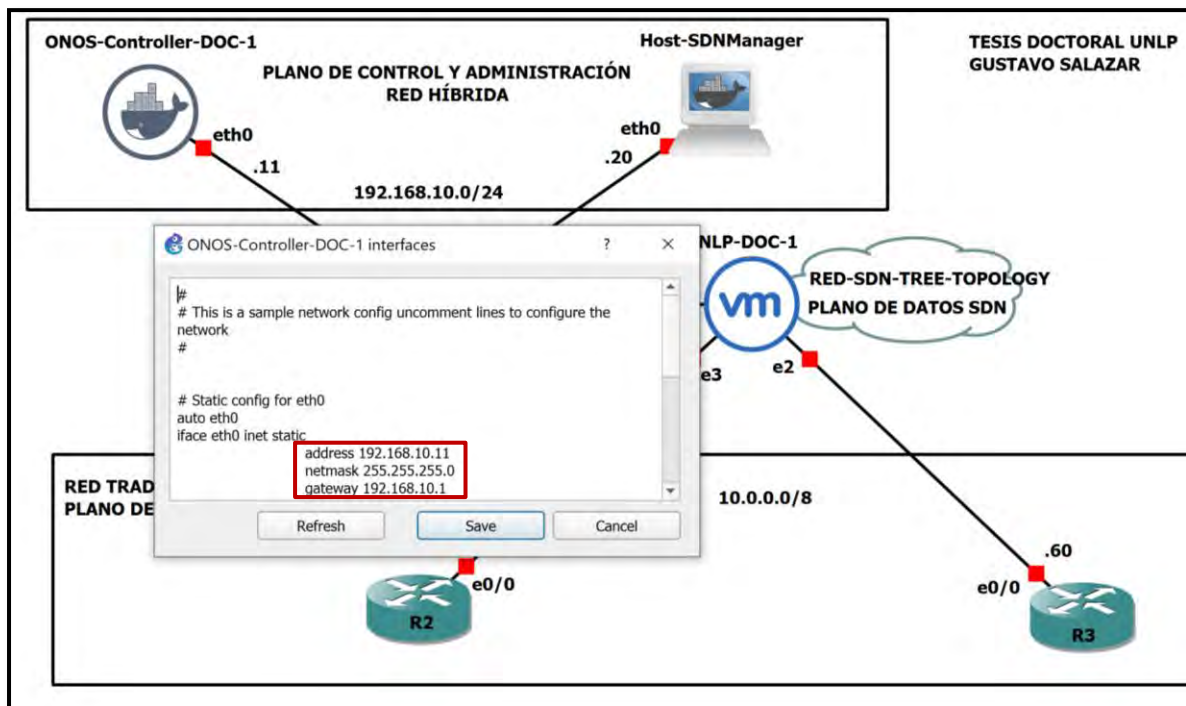




**Figura 4-55 Instalación de ONOS como Docker en GNS3-VM**  
**Fuente: Autor**

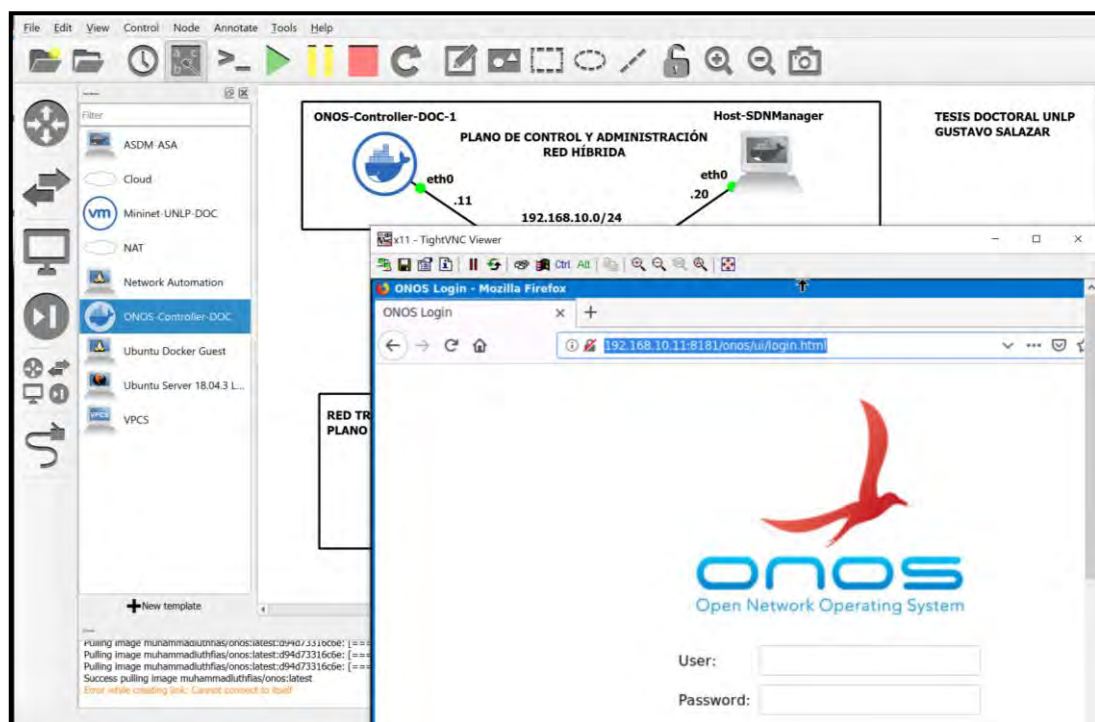
La primera vez que se arrastre el Controlador a la zona de emulación de GNS3, empezará el proceso de *pulling* del *Docker* desde el repositorio (*Docker Hub*).

Es necesario editar el direccionamiento estático de ONOS según la topología del PoC dando clic secundario sobre el dispositivo en *Edit Config* (Fig. 4-56).



**Figura 4-56 Cambio de Direccionamiento en Controlador ONOS**  
Fuente: Autor

Si la instalación concluyó exitosamente, será posible ingresar a la GUI de ONOS indicada en la URL anteriormente con los mismos usuarios y contraseña (**onos/rocks**)



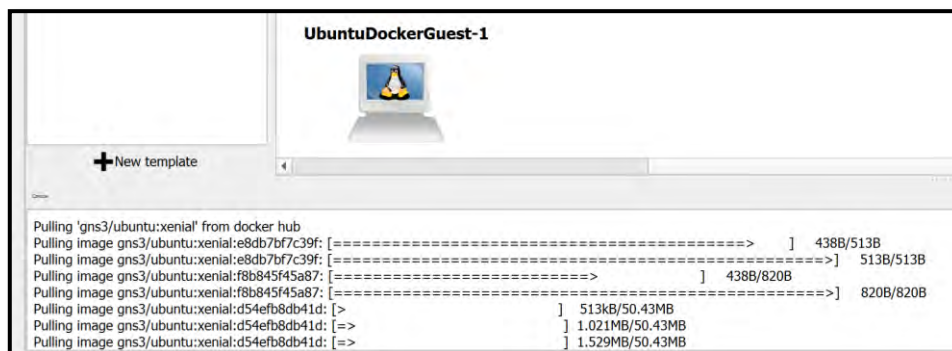
**Figura 4-57 Front-End de ONOS – Instalación en Docker de GNS3**  
Fuente: Autor

Para tener *hosts* disponibles en la PoC y acceder a la GUI de ODL/ONOS, se usarán *Dockers* de Ubuntu<sup>59</sup>, así como un Docker especial creado por la comunidad de GNS3 para entornos de seguridad<sup>60</sup>. El *Docker* de Ubuntu se puede descargar del *Marketplace* de GNS3. No está por demás decir que los *dockers* no son persistentes, por lo que su configuración se perderá en cada reinicio del emulador:



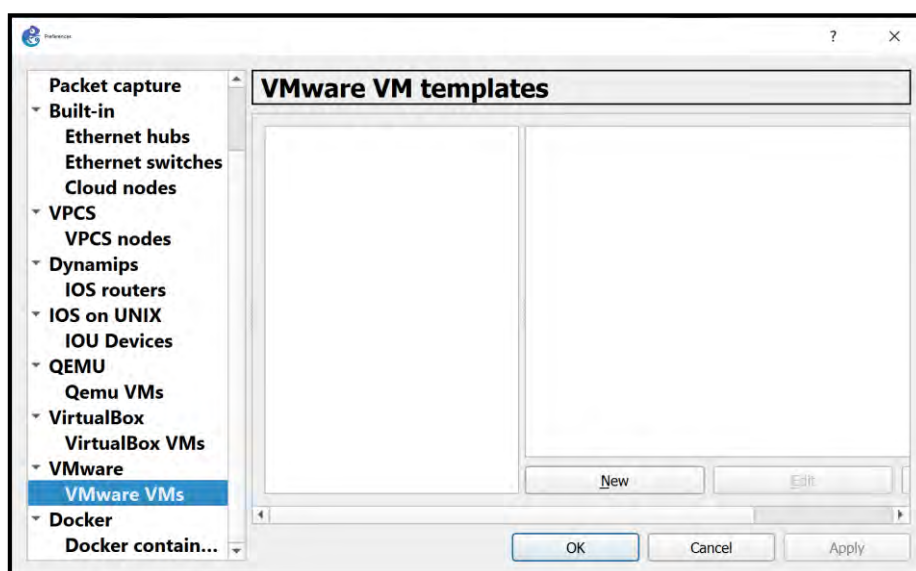
**Figura 4-58 Docker de Ubuntu para GNS3-VM**  
Fuente: Autor

La primera vez que se arrastre este *appliance* a la zona de trabajo de GNS3, se hará un proceso de descarga (*pulling*), luego del cual se tendrá un *host* CLI de Ubuntu:



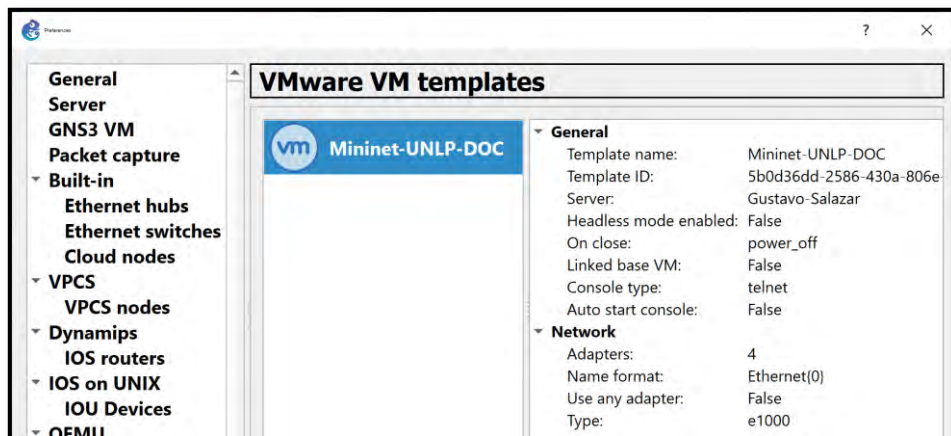
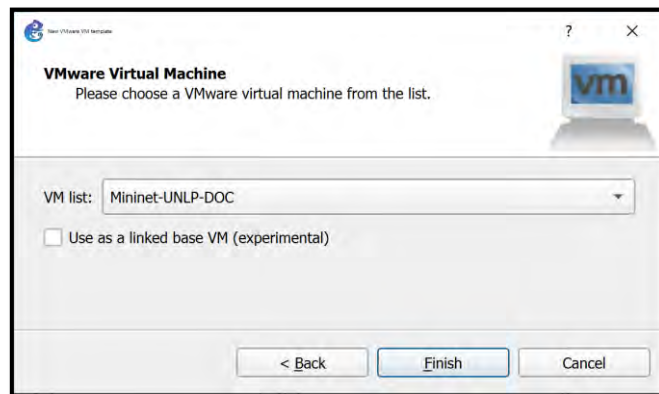
**Figura 4-59 Pull de descarga de Docker de Ubuntu para GNS3-VM**  
Fuente: Autor

Continuando con el PoC, para añadir en GNS3 a Mininet, se la agregará como una VM de VMWare adicional siguiendo los pasos generales desde Edit-Preference-VMWare mostrados en la Fig. 4-60:



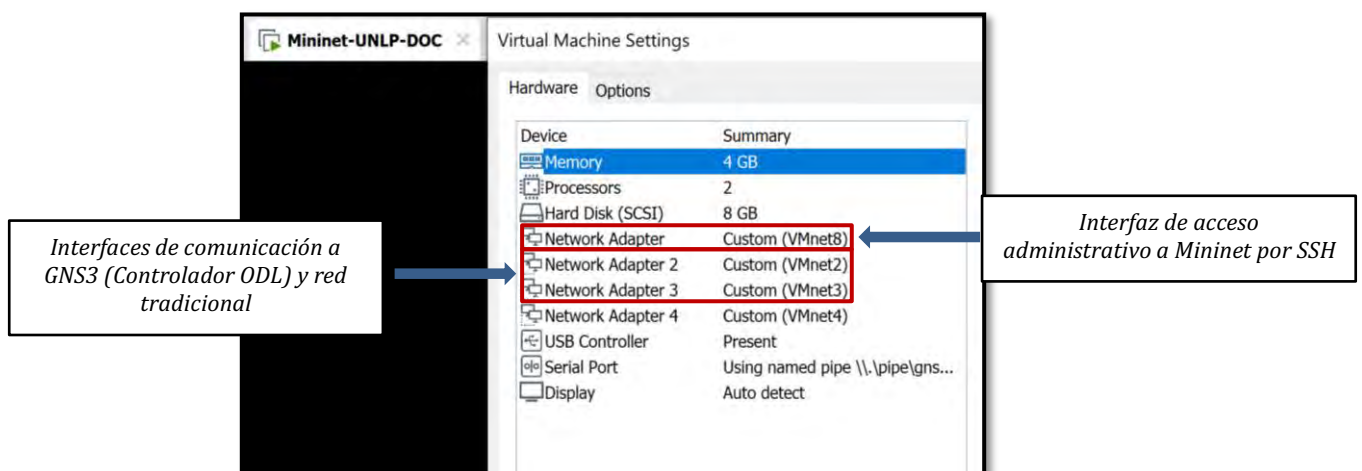
<sup>59</sup> Ubuntu Docker – GNS3 Marketplace: <https://www.gns3.com/marketplace/appliances/ubuntu>

<sup>60</sup> Docker creado por la comunidad GNS3 para entornos de seguridad (ASA): <https://www.youtube.com/watch?v=QIuZdAcLXs0>



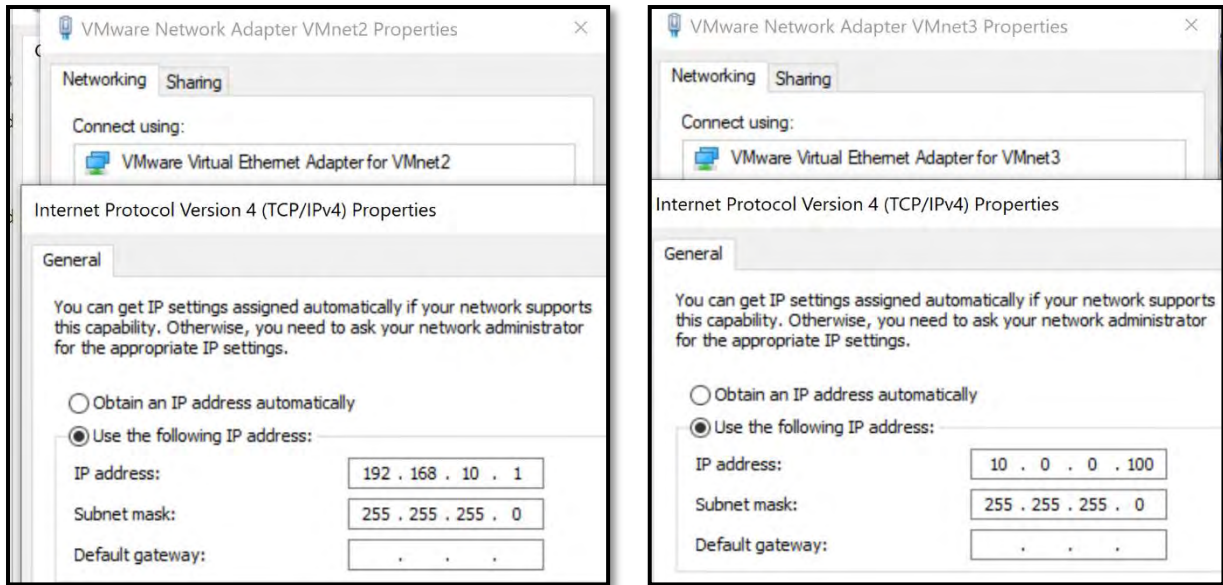
**Figura 4-60** Proceso de Carga de Mininet a GNS3-VM con 4 interfaces  
Fuente: Autor

Es importante vincular las 4 interfaces de Mininet con las interfaces virtuales generadas por VMWare con el fin de tener conectividad entre el entorno de GNS3-VM, la máquina *host* y la red emulada en Mininet. Dichas interfaces deben estar en la misma red del plano de control y plano de datos del PoC.



**Figura 4-61** Vinculación de interfaces vmnet a GNS3-VM y Mininet  
Fuente: Autor

- Dir. IP Plano de Control en el PoC ODL: 192.168.10.0/24 (vmnet 2)
- Dir. IP Plano de Datos SDN y Tradicional: 10.0.0.0/8 (vmnet 3 – vmnet 4)



**Figura 4-62 Dir. IP interfaces vmnet para PoC ODL**  
*Fuente: Autor*

Ya con todos los elementos instalados para el PoC, es posible plantear las topologías de emulación y comprobar la vinculación del entorno SDN con diversos controladores y el mundo del *networking* tradicional.

### 4.3.2 Topología y Emulación de *OpenSDN Híbrida*

La topología usada para el PoC de OpenSDN y Redes tradicionales en Mininet se indica en las Fig. 4-63 y Fig. 4-64, la cual fue diseñada con los siguientes dispositivos:

- OVS – *Open vSwitches*
- Controlador ODL (*OpenDayLight*) – Escenario 1 y Controlador ONOS – Escenario 2
- Switches L2 IOU/IOL y Routers Cisco L3 IOU/IOL

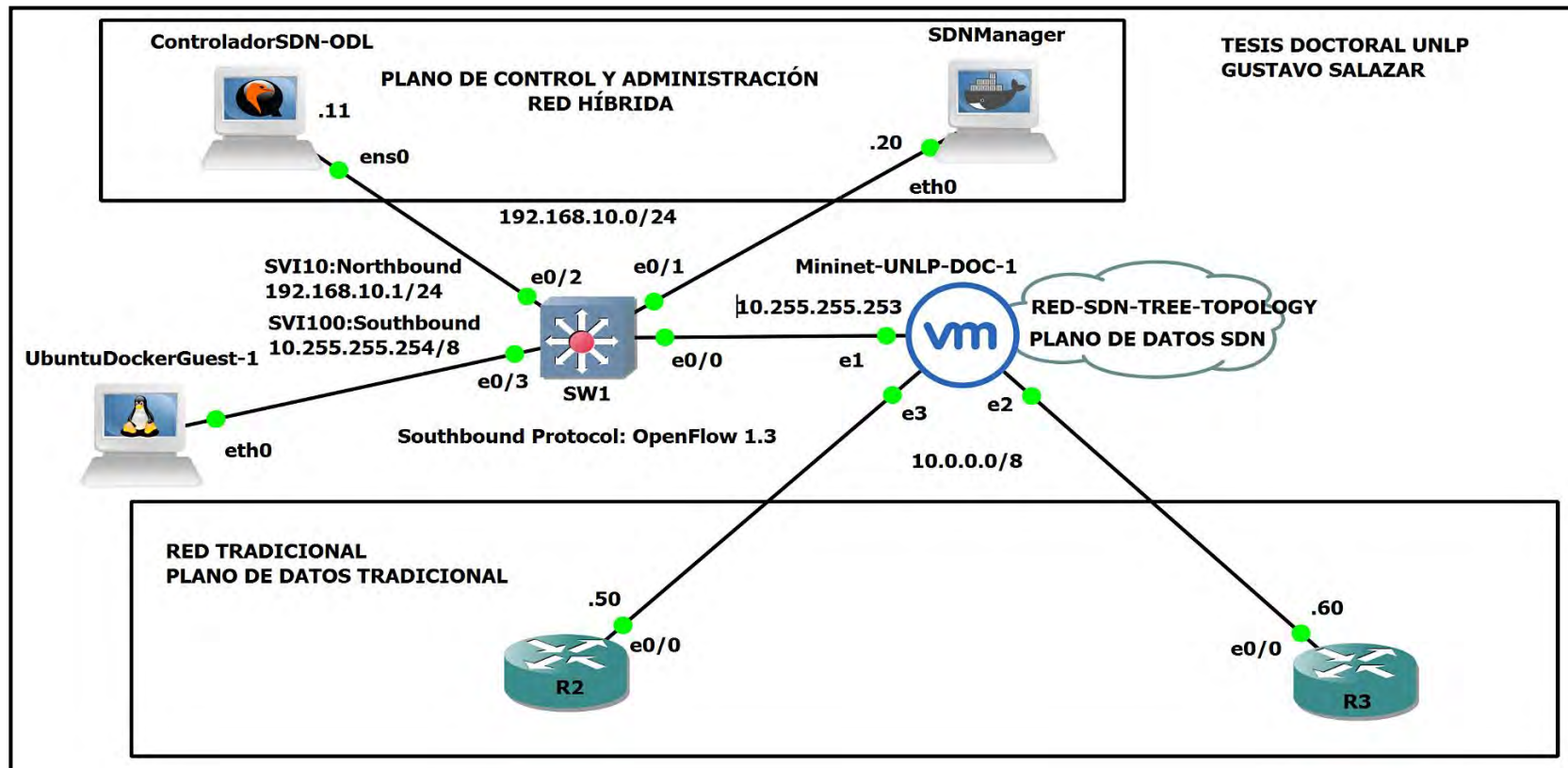


Figura 4-63 Topología PoC SDN Híbrida – Controlador ODL – Escenario 1

Fuente: Autor

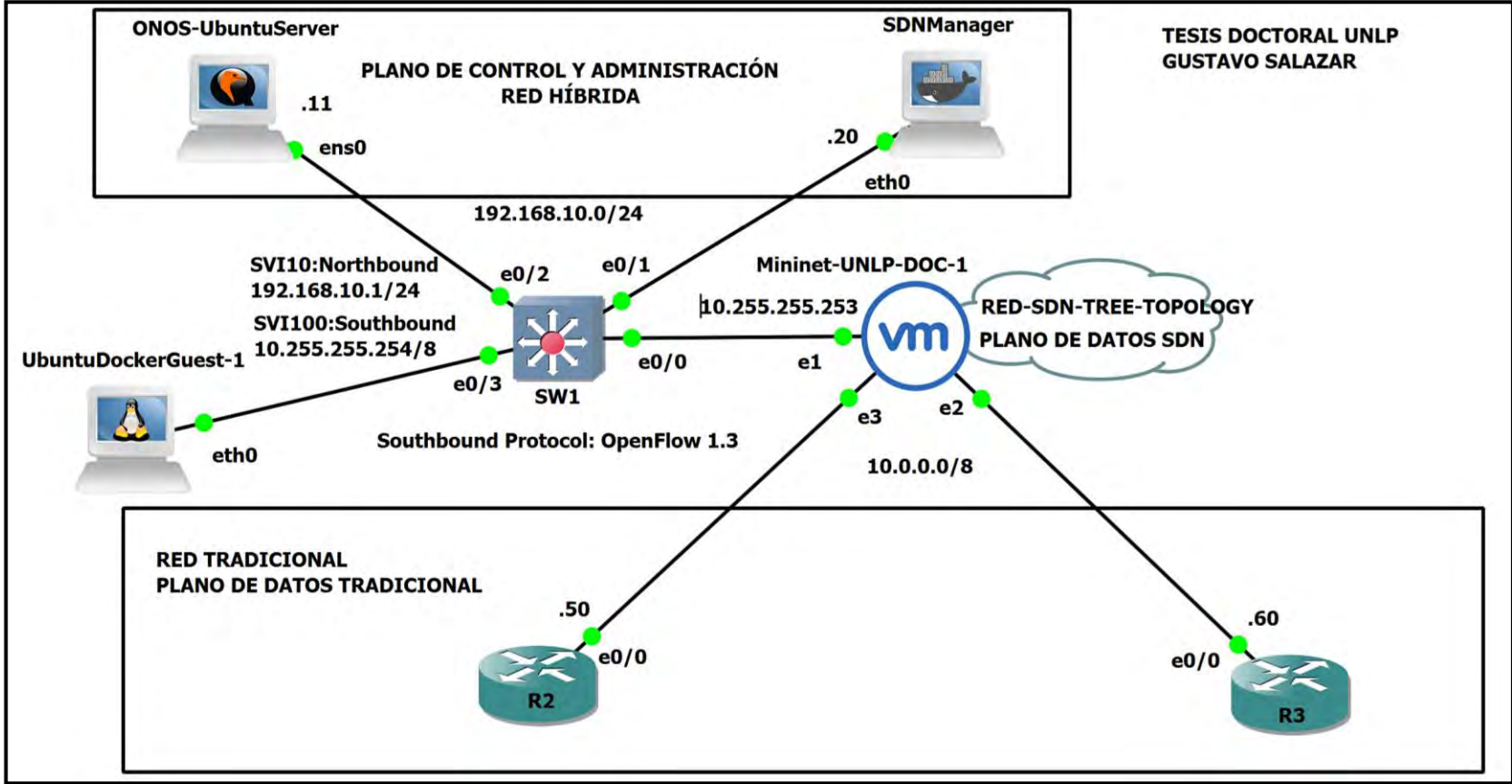


Figura 4-64 Topología PoC SDN Híbrida - Controlador ONOS - Escenario 2  
Fuente: Autor

Para la ejecución del PoC en sus dos escenarios, se ingresa a Mininet mediante SSH utilizando su dir. IP de administración (vmnet 8 – 192.168.85.149/24) y se activarán las interfaces eth1 y eth2 correspondientes a las interfaces hacia el plano de control y plano de datos respectivamente. Se recomienda inicializar primero a Mininet, luego el controlador SDN y el plano de administración y finalmente el plano de datos.

```
mininet@mininet-vm:~$
mininet@mininet-vm:~$ sudo ip link set dev eth1 up
mininet@mininet-vm:~$ sudo ip link set dev eth2 up
mininet@mininet-vm:~$ sudo ip link set dev eth3 up
mininet@mininet-vm:~$ sudo ip link set dev ovs-system up
mininet@mininet-vm:~$ sudo ip link set dev s1 up
mininet@mininet-vm:~$ sudo ip link set dev s2 up
mininet@mininet-vm:~$ sudo ip link set dev s3 up
mininet@mininet-vm:~$
mininet@mininet-vm:~$ ip addr
1: lo: <LOOPBACK,UP,LOWER_UP> mtu 65536 qdisc noqueue state UNKNOWN group default qlen 1
    link/loopback 00:00:00:00:00:00 brd 00:00:00:00:00:00
    inet 127.0.0.1/8 scope host lo
        valid_lft forever preferred_lft forever
2: eth0: <BROADCAST,MULTICAST,UP,LOWER_UP> mtu 1500 qdisc pfifo_fast state UP group default qlen 1000
    link/ether 00:0c:29:d0:e0:2c brd ff:ff:ff:ff:ff:ff
    inet 192.168.85.149/24 brd 192.168.85.255 scope global eth0
        valid_lft forever preferred_lft forever
3: eth1: <BROADCAST,MULTICAST,UP,LOWER_UP> mtu 1500 qdisc pfifo_fast state UP group default qlen 1000
    link/ether 00:0c:29:d0:e0:36 brd ff:ff:ff:ff:ff:ff
4: eth2: <BROADCAST,MULTICAST,UP,LOWER_UP> mtu 1500 qdisc pfifo_fast master ovs-system state UP group default qlen 1000
    link/ether 00:0c:29:d0:e0:40 brd ff:ff:ff:ff:ff:ff
5: eth3: <BROADCAST,MULTICAST,UP,LOWER_UP> mtu 1500 qdisc pfifo_fast state UP group default qlen 1000
    link/ether 00:0c:29:d0:e0:4a brd ff:ff:ff:ff:ff:ff
6: ovs-system: <BROADCAST,MULTICAST,UP,LOWER_UP> mtu 1500 qdisc noqueue state UNKNOWN group default qlen 1
    link/ether 0a:29:f1:9e:bf:2c brd ff:ff:ff:ff:ff:ff
7: s1: <BROADCAST,MULTICAST,UP,LOWER_UP> mtu 1500 qdisc noqueue state UNKNOWN group default qlen 1
    link/ether 00:0c:29:d0:e0:40 brd ff:ff:ff:ff:ff:ff
8: s3: <BROADCAST,MULTICAST,UP,LOWER_UP> mtu 1500 qdisc noqueue state UNKNOWN group default qlen 1
    link/ether 9a:ef:9e:31:53:46 brd ff:ff:ff:ff:ff:ff
9: s2: <BROADCAST,MULTICAST,UP,LOWER_UP> mtu 1500 qdisc noqueue state UNKNOWN group default qlen 1
    link/ether 0e:2b:05:90:1a:40 brd ff:ff:ff:ff:ff:ff
```

**Figura 4-65 Activación de interfaces en Mininet dentro de GNS3-VM para PoC ODL/ONOS**  
Fuente: Autor

Mininet debe alcanzar tanto al controlador SDN como al plano de Administración y al plano de datos físico tradicional tal como se muestra en la Fig. 4-66:

<pre>mininet@mininet-vm:~\$ ping 192.168.10.11 PING 192.168.10.11 (192.168.10.11) 56(84) bytes of data. 64 bytes from 192.168.10.11: icmp_seq=1 ttl=128 time=3.21 ms 64 bytes from 192.168.10.11: icmp_seq=2 ttl=128 time=6.23 ms 64 bytes from 192.168.10.11: icmp_seq=3 ttl=128 time=5.66 ms 64 bytes from 192.168.10.11: icmp_seq=4 ttl=128 time=6.55 ms ^C --- 192.168.10.11 ping statistics --- 4 packets transmitted, 4 received, 0% packet loss, time 3014ms rtt min/avg/max/mdev = 3.215/5.418/6.554/1.313 ms mininet@mininet-vm:~\$ mininet@mininet-vm:~\$ ping 192.168.10.20 PING 192.168.10.20 (192.168.10.20) 56(84) bytes of data. 64 bytes from 192.168.10.20: icmp_seq=1 ttl=128 time=1.83 ms 64 bytes from 192.168.10.20: icmp_seq=2 ttl=128 time=4.85 ms 64 bytes from 192.168.10.20: icmp_seq=3 ttl=128 time=4.44 ms 64 bytes from 192.168.10.20: icmp_seq=4 ttl=128 time=4.74 ms ^C --- 192.168.10.20 ping statistics --- 4 packets transmitted, 4 received, 0% packet loss, time 3010ms rtt min/avg/max/mdev = 1.830/3.969/4.859/1.247 ms</pre>	<pre>mininet@mininet-vm:~\$ ping 10.0.0.50 PING 10.0.0.50 (10.0.0.50) 56(84) bytes of data. 64 bytes from 10.0.0.50: icmp_seq=1 ttl=128 time=2.06 ms 64 bytes from 10.0.0.50: icmp_seq=2 ttl=128 time=5.57 ms 64 bytes from 10.0.0.50: icmp_seq=3 ttl=128 time=5.14 ms 64 bytes from 10.0.0.50: icmp_seq=4 ttl=128 time=5.22 ms ^C --- 10.0.0.50 ping statistics --- 4 packets transmitted, 4 received, 0% packet loss, time 3012ms rtt min/avg/max/mdev = 2.065/4.500/5.570/1.417 ms mininet@mininet-vm:~\$ mininet@mininet-vm:~\$ mininet@mininet-vm:~\$ ping 10.0.0.60 PING 10.0.0.60 (10.0.0.60) 56(84) bytes of data. 64 bytes from 10.0.0.60: icmp_seq=1 ttl=128 time=2.02 ms 64 bytes from 10.0.0.60: icmp_seq=2 ttl=128 time=5.21 ms 64 bytes from 10.0.0.60: icmp_seq=3 ttl=128 time=5.32 ms 64 bytes from 10.0.0.60: icmp_seq=4 ttl=128 time=5.14 ms ^C --- 10.0.0.60 ping statistics --- 4 packets transmitted, 4 received, 0% packet loss, time 3010ms rtt min/avg/max/mdev = 2.029/4.429/5.323/1.388 ms</pre>
---	--

**Figura 4-66 Conectividad de Mininet hacia el Plano de Control-Administración dentro de GNS3-VM en PoC ODL/ONOS**  
Fuente: Autor

Para que los *pings* sean exitosos, en Mininet se debe configurar las interfaces eth1 con la Dir. IP 10.255.255.253/8 y añadir una ruta por defecto apuntando al SW Multicapa (**sudo route add default gw 10.255.255.254**)

Para habilitar las interfaces físicas de Mininet e interactúen con los *routers* del PoC, se debe habilitar las interfaces de *Open vSwitch* de la siguiente manera:

```
mininet@mininet-vm:~$ sudo ovs-vsctl add-port s1 eth3
mininet@mininet-vm:~$ sudo ovs-vsctl add-port s2 eth2
mininet@mininet-vm:~$ sudo ovs-vsctl show
063b1597-ee6f-47f2-b09f-cf8e06c009e0
    Bridge "s3"
        Controller "tcp:192.168.10.11:6653"
            is_connected: true
        Controller "ptcp:6656"
        fail_mode: secure
        Port "s3-eth3"
            Interface "s3-eth3"
        Port "s3-eth2"
            Interface "s3-eth2"
        Port "s3-eth1"
            Interface "s3-eth1"
        Port "s3"
            Interface "s3"
```

**Figura 4-67** Habilitación de Interfaces OVS en PoC ODL/ONOS  
Fuente: Autor

Al existir conectividad entre Mininet y los planos de datos y control, se debe inicializar al controlador ODL activando *Apache Karaf* para el Escenario 1. Para el Escenario 2 basta que ONOS esté corriendo (**ok clean**).

```
gns3@gns3:~$ echo 'export JAVA_HOME=/usr/lib/jvm/java-8-openjdk-amd64/jre' >> ~/.bashrc
gns3@gns3:~$ source ~/.bashrc
gns3@gns3:~$ echo $JAVA_HOME
/usr/lib/jvm/java-8-openjdk-amd64/jre
gns3@gns3:~$ export TERM=xterm-color
gns3@gns3:~$ cd /usr/local/karaf/karaf-0.7.3/bin/
gns3@gns3:/usr/local/karaf/karaf-0.7.3/bin$ ls
aaa-cli-jar.jar          contrlb                karaf                  shell                 status.bat
client                  custom_shard_config.txt karaf.bat              shell.bat             stop
client.bat              idmtool               setenv                start                 stop.bat
configure-cluster-ipdetect.sh instance              setenv.bat            start.bat             upgrade
configure_cluster.sh    instance.bat          set_persistence.sh    status
gns3@gns3:/usr/local/karaf/karaf-0.7.3/bin$ sudo ./karaf
[sudo] password for gns3:
karaf: JAVA_HOME not set; results may vary
Apache Karaf starting up. Press Enter to open the shell now...
100% [=====]
Karaf started in 64s. Bundle stats: 376 active, 377 total
```

**Figura 4-68** Arranque de Controlador en PoC ODL  
Fuente: Autor

```
100% [=====]
Karaf started in 64s. Bundle stats: 376 active, 377 total

OpenDaylight

Hit '<tab>' for a list of available commands
and '[cmd] --help' for help on a specific command.
Hit '<ctrl-d>' or type 'system:shutdown' or 'logout' to shutdown OpenDaylight.

opendaylight-user@root>
```

**Figura 4-69** Activación de ODL (Apache Karaf) en PoC ODL  
Fuente: Autor

Ahora, se creará la red dentro de Mininet (topología SDN) apuntando a la Dir. IP del controlador ODL (192.168.10.11/24), la cual corresponde a una arquitectura tipo *Tree* de 2 niveles, con 2 *Hosts* en cada *switch* de acceso.

```
mininet@mininet-vm:~$  
mininet@mininet-vm:~$ sudo mn --topo=tree,depth=2,fanout=2 --mac --controller=remote,ip=192.168.10.11,port=6633 --switch ovs,protocols=OpenFlow13  
*** Creating network  
*** Adding controller  
*** Adding hosts:  
h1 h2 h3 h4  
*** Adding switches:  
s1 s2 s3  
*** Adding links:  
(s1, s2) (s1, s3) (s2, h1) (s2, h2) (s3, h3) (s3, h4)  
*** Configuring hosts  
h1 h2 h3 h4  
*** Starting controller  
c0  
*** Starting 3 switches  
s1 s2 s3 ...  
*** Starting CLI:  
mininet>
```

```
mininet> dump  
<Host h1: h1-eth0:10.0.0.1 pid=4379>  
<Host h2: h2-eth0:10.0.0.2 pid=4382>  
<Host h3: h3-eth0:10.0.0.3 pid=4385>  
<Host h4: h4-eth0:10.0.0.4 pid=4388>  
<OVSSwitch{'protocols': 'OpenFlow13'} s1: lo:127.0.0.1,s1-eth1:None,s1-eth2:None pid=4394>  
<OVSSwitch{'protocols': 'OpenFlow13'} s2: lo:127.0.0.1,s2-eth1:None,s2-eth2:None,s2-eth3:None pid=4397>  
<OVSSwitch{'protocols': 'OpenFlow13'} s3: lo:127.0.0.1,s3-eth1:None,s3-eth2:None,s3-eth3:None pid=4400>  
<RemoteController{'ip': '192.168.10.11', 'port': 6633} c0: 192.168.10.11:6633 pid=4373>  
mininet>  
mininet> pingall  
*** Ping: testing ping reachability  
h1 -> h2 h3 h4  
h2 -> h1 h3 h4  
h3 -> h1 h2 h4  
h4 -> h1 h2 h3  
*** Results: 0% dropped (12/12 received)  
mininet>
```

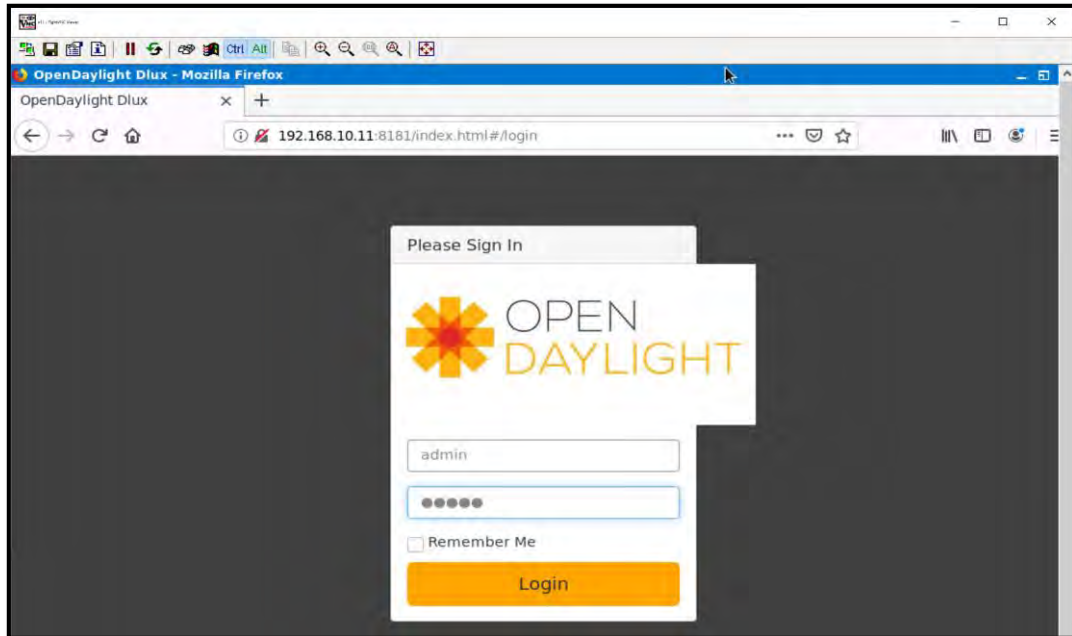
**Figura 4-70** Arranque de Mininet en PoC ODL/ONOS

Fuente: Autor

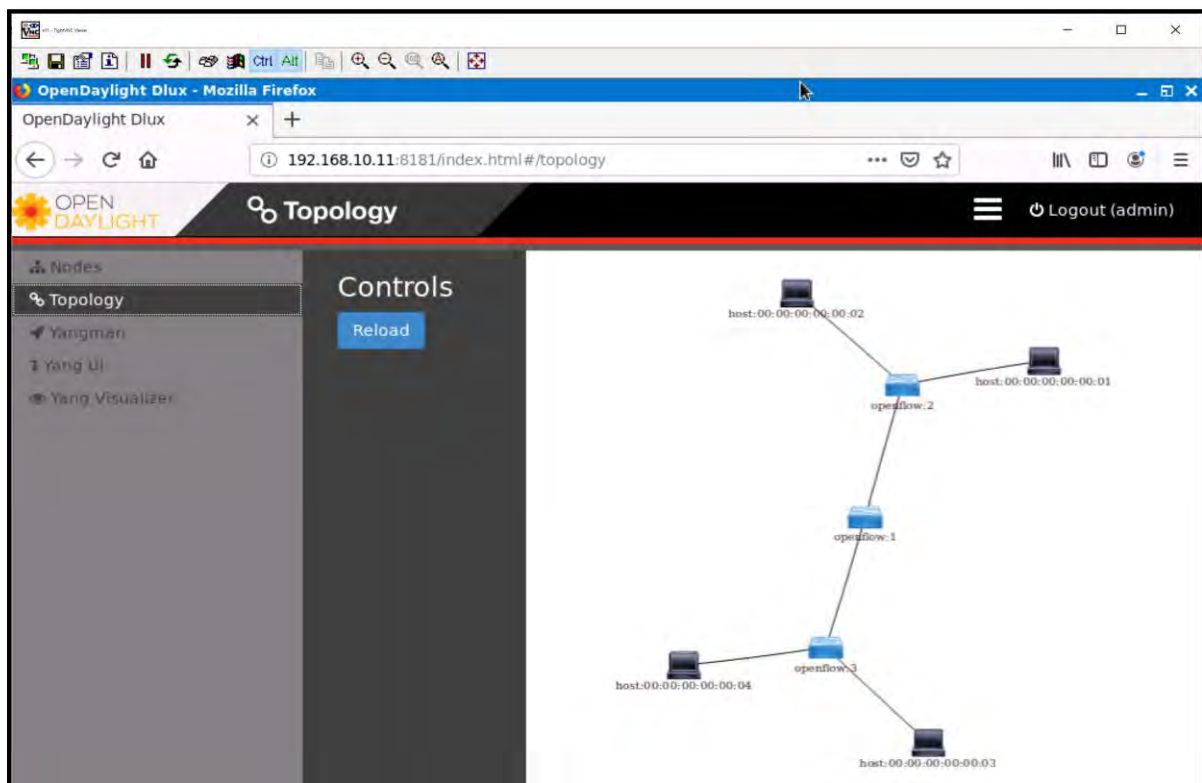
### 4.3.3 Resultados de Emulación OpenSDN Híbrida

#### Escenario 1: Controlador *OpenDayLight*

Según la topología planteada en **4.3.2 Topología y Emulación de OpenSDN Híbrida**, la ejecución del PoC fue exitosa, tal como se aprecia en las siguientes figuras:



**Figura 4-71 Ingreso al GUI de Controlador en PoC ODL**  
Fuente: Autor



**Figura 4-72 Topología descubierta por Controlador en PoC ODL**  
Fuente: Autor

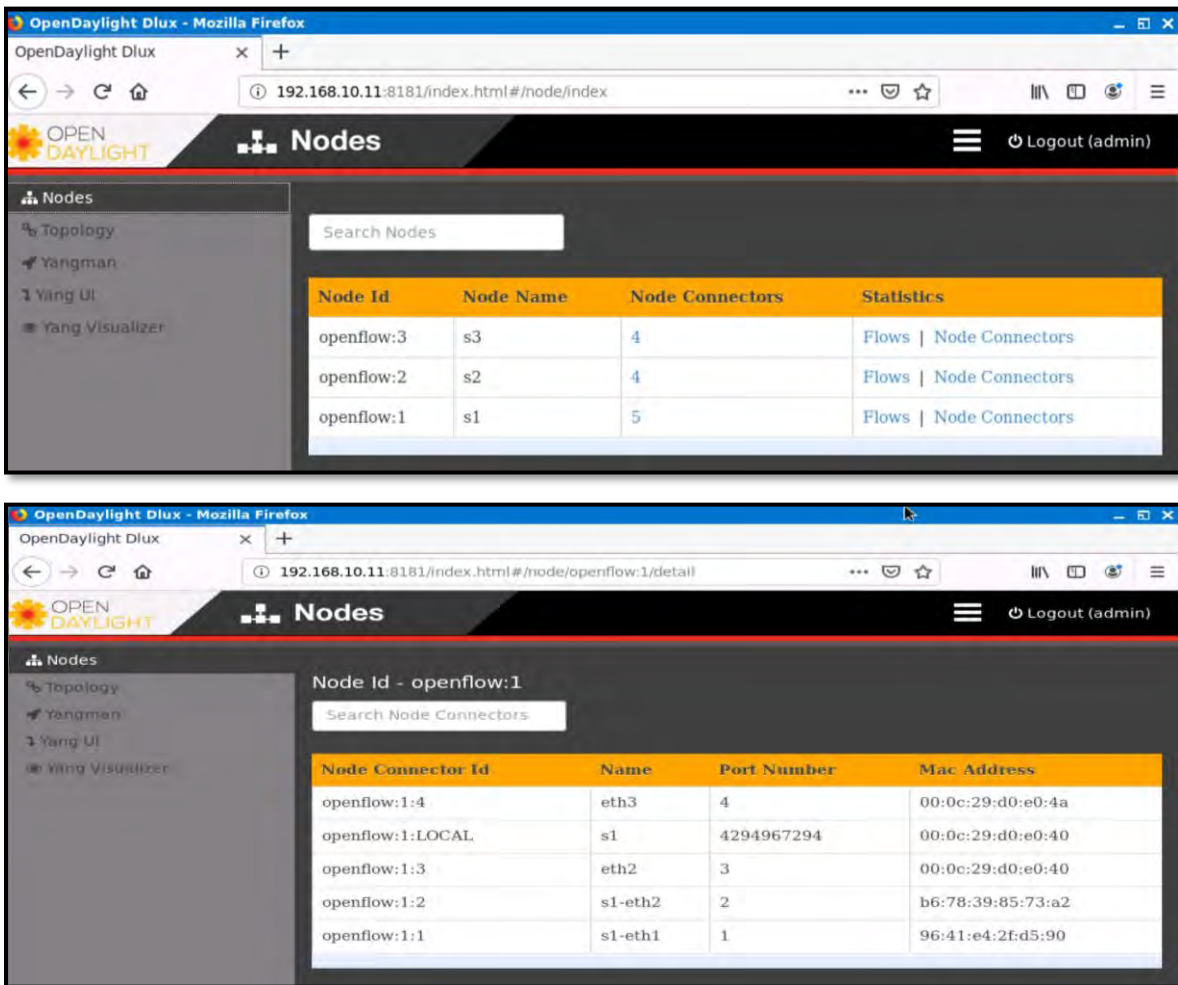
```

mininet>
mininet> dump
<Host h1: h1-eth0:10.0.0.1 pid=1440>
<Host h2: h2-eth0:10.0.0.2 pid=1443>
<Host h3: h3-eth0:10.0.0.3 pid=1446>
<Host h4: h4-eth0:10.0.0.4 pid=1449>
<OVSSwitch{'protocols': 'OpenFlow13'} s1: lo:127.0.0.1,s1-eth1:None,s1-eth2:None pid=1455>
<OVSSwitch{'protocols': 'OpenFlow13'} s2: lo:127.0.0.1,s2-eth1:None,s2-eth2:None,s2-eth3:None pid=1458>
<OVSSwitch{'protocols': 'OpenFlow13'} s3: lo:127.0.0.1,s3-eth1:None,s3-eth2:None,s3-eth3:None pid=1461>
<RemoteController{'ip': '192.168.10.11', 'port': 6633} c0: 192.168.10.11:6633 pid=1434>
mininet>
mininet> h1 ping h2
PING 10.0.0.2 (10.0.0.2) 56(84) bytes of data.
64 bytes from 10.0.0.2: icmp_seq=1 ttl=64 time=0.178 ms
64 bytes from 10.0.0.2: icmp_seq=2 ttl=64 time=0.194 ms
^C
--- 10.0.0.2 ping statistics ---
2 packets transmitted, 2 received, 0% packet loss, time 999ms
rtt min/avg/max/mdev = 0.178/0.186/0.194/0.008 ms
mininet> h1 ping h4
PING 10.0.0.4 (10.0.0.4) 56(84) bytes of data.
64 bytes from 10.0.0.4: icmp_seq=1 ttl=64 time=0.783 ms
64 bytes from 10.0.0.4: icmp_seq=2 ttl=64 time=0.155 ms
^C

```

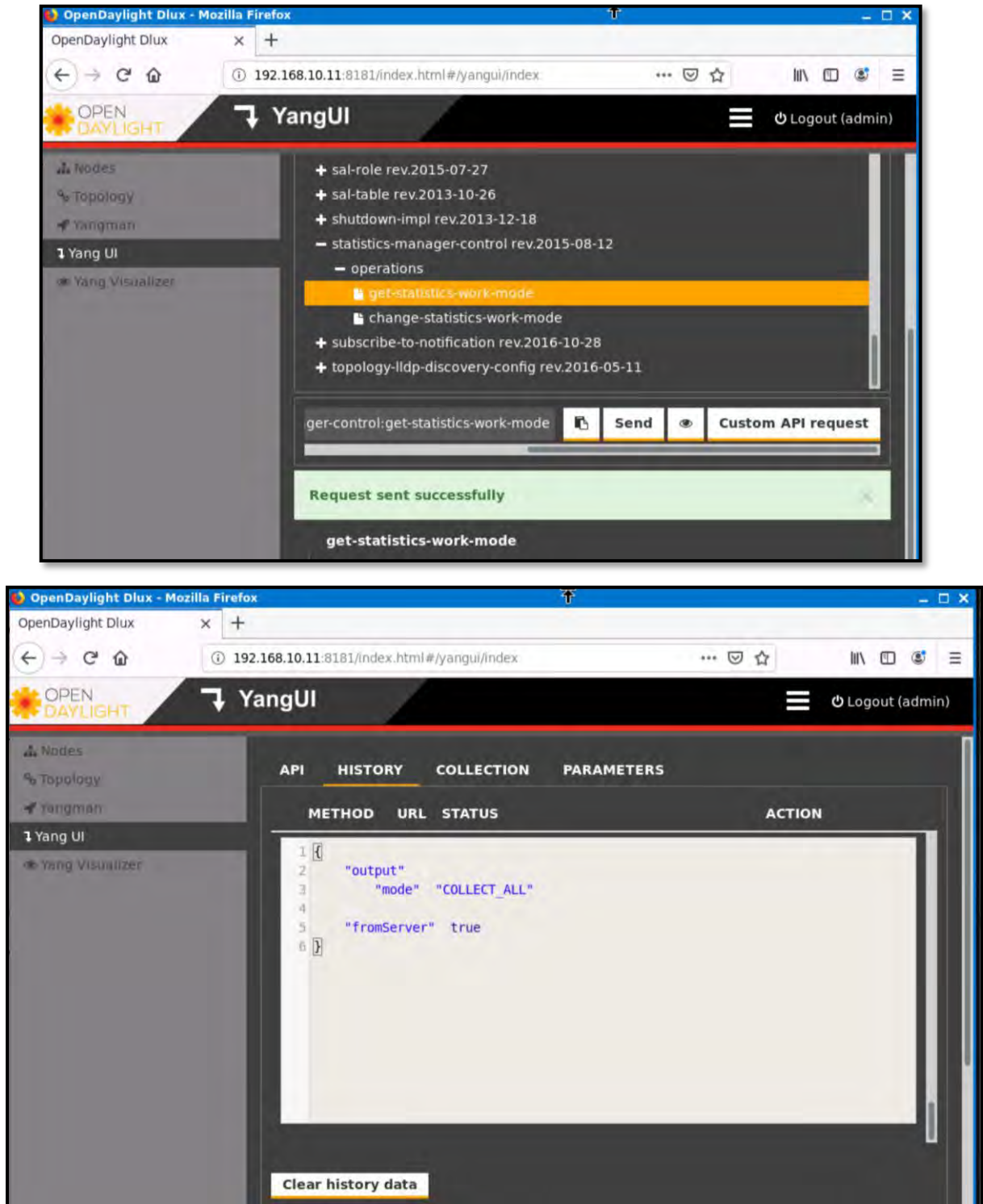
**Figura 4-73 Prueba de conectividad en Hosts de Mininet en PoC ODL**  
Fuente: Autor

ODL cuenta con herramientas gráficas para visualizar los nodos (OVSSs y enlaces)

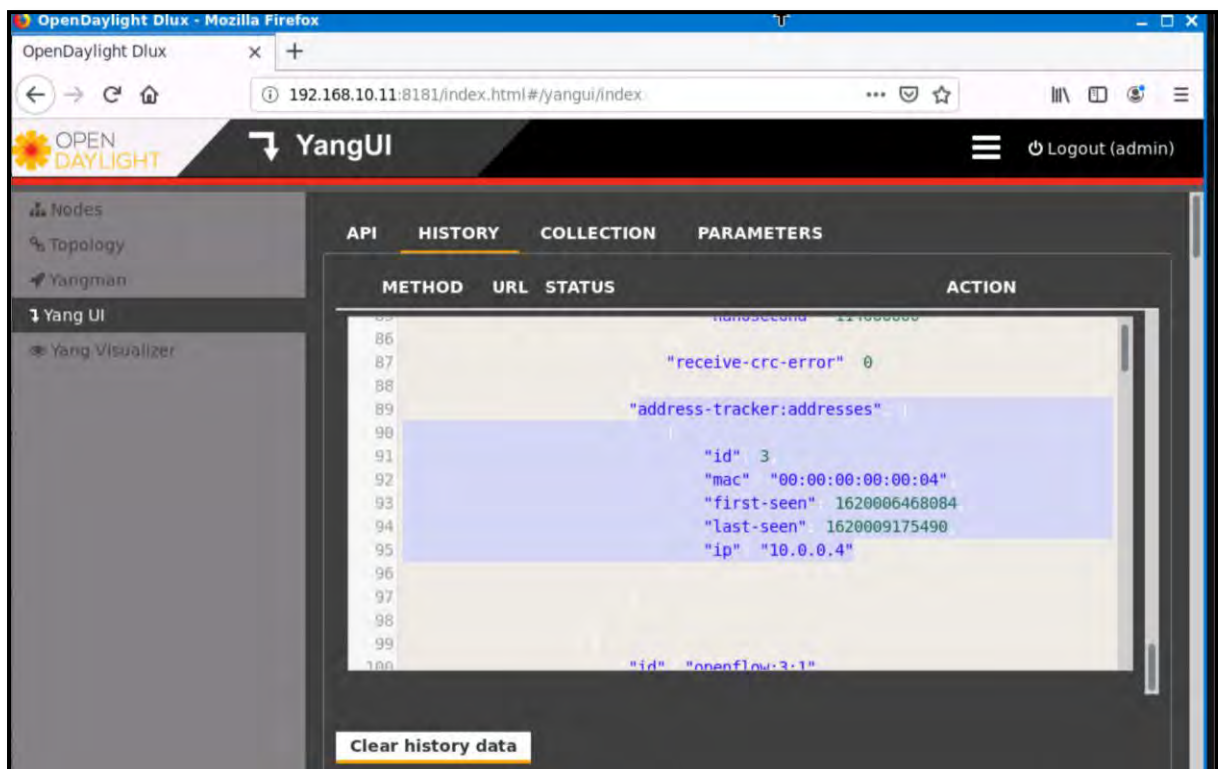
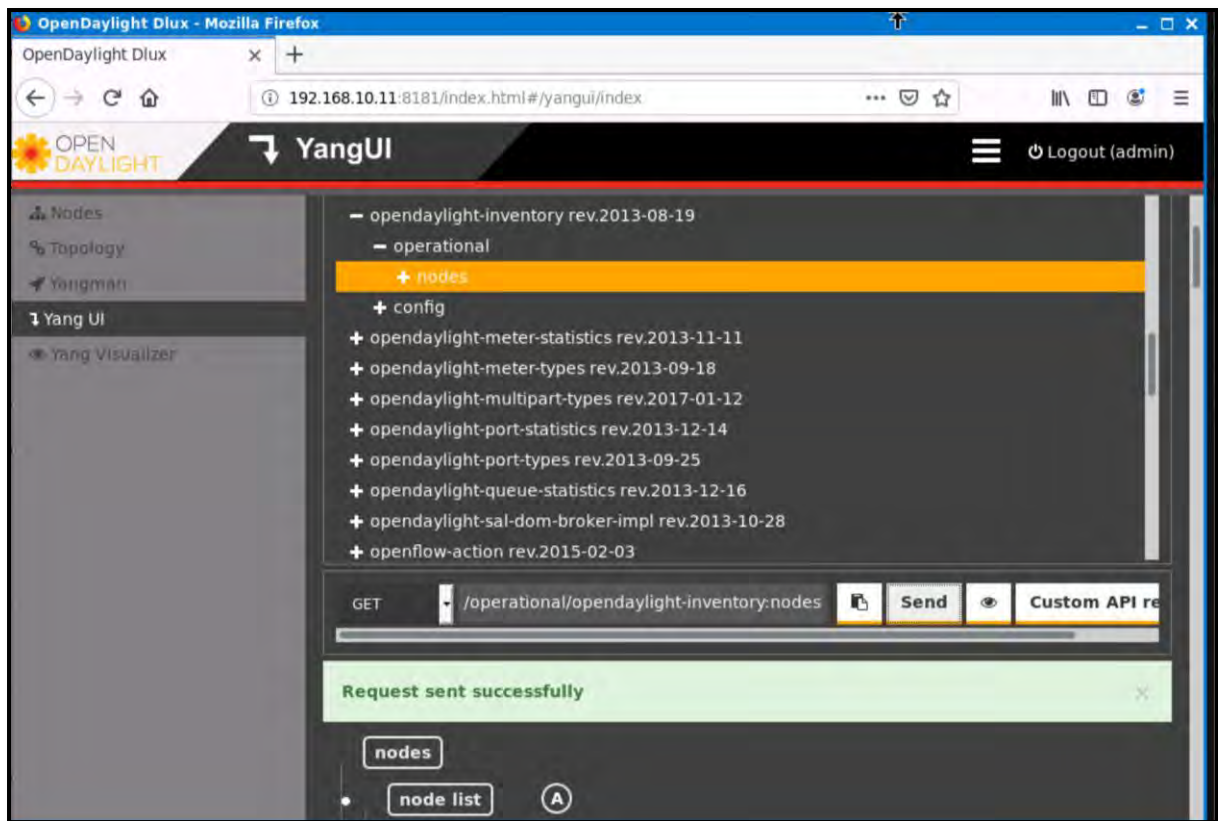


**Figura 4-74 Herramientas de visualización de nodos y enlaces en PoC ODL**  
Fuente: Autor

Una de las ventajas de usar ODL es la variedad de APIs con las que se puede interactuar con la infraestructura. Cabe decir que no todas pueden funcionar, pues depende del tipo de plano de datos que esté controlando *OpenDayLight*:

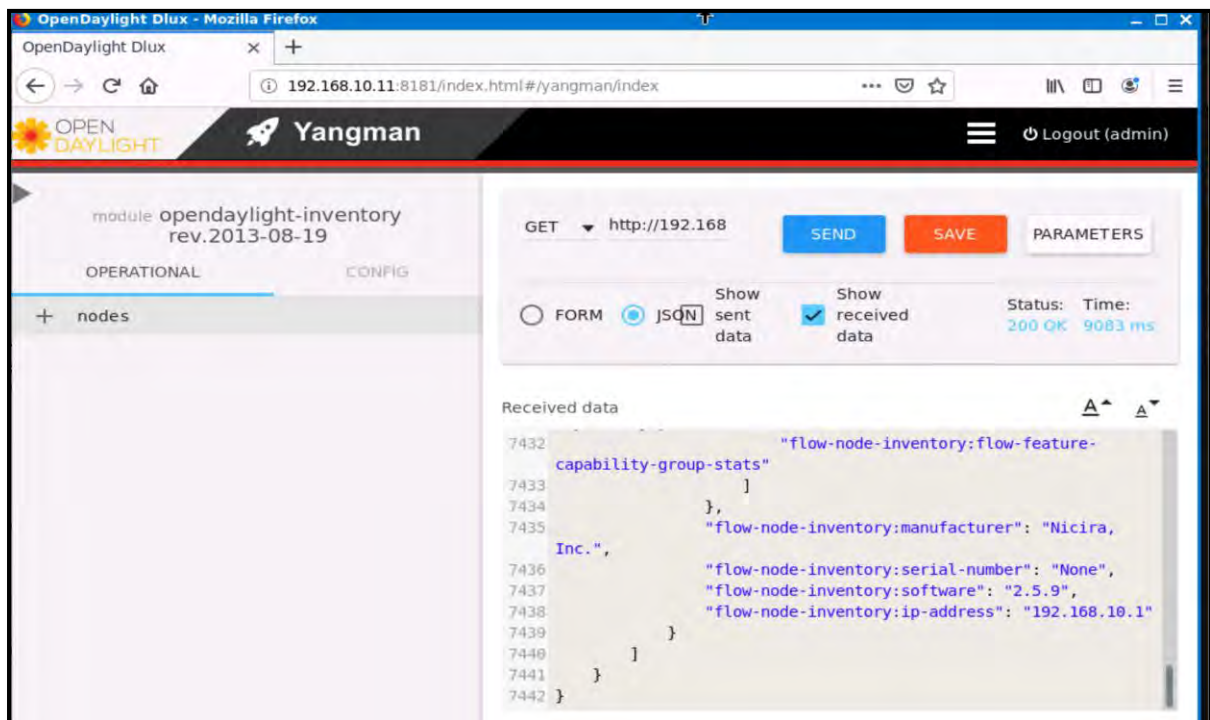


**Figura 4-75** Uso de YangUI en PoC ODL: *get statics-work-mode*  
Fuente: Autor



**Figura 4-76** Uso de YangUI en PoC ODL: OpenDayLight Inventory (nodes)  
Fuente: Autor

Además de contar con APIs que vienen por defecto en ODL, es factible usar *Yangman* para crear APIs personalizadas, así como editar los mensajes GET/SET utilizados en la interacción entre Controlador y Plano de datos. Un ejemplo se aprecia en la *Fig. 4-77* para obtener el inventario de la red:



**Figura 4-77** Uso de Yangman en PoC ODL: Personalizando API Inventory (nodes)  
Fuente: Autor

## Escenario 2: Controlador ONOS

Al igual que en el Escenario 1, según la topología planteada en **4.3.2 Topología y Emulación de OpenSDN Híbrida**, la ejecución del PoC fue exitosa, tal como se aprecia en las siguientes figuras:

```
mininet@mininet-vm:~$ sudo mn --topo=tree,depth=2,fanout=2 --mac --controller=remote,ip=192.168.10.11,port=6653 --switch ovs,protocols=OpenFlow13
*** Creating network
*** Adding controller
*** Adding hosts:
h1 h2 h3 h4
*** Adding switches:
s1 s2 s3
*** Adding links:
(s1, s2) (s1, s3) (s2, h1) (s2, h2) (s3, h3) (s3, h4)
*** Configuring hosts
h1 h2 h3 h4
*** Starting controller
c0
*** Starting 3 switches
s1 s2 s3 ...
*** Starting CLI:
mininet> pingall
*** Ping: testing ping reachability
h1 -> h2 h3 h4
h2 -> h1 h3 h4
h3 -> h1 h2 h4
h4 -> h1 h2 h3
```

```

mininet> dump
<Host h1: h1-eth0:10.0.0.1 pid=1613>
<Host h2: h2-eth0:10.0.0.2 pid=1617>
<Host h3: h3-eth0:10.0.0.3 pid=1620>
<Host h4: h4-eth0:10.0.0.4 pid=1623>
<OVSSwitch{'protocols': 'OpenFlow13'} s1: lo:127.0.0.1,s1-eth1:None,s1-eth2:None pid=1629>
<OVSSwitch{'protocols': 'OpenFlow13'} s2: lo:127.0.0.1,s2-eth1:None,s2-eth2:None,s2-eth3:None
pid=1632>
<OVSSwitch{'protocols': 'OpenFlow13'} s3: lo:127.0.0.1,s3-eth1:None,s3-eth2:None,s3-eth3:None
pid=1635>
<RemoteController{'ip': '192.168.10.11', 'port': 6653} c0: 192.168.10.11:6653 pid=1607>
mininet> net
h1 h1-eth0:s2-eth1
h2 h2-eth0:s2-eth2
h3 h3-eth0:s3-eth1
h4 h4-eth0:s3-eth2
s1 lo: s1-eth1:s2-eth3 s1-eth2:s3-eth3
s2 lo: s2-eth1:h1-eth0 s2-eth2:h2-eth0 s2-eth3:s1-eth1
s3 lo: s3-eth1:h3-eth0 s3-eth2:h4-eth0 s3-eth3:s1-eth2
c0

```

```

mininet> links
s1-eth1<->s2-eth3 (OK OK)
s1-eth2<->s3-eth3 (OK OK)
s2-eth1<->h1-eth0 (OK OK)
s2-eth2<->h2-eth0 (OK OK)
s3-eth1<->h3-eth0 (OK OK)
s3-eth2<->h4-eth0 (OK OK)
mininet>

```

```

mininet> pingall
*** Ping: testing ping reachability
h1 -> h2 h3 h4
h2 -> h1 h3 h4
h3 -> h1 h2 h4
h4 -> h1 h2 h3
*** Results: 0% dropped (12/12 received)

```

**Figura 4-78 Ejecución exitosa de Mininet en PoC ONOS**  
Fuente: Autor

Al crear la topología en Mininet, es posible visualizar los logs en CLI de ONOS (Fig. 4-79):

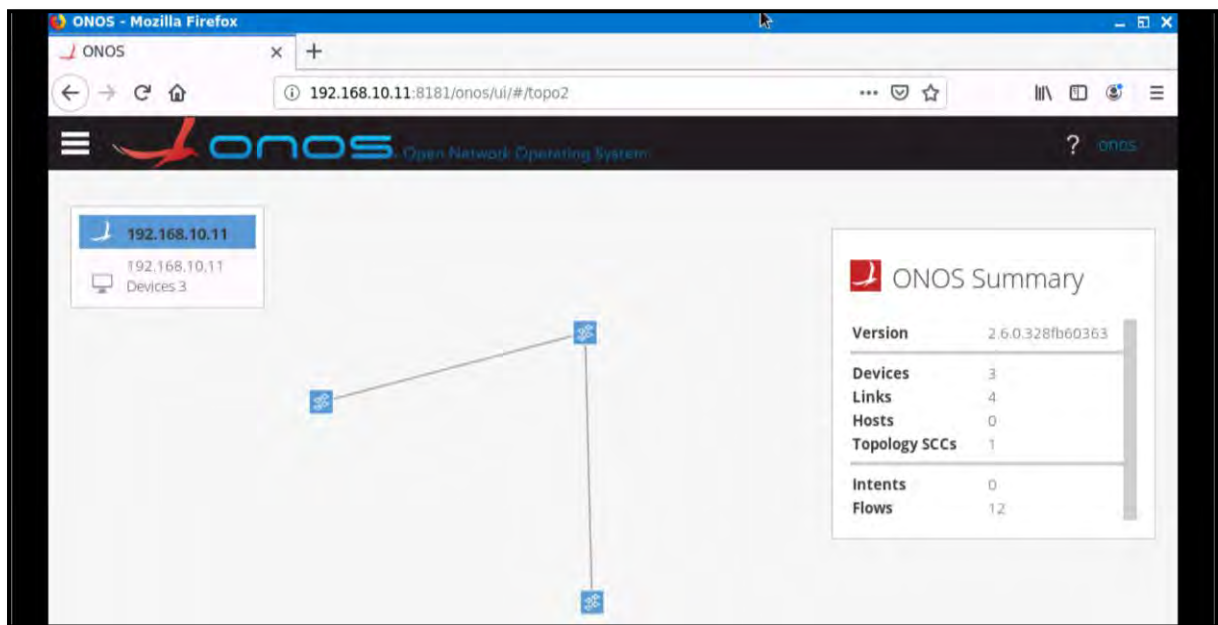
```

208 - org.onosproject.onos-protocols-openflow-ctl - 2.6.0.SNAPSHOT | Purged pending stats 00:00:
00:00:00:00:00:02
2021-05-31T20:41:53,630 | INFO | onos-topo-build-2 | TopologyManager | 193 - or
g.onosproject.onos-core-net - 2.6.0.SNAPSHOT | Topology DefaultTopology{time=14992480543315, crea
tionTime=1622493713550, computeCost=205414, clusters=2, devices=3, links=2} changed
2021-05-31T20:41:53,659 | INFO | onos-topo-build-6 | TopologyManager | 193 - or
g.onosproject.onos-core-net - 2.6.0.SNAPSHOT | Topology DefaultTopology{time=14992576813441, crea
tionTime=1622493713647, computeCost=395885, clusters=2, devices=3, links=3} changed
2021-05-31T20:41:54,308 | INFO | onos-of-event-stats-0 | DistributedGroupStore | 192
- org.onosproject.onos-core-dist - 2.6.0.SNAPSHOT | Group AUDIT: Setting device of:00000000000000
03 initial AUDIT completed
2021-05-31T20:41:54,410 | INFO | onos-of-event-stats-9 | DistributedGroupStore | 192
- org.onosproject.onos-core-dist - 2.6.0.SNAPSHOT | Group AUDIT: Setting device of:00000000000000
01 initial AUDIT completed
2021-05-31T20:41:54,609 | INFO | onos-of-event-stats-14 | DistributedGroupStore | 192
- org.onosproject.onos-core-dist - 2.6.0.SNAPSHOT | Group AUDIT: Setting device of:00000000000000
02 initial AUDIT completed
2021-05-31T20:41:56,526 | INFO | onos-topo-build-7 | TopologyManager | 193 - or
g.onosproject.onos-core-net - 2.6.0.SNAPSHOT | Topology DefaultTopology{time=14995450848679, crea
tionTime=1622493716521, computeCost=262705, clusters=1, devices=3, links=4} changed

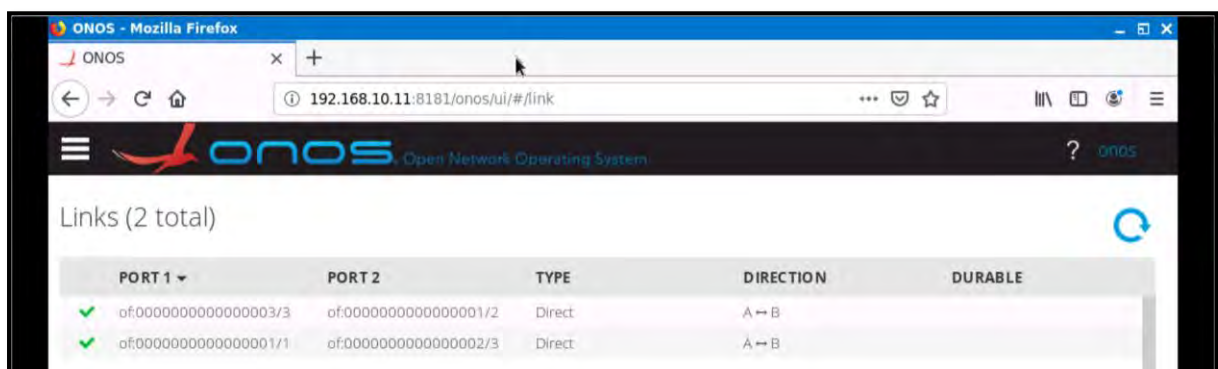
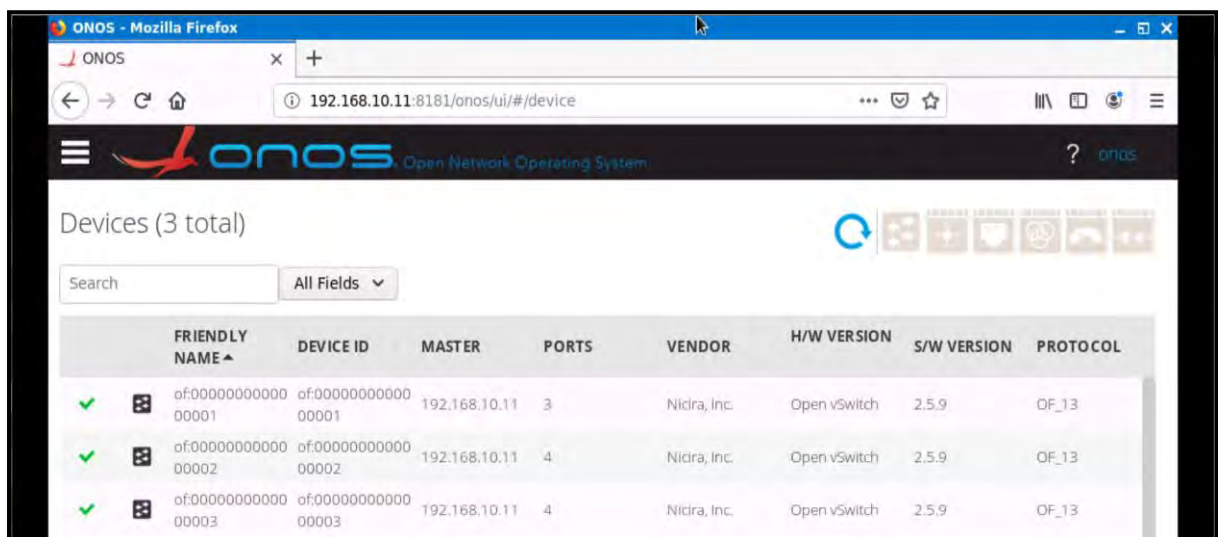
```

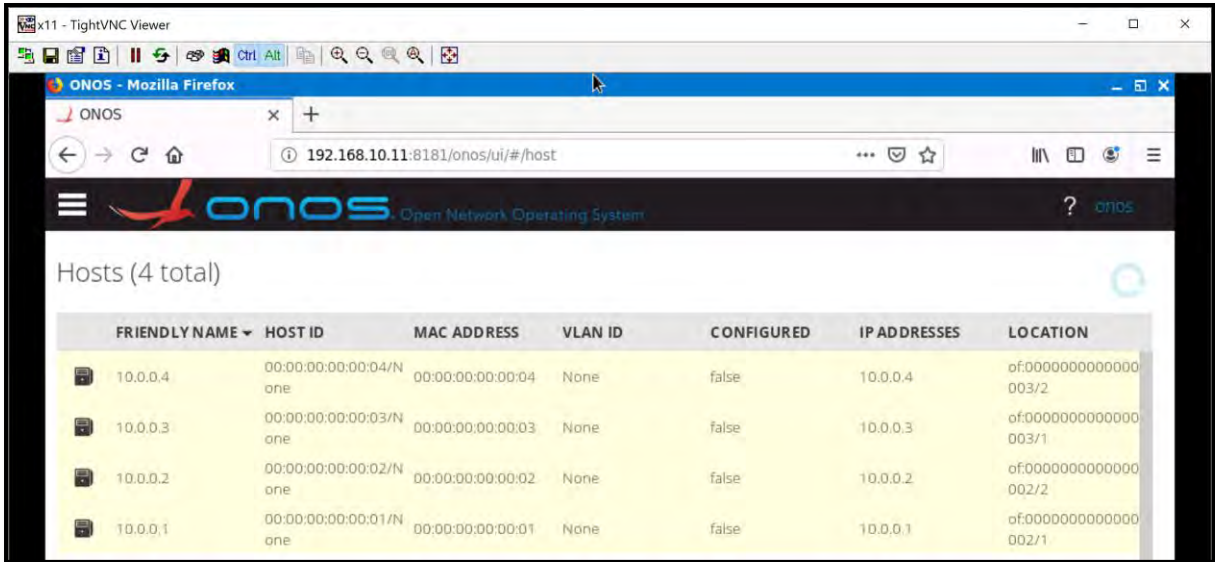
**Figura 4-79 Logs en CLI de controlador en PoC ONOS**  
Fuente: Autor

En cuanto a la visualización gráfica de la topología, es posible apreciarla en las Fig 4-80 a 4-83:

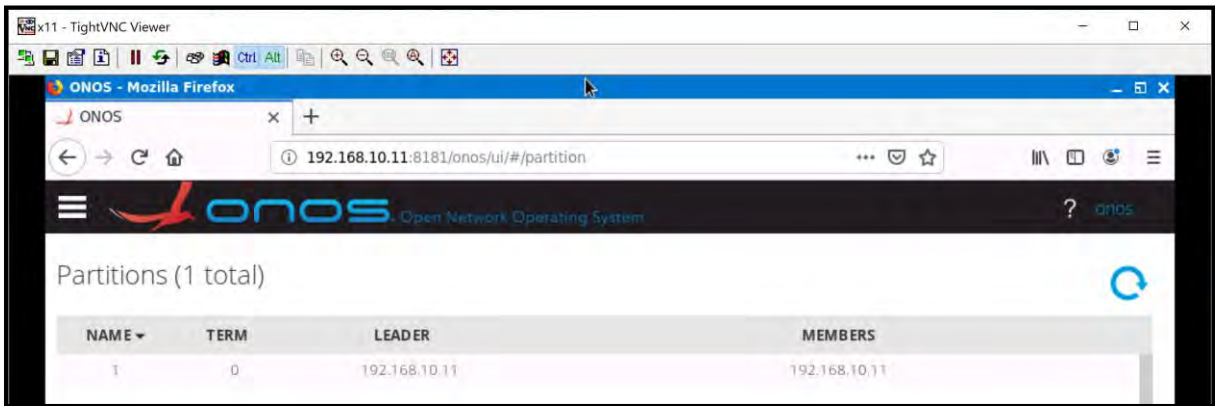


**Figura 4-80 Topología descubierta por Controlador en PoC ONOS**  
Fuente: Autor

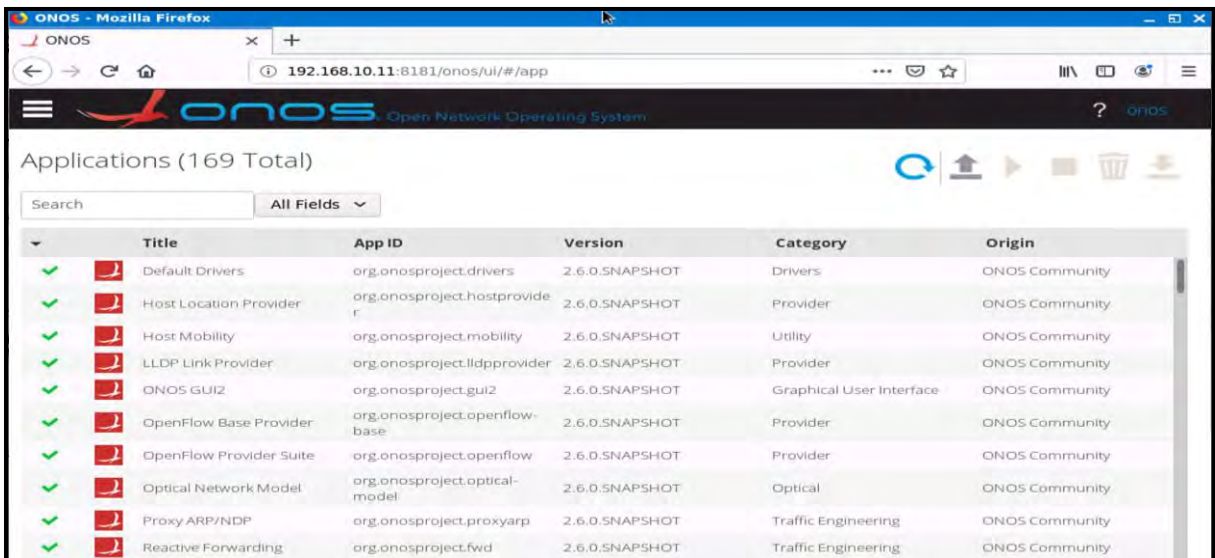




**Figura 4-81** Dispositivos, Enlaces y Usuarios descubiertos en PoC ONOS  
Fuente: Autor



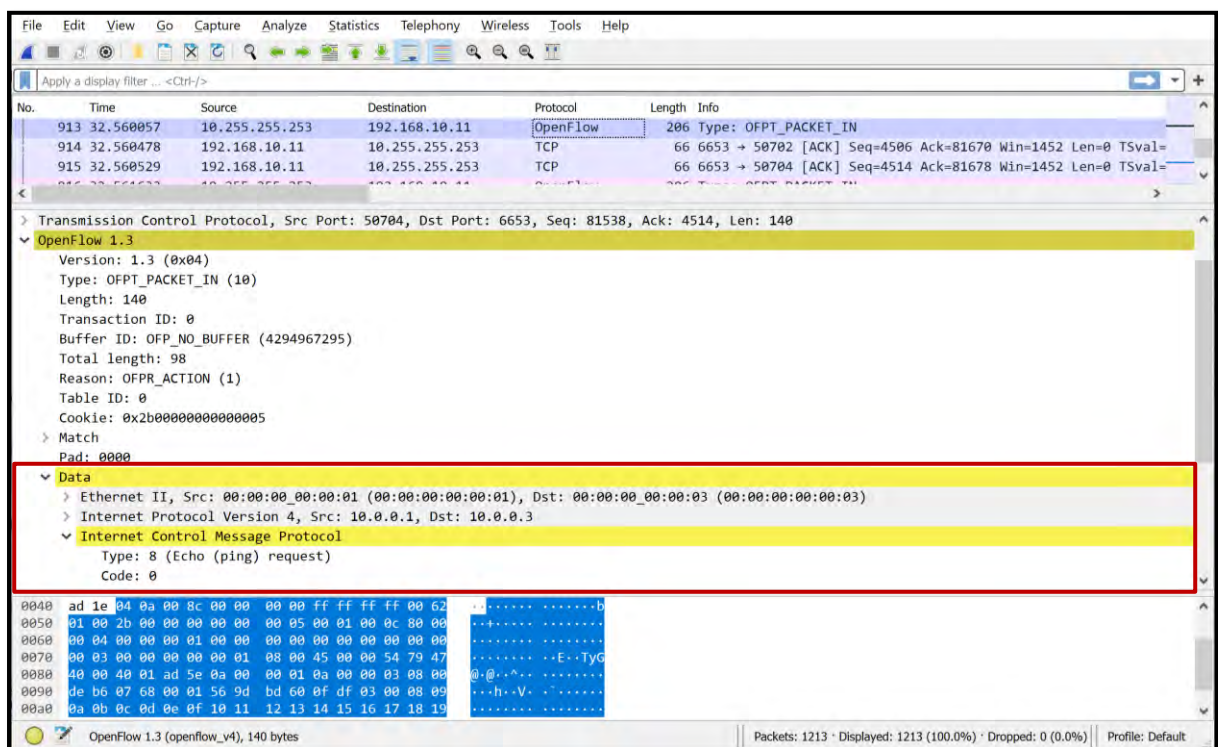
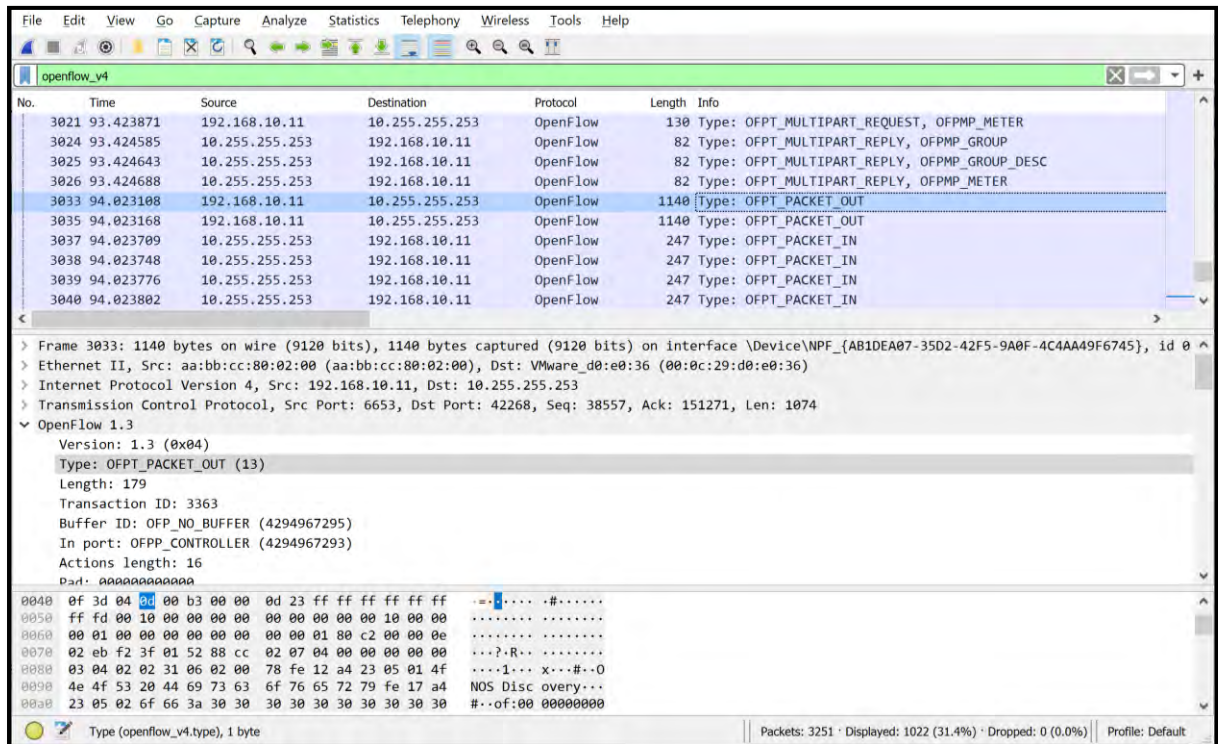
**Figura 4-82** Información de Controlador en PoC ONOS  
Fuente: Autor



**Figura 4-83** Aplicaciones disponibles en PoC ONOS  
Fuente: Autor

## Capturas de Tráfico en Tránsito (*Wireshark*)

La Fig. 4-84 muestra la captura de tráfico entre Mininet y los Controladores ODL/ONOS, visualizando el intercambio de mensajes *OpenFlow 1.3*. Además, se verifica la encapsulación de ICMP en el protocolo *OpenFlow*, lo que muestra que la comunicación pasa por el controlador.



**Figura 4-84 Encapsulación de ICMP dentro de OpenFlow en PoC ODL/ONOS**

Fuente: Autor

### Resultados experimentales (*Stress-Approach*)

Con el fin de comparar a ODL y ONOS, se realizaron pruebas de estrés obteniendo los siguientes resultados:

Tabla 4-1 Resultados Prueba de Conectividad (Ping) ODL vs ONOS

Controlador	Mínimo RTT [ms]	Máximo RTT [ms]	Transmisión Máxima [paquetes/seg]	Transmisión Promedio [paquetes/seg]
ODL	0.335	0.637	115	67.382
ONOS	0.098	1.986	101	57.211

Fuente: Autor

Tabla 4-2 Resultados de Tasa de Ráfaga (*Burst Rate*) ODL vs ONOS

ODL				
Longitud Incremental del Paquete [Bytes]	Conteo de Paquetes (antes de falla)	Tasa de Ráfaga	Tasa de Envío [ms]	Inicio de Ráfaga
0-24	0	0.438	0.059	40.678
25-49	0	0.087	0.0082	40.789
50-99	0	0.091	0.0678	41.456
100-199	0	0.187	0.099	33.236
200-399	0	0.128	0.003	31.2578
400-799	0	0.057	0.0084	41.398
800-1599	0	0.082	0.0014	38.789
1600-3199	0	0.157	0.0345	31.078
3200-6399	430	0.141	0.0025	37.903
mayores a 6400	120	0.078	0.001	35.347

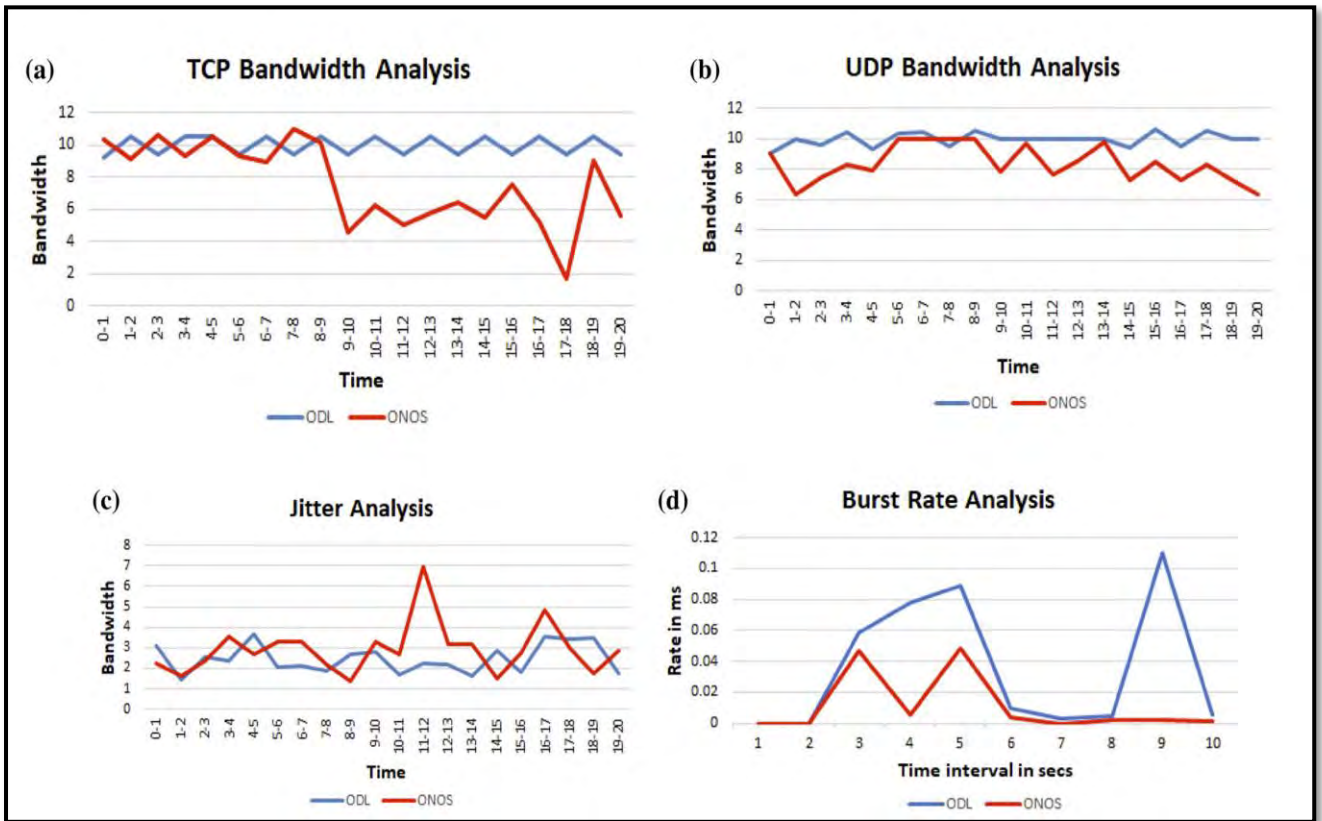
  

ONOS				
Longitud Incremental del Paquete [Bytes]	Conteo de Paquetes (antes de falla)	Tasa de Ráfaga	Tasa de Envío [ms]	Inicio de Ráfaga
0-24	0	0.277	0.129	48.55
25-49	0	0.59	0.033	48.498
50-99	0	0.321	0.124	47.378
100-199	0	0.199	0.109	43.178
200-399	0	0.223	0.022	41.599
400-799	0	0.375	0.097	41.77
800-1599	4267	0.192	0.0014	39.121
1600-3199	160	0.256	0.0345	33.845
3200-6399	225	0.341	0.0025	41.111
mayores a 6400	404	0.148	0.001	39.587

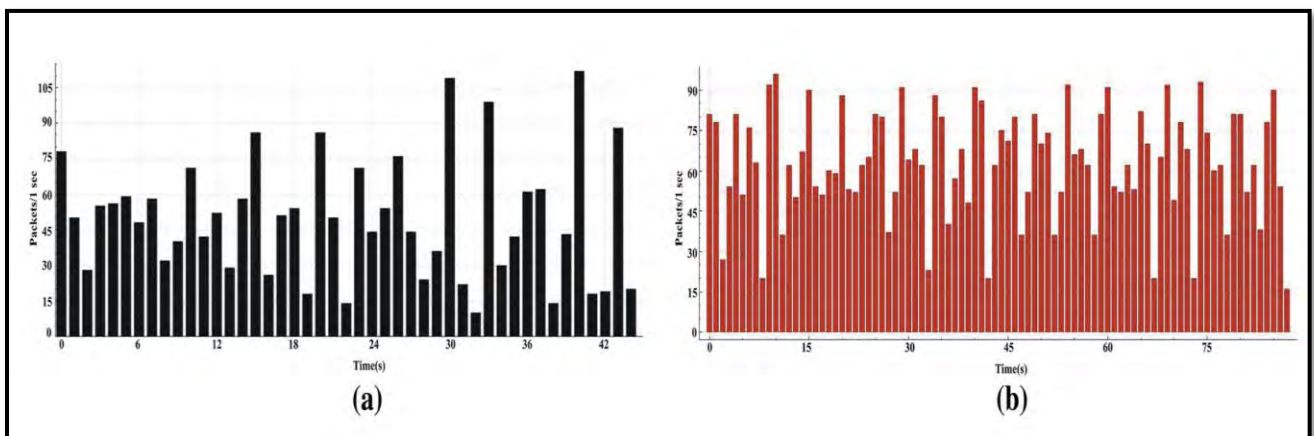
Fuente: Autor

Los resultados obtenidos en el PoC son muy similares al análisis realizado en (Badotra & Narayan Panda, 2019).

En (Badotra & Narayan Panda, 2019), se grafican tendencias de comportamiento para tráfico TCP y UDP, así como una comparativa de *Jitter* y Tasa de Ráfaga muy interesante que vale la pena observar en las Fig. 4-85 y Fig. 4-86.



**Figura 4-85 Gráficos comparativos entre ODL y ONOS**  
 Recuperado de (Badotra & Narayan Panda, 2019)



**Figura 4-86 Barras sobre la Transmisión de paquetes OpenFlow: (a) ONOS y (b) ODL**  
 Recuperado de (Badotra & Narayan Panda, 2019)

## 4.4 Prueba de Concepto de NG-SDN

En 2.8.1 *Fundamentos de NG-SDN: SDN de próxima Generación* y en 2.8.2 *Programación en NG-SDN: P4 y Stratum* se analizaron los conceptos básicos de *Next-Generation SDN*, proyecto soportado por la ONF; ahora, se pondrá a prueba una emulación de este entorno y verificar su factibilidad de uso.

Usando la VM preparada por la ONF para PoCs (la cual puede ser descargada en <http://bit.ly/ngsdn-tutorial-ova>) se desarrollará un conjunto de pruebas para el manejo de NG-SDN.

### 4.4.1 Programación en P4

Antes de empezar, es necesario recordar que NG-SDN emplea P4 como lenguaje para construir y programar el plano de datos, dando una capacidad de personalización extrema a la infraestructura subyacente.

Durante todo el desarrollo de la presente tesis se estableció como válido el concepto dado por la ONF para SDN: *Separación del plano de Datos y Plano de Control con el fin de administrar, monitorear, configurar de forma centralizada la infraestructura, dotando de mayor velocidad tanto de reacción como de implementación, así como capacidad de programación en la red.* Sin embargo, los desarrollos tradicionales de SDN se basaron en un plano de datos vinculado a través de protocolos *Southbound* como *OpenFlow* y la gestión y configuración mediante modelos tipo YANG y API-RESTs como NETCONF, lamentablemente, la falta de independencia total en el plano de datos ha impedido la innovación tan deseada en este campo. En este punto, *OpenFlow* carece de especificaciones para la programabilidad del Plano de Datos, así cada fabricante tiene su propia visión y modelos propios de implementación, lo que conlleva a modificaciones y adecuaciones en el Plano de Control: La realidad es que los Plano de Control en ambientes SDN están desarrollados para *Hardware* específico y muchas veces propietario según (Cascone, 2019).

El *OpenNetworking* y NFV dieron pasos muy adecuados al incluir abstracciones entre el HW y SW como HALs (*Hardware Abstraction Layers*), pero aún no es suficiente.

NG-SDN trajo consigo conceptos de programabilidad total (incluyendo al plano de datos), independencia total de *hardware* e implementaciones *zero-touch* que mediante *Stratum* y *ONOS*, permitieron implementar modelos NG-SDN, siendo P4 el fundamento de esta capacidad de programabilidad extrema.

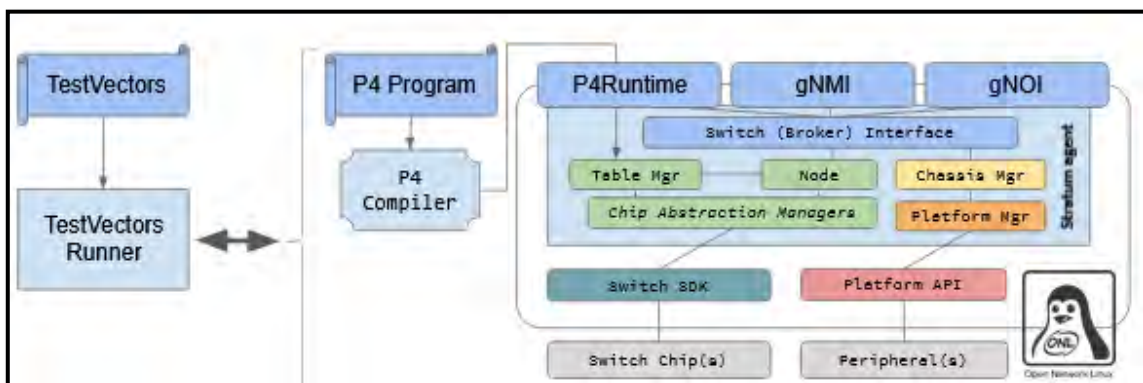


Figura 4-87 Esquematización de NG-SDN: Stratum NOS-Switch  
Recuperado de (Cascone, 2019)

Para comprender cómo es posible construir un equipo intermediario (un *router* o *switch*) en P4, observe rápidamente el siguiente código base para el presente PoC:

<https://github.com/opennetworkinglab/ngsdn-tutorial/blob/master/p4src/main.p4>

En dicho código, se establece la construcción de un *router* para transmisión de datos en IPv6. A continuación se hará un análisis de ese *script*.

Al inicio de un código en P4, se establecerá las librerías principales a usar. Para el código *main.p4* se empleará la librería *core.p4* y el denominado *v1model.p4*

```
// Any P4 program usually starts by including the P4 core library and the
// architecture definition, v1model in this case.
// https://github.com/p4lang/p4c/blob/master/p4include/core.p4
// https://github.com/p4lang/p4c/blob/master/p4include/v1model.p4
#include <core.p4>
#include <v1model.p4>
```

**Script 32 Librerías base de P4 para main.p4**  
*Recuperado de* (O'Connor & Cascone, Tutorial Next-Gen SDN - main.p4, 2019)

La construcción de un equipo de red se da gracias al mencionado *V1Model*, estableciendo así el *pipeline* o esquematización de estos equipos:

```
// V1Model is a P4_16 architecture that defines 7 processing blocks.
//
// +-----+ +-----+ +-----+ +-----+ +-----+ +-----+ +-----+
// ->|PARSER|->|VERIFY|->|INGRESS|->|TRAFFIC|->|EGRESS|->|UPDATE|->+DEPARSER|->
// |      | |CKSUM | |PIPE  | |MANAGER| |PIPE  | |CKSUM | |      |
// +-----+ +-----+ +-----+ +-----+ +-----+ +-----+ +-----+
```

**Figura 4-88 Esquematización de un equipo de red en P4 - V1Model**  
*Recuperado de* (O'Connor & Cascone, Tutorial Next-Gen SDN - main.p4, 2019)

Dentro de las librerías base también constan **CPU\_PORT** y **CPU\_CLONE\_SESSION ID**, los cuales permiten asociar los números de puerto en el ingreso (*packet-in*) y en la salida (*packet-out*) de un paquete al ser procesado por el *P4Runtime Controller*.

De igual manera, se establecerán las variables y constantes con su tipo para construir el programa. Estas variables definen las cabeceras con información como dirección MAC, dirección IPv4/IPv6, número de puerto en capa de transporte, etc.

```
// TYPEDEF DECLARATIONS
// To favor readability.
//-----
typedef bit<9>    port_num_t;
typedef bit<48>  mac_addr_t;
typedef bit<16>  mcast_group_id_t;
typedef bit<32>  ipv4_addr_t;
typedef bit<128> ipv6_addr_t;
typedef bit<16>  l4_port_t;
```

```

//-----
// CONSTANT VALUES
//-----
const bit<16> ETHERTYPE_IPV6 = 0x86dd;

const bit<8> IP_PROTO_TCP = 6;
const bit<8> IP_PROTO_UDP = 17;
const bit<8> IP_PROTO_ICMPV6 = 58;

const mac_addr_t IPV6_MCAST_01 = 0x33_33_00_00_00_01;

const bit<8> ICMP6_TYPE_NS = 135;
const bit<8> ICMP6_TYPE_NA = 136;
const bit<8> NDP_OPT_TARGET_LL_ADDR = 2;
const bit<32> NDP_FLAG_ROUTER = 0x80000000;
const bit<32> NDP_FLAG_SOLICITED = 0x40000000;
const bit<32> NDP_FLAG_OVERRIDE = 0x20000000;

```

**Script 33 Variables y Constantes en P4 para la construcción del Router IPv6**  
**Recuperado de** (O'Connor & Cascone, Tutorial Next-Gen SDN - main.p4, 2019)

Usando esas variables y constantes, se planteará la definición de las cabeceras, por ejemplo, la de *Ethernet* y la de la capa de red (IPv6). Las de Capa de transporte (UDP/TCP) y otras son necesarias también.

```

//-----
// HEADER DEFINITIONS
//-----
header ethernet_t {
    mac_addr_t dst_addr;
    mac_addr_t src_addr;
    bit<16> ether_type;
}

header ipv6_t {
    bit<4> version;
    bit<8> traffic_class;
    bit<20> flow_label;
    bit<16> payload_len;
    bit<8> next_hdr;
    bit<8> hop_limit;
    bit<128> src_addr;
    bit<128> dst_addr;
}

```

**Script 34 Establecimiento de Cabeceras en P4 para la construcción del Router IPv6**  
**Recuperado de** (O'Connor & Cascone, Tutorial Next-Gen SDN - main.p4, 2019)

*P4Runtime Controller* es el encargado de procesar los paquetes de entrada y de salida con el fin de inicializar el *pipeline* en el arribo de un flujo de tráfico:

```

// Packet-in header. Prepended to packets sent to the CPU_PORT and used by the
// P4Runtime server (Stratum) to populate the PacketIn message metadata fields.
// Here we use it to carry the original ingress port where the packet was
// received.
@controller_header("packet_in")
header packet_in_t {
    port_num_t ingress_port;
    bit<7> _pad;
}

```

```

// Packet-out header. Prepend to packets received from the CPU_PORT. Fields of
// this header are populated by the P4Runtime server based on the P4Runtime
// PacketOut metadata fields. Here we use it to inform the P4 pipeline on which
// port this packet-out should be transmitted.
@controller_header("packet_out")
header packet_out_t {
    port_num_t egress_port;
    bit<7> _pad;
}

// We collect all headers under the same data structure, associated with each
// packet. The goal of the parser is to populate the fields of this struct.
struct parsed_headers_t {
    packet_out_t packet_out;
    packet_in_t packet_in;
    ethernet_t ethernet;
    ipv6_t ipv6;
    tcp_t tcp;
    udp_t udp;
    icmpv6_t icmpv6;
    ndp_t ndp;
}

```

**Script 35 Inicialización del Pipeline al procesar un paquete de entrada/salida en P4**  
*Recuperado de* (O'Connor & Cascone, Tutorial Next-Gen SDN - main.p4, 2019)

El proceso continúa con la generación de metadata importante para el envío de datos, entre ellos, los puertos de servicio que están circulando por la red (tcp/udp o cualquier otro servicio de red).

```

//-----
// USER-DEFINED METADATA
// User-defined data structures associated with each packet.
//-----
struct local_metadata_t {
    l4_port_t l4_src_port;
    l4_port_t l4_dst_port;
    bool is_multicast;
}

```

**Script 36 Metadata al procesar un paquete de entrada/salida en P4**  
*Recuperado de* (O'Connor & Cascone, Tutorial Next-Gen SDN - main.p4, 2019)

Al llegar el paquete, éste debe ser aceptado o no debido a ciertas características. La función **ParserImpl** se encarga de esa lógica, tal como se aprecia en el *Script 37*.

```

parser ParserImpl (packet_in packet,
                  out parsed_headers_t hdr,
                  inout local_metadata_t local_metadata,
                  inout standard_metadata_t standard_metadata)
{
    // We assume the first header will always be the Ethernet one, unless the
    // the packet is a packet-out coming from the CPU_PORT.
    state start {
        transition select(standard_metadata.ingress_port) {
            CPU_PORT: parse_packet_out;
            default: parse_ethernet;
        }
    }
}

```

```

state parse_packet_out {
    packet.extract(hdr.packet_out);
    transition parse_ethernet;
}

state parse_ethernet {
    packet.extract(hdr.ethernet);
    transition select(hdr.ethernet.ether_type){
        ETHERTYPE_IPV6: parse_ipv6;
        default: accept;
    }
}

```

**Script 37 Configuración parcial de función ParserImp para empezar el procesamiento de paquetes**  
**Recuperado de** (O'Connor & Cascone, Tutorial Next-Gen SDN - main.p4, 2019)

Se recomienda verificar la presencia o no errores (*Checksum*) en el flujo de tráfico, caso contrario, el usuario final se encargará de verificarlo.

Posteriormente, se procesa el flujo de datos, comenzando por L2 y luego L3.

Para el caso de L2, se deberá actualizar la tabla MAC, así como realizar la conmutación respectiva dependiendo la dirección de destino (*unicast, broadcast, multicast*).

```

// --- l2_exact_table (for unicast entries) -----
action set_egress_port(port_num_t port_num) {
    standard_metadata.egress_spec = port_num;
}

table l2_exact_table {
    key = {
        hdr.ethernet.dst_addr: exact;
    }
    actions = {
        set_egress_port;
        @defaultonly drop;
    }
    const default_action = drop;
    // The @name annotation is used here to provide a name to this table
    // counter, as it will be needed by the compiler to generate the
    // corresponding P4Info entity.
    @name("l2_exact_table_counter")
    counters = direct_counter(CounterType.packets_and_bytes);
}

```

```

// --- l2_ternary_table (for broadcast/multicast entries) -----
action set_multicast_group(mcast_group_id_t gid) {
    // gid will be used by the Packet Replication Engine (PRE) in the
    // Traffic Manager--located right after the ingress pipeline, to
    // replicate a packet to multiple egress ports, specified by the control
    // plane by means of P4Runtime MulticastGroupEntry messages.
    standard_metadata.mcast_grp = gid;
    local_metadata.is_multicast = true;
}

```

```

table l2_ternary_table {
    key = {
        hdr.ethernet.dst_addr: ternary;
    }
    actions = {
        set_multicast_group;
        @defaultonly drop;
    }
    const default_action = drop;
    @name("l2_ternary_table_counter")
    counters = direct_counter(CounterType.packets_and_bytes);
}

```

**Script 38 Configuración parcial de L2-Conmutación en P4**  
**Recuperado de** (O'Connor & Cascone, Tutorial Next-Gen SDN - main.p4, 2019)

El siguiente paso es sobre el enrutamiento (L3). El enrutamiento se da si L2 es el adecuado (dir. MAC dirigido al *router*). Para este proceso, los equipos deberán construir la tabla de enrutamiento y basarse en ella para realizar la elección del mejor camino. También, los *routers* modernos tienen la capacidad de hacer ECMP (*Equal Cost MultiPath*) para balanceo de carga.

```

// --- my_station_table -----
// Matches on all possible my_station MAC addresses associated with this
// switch. This table defines only one action that does nothing to the
// packet. Later in the apply block, we define logic such that packets are
// routed if and only if this table is "hit", i.e. a matching entry is found
// for the given packet.

table my_station_table {
    key = {
        hdr.ethernet.dst_addr: exact;
    }
    actions = { NoAction; }
    @name("my_station_table_counter")
    counters = direct_counter(CounterType.packets_and_bytes);
}

```

**Script 39 Configuración de MyStationTable para verificar si se debe enrutar o no un paquete en P4**  
**Recuperado de** (O'Connor & Cascone, Tutorial Next-Gen SDN - main.p4, 2019)

La tabla de enrutamiento IPv6 se construirá mediante *Action selectors*, los cuales son construcciones de *V1Model*, mejorando así la rapidez de procesamiento y toma de decisiones del equipo. Entre los *selectors* está el de ECMP y definir el próximo salto.

```

// --- routing_v6_table -----
// To implement ECMP, we use Action Selectors, a v1model-specific construct.
// A P4runtime controller, can use action selectors to associate a group of
// actions to one table entry. The specific action in the group will be
// selected by performing a hash function over a pre-determined set of header
// fields. Here we instantiate an action selector named "ecmp_selector" that
// uses crc16 as the hash function, can hold up to 1024 entries (distinct
// action specifications), and produces a selector key of size 16 bits.

action_selector(HashAlgorithm.crc16, 32x1024, 32x16) ecmp_selector;

```

```

action set_next_hop(mac_addr_t dmac) {
    hdr.ethernet.src_addr = hdr.ethernet.dst_addr;
    hdr.ethernet.dst_addr = dmac;
    // Decrement TTL
    hdr.ipv6.hop_limit = hdr.ipv6.hop_limit - 1;
}

// Look for the "implementation" property in the table definition.
table routing_v6_table {
    key = {
        hdr.ipv6.dst_addr:    lpm;
        // The following fields are not used for matching, but as input to the
        // ecmp_selector hash function.
        hdr.ipv6.dst_addr:    selector;
        hdr.ipv6.src_addr:    selector;
        hdr.ipv6.flow_label:  selector;
        hdr.ipv6.next_hdr:    selector;
        local_metadata.l4_src_port: selector;
        local_metadata.l4_dst_port: selector;
    }
    actions = {
        set_next_hop;
    }
    implementation = ecmp_selector;
    @name("routing_v6_table_counter")
    counters = direct_counter(CounterType.packets_and_bytes);
}

```

**Script 40 Procesos de Enrutamiento IPv6 en P4**  
 Recuperado de (O'Connor & Cascone, Tutorial Next-Gen SDN - main.p4, 2019)

Otras funciones adicionales pueden configurarse en este equipo, como ACLs para filtrar tráfico, técnicas de PBR y NDP (*Neighbor Discovery Protocol*) para IPv6.

Finalmente, una vez elegido el próximo salto, el paquete debe prepararse para salir del equipo. La función **EgressPipeImpl** logra ese cometido. El *Script 41* plantea ello.

Luego, se debe generar un nuevo *Checksum* para evitar el envío de paquete con errores, tal como se aprecia en el *Script 42*.

El último bloque del *V1Model* se conoce como **Deparser**, bloque no menos importante pues permite el proceso de serialización del paquete al medio físico. Esta configuración se aprecia en el *Script 43*.

```

// Similarly to the ingress pipeline, the egress one operates on the parsed
// headers (hdr), the user-defined metadata (local_metadata), and the
// architecture-specific intrinsic one (standard_metadata) which now
// defines a read-only "egress_port" field.
//-----
control EgressPipeImpl (inout parsed_headers_t hdr,
                       inout local_metadata_t local_metadata,
                       inout standard_metadata_t standard_metadata) {

```

```

apply {
    // If this is a packet-in to the controller, e.g., if in ingress we
    // matched on the ACL table with action send/clone_to_cpu...
    if (standard_metadata.egress_port == CPU_PORT) {
        // Add packet_in header and set relevant fields, such as the
        // switch ingress port where the packet was received.
        hdr.packet_in.setValid();
        hdr.packet_in.ingress_port = standard_metadata.ingress_port;
        // Exit the pipeline here.
        exit;
    }

    // If this is a multicast packet (flag set by l2_ternary_table), make
    // sure we are not replicating the packet on the same port where it was
    // received. This is useful to avoid broadcasting NDP requests on the
    // ingress port.
    if (local_metadata.is_multicast == true &&
        standard_metadata.ingress_port == standard_metadata.egress_port) {
        mark_to_drop(standard_metadata);
    }
}
}

```

**Script 41 Preparación del paquete para salir del Equipo en P4**  
**Recuperado de** (O'Connor & Cascone, Tutorial Next-Gen SDN - main.p4, 2019)

```

// 5. CHECKSUM UPDATE
//
// Provide logic to update the checksum of outgoing packets.
//-----
control ComputeChecksumImpl(inout parsed_headers_t hdr,
                           inout local_metadata_t local_metadata)
{
    apply {
        // The following function is used to update the ICMPv6 checksum of NDP
        // NA packets generated by the ndp_reply_table in the ingress pipeline.
        // This function is executed only if the NDP header is present.
        update_checksum(hdr.ndp.isValid(),
            {
                hdr.ipv6.src_addr,
                hdr.ipv6.dst_addr,
                hdr.ipv6.payload_len,
                IPv6,
                hdr.ipv6.next_hdr,
                hdr.icmpv6.type,
                hdr.icmpv6.code,
                hdr.ndp.flags,
                hdr.ndp.target_ipv6_addr,
                hdr.ndp.type,
                hdr.ndp.length,
                hdr.ndp.target_mac_addr
            },
            hdr.icmpv6.checksum,
            HashAlgorithms.csun16
        );
    }
}
}

```

**Script 42 Actualización de Checksum antes de salir el paquete a su destino en P4**  
**Recuperado de** (O'Connor & Cascone, Tutorial Next-Gen SDN - main.p4, 2019)

```

// 6. DEPARSER
//
// This is the last block of the V1Model architecture. The deparser specifies in
// which order headers should be serialized on the wire. When calling the emit
// primitive, only headers that are marked as "valid" are serialized, otherwise,
// they are ignored.
//-----
control DeparserImpl(packet_out packet, in parsed_headers_t hdr) {
    apply {
        packet.emit(hdr.packet_in);
        packet.emit(hdr.ethernet);
        packet.emit(hdr.ipv6);
        packet.emit(hdr.tcp);
        packet.emit(hdr.udp);
        packet.emit(hdr.icmpv6);
        packet.emit(hdr.ndp);
    }
}
}

```

**Script 43 Función Deparser - Serialización del Paquete en P4**  
*Recuperado de* (O'Connor & Cascone, Tutorial Next-Gen SDN - main.p4, 2019)

Con el fin de que el programa pueda correr, se instanciará la arquitectura *V1Model* con todos los bloques de control antes analizados.

```

V1Switch(
    ParserImpl(),
    VerifyChecksumImpl(),
    IngressPipeImpl(),
    EgressPipeImpl(),
    ComputeChecksumImpl(),
    DeparserImpl()
) main;

```

**Script 44 Instanciamiento de Arquitectura V1Model en P4**  
*Recuperado de* (O'Connor & Cascone, Tutorial Next-Gen SDN - main.p4, 2019)

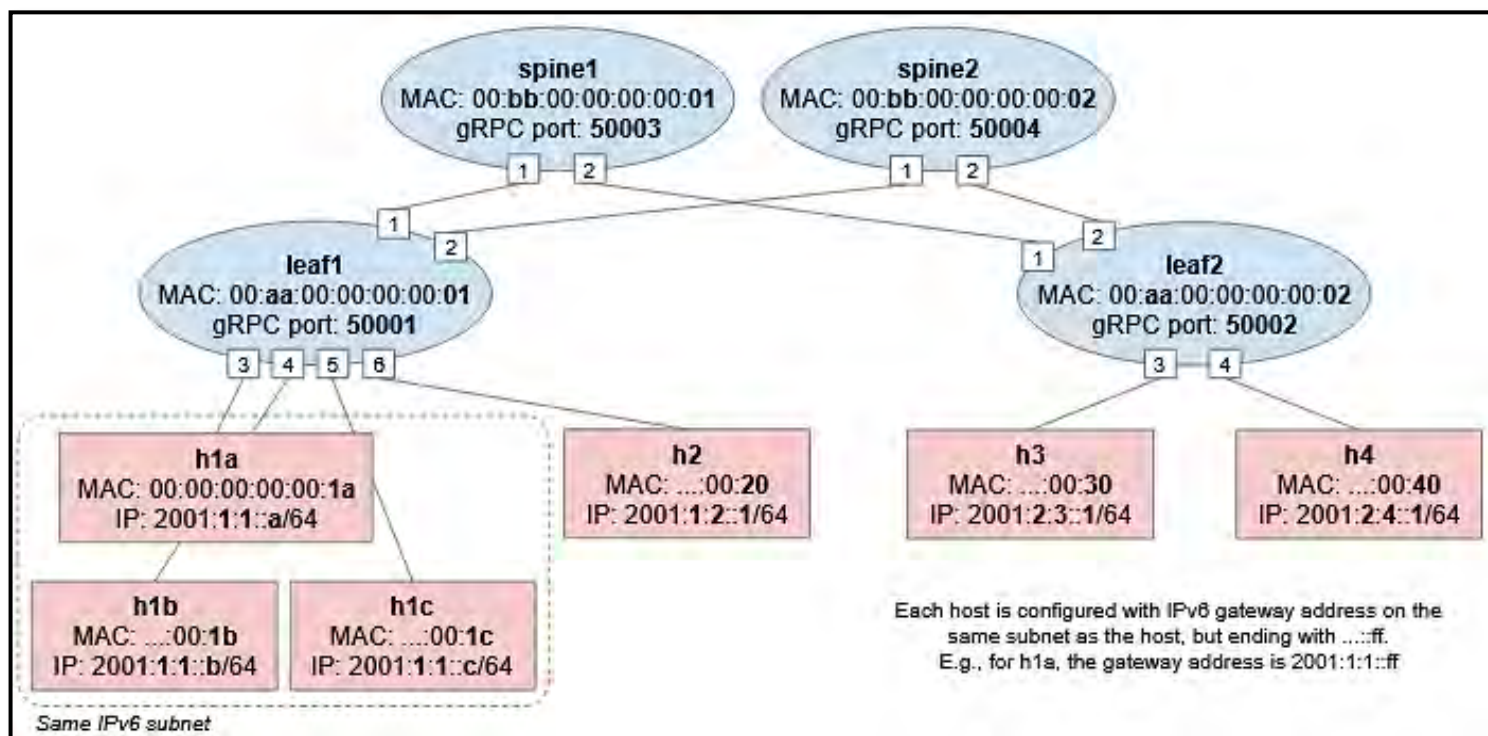
Al ejecutar este programa, se tendrá un *router IPv6* totalmente funcional en P4.

Entendiendo de forma global esta configuración, se podrá ejecutar con mayor facilidad el PoC de NG-SDN.

#### 4.4.2 Topología del PoC de NG-SDN: Programación en P4, YANG, OpenConfig-gNMI (Telemetría) y ONOS

La topología usada para el PoC de NG-SDN se indica en la *Fig. 4-89*, la cual fue diseñada con los siguientes dispositivos en un entorno *Spine-Leaf* mediante Mininet y ONOS como Controlador SDN:

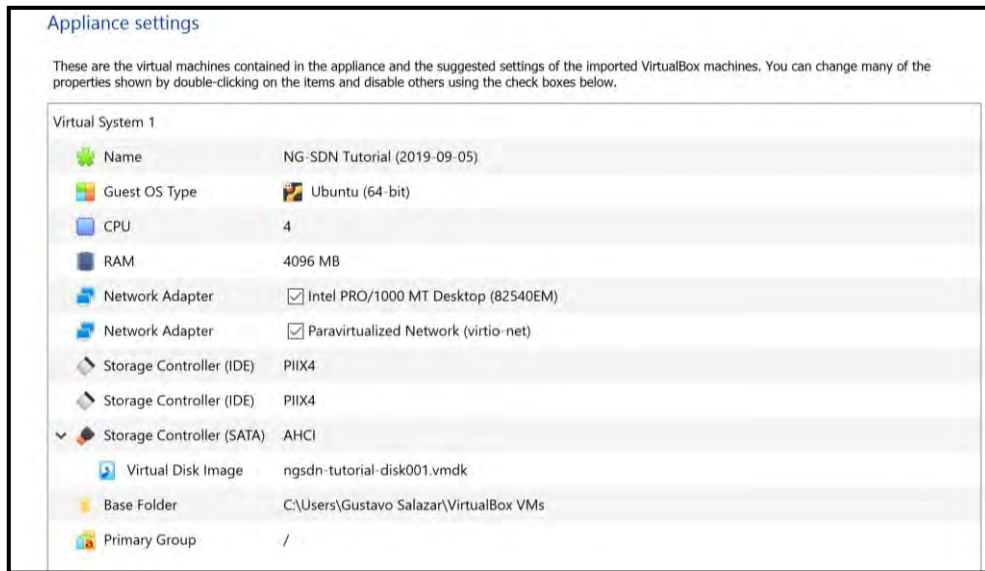
- Dos (2) *Switches Spines - Stratum*<sup>61</sup>
- Dos (2) *Switches Leaves - Stratum*
- Seis (6) *Hosts*



**Figura 4-89 Topología PoC NG-SDN**  
*Basado en* (O'Connor & Cascone, Tutorial Next-Gen SDN - main.p4, 2019)

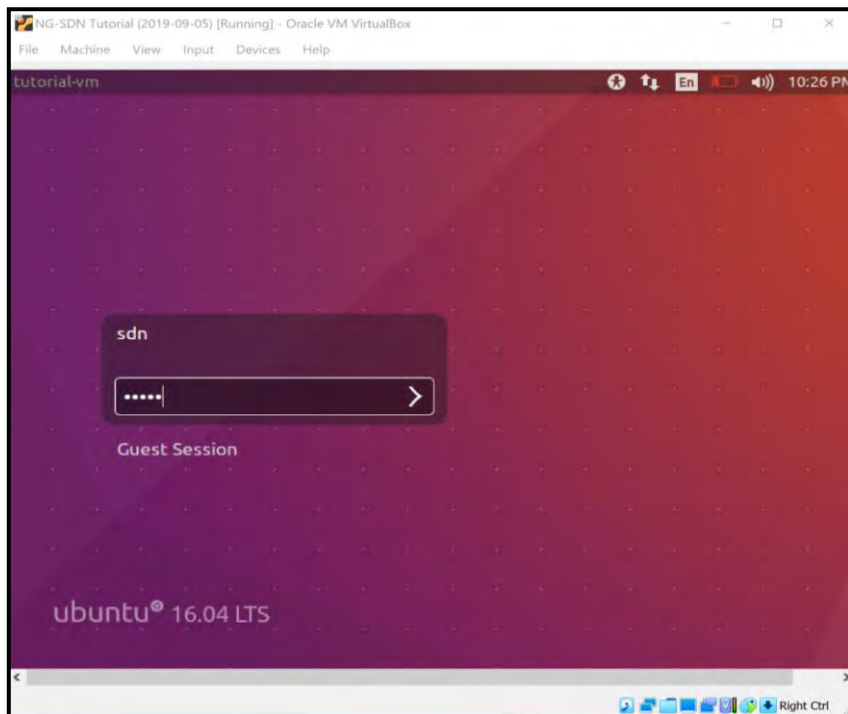
<sup>61</sup> Stratum Switches: <https://opennetworking.org/stratum/>

Para la ejecución del PoC de NG-SDN, se importará la VM de *ONF-Connect Tutorial*<sup>62</sup> en *VirtualBox*. Se sugiere al menos 4GB de RAM y 4 núcleos de CPU asignados a esta VM.



**Figura 4-90 Características de VM – NG-SDN**  
*Fuente: Autor*

El ingreso a la VM basada en Ubuntu 16.04 es con el usuario **sdn** y la contraseña **rocks**.



**Figura 4-91 Arranque de VM – NG-SDN**  
*Fuente: Autor*

<sup>62</sup> Descargar de VM ONF Tutorial – NG-SDN: <http://bit.ly/ngsdn-tutorial-ova>

La VM cuenta con todo lo necesario para el PoC, no obstante, es necesario una actualización:

```
sdn@tutorial-vm: ~/ngsdn-tutorial
sdn@tutorial-vm:~$ cd ~/ngsdn-tutorial
sdn@tutorial-vm:~/ngsdn-tutorial$ git pull origin master
remote: Enumerating objects: 354, done.
remote: Counting objects: 100% (43/43), done.
remote: Compressing objects: 100% (3/3), done.
remote: Total 354 (delta 40), reused 40 (delta 40), pack-reused 311
Receiving objects: 100% (354/354), 832.73 KiB | 0 bytes/s, done.
Resolving deltas: 100% (172/172), completed with 19 local objects.
From https://github.com/opennetworkinglab/ngsdn-tutorial
* branch      master      -> FETCH_HEAD
   4ea3346..05ea02e master      -> origin/master
Updating 4ea3346..05ea02e
Fast-forward
 .gitignore                |    2 +
 .travis.yml               |   15 +
 EXERCISE-1.md             |  396 ++++++++
 EXERCISE-2.md             |  687 ++++++++
 EXERCISE-3.md             |  592 ++++++++
 EXERCISE-4.md             |  423 ++++++++
 Makefile                  |    84 +-
 README.md                 |   156 ++++
 app/pom.xml               |    7 +-
 ../ngsdn/tutorial/Ipv6RoutingComponent.java |   31 +-
 ../ngsdn/tutorial/L2BridgingComponent.java  |   20 +-
sdn@tutorial-vm:~/ngsdn-tutorial$
sdn@tutorial-vm:~/ngsdn-tutorial$ make pull-deps
docker pull onosproject/onos:2.2.2@sha256:438815ab20300cd7a31702b7dea635152c4c4b5b2fed9b14970bd2939a139d2a
sha256:438815ab20300cd7a31702b7dea635152c4c4b5b2fed9b14970bd2939a139d2a: Pulling from onosproject/onos
423ae2b273f4: Download complete
de83a2304fa1: Download complete
f9a83bce3af0: Download complete
b6b53be908de: Download complete
fa60dcfe06df: Download complete
57ad6b0b2f37: Downloading 24.73MB/205.2MB
184426a32348: Download complete
6233da882f90: Waiting
```

Figura 4-92 Actualización e instalación de dependencias de VM – NG-SDN  
Fuente: Autor

Los equipos de la infraestructura mostrada en la Fig. 4-89 están diseñados mediante P4 y se empleará el compilador denominado *p4c*<sup>63</sup>.

El primer paso es compilar el programa de nombre *simple\_switch* (*p4c-bm2-ss*), basado en *main.p4* (analizado anteriormente) para entender su funcionamiento, para ello se usará el siguiente comando:

```
sdn@tutorial-vm:~/ngsdn-tutorial$ make p4-build
*** building P4 program...
docker run --rm -v /home/sdn/ngsdn-tutorial:/workdir -w /workdir opennetworking/p4c:stable \
  p4c-bm2-ss --arch v1model -o p4src/build/bmv2.json \
  --p4runtime-files p4src/build/p4info.txt --wdisable=unsupported \
  p4src/main.p4
*** P4 program compiled successfully! Output files are in p4src/build
sdn@tutorial-vm:~/ngsdn-tutorial$
```

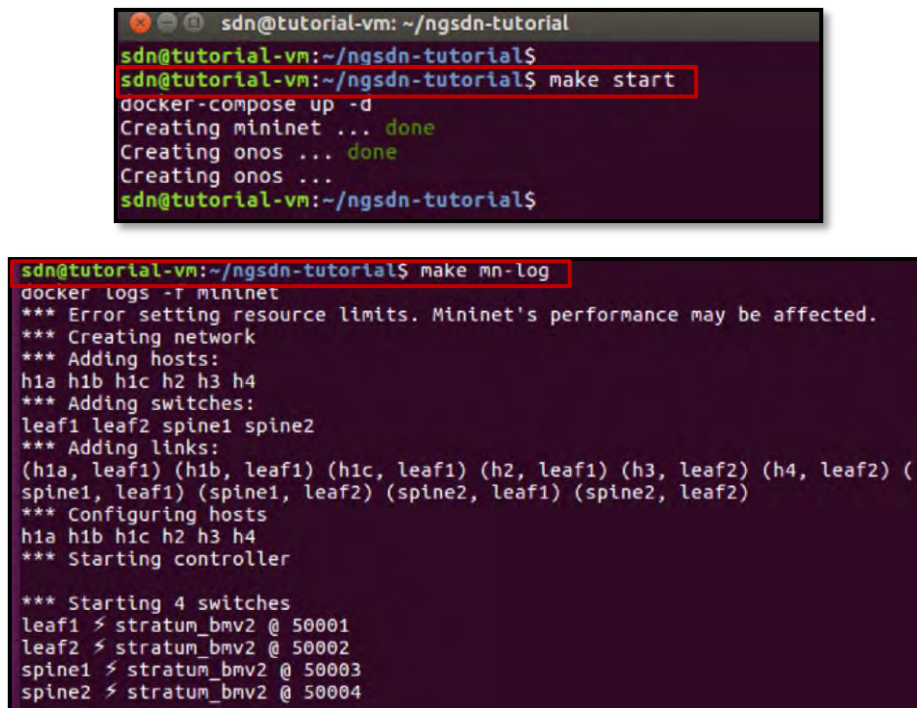
Figura 4-93 Compilación en p4c – PoC NG-SDN  
Fuente: Autor

<sup>63</sup> p4c – P4 Compiler: <https://github.com/p4lang/p4c>

El archivo **bmv2.json** define la configuración del *switch* con el fin de indicar el cómo se procesará el flujo de datos cuando el equipo lo reciba según el programa P4.

La VM de este PoC cuenta con comandos **make** que facilitan el desarrollo de la prueba de concepto. Como una referencia rápida de estos comandos puede ir a **Anexo F: Scripts para la Implementación de PoC NG-SDN**

Es momento de iniciar Mininet para correr la arquitectura emulada. El comando **make start** inicializará dos *dockers*, uno para Mininet y otro para ONOS como controlador SDN.



```
sdn@tutorial-vm: ~/ngsdn-tutorial
sdn@tutorial-vm:~/ngsdn-tutorials$
sdn@tutorial-vm:~/ngsdn-tutorials$ make start
docker-compose up -d
Creating mininet ... done
Creating onos ... done
Creating onos ...
sdn@tutorial-vm:~/ngsdn-tutorials$

sdn@tutorial-vm:~/ngsdn-tutorials$ make mn-log
docker logs -t mininet
*** Error setting resource limits. Mininet's performance may be affected.
*** Creating network
*** Adding hosts:
h1a h1b h1c h2 h3 h4
*** Adding switches:
leaf1 leaf2 spine1 spine2
*** Adding links:
(h1a, leaf1) (h1b, leaf1) (h1c, leaf1) (h2, leaf1) (h3, leaf2) (h4, leaf2) (
spine1, leaf1) (spine1, leaf2) (spine2, leaf1) (spine2, leaf2)
*** Configuring hosts
h1a h1b h1c h2 h3 h4
*** Starting controller

*** Starting 4 switches
leaf1 < stratum_bmv2 @ 50001
leaf2 < stratum_bmv2 @ 50002
spine1 < stratum_bmv2 @ 50003
spine2 < stratum_bmv2 @ 50004
```

Figura 4-94 Inicialización de Mininet y ONOS – PoC NG-SDN

Fuente: Autor

Los parámetros establecidos para Mininet se definen en el archivo **docker-compose.yml** y la topología está definida en el archivo **mininet/topo.py** (ver **Anexo F: Scripts para la Implementación de PoC NG-SDN**).

Al iniciar Mininet, un conjunto de archivos relacionados con la ejecución de cada dispositivo se genera en el *path* **ngsdn-tutorial/tmp**, entre ellos:

- Logs de funcionamiento de los *switches*: *tmp/leaf1/stratum\_bmv2.log*
- Configuración inicial de los puertos del *switch* *Stratum* (*chassis config*): *tmp/leaf1/chassis-config.txt*
- Logs de *P4Runtime*: *tmp/leaf1/write-reqs.txt*

Una de las ventajas de usar P4 en una infraestructura de red es la posibilidad de personalización y de interacción. Para probar esta característica se usará al *P4Runtime Shell*, el cual permitirá la interconectividad entre un *P4Runtime Server* y los equipos y así poder invocar comandos para obtener información.

Para conectar el *P4Runtime Shell* al dispositivo *leaf1* se usa el siguiente comando:

```
sdn@tutorial-vm:~/ngsdn-tutorial$
sdn@tutorial-vm:~/ngsdn-tutorial$ util/p4rt-sh --grpc-addr localhost:50001
-config p4src/build/p4info.txt,p4src/build/bmv2.json --election-id 0,1
*** Connecting to P4Runtime server at localhost:50001 ...
*** Welcome to the IPython shell for P4Runtime ***
P4Runtime sh >>> |
```

Figura 4-95 Conexión P4Runtime Shell y Leaf1 – PoC NG-SDN  
Fuente: Autor

### Conectividad en el PoC de NG-SDN

El primer paso es inicializar Mininet y a partir de su CLI, incluir las entradas *P4Runtime* requeridas.

Para que dos *hosts* dentro de la misma red puedan conectarse entre sí en una red IPv6, el protocolo **NDP (Neighbor Discovery Protocol)** debe funcionar con el fin de que el host pueda resolver a partir de la dir. IP, la dir. MAC del dispositivo de destino (equivalente a ARP en IPv4).

El *switch* debe operar sin problema con NDP usando la tabla de tipo ternaria, pero primero se insertarán de forma estática dos entradas NDP en los *hosts h1a* y *h1b* en otra terminal poniendo el comando *make mn-cli*:

```
sdn@tutorial-vm:~/ngsdn-tutorial$
mininet> h1a ip -6 neigh replace 2001:1:1::B lladdr 00:00:00:00:00:1B dev h1a-eth0
mininet> h1b ip -6 neigh replace 2001:1:1::A lladdr 00:00:00:00:00:1A dev h1b-eth0
mininet>
mininet> h1a ping h1b
PING 2001:1:1::b(2001:1:1::b) 56 data bytes
|
```

Figura 4-96 Entradas estáticas NDP y prueba de ping – PoC NG-SDN  
Fuente: Autor

El ping en la Fig. 4-96 aún no es exitoso pues es necesario añadir dos entradas a la tabla *l2\_exact\_table* en el *switch leaf1* a través de *P4RuntimeShell* y que el equipo realice la conmutación de tramas adecuadamente, una desde el *host h1a* hacia *h1b* y otra viceversa (conectividad de dos vías):

```
sdn@tutorial-vm:~/ngsdn-tutorial$
sdn@tutorial-vm:~/ngsdn-tutorial$ util/p4rt-sh --grpc-addr localhost:50001 --config p4src/bui
d/p4info.txt,p4src/build/bmv2.json --election-id 0,1
** Connecting to P4Runtime server at localhost:50001 ...
** Welcome to the IPython shell for P4Runtime ***
P4Runtime sh >>> te = table_entry["IngressPipeImpl.l2_exact_table"](action = "IngressPipeImpl
...: .set_egress_port")

P4Runtime sh >>> te.match["hdr.ethernet.dst_addr"] = ("00:00:00:00:00:1B")
te.id: 1
exact {
  value: "\000\000\000\000\000\033"

P4Runtime sh >>> te.action["port_num"] = ("4")
param_id: 1
value: "\000\004"
```

```

#Runtime sh >>> print(te)
table_id: 33005373 ("IngressPipeImpl.l2_exact_table")
match {
  field_id: 1 ("hdr.ethernet.dst_addr")
  exact {
    value: "\\x00\\x00\\x00\\x00\\x00\\x1b"
  }
}
action {
  action {
    action_id: 16812802 ("IngressPipeImpl.set_egress_port")
    params {
      param_id: 1 ("None")
      value: "\\x00\\x04"
    }
  }
}
#Runtime sh >>> te.insert()

```

Figura 4-97 Entradas de conmutación h1a hacia h1b – PoC NG-SDN  
Fuente: Autor

```

#Runtime sh >>> te = table_entry["IngressPipeImpl.l2_exact_table"](action = "IngressPipeImpl
...: .set_egress_port")

#Runtime sh >>> te.match["hdr.ethernet.dst_addr"] = ("00:00:00:00:00:1A")
field_id: 1
exact {
  value: "\\000\\000\\000\\000\\000\\032"
}

#Runtime sh >>> te.action['port_num'] = ("3")
param_id: 1
value: "\\000\\003"

#Runtime sh >>> te.insert()

```

Figura 4-98 Entradas de conmutación h1b hacia h1a – PoC NG-SDN  
Fuente: Autor

Una vez hecho ello, la conectividad es exitosa:

```

sdn@tutorial-vm:~/ngsdn-tutorial$
mininet> h1a ip -6 neigh replace 2001:1:1::B lladdr 00:00:00:00:00:1B dev h1a-eth0
mininet> h1b ip -6 neigh replace 2001:1:1::A lladdr 00:00:00:00:00:1A dev h1b-eth0
mininet>
mininet> h1a ping h1b
PING 2001:1:1::b(2001:1:1:b) 56 data bytes
64 bytes from 2001:1:1::b: icmp_seq=648 ttl=64 time=1.64 ms
64 bytes from 2001:1:1::b: icmp_seq=649 ttl=64 time=1.51 ms
64 bytes from 2001:1:1::b: icmp_seq=650 ttl=64 time=1.92 ms
64 bytes from 2001:1:1::b: icmp_seq=651 ttl=64 time=1.51 ms
64 bytes from 2001:1:1::b: icmp_seq=652 ttl=64 time=1.07 ms
64 bytes from 2001:1:1::b: icmp_seq=653 ttl=64 time=3.65 ms
64 bytes from 2001:1:1::b: icmp_seq=654 ttl=64 time=1.58 ms

```

Figura 4-99 Conectividad exitosa entre hosts h1a y h1b – PoC NG-SDN  
Fuente: Autor

Los siguientes comandos en Mininet muestran en forma de texto la topología de la *Fig. 4-88*:

```
mininet> dump
<IPv6Host h1a: h1a-eth0:10.0.0.1 pid=9>
<IPv6Host h1b: h1b-eth0:10.0.0.2 pid=11>
<IPv6Host h1c: h1c-eth0:10.0.0.3 pid=13>
<IPv6Host h2: h2-eth0:10.0.0.4 pid=15>
<IPv6Host h3: h3-eth0:10.0.0.5 pid=17>
<IPv6Host h4: h4-eth0:10.0.0.6 pid=19>
<StratumBmv2Switch leaf1: lo:127.0.0.1,leaf1-eth1:None,leaf1-eth2:None,leaf1-eth3:None,leaf1-eth4:None,leaf1-eth5:None,leaf1-eth6:None pid=23>
<StratumBmv2Switch leaf2: lo:127.0.0.1,leaf2-eth1:None,leaf2-eth2:None,leaf2-eth3:None,leaf2-eth4:None pid=27>
<StratumBmv2Switch spine1: lo:127.0.0.1,spine1-eth1:None,spine1-eth2:None pid=31>
<StratumBmv2Switch spine2: lo:127.0.0.1,spine2-eth1:None,spine2-eth2:None pid=35>
mininet>
mininet> net
h1a h1a-eth0:leaf1-eth3
h1b h1b-eth0:leaf1-eth4
h1c h1c-eth0:leaf1-eth5
h2 h2-eth0:leaf1-eth6
h3 h3-eth0:leaf2-eth3
h4 h4-eth0:leaf2-eth4
leaf1 lo: leaf1-eth1:spine1-eth1 leaf1-eth2:spine2-eth1 leaf1-eth3:h1a-eth0 leaf1-eth4:h1b-eth0 leaf1-eth5:h1c-eth0 leaf1-eth6:h2-eth0
leaf2 lo: leaf2-eth1:spine1-eth2 leaf2-eth2:spine2-eth2 leaf2-eth3:h3-eth0 leaf2-eth4:h4-eth0
spine1 lo: spine1-eth1:leaf1-eth1 spine1-eth2:leaf2-eth1
spine2 lo: spine2-eth1:leaf1-eth2 spine2-eth2:leaf2-eth2
mininet>
```

**Figura 4-100 Infraestructura desde Mininet – PoC NG-SDN**  
Fuente: Autor

### YANG y OpenConfig en el PoC de NG-SDN

Una de las habilidades propuesta en NG-SDN y que en este PoC corroboraremos es la capacidad de manejar estructuras de datos como YANG.

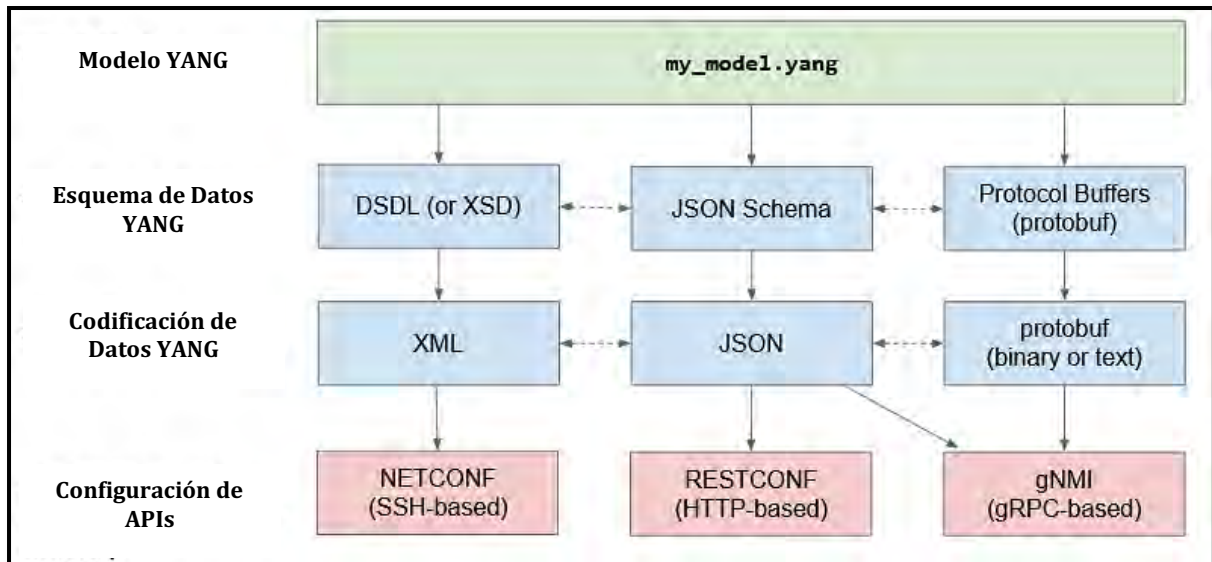
YANG es un lenguaje de modelado de datos diseñado para configuración de red, originalmente propuesto para NETCONF, tomando la estructura semántica y bases de datos del modelo utilizado por SNMP para sus MIBs. Se usa YANG para expresar estructura de datos, no el dato en sí.

Las instancias de los datos pueden expresarse en XML, JSON, YAML o *Protobuf*<sup>64</sup> siempre que se adhieran al esquema de YANG, esquema que se enfoca en dos puntos:

- Estructura y organización de los datos (estructura de árbol: *Path* y *Leaves*)
- Semántica de los nodos *leaves* (similar al lenguaje natural inglés).

---

<sup>64</sup> ProtoBuf – Protocol Buffers de Google: <https://developers.google.com/protocol-buffers>



**Figura 4-101 YANG en el PoC NG-SDN – gNMI: Interfaz con paradigma Get-Set**  
 Basado en (Cascone, 2019)

La sintaxis YANG se basa en módulos, unidad más elemental para la compilación. La estructura YANG se visualiza en el siguiente *script*:

```

// A module is a self-contained tree of nodes
module demo-port {

  // YANG Boilerplate
  yang-version "1";
  namespace "https://opennetworking.org/yang/demo";
  prefix "demo-port";
  description "Demo model for managing ports";
  revision "2019-09-10" {
    description "Initial version";
    reference "1.0.0";
  }

  // ... insert rest of model here ...
}

```

**Script 45 Sintaxis YANG – PoC NG-SDN**  
 Recuperado de (Cascone, 2019)

Los tipos de datos en YANG pueden ser binarios, bits, booleanos, decimales, enteros, cadena de caracteres, etc. La lista completa se encuentra en el RFC 7950 para YANG 1.1.

Una identidad permite expresar una parte del equipo de red en YANG y son jerárquicos.

```

// Identities and Typedefs
identity SPEED {
  description "base type for port speeds";
}

identity SPEED_10GB {
  base SPEED;
  description "10 Gbps port speed";
}

typedef port-number {
  type uint16 {
    range 1..32;
  }
  description "New type for port number that ensure
the number is between 1 and 32, inclusive";
}

```

*Script 46 Identidades y tipos de datos YANG para equipo de Red – PoC NG-SDN  
Recuperado de (Cascone, 2019)*

En caso de reusar nodos, se emplean YANG *Groupings*:

```

// Reusable groupings for port config and state
grouping port-config {
  description "Set of configurable attributes / leaves";
  leaf speed {
    type identityref {
      base demo-port:SPEED;
    }
    description "Configurable speed of a switch port";
  }
}

grouping port-state {
  description "Set of read-only state";
  leaf status {
    type boolean;
    description "Number";
  }
}

```

Un **Leaf** es un nodo que contiene un valor (built-in o derivado) y no posee hijos

*Script 47 YANG Groupings: Asignación de Velocidad de puerto y lectura del estado del puerto – PoC NG-SDN  
Basado en (Cascone, 2019)*

Un Contenedor YANG por su parte es un nodo que tiene hijos o herederos, donde cada módulo tiene un nivel raíz.

```

container ports {
  description "The root container for port configuration and state";
  list port {
    key "port-number";
    description "List of ports on a switch";

    leaf port-number {
      type port-number;
      description "Port number (maps to the front panel port of a switch);
also the key for the port list";
    }
  }
}

```

Una **Lista** es un nodo que contiene múltiples hijos del mismo tipo. Una lista de elementos se le conoce como **key**

```

// each individual will have the elements defined in the grouping
container config {
  description "Configuration data for a port";
  uses port-config; // reference to grouping above
}
container state {
  config false; // makes child nodes read-only
  description "Read-only state for a port";
  uses port-state; // reference to grouping above
}
}

```

Contenedores marcados como **config false** son datos de estado de tipo sólo lectura. Típicamente es usado para telemetría y estadística

**Script 48 YANG Containers: Asignación de puertos y lectura del estado del puerto solo lectura – PoC NG-SDN**  
 Recuperado de (Cascone, 2019)

Manteniendo el esquema YANG en la representación de un equipo de red, es posible reutilizar, importar o personalizar partes en la configuración.

Para dotar de visibilidad, telemetría y capacidad de administración al entorno NG-SDN, la ONF propuso a *OpenConfig* como el ente para desarrollar modelos de datos que trabajen con independencia del HW y SW, siendo además la base para *switches Stratum*.

**What is OpenConfig?**  
 OpenConfig is an informal working group of network operators sharing the goal of moving our networks toward a more dynamic, programmable infrastructure by adopting software-defined networking principles such as declarative configuration and model-driven management and operations.

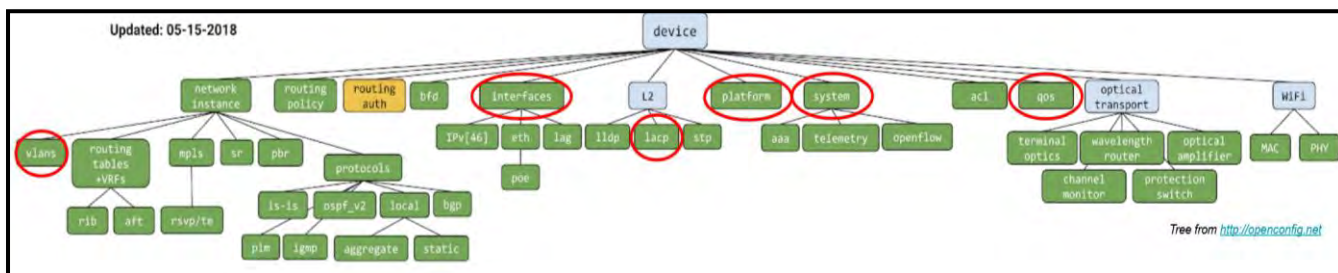
**Common data models**  
 Our initial focus in OpenConfig is on compiling a consistent set of vendor-neutral data models (written in YANG) based on actual operational needs from use cases and requirements from multiple network operators.

**Streaming telemetry**  
 Streaming telemetry is a new paradigm for network monitoring in which data is streamed from devices continuously with efficient, incremental updates. Operators can subscribe to the specific data items they need, using OpenConfig data models as the common interface.

**Figura 4-102 OpenConfig en PoC NG-SDN**  
 Recuperado de <https://www.openconfig.net/>

Si bien *OpenConfig* es capaz de definir gran cantidad de modelos, solamente un grupo de ellos es relevante para el plano de datos:

- Interfaces
- VLANs
- LACP (*Link-Aggregation Control Protocol*)
- Plataforma
- QoS
- Sistema



**Figura 4-103 Modelos de OpenConfig**  
 Recuperado de (Cascone, 2019)

Los fabricantes de HW pueden generar nuevos modelos partiendo de los mencionados en la Fig. 4-103.

```

module: openconfig-interfaces
  +--rw interfaces
    +--rw interface* [name]
      +--rw name -> ../config/name
      +--rw config
        | +--rw name? string
        | +--rw type identityref
        | +--rw enabled? Boolean
        | ...
      +--ro state
        | +--ro name? string
        | +--ro type identityref
        | +--rw enabled? Boolean
        | +--ro ifindex? uint32
        | +--ro admin-status enumeration
        | +--ro oper-status enumeration
        | ...
      +--ro counters
        | +--ro in-octets? oc-yang:counter64
        | +--ro in-pkts? oc-yang:counter64
        | +--ro in-unicast-pkts? oc-yang:counter64
        | +--ro out-octets? oc-yang:counter64
        | +--ro out-pkts? oc-yang:counter64
        | +--ro out-unicast-pkts? oc-yang:counter64
        | ...
  
```

**Figura 4-104 Módulo Interfaces en OpenConfig – árbol YANG**  
 Recuperado de (Cascone, 2019)

Otro objetivo de *OpenConfig* para NG-SDN es definir protocolos de transporte modernos y eficientes para configuración de red, telemetría y operaciones: **gNMI** y **gNOI**.

**gNMI: gRPC Network Management Interface**

gNMI es considerada la evolución de NETCONF para la configuración de redes de nueva generación, al usar menos recursos y menos envío de datos al momento de la configuración.

Funcionalmente hablando es una API genérica para leer/escribir estados de configuración de un equipo de red basado en YANG como posible modelo de datos.

**Tabla 4-3 Comparación gNMI vs NETCONF**

	<b>gNMI</b>	<b>NETCONF</b>
<b>Serialización</b>	Protobuf (Compact Binary Format)	XML
<b>Transporte</b>	gRPC con HTTP/2.0	SSH
<b>Orientado a Cambios</b>	Sí Retorna solo los elementos que han cambiado desde la última lectura	No Retorna todo el árbol
<b>Soporte Nativo para Telemetría en tiempo real</b>	Sí gRPC soporta streaming bidireccional de telemetría	No Necesita extensión de YANG

Basado en (Cascone, 2019)

gNMI se maneja bajo el paradigma *GET/SET/Subscribe/Capabilites* para interactuar con el plano de datos.

Para poner en práctica los conceptos de YANG, *OpenConfig* y gNMI usaremos el PoC de NG-SDN.

El módulo YANG a emplear se analizó en los *Scripts 45 a 48 (yang/demo-port.yang)*, pero completo se lo puede ver en **Anexo F: Scripts para la Implementación de PoC NG-SDN**.

Para tener un esquema más sencillo de YANG, se usará la herramienta *pyang* y así visualizar el modelo. Primero entraremos a un *Docker* parte de la VM del PoC denominada *yang-tools*:

```
sdn@tutorial-vm: ~/ngsdn-tutorial
sdn@tutorial-vm:~$ cd ngsdn-tutorial/
sdn@tutorial-vm:~/ngsdn-tutorial$ make yang-tools
docker run --rm -it -v /home/sdn/ngsdn-tutorial/yang/demo-port.yang:/models/demo-port.yang bocon/yang-tools:latest
bash-4.4#
```

Figura 4-105 Docker yang-tools – PoC NG-SDN  
Fuente: Autor

Ahora, se correrá *pyang* para observar el modelo YANG analizado en forma de árbol:

```
bash-4.4# pyang -f tree demo-port.yang
module: demo-port
  +-rw ports
    +-rw port* [port-number]
      +-rw port-number port-number
      +-rw config
      | +-rw speed? identityref
      +-ro state
      _+-ro status? boolean
```

Figura 4-106 Herramienta Pyang para modelo YANG – PoC NG-SDN  
Fuente: Autor

La representación canónica de YANG de la Fig. 4-106 es a través de XML, como se observa a continuación. Tanto la Fig. 4-106 y Fig.4-107 coinciden en su estructura:

```
bash-4.4# pyang -f sample-xml-skeleton demo-port.yang
<?xml version='1.0' encoding='UTF-8'?>
<data xmlns="urn:ietf:params:xml:ns:netconf:base:1.0">
  <ports xmlns="https://opennetworking.org/yang/demo">
    <port>
      <port-number/>
      <config>
        <speed/>
      </config>
      <state>
        <status/>
      </state>
    </port>
  </ports>
</data>
bash-4.4#
```

Figura 4-107 Formato canónico XML de modelo YANG – PoC NG-SDN  
Fuente: Autor

Además de XML, es factible utilizar *Protobuf* como mecanismo de codificación, el cual es más compacto. Se utilizará *proto\_generator* para generar mensajes *protobuf* del modelo YANG analizado:

```
bash-4.4# proto_generator -output_dir=/proto -package_name=tutorial demo-port.yang
bash-4.4# _
```

El comando anterior genera dos archivos: **demo\_port.proto** y **enums.proto**.

Para visualizar el primer archivo se usará el comando:

```
less /proto/tutorial/demo_port/demo_port.proto
```

```
// tutorial.demo_port is generated by proto_generator as a protobuf
// representation of a YANG schema.
//
// Input schema modules:
// - demo-port.yang
syntax = "proto3";

package tutorial.demo_port;

import "github.com/openconfig/ygot/proto/ywrapper/ywrapper.proto";
import "github.com/openconfig/ygot/proto/yext/yext.proto";
import "tutorial/enums/enums.proto";

message Ports {
  message Port {
    message Config {
      tutorial.enums.DemoPortSPEED speed = 349429249 [(yext.schemapath) = "/ports/port/config/speed"];
    }
    message State {
      ywrapper.BoolValue status = 431466463 [(yext.schemapath) = "/ports/port/state/status"];
    }
  }
  Config config = 496638493 [(yext.schemapath) = "/ports/port/config"];
  State state = 309256978 [(yext.schemapath) = "/ports/port/state"];
}
message PortKey {
  uint64 port number = 1 [(yext.schemapath) = "/ports/port/port-number"];
}
/proto/tutorial/demo_port/demo_port.proto
```

*Figura 4-108 Protobuf demo\_port de modelo YANG – PoC NG-SDN*  
Fuente: Autor

Para el segundo archivo se usará el comando:

```
less /proto/tutorial/enums/enums.proto
```

```
// tutorial.enums is generated by proto_generator as a protobuf
// representation of a YANG schema.
//
// Input schema modules:
// - demo-port.yang
syntax = "proto3";

package tutorial.enums;

import "github.com/openconfig/ygot/proto/ywrapper/ywrapper.proto";
import "github.com/openconfig/ygot/proto/yext/yext.proto";

// DemoPortSPEED represents an enumerated type generated for the YANG identity SPEED.
enum DemoPortSPEED {
  DEMOPORTSPEED_UNSET = 0;
  DEMOPORTSPEED_SPEED_10GB = 58009674 [(yext.yang_name) = "SPEED_10GB"];
}
```

*Figura 4-109 Protobuf enums (velocidad de interfaz) de modelo YANG – PoC NG-SDN*  
Fuente: Autor

Hasta lo analizado al momento, existen muchos protocolos agnósticos para modelos YANG que pueden ser usados para obtener datos o configurar equipos: NETCONF, RESTCONF y gNMI.

En esta parte del PoC usaremos *protobuf* codificado sobre gNMI.

Primero, debemos confirmar que el contenedor de Mininet esté corriendo y funcional. Luego, se usará *gNMI Client CLI*<sup>65</sup> y así leer la configuración desde el *switch Stratum leaf1*:

```

sdn@tutorial-vm:~/ngsdn-tutorial$ make start
docker-compose up -d
mininet is up-to-date
onos is up-to-date
sdn@tutorial-vm:~/ngsdn-tutorial$ util/gnmi-cli --grpc-addr localhost:50001 get /
*****
REQUEST
path {
}
type: CONFIG
encoding: PROTO
*****
*****
RESPONSE
notification {
  update {
    path {
    }
    val {
      any_val {
        type_url: "type.googleapis.com/openconfig.Device"
        value: "\252\221\231\304\001\031\n\005leaf1\022\020\242\313\237\312\004\n\250\314\33
3\264\010\276\200\224\001\252\221\231\304\001 \n\005:lc-1\022\027\202\377\211H\t\322\315
\356\351\007\003\n\0011\212\212\344\255\007\003\n\0011\252\221\231\304\001X\n\nleaf1-eth1\02

```

Figura 4-110 gNMI Client CLI – PoC NG-SDN  
Fuente: Autor

La primera parte de la Fig. 4-110 muestra la petición (*request*) realizada por el CLI y la segunda parte muestra la respuesta (*response*) desde el *Switch Stratum* de tipo *openconfig.Device* como mensaje tipo *protobuf*.

La parte de la respuesta no es legible, por lo que, para tener una buena apreciación, se usa un decodificador mediante el siguiente comando:

**\$ util/gnmi-cli --grpc-addr localhost:50001 get / | util/oc-pb-decoder | less**

```

*****
REQUEST
path {
}
type: CONFIG
encoding: PROTO
*****
*****
RESPONSE
notification {
  update {
    path {
    }
    val {
      any_val {
        type_url: "type.googleapis.com/openconfig.Device"
        value:
component {
  name: "leaf1"
  component {
    chassis {
      platform: OPENCONFIGHERCULESPLATFORMPLATFORMTYPE_GENERIC
    }
  }
}
}
}
}

```

Figura 4-111 gNMI Client CLI con respuesta legible – PoC NG-SDN  
Fuente: Autor

<sup>65</sup> gNMI Client CLI: <https://github.com/Yi-Tseng/Yi-s-gNMI-tool>

A través de gNMI es factible obtener información (*get*) de la infraestructura, por ejemplo, para saber el estado operativo de la interfaz eth3 de Leaf1:

```

sdn@tutorial-vm:~/ngsdn-tutorial$
sdn@tutorial-vm:~/ngsdn-tutorial$ util/gnmi-cli --grpc-addr localhost:50001 get \
> /interfaces/interface[name=leaf1-eth3]/config
*****
REQUEST
path {
  elem {
    name: "interfaces"
  }
  elem {
    name: "interface"
    key {
      key: "name"
      value: "leaf1-eth3"
    }
  }
  elem {
    name: "config"
  }
}
encoding: PROTO

*****
RESPONSE
notification {
  timestamp: 1625705715889486485
  update {
    path {
      elem {
        name: "interfaces"
      }
      elem {
        name: "interface"
        key {
          key: "name"
          value: "leaf1-eth3"
        }
      }
      elem {
        name: "config"
      }
      elem {
        name: "enabled"
      }
    }
    val {
      bool_val: true
    }
  }
}

notification {
  timestamp: 1625705715889536211
  update {
    path {
      elem {
        name: "interfaces"
      }
      elem {
        name: "interface"
        key {
          key: "name"
          value: "leaf1-eth3"
        }
      }
      elem {
        name: "config"
      }
      elem {
        name: "health-indicator"
      }
    }
    val {
      string_val: "GOOD"
    }
  }
}

```

**Figura 4-112 gNMI Client CLI – get del estado de Interfaz – PoC NG-SDN**  
Fuente: Autor

De igual manera, se puede configurar la infraestructura (*set*), apagando una de sus interfaces, por ejemplo:

```
sdn@tutorial-vm:~/ngsdn-tutorial$
sdn@tutorial-vm:~/ngsdn-tutorial$ util/gnmi-cli --grpc-addr localhost:50001 set \
> /interfaces/interface[name=leaf1-eth3]/config/enabled \
> --bool-val false
*****
REQUEST
update {
  path {
    elem {
      name: "interfaces"
    }
    elem {
      name: "interface"
      key {
        key: "name"
        value: "leaf1-eth3"
      }
    }
    elem {
      name: "config"
    }
    elem {
      name: "enabled"
    }
  }
  val {
    bool_val: false
  }
}
*****
RESPONSE
prefix {
}
response {
  path {
    elem {
      name: "interfaces"
    }
    elem {
      name: "interface"
      key {
        key: "name"
        value: "leaf1-eth3"
      }
    }
    elem {
      name: "config"
    }
    elem {
      name: "enabled"
    }
  }
  op: UPDATE
}
timestamp: 1625706504090264207
*****
```

*Figura 4-113 gNMI Client CLI – set para pagar una Interfaz – PoC NG-SDN  
Fuente: Autor*

Para encender nuevamente la interfaz, el comando sería:

```
$ util/gnmi-cli --grpc-addr localhost:50001 set \  
/interfaces/interface[name=leaf1-eth3]/config/enabled \  
--bool-val true
```

Para finalizar este PoC, interactuaremos con el Controlador SDN que hace posible la conectividad entre los nodos *Stratum*: **ONOS**.

El comando **make start** inicializa tanto Mininet como ONOS, por lo que se puede ingresar a su CLI en este PoC de la siguiente forma. La contraseña es **rocks**:

```
sdn@tutorial-vm:~/ngsdn-tutorial$ make onos-cli
*** Connecting to the ONOS CLI... password: rocks
*** Top exit press Ctrl-D
Password:
Welcome to Open Network Operating System (ONOS)!

  ONOS

Documentation: wiki.onosproject.org
Tutorials:    tutorials.onosproject.org
Mailing lists: lists.onosproject.org

Come help out! Find out how at: contribute.onosproject.org

Hit '<tab>' for a list of available commands
and '[cmd] --help' for help on a specific command.
Hit '<ctrl-d>' or type 'logout' to exit ONOS session.

onos@root > |
```

**Figura 4-114** Inicialización Controlador ONOS – PoC NG-SDN  
Fuente: Autor

Las aplicaciones habilitadas en ONOS para un entorno NG-SDN son las siguientes:

```
onos@root >
onos@root > apps -a -s
* 8 org.onosproject.protocols.grpc 2.2.2 gRPC Protocol Subsystem
* 9 org.onosproject.protocols.gnmi 2.2.2 gNMI Protocol Subsystem
* 10 org.onosproject.generaldeviceprovider 2.2.2 General Device Provider
* 36 org.onosproject.protocols.p4runtime 2.2.2 P4Runtime Protocol Subsystem
* 37 org.onosproject.p4runtime 2.2.2 P4Runtime Provider
* 38 org.onosproject.drivers 2.2.2 Default Drivers
* 39 org.onosproject.drivers.p4runtime 2.2.2 P4Runtime Drivers
* 40 org.onosproject.pipelines.basic 2.2.2 Basic Pipelines
* 61 org.onosproject.hostprovider 2.2.2 Host Location Provider
* 62 org.onosproject.lldpprovider 2.2.2 LLDP Link Provider
* 73 org.onosproject.drivers.gnmi 2.2.2 gNMI Drivers
* 90 org.onosproject.protocols.gnoi 2.2.2 gNOI Protocol Subsystem
* 114 org.onosproject.drivers.gnoi 2.2.2 gNOI Drivers
* 115 org.onosproject.drivers.stratum 2.2.2 Stratum Drivers
* 116 org.onosproject.drivers.bmv2 2.2.2 BMv2 Drivers
* 144 org.onosproject.gui2 2.2.2 ONOS GUI2
onos@root > |
```

**Figura 4-115** Aplicaciones ONOS – PoC NG-SDN  
Fuente: Autor

Tal como se analizó en **2.7 Controladores SDN**, ONOS define APIs para interactuar con la infraestructura del plano de datos, las cuales se denominan Comportamientos (*Behaviors*). Un *Driver* es una colección de uno o más *Behaviors*.

Entre las APIs más importantes para el entorno NG-SDN son:

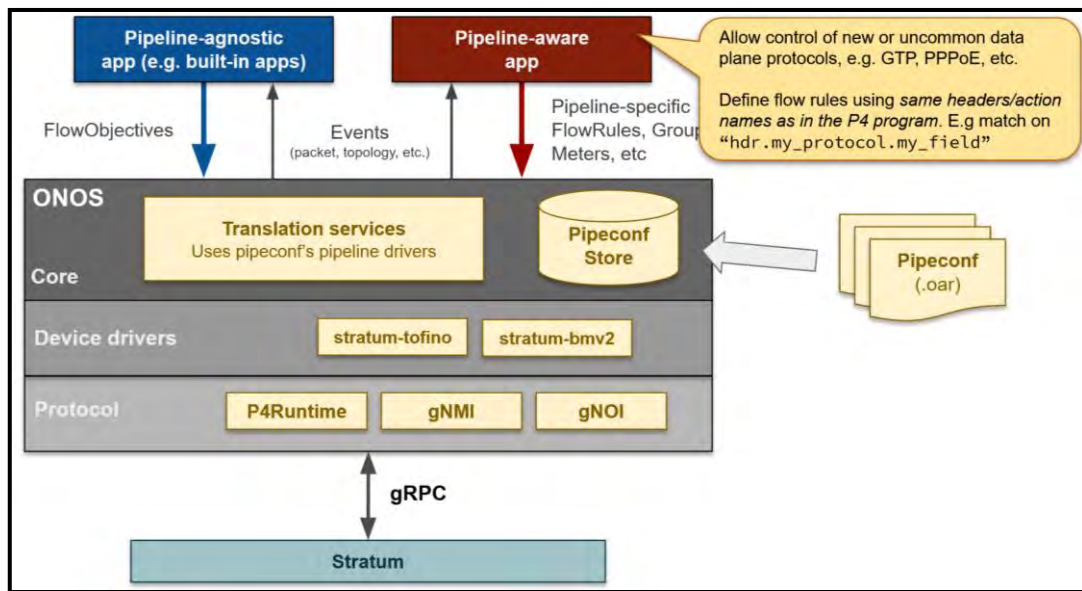
- *DeviceDescriptionDiscovery*: API que lee información del dispositivo y Puerto.
- *FlowRuleProgrammable*: Lee/Escribe reglas de flujos.

- *PortStatisticsDiscovery*: Muestra datos estadísticos de los puertos de un dispositivo (Telemetría).
- *Pipeliner*: Mapeo de la lógica de envío en la red.

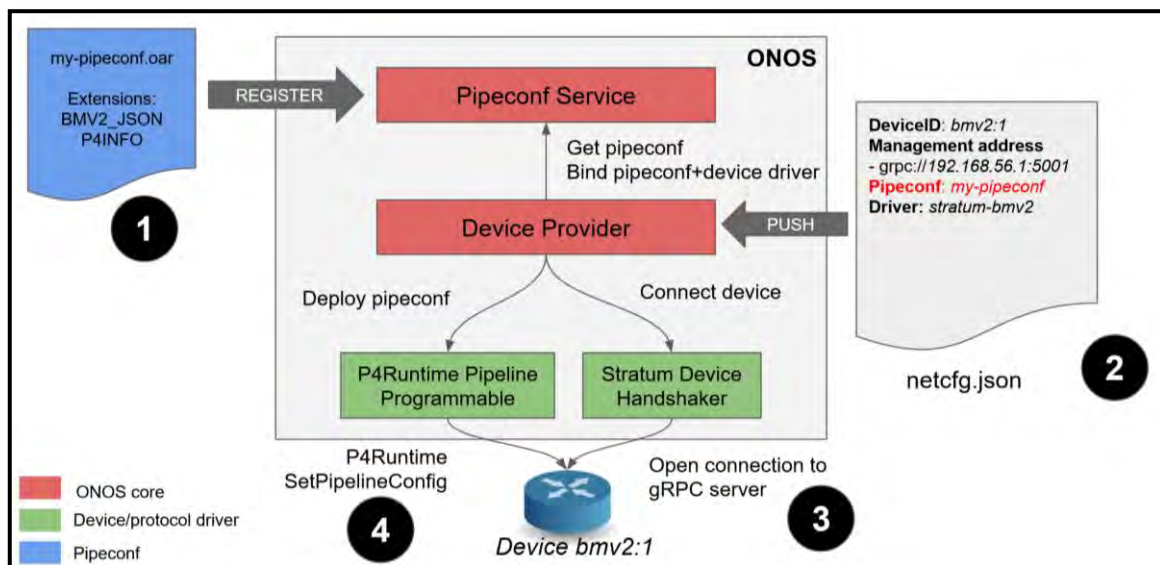
Si bien ONOS fue diseñado para trabajar junto a *OpenFlow*, extendió sus funcionalidades en NG-SDN para que usuarios puedan cargar programas/apps escritos en P4 sin inconvenientes.

Algo adicional sobre ONOS en NG-SDN es generar su propio *Pipeline* para establecer el envío de tráfico en la red, el cual se ha denominado *Pipeconf*.

*Pipeconf* es una paquetería provista a ONOS como una app que une todo lo necesario para que ONOS entienda, controle e implemente diferentes *pipelines*.



**Figura 4-116 Pipeconf soportado por ONOS – PoC NG-SDN**  
Recuperado de (Cascone, 2019)



**Figura 4-117 Flujograma Pipeconf en ONOS – PoC NG-SDN**  
Recuperado de (Cascone, 2019)

Al usar *Pipeconf* se generan tres fases de traducción y así el Plano de Datos interactúa con el Plano de Control:

- *Flow Objective* a *Flow Rule*: Mapea un flujo objetivo a muchas reglas de flujo.
- *Flow Rule* a *Table Entry*: Mapea acciones estándar tipo ONOS a P4.
- *Table Entry* a *P4Runtime Message*: Mapea nombres a IDs en P4.

En el PoC, se requiere de cargar la App (***make app-reload***) y registrar la infraestructura a *Pipeconf*. Para ello, se activa la app previamente construida (se encuentra en el siguiente *path* de la VM de NG-SDN: ***app/target/ngsdn-tutorial-1.0-SNAPSHOT.oar***)

```
sdn@tutorial-vm:~/ngsdn-tutorials$
sdn@tutorial-vm:~/ngsdn-tutorials$ make app-reload
*** Uninstalling app from ONOS (it present)...
curl --fail -sSL --user onos:rocks --noproxy localhost -X DELETE http://localhost:8181/onos/v1/applications/org.onosproject.ngsdn-tutorial

*** Installing and activating app in ONOS...
curl --fail -sSL --user onos:rocks --noproxy localhost -X POST -HContent-Type:application/octet-stream \
  'http://localhost:8181/onos/v1/applications?activate=true' \
  --data-binary @app/target/ngsdn-tutorial-1.0-SNAPSHOT.oar
{"name":"org.onosproject.ngsdn-tutorial","id":192,"version":"1.0.SNAPSHOT","category":"Traffic Steering","description":"Provides IPv6 routing capabilities to a leaf-spine network of P4 switches","readme":"Provides IPv6 routing capabilities to a leaf-spine network of P4 switches","origin":"p4.org","url":"http://www.onosproject.org","featuresRepo":"mvn:org.onosproject/ngsdn-tutorial/1.0-SNAPSHOT/xml/features","state":"ACTIVE","features":["ngsdn-tutorial"],"permissions":[],"requiredApps":["org.onosproject.drivers.bmv2","org.onosproject.lldpprovider","org.onosproject.hostprovider"]}
```

```
Welcome to Open Network Operating System (ONOS)!

  ONOS

Documentation: wiki.onosproject.org
Tutorials:    tutorials.onosproject.org
Mailing lists: lists.onosproject.org

Come help out! Find out how at: contribute.onosproject.org

Hit '<tab>' for a list of available commands
and '[cmd] --help' for help on a specific command.
Hit '<ctrl-d>' or type 'logout' to exit ONOS session.

onos@root >
onos@root >
onos@root > pipeconfs
id=org.onosproject.pipelines.int, behaviors=[PiPipelineInterpreter, Pipeliner, PortStatisticsDiscovery, IntProgrammable], extensions=[P4_INFO_TEXT, BMV2_JSON]
id=org.onosproject.pipelines.basic, behaviors=[PiPipelineInterpreter, Pipeliner, PortStatisticsDiscovery], extensions=[P4_INFO_TEXT, BMV2_JSON]
onos@root >
```

Figura 4-118 Carga de App Pipeconf ONOS – PoC NG-SDN  
Fuente: Autor

Una vez que ONOS y Mininet está corriendo, es momento de que ONOS encuentre los *switches* de la infraestructura y los controle mediante un archivo de configuración de nombre **netcfg.json**

el cual contiene información como la dirección gRPC y los puertos asociados a cada nodo *Stratum*, los *Driver* ONOS para cada equipo (*stratum-bmv2*), el *pipeconf* para la infraestructura (*PipeconfLoader.java*). Para observar estos archivos, diríjase a **Anexo F: Scripts para la Implementación de PoC NG-SDN**.

En una nueva terminal, mediante el comando **make netcfg** se realiza un *push* del archivo *netcfg.json* a ONOS y así descubrir los *switches* *Stratum*.

```
sdn@tutorial-vm:~/ngsdn-tutorial$ make netcfg
*** Pushing netcfg.json to ONOS...
curl --fail -sSL --user onos:rocks --noproxy localhost -X POST -H 'Content-Type:application/json' \
  http://localhost:8181/onos/v1/network/configuration -d@./mininet/netcfg.json
```

**Figura 4-119 Push del archivo netcfg.json a ONOS – PoC NG-SDN**  
Fuente: Autor

Para comprobar que la configuración fue enviada correctamente, en ONOS se usa el comando:

```
onos@root >
onos@root > netcfg
{
  "devices" : {
    "device:spine2" : {
      "fabricDeviceConfig" : {
        "myStationMac" : "00:bb:00:00:00:02",
        "isSpine" : true
      },
      "basic" : {
        "managementAddress" : "grpc://mininet:50004?device_id=1",
        "driver" : "stratum-bmv2",
        "pipeconf" : "org.onosproject.ngsdn-tutorial",
        "locType" : "grid",
        "gridX" : 600,
        "gridY" : 400
      }
    }
  },
}
```

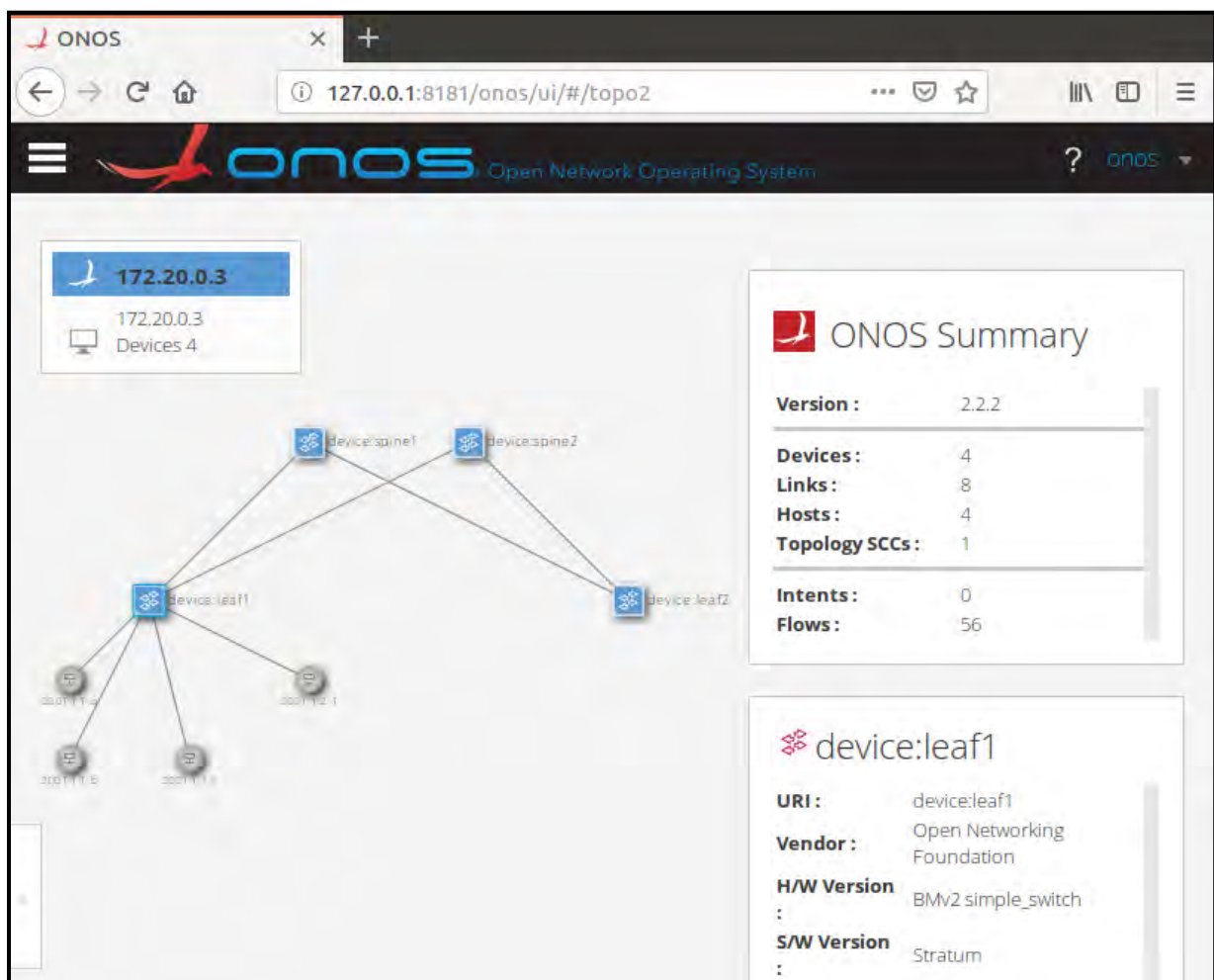
**Figura 4-120 Comprobación de Push del archivo netcfg.json a ONOS – PoC NG-SDN**  
Fuente: Autor

A partir de ese momento, ONOS ha descubierto los cuatro *switches* de la infraestructura

```
onos@root > devices -s
id=device:leaf1, available=true, role=MASTER, type=SWITCH, driver=stratum-bmv2:org.onosproject.ngsdn-tutorial
id=device:leaf2, available=true, role=MASTER, type=SWITCH, driver=stratum-bmv2:org.onosproject.ngsdn-tutorial
id=device:spine1, available=true, role=MASTER, type=SWITCH, driver=stratum-bmv2:org.onosproject.ngsdn-tutorial
id=device:spine2, available=true, role=MASTER, type=SWITCH, driver=stratum-bmv2:org.onosproject.ngsdn-tutorial
onos@root >
onos@root > links
src=device:leaf1/1, dst=device:spine1/1, type=DIRECT, state=ACTIVE, expected=false
src=device:leaf1/2, dst=device:spine2/1, type=DIRECT, state=ACTIVE, expected=false
src=device:leaf2/1, dst=device:spine1/2, type=DIRECT, state=ACTIVE, expected=false
src=device:leaf2/2, dst=device:spine2/2, type=DIRECT, state=ACTIVE, expected=false
src=device:spine1/1, dst=device:leaf1/1, type=DIRECT, state=ACTIVE, expected=false
src=device:spine1/2, dst=device:leaf2/1, type=DIRECT, state=ACTIVE, expected=false
src=device:spine2/1, dst=device:leaf1/2, type=DIRECT, state=ACTIVE, expected=false
src=device:spine2/2, dst=device:leaf2/2, type=DIRECT, state=ACTIVE, expected=false
```

**Figura 4-121 Descubrimiento de Switches Stratum y sus enlaces en ONOS – PoC NG-SDN**  
Fuente: Autor

ONOS posee una GUI interactiva que también es factible de ingresar desde la VM del PoC abriendo un navegador con la URL **http://127.0.0.1:8181/onos/ui**. El usuario es **onos** y la contraseña es **rocks**.



**Figura 4-122 ONOS GUI – PoC NG-SDN**  
*Fuente: Autor*

## 4.5 PoC de SD-WAN en EVE-ng

En 3.3 *Software-Defined WAN: Propuesta de rediseño del transporte de información y control de camino en redes Underlay y Overlay* se analizó los conceptos básicos de *SD-WAN*, profundizando el estudio de *SD-WAN Viptela* como una solución robusta para redes de transporte de próxima generación.

En este PoC se pondrá a prueba los conceptos teóricos llevados a la práctica en un entorno de emulación muy real en *EVE-ng*.

### 4.5.1 Cisco DevNet Sandbox y dCloud

*EVE-ng*, si bien es un emulador excelente para este tipo de PoCs, se requiere de una computadora de grandes prestaciones (al menos 32 a 64GB de RAM, con 4-8 núcleos y CPU robusto), por ello existen entornos alternativos, donde quizá no toda la capacidad de personalización existe, pero son adecuados para dar un vistazo a nuevas tecnologías. Uno de ellos es el entorno conocido como *DevNet Sandbox*, el cual es un ambiente de pruebas desarrollado por la Comunidad de *DevNet* con el fin de realizar laboratorios de diversos tópicos tecnológicos, desde Redes Tradicionales, Seguridad en Tecnologías de la Información, Redes de Próxima Generación, *Blockchain*, APIs, lenguajes de programación, Tecnologías *OpenSource*, entre otros, totalmente gratis y abierto al público.

Para acceder, basta con ingresar a esta URL y usar las credenciales de GitHub, Gmail, Facebook, Cisco ID (NetAcad) o Webex:

<https://developer.cisco.com/site/sandbox/>

Existen dos tipos de *Sandboxes* en *DevNet*:

- *Always-On*: Este tipo de laboratorios de prueba están siempre disponibles y no requiere de una reservación previa. Es ideal para dar un primer vistazo a una determinada tecnología o producto. Este ambiente es “compartido” entre todos los usuarios de momento.
- *Reservation*: Este tipo de laboratorios requiere de una reserva previa y tiene una duración máxima de 8 horas continuas. La principal ventaja es la posibilidad de contar con acceso administrativo total y exclusivo a todos los nodos, razón por la cual se establece una conexión a través de una VPN. La instanciación de estos laboratorios puede ser entre 10-40 minutos dependiendo del tópico.

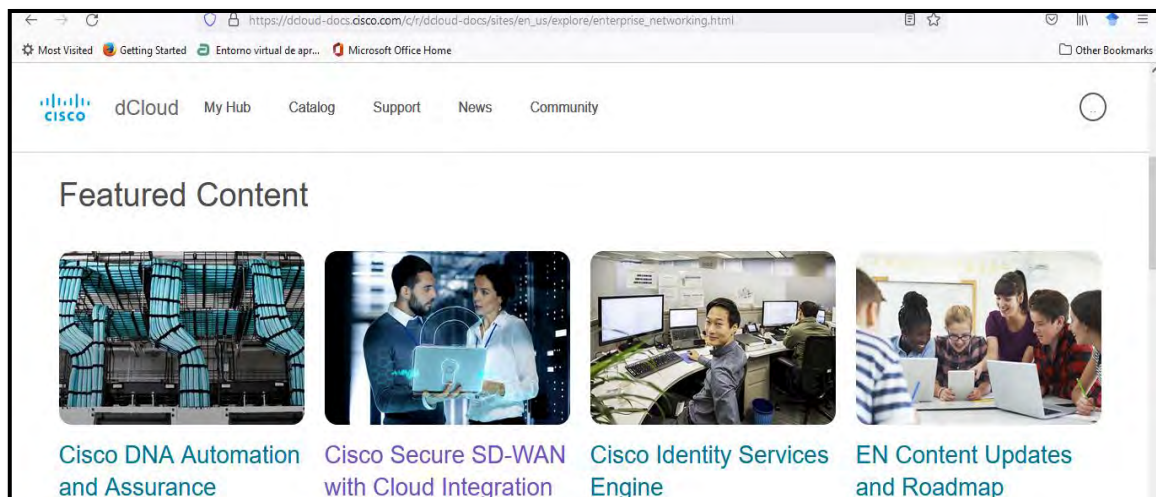


Figura 4-123 Página principal de DevNet Sandbox- PoC SDWAN<sup>66</sup>

Fuente: Autor

<sup>66</sup> DevNet Sandbox Documentación: <https://developer.cisco.com/docs/sandbox/#!getting-started/what-is-devnet-sandbox>

Por otro lado, en un entorno más enfocado hacia Pruebas de Concepto empresariales, está *dCloud*, entorno en el que se pone en marcha laboratorios de tópicos vanguardistas y probar soluciones Cisco mediante un sistema de reserva del entorno y conexión a través de VPNs a los servidores de emulación. Este tipo de PoCs son demos precargados y guiados de temas como DNA (*Digital Network Architecture*), *Secure SD-WAN* con integración *Cloud*, ISE (*Identity Services Engine*), etc.



**Figura 4-124** Página de tópicos de *dCloud*- PoC SDWAN<sup>67</sup>  
Fuente: Autor

Para acceder, basta con ingresar a esta URL y usar las credenciales de GitHub, Gmail, Facebook, Cisco ID (NetAcad) o Webex:

**<https://dcloud-docs.cisco.com/c/r/dcloud-docs/sites/en-us/explore/enterprise-networking.html>**

#### 4.5.2 SD-WAN en la vida real

En **3.3.3 SD-WAN: Componentes de la Implementación tipo Viptela**, se fundamentó a esta tecnología, definiendo su terminología y funciones clave.

Ahora, se tendrá una visión de cómo SD-WAN Viptela puede implementarse en el mundo real. Para ello, es importante mencionar cómo se evolucionó del enrutamiento tradicional a los nuevos paradigmas basados en SDN.

En un enrutamiento tradicional existen dos tipos de paquetes que son enviados y recibidos por un *router*:

- Paquetes de Enrutamiento: Mensajes generados por los protocolos de enrutamiento para formar la RIB (*Routing Information Base*) y su forma comprimida a nivel de *Hardware*, FIB (*Forwarding Information Base*).
- Paquetes enrutados: Mensajes que deben ser enrutados por el equipo. Son los mensajes de usuario.

<sup>67</sup> DevNet Sandbox Documentación: <https://developer.cisco.com/docs/sandbox/#!getting-started/what-is-devnet-sandbox>

La siguiente figura muestra las partes fundamentales de un *router* tradicional.

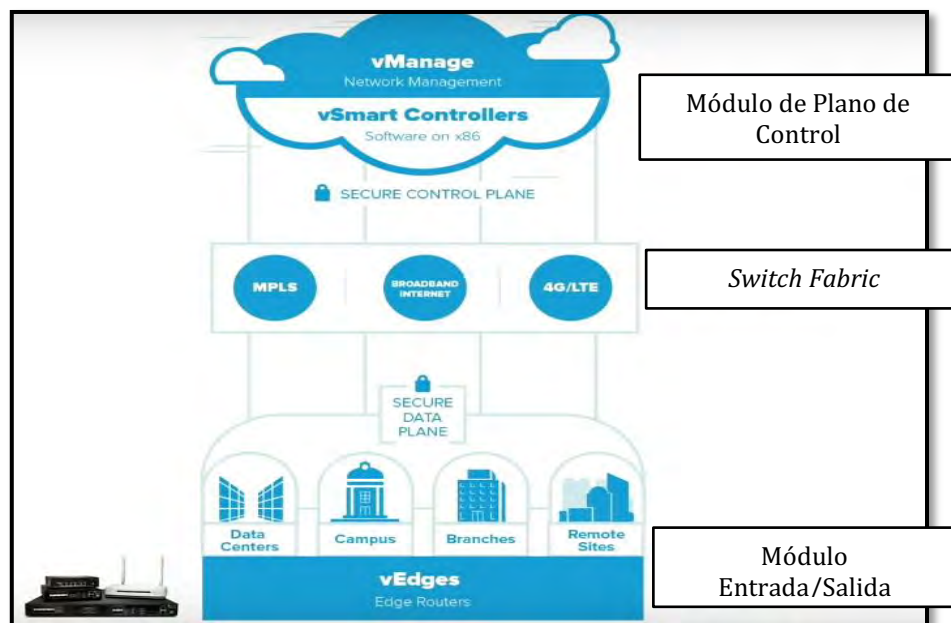


**Figura 4-125 Router Tradicional – PoC SDWAN**  
Recuperado de (Prabhu, 2019)

En la *Fig. 4-125* se aprecian los tres elementos principales que permiten que un paquete de datos sea enrutado de forma correcta:

- **Módulo de Entrada/Salida:** Módulo por el que ingresan tanto los paquetes de enrutamiento como los enrutados. Son las interfaces físicas.
- **Módulo de Plano de Control:** CPU del equipo donde se forma la RIB y una copia resumida pasa al Módulo de E/S en forma de FIB.
- **Switch Fabric:** Conexiones de *backplane* que interconecta el Módulo E/S con el Plano de Control.

En un entorno SD-WAN, esos elementos se desacoplan del equipo y se distribuyen en la infraestructura con el fin de dotar de flexibilidad, escalabilidad y resiliencia a la red.



**Figura 4-126 Esquema de SDWAN – PoC SDWAN**  
Recuperado de (Prabhu, 2019)

Según la Fig. 4-126, el módulo E/S se conoce como *vEdges* al ser equipos virtuales/*Cloud* o *cEdges* al ser equipos físicos, el plano de control pasa a ser *vManage/vSmart* y el *Switch Fabric* es el mismo Internet, ya que este se ha convertido en el medio de transporte ideal, pues ahora es predecible, estable y lo más seguro posible.

Con este esquema, no es necesario que los equipos se hablen entre ellos para llegar al punto de convergencia y tengan una imagen individual de la red a través de sus RIB/FIB, en el paradigma SD-WAN, un Plano de Control (*vSmart*) común, normalmente ubicado en la nube, cambia una política (en *vManage*) y esta se distribuye (*pushes*) desde *vSmart* a los *vEdges* mediante OMP.

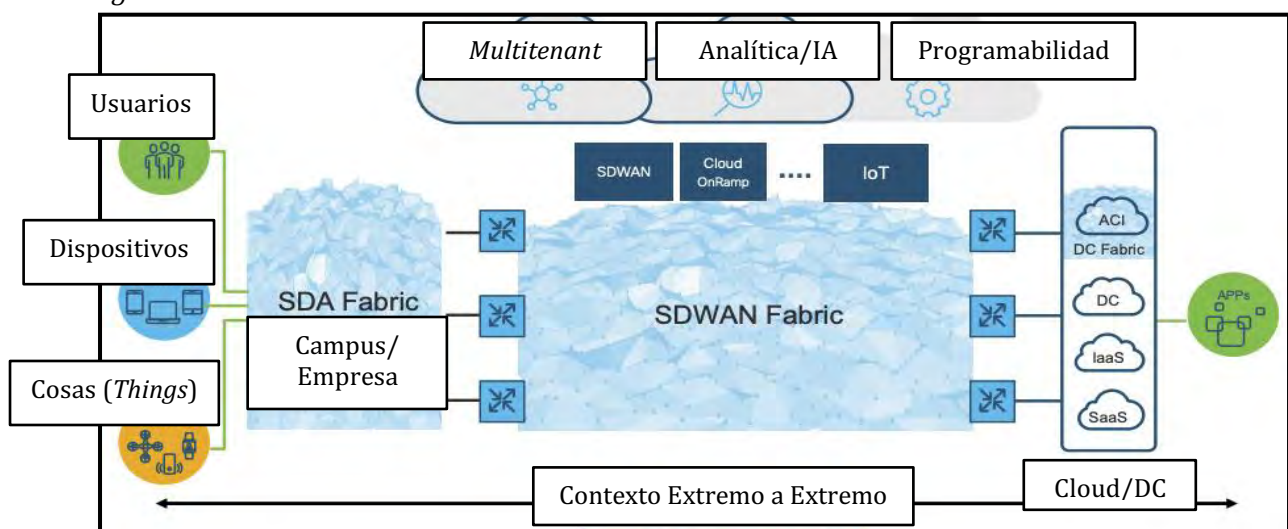
Como se comentó anteriormente, OMP (*Overlay Management Protocol*), permite el establecimiento del canal de comunicación entre los *vEdges* y el Plano de Control (*vSmart*) y el enrutamiento coherente de todo el entorno, canal que se asegura mediante DTLS/TLS. Con ello, el *Overlay* para SD-WAN son los túneles inteligentes de comunicación que tienen al Internet como *Fabric* entre el plano de datos y el de control.

El elemento faltante es el orquestador de la red, denominado *vBond*, el cual permite que los *vEdges* conozcan donde están los *vManage/vSmart*. Este es el único elemento de la arquitectura SD-WAN Viptela que debe estar en la red pública, pues es el puente inicial de comunicación al que los equipos llegan al inicializarse y posteriormente se establece el *Overlay* final mediante OMP.

También, se genera el concepto de *Secure Extensible Network* o SEN, el cual se basa en el uso de llaves públicas-privadas (*keys*) para mantener la encriptación, autenticación y control de acceso al máximo nivel. Las llaves públicas se mantienen en el plano de control.

En resumen, los paquetes de enrutamiento se envían desde los *vEdges* hacia el plano de control, mientras los paquetes enrutados se envían entre *vEdges* dando conectividad de extremo a extremo entre sedes, es así que, la LAN/VLAN corporativa (red empresarial que puede ser tradicional), está detrás de los *vEdges* para su comunicación. Cabe decir que el canal de comunicación entre *vEdges* se protege mediante IPSec de igual manera al atravesar la red de transporte

Nuevas tecnologías pueden integrarse en estos entornos, un esquema de ello se aprecia en la Fig. 4-127.



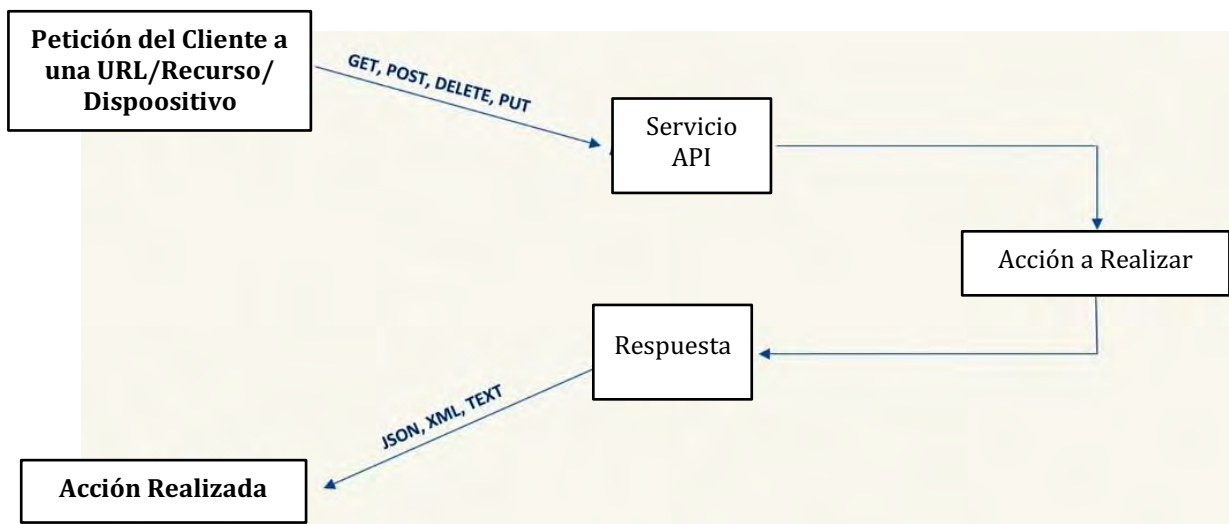
**Figura 4-127 Esquema de SDWAN - PoC SDWAN**  
 Recuperado de (Cisco Systems - DevNet Learning Labs, 2021)

### 4.5.3 vManage REST-API

Antes de comenzar el PoC de SDWAN, es necesario mencionar un tema importante en este nuevo paradigma de redes, el uso de APIs para controlar, administrar, orquestar y generar telemetría.

API es el acrónimo de *Application Programming Interface*, la cual consiste en un conjunto de reglas que describen cómo una aplicación puede interactuar con otra aplicación y el mecanismo que permite que esa interacción tenga efecto. En **2.3.2 Application Programming Interfaces - APIs**, se ahonda más en ese concepto, además de identificar distintos tipos de APIs, pero el que interesa para el contexto de SD-WAN son las REST-APIs.

REST es el término usado para *Representational State Transfer*, el cual establece una comunicación similar a HTTP/HTTPS, usando métodos similares para extraer información de la infraestructura (*get, post, put, delete*) y pueden retornar información en formatos como XML y JSON. La Fig. 4-128 muestra ese comportamiento:

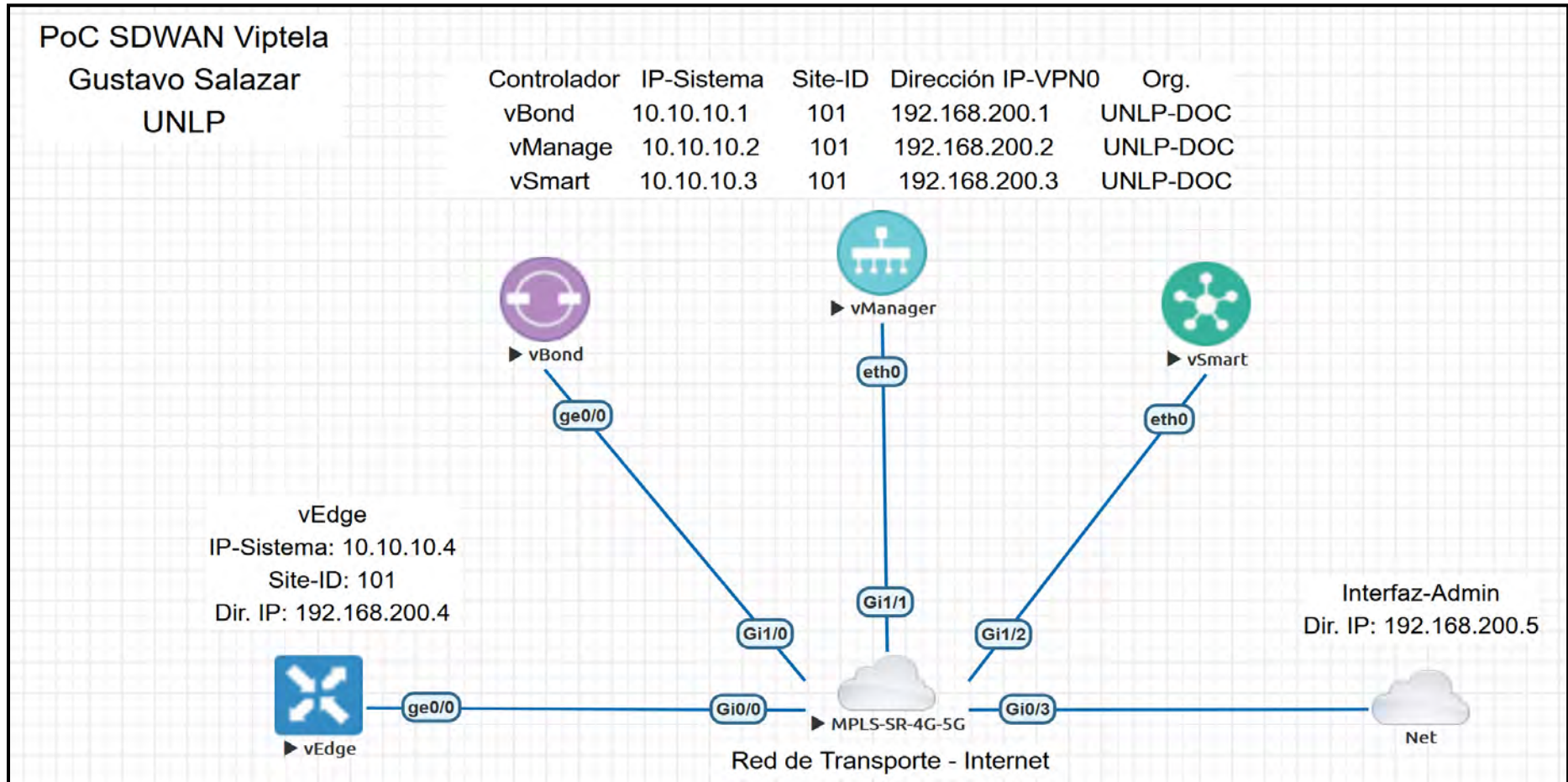


**Figura 4-128 Esquema de funcionamiento de una API – PoC SDWAN**  
Recuperado de (Prabhu, 2019)

Uno de los elementos fundamentales de la solución SDWAN Viptela es el *vManage*, encargado como su nombre lo indica, del contacto/manejo entre la infraestructura y el administrador de la red. Para mejorar la experiencia de administración/telemetría, *vManage* empleará el concepto de REST-APIs para establecer la interfaz entre la red SDWAN y el manejo de esta para conseguir los objetivos empresariales planteados.

#### 4.5.4 Topología del PoC de SDWAN Viptela: Prueba de Concepto en EVE-ng

La topología usada para el PoC de SD-WAN se indica en la *Fig. 4-129*, la cual fue diseñada en base a la instalación realizada en *Anexo G: Proceso de Instalación de SDWAN Viptela en EVE-ng*.



*Figura 4-129 Topología SDWAN Viptela - PoC SDWAN*

*Fuente: Autor*

Tal como se indicó en el proceso de instalación, los nodos se irán encendiendo uno a uno comenzando por *vManage*.

### Configuración Inicial *vManage*

Una vez se dio *play* al nodo en EVE-ng, se da doble clic sobre él para ingresar a su CLI.

Las credenciales de ingreso por defecto son ***admin/admin***. Una vez el sistema esté listo, se ingresará a la CLI de *vManage*, el cual pedirá el cambio de credenciales, que para el caso del PoC se configuró como ***admin/UNLPDOC***; luego, se indica el disco de almacenamiento para el *vManage*, el cual es el de 100GB que se creó en el proceso de instalación, por lo que se selecciona 1 y el proceso de inicialización arranca. Este proceso se muestra en la *Fig. 4-130*.

```
viptela 19.2.4
vmanage login: admin
Password:
Welcome to Viptela CLI
admin connected from 127.0.0.1 using console on vmanage
You must set an initial admin password.
Password:
Re-enter password:
Available storage devices:
vdb    100GB
hdc    3GB
1) vdb
2) hdc
Select storage device to use: 1
Would you like to format vdb? (y/n): y
```

```
Mon Jul 12 05:36:01 UTC 2021: System Ready

viptela 19.2.4
vmanage login: admin
Password:
Welcome to Viptela CLI
admin connected from 127.0.0.1 using console on vmanage
vmanage#
vmanage#
```

**Figura 4-130 Inicialización de *vManage* - PoC SDWAN**

*Fuente: Autor*

Posteriormente, se configura los parámetros base establecidos en la *Fig. 4-129* correspondiente a la topología de este PoC, indicando además la dir. IP del *vBond* y su direccionamiento IP en la VPN0 para que pueda encontrarlo.

```
vmanage# config
Entering configuration mode terminal
vmanage(config)# system
vmanage(config-system)# system-ip 10.10.10.2
vmanage(config-system)# site-id 101
vmanage(config-system)# organization-name UNLP-DOC
vmanage(config-system)# vbond 192.168.200.1
vmanage(config-system)# exit
vmanage(config)#
```

```

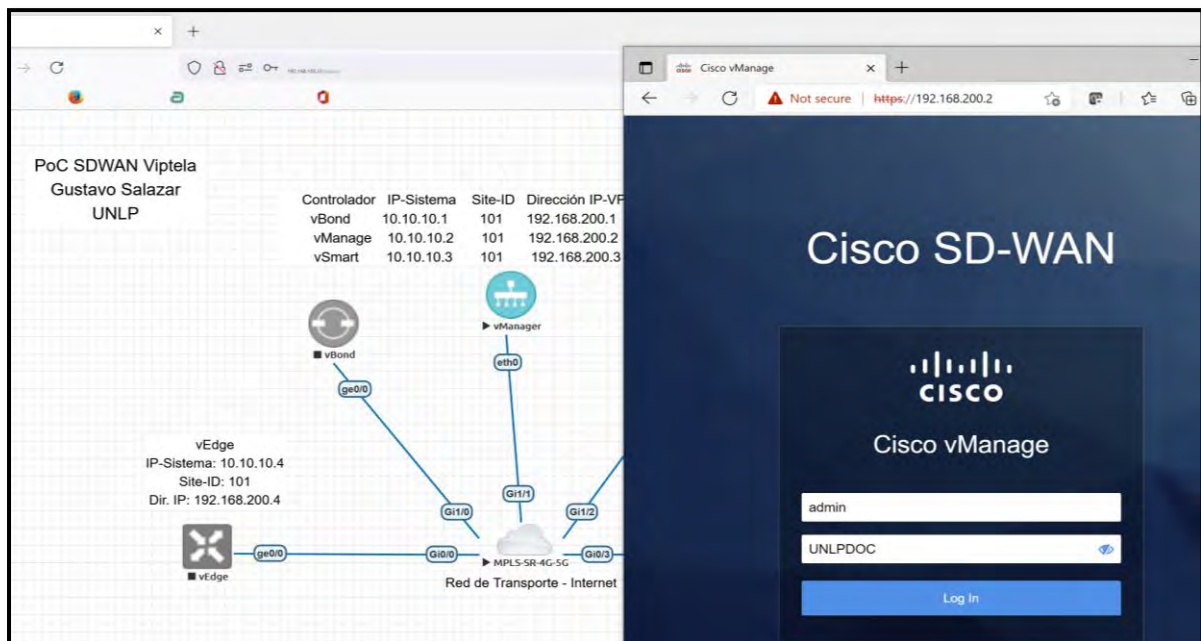
vmanage(config)# vpn 0
vmanage(config-vpn-0)# interface eth0
vmanage(config-interface-eth0)# ip address 192.168.200.2/24
vmanage(config-interface-eth0)# no shut
vmanage(config-interface-eth0)# exit
vmanage(config-vpn-0)#
vmanage(config-vpn-0)# commit and-quit
Commit complete.
vmanage#

```

**Script 49 Configuración básica de vManage – Commit - PoC SDWAN**  
Fuente: Autor

No olvide que la VPN0 en el entorno SDWAN es la conexión hacia el Internet *Fabric*, mientras la VPN512 es para conexión fuera de banda.

Si todo está correcto, será posible acceder al *vManage* desde un navegador Web. Debe existir una conexión *cloud* direccionada hacia la *vmnet* (en *VMWare*) correspondiente. Use las credenciales creadas para su ingreso.



**Figura 4-131 Acceso inicial vía Web a vManage - PoC SDWAN**  
Fuente: Autor

Al abrir el *vManage* por primera ocasión, sale una advertencia importante para cambiar el *username/password* de la base de datos que viene por defecto (**neo4j/password**). Se cambiará a **GSalazarUNLP/UNLPdoc123**.

```

vmanage# request nms configuration-db update-admin-user
Enter current user name:neo4j
Enter current user password:password
Enter new user name:GSalazarUNLP
Enter new user password:UNLPdoc123
Successfully updated configuration database admin user
Successfully restarted NMS application server
vmanage#

```

**Figura 4-132 Cambio de credenciales en DB de vManage - PoC SDWAN**  
Fuente: Autor

El proceso de configuración del *vManage* culmina en este punto, ahora se procede a realizar la configuración base de los demás nodos, muy similar al del *vManage*. Encienda los otros “controladores”. Las contraseñas de ingreso a los equipos se mantendrán: **admin/UNLPDOC**.

### Configuración Inicial vBond

Debido a que el *vBond* tiene la misma imagen que un *vEdge*, en este equipo también se cambiará su nombre. No olvide que la conexión desde *vBond/vEdge* debe hacerse desde su Ge0/0 y no desde su eth0.

```
You must set an initial admin password.
Password:
Re-enter password:
vedge#
vedge# config term
Entering configuration mode terminal
vedge(config)# system
vedge(config-system)# host-name vbond
vedge(config-system)# system-ip 10.10.10.1
vedge(config-system)# site-id 101
vedge(config-system)# organization-name UNLP-DOC
vedge(config-system)# vbond 192.168.200.1 local vbond-only
vedge(config-system)# exit
vedge(config)# vpn 0
vedge(config-vpn-0)# int ge0/0
vedge(config-interface-ge0/0)# ip add 192.168.200.1/24
vedge(config-interface-ge0/0)# no shut
vedge(config-interface-ge0/0)# exit
vedge(config-vpn-0)# exit
vedge(config)# commit and-quit
Commit complete.
vbond#
```

*Script 50 Configuración básica de vBond - PoC SDWAN*

*Fuente: Autor*

### Configuración Inicial vSmart

```
You must set an initial admin password.
Password:
Re-enter password:
vsmart#
vsmart# config ter
Entering configuration mode terminal
vsmart(config)# system
vsmart(config-system)# system-ip 10.10.10.3
vsmart(config-system)# site-id 101
vsmart(config-system)# organization-name UNLP-DOC
vsmart(config-system)# vbond 192.168.200.1
vsmart(config-system)# exit
vsmart(config)# vpn 0
vsmart(config-vpn-0)# int eth0
vsmart(config-interface-eth0)# ip add 192.168.200.3/24
vsmart(config-interface-eth0)# no shut
vsmart(config-interface-eth0)# exit
vsmart(config-vpn-0)# exit
vsmart(config)# commit and-quit
Commit complete.
```

*Script 51 Configuración básica de vSmart - PoC SDWAN*

*Fuente: Autor*

Con esas configuraciones, el Plano de Control de la red estaría configurado.

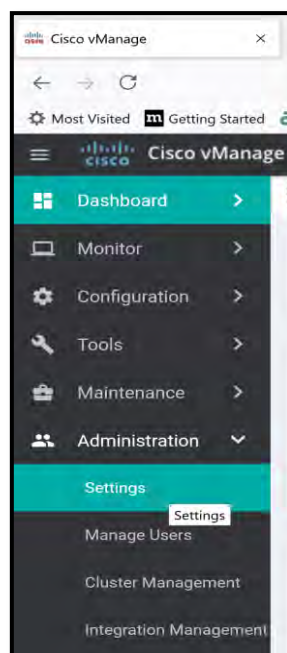
Se debe comprobar conectividad entre *vBond*, *vSmart* y *vManage* (la red de transporte debe estar funcionando correctamente – Internet Fabric).

```
vbond# ping 192.168.200.2
Ping in VPN 0
PING 192.168.200.2 (192.168.200.2) 56(84) bytes of data.
64 bytes from 192.168.200.2: icmp_seq=1 ttl=64 time=16.3 ms
64 bytes from 192.168.200.2: icmp_seq=2 ttl=64 time=16.6 ms
64 bytes from 192.168.200.2: icmp_seq=3 ttl=64 time=28.6 ms
^C
--- 192.168.200.2 ping statistics ---
3 packets transmitted, 3 received, 0% packet loss, time 2001ms
rtt min/avg/max/mdev = 16.309/20.531/28.619/5.722 ms
vbond# ping 192.168.200.3
Ping in VPN 0
PING 192.168.200.3 (192.168.200.3) 56(84) bytes of data.
64 bytes from 192.168.200.3: icmp_seq=1 ttl=64 time=19.7 ms
64 bytes from 192.168.200.3: icmp_seq=2 ttl=64 time=25.3 ms
64 bytes from 192.168.200.3: icmp_seq=3 ttl=64 time=19.9 ms
^C
--- 192.168.200.3 ping statistics ---
3 packets transmitted, 3 received, 0% packet loss, time 2003ms
rtt min/avg/max/mdev = 19.746/21.669/25.325/2.588 ms
vbond#
```

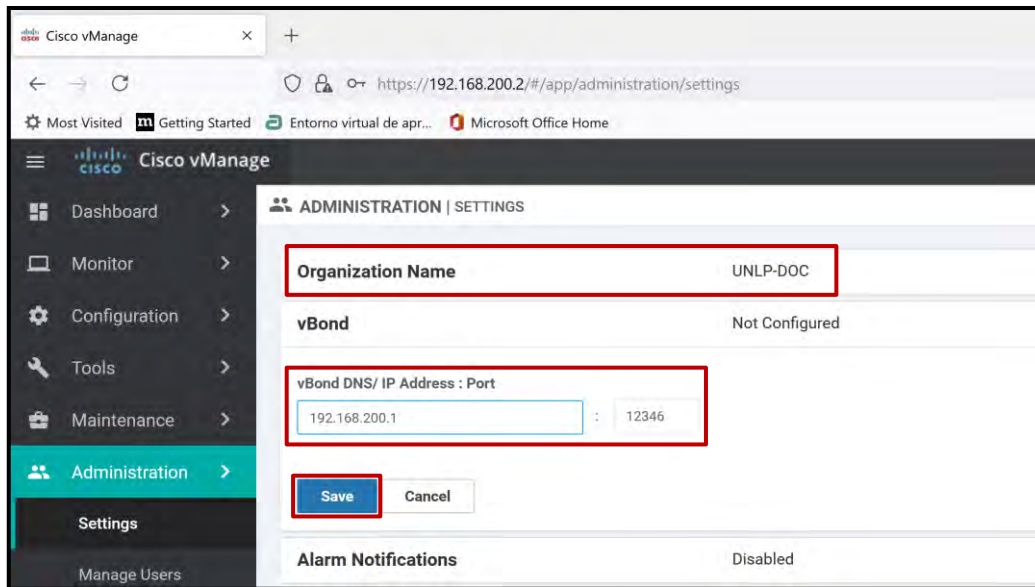
**Figura 4-133 Conectividad de vBond en el Plano de Control - PoC SDWAN**  
*Fuente: Autor*

### Configuración de Certificados en vManage para el Plano de Control

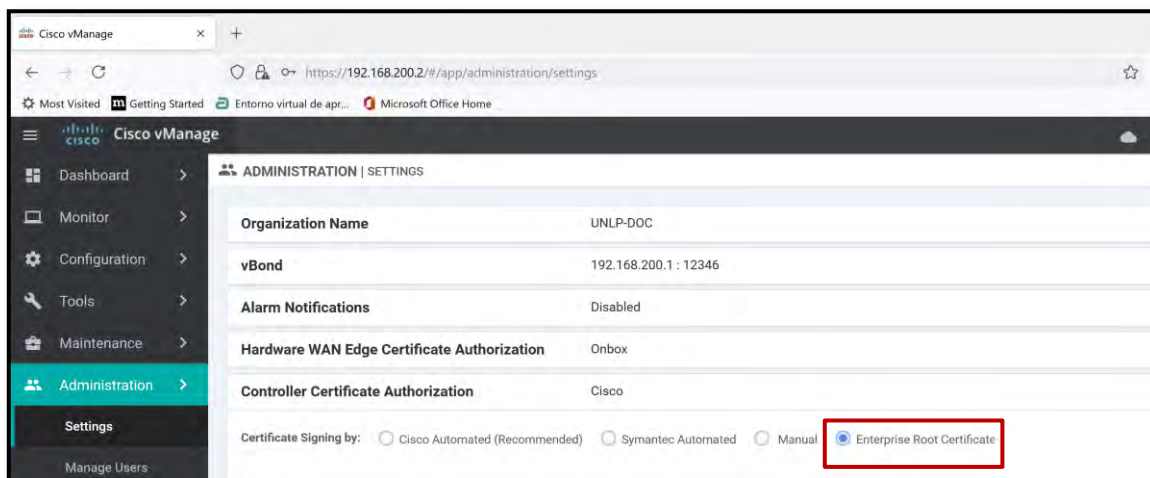
El paso siguiente es la configuración del *vManage* desde *Administration-Settings*, con el fin de confirmar el **Organization Name**, indicar la dirección IP del *vBond*, así como establecer el uso de Certificados externos para autenticación del Plano de Control (no se usará certificados Cisco).



**Figura 4-134 Ingreso a Administration-Setting - vManage - PoC SDWAN**  
*Fuente: Autor*



**Figura 4-135 Edición de dir. IP vBond en vManage - PoC SDWAN**  
Fuente: Autor



**Figura 4-136 Usar certificados externos para autenticación en vManage - PoC SDWAN**  
Fuente: Autor

Se requiere que el vManage se convierta en un root-CA para que autentique los certificados de los equipos. Eso es factible de hacer mediante la consola vShell de dicho equipo.

```

vmanage# vshell
vmanage:~$ openssl genrsa -out ROOTCA.key 2048
Generating RSA private key, 2048 bit long modulus
.....
.....
e is 65537 (0x10001)
vmanage:~$
vmanage:~$ openssl req -x509 -new -nodes -key ROOTCA.key -sha256 -days 2000 \
> -subj "/C=EC/ST=PICHINCHA/L=QUITO/O=UNLP-DOC/CN=vmanage.lab" \
> -out ROOTCA.pem
vmanage:~$ ls
ROOTCA.key  ROOTCA.pem  archive_id_rsa.pub

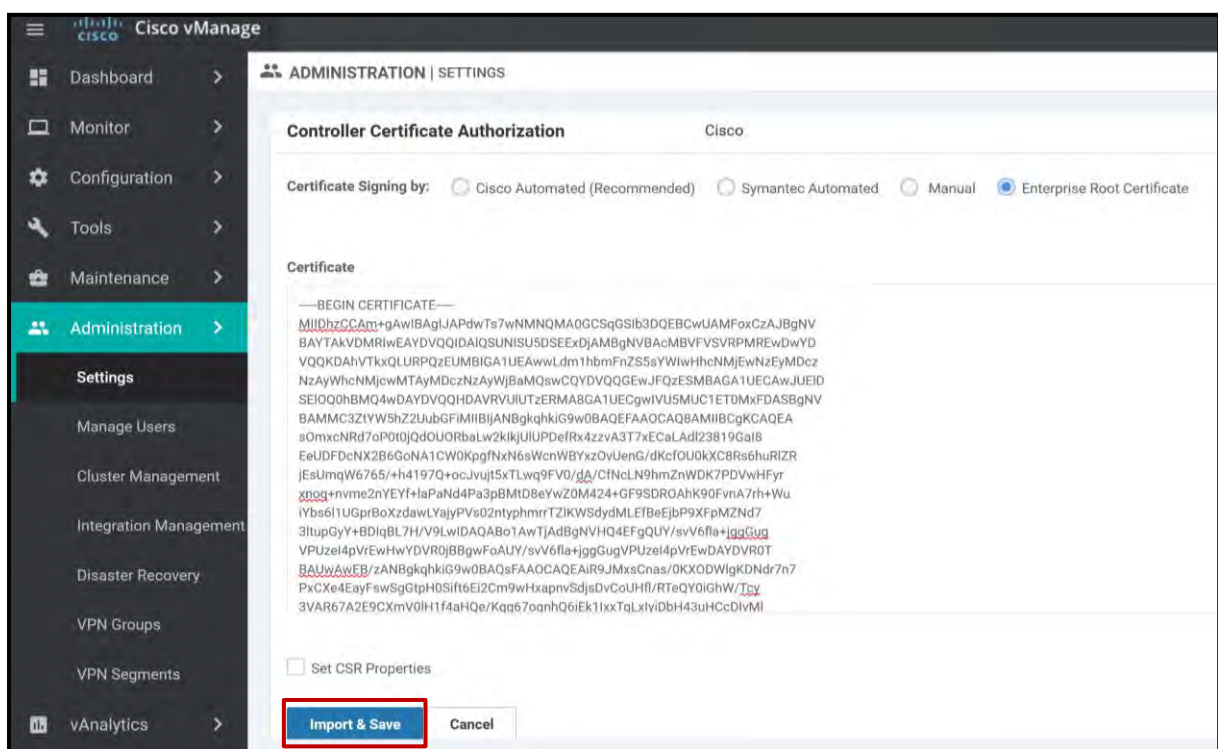
```

**Script 52 Creación de Certificado en vManage - PoC SDWAN**  
Fuente: Autor

El *Script 52* muestra cómo se genera los archivos base para la generación de un certificado (ROOTCA.key y ROOTCA.pem) con varias características como protocolo de encriptación/integridad, locación y días de validez.

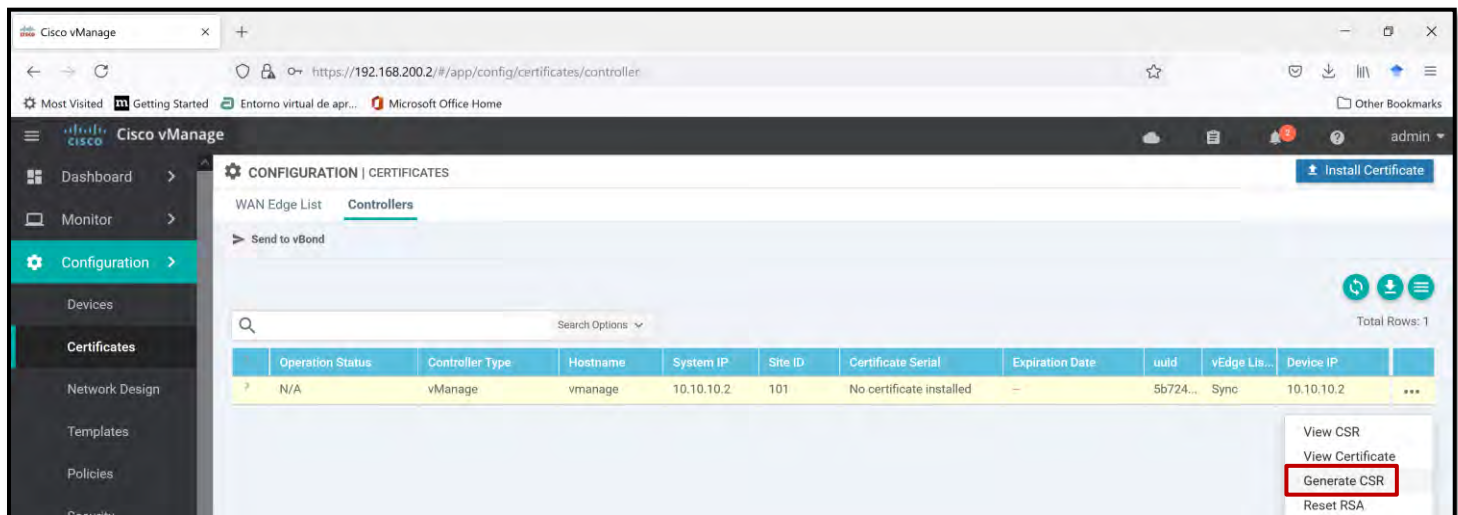
El contenido del archivo ROOTCA.pem se debe pegar en *vManage*, por lo que se hará un *cat* a ese archivo y se pegará su contenido para registrarlo en el *vManage*.

```
vmanage:~$ cat ROOTCA.pem
-----BEGIN CERTIFICATE-----
MIIDhzCCAm+gAwIBAgIJAPdwtS7wNMNQMA0GCSqGSIb3DQEBCwUAMF0xMzYwNTU1OTU0MTUz
BAYTAKVDMRiEAYDVQQIDA1QSUUNISU5DSEExDjAMBGNVBAcMBVFSVRPMEwDwYD
VQQKDAhVTkxQLURPQzEUMBIGA1UEAwWldm1hbmFnZS5sYWlWbHcNMjEwNzEyMDcz
NzAyWmcwMTAyMDczNzAyWjBaMQswCQYDVQQGEWJFQzESMBAGA1UECAwJUEID
SE10Q0hBMQ4wDAYDVQQHDAVRVU1UTzERMA8GA1UECgwIVU5MUC1ET0MxMjYwNTU1OTU0
BAMMC3ZtYW5hZ2UubGFIMiIBIjANBgkqhkiG9w0BAQEFAAOCAQ8AMIIBCgKCAQEA
s0mxcNRd7oP0t0jQdOUORbaLw2kIkjU1UPDefRx4zzvA3T7xECaLAdl23819GaI8
EeUDFdcNX2B6GoNA1CW0KpgfNxn6swcnWBYxzOvUenG/dKcFOU0kXC8Rs6huRIZR
jEsUmqW6765/+h4197Q+ocJvujt5xTLwq9FV0/dA/CfNcLN9hmZnWDK7PDVwHFYr
xnoq+nvme2nYEYf+laPaNd4Pa3pBMTD8eYwZ0M424+GF9SDROAhK90FvnA7rh+Wu
iYbs611UGprBoXzdawLYajyPVs02ntyphmrrTZlKWSdydMLEfBeEjbP9XFpMZNd7
3ltupGyY+BDlqBL7H/V9LwIDAQABO1AwTjAdBgNVHQ4EFgQUY/svV6fla+jggGug
VPUzeI4pVrEwHwYDVR0jBBGwFoAUY/svV6fla+jggGugVPUzeI4pVrEwDAYDVR0T
BAUwAwEB/zANBgkqhkiG9w0BAQsFAAOCAQEAiR9JMxsnas/0KXODWlglKDNdr7n7
PxCXe4EayFswSgGtpH0Sift6Ei2Cm9wHxapnvSdjsDvCoUHf1/RTeQY0iGhw/Tcy
3VAR67A2E9CXmV0H1f4aHqe/Kqg67oqnhQ6iEk1IxxTgLxIyIbH43uHCcDlVMI
T2GgZZ0D9jwMY8q1V6RQjL0JtIoXbdu6w4abgtG+DFGtE6skinXiZvyfjYzm7zwQ
02oParTkDY6H98n0WuiBrGBuIUQfNuhY4bwCZ7SsG6ROEdbHt9NaMAhNj9z07iIV
hwJawZr4YD02S0qzFff7pmIIXrd78NpwnzQ8UA002MnNqppsIwfJ7fZIGQ==
-----END CERTIFICATE-----
vmanage:~$
```



**Figura 4-137** Contenido de *ROOTCA.pem* copiado en *vManage* - PoC SDWAN  
Fuente: Autor

Ahora, es necesario que el *vManage* firme el certificado generado, para lo cual hay que ir a *Configuration-Certificates* del menú lateral. Ahí se selecciona *Controllers* y aparecerá el del *vManage*. En ese punto, se debe generar un CSR (*Certificate Signed Request*).



```
vmanage:~$
vmanage:~$ ls
ROOTCA.key  ROOTCA.pem  archive_id_rsa.pub
vmanage:~$ ls
ROOTCA.key  ROOTCA.pem  archive_id_rsa.pub  vmanage_csr
vmanage:~$
```

**Figura 4-138** Generación de *vmanage\_csr* en *vManage* - PoC SDWAN  
Fuente: Autor

Para crear el archivo *vmanage.crt* de *vmanage\_csr* se usará otro comando en *vShell* haciendo referencia al certificado x509<sup>68</sup>:

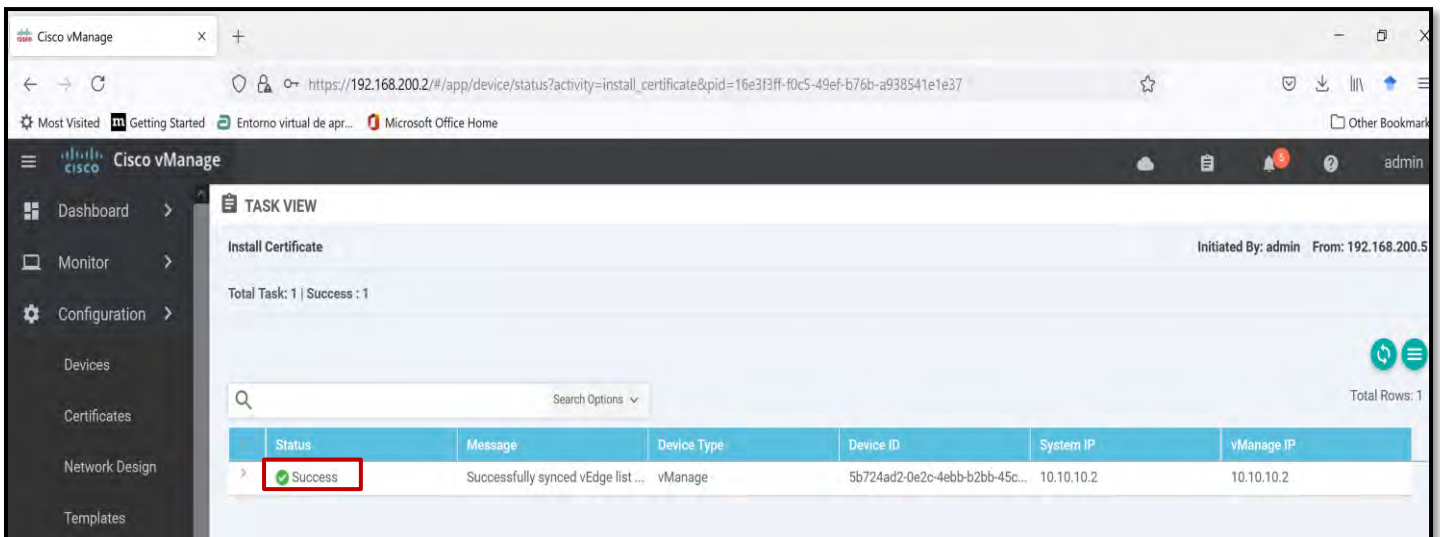
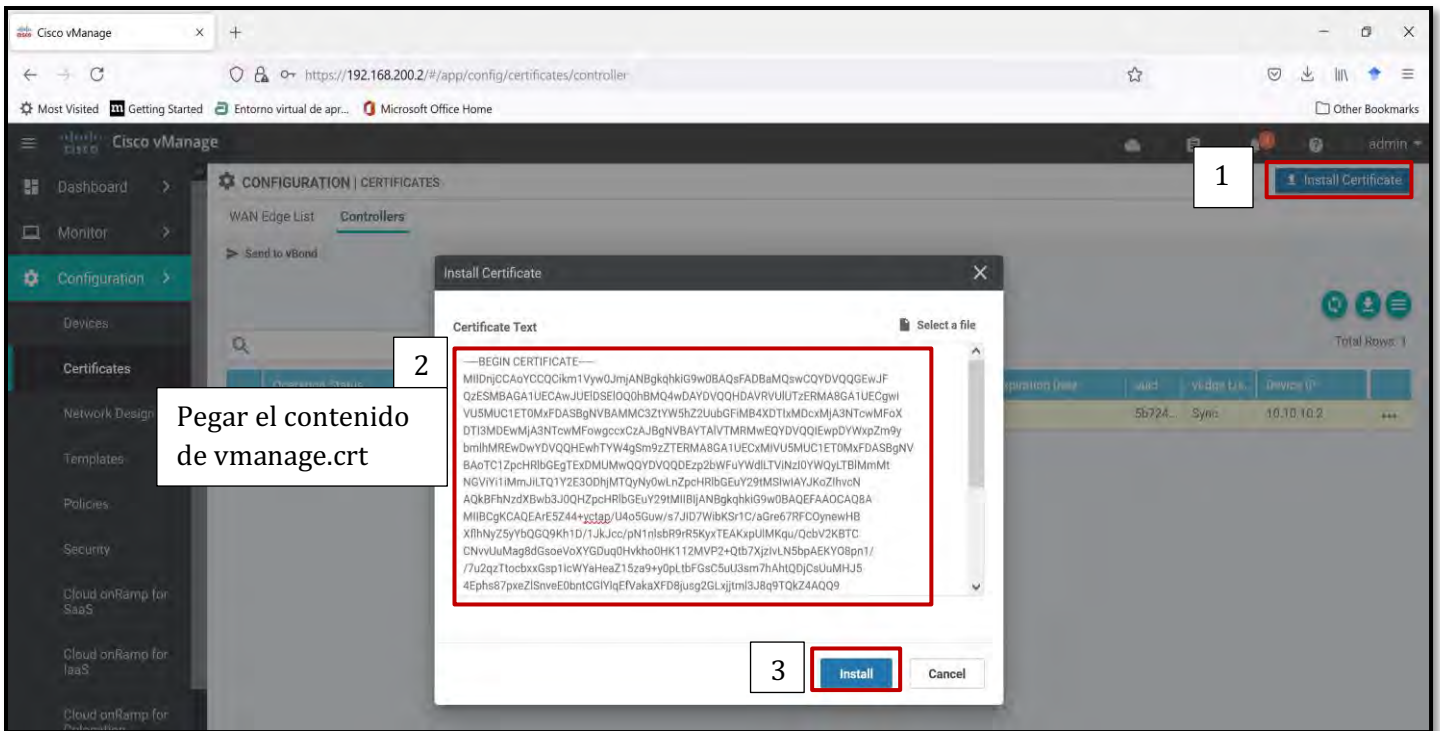
```
vmanage:~$ openssl x509 -req -in vmanage_csr \
> -CA ROOTCA.pem -CAkey ROOTCA.key -CAcreateserial \
> -out vmanage.crt -days 2000 -sha256
Signature ok
subject=/C=US/ST=California/L=San Jose/OU=UNLP-DOC/O=Viptela LLC/CN=vmanage-5b72
4ad2-0e2c-4ebb-b2bb-45ca788c1427-0.viptela.com/emailAddress=support@viptela.com
Getting CA Private Key
vmanage:~$ ls
ROOTCA.key  ROOTCA.srl  vmanage.crt
ROOTCA.pem  archive_id_rsa.pub  vmanage_csr
```

**Script 53** Generación de *vmanage.crt* en *vManage* - PoC SDWAN  
Fuente: Autor

El contenido del archivo *vmanage.crt* se debe instalar en *vManage*.

```
vManager
vmanage:~$ cat vmanage.crt
-----BEGIN CERTIFICATE-----
MIIDnjCAoYCCQCikm1Vyw0JmjANBgkqhkiG9w0BAQsFADBaMQswCQYDVQQGEwJF
QzESMBAGA1UECAwJUElDSEl0Q00hBMQ4wDAYDVQQHDAVRVU1UTzERMA8GA1UECgwI
VU5MUC1ET0MxFDASBgNVBAMMC3ZtYW5hZ2UubGFzZDc1MjUubGFzZDc1MjUubGFzZDc1
-----
```

<sup>68</sup> Certificado ITU x509: <https://www.itu.int/ITU-T/recommendations/rec.aspx?rec=14033&lang=es>



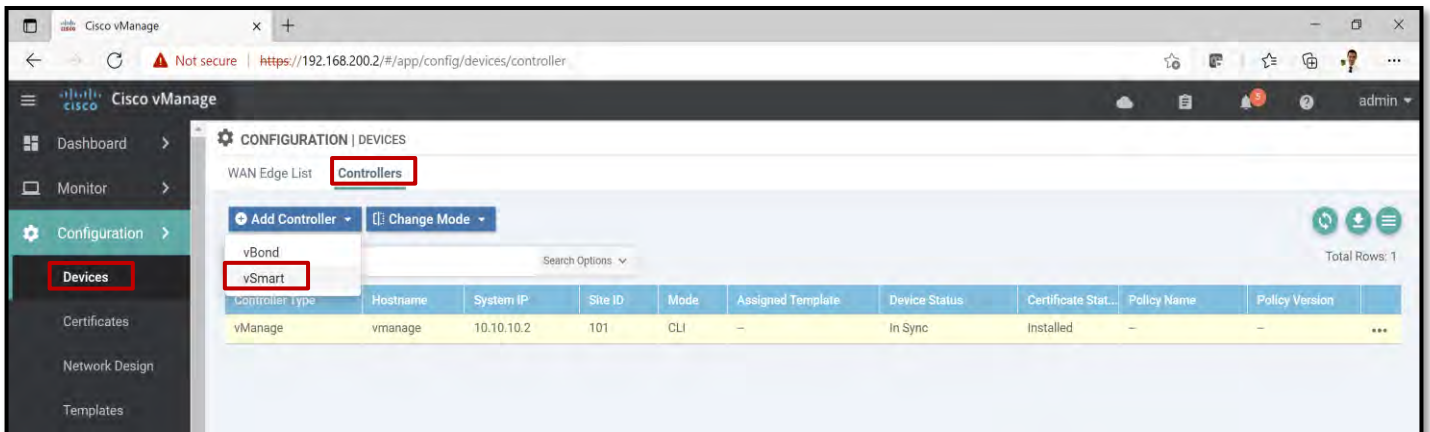
**Figura 4-139 Instalación y sincronización de vmanage.crt en vManage (Success) - PoC SDWAN**  
Fuente: Autor

El registro del vManage debe ser exitoso, tal como se ve en la Fig. 4-139. Al serlo, es necesario incluir el resto de certificados de los demás equipos del Plano de Control (vBond y vSmart).

### Generación y activación de Certificados en vManage para vSmart y vBond

El proceso es similar al certificado de vManage, sin embargo, al no crear los certificados directamente en los nodos, sino en el vManage, hay que tomar en cuenta otros comandos para agregar el vSmart y vBond.

Para añadir el resto de “controladores” se debe ingresar a [Configuration-Devices-Add Controllers](#) en vManage y poner sus direcciones IP y credenciales. Se comienza con el vSmart.



**Figura 4-140** Añadir vSmart en vManage - PoC SDWAN  
Fuente: Autor

Para agregar al vBond, se debe modificar la configuración de su VPN0 y que por el momento no acepte encriptación, pues aún no tiene los certificados que le habilitan hacerlo.

```

vbond# config term
Entering configuration mode terminal
vbond(config)# vpn 0
vbond(config-vpn-0)# interface ge0/0
vbond(config-interface-ge0/0)# no tunnel-interface
vbond(config-interface-ge0/0)# commit and-quit
Commit complete.
vbond#

```

**Script 54** Eliminar encriptación para ingreso de vBond en vManage - PoC SDWAN  
Fuente: Autor

Una vez realizado ello, se agrega el vBond así como se hizo con el vSmart. Al hacerlo, se tendrá el plano de control completo ingresado a vManage.

Add vBond

vBond Management IP Address  
192.168.200.1

Username  
admin

Password  
\*\*\*\*\*

Generate CSR

Add Cancel

Cisco vManage

CONFIGURATION | DEVICES

WAN Edge List Controllers

Add Controller Change Mode

Search Options

Total Rows: 3

Controller Type	Hostname	System IP	Site ID	Mode	Assigned Template	Device Status	Certificate Stat...	Policy Name	Policy Version
vManage	vmanage	10.10.10.2	101	CLI	-	In Sync	Installed	-	-
vSmart	-	-	-	CLI	-	-	Not-Installed	-	-
vBond	-	-	-	CLI	-	-	Not-Installed	-	-

Figura 4-141 Añadir vBond en vManage - PoC SDWAN  
Fuente: Autor

El próximo paso es crear y firmar los certificados para los vSmart y vBond. Para ello se ingresa a *Configuration-Certificates-Controllers* y se repiten los pasos de las Fig. 4-138 y 4-139, así como el Script 53, para cada dispositivo.

### Certificado para vBond

Se genera la solicitud de certificado para vBond, se copia su contenido y se pega en un archivo de nombre **vbond\_csrt** en vManage. Los pasos se muestran en la Fig. 4-142.

Cisco vManage

CONFIGURATION | CERTIFICATES

WAN Edge List Controllers

Send to vBond

Search Options

Total Rows: 3

Controller Type	Hostname	System IP	Expiration Date	uuid	Operation Status	Site ID	Certificate Serial	vEdge Lis...	Device IP
vBond	-	-	-	e41ec...	N/A	-	No certificate installed	Sync	192.168.200.1
vSmart	-	-	-	1e2ca...	N/A	-	No certificate installed	Sync	-
vManage	vmanage	10.10.10.2	02 Jan 2027 2:57:00 ...	5b724...	vBond Updated	101	A2926D55C80D099A	Sync	-

1

2

3

4

Copiar el Certificate Request

```
CSR
IP Address: 192.168.200.1
Download
-----BEGIN CERTIFICATE REQUEST-----
MIIDRjCCAI4CAQAwgUxGZAJBgNVBAYTAIVTMRMwEQYDVQQIEwpDYWxpZm9ybmlh
MREwDwYDVQQHEWhTYW4gSm9zZTERMA8GA1UECXMVU5MUC1ETOMxFDASBqNVBAoT
C1ZpcHRlbGEgTEExDMUEwPwYDVQQDEzh2Ym9uZC1lNDFiYzF1ZC1iYjA4LTQ5Zkt
YTI3ZS0xZGE1MWVjMjYzZmE1MC52aXB0ZWxhLmNvbTEiMCAgCSqGSIb3DQEJARYT
c3VvcG9ydEB2aXB0ZWxhLmNvbTCCASiWdQYJKoZIhvcNAQEBBQADggEPADCCAQoC
ggEBANPgzPYKnrHOParxYXmRCU+rJDxD3GwEhEBbiBqaYjdqgA4Ho5/nZ6ysV8
WGb8PcOKSKYIldbwdLGRfoLvhDH59Diubq4M6ZkWWbDwK6rho7RslKCZ4kyoL576
YxYmOFTwq6OB49e27aKuczPtOkJ2GD13rnY1P/0HYIh5XGA04esw17Cg+qqOXAPM
gct25blakBrRH9M2g/j0drYgPbGPhYNU3Tbi6WGog8WSbezXM4F8mlbkKkU24pn
Gqja3SXEevnd/o4Tagb7QUEhC70vhF1iXvqRRrCohJc3HwMOf418PtgrMgVv70W5
ZdcDaX526uh8GwX3+VKbU2fZ88ECAwEAAa7MDkGCSqGSIb3DQEJdJesMCowCQYD
VR0TBAlwADAdBgNVHQ4EFgQU3WGLId5l1m4nd8HdrNExvL4JL+AwDQYJKoZIhvcN
AQELBQADggEBAGURR/oAXZNCXh+0qx5C/f+Es5c/LE2+TYAQyU9yQMTgkS7rcI4+
```

5

Crear Archivo

```
vmanage#
vmanage# vshell
vmanage:~$
vmanage:~$ vi vbond_csr
```

6

Pegar CSR

```
vManager
C1ZpcHRlbGEgTEExDMUEwPwYDVQQDEzh2Ym9uZC1lNDFiYzF1ZC1iYjA4LTQ5Zkt
YTI3ZS0xZGE1MWVjMjYzZmE1MC52aXB0ZWxhLmNvbTEiMCAgCSqGSIb3DQEJARYT
c3VvcG9ydEB2aXB0ZWxhLmNvbTCCASiWdQYJKoZIhvcNAQEBBQADggEPADCCAQoC
ggEBANPgzPYKnrHOParxYXmRCU+rJDxD3GwEhEBbiBqaYjdqgA4Ho5/nZ6ysV8
WGb8PcOKSKYIldbwdLGRfoLvhDH59Diubq4M6ZkWWbDwK6rho7RslKCZ4kyoL576
YxYmOFTwq6OB49e27aKuczPtOkJ2GD13rnY1P/0HYIh5XGA04esw17Cg+qqOXAPM
gct25blakBrRH9M2g/j0drYgPbGPhYNU3Tbi6WGog8WSbezXM4F8mlbkKkU24pn
Gqja3SXEevnd/o4Tagb7QUEhC70vhF1iXvqRRrCohJc3HwMOf418PtgrMgVv70W5
ZdcDaX526uh8GwX3+VKbU2fZ88ECAwEAAa7MDkGCSqGSIb3DQEJdJesMCowCQYD
VR0TBAlwADAdBgNVHQ4EFgQU3WGLId5l1m4nd8HdrNExvL4JL+AwDQYJKoZIhvcN
AQELBQADggEBAGURR/oAXZNCXh+0qx5C/f+Es5c/LE2+TYAQyU9yQMTgkS7rcI4+
Y8WLzRiu0yxFCcDvOvn3Rhn74/rNnCTB0vQgigFLeepMNSdD1HCeWdrdyqZq5IzX
x5vM+JRGUq+PVztt0wttmMzF07VQ8KTQzGSTsSNzOWFLVoYjkmddo36s1xDARcGf
jLDBHUDD2bKfHAng7ORzNCZU27gE/EQm79IIO9CAndyc0E7A26CGa/VvnqCCYVw
GqPhg7d204cCYMIwDnuYe8gVq1Bp4M0wTOZFLZbuHMSkyGK9Dhpc/AiaGhBtVwmU
Hilgi4MwP3bjLAHnhDbrq8958mHod1dyAU=s
-----END CERTIFICATE REQUEST-----
:wq
```

**Figura 4-142 Pasos para crear CSR de vBond en vManage - PoC SDWAN**  
Fuente: Autor

Al realizar los seis (6) pasos anteriores, es momento de firmar el certificado (crear archivo *vBond.crt*), para lo cual se usará el siguiente comando:

```
vmanage:~$ openssl x509 -req -in vbond_csr \
> -CA ROOTCA.pem -CAkey ROOTCA.key -CAcreateserial \
> -out vbond.crt -days 2000 -sha256
Signature ok
subject=/C=US/ST=California/L=San Jose/OU=UNLP-DOC/O=Viptela LLC/CN=vbond-e41ec1
ed-bb08-49c9-a27e-1da51ec202fa-0.viptela.com/emailAddress=support@viptela.com
Getting CA Private Key
vmanage:~$
vmanage:~$ ls
ROOTCA.key  ROOTCA.sr1          vbond.crt  vmanage.crt
ROOTCA.pem  archive id rsa.pub  vbond_csr  vmanage_csr
```

**Script 55 Creación de vBond.crt en vManage - PoC SDWAN**  
Fuente: Autor

252  
Universidad Nacional de La Plata | Gustavo Salazar-Chacón | Doctorado en Ciencias Informáticas

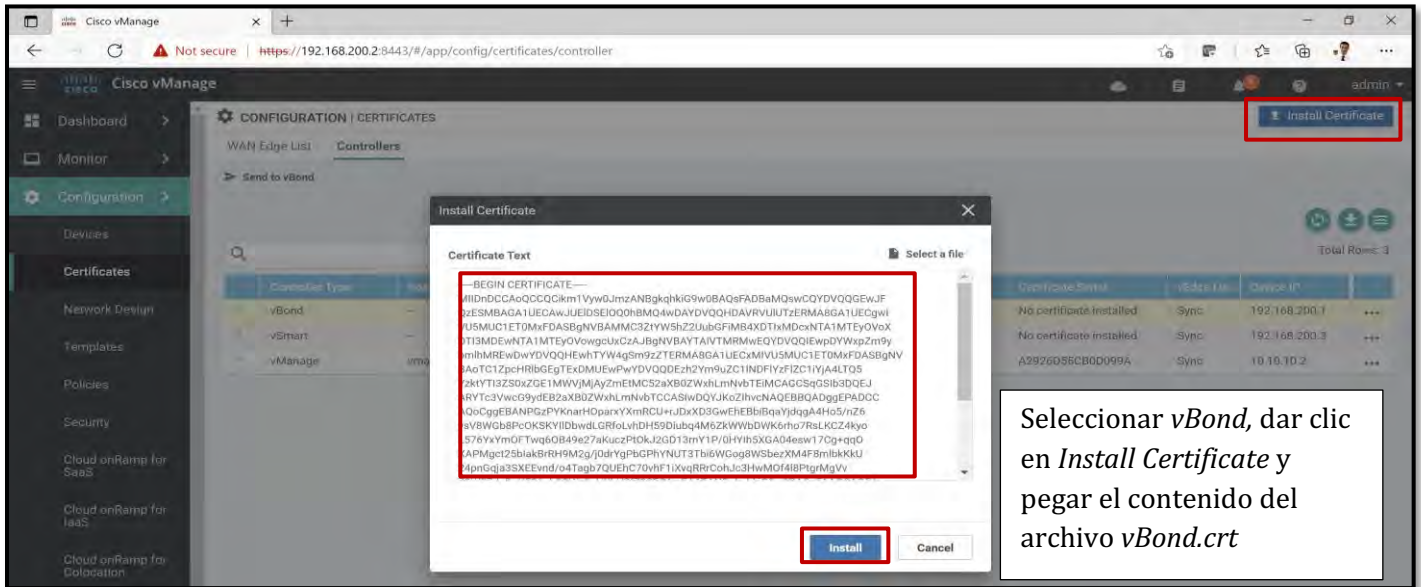
El certificado firmado (*vbond.crt*) es el que se debe colocar en el *vManage* en el sitio de *vBond*:

```

vmanage:~$
vmanage:~$ cat vbond.crt
-----BEGIN CERTIFICATE-----
MIIIDnDCCAgQCQk1Vyw0JmzANBgkqhkiG9w0BAQsFADBaMQswCQYDVQQGEwJF
BAGIA1UECAwJUE1DSE1OQ0hBMQ4wDAYDVQQHDAVRVU1UTzERMA8GA1UECgwI
C1ET0MxFDASBgNVBAMMC3ZtYW5hZ2UubGF1bG4XDTIxMDcxNTA1MTEyOVox
DEwNTA1MTEyOVowgUxZCzA1BjNVBAYTA1VTMRMwEQYDVQIEwPZm9y
mihMRWdwYDVQHEwhTYW4gSm9zZTERMA8GA1UECXMIVU5MUC1ET0Mx
BAoTC1ZpcHR1bGEgTEwDMUEwPwYDVQQDEzh2Ym9uZC11NDFlYzF1ZC11YjA4LTQ5
YzktYTI3ZS0xZGE1MwVjMjYjA1ZmEtcMC52aXB0ZWxhLmNvbTEiMCAgCSqGSIb3DQEJ

```

Copiar contenido de *vbond.crt*

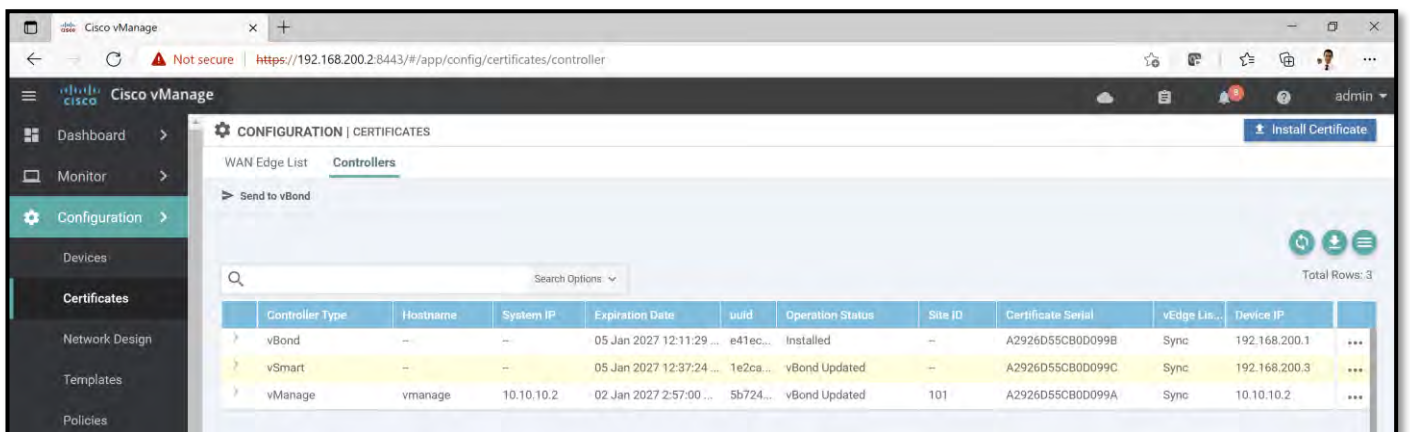


**Figura 4-143** Instalar *vbond.crt* en *vManage* - PoC SDWAN  
Fuente: Autor

Realizando este proceso, se habrá instalado el certificado para el *vBond* en *vManage*.

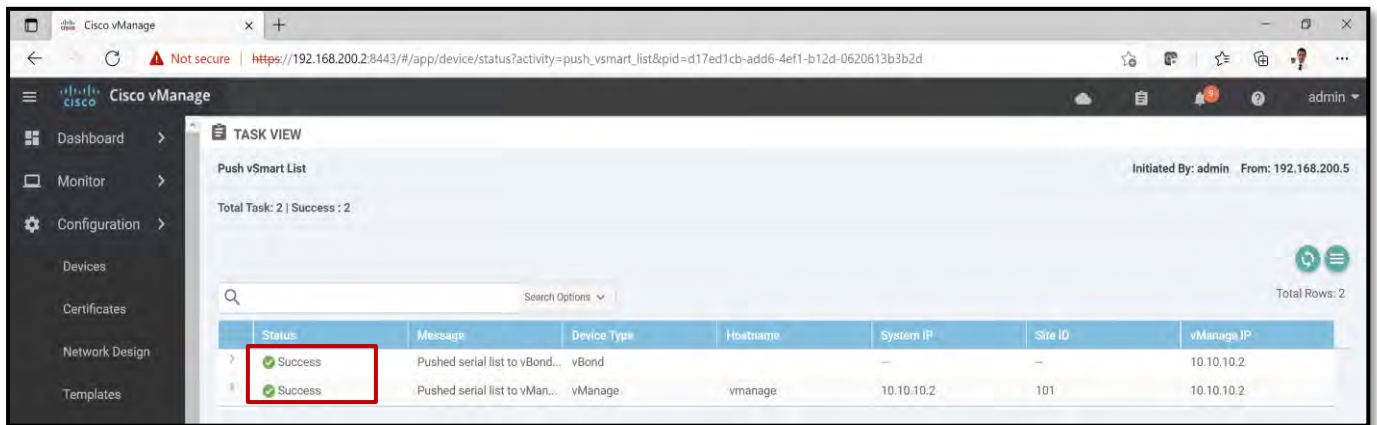
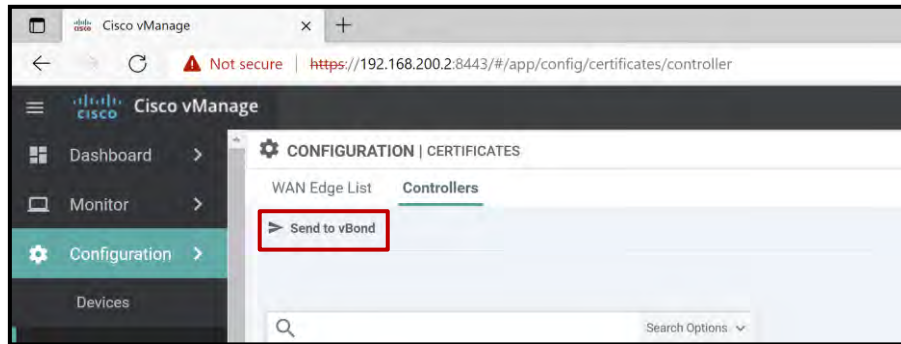
Certificado para *vSmart*

El proceso es el mismo que para el *vBond* (Fig. 4-140, Fig. 4-141 y Script 55), pero cambiando el nombre de los certificados y archivos a *vSmart*.



**Figura 4-144** Certificados instalados para *vBond*, *vSmart* y *vManage* en *vManage* - PoC SDWAN  
Fuente: Autor

Ahora, se debe enviar los certificados instalados al vBond y habilitar la comunicación mediante DTLS/IPSec de todo el plano de Control del PoC SDWAN.



**Figura 4-145 Envío exitoso de Certificados a vBond desde vManage - PoC SDWAN**  
Fuente: Autor

Con el fin de habilitar DTLS para los túneles de comunicación en el plano de control, en sus líneas de comando se debe habilitar de la siguiente manera:

```
vsmart# config t
Entering configuration mode terminal
vsmart(config)# vpn 0
vsmart(config-vpn-0)# interface eth0
vsmart(config-interface-eth0)# tunnel-interface
vsmart(config-tunnel-interface)# commit
Commit complete.
vsmart(config-tunnel-interface)#
```

```
vmanage# config t
Entering configuration mode terminal
vmanage(config)# vpn 0
vmanage(config-vpn-0)# interface eth0
vmanage(config-interface-eth0)# tunnel-interface
vmanage(config-tunnel-interface)# commit
Commit complete.
vmanage(config-tunnel-interface)#
```

```

vbond#
vbond# config t
Entering configuration mode terminal
vbond(config)# vpn 0
vbond(config-vpn-0)# interface ge0/0
vbond(config-interface-ge0/0)# tunnel-interface
vbond(config-tunnel-interface)# encapsulation ipsec
vbond(config-tunnel-interface)# commit
Commit complete.
vbond(config-tunnel-interface)# █

```

```

vsmart#
vsmart# show control connections

```

INDEX	PEER TYPE	PEER PROT	PEER SYSTEM IP	PEER IP	SITE ID	DOMAIN ID	PEER PRIVATE IP	PEER PRIV PORT	PEER PUBLIC IP	PEER PUB PORT	PEER REMOTE COLOR	STATE	UPTIME
0	vbond	dtls	0.0.0.0	0	0	0	192.168.200.1	12346	192.168.200.1	12346	default	up	0:00:13:33
0	vmanage	dtls	10.10.10.2	101	0	0	192.168.200.2	12346	192.168.200.2	12346	default	up	0:00:11:32
1	vbond	dtls	0.0.0.0	0	0	0	192.168.200.1	12346	192.168.200.1	12346	default	up	0:00:13:32

```

vmanage# show control connections

```

INDEX	PEER TYPE	PEER PROT	PEER SYSTEM IP	CONFIGURED SYSTEM IP	SITE ID	DOMAIN ID	PEER PRIVATE IP	PEER PRIV PORT	PEER PUBLIC IP	PEER PUB PORT	PEER ORGANIZATION	REMOTE COLOR	STATE	UPTIME
0	vsmart	dtls	10.10.10.3	10.10.10.3	101	1	192.168.200.3	12346	192.168.200.3	12346	UNLP-DOC	default	up	0:00:10:27
0	vbond	dtls	10.10.10.1	10.10.10.1	0	0	192.168.200.1	12346	192.168.200.1	12346	UNLP-DOC	default	up	0:00:10:27
1	vbond	dtls	0.0.0.0	-	0	0	192.168.200.1	12346	192.168.200.1	12346	UNLP-DOC	default	up	0:00:10:26
2	vbond	dtls	0.0.0.0	-	0	0	192.168.200.1	12346	192.168.200.1	12346	UNLP-DOC	default	up	0:00:10:26
3	vbond	dtls	0.0.0.0	-	0	0	192.168.200.1	12346	192.168.200.1	12346	UNLP-DOC	default	up	0:00:10:28

```

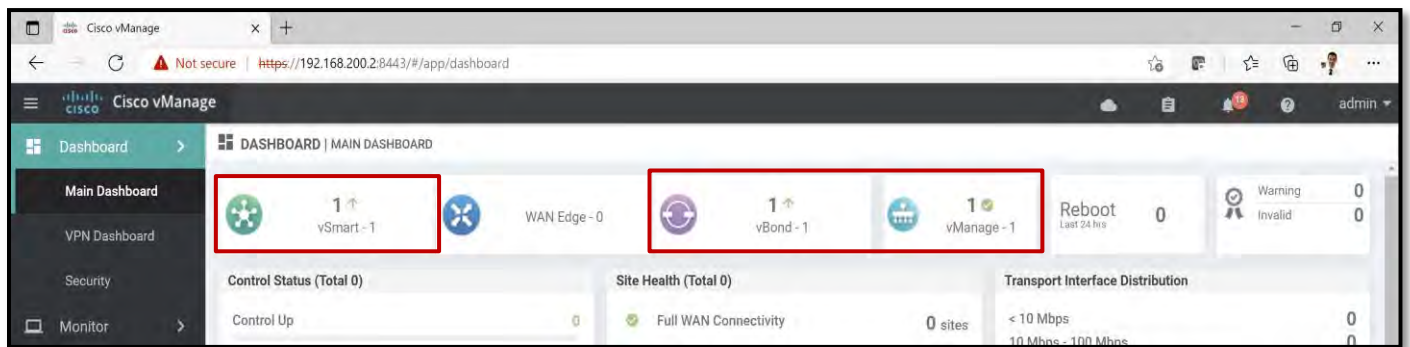
vbond# show orchestrator connections

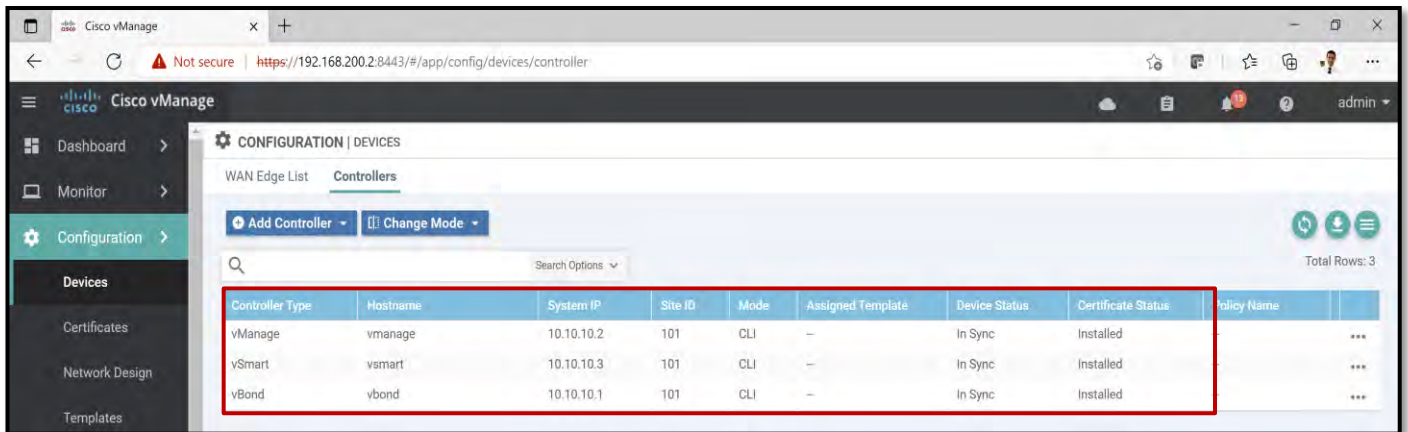
```

INSTANCE	PEER TYPE	PEER PROT	PEER SYSTEM IP	PEER IP	SITE ID	DOMAIN ID	PEER PRIVATE IP	PEER PRIVATE PORT	PEER PUBLIC IP	PEER PUBLIC PORT	REMOTE COLOR	STATE	ORGANIZATION NAME	UPTIME
0	vsmart	dtls	10.10.10.3	101	1	1	192.168.200.3	12346	192.168.200.3	12346	default	up	UNLP-DOC	0:00:13:14
0	vsmart	dtls	10.10.10.3	101	1	1	192.168.200.3	12446	192.168.200.3	12446	default	up	UNLP-DOC	0:00:13:13
0	vmanage	dtls	10.10.10.2	101	0	0	192.168.200.2	12346	192.168.200.2	12346	default	up	UNLP-DOC	0:00:11:13
0	vmanage	dtls	10.10.10.2	101	0	0	192.168.200.2	12446	192.168.200.2	12446	default	up	UNLP-DOC	0:00:11:12
0	vmanage	dtls	10.10.10.2	101	0	0	192.168.200.2	12546	192.168.200.2	12546	default	up	UNLP-DOC	0:00:11:13
0	vmanage	dtls	10.10.10.2	101	0	0	192.168.200.2	12646	192.168.200.2	12646	default	up	UNLP-DOC	0:00:11:13

**Script 56 Configuración de Encriptación DTLS para TLOC en vSmart, vManage y vBond - PoC SDWAN**  
Fuente: Autor

En Main Dashboard y en Configuration-Devices, se confirmará la existencia de vBond, vSmart y vManage totalmente funcionales:





```

vmanage#
vmanage# show control local-properties
personality vmanage
sp-organization-name UNLP-DOC
organization-name UNLP-DOC
root-ca-chain-status Installed

certificate-status Installed
certificate-validity Valid
certificate-not-valid-before Jul 12 07:57:00 2021 GMT
certificate-not-valid-after Jan 02 07:57:00 2027 GMT

dns-name 192.168.200.1
site-id 101
domain-id 0
protocol dtls
tls-port 23456
system-ip 10.10.10.2
chassis-num/unique-id 5b724ad2-0e2c-4ebb-b2bb-45ca788c1427
serial-num A2926D55CB0D099A

```

```

vmanage# show certificate installed

Server certificate
-----

Certificate:
Data:
  Version: 1 (0x0)
  Serial Number:
    a2:92:6d:55:cb:0d:09:9a
  Signature Algorithm: sha256withRSAEncryption
  Issuer: C=EC, ST=PICHINCHA, L=QUITO, O=UNLP-DOC, CN=vmanage.lab
  Validity
    Not Before: Jul 12 07:57:00 2021 GMT
    Not After : Jan 2 07:57:00 2027 GMT
  Subject: C=US, ST=California, L=San Jose, OU=UNLP-DOC, O=Viptela LLC, CN=
vmanage-5b724ad2-0e2c-4ebb-b2bb-45ca788c1427-0.viptela.com/emailAddress=support
@viptela.com
  Subject Public Key Info:
    Public Key Algorithm: rsaEncryption
    Public-Key: (2048 bit)

```

```
vmanage# show interface description
```

VPN	INTERFACE	AF	TYPE	IP ADDRESS	IF ADMIN STATUS	IF OPER STATUS	IF TRACKER STATUS	DESC
0	eth0	ipv4		192.168.200.2/24	Up	Up	-	-
0	eth1	ipv4		-	Down	Down	-	-
0	system	ipv4		10.10.10.2/32	Up	Up	-	-

```
vbond# show orchestrator summary
orchestrator summary 0
vmanage_counts      4
vsmart_counts       2
vedge_counts        0
protocol             dtls
listening_ip         0.0.0.0
listening_ipv6       ::
listening_port       12346
valid_controller_counts 2
```

**Figura 4-146 vManage, vBond y vSmart funcionales y con Certificado instalado - PoC SDWAN**  
Fuente: Autor

Al analizar la Fig. 4-146, nos indica que **no existe ningún vEdge** hasta el momento, por lo que se deben registrar también para comunicar los sitios empresariales.

Encendemos al vEdge y entramos a su CLI para configurarlo de la siguiente manera (se debe cambiar su contraseña inicial, para el caso del PoC a UNLPDOC):

```
vedge# config t
Entering configuration mode terminal
vedge(config)# system
vedge(config-system)# host-name vEdge
vedge(config-system)# system-ip 10.10.10.4
vedge(config-system)# site-id 101
vedge(config-system)# admin-tech-on-failure
vedge(config-system)# organization-name UNLP-DOC
vedge(config-system)# vbond 192.168.200.1
vedge(config-system)#
vedge(config-system)# vpn 0
vedge(config-vpn-0)# interface ge0/0
vedge(config-interface-ge0/0)# ip address 192.168.200.4/24
vedge(config-interface-ge0/0)# no shut
vedge(config-interface-ge0/0)# commit
Commit complete.
```

**Script 57 Configuración básica de vEdge - PoC SDWAN**  
Fuente: Autor

Tal como ocurrió con los equipos del Plano de Control del PoC SDWAN, los equipos del lado del cliente o Plano de Datos, vEdges/cEdges, también requieren de un registro por Certificados.

Con este comando se puede ver que este vEdge, en un inicio no posee ningún certificado instalado:

```
vEdge# show certificate serial
Certificate not yet installed ... giving up.
Chassis number: 7680a605-85c4-441a-a6c2-fc7cb5db4cc1 serial number:
vEdge#
```

**Figura 4-147 vEdge sin Certificado instalado - PoC SDWAN**  
Fuente: Autor

Para crear, firmar e instalar un certificado válido en *vEdge*, se requiere del *ROOTCA.pem* que se encuentra en *vManage*: copiarlo y pegarlo en el *vEdge*:

```
vmanage# vshell
vmanage:~$ cat ROOTCA.pem
-----BEGIN CERTIFICATE-----
MIIDhzCCAm+gAwIBAgIJAPdwTs7wNMNQMA0GCSqGSIb3DQEBCwUAMF0xC
BAYTAKVDMRIwEAYDVQQIDA1QSUNISU5DSEExDjAMBGNVBAcMBVFSVRP
MREwDwYD
VQQKDAhVTkxQLURPQzEUMBIGA1UEAwWLDm1hbmFnZS5sYWVwIwHhcnMj
EwNzEyMDcz
NzAyWhcnMjcwMTAyMDczNzAyWjBaMQswCQYDVQGEwJFQzESMBAGA1UECAwJUE1D
SE10Q0hBMQ4wDAYDVQQHDAVRVU1UTzERMA8GA1UECgwIVU5MUC1ET0Mx
FDASBgNV
BAMMC3ZtYW5hZ2UubGFuIiIiBjANBgkqhkiG9w0BAQEFAAOCAQ8AMIIBC
gKCAQEAs
OmxcNRd7oP0t0jQd0UORbaLw2kIkjU1UPDefRx4zzvA3T7xECaLad123819GaI8
EeUDFDcNX2B6GoNA1CW0KpgfN6sWcnWBYxz0vUenG/dKcFOU0kXC8Rs6huR1ZR
jEsUmqW6765/+h4197Q+ocJvujt5xTLwq9FV0/dA/CfNcLN9hmZnWDK7PDVwHFyr
xnoq+nvme2nYEFf+laPaNd4Pa3pBMTD8eYwZ0M424+GF9SDROAhK90FvnA7rh+Wu
iYbs6l1UGprBoXzdawLYajyPVs02ntyphmrrTZlKWSdydMLEfBeEjbP9XFpMZNd7
3ltupGyY+BD1qBL7H/V9LwIDAQAB01AwTjAdBgNVHQ4EFgQUY/svV6fla+jggGug
VPUzeI4pVrEwHwYDVR0jBBgwFoAU/svV6fla+jggGugVPUzeI4pVrEwDAYDVR0T
BAUwAwEB/zANBgkqhkiG9w0BAQsFAAOCAQEAiR9JMxscnas/0KXODWlgKDNdr7n7
PxCXe4EayFswSgGtpH0Sift6Ei2Cm9wHxapnvSdjsDvCoUHF1/RTeQY0iGhW/Tcy
3VAR67A2E9CXmV01H1f4aHqe/Kgg67oqnhQ6iEk1IxxTgLxIyiDbH43uHCCdIVM1
T2GgZZOD9jwMY8q1V6RQjL0JtIoXbdu6w4abgtG+DFGtE6skinXizvyfjYzm7zwQ
02oParTkDY6H98n0WuiBrGBuIUQfNuhY4bwCZ7SsG6ROEdbHt9NaMAhNj9z07iIV
hWJawZr4YD02S0qzFF7pmIIXrd78NpwnzQ8UA002MnNqppsIwfJ7fZIGQ==
-----END CERTIFICATE-----
vmanage:~$
```

Copiar contenido de *ROOTCA.pem* de *vManage*

```
vEdge# vshell
vEdge:~$ vim ROOTCA.pem
```

```
xnoq+nvme2nYEFf+laPaNd4Pa3pBMTD8eYwZ0M424+GF9SDROAhK90FvnA7rh+Wu
iYbs6l1UGprBoXzdawLYajyPVs02ntyphmrrTZlKWSdydMLEfBeEjbP9XFpMZNd7
3ltupGyY+BD1qBL7H/V9LwIDAQAB01AwTjAdBgNVHQ4EFgQUY/svV6fla+jggGug
VPUzeI4pVrEwHwYDVR0jBBgwFoAU/svV6fla+jggGugVPUzeI4pVrEwDAYDVR0T
BAUwAwEB/zANBgkqhkiG9w0BAQsFAAOCAQEAiR9JMxscnas/0KXODWlgKDNdr7n7
PxCXe4EayFswSgGtpH0Sift6Ei2Cm9wHxapnvSdjsDvCoUHF1/RTeQY0iGhW/Tcy
3VAR67A2E9CXmV01H1f4aHqe/Kgg67oqnhQ6iEk1IxxTgLxIyiDbH43uHCCdIVM1
T2GgZZOD9jwMY8q1V6RQjL0JtIoXbdu6w4abgtG+DFGtE6skinXizvyfjYzm7zwQ
02oParTkDY6H98n0WuiBrGBuIUQfNuhY4bwCZ7SsG6ROEdbHt9NaMAhNj9z07iIV
hWJawZr4YD02S0qzFF7pmIIXrd78NpwnzQ8UA002MnNqppsIwfJ7fZIGQ==
-----END CERTIFICATE-----
~
~
:wq
```

Pegar contenido copiado en *vEdge*

**Figura 4-148** Proceso de copia de *ROOTCA.pem* de *vManage* a *vEdge* - PoC SDWAN  
Fuente: Autor

Con *ROOTCA.pem* en *vEdge*, se debe instalar dicho certificado raíz:

```
vEdge:~$ exit
exit
vEdge# request root-cert-chain install /home/admin/ROOTCA.pem
Uploading root-ca-cert-chain via VPN 0
Copying ... /home/admin/ROOTCA.pem via VPN 0
Updating the root certificate chain..
Successfully installed the root certificate chain
vEdge#
```

**Script 58** Instalación de *ROOTCA.pem* en *vEdge* - PoC SDWAN  
Fuente: Autor

### Activación de vEdges en vManage

Para activar al vEdge se requiere de un número de *Token* y número de *Chasis*. En este PoC al ser un vEdge Cloud, realmente el dispositivo no cuenta con un número de chasis, pero se lo puede obtener desde vManage siempre que se tenga de un **Smart Account** asociado para sincronizar las bases de equipos de prueba y ejecutar un proceso llamado **PnP (Plug-and-Play)**:

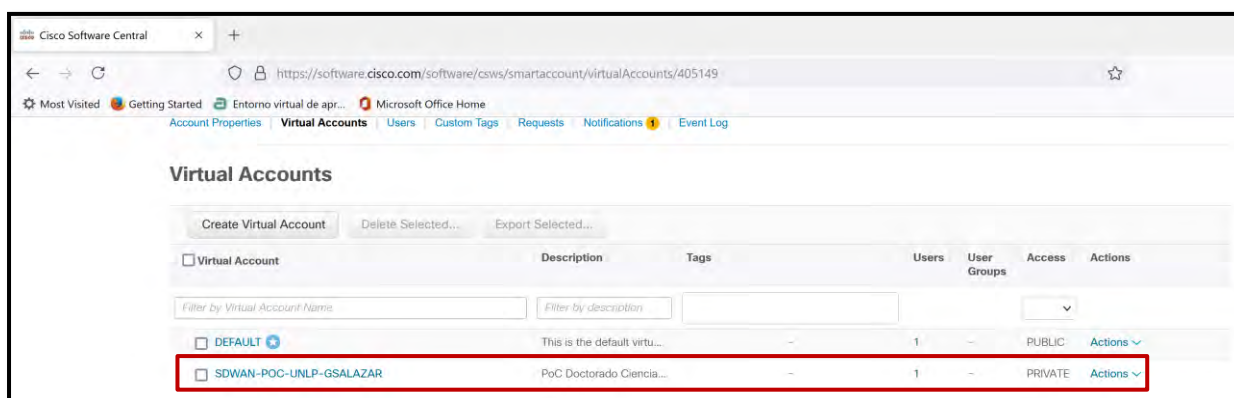
### Cuenta Smart Account de Cisco

Una cuenta de *Smart Account* es fundamental para agregar equipos virtuales y que el vManage tenga un conjunto de números de chasis y *tokens* listos para ser usados en un PoC.

El proceso para tener listo el *Smart Account* empieza en Cisco Software Central<sup>69</sup>, plataforma en la que se puede descargar y gestionar *software* oficial de Cisco Systems.

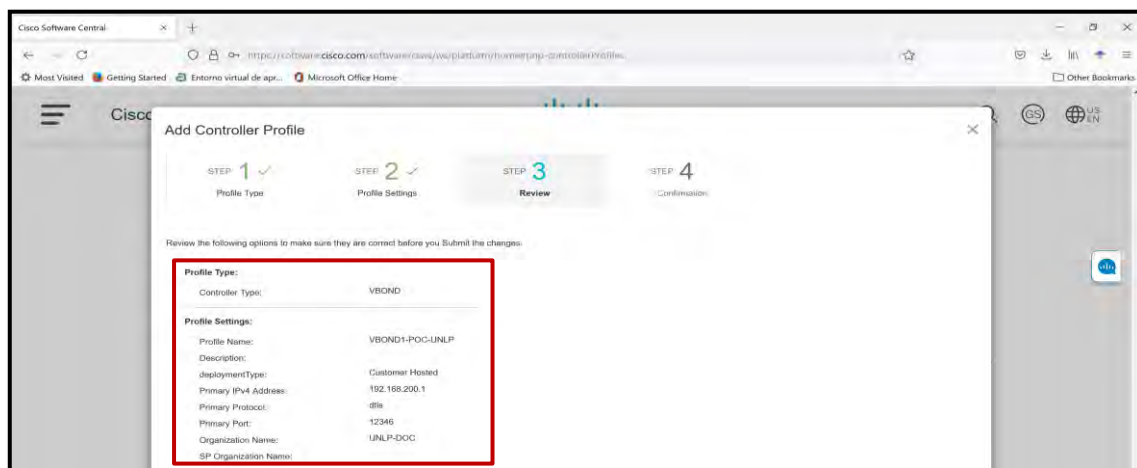
La cuenta *Smart Account* debe estar habilitada y relacionada con un Cisco ID legítimo que soporte descargas del entorno SDWAN, ya sea por ser cliente, *partner* o empleado de Cisco.

Al entrar a administrar el *Smart Account* en Cisco Software Central, se creará una *Virtual Account* relacionando al PoC de forma única e inequívoca, tal como se muestra en la Fig. 4-149. En esta cuenta se genera el *Wan Edge List*.

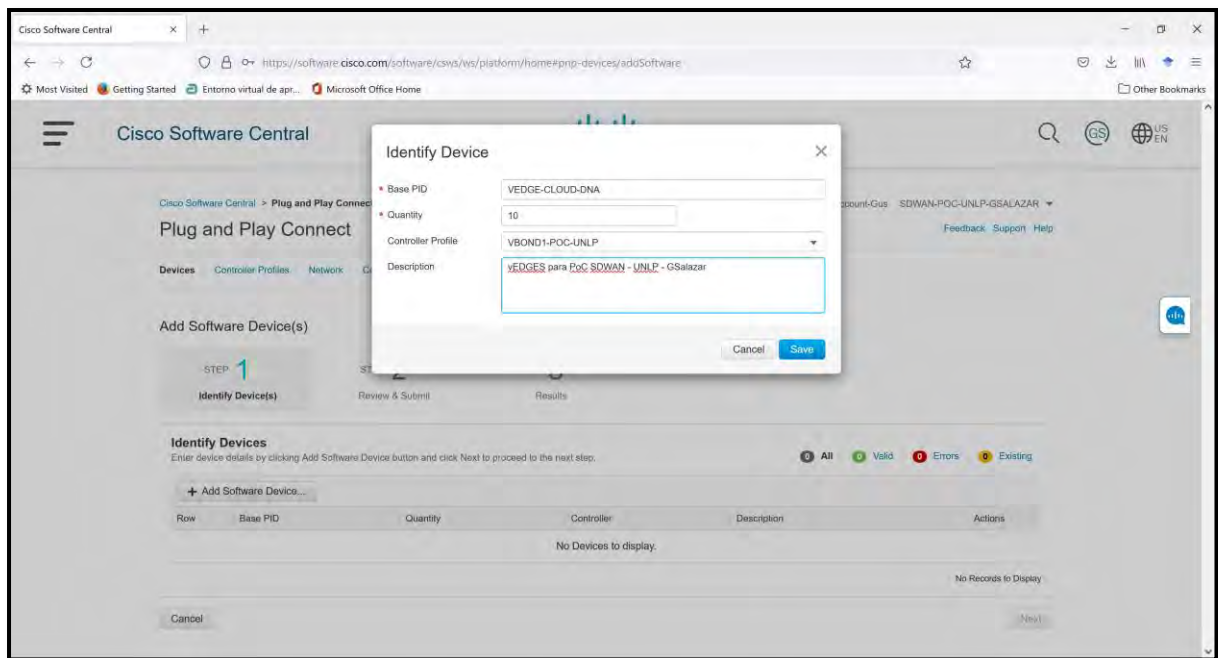


**Figura 4-149 Virtual Account en Smart Account de Cisco Software Central - PoC SDWAN**  
Fuente: Autor

Luego, en la sección *Plug and Play Connect*, parte del proceso *Zero-Touch Deployment*, se añadirá el perfil del Controlador vBond identificando el **nombre de la Organización**, el cual debe ser único en todo el ecosistema Cisco (UNLP-DOC para el caso de este PoC) y se definirán la cantidad de vEdges y así generar el archivo con la lista de equipos.



<sup>69</sup> Cisco Software Central: <https://software.cisco.com/#>



Plug and Play Connect

Devices Controller Profiles Network Certificates Manage External Virtual Account Event Log Transactions

+ Add Devices... + Add Software Devices... Edit Selected... Delete Selected... Enable External Management... Transfer selected... Refresh

Serial Number	Base PID	Product Group	Controller	Last Modified	Status	Actions
CSR-D2427CFA-7B8F-24...	CSR1KV	Router	VBOND1-POC	2021-Jul-17, 14:17:52	Provisioned	Show Log
CSR-C5735AF4-8B16-09...	CSR1KV	Router	VBOND1-POC	2021-Jul-17, 14:17:52	Provisioned	Show Log
CSR-7CCEB80E-C3E2-8...	CSR1KV	Router	VBOND1-POC	2021-Jul-17, 14:17:52	Provisioned	Show Log
CSR-39CDF5D2-16C1-D...	CSR1KV	Router	VBOND1-POC	2021-Jul-17, 14:17:52	Provisioned	Show Log
CSR-98DE8BD2-12F6-A1...	CSR1KV	Router	VBOND1-POC	2021-Jul-17, 14:17:52	Provisioned	Show Log
0A5717E1-4939-7938-1C...	VEDGE-CLOUD-DNA	Router	VBOND1-POC	2021-Jul-17, 14:15:04	Provisioned	Show Log
0640B3DE-186F-F9B7-D...	VEDGE-CLOUD-DNA	Router	VBOND1-POC	2021-Jul-17, 14:15:04	Provisioned	Show Log

**Figura 4-150 Aprovisionamiento de vEdges en Smart Account – Plug and Play Connect (PnP) - PoC SDWAN**  
Fuente: Autor

Si todo es correcto, será factible la descarga del archivo *Viptela* desde el perfil de controlador para incluirlo en el *vManage*. El proceso de La Fig. 4-151 muestra dicha obtención del *serialFile.viptela*.

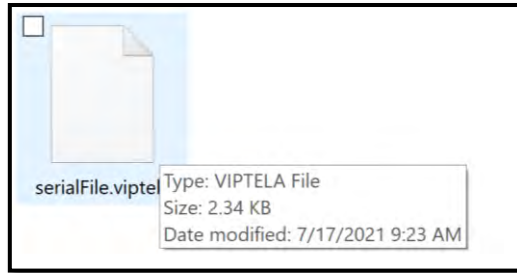
Plug and Play Connect

Devices Controller Profiles Network Certificates Manage External Virtual Account Event Log Transactions

+ Add Profile... Edit Selected... Delete Selected... Make Default... Show Log... Refresh

Profile Name	Controller Type	Default	Description	Used By	Download
VBOND1-POC	VBOND	✓		15	Provisioning File

Showing 1 Record

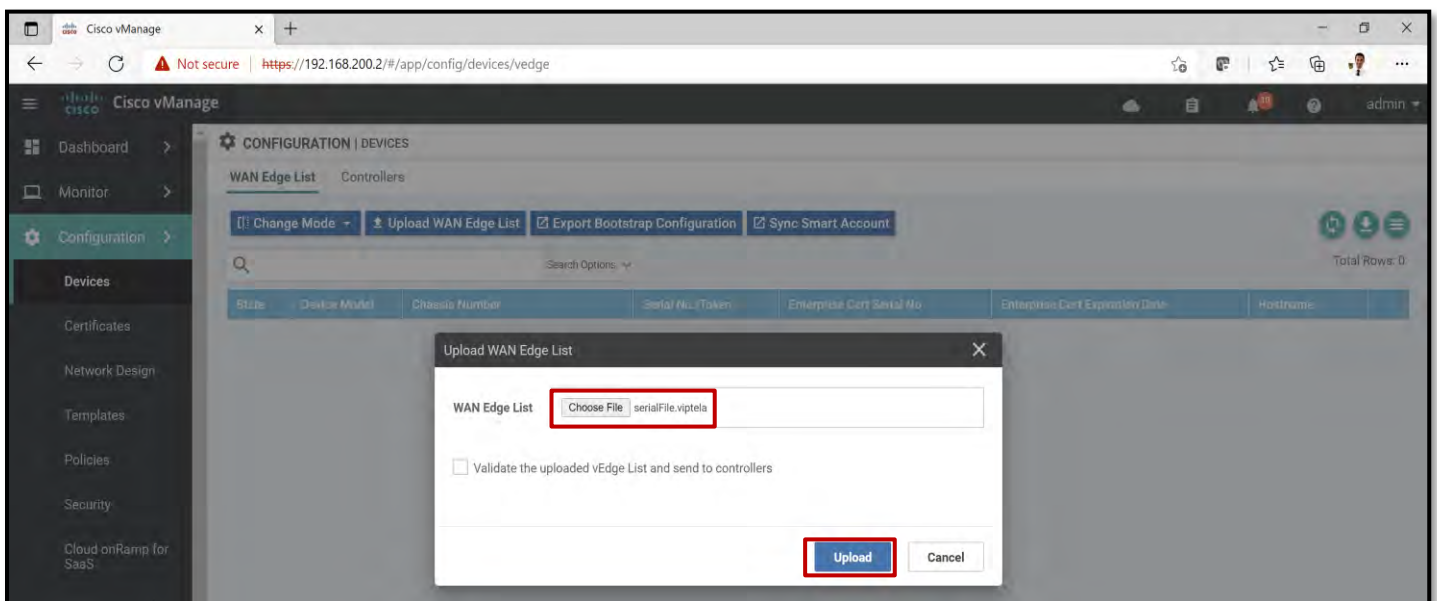
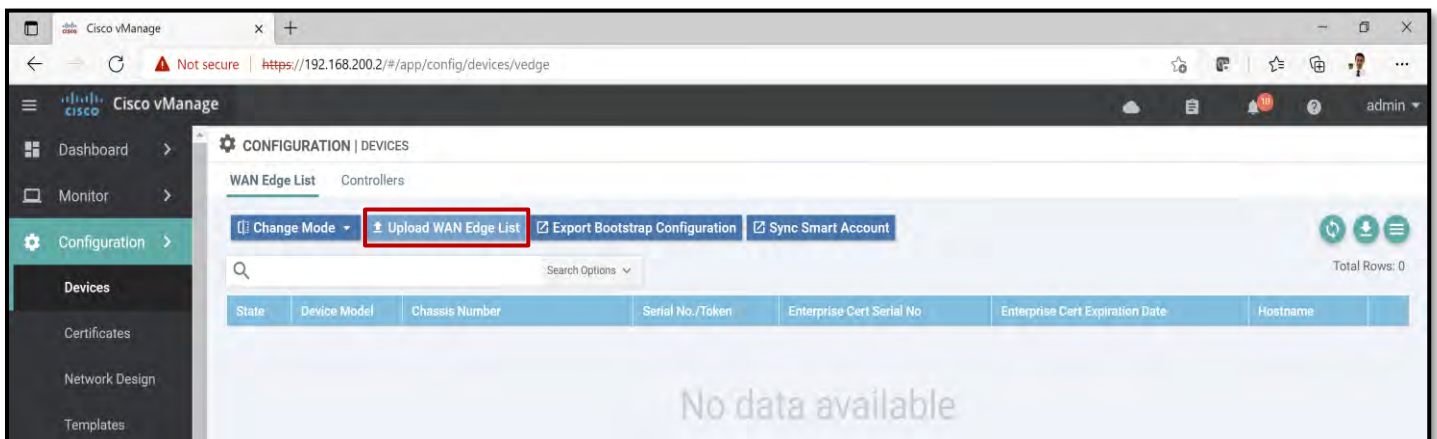


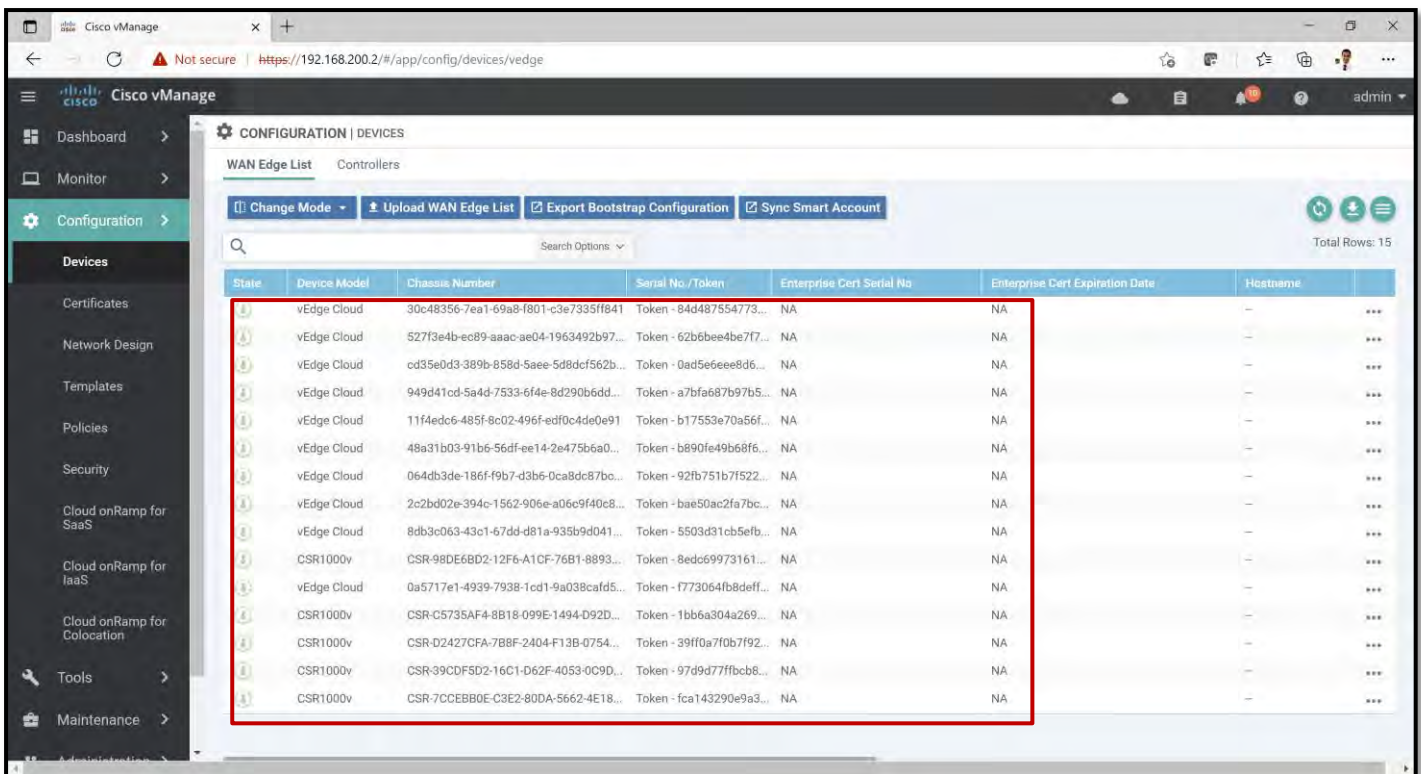
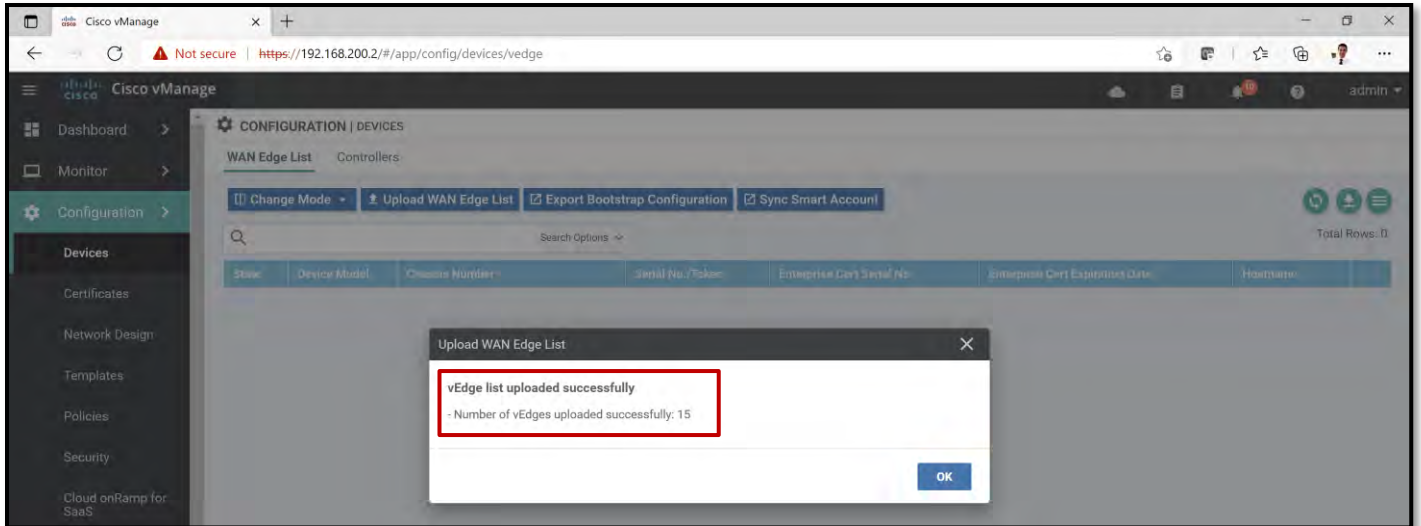
**Figura 4-151** Obtención *serialFile.viptela* - Plug and Play Connect (PnP) - PoC SDWAN  
Fuente: Autor

Es importante mencionar que no todo el proceso de obtención del *serialFile.viptela* fue descrito en la presente tesis, ya que existen credenciales que no pueden ser entregadas al público.

Ya con el archivo, ingrese al *vManage* y cárguelo de la siguiente manera:

Ingrese a *Configuration-Devices-WAN Edge List*. En ese lugar, dé clic en **Upload WAN Edge List**. **No hay que olvidar que para que funcione importar la lista de equipos, el Organization Name y la dir. IP de vBond debe coincidir** tanto del archivo Viptela como del PoC.

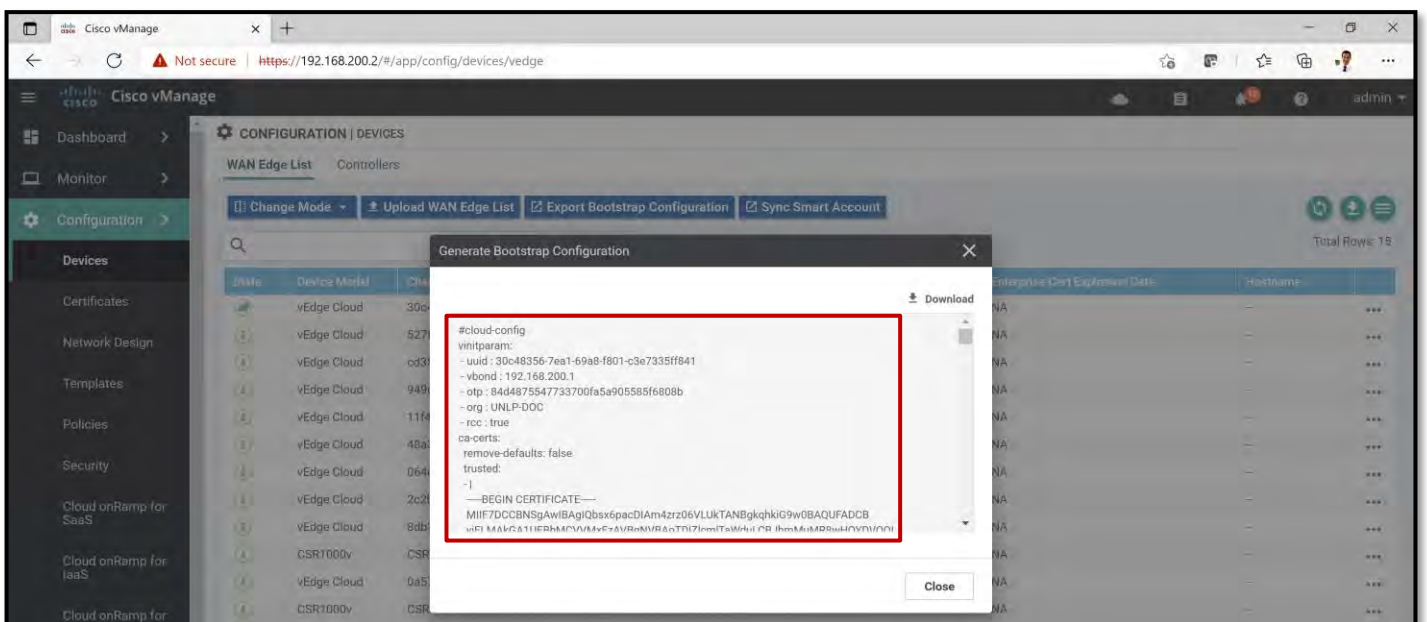
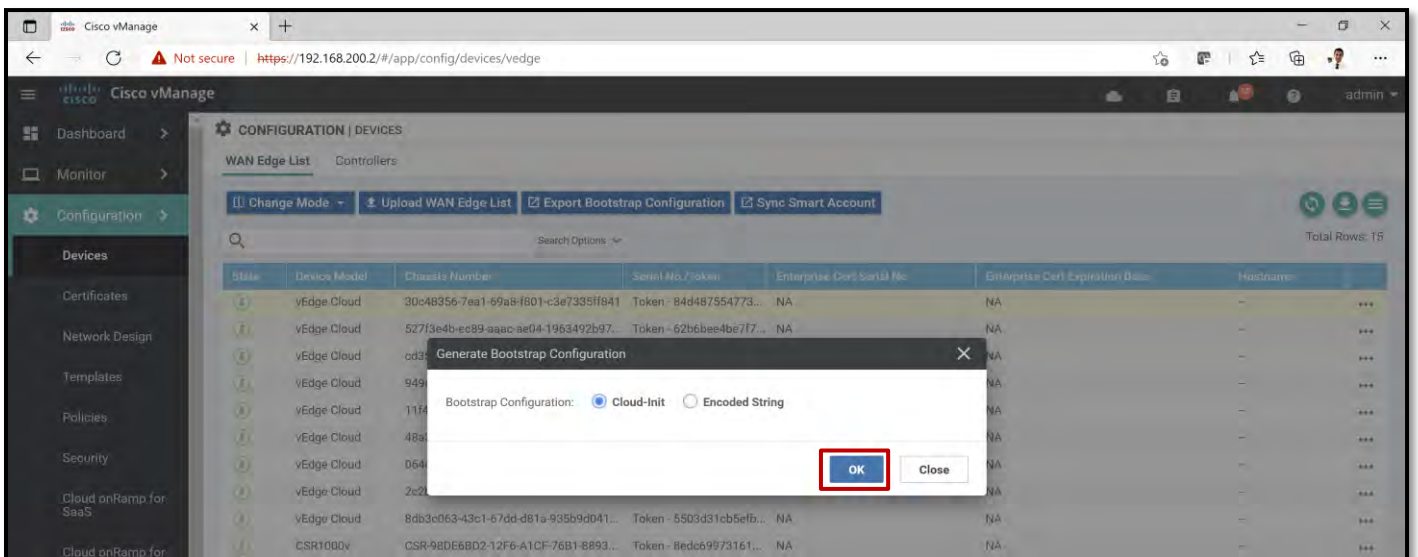
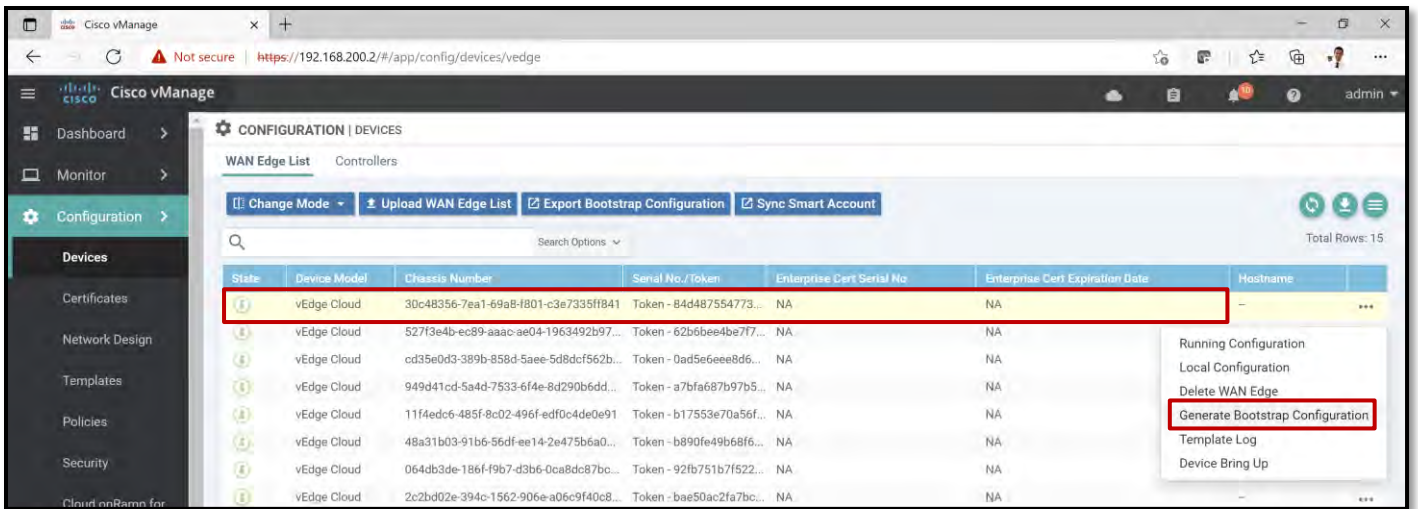




**Figura 4-152 Carga de vEdge Clouds a vManage- PoC SDWAN**  
Fuente: Autor

Con el proceso mostrado en la Fig. 4-152, se cargó quince (15) WAN Edges, entre vEdge-Cloud-DNA y csr1000v.

Para vincular uno de los vEdgeClouds del listado anterior al equipo del PoC SDWAN, se selecciona aleatoriamente uno, en el caso de esta prueba de concepto, se seleccionó el primer vEdgeCloud del listado en vManage. Una vez seleccionado, se genera su configuración Bootstrap y de ahí se obtendrá el número de chasis y token. La Fig. 4-153 muestra los pasos para generar el Bootstrap Configuration del vEdgeCloud seleccionado.



**Figura 4-153 Generación de Bootstrap Configuration de vEdge Cloud en vManage- PoC SDWAN**  
Fuente: Autor

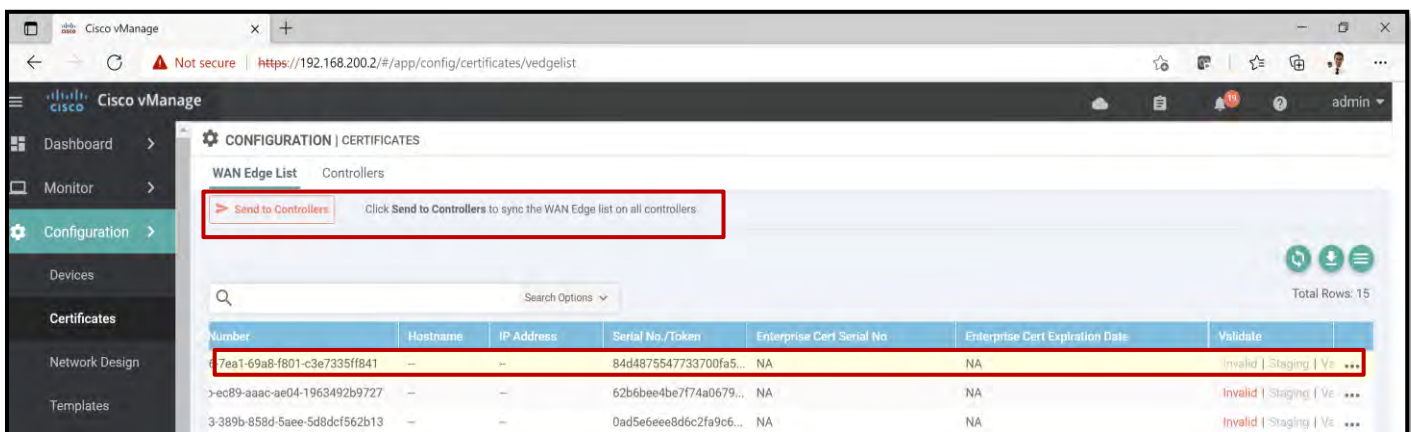
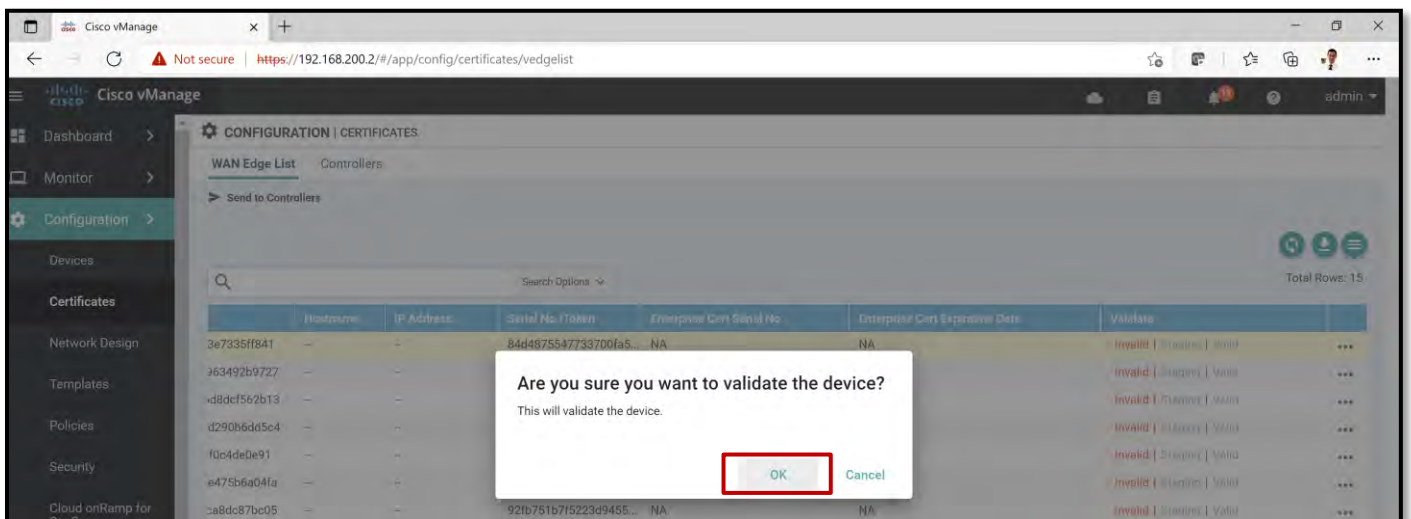
La última imagen de la Fig. 4-153 muestra el **Número de Chasis (uuid)** y el **Token (otp)**, registros que se utilizarán vía comando para el registro del *vEdge* de este PoC.

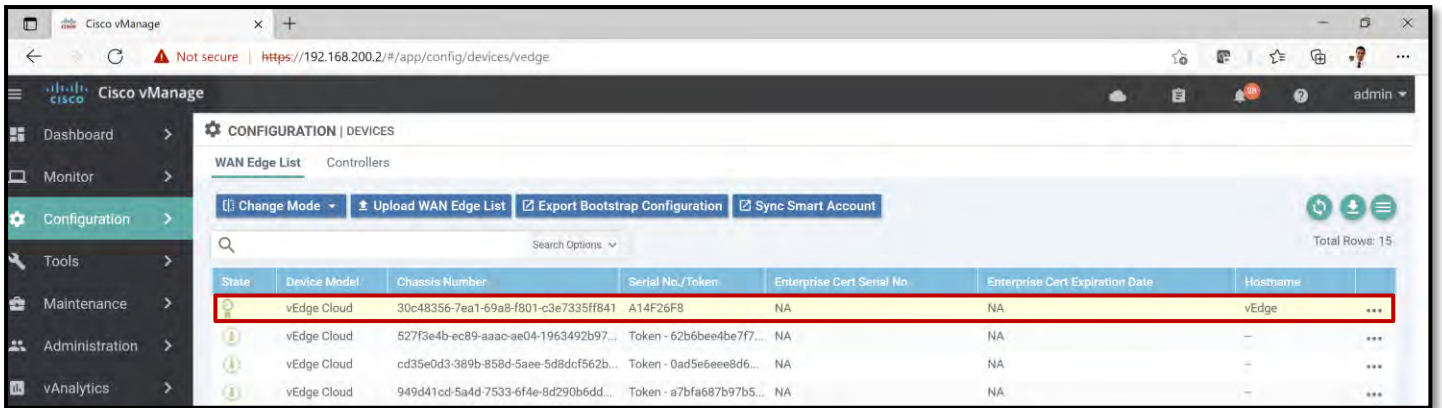
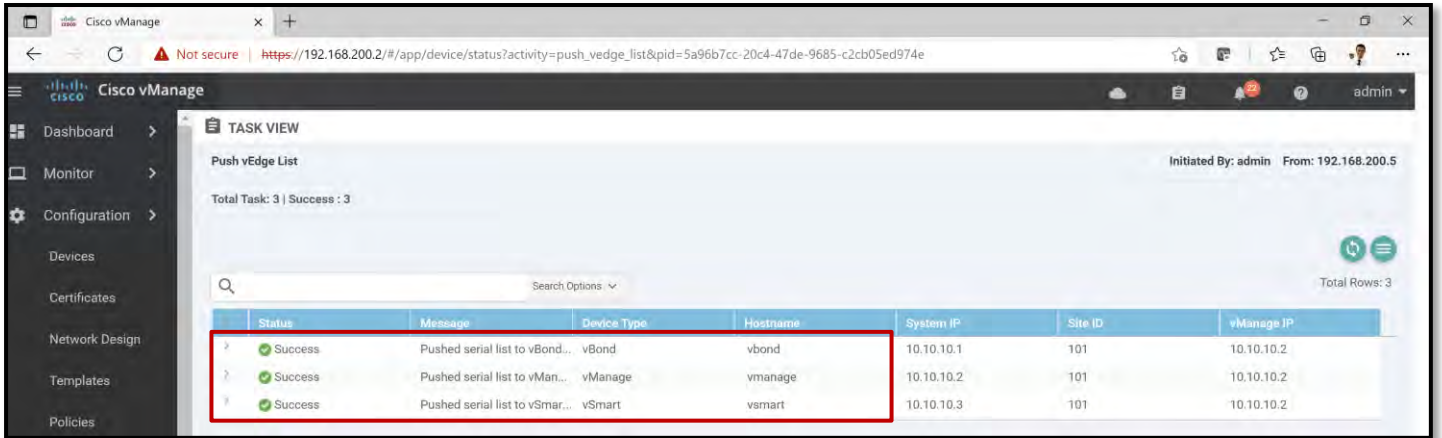
Se debe activar el túnel IPSec en *vEdge* para establecer la encapsulación TLOC correspondiente previo a la vinculación con *vManage* y exista una comunicación segura entre *vEdges* (sedes empresariales).

```
vEdge# config t
Entering configuration mode terminal
vEdge(config)# vpn 0
vEdge(config-vpn-0)# interface ge0/0
vEdge(config-interface-ge0/0)# tunnel-interface
vEdge(config-tunnel-interface)# encapsulation ipsec
vEdge(config-tunnel-interface)#
vEdge(config-tunnel-interface)# commit
```

**Script 59 Generación de túnel IPSec-TLOC en vEdge - PoC SDWAN**  
Fuente: Autor

De igual forma, el certificado del equipo *vEdge* seleccionado y generado por el archivo *serialFile.viptela* debe validarse y enviarse a los controladores desde *Configuration-Certificates-WAN Edge List*. Al terminar el proceso, en *Configuration-Devices-WAN Edge List* se verá el Número de serial destinado al *vEdge* de este PoC. Las siguientes figuras muestran ello:





**Figura 4-154** Proceso de activación de licencia y envío a Controladores de vEdge Cloud en vManage- PoC SDWAN  
Fuente: Autor

En el Script 58 se instaló el ROOTCA.pem en el vEdge, ahora, relacionaremos el *uuid* y *otp* de la Fig. 4-151 a este equipo:

```
vEdge#
vEdge# request vedge-cloud activate chassis-number 30c48356-7ea1-69a8-f801-c3e7335ff841 token 84d4875547733700fa5a905585f6808b
vEdge#
```

**Script 60** Vinculación de número de chasis/Token para vEdge - PoC SDWAN  
Fuente: Autor

En ese momento, el Plano de Datos (vEdges) está bajo el mando del Plano de Control (vManage, vSmart y vBond).



**Figura 4-155** Conectividad exitosa de vEdge Cloud a vManage- PoC SDWAN  
Fuente: Autor

#### 4.5.5 Capacidad de Monitoreo en PoC de SDWAN Viptela

Durante las secciones anteriores se pudo evidenciar el paso a paso, así como verificar la factibilidad de uso de la solución SDWAN Viptela, sin embargo, una vez establecido el Plano de Control y de Datos, una característica fundamental de SDWAN es su capacidad de monitoreo de infraestructura (*insights*).

Las siguientes figuras mostrarán esa habilidad desde el *vManage*.

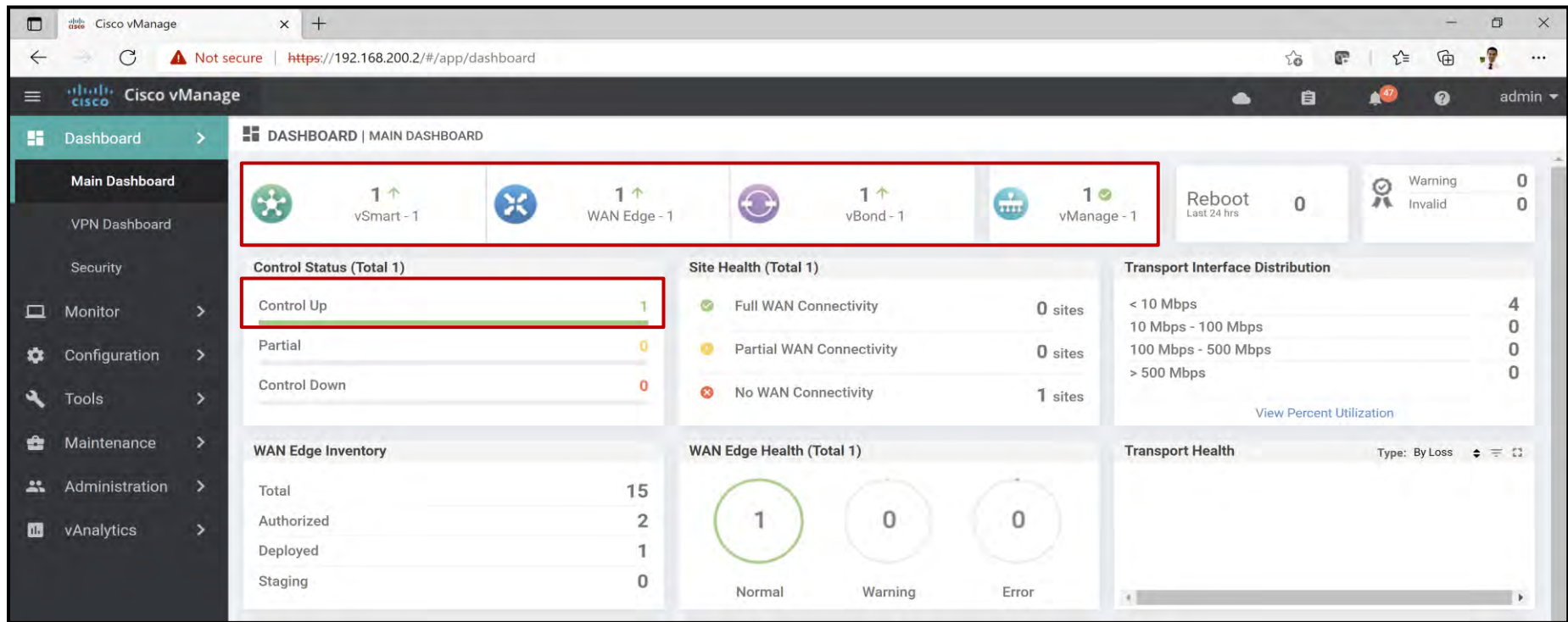


Figura 4-156 Main Dashboard de vManage- PoC SDWAN

Fuente: Autor

La Fig. 4-156 evidencia la existencia de un Plano de Control (*vSmart*, *vBond* y *vManage*) y de un Plano de Datos (*WAN Edge*) activos y funcionales, sin error alguno, ni de autenticación, ni de certificados de encriptación.

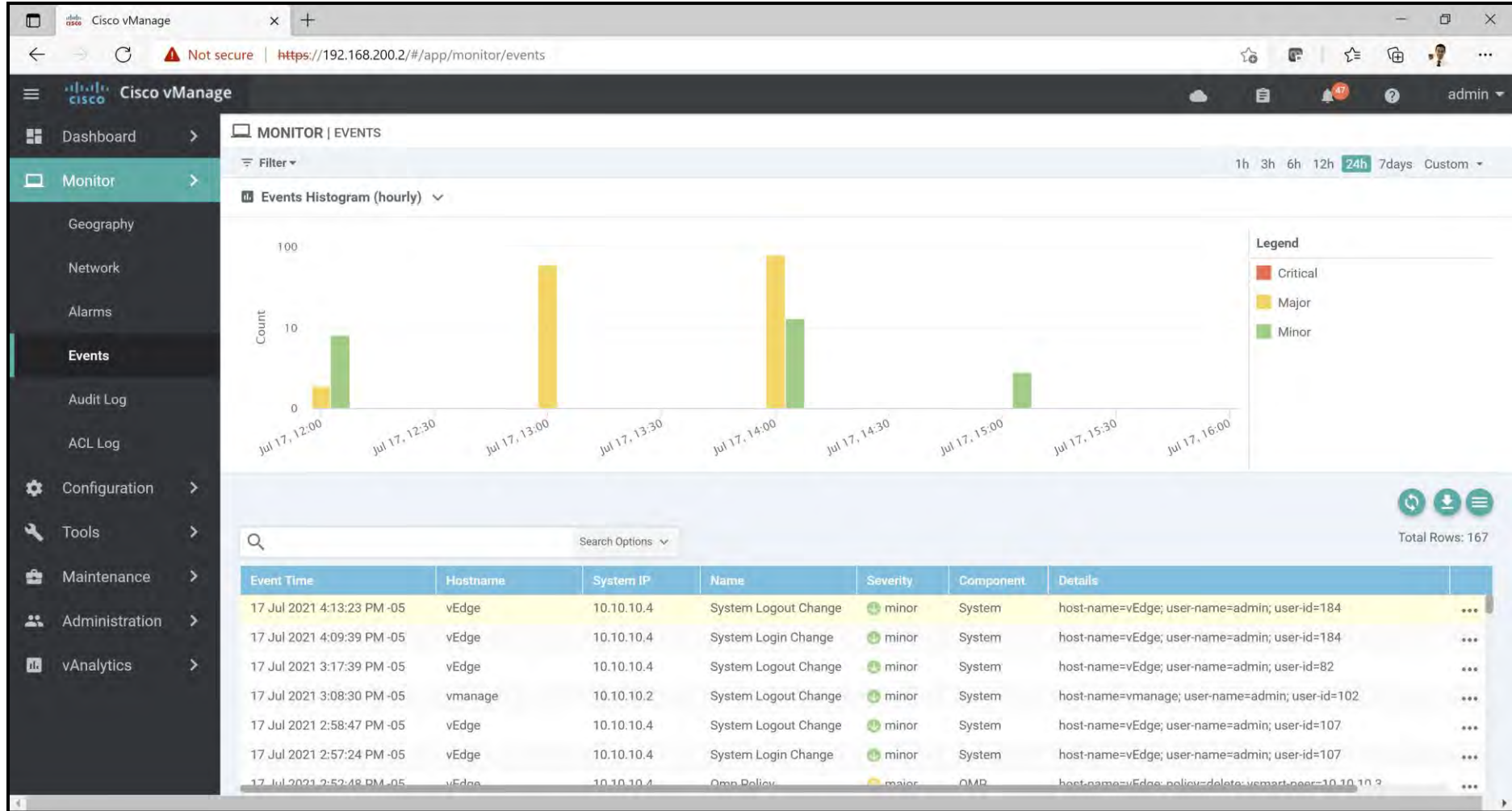
La Sección *Monitor* tiene herramientas que permiten una visualización y control total de la infraestructura.

The screenshot shows the Cisco vManage interface for monitoring network devices. The left sidebar contains navigation options: Dashboard, Monitor (selected), Geography, Network, Alarms, Events, Audit Log, ACL Log, and Configuration. The main content area is titled 'MONITOR | NETWORK' and shows a 'WAN - Edge' view. A table lists the following devices:

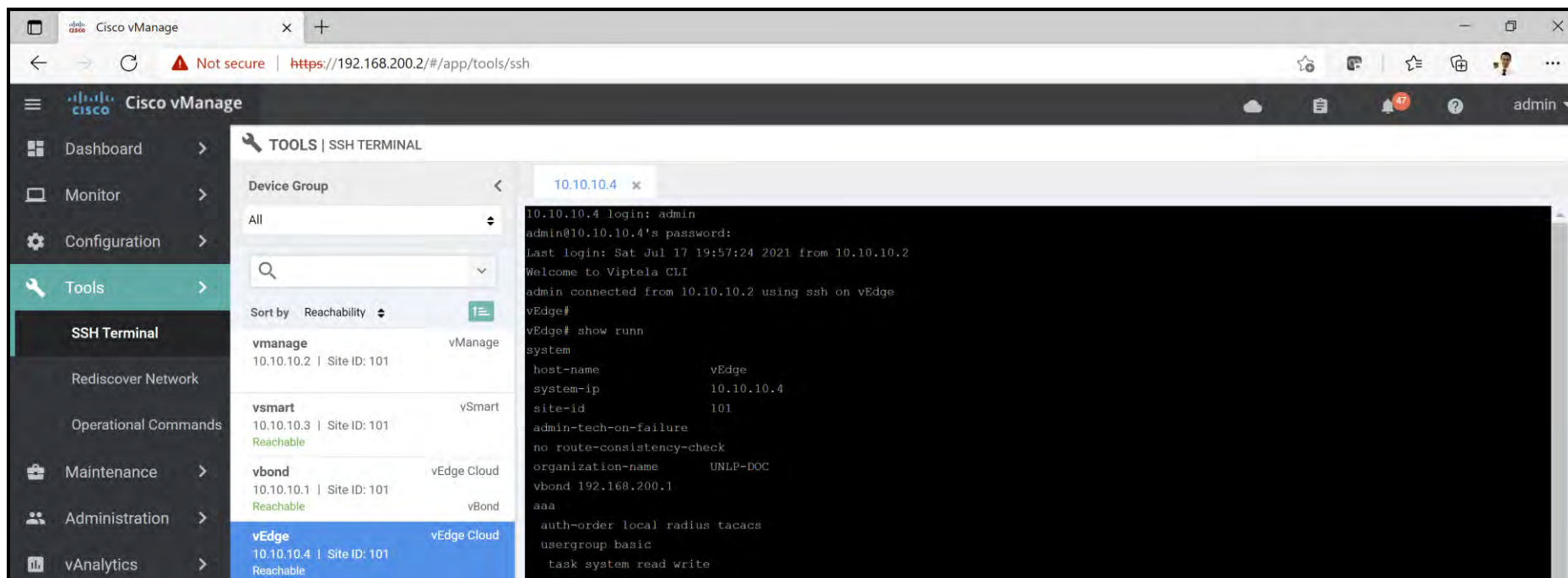
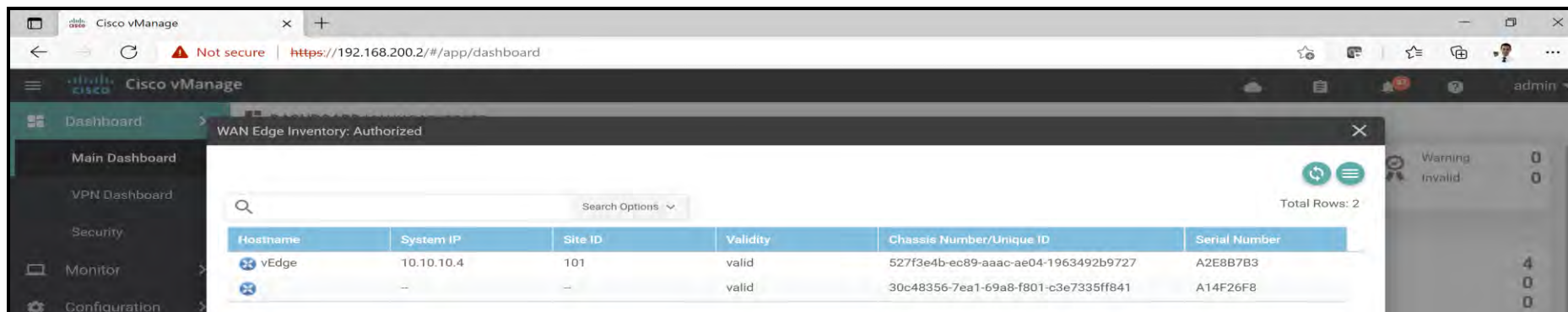
Hostname	System IP	Device Model	Chassis Number/ID	State	Reachability	Site ID	BFD	Control	Version	Up Since
vmanage	10.10.10.2	vManage	5b724ad2-0e2c-4ebb-b2bb-45ca7...	✓	reachable	101	-	2	19.2.4	17 Jul 202
vsmart	10.10.10.3	vSmart	1e2ca9c3-a6e3-469d-8cf1-2c9fb...	✓	reachable	101	-	2	19.2.4	17 Jul 202
vbond	10.10.10.1	vEdge Cloud (vBo...	e41ec1ed-bb08-49c9-a27e-1da51...	✓	reachable	101	-	-	19.2.4	17 Jul 202
vEdge	10.10.10.4	vEdge Cloud	527f3e4b-ec89-aaac-ae04-196349...	✓	reachable	101	0	2	19.2.4	17 Jul 202

The screenshot shows the Cisco vManage interface for monitoring a specific interface. The left sidebar is similar to the previous screenshot. The main content area is titled 'MONITOR Network > Interface' and shows a detailed view for 'vEdge | 10.10.10.4'. A line chart displays traffic (Rx/Tx kbps) over time, with a callout for 'Jul 17, 14:30:00' showing 'ge0/0[rx]:6.33kbps' and 'ge0/0[tx]:8.00kbps'. Below the chart is a table with 6 rows selected:

Interface	Interface Description	IP Address	IPv6 Address	VPN	Admin Status	Oper Status	MTU
ge0/0	--	192.168.200.4/24	--	0	↑	↑	1500
system	--	10.10.10.4/32	--	0	↑	↑	1500



**Figura 4-157 Monitoreo desde vManage- PoC SDWAN**  
**Fuente: Autor**



**Figura 4-158 Control de Inventario y Acceso Remoto a vEdge desde vManage- PoC SDWAN**  
Fuente: Autor

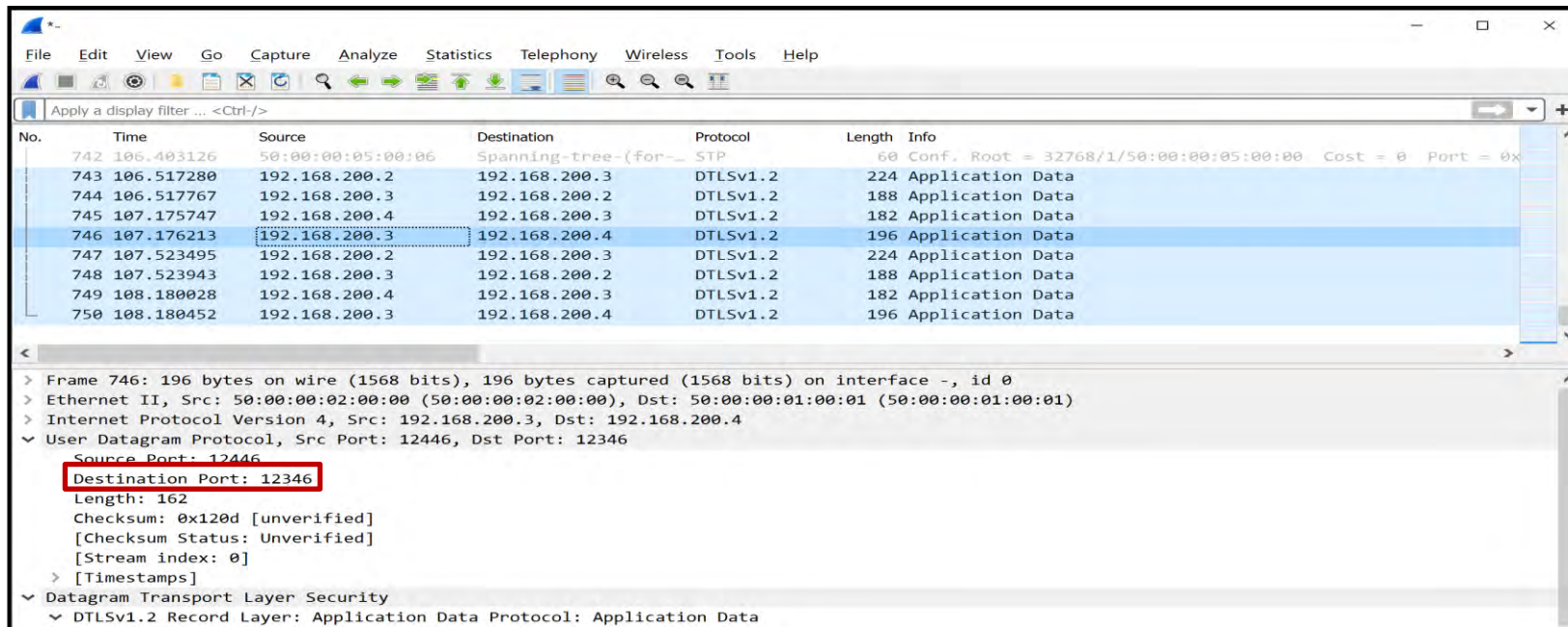
```

vEdge# show omp peers
R -> routes received
I -> routes installed
S -> routes sent

PEER          TYPE    DOMAIN  OVERLAY  SITE
-----
10.10.10.3    vsmart  1       1       101
              STATE    UPTIME    R/I/S
              -----
              up      0:02:06:42  0/0/0

vEdge#

```



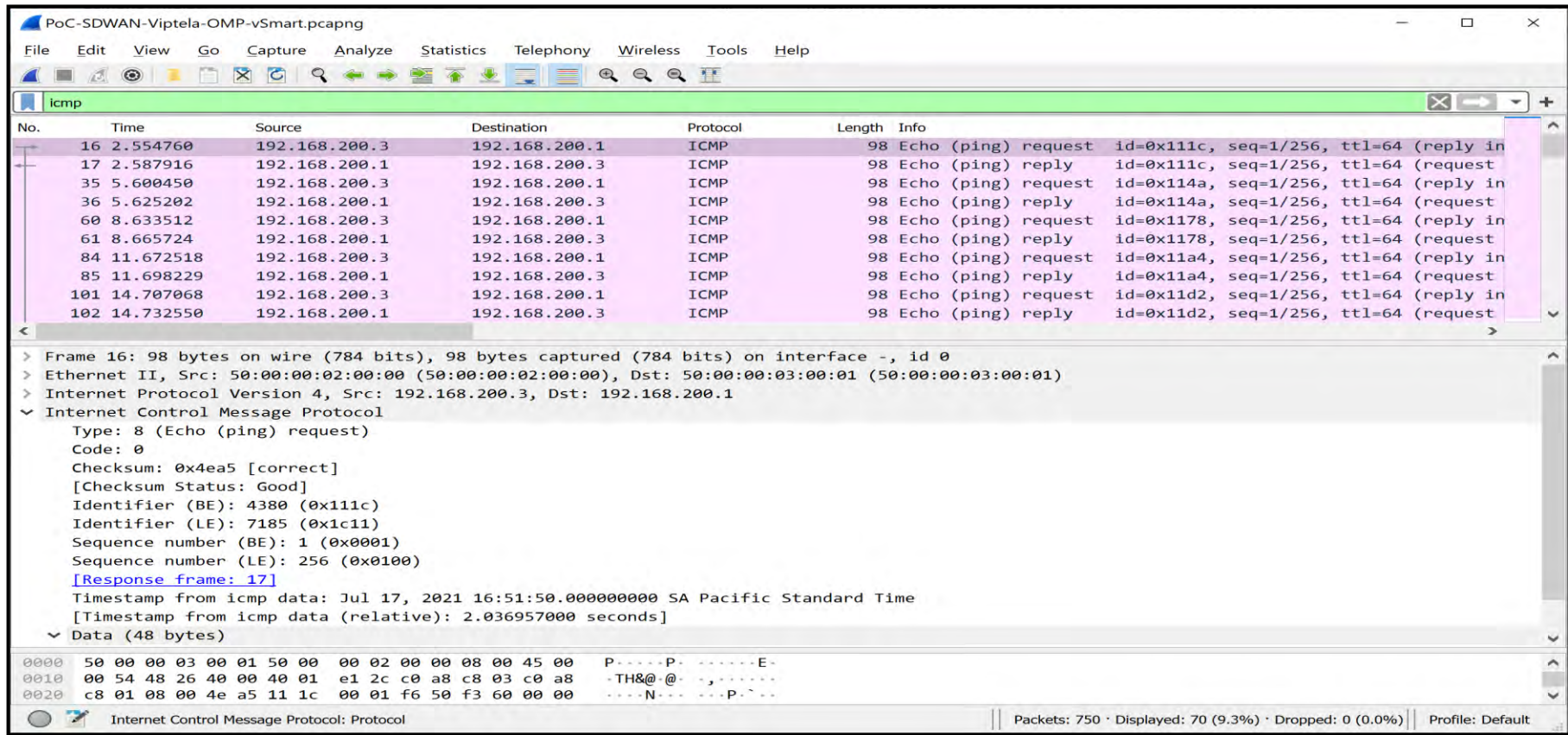
**Figura 4-159 Establecimiento de paridad OMP entre vEdge-vSmart - PoC SDWAN**

Fuente: Autor

La Fig. 4-157 permite verificar el establecimiento de OMP (*Overlay Management Protocol*) una vez que los túneles DTLS entre vSmart y vEdge se establecieron. La captura de Wireshark toma los mensajes de OMP encriptados dentro de DTLS-UDP (**puerto 12346**).<sup>70</sup>

<sup>70</sup> Funcionamiento de OMP: <https://www.lookingpoint.com/blog/cisco-sd-wan-omp>

Algo adicional que se pudo determinar en el PoC, es el constante envío de *pings* (ICMP) entre *vSmart* y *vBond* a manera de *keepalives*.



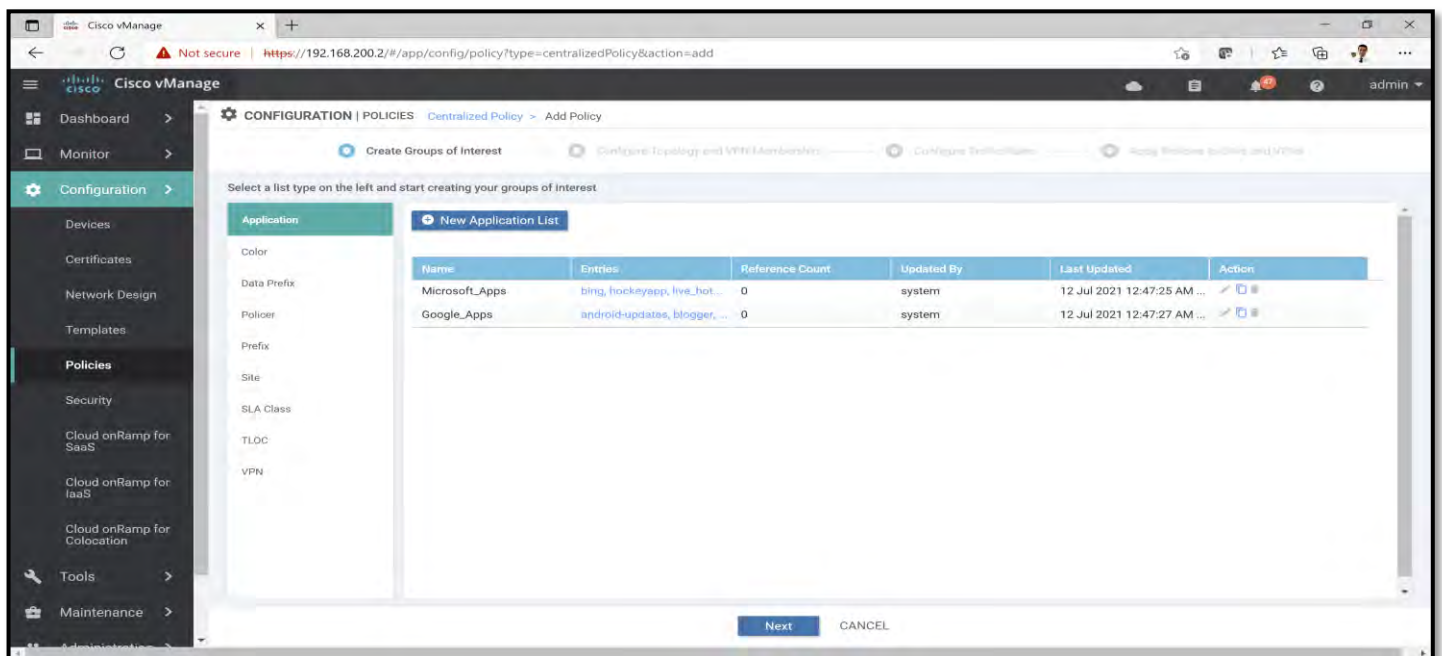
**Figura 4-160 Keepalives (ICMP) entre vSmart-vBond - PoC SDWAN**

Fuente: Autor

Al finalizar el presente PoC, se logró comprobar la capacidad general de SDWAN Viptela, su configuración básica, tanto de su Plano de Control como su Plano de Datos, además de las características de Monitoreo, Telemetría, inventario y control remoto sobre los *WAN Edges*.

SDWAN es también considerada una tecnología que permite unir redes tradicionales con conceptos de conexión de Redes Definidas por *Software*, ya que los *vEdges* pueden conectarse a cualquier *router* estableciendo enrutamiento mediante OSPF o BGP, pero en ese caso, OMP es necesario para que las rutas de esas sedes circulen desde los *vEdges/cEdges*<sup>71</sup> hacia el Plano de Control. OMP, como lo visto en la *Fig. 4-159*, se levanta entre los *WAN Edges* y *vSmart*.

El uso de APIs, *Templates* y Políticas facilitarán el manejo y control de equipos por parte del Plano de Control de SDWAN, convirtiendo a esta solución como una basada en políticas y contexto, lugar ideal para la inclusión de Inteligencia Artificial y programabilidad.



**Figura 4-161 Políticas y Templates - PoC SDWAN**

*Fuente: Autor*

Sin duda, SDWAN es una excelente tecnología para la comunicación empresarial de nueva generación que usa al Internet como *Fabric* de transporte, dándole así capacidad de conectividad ininterrumpida, segura y efectiva.

El concepto de SEN (*Secure Extensible Network*) fue comprobado a través del exitoso proceso de intercambio de certificados para autenticación, así como el uso de protocolos de encriptación robustos en los túneles de transporte de datos y de control.

<sup>71</sup> cEdge: Equipo tipo *router* con capacidad de soportar una imagen SDWAN (CSR1000v con IOS-XE SDWAN)

## Capítulo 5

### 5. Implementación de Red Prototipo SDN

A lo largo de la presente tesis, se ha conceptualizado y puesto en práctica los diversos entornos donde el paradigma SDN puede ser implementado: *SD-Access/Branch*, *SD-WAN*, *SD-DC*, así como se realizó pruebas de concepto sobre una nueva generación de protocolos que facilitan que estas tecnologías puedan funcionar adecuadamente: *LISP*, *VXLAN*, *Segment-Routing*, además de protocolos que permiten la conectividad hacia los controladores SDN de entornos *OpenSource* y privados: *OpenFlow* y *OMP*, sin dejar de lado entornos de cambio cultural en la implementación rápida, segura y colaborativa de la transformación digital sustentada por *SDN-fabrics* enfocados a la automatización: *NetDevOps* en infraestructuras basadas en *OpenNetworking* y *NG-SDN*, permitiendo así una programabilidad al máximo nivel.

Los entornos SDN ofrecen un valor enorme a las organizaciones, principalmente por proveer de agilidad, simplicidad y reducción de costos en CAPEX y OPEX en las infraestructuras de comunicación a través del empleo de tecnologías basadas en *software*, virtualización, APIs, programabilidad y *Cloud Computing*, tomando mucha más importancia en época de pandemia COVID-19 en que la digitalización es parte de la nueva normalidad.

Por la importancia que tiene SDN, así como para completar el proceso de investigación científica, se realizará una implementación real de Red Prototipo SDN con equipos físicos habilitados para ese propósito.

El fabricante del *Hardware* seleccionado tiene de nombre *Northbound Networks*.



**Figura 5-1** logo de *Northbound Networks*  
Fuente: *Northbound Networks*

#### 5.1 Hardware para redes SDN

*Northbound Networks* es una empresa australiana creada por Paul Zanna, quien también diseñó *Zodiac FX* y *Zodiac WX*, nombre del *Switch* y AP (*Access Point*) SDN a utilizar en este capítulo.

Según lo indicado por Zanna en (Northbound Networks, 2021), alrededor de los años 2013 empezó a indagar sobre SDN, pero en dicha época las únicas formas de experimentar con esta tecnología emergente eran mediante Mininet, un excelente emulador de redes de datos también utilizado en anteriores capítulos y equipos SDN costosos y propietarios diseñados exclusivamente para *Data Centers*, lo que imposibilitaba manipular paquetes reales generados por *hosts* reales, decidiendo hacer sus propios equipos con el fin de desarrollar pruebas de concepto y que otros investigadores puedan usarlos, es así como nace *Northbound Networks* y *Zodiac FX*, escribiendo su *firmware* desde cero y ensamblando alrededor de un lote de quinientos (500) equipos en una primera entrega, logrando que grandes multinacionales y centros universitarios de investigación de nuevas tecnologías soliciten estos dispositivos.

### 5.1.1 Zodiac FX SDN Switch

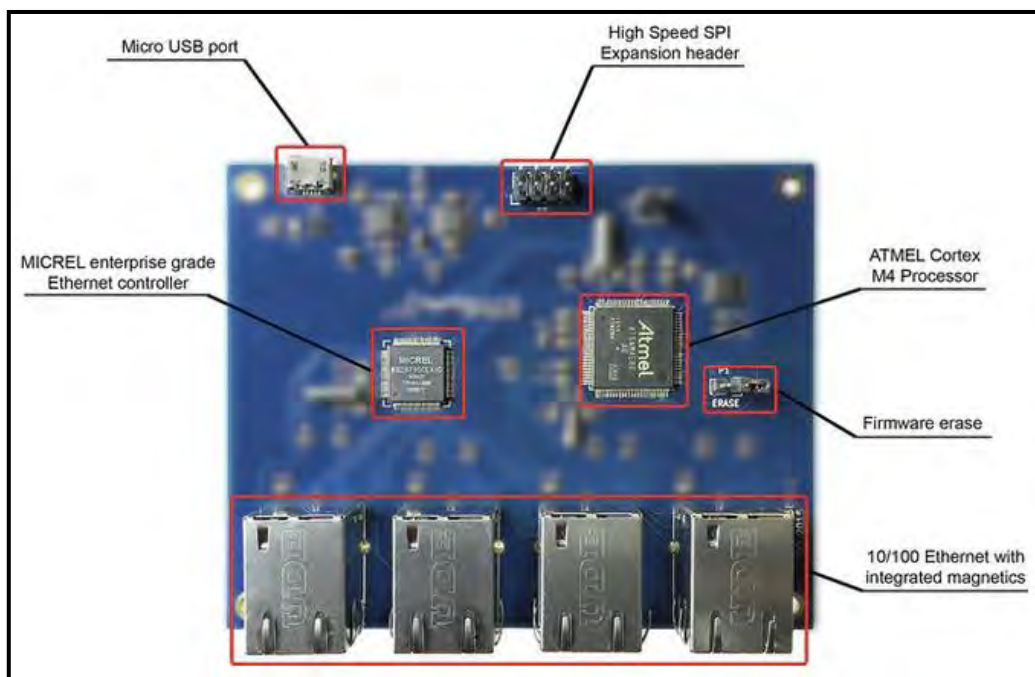
Este equipo es considerado uno de los mejores para pruebas de concepto físicas SDN a bajo costo y con capacidad de funcionamiento tipo *OpenSDN* (conexión a los controladores a través de *OpenFlow*).

Sus características físicas se muestran en la tabla siguiente:

**Tabla 5-1 Características Zodiac FX – Switch SDN**

<b>Características</b>	<b>Descripción</b>
<b>Interfaces</b>	Cuatro (4) Interfaces 10/100 ( <i>Fast Ethernet</i> )
<b>Acceso CLI-WebUI</b>	A través de Puerto USB (COM)
<b>Procesador</b>	AMTEL ATSAM4E Cortex M4
<b>Soporte OpenFlow</b>	OpenFlow 1.0 y 1.3
<b>Entradas en <i>Flow Table</i></b>	<512
<b>Soporte VLANs/Trunks</b>	IEEE 802.1Q - <4096 VIDs
<b>QoS</b>	IEEE 802.1Q Priority Tag
<b>Autenticación</b>	IEEE 802.1x
<b>Especiales</b>	<16 ACLs - 2KB Jumbo-Frames
<b>Medidas</b>	10x8 cm

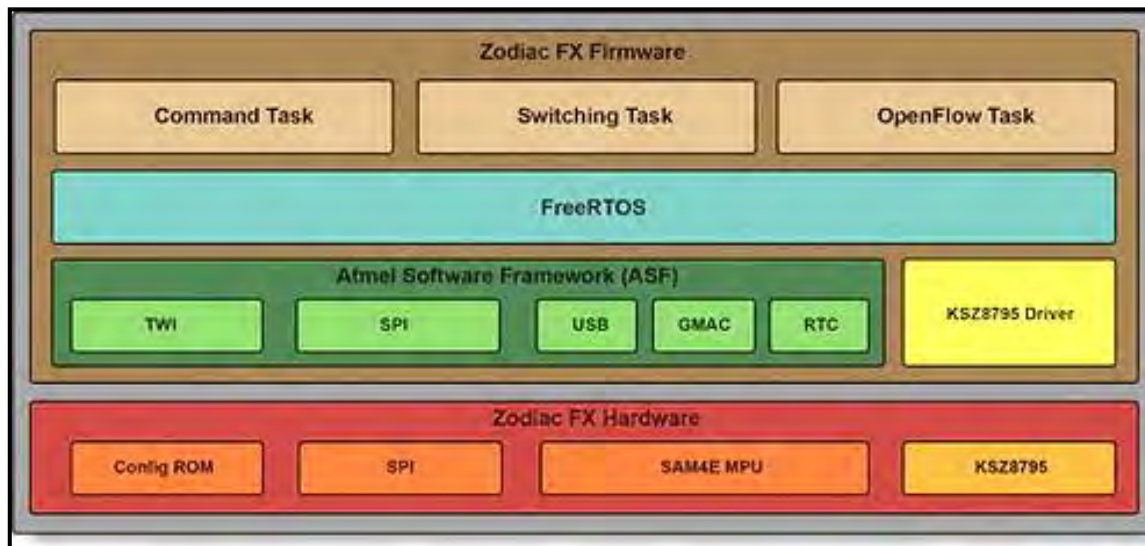
Basado en (Kickstarter Projects, 2021)



**Figura 5-2 Zodiac FX – Características Físicas**  
Recuperado de (Kickstarter Projects, 2021)

Una de las grandes ventajas es que *Zodiac FX* está construido en base a un *Firmware* totalmente *OpenSource* desarrollado y actualizado por la comunidad de desarrollo SDN, incluso es posible personalizarlo.

Este equipo emplea ASF (*Atmel Software Framework*) para la conexión a periféricos externos como USB, SPI, etc, además hace uso de *FreeRTOS*<sup>72</sup> para administrar tareas y memoria de sus tres procesos principales: Acceso por CLI, *Switching* y SDN (*OpenFlow*).



**Figura 5-3 Esquema de Zodiac FX**  
Recuperado de (Kickstarter Projects, 2021)

Más información sobre este gran equipo se encuentra en:

<https://github.com/NorthboundNetworks/ZodiacFX>

<https://forums.northboundnetworks.com/index.php?topic=1055.0>

<https://northboundnetworks.freshdesk.com/support/solutions>

### 5.1.2 Zodiac WX SDN Wireless AP

Zodiac WX es un *Access Point* con capacidad de soportar SDN a través de *OpenFlow* a bajo costo creado por *Northbound Networks* basado en *Zodiac FX*; según *Northbound Networks*, es el primer AP con un *OpenFlow Engine* completo, dando una imagen a los controladores *OpenSDN* de que se trata de un *switch OpenFlow* cableado.

Así como APs tradicionales, este equipo puede energizarse a través de PoE (*Power over Ethernet*) o con un cargador de poder.

Su sistema operativo está basado en *OpenWRT* que *Northbound Networks* denominó *Zodiac LEDE*.

En cuanto al procesador, es un MIPS 74Kc con 128MB de RAM.

Cuenta con dos (2) conexiones para *Gigabit Ethernet* para la red cableada y el uso del estándar IEEE 802.11ac para la red *Wireless*.

<sup>72</sup> FreeRTOS – Real-Time Operating System for Microcontrollers - <https://www.freertos.org/>

Puede soportar un total de ocho (8) grupos, dieciséis (16) tablas y quinientos (512) entradas de flujo.



**Figura 5-4 Zodiac WX**  
*Recuperado de (Kickstarter Projects, 2021)*

El proceso de envío en el SD-AP funciona a través de la asignación de puertos inalámbricos:

- Puerto cableado al puerto *OpenFlow* 65
- Clientes *Wireless* a 5GHz a los puertos *OpenFlow* 1-32
- Clientes *Wireless* a 2.4GHz a los puertos *OpenFlow* 33-64

El controlador SDN manipula los flujos de paquetes con la asignación de puertos previamente indicada a través de las Dir. MAC en el Controlador SDN.

La instalación, configuración básica y puesta en marcha tanto de *Zodiac FX* y *Zodiac WX* se encuentra en **Anexo H: Entrada en Funcionamiento de Zodiac FX y Zodiac WX – SDN en infraestructura física con Aruba VAN SDN Controller y RYU-FlowManager**

## 5.2 Topología de la Red SDN

La topología de la red a probar su funcionamiento y realizar capturas de tráfico se puede apreciar en las Fig. 5-5 y Fig.5-6.

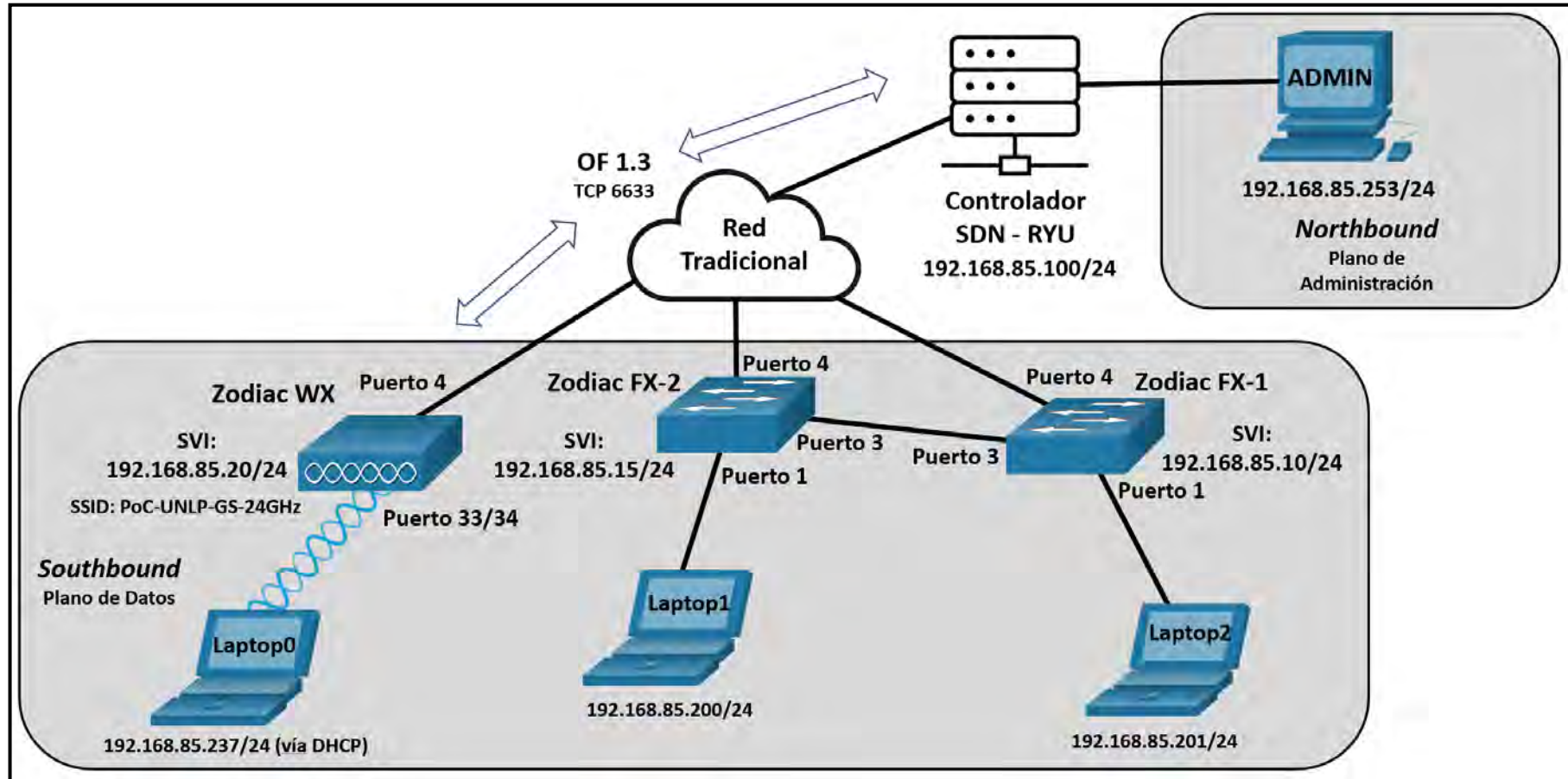


Figura 5-5 Topología PoC SDN en equipos físicos

Fuente: Autor



*Figura 5-6 Red Física SDN implementada mediante Zodiac FX(2), Zodiac WX y Controlador RYU - Inicio de Cableado  
Fuente: Autor*

El proceso de configuración de los equipos se describe en el **Anexo H: Entrada en Funcionamiento de Zodiac FX y Zodiac WX – SDN en infraestructura física con Aruba VAN SDN Controller y RYU-FlowManager.**

Partiendo de ello, la configuración de los equipos del Plano de Datos es la siguiente:

a)

```
Zodiac_FX# config
Zodiac_FX(config)# show config

-----

Configuration
Name: Zodiac_FX
MAC Address: 70:B3:D5:6C:DF:0D
IP Address: 192.168.85.10
Netmask: 255.255.255.0
Gateway: 192.168.85.1
OpenFlow Controller: 192.168.85.100
OpenFlow Port: 6633
Openflow Status: Enabled
Failstate: Secure
Force OpenFlow version: Disabled
EtherType Filtering: Disabled
```

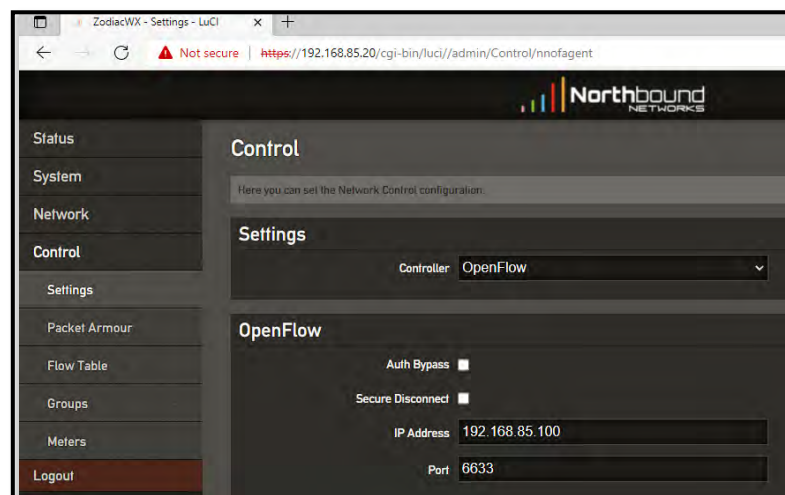
b)

```
Zodiac_FX# config
Zodiac_FX(config)# show config

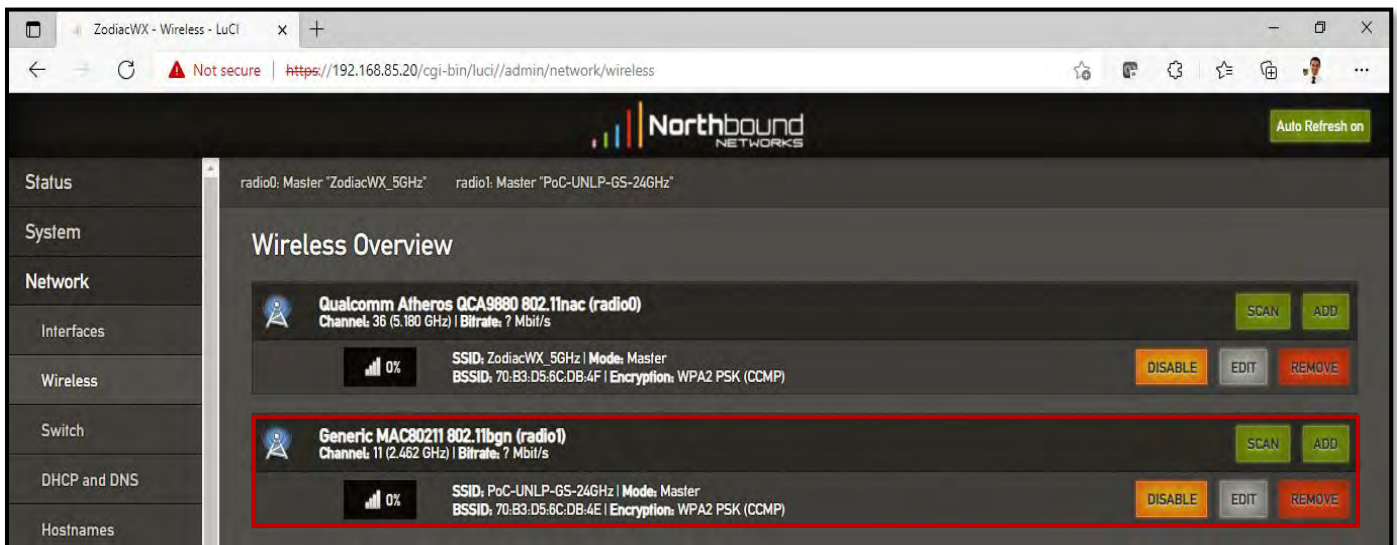
-----

Configuration
Name: Zodiac_FX
MAC Address: 70:B3:D5:6C:DE:F6
IP Address: 192.168.85.15
Netmask: 255.255.255.0
Gateway: 192.168.85.1
OpenFlow Controller: 192.168.85.100
OpenFlow Port: 6633
Openflow Status: Enabled
Failstate: Secure
Force OpenFlow version: Disabled
EtherType Filtering: Disabled
```

c)



d)



**Figura 5-7 Configuración realizada en Zodiac FX-1(a), Zodiac FX-2(b) y Zodiac WX (c y d)**  
Fuente: Autor

Se debe verificar que exista comunicación entre el Plano de Control y el Plano de Datos. El Controlador tiene la dir. IP **192.168.85.100/24**

```
gsalazar@ubuntu: ~  
gsalazar@ubuntu:~$ ping 192.168.85.10  
PING 192.168.85.10 (192.168.85.10) 56(84) bytes of data.  
64 bytes from 192.168.85.10: icmp_seq=1 ttl=255 time=0.655 ms  
64 bytes from 192.168.85.10: icmp_seq=2 ttl=255 time=0.851 ms  
64 bytes from 192.168.85.10: icmp_seq=3 ttl=255 time=0.760 ms  
64 bytes from 192.168.85.10: icmp_seq=4 ttl=255 time=0.925 ms  
^C  
--- 192.168.85.10 ping statistics ---  
4 packets transmitted, 4 received, 0% packet loss, time 3030ms  
rtt min/avg/max/mdev = 0.655/0.797/0.925/0.101 ms  
gsalazar@ubuntu:~$ ping 192.168.85.15  
PING 192.168.85.15 (192.168.85.15) 56(84) bytes of data.  
64 bytes from 192.168.85.15: icmp_seq=1 ttl=255 time=0.689 ms  
64 bytes from 192.168.85.15: icmp_seq=2 ttl=255 time=0.670 ms  
64 bytes from 192.168.85.15: icmp_seq=3 ttl=255 time=0.666 ms  
64 bytes from 192.168.85.15: icmp_seq=4 ttl=255 time=0.682 ms  
^C  
--- 192.168.85.15 ping statistics ---  
4 packets transmitted, 4 received, 0% packet loss, time 3051ms  
rtt min/avg/max/mdev = 0.666/0.676/0.689/0.009 ms  
gsalazar@ubuntu:~$ ping 192.168.85.20  
PING 192.168.85.20 (192.168.85.20) 56(84) bytes of data.  
64 bytes from 192.168.85.20: icmp_seq=1 ttl=64 time=1.36 ms  
64 bytes from 192.168.85.20: icmp_seq=2 ttl=64 time=0.845 ms  
64 bytes from 192.168.85.20: icmp_seq=3 ttl=64 time=0.797 ms  
64 bytes from 192.168.85.20: icmp_seq=4 ttl=64 time=0.770 ms  
^C  
--- 192.168.85.20 ping statistics ---  
4 packets transmitted, 4 received, 0% packet loss, time 3054ms  
rtt min/avg/max/mdev = 0.770/0.942/1.359/0.241 ms  
gsalazar@ubuntu:~$
```

**Figura 5-8 Conectividad entre Controlador RYU con Zodiac FX-1, Zodiac FX-2 y Zodiac WX**  
Fuente: Autor

El Controlador RYU está funcional y con *FlowManager* activo para el control de flujos de los *hosts* finales.

```

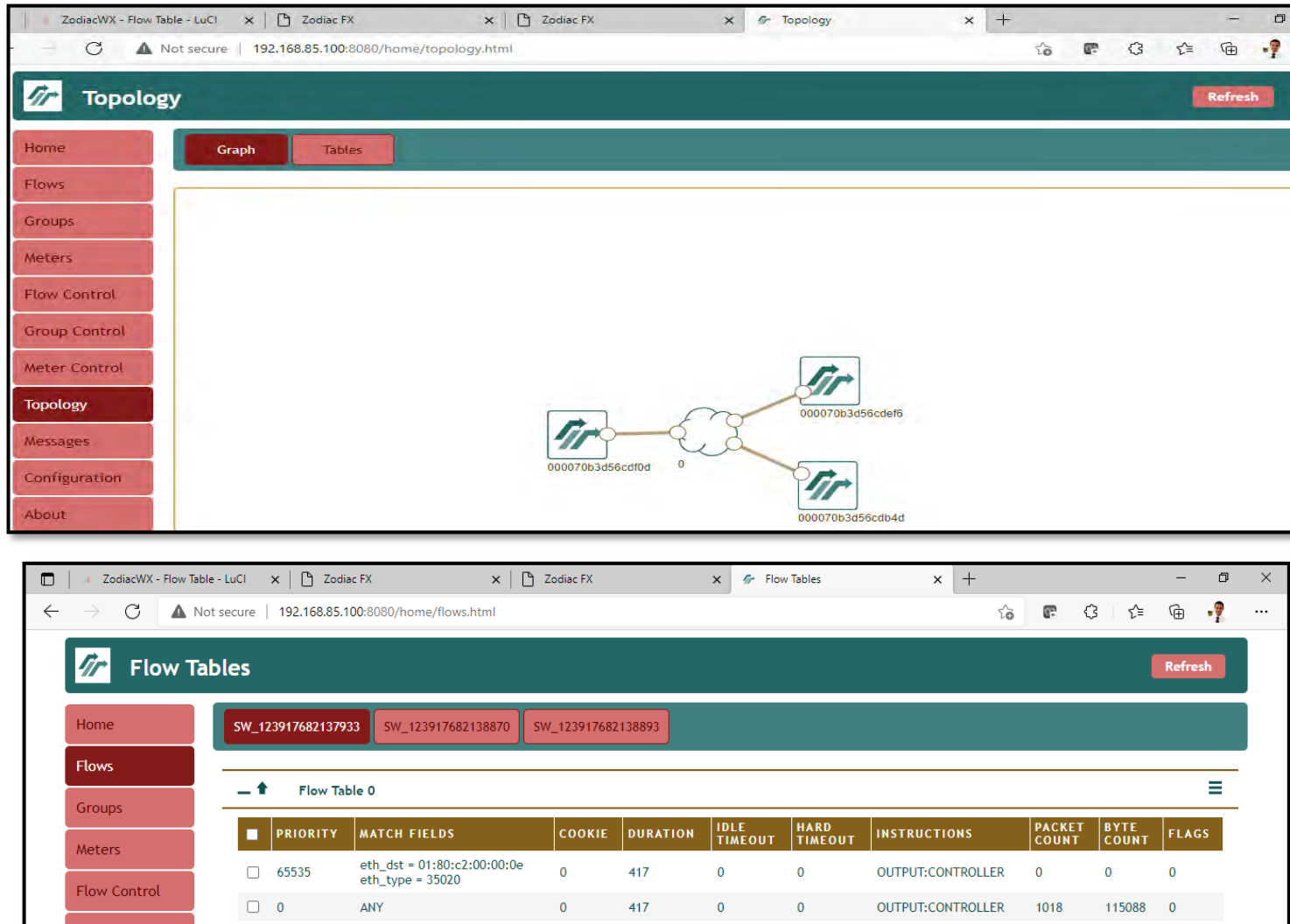
gsalazar@ubuntu: ~
gsalazar@ubuntu:~$ sudo ryu-manager --ofp-tcp-listen-port 6633 --observe-links --app-lists ~/ryu/flowmanager/flowmanager.py
ryu.app.simple_switch_13
[sudo] password for gsalazar:
loading app /home/gsalazar/ryu/flowmanager/flowmanager.py
You are using Python v3.8.10.final.0
loading app ryu.app.simple_switch_13
loading app ryu.topology.switches
loading app ryu.controller.ofp_handler
creating context wsgi
instantiating app None of DPSet
creating context dpset
instantiating app /home/gsalazar/ryu/flowmanager/flowmanager.py of FlowManager
instantiating app ryu.app.simple_switch_13 of SimpleSwitch13
instantiating app ryu.topology.switches of Switches
instantiating app ryu.controller.ofp_handler of OFPHandler
(2695) wsgi starting up on http://0.0.0.0:8080
(2695) accepted ('192.168.85.253', 58769)
192.168.85.253 - - [27/Jul/2021 21:12:42] "GET /home. HTTP/1.1" 404 302 0.003290
(2695) accepted ('192.168.85.253', 54293)
192.168.85.253 - - [27/Jul/2021 21:12:42] "GET /favicon.ico HTTP/1.1" 404 302 0.000662
192.168.85.253 - - [27/Jul/2021 21:12:48] "GET /home/ HTTP/1.1" 200 1162 0.001627
192.168.85.253 - - [27/Jul/2021 21:12:48] "GET /home/css/style.css?v2 HTTP/1.1" 200 4550 0.001997
192.168.85.253 - - [27/Jul/2021 21:12:48] "GET /home/css/cards.css?v2 HTTP/1.1" 200 2652 0.003223
(2695) accepted ('192.168.85.253', 50898)
(2695) accepted ('192.168.85.253', 57019)
(2695) accepted ('192.168.85.253', 61830)
(2695) accepted ('192.168.85.253', 58987)
192.168.85.253 - - [27/Jul/2021 21:12:48] "GET /home/css/table.css?v2 HTTP/1.1" 200 2582 0.001728
192.168.85.253 - - [27/Jul/2021 21:12:48] "GET /home/css/menu.css?v2 HTTP/1.1" 200 1688 0.001790
192.168.85.253 - - [27/Jul/2021 21:12:48] "GET /home/js/main.js?v2 HTTP/1.1" 200 2915 0.001962
192.168.85.253 - - [27/Jul/2021 21:12:48] "GET /home/js/jquery-3.3.1.min.js HTTP/1.1" 200 87068 0.002401
192.168.85.253 - - [27/Jul/2021 21:12:48] "GET /home/css/colors.css HTTP/1.1" 200 1289 0.003301
  
```

The screenshot shows the Flow Manager web interface in a browser. The address bar shows the URL `192.168.85.100:8080/home/`. The interface includes a sidebar with navigation options like Home, Flows, Groups, Meters, Flow Control, Group Control, Meter Control, Topology, Messages, Configuration, and About. The main content area displays details for a switch, including its ID(s), description, and port statistics.

SUPPORTED	STATE	PORT NO	PEER	NAME	MAX SPEED	HW ADDR	CURR SPEED	TX PACKETS	TX ERRORS	TX DROPPED	TX BYTES	RX PACKETS	RX OVER_ERR	RX FRAME_ER
0	1	1	0	eth0	0	32:3e:27:e6:31:e6	0	0	0	0	0	0	0	0
0	1	2	0	eth1	0	04:4f:8e:9b:de:4b	0	0	0	0	0	0	0	0
0	1	3	0	eth2	0	b1:0a:67:53:f5:2b	0	0	0	0	0	0	0	0

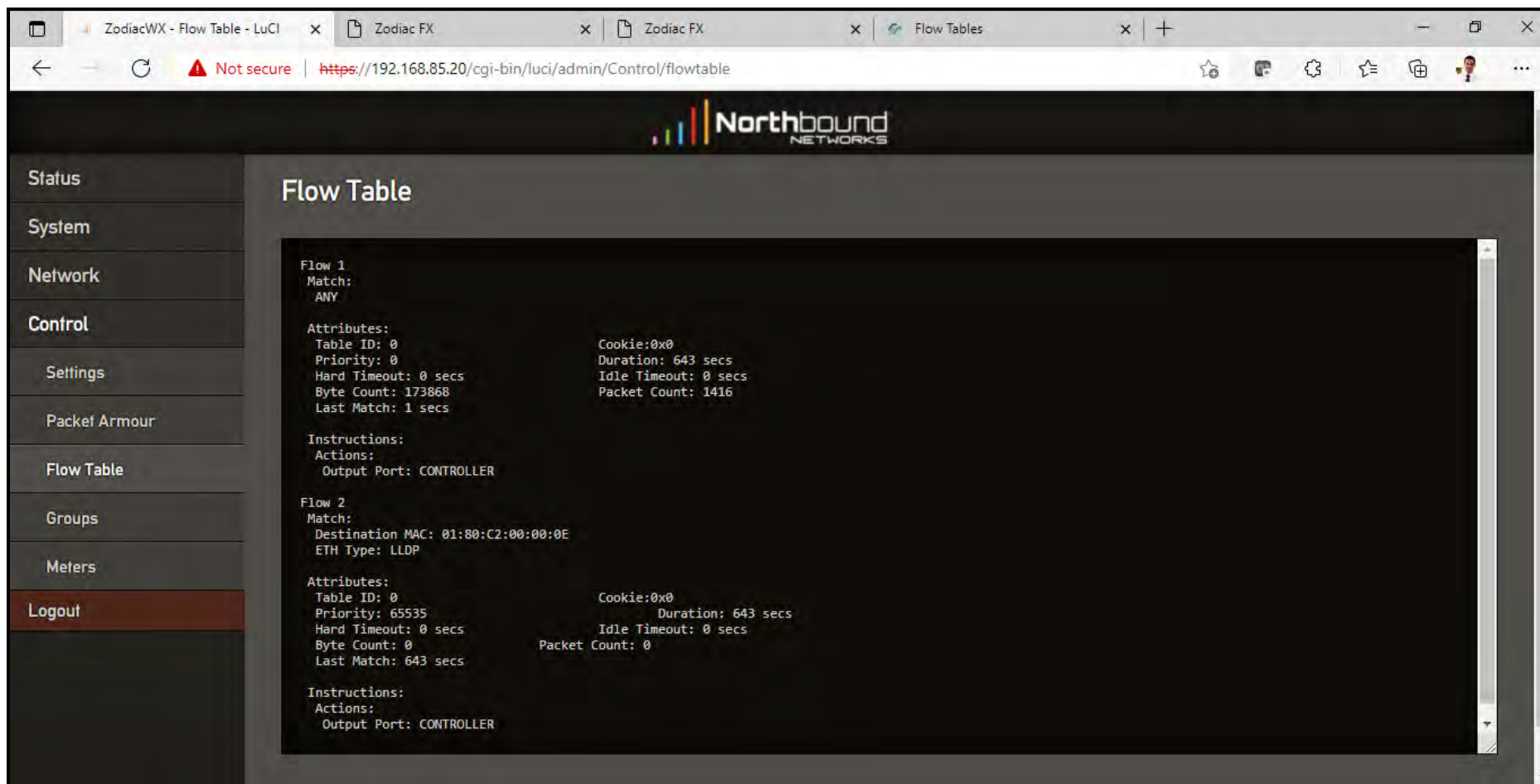
**Figura 5-9 Activación de Controlador RYU y FlowManager para gestionar Zodiac FX-1, Zodiac FX-2 y Zodiac WX**  
Fuente: Autor

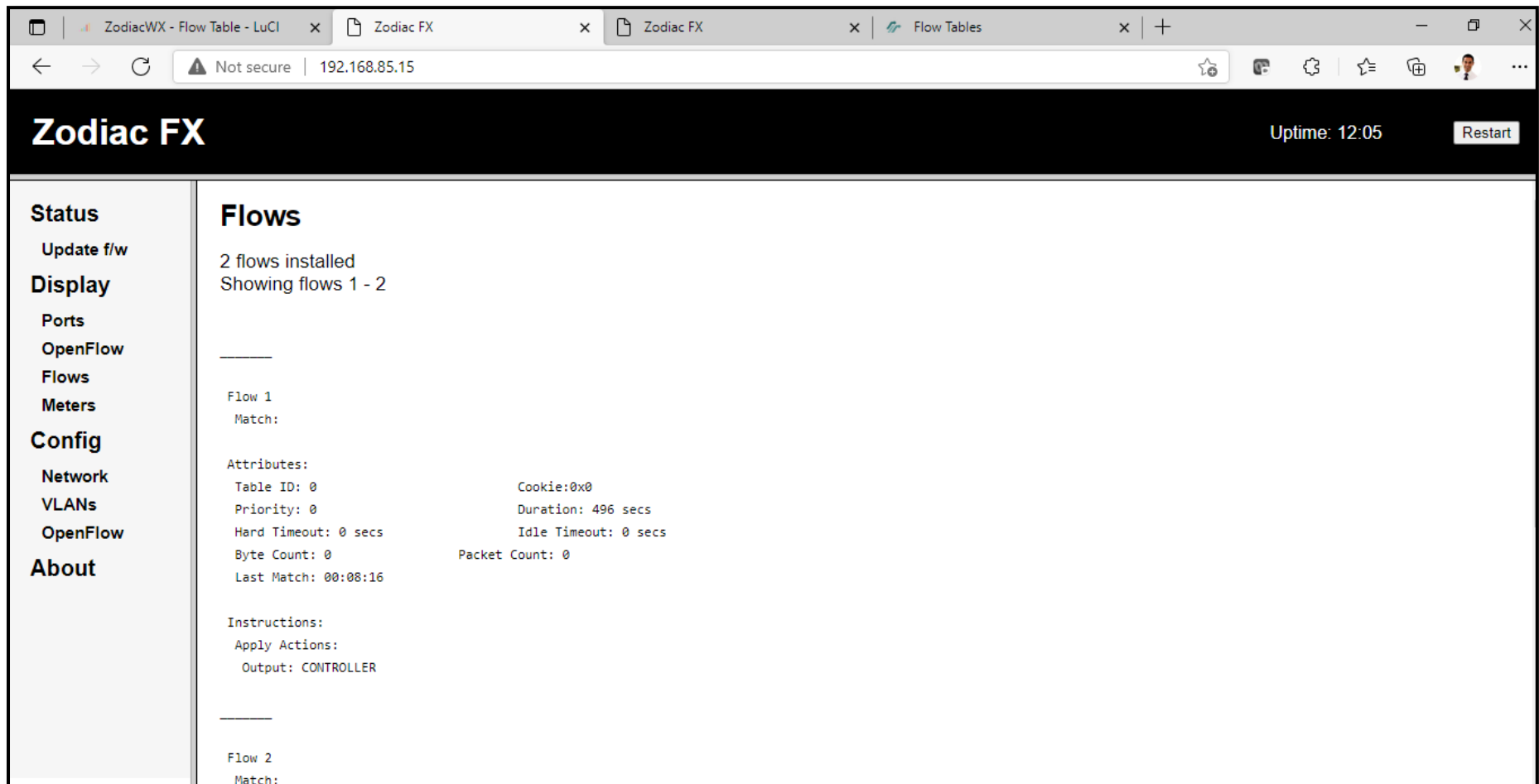
Al observar la topología y flujos en *FlowManager*, se determina el éxito de la implementación de la red física SDN



**Figura 5-10** Topología y Flujos generados en Controlador RYU-FlowManager para Zodiac FX-1, Zodiac FX-2 y Zodiac WX  
Fuente: Autor

Los flujos de la última imagen de la *Fig. 5-10* fueron cargados correctamente en los equipos del plano de datos tal como se aprecia en la siguiente imagen:





**Figura 5-11** Flujos cargados desde el Controlador RYU-FlowManager a Zodiac FX-1, Zodiac FX-2 y Zodiac WX

Fuente: Autor

Analizando los dos flujos instalados al momento de inicializar el Controlador *RYU*, se determina lo siguiente:

- Flujo 1: Envío de cualquier mensaje recibido por el dispositivo (sea este *Zodiac FX* o *Zodia WX*) al Controlador:

```
Flow 1
Match:
Attributes:
Table ID: 0
Priority: 0
Cookie: 0x0
Duration: 496 secs
Hard Timeout: 0 secs
Idle Timeout: 0 secs
Byte Count: 0
Packet Count: 0
Last Match: 00:08:16
Instructions:
Apply Actions:
Output: CONTROLLER
```

**Figura 5-12 Análisis Flujo 1 cargado a Plano de Datos - RYU**  
Fuente: Autor

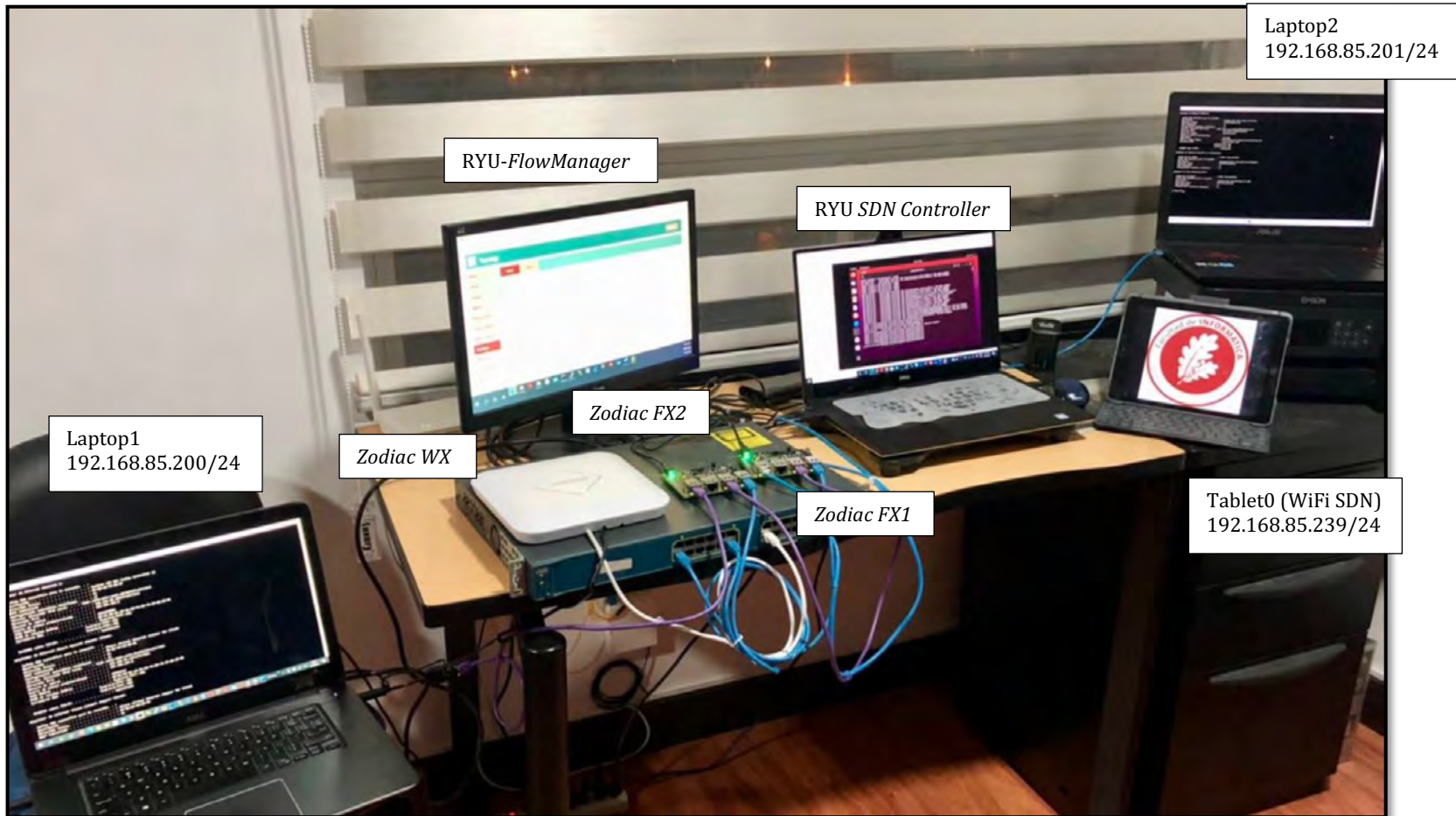
- Flujo 2: Protocolo LLDP (*Logical-Link Discovery Protocol*) para el descubrimiento de dispositivos conectados directamente. Se informa de este protocolo al controlador para funciones de inventario, descubrimiento de equipos, generación de topología y telemetría.

```
Flow 2
Match:
Destination MAC: 01:80:C2:00:00:0E
ETH Type: LLDP
Attributes:
Table ID: 0
Priority: 65535
Cookie: 0x0
Duration: 496 secs
Hard Timeout: 0 secs
Idle Timeout: 0 secs
Byte Count: 0
Packet Count: 0
Last Match: 00:08:16
Instructions:
Apply Actions:
Output: CONTROLLER
```

**Figura 5-13 Análisis Flujo 2 cargado a Plano de Datos - RYU**  
Fuente: Autor

### 5.3 Resultados de Conectividad en Infraestructura SDN Física

Con la red totalmente funcional, se conectan dispositivos finales al Plano de Datos y se prueba su conectividad:



**Figura 5-14 Red física SDN – Prueba de Conectividad**

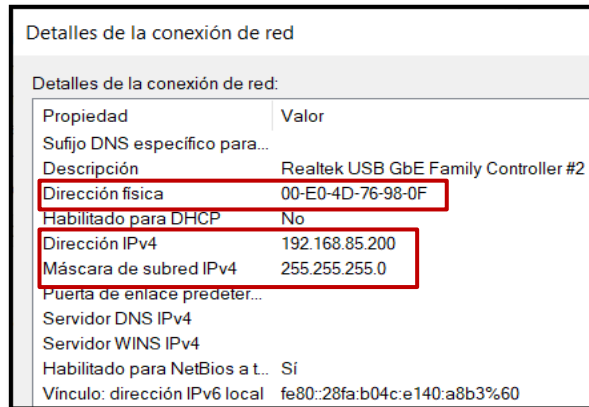
*Fuente: Autor*

Para que la conectividad pueda darse en dentro del Plano de Datos, se requiere configurar nuevos flujos en el Controlador RYU y permitir dicha comunicación bidireccional.

La primera prueba será entre las dos Laptops cableadas.

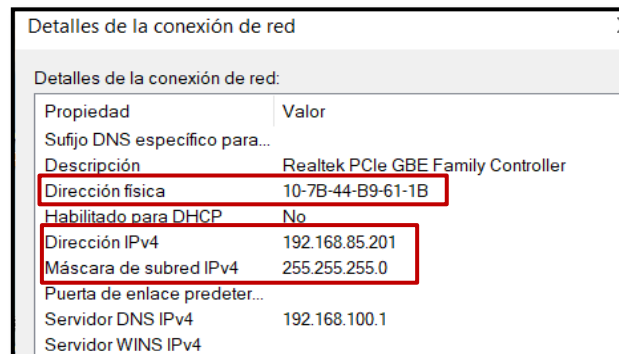
Según la Fig. 5-5 y Fig. 5-14, las dir. IP de los equipos son:

- Laptop 1: 192.168.85.200/24



**Figura 5-15 Dir. IP Laptop1 - Red física SDN – Prueba de Conectividad**  
Fuente: Autor

- Laptop 2: 192.168.85.201/24



**Figura 5-16 Dir. IP Laptop2 - Red física SDN – Prueba de Conectividad**  
Fuente: Autor

Al intentar realizar un *ping* entre los dos equipos, la conectividad no es posible.

```
C:\Users\PC>ping 192.168.85.200

Haciendo ping a 192.168.85.200 con 32 bytes de datos:
Respuesta desde 192.168.85.201: Host de destino inaccesible.

Estadísticas de ping para 192.168.85.200:
    Paquetes: enviados = 4, recibidos = 4, perdidos = 0
            (0% perdidos),
```

**Figura 5-17 Ping fallido debido a falta de flujos - Red física SDN – Prueba de Conectividad**  
Fuente: Autor

Como se observa en la figura anterior, no se pueden conectar los *hosts* ya que no existen flujos establecidos en el Controlador, los cuales se envían (*push*) a los *switches* que lo permitan.

Para instanciar dichos flujos, se ingresa a *FlowManager* del controlador *RYU*, específicamente a la sección *Flow Control* del menú lateral.

Los flujos para establecer una comunicación bidireccional son los siguientes:

- *Switch Zodiac FX-2* (Dir. IP: 192.168.85.15 – *SwitchID*: 123917682138870)

Flujo para el tráfico de Ida hacia el destino (desde Laptop1 – conectado al puerto 1 hacia Laptop2 conectado a través de *Switch Zodiac FX-1* en el puerto 3)

The screenshot shows the 'Flow Form' interface in a browser. The left sidebar has 'Flow Control' selected. The main form has the following fields:

- Target:** Switch ID: SW\_123917682138870, Table ID: 0
- Flow Operation:** Add (selected), Modify, Modify Strict, Delete, Delete Strict
- Match Fields:** Match Any (unchecked), Match Field: in\_port, Value: 1, Priority: 1
- Instructions:** Goto Meter: meter-id or -1 for All, Apply Actions: OUTPUT, 3, Write Actions: (empty), Write Metadata: integer or string, Metadata Mask: integer or string, Goto Table: table\_id
- Flags:** Send flow-removed msg, Check overlapping, Reset counts, Do not count packets

Flujo para el tráfico de Regreso hacia el origen (desde Laptop2 conectado a través de *Switch Zodiac FX-1* en el puerto 3 hacia Laptop1 – conectado al puerto 1)

The screenshot shows the 'Flow Form' interface in a browser. The left sidebar has 'Flow Control' selected. The main form has the following fields:

- Target:** Switch ID: SW\_123917682138870, Table ID: 0
- Flow Operation:** Add (selected), Modify, Modify Strict, Delete, Delete Strict
- Match Fields:** Match Any (unchecked), Match Field: in\_port, Value: 3, Priority: 1
- Instructions:** Goto Meter: meter-id or -1 for All, Apply Actions: OUTPUT, 1, Write Actions: (empty), Write Metadata: integer or string, Metadata Mask: integer or string, Goto Table: table\_id
- Flags:** Send flow-removed msg, Check overlapping, Reset counts, Do not count packets

**Figura 5-18 Flujos para Switch Zodiac FX-2 - Red física SDN - Prueba de Conectividad**  
Fuente: Autor

➤ *Switch Zodiac FX-1* (Dir. IP: 192.168.85.10 – *SwitchID*: 123917682137933)

Flujo para el tráfico de Ida hacia el origen (desde Laptop2 – conectado al puerto 1 hacia Laptop1 conectado a través de *Switch Zodiac FX-2* en el puerto 3)

The screenshot shows the 'Flow Form' interface for Switch Zodiac FX-1. The 'Target' section is configured with 'Switch ID' as SW\_123917682137933 and 'Table ID' as 0. The 'Flow Operation' is set to 'Add'. The 'Match Fields' section has 'Match Any' checked, and a single match field is defined with 'Match Field' as 'in\_port' and 'Value' as 3. The 'Priority' is set to 1. The 'Apply Actions' section has 'OUTPUT' set to 1. The 'Instructions' section has 'Goto Meter' set to 'meter-id or -1 for All'. The 'Write Actions' section is empty. The 'Write Metadata' section has 'Write Metadata' set to 'integer or string', 'Metadata Mask' set to 'integer or string', and 'Goto Table' set to 'table\_id'. The 'Flags' section has 'Send flow-removed msg', 'Check overlapping', 'Reset counts', and 'Do not count packets' all unchecked.

Flujo para el tráfico de Regreso hacia el destino (desde Laptop1 conectado a través de *Switch Zodiac FX-2* en el puerto 3 hacia Laptop2 – conectado al puerto 1)

The screenshot shows the 'Flow Form' interface for Switch Zodiac FX-1. The 'Target' section is configured with 'Switch ID' as SW\_123917682137933 and 'Table ID' as 0. The 'Flow Operation' is set to 'Add'. The 'Match Fields' section has 'Match Any' checked, and a single match field is defined with 'Match Field' as 'in\_port' and 'Value' as 1. The 'Priority' is set to 1. The 'Apply Actions' section has 'OUTPUT' set to 3. The 'Instructions' section has 'Goto Meter' set to 'meter-id or -1 for All'. The 'Write Actions' section is empty. The 'Write Metadata' section has 'Write Metadata' set to 'integer or string', 'Metadata Mask' set to 'integer or string', and 'Goto Table' set to 'table\_id'. The 'Flags' section has 'Send flow-removed msg', 'Check overlapping', 'Reset counts', and 'Do not count packets' all unchecked.

**Figura 5-19** *Flujos para Switch Zodiac FX-1 - Red física SDN – Prueba de Conectividad*  
Fuente: Autor

Con la lógica diseñada y configurada en flujos SDN, es suficiente para lograr conectividad total.

El resumen de los flujos (*Flow Summary*) se observa a continuación:

	PRIORITY	MATCH FIELDS	COOKIE	DURATION	IDLE TIMEOUT	HARD TIMEOUT	INSTRUCTIONS	PACKET COUNT	BYTE COUNT	FLAGS
<input type="checkbox"/>	65535	eth_dst = 01:80:c2:00:00:0e eth_type = 35020	0	990	0	0	OUTPUT:CONTROLLER	277	16620	0
<input type="checkbox"/>	1	in_port = 3 eth_dst = 00:e0:4d:76:98:0f eth_src = 10:7b:44:b9:61:1b	0	932	0	0	OUTPUT:1	6	416	0
<input type="checkbox"/>	1	in_port = 1 eth_dst = 10:7b:44:b9:61:1b eth_src = 00:e0:4d:76:98:0f	0	932	0	0	OUTPUT:3	9	638	0
<input type="checkbox"/>	0	ANY	0	990	0	0	OUTPUT:CONTROLLER	1043	79808	0

**Figura 5-20 Resumen de Flujos para Switch Zodiac FX-2 - Red física SDN – Prueba de Conectividad**  
Fuente: Autor

	PRIORITY	MATCH FIELDS	COOKIE	DURATION	IDLE TIMEOUT	HARD TIMEOUT	INSTRUCTIONS	PACKET COUNT	BYTE COUNT	FLAGS
<input type="checkbox"/>	65535	eth_dst = 01:80:c2:00:00:0e eth_type = 35020	0	991	0	0	OUTPUT:CONTROLLER	277	16620	0
<input type="checkbox"/>	1	in_port = 1 eth_dst = 00:e0:4d:76:98:0f eth_src = 10:7b:44:b9:61:1b	0	932	0	0	OUTPUT:3	6	416	0
<input type="checkbox"/>	1	in_port = 3 eth_dst = 10:7b:44:b9:61:1b eth_src = 00:e0:4d:76:98:0f	0	932	0	0	OUTPUT:1	9	638	0
<input type="checkbox"/>	0	ANY	0	991	0	0	OUTPUT:CONTROLLER	1077	100058	0

**Figura 5-21 Resumen de Flujos para Switch Zodiac FX-1 - Red física SDN – Prueba de Conectividad**  
Fuente: Autor

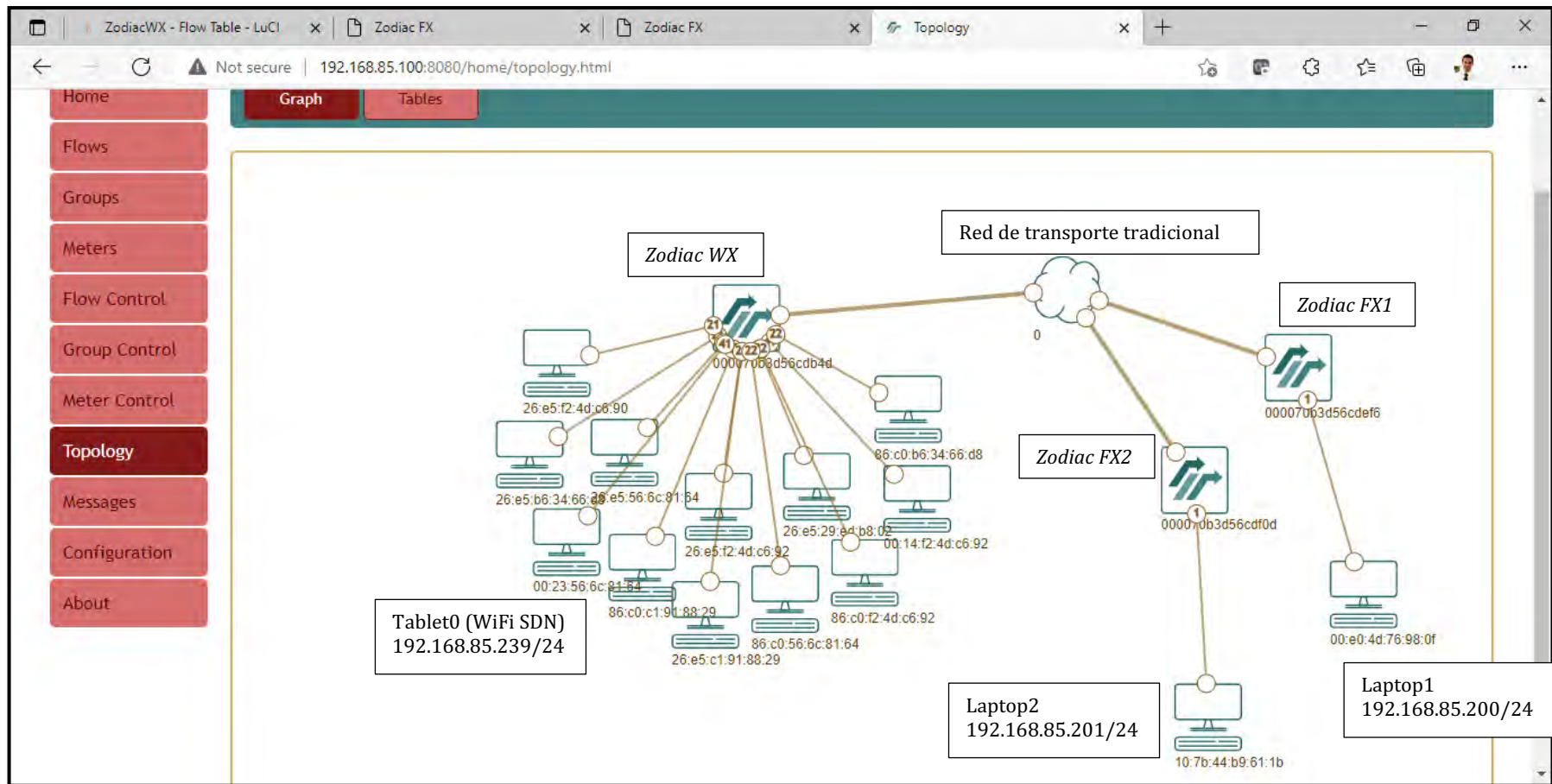
En la Fig. 5-21 se observa el aprendizaje de direccionamiento MAC confirmando con las Fig. 5-15 y Fig. 5-16. El ping es exitoso.

```
C:\Users\GustavoDavid>ping 192.168.85.201

Haciendo ping a 192.168.85.201 con 32 bytes de datos:
Respuesta desde 192.168.85.201: bytes=32 tiempo=7ms TTL=128
Respuesta desde 192.168.85.201: bytes=32 tiempo=8ms TTL=128
Respuesta desde 192.168.85.201: bytes=32 tiempo=8ms TTL=128
Respuesta desde 192.168.85.201: bytes=32 tiempo=7ms TTL=128

Estadísticas de ping para 192.168.85.201:
    Paquetes: enviados = 4, recibidos = 4, perdidos = 0
              (0% perdidos),
    Tiempos aproximados de ida y vuelta en milisegundos:
        Mínimo = 7ms, Máximo = 8ms, Media = 7ms
```

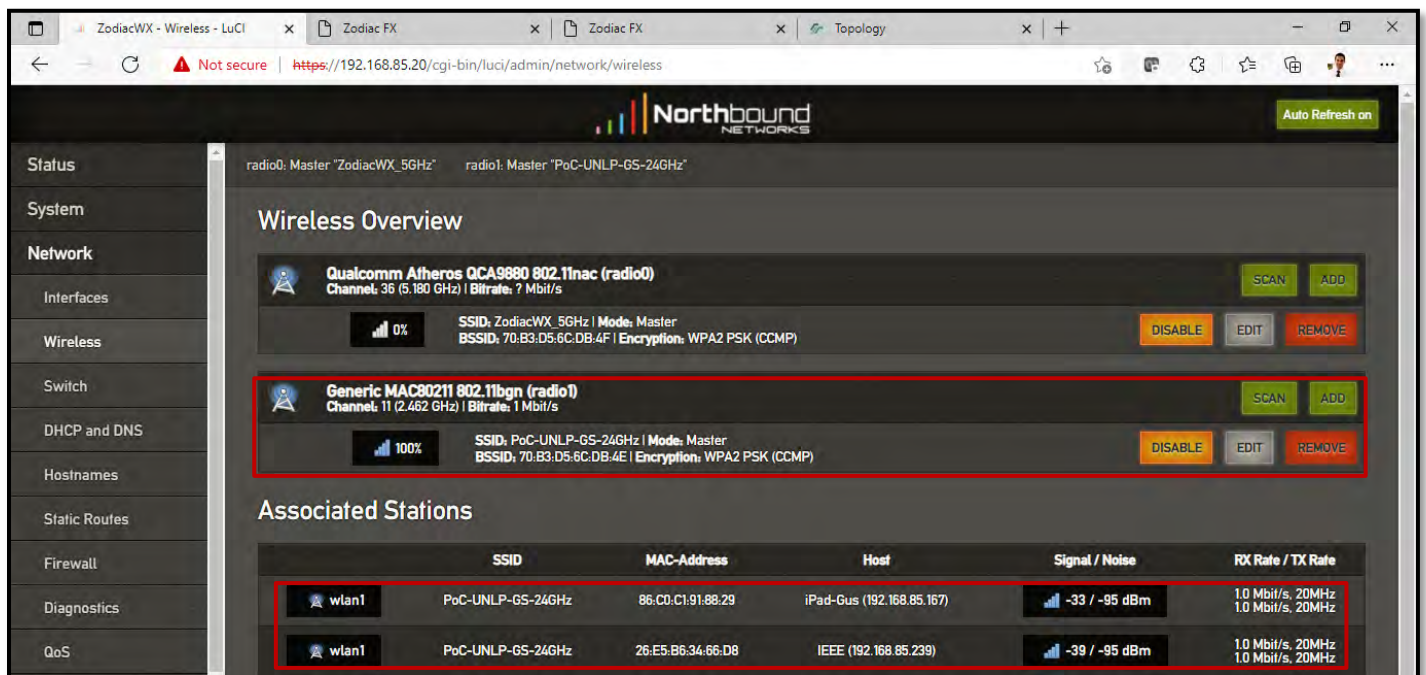
**Figura 5-22 Ping exitoso entre hosts - Red física SDN – Prueba de Conectividad**  
Fuente: Autor



**Figura 5-23 Topología visualizada en RYU FlowManager - Red física SDN - Prueba de Conectividad**  
 Fuente: Autor

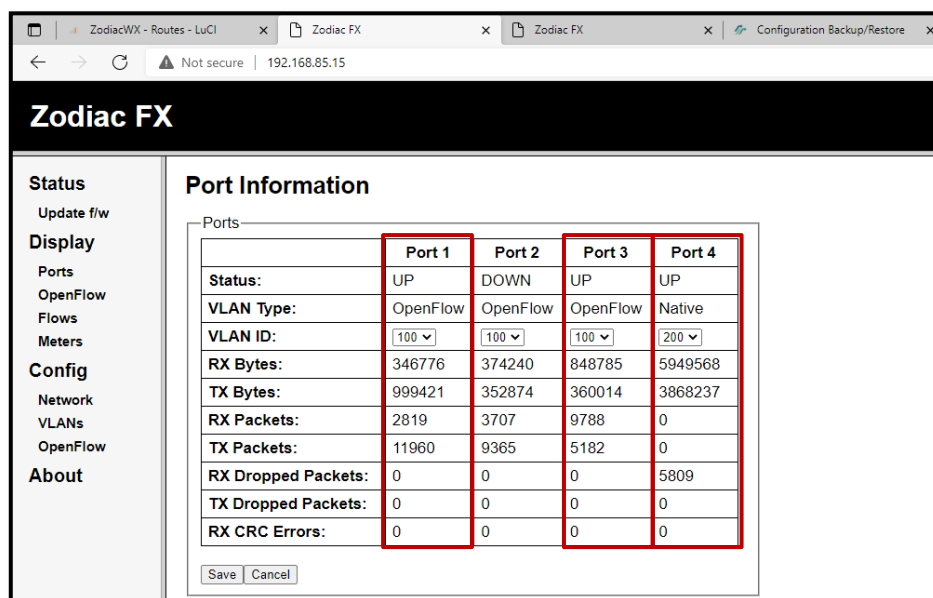
En cuanto a la red *Wireless*, el equipo *Zodiac WX* tiene la capacidad de crear flujos de forma dinámica para permitir conectividad rápida en un ambiente inalámbrico. Los *hosts* inalámbricos recibirán dirección IP por DHCP también configurado en *Zodiac WX*.

En la *Fig. 5-23* se observa varios equipos inalámbricos que se conectaron en el PoC; la *Fig. 5-24* muestra la asociación de dos dispositivos, un celular y la Tablet0.



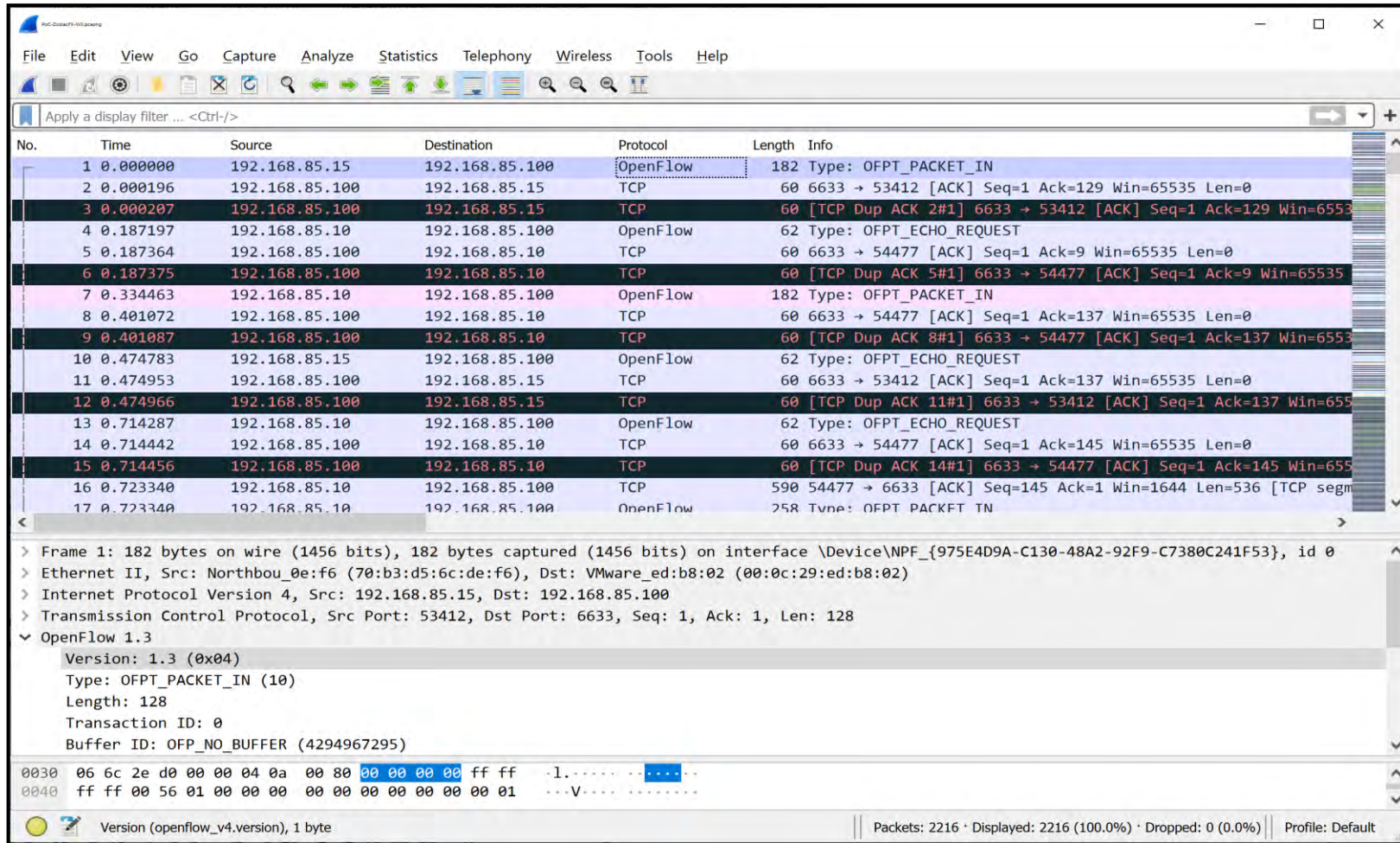
**Figura 5-24 Asociación exitosa de equipos Inalámbricos - Red física SDN – Prueba de Conectividad**  
Fuente: Autor

Para finalizar este análisis de resultados, se muestra cómo se registra en los equipos del Plano de Datos la cantidad de paquetes recibidos y transmitidos, además del reporte del estado de las interfaces y VLANs.



**Figura 5-25 Estado de Puerto y Paquetes transmitidos - Red física SDN – Prueba de Conectividad**  
Fuente: Autor

Capturando los mensajes enviados entre el Plano de Datos y el Controlador, se observa el intercambio de información *OpenFlow*, además de negociación TCP (puerto 6633). Los pings, así como los mensajes LLDP se encapsulan dentro de los mensajes *OF\_PacketIn*.



**Figura 5-26 Captura de mensajes OpenFlow - Red física SDN – Prueba de Conectividad**  
Fuente: Autor

Los flujos especificados anteriormente se muestran en el Plano de Datos dentro de *Table 0*. La segmentación en redes SDN se puede dar gracias a flujos, tablas y métricas.

```
Zodiac_FX(openflow)# show tables
-----
Table: 0
Flows: 6
Lookups: 11400
Matches: 11400
Bytes: 2063266
-----
Zodiac_FX(openflow)#
Zodiac_FX(openflow)# █
```

**Figura 5-27 Tablas y Flujos - Red física SDN - Prueba de Conectividad**  
*Fuente: Autor*

Al finalizar este PoC, se comprobó la factibilidad de implementación de una red SDN en un entorno físico real, empleando protocolos estandarizados y realizando un análisis de una comunicación entre *hosts* tanto en entornos inalámbricos (IEEE 802.11n/802.11ac) como cableados (IEEE 802.3/802.1q).

## Conclusiones de la Investigación

**A**l término de la presente tesis doctoral y en base a la experimentación realizada mediante emuladores y equipo físico, abordando tanto la parte conceptual, como empírica relacionada a la evolución de las redes de datos a través de SDN, compaginando dichos avances tecnológicos con la Transformación Digital empresarial requerida en época de pandemia COVID-19 momento en que la información se convirtió en el bien intangible más importante del siglo XXI, fue posible llegar a conclusiones relevantes que se plantean a continuación.

Durante los Capítulos 1 y 2, se estableció el estado del arte de las redes de datos, así como los requerimientos empresariales y de usuarios finales, visualizando además las falencias que como región tienen los países latinoamericanos en cuanto a conectividad a Internet se refiere, problemas acrecentados por la pandemia que impulsaron una digitalización desordenada e incompleta. Es justamente por esos motivos que contar con una red segura, inteligente, flexible, ágil y programática se convierte en un imperativo para sustentar los negocios y las actividades humanas relacionadas con tecnologías de la información de forma efectiva; sin embargo, implica mayores retos para el talento humano en el área de TI demostrado a lo largo de esta tesis, por ejemplo, necesidad de fortalecer habilidades de programación tanto en formato de datos (JSON, YAML, XML), REST-APIs, modelos tipo YANG y protocolos de administración de nodos de red modernos como NETCONF/RESTCONF, *OpenConfig*, todos siguiendo un ciclo de vida de desarrollo tipo SDLC (*Systems/Software Development Life Cycle*) basados en colaboración, integración continua, control de versiones, criterios de seguridad, agilidad y alta disponibilidad para controlar-gestionar la infraestructura subyacente, convirtiéndola en IaC (*Infrastructure-as-Code*) con código idempotente, limpio (*clean-code*), modular, reusable y sencillo.

Luego de un proceso de investigación y posterior realización de pruebas de concepto bajo el principio de Desarrollo basado en Pruebas (*Test-Driven Development*), se identificaron los elementos clave para adaptar las redes tradicionales a la Era de la Programabilidad mediante un modelo de innovación propuesto:

- Redes seguras de extremo a extremo bajo el paradigma *Underlay-Overlay*, utilizando mecanismos de cifrado y autenticación robustos, con capacidad de conexión *multicloud* y entrega de servicios virtualizados. Este concepto crea la red híbrida IP-SDN, en el que las redes tradicionales y SDN coexistirán de forma armónica e interoperable.
- Capacidad de orquestación, analítica y monitoreo (*insights*) a través de APIs en infraestructura abierta y *OpenNetworking* que reduzcan costos en CAPEX, OPEX y fomenten un pronto retorno de inversión (efectividad en las redes de datos).
- Uso de *frameworks* multiplataforma que faciliten la automatización de los procesos de redes, configuración y resolución de problemas (Programabilidad basada en Modelos), dando control de versiones de código y agilidad de implementación. El uso de patrones de diseño claros y estandarizados solucionan problemas comunes siempre presentes en el desarrollo del *software* controlador de la red.
- Cambio cultural, empresarial, laboral, económico y tecnológico enfocado al uso de metodologías ágiles, *NetDevOps* y Transformación Digital coherente con la época de pandemia COVID-19.

En los Capítulos 2 y 3, se sentaron las bases teóricas de SDN/*OpenSDN* según el modelo anteriormente planteado y bajo la premisa de *Separation of Concerns* (SoC) según el modelo MVC (*Model-View-Controller*), estudiando la estandarización, encapsulación y mecanismos de comunicación de *OpenFlow*, además comparándolo con tecnologías como NFV, concluyendo que, a pesar de tener diferentes alcances y casos de uso, funcionan bien integrándolos en un ecosistema SDN de tipo CI/CD (Integración Continua / Implementación Continua).

Se analizó de igual manera a los principales controladores SDN al momento de la escritura de esta tesis con el fin de determinar a los mejores, llegando a la conclusión que ODL, RYU y ONOS tienen el mejor desempeño según los KPIs planteados (*throughput*, latencia, *jitter*, modularidad, soporte y capacidad de monitoreo) y pruebas de estrés (tasa de ráfaga). Cabe recalcar que los controladores desarrollados en C/Java como Mul, LibFluid y Maestro son más reactivos en entornos de estrés, pero menos adaptables a mejoras futuras, mientras los más modernos como *OpenDayLight*, su continua evolución y cambios en paqueterías, han complicado su integración con infraestructuras tradicionales.

Al finalizar el Capítulo 3, se estudió las distintas formas que puede tomar SDN en una infraestructura real corporativa: *SD-Access*, *SD-DC* y *SD-WAN*, manteniendo el precepto de desacoplamiento del Plano de Control del de Datos con el fin de mejorar la respuesta de redes de datos masivos y larga distancia a través del uso de protocolos de transporte/enrutamiento de próxima generación como LISP, VXLAN, *Segment-Routing* y OMP. Su factibilidad de implementación e interoperabilidad con redes tradicionales fue comprobada con éxito en los PoCs establecidos en el Capítulo 4, donde a través de la realización de pruebas de concepto se reafirmó la efectividad del paradigma *Underlay-Overlay* y de la programabilidad extrema incluso en el *hardware* (plano de datos) con equipos abiertos tipo cajas blancas (*White boxes*) que pueden funcionar como distintos equipos bajo demanda en un concepto denominado NG-SDN.

La evolución hacia el ecosistema SDN será paulatino, aún nos encontramos en un momento de adaptación, es así que, el éxito de migrar a un entorno SD-WAN se medirá en su nivel de integración con redes tradicionales. OMP en SD-WAN Viptela es capaz de ser el puente entre las redes LAN y el *fabric* de SD-WAN, lo cual fue comprobado en los PoCs respectivos.

Finalmente, la factibilidad de implementación de *OpenSDN* (*OpenFlow*) en entornos reales mediante controlador RYU-*FlowManager* y Aruba VAN SDN, se corroboró con resultados prometedores en el Capítulo 5, tanto en desempeño como facilidad de uso, lo que sin duda, deja un precedente, SDN no sólo sirve en entornos masivos de gran escala, también en entornos empresariales PyME-SMB donde los recursos de conectividad y procesamiento de datos son escasos, pero se requiere las mismas características básicas de una red bien diseñada empresarial: Escalabilidad, Seguridad, Calidad de Servicio y Resiliencia, sumando a ellas las ventajas de las Redes Definidas por *Software*: mejor desempeño, programabilidad y posibilidad de automatización para disminuir los tiempos de configuración y solución de problemas, además de reducir considerablemente el gasto operativo y de gestión de la red.

## Estudios Futuros

Las soluciones *multicloud* son el presente y futuro del *networking*. Ese concepto se planteó un par de años atrás mediante implementaciones con *clouds* híbridas, donde los procesos y servicios migran a la nube no solo de un proveedor en particular, sino con una mezcla de ellos (AWS, Microsoft Azure, Google Cloud Platform, iCloud, etc.), soluciones que provocaron la aparición de *Shadow IT*, término que hace referencia a la consumerización de aplicaciones, servicios y *hardware/software* (infraestructura) por departamentos que no necesariamente son los de Tecnologías de la Información empresarial gracias a la rápida adopción de la Transformación Digital en todo el contexto corporativo.

La consecuencia de ello se plasma en problemas de seguridad, malas inversiones e ineficiencias en términos de colaboración. Las organizaciones pierden visibilidad total y capacidad de control. SDN, es la tecnología ideal para cubrir esas deficiencias desde el lado de la infraestructura, por lo que es un tópico en evolución constante.

La primera propuesta de estudio futuro es el análisis e inclusión de aplicaciones basadas en Inteligencia Artificial y programabilidad intuitiva en infraestructuras SDN. Grandes empresas de telecomunicaciones están empezando este desarrollo, nombrando a *ThousandEyes*<sup>73</sup> como referente, permitiendo contar con *insights*, monitoreo y control sobre todo lo que ocurre en la red, que además apalanca la posibilidad de visibilidad desde la LAN, WAN y trabajo remoto. Otra plataforma abierta, creada en 2017 para procesos de solución de problemas se denominó *PyATS (Python Automated Test System)*<sup>74</sup>, la cual recolecta información y lleva a la telemetría de red a otro nivel, pues dentro de sus casos de uso, ha sido empleada en ambientes TAC (*Technical Assistance Center*) para resolver errores de configuración de forma rápida.

De la mano de esta solución, está otorgar un acceso seguro a la red, más aún por el IoT masivo y dispositivos inalámbricos, parte de la hiperconectividad. El siguiente punto planteado es la necesidad de mantener entornos con niveles de riesgo de ciberseguridad bajo. Una solución por estudiar es la denominada SASE<sup>75</sup>, siglas de *Secure Access Service Edge*, servicio que permite mediante funcionalidades de *Gateway* seguro (SWG), agentes de seguridad de acceso a la nube (CASB), empleo de *Zero Trust* y equipos como *Firewalls-as-a-Service*, *DNS-Layer Security* y protección anti-*malware*, lograr una integración a SD-WAN y así obtener un entorno adecuado para la conectividad empresarial. Cisco implementó esta solución con la premisa de Conectar, Controlar y Converger. Muchos fabricantes de telecomunicaciones nombran estos sistemas como *Network Security-as-a-Service*.

El punto faltante como análisis a futuro, es la famosa colocación de infraestructura (*CoLocation*). Esta característica permitirá dotar de flexibilidad y simplicidad a SD-WAN para que conecte múltiples sedes distribuidas sobre varias regiones mediante un concepto denominado *Virtual Hubs* según ubicación geográfica, nuevos PoPs (*Points-of-Presence*) para SD-WAN. Los beneficios de esta tecnología son:

---

<sup>73</sup> ThousandEyes: <https://www.thousandeyes.com/>

<sup>74</sup> Pyats: <https://xrdocs.io/programmability/tutorials/pyats-series-collecting-many-show-commands/>

<sup>75</sup> SASE: <https://www.cloudflare.com/lp/ppc/sase->

[x/?&bt=477215087405&bk=sase&bm=e&bn=g&bg=113413743980&placement=&target=&loc=9069516&dv=c&awsearchcpc=1&gclid=Cj0KQCQjw6s2IBhCnARIsAP8RfAgvCTRfeR1lyT2ifugM3Lf2sbdTd2qTZch9m7Mk\\_eGzer5VPSNh\\_WkaAmmFEALw\\_wcB&gclsrc=aw.ds](x/?&bt=477215087405&bk=sase&bm=e&bn=g&bg=113413743980&placement=&target=&loc=9069516&dv=c&awsearchcpc=1&gclid=Cj0KQCQjw6s2IBhCnARIsAP8RfAgvCTRfeR1lyT2ifugM3Lf2sbdTd2qTZch9m7Mk_eGzer5VPSNh_WkaAmmFEALw_wcB&gclsrc=aw.ds)

- Creación de políticas que mejoran el QoE (*Quality of Experience*) con seguridad granular.
- Interoperabilidad con redes tradicionales que no conocen el concepto de SD-WAN.
- Multinacionales con capacidad de gestión de acceso a Internet/Servicios en la nube con criterios de privacidad, autenticación y autorización.
- Teletrabajadores que requieren de conexión a través de VPNs inteligentes sobre enlaces de acceso a Internet de bajo costo.

Soluciones como *Cloud-onRamp* propuesto por fabricantes y *vendors* de tecnología, compagina con soluciones tipo SD-WAN, equipos virtualizados y VNFs (*Virtual Network Functions*) al crear túneles seguros hacia aplicaciones SaaS, servicios *multicloud* y DCs.

Los estudios futuros permiten entender las soluciones tecnológicas del presente y de los próximos años, pero para llegar a ese punto, es necesario clarificar los requerimientos solicitados en el *networking* corporativo moderno:

- Red flexible, creada bajo demanda, aprovisionando clientes y usuarios en una red confiable, segura, resiliente, de buenas prestaciones y que apalanque los objetivos empresariales, generando telemetría y diagnóstico a distancia.
- Disminuir la complejidad intrínseca de las redes hacia un camino automatizado, programable y abierto, donde las redes híbridas IP-SDN coexistirán.
- Contar con una seguridad robusta e inteligente de extremo a extremo, la cual integra control de la red, capas de visibilidad, identificación de roles y monitoreo.

# Acrónimos

## A

---

<b>AAA</b>	Authentication, Authorization and Accounting
<b>ACK</b>	Acknowledgement
<b>AI</b>	Artificial Intelligence
<b>AMQP</b>	Advanced Message Queuing Protocol
<b>AP</b>	Access Point (Wireless)
<b>API</b>	Application Programming Interface
<b>AR</b>	Augmented Reality. Realidad Aumentada
<b>ASIC</b>	Application-Specific Integrated Circuit
<b>ASF</b>	Atmel Software Framework (Zodiac FX)
<b>AWS</b>	Amazon Web Services

## B

---

<b>BASH</b>	Bourne Again Shell
<b>BDF</b>	Bidirectional Forwarding Detection
<b>BGP</b>	Border Gateway Protocol
<b>BGP-LS</b>	BGP – Link State
<b>BoD</b>	Board of Directors. Alta Gerencia. Mesa Directiva
<b>BSS (ONF)</b>	Business Support System
<b>BYOX</b>	Bring Your Own Everything. Trae tu propio cualquier elemento (y conéctalo a la red)

## C

---

<b>CAPEX</b>	Capital Expenditure. Gasto de Capital
<b>CAPWAP</b>	Control and Provisioning of Wireless Access Points
<b>CD</b>	Continuous Delivery
<b>CEF</b>	Cisco Express Forwarding
<b>CEO</b>	Chief Executive Officer.
<b>CI</b>	Continuous Integration
<b>CLI</b>	Command Line Interface
<b>CoAP</b>	Constrained Application Protocol
<b>CSP</b>	Communications Service Provider
<b>cURL</b>	Cliente URL

## D

---

<b>D2D</b>	Device to Device. Comunicación Dispositivo a Dispositivo
<b>DC</b>	Data Center
<b>DevOps</b>	Development Operations
<b>DMVPN</b>	Dynamic Multipoint Virtual Private Network
<b>DNA (Cisco)</b>	Cisco Digital Network Architecture
<b>DSL (Puppet)</b>	Domain Specific Language (Puppet DSL)
<b>DTLS</b>	Datagram Transport Layer Security

## E

---

<b>ECMP</b>	Equal-Cost MultiPath
<b>EID</b>	Endpoint Identifier (LISP)
<b>ETSI</b>	European Telecommunications Standards Institute
<b>EVPN</b>	Ethernet Virtual Private Network

## F

---

<b>FCAPS</b>	Fault, Configuration, Accounting, Performance and Security
<b>FcoE</b>	Fibre Channel over Ethernet
<b>FIB</b>	Forwarding Information Base
<b>FRR</b>	Free Range Routing

## G

---

<b>GIT</b>	Software de control de versiones creado por Linus Torvalds
<b>GUI</b>	Graphical User Interface

## H

---

<b>HTML</b>	Hypertext Markup Language
<b>HTTP</b>	Hypertext Transfer Protocol

## I

---

<b>IaaS/IaC</b>	Infrastructure as a Code
<b>IaaS</b>	Infrastructure as a Service
<b>IDE</b>	Integrated Development Environment
<b>IKE</b>	Internet Key Exchange
<b>Inet</b>	Intelligent Network
<b>IoT</b>	Internet of Things. Internet de las Cosas
<b>IP</b>	Internet Protocol 300ocker300300 4 y 6 (Ipv4 – Ipv6)
<b>ISAKMP</b>	Internet Security Association and Key Management Protocol
<b>ISOC</b>	Internet Society
<b>ISP</b>	Internet Service Provider
<b>ITIL</b>	Information Technology Infrastructure Library
<b>ITU</b>	International Telecommunication Union
<b>iWAN</b>	Intelligent Wide Area Network

## J

---

<b>J2</b>	Jinja 2
<b>JSON</b>	Javascript Object Notation

## L

---

<b>LAN</b>	Local Area Network.
------------	---------------------

<b>LDAP</b>	Lightweight Directory Access Protocol
<b>LFP</b>	The Linux Foundation Projects
<b>LFN</b>	The Linux Foundation Networking
<b>LISP</b>	Locator ID Separation Protocol
<b>LSRR</b>	Loose Source and Record Route
<b>LTE</b>	Long Term Evolution
<b>LWAPP</b>	Lightweight Access Point Protocol

## M

---

<b>M2M</b>	Machine to Machine. Conectividad Máquina a Máquina.
<b>MD-SAL</b>	Model-Driven Service Abstraction Layer
<b>ML</b>	Machine Learning
<b>MPLS</b>	Multiprotocol Label Switching
<b>MQTT</b>	Message Queuing Telemetry Transport

## N

---

<b>NAPALM</b>	Network Automation and Programmability Abstraction Layer with Multivendor Support
<b>NDP</b>	Neighbor Discovery Protocol
<b>NETCONF</b>	Network Configuration Protocol
<b>NFV</b>	Network Functions Virtualization
<b>NGFW</b>	Next-Generation Firewall
<b>NOS</b>	Network Operation System
<b>NPB</b>	Network Packet Broker

## O

---

<b>OCP</b>	Open Compute Project
<b>ODL</b>	OpenDayLight
<b>OMP</b>	Overlay Management Protocol
<b>ONF</b>	Open Networking Foundation
<b>ONOS</b>	Open Network Operating System
<b>ONU</b>	Organización de las Naciones Unidas
<b>OOP</b>	Object-Oriented Programming
<b>OPEX</b>	Operational Expenditures. Gasto Operacional
<b>OPNFV</b>	Open Platform for Network Functions Virtualization
<b>OSI</b>	Open System Interconnection
<b>OSS</b>	Operation Support System
<b>OVN</b>	Open Virtual Network
<b>OVS</b>	Open Virtual Switch (Nicira – VMWare)

## P

---

<b>P4</b>	Programming Protocol-independent Packet Processors
<b>PaaS</b>	Platform as a Service
<b>PCEP</b>	Path Computation Element Protocol

<b>PIP</b>	Preferred Installer Program – Pip Install Python
<b>PISA</b>	Protocol Independent Switch Architecture
<b>PPDIOO</b>	Prepare, Plan, Design, Implement, Operate and Optimize Lifecycle
<b>PoCs</b>	Proof-of-Concepts
<b>POM</b>	Project Object Model
<b>PyATS</b>	Python Automated Test Systems

## Q

---

<b>QoS</b>	Quality of Service. Calidad de Servicio
------------	---

## R

---

<b>RADIUS</b>	Remote Authentication Dial-In User Service
<b>REST</b>	Representational State Transfer
<b>RFID</b>	Radio Frequency Identifier
<b>RIB</b>	Routing Information Base
<b>RLOC</b>	Routing/Record Locator (LISP)
<b>ROI</b>	Return on Investment. Retorno de Inversión
<b>RPC</b>	Remote Procedure Call

## S

---

<b>S3P</b>	Security, Scalability and Performance (ODL)
<b>SASE</b>	Secure Access Service Edge
<b>SaaS</b>	Software as a Service
<b>SDN</b>	Software Defined Networking. Redes Definidas por Software
<b>SD-Access</b>	Software Defined Access
<b>SD-DC</b>	Software Defined Data Center
<b>SDK</b>	Software Development Kit
<b>SD-WAN</b>	Software Defined Wide Area Network
<b>SecOps</b>	Security Operations
<b>SEN</b>	Secure Extensible Network – SDWAN Viptela
<b>SGT</b>	Scalable Group Tags
<b>SID</b>	Segment Identifier (Segment Routing)
<b>SLA</b>	Service Level Agreement
<b>SMB</b>	Small-Medium Business
<b>SNMP</b>	Simple Network Management Protocol
<b>SNV</b>	Service Node Functionality for VXLAN
<b>SOAP</b>	Simple Object Access Protocol
<b>SoC</b>	Separation of Concerns
<b>SRGB</b>	Segment Routing Global Block
<b>SRH</b>	Segment Routing Header
<b>SSH</b>	Secure Shell
<b>SSID</b>	Service Set Identifier
<b>SSRR</b>	Strict Source and Record Route

## T

---

<b>TAC</b>	Technical Assistance Center
<b>TCP</b>	Transmission Control Protocol
<b>TCO</b>	Total Cost of Ownership. Costo total de Propiedad
<b>TDD</b>	Test-Driven Development
<b>TDM</b>	Time Division Multiplexing
<b>TLOC</b>	Transport Locations Routes (OMP SD-WAN)
<b>TLS</b>	Transport Layer Security

## U

---

<b>UDP</b>	User Datagram Protocol
<b>URI</b>	Uniform Resource Identifier
<b>URL</b>	Uniform Resource Locator
<b>URN</b>	Uniform Resource Name

## V

---

<b>VCS</b>	Version Control System
<b>VPN</b>	Virtual Private Network
<b>VR</b>	Virtual Reality. Realidad Virtual
<b>VXLAN</b>	Virtual Extensible Local Area Network
<b>VXRD</b>	VXLAN Registration Daemon

## W

---

<b>WAN</b>	Wide Area Network
<b>WEF</b>	World Economic Forum
<b>WiFi6 - WiFi6E</b>	Wireless Fidelity 6. IEEE 802.11ax - WiFi6E (6GHz)
<b>WLC</b>	Wireless LAN Controller
<b>WSGI</b>	Web Server Gateway Interface (RYU SDN Controller)

## X

---

<b>XML</b>	eXtensible Markup Language
<b>XMPP</b>	Extensible Messaging and Presence Protocol

## Y

---

<b>YAML</b>	Yet Another Markup Language - Ain't Markup Language
<b>YANG</b>	Yet Another Next Generation

## Z

---

<b>ZB</b>	Zettabyte
<b>ZTP</b>	Zero-Touch Provisioning

# Bibliografía

- ABI Research. (2013, Mayo 09). *More Than 30 Billion Devices Will Wirelessly Connect to the Internet of Everything in 2020*. Retrieved from <https://www.abiresearch.com/press/more-than-30-billion-devices-will-wirelessly-conne/>
- Afaq, M. (2018, Junio 18). *Understanding and Building an end-to-end NetDevOps Pipeline*. Retrieved from <https://www.fullstacknetworker.com/understanding-and-building-an-end-to-end-netdevops-cicd-pipeline/>
- Álvarez, M. (2020, Agosto 5). *NAPALM Network Automation Python: Introduction e Installation*. Retrieved from <https://codingnetworks.blog/napalm-network-automation-python-introduction-e-installation/>
- Andrade-Salinas, G., Salazar-Chacon, G., & Vintimilla, L.M. "Integration of IoT Equipment as Transactional Endorsing Peers over a Hyperledger-Fabric Blockchain Network: Feasibility Study", *International Conference on Applied Technologies*, pp. 95-109, 2019, December
- Apostolopoulos, J. (2018, Junio 1). *Why is intent-based networking good news for software-defined networking?* Retrieved from <https://blogs.cisco.com/analytics-automation/why-is-intent-based-networking-good-news-for-software-defined-networking>
- Arista Networks. (2021, Abril 4). *MPLS Segment Routing*. Retrieved from <https://www.arista.com/en/solutions/mpls-segment-routing>
- Aruba - A Hewlett Packard Enterprise Company. (n.d.). *¿Qué es la arquitectura "spine-leaf"?* Retrieved from <https://www.arubanetworks.com/es/arquitectura-spine-leaf/>
- Aruba Networks. (2017). *Aruba VAN SDN Controller Software - Datasheet*. Retrieved from [https://tdhpe.techdata.eu/Documents/Aruba/DS\\_VAN\\_SDN.pdf?epslanguage=en](https://tdhpe.techdata.eu/Documents/Aruba/DS_VAN_SDN.pdf?epslanguage=en)
- Bachar, Y. -F. (2015, Febrero 11). *Introducing "6-pack": the first open hardware modular switch*. Retrieved from <https://code.fb.com/production-engineering/introducing-6-pack-the-first-open-hardware-modular-switch/>
- Badotra, S., & Narayan Panda, S. (2019, Septiembre 30). Evaluation and comparison of OpenDayLight and open networking operating system in software-defined networking. *Cluster Computing - Springer Science+Business*. doi:10.1007/s10586-019-02996-0
- Barton, B. (2017, Noviembre). *Understanding Cisco's Next Generation SD-WAN Technology*. Retrieved from <https://www.slideshare.net/CiscoCanada/cisco-connect-vancouver-2017-understanding-cisco-next-gen-sdwan>
- Bednarz, A. (2016, Noviembre 18). *Network outages linked to human error, incompatible changes, greater complexity*. Retrieved from <https://www.networkworld.com/article/3142838/top-reasons-for-network-downtime.html>

- Bitcoin. (2020). *Bitcoin*. Retrieved from <https://bitcoin.org/es/>
- Boorsma, B. (2016, Septiembre 26). *Digitization: Drivers, Trends and the Internet of Things*. Retrieved from <https://www.slideshare.net/BigDataExpo/cisco-bas-boorsma>
- Bruno, A., & Jordan, S. (2011). *Cisco CCDA Cert Guía: Data Center Design*. Indianapolis, USA: Cisco Press.
- CAF - Banco de Desarrollo de América Latina. (2020, abril 07). *COVID-19: ¿Cuál es el estado de la digitalización de América Latina para la resiliencia social, económica y productiva?* Retrieved from <https://www.caf.com/es/actualidad/noticias/2020/04/covid-19-cual-es-el-estado-de-la-digitalizacion-de-america-latina-para-la-resiliencia-social-economica-y-productiva/>
- Capone, A., & Cascone, C. (2015, Abril 13). *From dumb to smarter switches in software defined networks: An overview of data plane evolution*. Retrieved from <https://www.slideshare.net/commtechpolimi/tutorial-on-sdn-data-plane-evolution>
- Cascone, C. (2019, Septiembre 8). *Open Networking Foundation - Topology NG-SDN Tutorial*. Retrieved from <https://github.com/opennetworkinglab/ngsdn-tutorial/blob/master/mininet/topo.py>
- Cascone, C., & Condon, S. (2020, Mayo 5). *NG-SDN Tutorial - Docker-Compose.yml*. Retrieved from <https://github.com/opennetworkinglab/ngsdn-tutorial/blob/master/docker-compose.yml>
- Chaloupka, J. (2017, Agosto). *Network Architecture with Software Programmability - Segment Routing*. Retrieved from <https://slideplayer.com/slide/13426422/>
- Cisco DevNet - Programming Fundamentals. (2020). *Data Formats: Understanding and using JSON, XML and YAML*.
- Cisco Meraki SD-WAN. (2019). *Discover Meraki SD-WAN*. Retrieved from The world's most trusted SD-WAN provider: <https://meraki.cisco.com/products/appliances#sd-wan>
- Cisco Netacad. (2020, julio). *Redes empresariales, Seguridad y Automatización*.
- Cisco NetAcad DevNet Associate Course. (2020, Julio). *Automating Infrastructure with Cisco*. Retrieved from [www.netacad.com](http://www.netacad.com)
- Cisco Systems - Cisco Umbrella. (n.d.). *Point DNS to Cisco Umbrella*. Retrieved from <https://docs.umbrella.com/mssp-deployment/docs/point-dns-to-cisco-umbrella>
- Cisco Systems - DevNet Learning Labs. (2021, junio 1). *Introduction to SDWAN REST APIs*. Retrieved from [https://developer.cisco.com/learning/tracks/sd-wan\\_programmability/sd-wan/intro-sd-wan-rest-api/step/2](https://developer.cisco.com/learning/tracks/sd-wan_programmability/sd-wan/intro-sd-wan-rest-api/step/2)
- Cisco Systems - Senior VicePresident Liz Centoni. (2019). *CiscoLive Barcelona 2019*. Retrieved from <https://video.cisco.com/detail/videos/events/video/6009932373001/ciscolive-barcelona-2019-iot-keynote?autoStart=true>

- Cisco Systems - User Defined Network. (2020, junio). *Cisco User Defined Network: Provide control and security to your users*. Retrieved from <https://www.cisco.com/c/en/us/solutions/enterprise-networks/user-defined-network.html>
- Cisco Systems. (2018, Junio 15). *Cisco Wireless Controller Configuration Guide, Release 8.3*. Retrieved from [https://www.cisco.com/c/en/us/td/docs/wireless/controller/8-3/config-guide/b\\_cg83/b\\_cg83\\_chapter\\_0100111.html](https://www.cisco.com/c/en/us/td/docs/wireless/controller/8-3/config-guide/b_cg83/b_cg83_chapter_0100111.html)
- Cisco Systems. (2018, Enero 20). *IP Routing: LISP Configuration Guide, Cisco IOS XE Release 3S*. Retrieved from [https://www.cisco.com/c/en/us/td/docs/ios-xml/ios/iproute\\_lisp/configuration/xs-3s/irl-xe-3s-book/irl-overview.html](https://www.cisco.com/c/en/us/td/docs/ios-xml/ios/iproute_lisp/configuration/xs-3s/irl-xe-3s-book/irl-overview.html)
- Cisco Systems. (2018). *Transforming Businesses with Artificial Intelligence*. Retrieved from [https://www.cisco.com/c/dam/en/us/solutions/collateral/digital-transformation/ai-whitepaper.pdf?ccid=cc000098&dtid=esofbk000262&CAMPAIGN=NB-06+Network+Buyer+Program&Country\\_Site=us&POSITION=Social%2BMedia&REFERRING\\_SITE=Facebook&CREATIVE=Cisco+Enterprise+](https://www.cisco.com/c/dam/en/us/solutions/collateral/digital-transformation/ai-whitepaper.pdf?ccid=cc000098&dtid=esofbk000262&CAMPAIGN=NB-06+Network+Buyer+Program&Country_Site=us&POSITION=Social%2BMedia&REFERRING_SITE=Facebook&CREATIVE=Cisco+Enterprise+)
- Cisco Systems. (2019, mayo 21). *Cisco Academy Conference Latam 2019*. Retrieved from <http://www.academyconferencelatam.com/>
- Cisco Systems. (2019, mayo 9). *Cisco SD-WAN Deployment Guide*. Retrieved from [https://www.cisco.com/c/en/us/td/docs/solutions/CVD/SDWAN/CVD-SD-WAN-Deployment-2019APR.html?ccid=cc000954&dtid=esofbk000262&CAMPAIGN=NB-06+Network+Buyer+Program&Country\\_Site=us&POSITION=Social%2BMedia&REFERRING\\_SITE=Facebook&CREATIVE=Cisco+Enterprise+Net](https://www.cisco.com/c/en/us/td/docs/solutions/CVD/SDWAN/CVD-SD-WAN-Deployment-2019APR.html?ccid=cc000954&dtid=esofbk000262&CAMPAIGN=NB-06+Network+Buyer+Program&Country_Site=us&POSITION=Social%2BMedia&REFERRING_SITE=Facebook&CREATIVE=Cisco+Enterprise+Net)
- Cisco Systems. (2019, febrero 27). *Cisco Visual Networking Index: Forecast and Trends, 2017-2022 White Paper*. Retrieved from <https://www.cisco.com/c/en/us/solutions/collateral/service-provider/visual-networking-index-vni/white-paper-c11-741490.html>
- Cisco Systems. (2019, agosto). *Evolución Digital: Desde Mainframe al Multicloud y más allá*. Retrieved from [https://engage2demand.cisco.com/lp\\_servidor\\_17617?CCID=cc001060&DTID=odicdc000016&OID=pordc018464](https://engage2demand.cisco.com/lp_servidor_17617?CCID=cc001060&DTID=odicdc000016&OID=pordc018464)
- Cisco Systems. (2019, julio 7). *Intent-Based Networking*. Retrieved from The network platform for IT and business innovation: [https://www.cisco.com/c/en\\_be/solutions/intent-based-networking.html](https://www.cisco.com/c/en_be/solutions/intent-based-networking.html)
- Cisco Systems. (2020). *Software-Defined Networking - Automate and program your network faster*. Retrieved from <https://www.cisco.com/c/en/us/solutions/software-defined-networking/overview.html>
- Cisco Systems. (n.d.). *Cisco SD-WAN Dashboard*. Retrieved from [https://sdwan-docs.cisco.com/Product\\_Documentation/vManage\\_Help/Release\\_18.2/Dashboard/Dashboard](https://sdwan-docs.cisco.com/Product_Documentation/vManage_Help/Release_18.2/Dashboard/Dashboard)

- Citakovic, R. (2019, Marzo 19). *Introduction to Ansible*. Retrieved from [https://www.cisco.com/c/dam/m/sr\\_rs/events/2019/cisco-connect/pdf/using\\_ansible\\_in\\_dc\\_automation\\_radenko\\_citakovic.pdf](https://www.cisco.com/c/dam/m/sr_rs/events/2019/cisco-connect/pdf/using_ansible_in_dc_automation_radenko_citakovic.pdf)
- Citrix. (2019). *What is software-defined networking (SDN)?* Retrieved from <https://lac.citrix.com/glossary/what-is-software-defined-networking.html>
- Clark, S. (2019, Julio 16). *Network Automation Using Unified API – Napalm*. Retrieved from <https://blogs.cisco.com/developer/network-automation-using-napalm>
- Cloudflare. (2021, abril 14). *Zero Trust Network Access (ZTNA)*. Retrieved from <https://www.cloudflare.com/es-la/teams/zero-trust-network-access/>
- CodiLime. (2020, Septiembre 20). *Introduction to network programming with P4*. Retrieved from <https://www.youtube.com/watch?v=UEMAvXXNWsY>
- Coppola, F. (2019, junio 30). *The Real Threat From Facebook's Libra Coin - Forbes*. Retrieved from <https://www.forbes.com/sites/francescoppola/2019/06/30/the-real-threat-from-facebooks-libra-coin/#138867171dc5>
- Curran, D. (2012, Diciembre 4). *Under the Hood: Open vSwitch & OpenFlow in XCP & XenServer - CloudStack Collaboration Conference*. Retrieved from [https://www.slideshare.net/xen\\_com\\_mgr/under-the-hood-open-vswitch-openflow-in-xcp-xenserver](https://www.slideshare.net/xen_com_mgr/under-the-hood-open-vswitch-openflow-in-xcp-xenserver)
- Data Center Frontier. (2018, Abril 16). *Evolution IT Infrastructures*. Retrieved from <https://datacenterfrontier.com/the-top-5-it-strategies-for-the-data-center/evolution-it-infrastructure-2/>
- Davidson, J. (2017, Septiembre 27). *Simplifying Networks through Segment Routing*. Retrieved from <https://blogs.cisco.com/news/simplifying-networks-through-segment-routing>
- Debois, P. (2008). Agile infrastructure and operations: how infra-gile are you? *IEEE Agile 2008 Conference*, 202-207. doi:10.1109/Agile.2008.42
- Dell'Oro Group. (2020, Marzo 3). *Cisco, Silver Peak, Versa, VMWare, and Fortinet Were 2019 Top Five Vendors - SDWAN*. Retrieved from <https://www.delloro.com/news/sd-wan-market-increased-64-percent-and-surged-over-1-billion-in-2019/>
- Erdem, K. (2019, Abril 17). *DevOps Turkiye*. Retrieved from <https://medium.com/devopsturkiye/teknolojileri-ile-hayat-kurtaran-32-devops-arac%C4%B1-4eb35b234c88>
- Filsfils, C. (2016, Junio 23). *Segment Routing Overview with Clarence Filsfils*. Retrieved from <https://www.youtube.com/watch?v=ZpUnsYjMBEA>
- Filsfils, C., Michielsen, K., & Talaulikar, K. (2017). *Segment Routing Part I*. California: CreateSpace Independent Publishing Platform; 1er edición (17 Enero 2017).

- Forbes. (2017, Diciembre 28). *3 Key Machine Learning Trends To Watch Out For In 2018*. Retrieved from <https://www.forbes.com/sites/janakirammsv/2017/12/28/3-key-machine-learning-trends-to-watch-out-for-in-2018/#1d2429801280>
- Fortinet. (2021, marzo). *SD-WAN Vendors List: Comparison of Top Providers*. Retrieved from <https://www.fortinet.com/lat/products/sd-wan-providers>
- Gaurav, S. (2017, Noviembre 12). *Is DevOps Agile? - DZone*. Retrieved from <https://dzone.com/articles/is-devops-agile?platform=hootsuite>
- Global Market Insights. (2020, Mayo). *Software-Defined Wide Area Network (SD-WAN) Market Size*. Retrieved from <https://www.gminsights.com/industry-analysis/software-defined-wide-area-network-sdwan-market>
- GNS3 Marketplace. (2017, Junio 29). *Network Automation Appliance - Download*. Retrieved from <https://gns3.com/initiatives/network-automation>
- Gómez, O. (2017, Junio 27). *Transformación Digital, ¿Evolución o Mutación?* Retrieved from <https://gblogs.cisco.com/la/dg-oscardgomez-transformacion-digital-evolucion-o-mutacion/>
- Gomolski, B. (2019, enero 18). *Driving Cost Optimization Across the Enterprise: An Executive Perspective*. Retrieved from Gartner: <https://www.gartner.com/en/doc/3898566-driving-cost-optimization-across-the-enterprise-an-executive-perspective>
- Gooley, J., Hasan, R., & Vemula, S. (2021). *Cisco Software-Defined Access*. Hoboken, NJ: Cisco Press.
- Gooley, J., Yanch, D., Schuemann, D., & Curran, J. (2021). *Software-Defined Wide-Area Networks*. Cisco Press.
- Guillermo, J. (2017, Septiembre 5). *Demystifying Software-defined Networks Part I: Open SDN Approach - Dell Technologies*. Retrieved from [https://infocus.delltechnologies.com/javier\\_guillermo/demystifying-software-defined-networking-open-sdn-approach/](https://infocus.delltechnologies.com/javier_guillermo/demystifying-software-defined-networking-open-sdn-approach/)
- Guis, I. (2012, Noviembre 15). *The SDN Gold Rush To The Northbound API - SDX Central*. Retrieved from <https://www.sdxcentral.com/articles/contributed/the-sdn-gold-rush-to-the-northbound-api/2012/11/>
- H3C. (2019). *The Next Generation Network Architecture with H3C's SDN, NFV & Overlay*. Retrieved from [http://www.h3c.com.hk/Products\\_\\_Solutions/Home/SDN\\_NFV\\_Overlay/](http://www.h3c.com.hk/Products__Solutions/Home/SDN_NFV_Overlay/)
- HabitatIII. (2016, Octubre 17). *Reporte Conferencia HabitatIII*. Retrieved from <http://habitat3.org/documents-and-archive/final-reports/the-conference-report/>
- Hanes et al. (2017). *IoT Fundamentals: Networking Technologies, Protocols, and Use Cases for the Internet of Things*. Indianapolis, IN 46240 USA: Cisco Press.

- Hill, C., Miller, D., Zacks, D., Suhr, J., Kumar, K., Karmarkar, K., . . . otros. (2019, Abril). *Software-Defined Access - Enabling Intent-Based Networking*. Retrieved from <https://www.cisco.com/c/dam/en/us/products/se/2018/1/Collateral/nb-06-software-defined-access-ebook-en.pdf>
- Hinchcliffe, D. (2018, Diciembre 19). *The SAP platform and digital transformation*. Retrieved from <https://www.zdnet.com/article/the-sap-platform-and-digital-transformation/>
- Huang, W. (2020, Marzo 4). *Ansible 101 Getting Started*. Retrieved from <https://medium.com/@wintonjkt/ansible-101-getting-started-1daaff872b64>
- Huawei. (2019). *SDN Concept and Benefits*. Retrieved from <https://developer.huawei.com/ict/en/site-sdn/article/01>
- IBM. (2020). *How much would a data breach cost your business?* Retrieved from <https://www.ibm.com/security/data-breach>
- IBM. (2021, Abril 7). *What is a Software-Defined Data Center (SDDC)?* Retrieved from <https://www.ibm.com/services/network/software-defined-data-center>
- IBM Developer . (2019, Febrero 20). *YAML basics in Kubernetes*. Retrieved from <https://developer.ibm.com/technologies/containers/tutorials/yaml-basics-and-usage-in-kubernetes/>
- IETF RFC 8040. (2017, Enero). *IETF - RESTCONF Protocol*. Retrieved from <https://tools.ietf.org/html/rfc8040>
- Infobae. (2019, julio 4). *El Congreso de EEUU pidió a Facebook que detenga el desarrollo de la criptomoneda Libra*. Retrieved from <https://www.infobae.com/america/tecnologia/2019/07/03/el-congreso-de-eeuu-pidio-a-facebook-que-detenga-el-desarrollo-de-la-criptomoneda-libra/>
- Ingram Micro. (2017, Mayo 05). *5 Differences Between SDN and Network Functions Virtualization*. Retrieved from <https://imagine.next.ingrammicro.com/data-center/5-differences-between-sdn-and-network-functions-virtualization>
- Internet Engineering Task Force - IETF. (2013, Enero). *The Locator/ID Separation Protocol (LISP) - RFC 6830*. Retrieved from <https://tools.ietf.org/html/rfc6830>
- Internet Society. (2020). *World IPv6 Launch Day*. Retrieved from <https://www.worldipv6launch.org/>
- Jackson, C., Gooley, J., Iliesiu, A., & Malegaonkar, A. (2020). *Cisco Certified DevNet Associate DEVASC 200-901 Official Cert Guide*. Cisco Press.
- Jager, T. (2013, Julio 9). *Siemens S7-1200 Web Server Tutorial - From Getting Started to HTML5 User Defined Pages*. Retrieved from <https://www.dmcinfo.com/latest-thinking/blog/id/8567/siemens-s7-1200-web-server-tutorial--from-getting-started-to-html5-user-defined-pages>

- Juniper Networks. (2019). *Software-Defined Networking*. Retrieved from <https://www.juniper.net/us/en/products-services/sdn/>
- Juniper Networks. (2021, Abril 4). *What is segment routing?* Retrieved from <https://www.juniper.net/us/en/products-services/what-is/segment-routing/>
- Kickstarter Projects. (2021, Marzo 1). *Zodiac FX: The world's smallest OpenFlow SDN switch*. Retrieved from <https://www.kickstarter.com/projects/northboundnetworks/zodiac-fx-the-worlds-smallest-openflow-sdn-switch?lang=es>
- Logan, P. (2018, Septiembre 21). *REST, SOAP, GraphQL — Gesundheit!* Retrieved from <https://medium.com/better-practices/rest-soap-graphql-gesundheit-6544053f65cf>
- Manville, J., Woolwine, J., & Benny, V. d. (2019). *Evolution of the Data Center: Global Cloud Strategy and Tetration*. Retrieved from Cisco Systems: [https://www.cisco.com/c/dam/en\\_us/about/downloads/evolution-of-the-data-center-john-manville-dc-day.pdf](https://www.cisco.com/c/dam/en_us/about/downloads/evolution-of-the-data-center-john-manville-dc-day.pdf)
- McCormick, J. (2016, Noviembre 2). *Predictions 2017: Artificial Intelligence Will Drive The Insights Revolution*. Retrieved from <https://www.forrester.com/report/Predictions+2017+%20Artificial+Intelligence+Will+Drive+The+Insights+Revolution/-/E-RES133325>
- MeritStep. (2019, Febrero 12). *DevOps*. Retrieved from <https://www.meritstep.com/courses/devops>
- Nadeau, T., & Gray, K. (2013). *SDN: Software Defined Networks*. O'Reilly.
- Nefkens, P.-J. (2020). *Transforming Campus Networks to Intent-Based Networking*. Hoboken: Cisco Press.
- Northbound Networks. (2017, Mayo). *Zodiac FX User Guide*. Retrieved from [https://forums.northboundnetworks.com/downloads/zodiac\\_fx/guides/ZodiacFX\\_User\\_Guide\\_0517.pdf](https://forums.northboundnetworks.com/downloads/zodiac_fx/guides/ZodiacFX_User_Guide_0517.pdf)
- Northbound Networks. (2017). *Zodiac WX - User Guide*. Retrieved from [https://forums.northboundnetworks.com/downloads/zodiac\\_wx/guides/ZodiacWX\\_Quick\\_Start\\_Guide\\_1017.pdf](https://forums.northboundnetworks.com/downloads/zodiac_wx/guides/ZodiacWX_Quick_Start_Guide_1017.pdf)
- Northbound Networks. (2021, Julio 23). *Acerca de Northbound Networks*. Retrieved from <https://northboundnetworks.com/pages/about-us>
- nSolve - Excellence in software design. (2019, Julio 5). *What is the nCall REST API Server module for?* Retrieved from <https://www.nsolve.com/what-is-the-ncall-api/>
- O'Connor, B. (2018, Junio 5). *Enabling the Next Generation of SDN*. Retrieved from [https://p4.org/assets/P4WS\\_2018/Stratum\\_Brian.pdf](https://p4.org/assets/P4WS_2018/Stratum_Brian.pdf)
- O'Connor, B., & Cascone, C. (2019, Septiembre 10). *Tutorial Next-Gen SDN - main.p4*. Retrieved from <https://github.com/opennetworkinglab/ngsdn-tutorial/blob/master/p4src/main.p4>

- Okasha, K. (2017, Mayo 18). *Network Automation and the Rise of NETCONF*. Retrieved from <https://medium.com/@k.okasha/network-automation-and-the-rise-of-netconf-e96cc33fe28>
- ONF - Open Networking Foundation. (2020, Febrero 5). *2020 State of the ONF*. Retrieved from <https://opennetworking.org/news-and-events/blog/2020-state-of-the-onf/>
- ONF - Open Networking Foundation. (2021). *NG-SDN*. Retrieved from <https://opennetworking.org/ng-sdn/>
- ONF - Open Networking Foundation. (2021). *P4*. Retrieved from <https://opennetworking.org/p4/>
- ONF - Open Networking Foundation. (2021). *What is Mininet?* Retrieved from <https://opennetworking.org/mininet/>
- Open Networking Foundation - ONF. (2020). *Software-Defined Networking (SDN) Definition*. Retrieved from <https://www.opennetworking.org/sdn-definition/>
- Open Networking Foundation - OpenFlow Switch Spec. (2013, Abril 25). *OpenFlow Switch Specification. Version 1.3.2 (Wire Protocol 0x04)* . Retrieved from <https://www.opennetworking.org/wp-content/uploads/2014/10/openflow-spec-v1.3.2.pdf>
- Open Networking Foundation - OpenFlow Switch Spec. (2015, Marzo 26). *OpenFlow Switch Specification Version 1.5.1*. Retrieved from <https://www.opennetworking.org/wp-content/uploads/2014/10/openflow-switch-v1.5.1.pdf>
- Open Networking Foundation. (2016, Septiembre 08). *ONF SDN Evolution*. Retrieved from [http://www.opennetworking.org/wp-content/uploads/2013/05/TR-535\\_ONF\\_SDN\\_Evolution.pdf](http://www.opennetworking.org/wp-content/uploads/2013/05/TR-535_ONF_SDN_Evolution.pdf)
- OpenDayLight - Fluorine Release. (2018, Septiembre). *OpenDayLight - Fluorine Release*. Retrieved from <https://www.opendaylight.org/wp-content/uploads/sites/14/2018/09/Screen-Shot-2018-09-13-at-3.15.43-PM.png>
- OpenDaylight - The Linux Foundation Projects. (2021). *OpenDaylight - The Linux Foundation Projects*. Retrieved from <https://www.opendaylight.org/>
- OpenDayLight. (2018). *Use Case | Cloud and NFV*. Retrieved from <https://www.opendaylight.org/use-cases-and-users/by-function/cloud-and-nfv>
- OpenLisp. (n.d.). *The OpenLISP Project*. Retrieved from <http://www.openlisp.org/>
- Oracle. (2017). *Can Virtual Experiences Replace Reality?* Retrieved from [The future role for humans in delivering: https://www.oracle.com/webfolder/s/delivery\\_production/docs/FY16h1/doc35/CXResearchVirtualExperiences.pdf](https://www.oracle.com/webfolder/s/delivery_production/docs/FY16h1/doc35/CXResearchVirtualExperiences.pdf)
- Parker, B., & Shawn, F. (2018, Noviembre 7). *IDC FutureScape: Worldwide Digital Transformation (DX)*. Retrieved from <https://www.ibm.com/downloads/cas/RGOQMOY1>

- Peñaloza, D. (2018, Mayo 1). *Introducción a Segment Routing*. Retrieved from <https://learningnetwork.cisco.com/s/blogs/a0D3i000002SKD4EAO/introducci%C3%B3n-a-segment-routing>
- Pepelnjak, I. (2013, Agosto 13). *Management, Control and Data Planes in Network Devices and Systems*. Retrieved from <https://blog.ipospace.net/2013/08/management-control-and-data-planes-in.html>
- Perrin, S. (2017, Enero). *Making Networks SDN-Ready With Segment Routing*. Retrieved from [https://www.segment-routing.net/images/lightreading\\_report.pdf](https://www.segment-routing.net/images/lightreading_report.pdf)
- Platón. (369 ac). *La Replública*.
- Prabhu, V. (2019). *What is Cisco SDWAN - Part 1*. Retrieved from <https://developer.cisco.com/sdwan/video/>
- Preston, H. (2017, Octubre 25). *Intent Networks - How to be a Network Engineer in a Programmable Age*. Retrieved from [https://www.netacad.com/sites/default/files/images/careers/Webinars/DevNet/devnet\\_session\\_3\\_intent\\_networks.pdf](https://www.netacad.com/sites/default/files/images/careers/Webinars/DevNet/devnet_session_3_intent_networks.pdf)
- ProgrammerSought. (2021). *Ubuntu install RYU and Mininet steps (using Python3.6 version)*. Retrieved from <https://www.programmersought.com/article/20364436241/>
- Puppet. (2021, Enero 1). *Puppet System Requirements*. Retrieved from [https://puppet.com/docs/puppet/7.1/system\\_requirements.html](https://puppet.com/docs/puppet/7.1/system_requirements.html)
- Ransbotham, S., Kiron, D., & Gerbert, P. (2017). Reshaping bussiness with Artificial Intelligence. *MIT Sloan Management Review*.
- Rivenes, L. (2016, Septiembre 2). *Why DevOps Should Care About SDN*. Retrieved from <https://devops.com/devops-care-sdn/>
- Rodriguez-Natal, A., Portoles-Comeras, M., Ermagan, V., Farinacci, D., Maino, F., & Cabellos-Aparicio, A. (2015). LISP: a southbound SDN protocol? *IEEE Communications Magazine*, 201-207. doi:10.1109/MCOM.2015.7158286
- Roman, T., & Bryan, T. (2018, Enero 29). *Model Driven Network Automation with IOS-XE*. Retrieved from <https://www.ciscolive.com/c/dam/r/ciscolive/emea/docs/2018/pdf/LTRCRT-2700.pdf>
- Safris, S. (2019). *A Deep Look at JSON vs. XML, Part 1: The History of Each Standard*. Retrieved from <https://www.toptal.com/web/json-vs-xml-part-1>
- Salazar Ch, G. D., & Naranjo, E. F. (2017). Underlay and overlay networks: The approach to solve addressing and segmentation problems in the new networking era: VXLAN encapsulation with Cisco and open source networks. *2017 IEEE Second Ecuador Technical Chapters Meeting (ETCM)*, 1-6. doi:10.1109/ETCM.2017.8247505

- Salazar Ch., G. D., Naranjo, E. F., & Marrone, L. (2018). SDN-Ready WAN networks: Segment Routing in MPLS-Based Environments. *2018 9th IEEE Annual Ubiquitous Computing, Electronics & Mobile Communication Conference (UEMCON)*, 173-178. doi:10.1109/UEMCON.2018.8796613
- Salazar Chacón, G., & Chafla Altamirano, G. (2015). Empleo de Path-Control Tools en una red empresarial moderna mediante políticas de enrutamiento. *3C Tecnología*, 1-18. Recuperado de <http://ojs.3ciencias.com/index.php/3c-tecnologia/article/view/233>
- Salazar, G., & Solano, J. P. (2018, Junio 14). *Fundamentos de Cisco Intelligent WAN*. (C. C. Support, Ed.) Retrieved from <https://community.cisco.com/t5/videos-routing-y-switching/webcast-video-fundamentos-de-cisco-intelligent-wan/ba-p/3399530>
- Salazar, G., Venegas, C., Baca, M., & et-al. (2018). Open Middleware proposal for IoT focused on Industry 4.0. *2018 IEEE 2nd Colombian Conference on Robotics and Automation (CCRA)* (pp. 1-6). doi: 10.1109/CCRA.2018.8588117
- Salazar-Chacón, G. (2019, Noviembre 26). *Ansible y SDN en acción: Los pilares de la era de la Programabilidad*. Retrieved from <https://www.youtube.com/watch?v=m0bSM8Xv10g>
- Salazar-Chacón, G. D., & Reinoso García, A. R. (2021). Segment-Routing Analysis: Proof-of-Concept Emulation in IPv4 and IPv6 Service Provider Infrastructures. *2021 IEEE International IOT, Electronics and Mechatronics Conference (IEMTRONICS)*, 1-7. doi:10.1109/IEMTRONICS52119.2021.9422559
- Salazar-Chacón, G., & Marrone, L. (2020). OpenSDN Southbound Traffic Characterization: Proof-of-Concept Virtualized SDN-Infrastructure. *11th IEEE Annual Information Technology, Electronics and Mobile Communication Conference (IEMCON)*, 0282-0287. doi:10.1109/IEMCON51383.2020.9284938
- Salazar-Chacón, G. D., & Vaca, J. E. (2020). VXLAN-IPSec Dual-Overlay as a Security Technique in Virtualized Datacenter Environments. *2020 IEEE ANDESCON*, 1-6, doi: 10.1109/ANDESCON50619.2020.9272160.
- Salazar-Chacón, G., Naranjo, E., & Marrone, L. (2020). Open networking programmability for VXLAN Data Centre infrastructures - Ansible and Cumulus Linux feasibility study. *Revista Ibérica de Sistemas e Tecnologías de Informação*(32), 469-482.
- Salazar, G. (2016). Fundamentos de QoS-Calidad de Servicio en Capa 2 y Capa 3, 2016, [online] Available: <https://community.cisco.com/t5/blogsrouting-y-switching/fundamentos-de-qos-calidad-de-servicio-en-capa-2-ycapa-3lba-p/3103715>.
- Salazar Ch, G. D., Venegas, C. & Marrone, L. (2019). MQTT-Based Prototype Rover with Vision-As-A-Service (VAAS)in an IoT Dual-Stack Scenario. *2019 Sixth International Conference on eDemocracy & eGovernment (ICEDEG)*, 2019, pp. 344-349, doi: 10.1109/ICEDEG.2019.8734341
- Salazar Ch., G.D., Hervas, C, Estevez E., & Marrone, L. High-Level IoT Governance Model Proposal for Digitized Ecosystems, *2019 International Conference on Information Systems and Software Technologies (ICI2ST)*, 2019, pp. 79-84, doi: 10.1109/ICI2ST.2019.00018.

- Salazar, G. *Direccionamiento IPv6 - Bases y Fundamentos*. Cisco, 02 Febrero 2016. [online]. Disponible:  
<https://supportforums.cisco.com/blog/12914981/direccionamiento-ipv6-bases-y-fundamentos>
- Salazar, G. *DMVPN Fase1 y 2 en IPv4 Fundamentos y Configuración básica enfocado al CCIE RS*, 2017, [online] Disponible: <https://community.cisco.com/t5/videos-routing-y-switching/dmvpn-fase1-y-2-en-ipv4-fundamentos-y-configuraci%C3%B3n-b%C3%A1sica/ba-p/3104173>
- Salman, O., Elhajj, I., Kayssi, A., & Chehab, A. (2016). SDN controllers: A comparative study. *2016 18th Mediterranean Electrotechnical Conference (MELECON)*, 1-6. doi:10.1109/MELCON.2016.7495430
- SDX Central. (2019). *SDN Automation, Programmability, and Programmable Networks*. Retrieved from <https://www.sdxcentral.com/automation/definitions/programmability-network-automation-sdn-networks/>
- SDX Central. (2019). *Understanding the SDN Architecture – SDN Control Plane & SDN Data Plane*. Retrieved from <https://www.sdxcentral.com/networking/sdn/definitions/inside-sdn-architecture/>
- SDxCentral. (2015, Mayo 7). *What's a Software Defined Data Center?* Retrieved from <https://www.sdxcentral.com/data-center/definitions/software-defined-data-center/>
- Segment Routing. (2021, Abril). *Segment Routing Main Page*. Retrieved from <https://www.segment-routing.net/>
- Tamilselvan, G., Froehlich, J., & Raghunathan, Y. (2019, Febrero 1). *Cisco Live 2019 - Barcelona - Network Automation with Ansible*.
- Teare, D., Vachon, B., & Graziani, R. (2015). *Implementing Cisco IP Routing (Route)*. *Foundation Learning Guide*. Indianapolis, IN, USA: Cisco Press.
- TeleGeography. (2020). *Submarine Cable Map*. Retrieved from <https://www.submarinecablemap.com/>
- Tittel, E. (2018). *SDN vs. NFV: What's the difference?* Retrieved from <https://www.cisco.com/c/en/us/solutions/software-defined-networking/sdn-vs-nfv.html>
- Vaca, J., & Salazar-Chacón, G. (2020). VXLAN-IPSec Dual-Overlay as a Security Technique in Virtualized Datacenter Environments. *IEEE ANDESCON*, 1-6.
- Velrajan, S. (2019, Abril 23). *List of OpenFlow Controllers for SDN* . Retrieved from <https://www.thetech.in/2012/12/list-of-openflow-controllers-for-sdn.html>
- VMWare SDX-Central. (2018). *What is VMware Network Virtualization?* Retrieved from <https://www.sdxcentral.com/networking/virtualization/definitions/what-is-vmware-network-virtualization/>

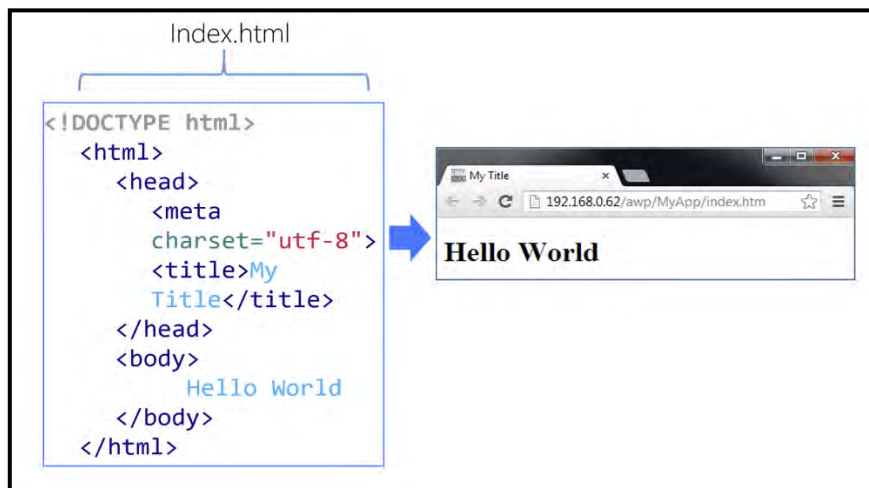
- Wexler, S. (2016, octubre 31). *Digital Transformation Changes Everything — Are you Ready?* Retrieved from <https://www.cio.com/article/3132004/digital-transformation-changes-everything-are-you-ready.html>
- World Economic Forum. (2017). *Realizing the Internet of Things: A Framework for Collective Action*. Retrieved from World Economic Forum Annual Meeting 2017: <https://www.weforum.org/whitepapers/realizing-the-internet-of-things-a-framework-for-collective-action>
- Xu, Z., Liu, F., Wang, T., & Xu, H. (2016). Demystifying the energy efficiency of Network Function Virtualization. *IEEE/ACM 24th International Symposium on Quality of Service (IWQoS)* (pp. 1-6). Beijing: IEEE Xplore.
- Yigal, A. (2017, Enero 16). *Chef vs. Puppet: Methodologies, Concepts, and Support*. Retrieved from <https://logz.io/blog/chef-vs-puppet/>
- Zoher Bholebawa, I., & Dalal, U. (2016, Abril 18). *Design and Performance Analysis of OpenFlow-Enabled Network Topologies Using Mininet*. Retrieved from <http://www.ijcce.org/vol5/469-CT013.pdf>

# Anexos

## Anexo A: Formatos y Estructuras de Datos para *NetDevOps*

**E**L término automatización, según (Cisco Netacad, 2020), “es cualquier proceso impulsado de forma automática que reduce y, a la larga, elimina, la necesidad de intervención humana”, proceso que en sus inicios estuvo limitado a la fabricación industrial en masa debido al comportamiento altamente repetitivo por ejemplo, en el ensamblaje automotriz. Las máquinas son excelentes en la repetición de tareas y siempre que lo hagan de una manera acorde a lo planificado, los errores disminuyen al mínimo.

Al traer la automatización a la Informática y luego a las Tecnologías de la Información mediante el concepto de *NetDevOps*, la hiperconectividad juega un papel de suma importancia, ya que es la era donde múltiples y variados dispositivos se interconectan. Esos dispositivos deben compartir una estructura comunicacional para entenderse. Con el fin de que la estandarización avance más rápido, los entornos *NetDevOps*, así como las *Infrastructure-as-Code* y SDN, establecieron que lo ideal es contar con formatos de datos claros y efectivos para así la información compartida sea empleada por todos los elementos de red (*Observer Pattern* con *Separation of Concerns*), tanto finales como intermediarios; es así como los formatos de datos especifican una manera de almacenar, intercambiar y procesar datos estructuradamente. Un ejemplo sencillo y ampliamente utilizado es el Lenguaje de Marcas de Hipertexto (HTML por sus siglas en inglés), el cual describe la estructura de páginas Web.



**Figura A - 1 Formato de Datos: HTML**  
Recuperado de (Jager, 2013)

De acuerdo con (Cisco DevNet - Programming Fundamentals, 2020), los principales formatos de datos utilizados en automatización de una red son:

- JavaScript Object Notation – JSON
- eXtensible Markup Language – XML
- YAML Ain't Markup Language – YAML

La elección del formato adecuado dependerá de la aplicación, herramienta o infraestructura donde se ejecuten, pues cada uno tiene sus características en particular.

## Estructura y Reglas de Formato de Datos para JSON, YAML y XML

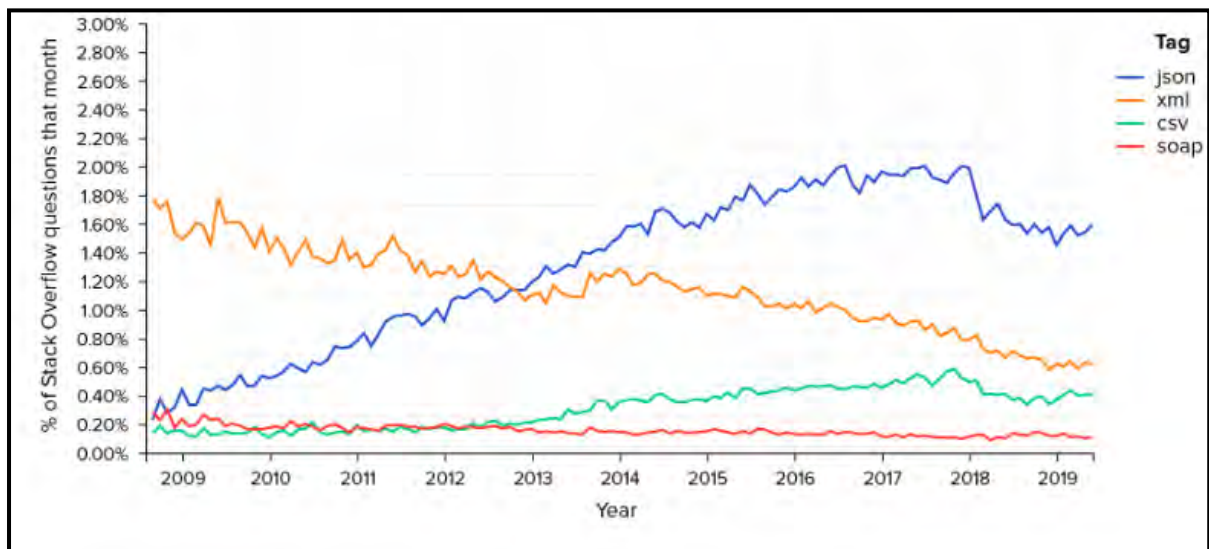
Los diversos formatos de datos cuentan con una estructura similar al de los lenguajes de programación e incluso el lenguaje natural humano, por ejemplo, entre las características más importantes están:

- Poseen una sintaxis determinada, la cual puede incluir indentación (sangría o espaciado), uso de comillas, comas, así como [ ], { } o ( ).
- Formas de identificar objetos ya sean como listas, arreglos o cadenas.
- Uso del concepto clave:valor con el fin de describir un objeto, dato o variable.

### Formato JSON

JSON es considerado un formato de datos de fácil lectura y comprensión, empleado principalmente en aplicaciones para almacenar, transferir o leer datos.

En la actualidad, JSON es uno de los formatos de mayor popularidad según (Safris, 2019). Quizá una de las razones para ello es su facilidad de integración con lenguajes como *Python*. Esa tendencia se puede ver en la siguiente imagen:



**Figura A - 2 Popularización de JSON frente al resto de formato de datos**  
Recuperado de (Safris, 2019)

### Reglas de Sintaxis para JSON

Las características fundamentales de JSON son:

- Utiliza una estructura de anidación con sentido jerárquico
- Emplea llaves { } para limitar objetos y corchetes [ ] para vectores.
- La información sobre variables o datos está escrita en clave:valor

En JSON, es importante tener claro lo que se conoce como OBJETO, el cual es uno o más pares clave:valor dentro de llaves { }. La sintaxis de un objeto incluye:

- Las claves debe ser cadenas de caracteres o *strings* escritas entre " " o comillas dobles.
- Los valores de dichas claves deben estar acorde a los tipos de datos aceptados en JSON (números, cadenas de caracteres, arreglos, booleanos, vacío o *null* y cualquier otro objeto anidado).
- La clave y los valores están separados por : (dos puntos)

- Múltiples pares clave:valor dentro de un mismo objeto están separados por comas.
- Los espacios en blanco no tienen importancia en JSON.

En algunas ocasiones, una clave puede tener más de un valor, esto se conoce como un arreglo o *array*, por lo que un arreglo en JSON es una lista ordenada de valores dentro de una clave.

Las características principales de un arreglo incluyen:

- Luego de escribir la clave con sus respectivos dos puntos que indican el inicio del arreglo, la lista de valores está limitado por corchetes [ ].
- El arreglo, al ser una lista ordenada de valores de varios tipos, desde booleanos, *strings*, números, etc., cada arreglo, estará separado por una coma.

El siguiente ejemplo muestra una lista de direcciones IPv4. En él, la clave es “*addresses*”. El arreglo es el conjunto de direcciones IPv4 limitado entre [ ], mientras cada objeto dentro del *array* es el par de clave:valor compuesto por la dirección IP y su máscara de subred (*subnet mask*) limitados entre llaves { } y separados por una coma al ser varios objetos dentro del mismo valor.



**Figura A - 3 Ejemplo de Formato JSON**  
Basado de (Cisco Netacad, 2020)

### Formato YAML

Junto con JSON, YAML es otro tipo de formato de datos considerado de fácil lectura que permite interactuar con aplicaciones para almacenar, transferir y leer datos.

#### Reglas de Sintaxis para YAML

Entre las características principales de YAML están:

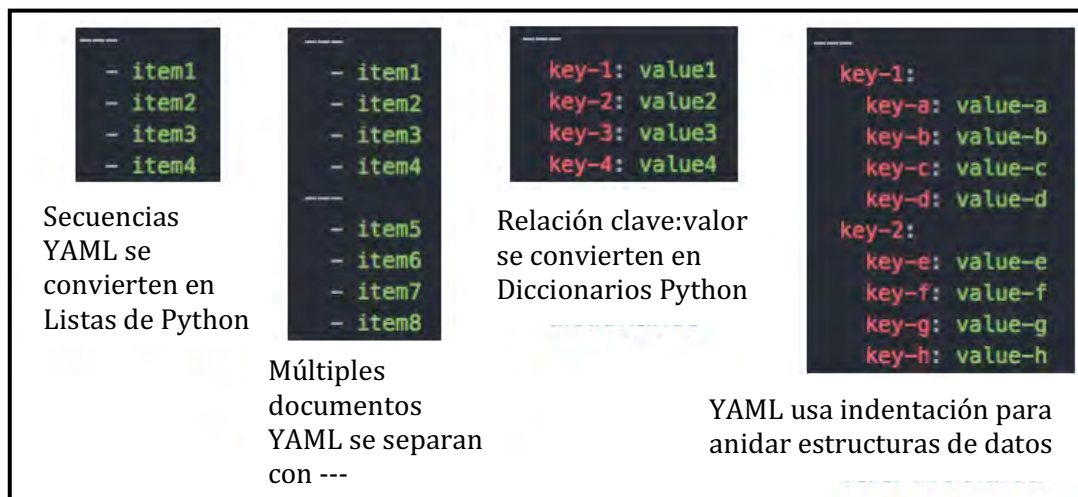
- Es un tipo de *superset* de JSON.
- Tiene un formato más simple y con menos limitadores de objetos que JSON, haciéndolo más fácil de leer y escribir en un *script*.
- Emplea indentación y espaciado para establecer la pertenencia a un objeto o a un *array* sin la necesidad de utilizar corchetes o comas.

Con el fin de entender de mejor manera a YAML, se comparará un resultado con información de direccionamiento IPv4 para una interfaz *GigabitEthernet2* de un equipo con Cisco IOS-XE, tanto en JSON y su respectivo *output* con YAML:



**Figura A - 4 Comparación Formato JSON vs Formato YAML**  
 Recuperado de (Cisco Netacad, 2020)

La *Figura A - 4 Comparación Formato JSON vs Formato YAML* permite verificar que, en efecto, YAML es más fácil de leer, si bien mantiene una similitud con JSON, su sintaxis es más simple.



**Figura A - 5 Explicación de Formato YAML**  
 Recuperado de (Citakovic, 2019)

Un objeto en YAML es un par de clave:valor. Un guion es usado para separar un elemento del *array* o lista de objetos en YAML.

### Formato XML

XML es el tercer formato de datos más usado para *NetDevOps*, sin embargo, en los últimos años, su uso ha ido decreciendo, quizá debido a la simplicidad que muestran tanto JSON como YAML.

#### Reglas de Sintaxis para XML

Entre las características principales de XML están:

- Es un tipo de formato de dato muy similar a HTML, tanto en reglas como en sintaxis.
- Es considerado auto-descriptivo, ya que delimita los datos dentro de *tags*:  
**<tag>dato</tag>**
- A diferencia de HTML, XML no usa tags predefinidos o estructura documental.

Un objeto en XML son el par clave/valor, siendo el nombre del tag, el nombre de la clave:

**<clave>valor</clave>**

Manteniendo el mismo ejemplo de la interfaz *GigabitEthernet2*, veremos un *script* con XML.

Cabe decir que la indentación o espaciado no es estrictamente necesario en XML, pero se puede usar para leer de mejor manera el *script*.

#### Formato YAML

```
ietf-interfaces:interface:
  name: GigabitEthernet2
  description: Wide Area Network
  enabled: true
  ietf-ip:ipv4:
    address:
      - ip: 172.16.0.2
        netmask: 255.255.255.0
      - ip: 172.16.0.3
        netmask: 255.255.255.0
      - ip: 172.16.0.4
        netmask: 255.255.255.0
```

#### Formato XML

```
<?xml version="1.0" encoding="UTF-8" ?>
<ietf-interfaces:interface>
  <name>GigabitEthernet2</name>
  <description>Wide Area Network</description>
  <enabled>true</enabled>
  <ietf-ip:ipv4>
    <address>
      <ip>172.16.0.2</ip>
      <netmask>255.255.255.0</netmask>
    </address>
    <address>
      <ip>172.16.0.3</ip>
      <netmask>255.255.255.0</netmask>
    </address>
    <address>
      <ip>172.16.0.4</ip>
      <netmask>255.255.255.0</netmask>
    </address>
  </ietf-ip:ipv4>
</ietf-interfaces:interface>
```

**Figura A – 6 Comparación Formato YAML vs Formato XML**  
Recuperado de (Cisco Netacad, 2020)

## Anexo B: Guía de Instalación GNS3-VM, EVE-ng y Mininet

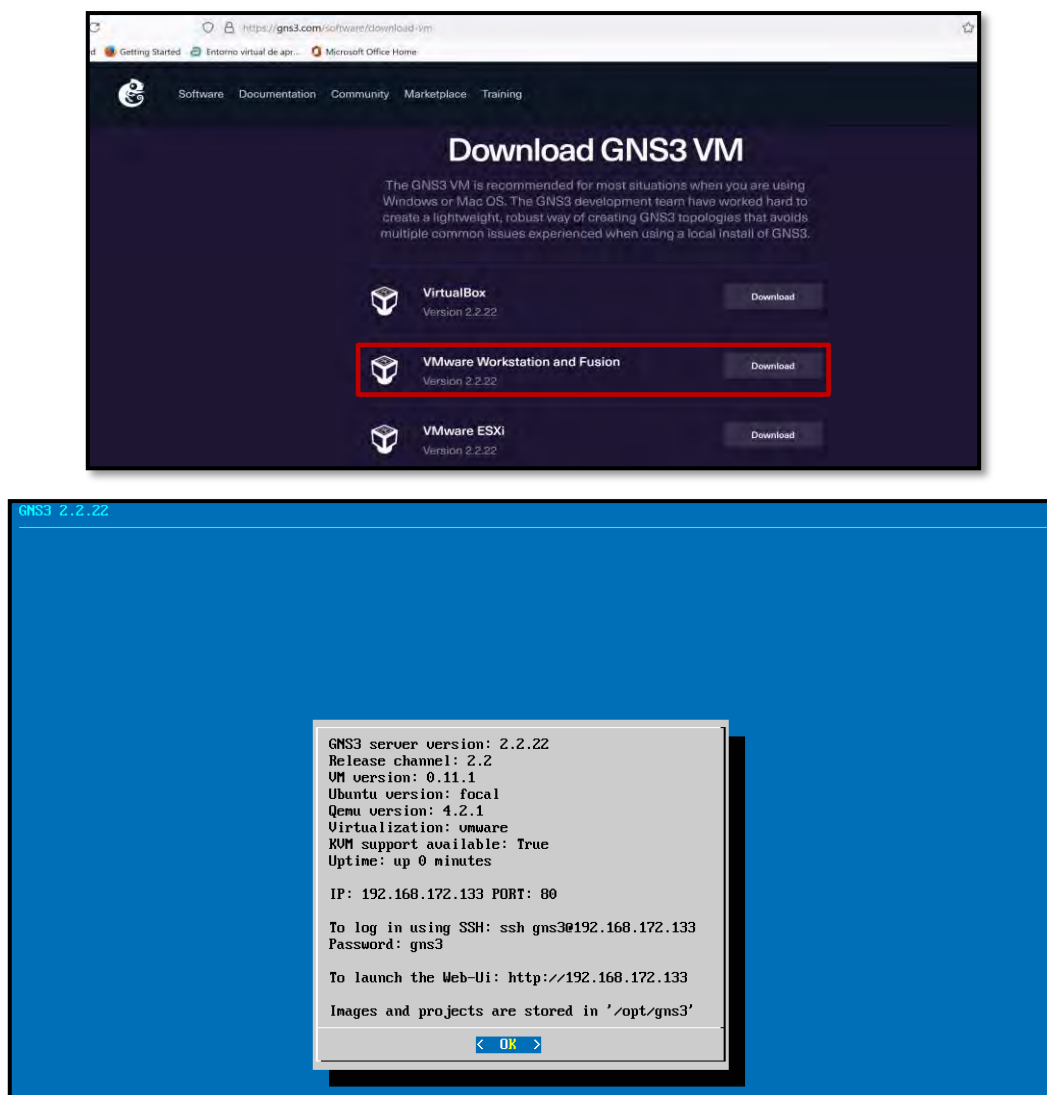
En este anexo se mostrará un paso a paso de la instalación del *software* utilizado en los diversos PoCs de la tesis doctoral. Cada uno tiene sus características particulares que los hacen ideales para entornos de pruebas de concepto.

### Instalación de GNS3-VM (WebUI)

GNS3 (*Graphical Network Simulator 3*), es un software de emulación de red, el cual nació en el 2008 gracias a Jeremy Grossman y a la evolución de *Dynamips*. Permite construir, diseñar y probar una red de datos, constituyéndose en un entorno ideal para pruebas de concepto.

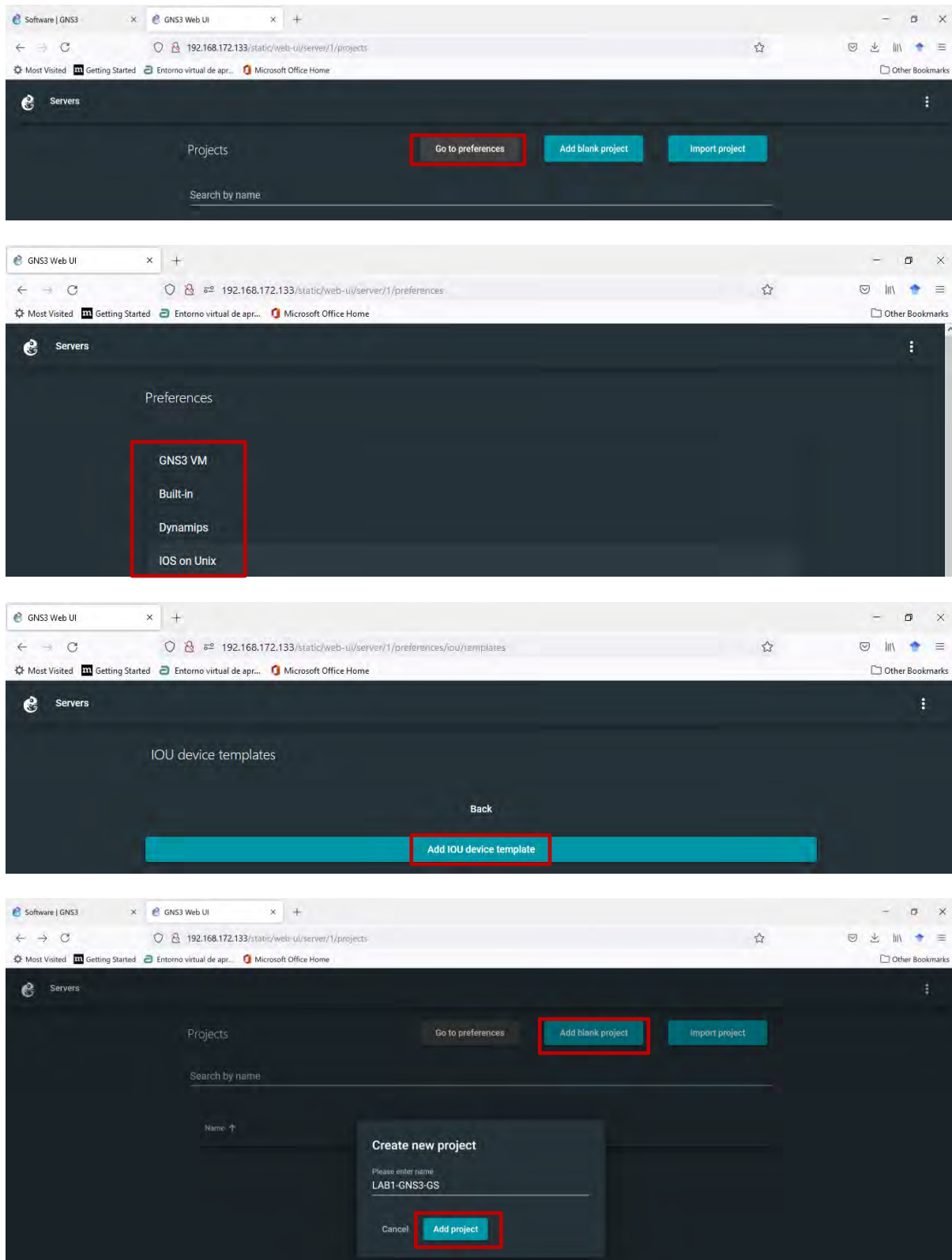
GNS3-VM ha evolucionado hacia un entorno basado en navegador en lugar de una aplicación, lo que lo hace más rápido y versátil, funcionando muy bien con un hipervisor de VMWare, debido a que tiene habilitado Intel VT-x/AMD-v.

El primer paso comienza en la descarga de la VM de la página oficial de GNS3 y su importación en *VMWare Workstation Player/Pro/Fusion*



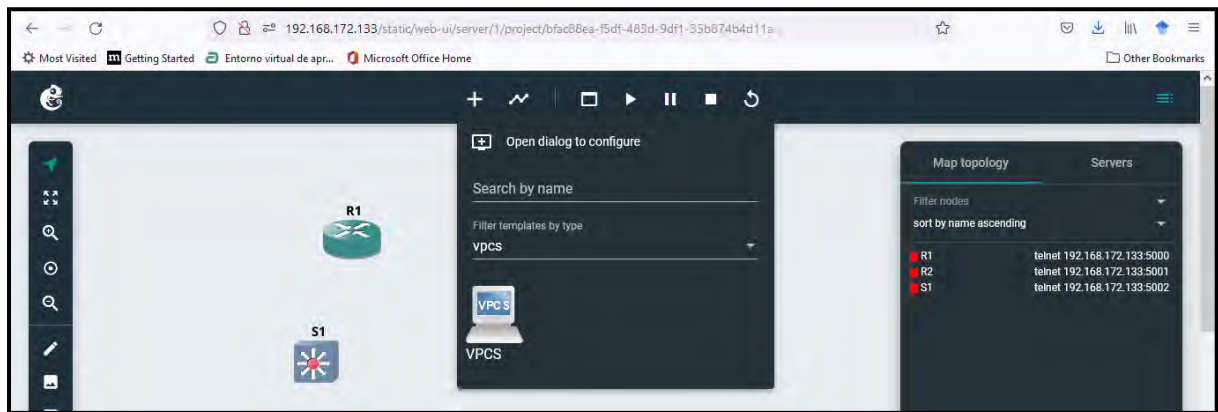
**Figura B - 1** Descarga, Importación y Arranque de GNS3-VM  
Fuente: Autor

El siguiente paso es abrir un navegador Web (de preferencia Mozilla Firefox) con la dir. IP de GNS3-VM como URL. Si la conexión es exitosa se muestra una GUI donde se carga las imágenes de los equipos a emular y se crean los proyectos de emulación (topologías).



**Figura B - 2 Carga de NOS a GNS3-VM y creación de nuevo proyecto**  
**Fuente: Autor**

Ya en la zona de trabajo, se podrá agregar los nodos para la emulación respectiva.



**Figura B - 3 Zona de trabajo de GNS3-VM (WEBUI)**  
Fuente: Autor

### Instalación de EVE-ng

EVE-ng (*Emulated Virtual Environment – Next Generation*), es un emulador similar a GNS3 en muchos aspectos, pero más flexible y con capacidad de emulación de más fabricantes de equipos de red y de nuevas tecnologías sin tanta complejidad o consumo de recursos.

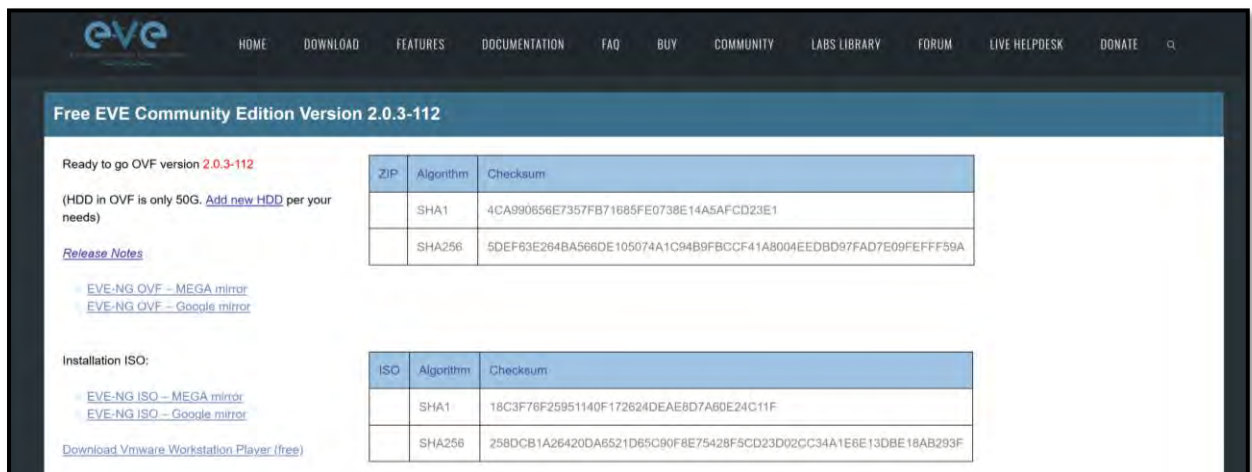
EVE-ng cuenta con dos versiones: *Community Edition (CE)* y *PRO/Learning Center*.

Para instalarlas, debe ingresar a: <https://www.eve-ng.net/index.php/download/>

Para el caso de los PoCs, se usará la versión CE: <https://www.eve-ng.net/index.php/community/>

A la fecha de la realización de la presente tesis, EVE-ng v2.0.3-112 (11 de enero del 2021) es la más actual.

Descargue el ISO si se desea personalizar la configuración de la VM de EVE-ng o el archivo OVF si se desea utilizar las características que viene por defecto. La forma más sencilla es mediante OVF:



**Figura B - 4 Descarga VM de EVE-ng.**  
Fuente: Autor

Al correr la VM, se podrá ingresar a su configuración, tanto por CLI (SSH), como por su GUI (mediante navegador WEB).



```
Eve-NG (default root password is 'eve')
Use http://192.168.100.22/

eve-ng login: root
Password:
Welcome to Ubuntu 16.04.7 LTS (GNU/Linux 4.20.17-eve-ng-ukms+ x86_64)

* Documentation: https://help.ubuntu.com
* Management:   https://landscape.canonical.com
* Support:      https://ubuntu.com/advantage

The programs included with the Ubuntu system are free software;
the exact distribution terms for each program are described in the
individual files in /usr/share/doc/*/copyright.

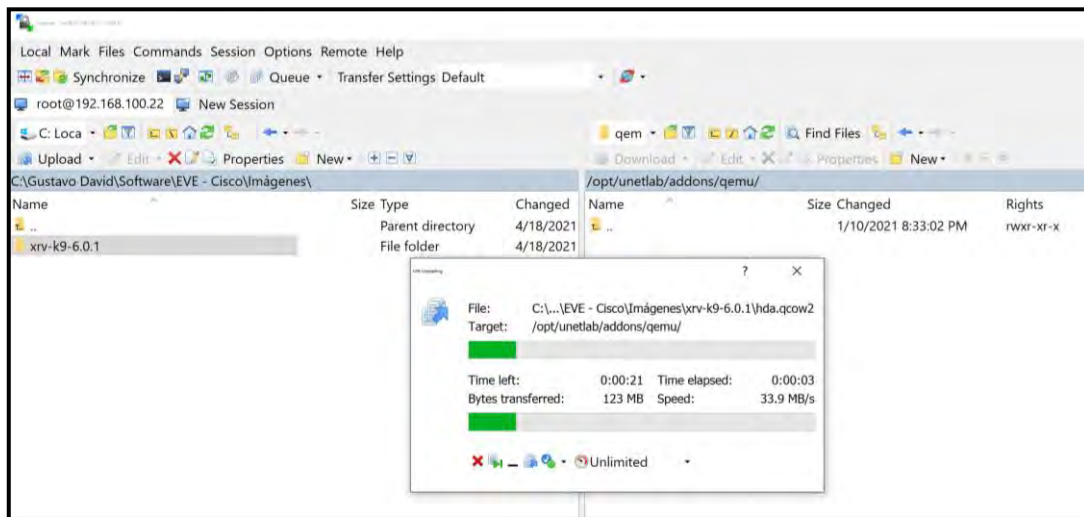
Ubuntu comes with ABSOLUTELY NO WARRANTY, to the extent permitted by
applicable law.

root@eve-ng:~#
root@eve-ng:~# _
```



**Figura B - 5 Acceso a EVE-ng.**  
**Fuente: Autor**

De la misma manera que en GNS3, al tener corriendo la VM, es necesario cargar los NOS a emular, pero en esta ocasión se realiza mediante un programa que establece una conexión SSH para luego compartir archivos con la VM de EVE-ng. En *Windows*, el *software* ideal es WinSCP.

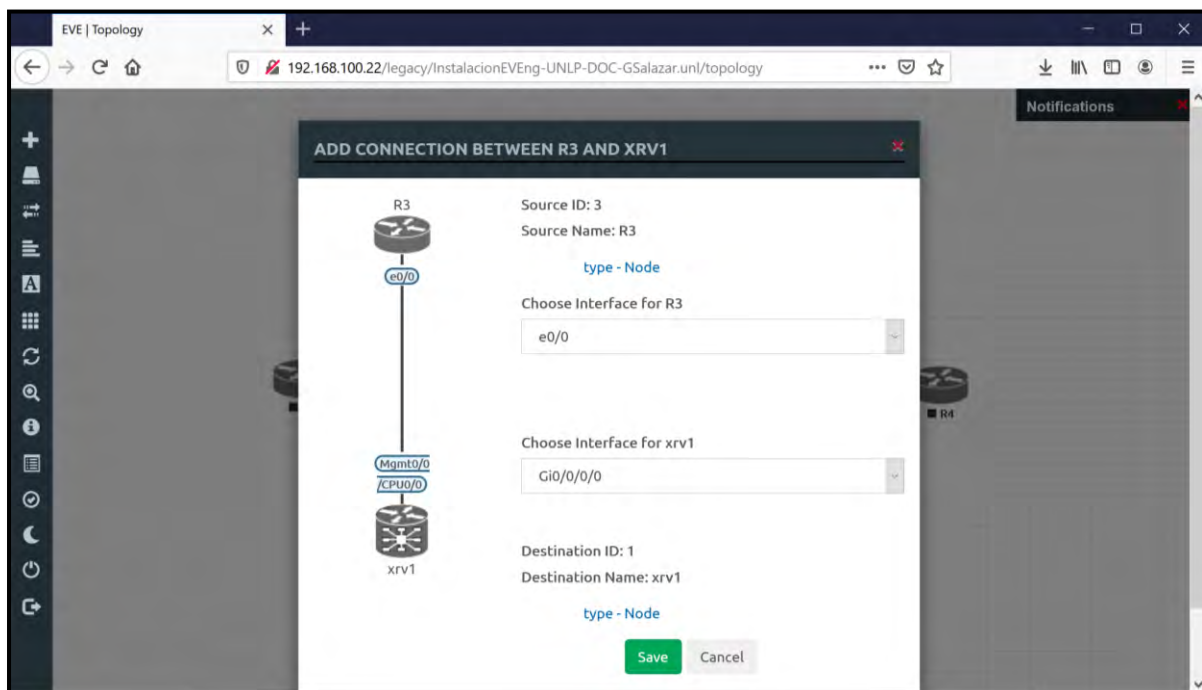


**Figura B – 6 Envío de NOS a EVE-ng mediante WinSCP.**  
*Fuente: Autor*

Una vez están cargados los NOS a la VM, en EVE-ng, se debe otorgar permisos de ejecución con el siguiente comando:

**`/opt/unetlab/wrappers/unl_wrapper -a fixpermissions`**

A partir de ese momento, se puede crear un nuevo proyecto para empezar la emulación.



**Figura B – 7 Ubicación de equipos y conexiones en Eve-ng**  
*Fuente: Autor*

## Instalación de Mininet

Mininet es un programa gratuito de emulación de redes de datos enfocado al análisis de paquetes y tráfico que circulan por una infraestructura. Permite emular desde usuarios finales, *routers*, *switches* y los enlaces que los conectan en un único Kernel Linux mediante una virtualización ligera para compartir recursos, lo que le otorga rapidez, optimización y adaptabilidad de creación de diversos escenarios.

Cabe recalcar que Mininet emula al 100% el comportamiento de un dispositivo de red, sólo que, en lugar de ser creados en *hardware*, son creados en *software*.

Mininet comprueba el comportamiento de redes basados en controlador como SDN.

Para la descarga de este emulador se ingresa a [www.mininet.org](http://www.mininet.org). Una vez descargada, se importa a un hipervisor, para el caso de los PoCs se emplea *VMWare Workstation Pro*. Al arrancar, se podrá acceder a su CLI.

```
mininet@192.168.85.149's password:
Welcome to Ubuntu 16.04.6 LTS (GNU/Linux 4.4.0-142-generic i686)

 * Documentation:  https://help.ubuntu.com
 * Management:    https://landscape.canonical.com
 * Support:       https://ubuntu.com/advantage
New release '18.04.5 LTS' available.
Run 'do-release-upgrade' to upgrade to it.

Last login: Sat May  1 15:52:33 2021
mininet@mininet-vm:~$
mininet@mininet-vm:~$
mininet@mininet-vm:~$
```

**Figura B – 8 Descarga, Arranque e ingreso a CLI de Mininet**  
Fuente: Autor

Mininet cuenta con un controlador interno, pero se puede tener un controlador SDN externo como ODL, ONOS, RYU, tal como se comprobó en el PoC de integración de redes SDN con redes tradicionales y así contar con visibilidad, manejabilidad y las ventajas de un entorno controlado centralizadamente bajo un contexto *OpenSDN*.

Es factible también personalizar las infraestructuras a través de códigos escritos en *Python* tal como se puede apreciar en el blog de este enlace: <https://zhuanlan.zhihu.com/p/141942411>

Se debe mencionar que se puede instalar Mininet desde una CLI clonando el proyecto de GitHub:

**`git clone git://github.com/mininet/mininet`**

## Anexo C: NETCONF en la Práctica

NETCONF es uno de los protocolos de administración y gestión que más relevancia tiene en la última ola de innovación en cuanto a *networking* se refiere, es por ello que en este Anexo se plantea una prueba de concepto práctico del uso de NETCONF para obtener datos de un equipo Cisco con Sistema Operativo IOS-XE (*CSR1000v-17.02.01-Amsterdam*), así como una configuración sencilla de este entorno.

Lo primero, es tener acceso a Internet tanto del Servidor Ubuntu (donde correrá NETCONF) como del *router*, para ello se utiliza un *Cloud* de GNS3-VM, ruta por defecto al *cloud* y PAT en *CSR1000v*.

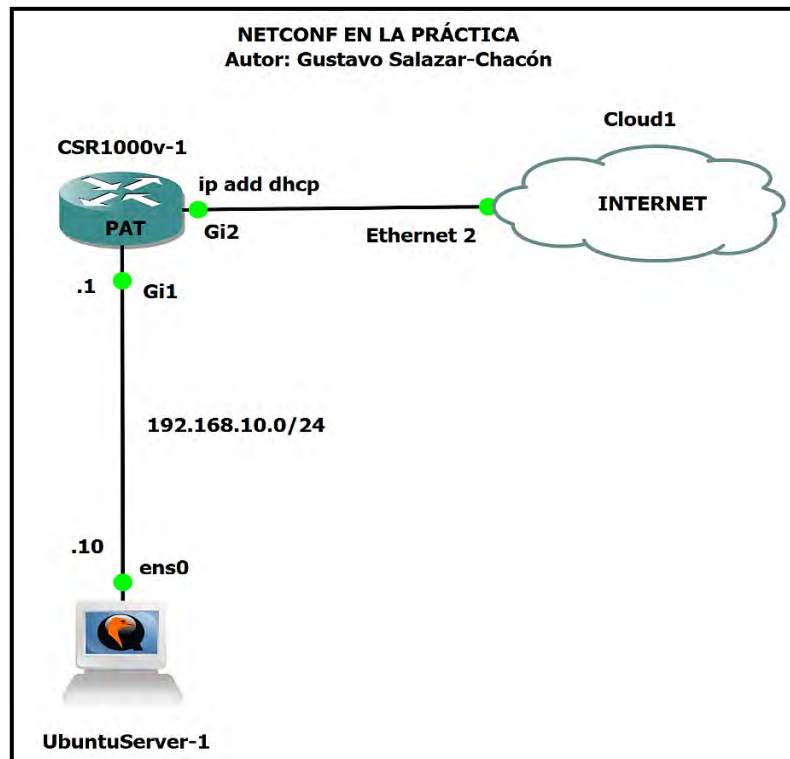


Figura C - 1 Infraestructura para Prueba de Concepto NETCONF (con salida a Internet)  
Fuente: Autor

### Comprobación de Acceso a Internet por parte de los dispositivos

#### Direccionamiento IP Router CSR1000V

```
CSR1KV_GSALAZAR1(config)#do show ip int brief | e ass
Interface          IP-Address      OK? Method Status      Protocol
GigabitEthernet1  192.168.10.1   YES NVRAM  up          up
GigabitEthernet2  192.168.1.113 YES DHCP    up          up
```

```
CSR1KV_GSALAZAR1(config)#do ping www.google.com
Type escape sequence to abort.
Sending 5, 100-byte ICMP Echos to 142.250.78.36, timeout is 2 seconds:
!!!!
Success rate is 100 percent (5/5), round-trip min/avg/max = 17/18/20 ms
CSR1KV_GSALAZAR1(config)#
```

Figura C - 2 Direccionamiento Ipv4 y Conexión a Internet - CSR1000v  
Fuente: Autor

## Direccionamiento IP Servidor Ubuntu

```
gns3@gns3:~$ ip address
1: lo: <LOOPBACK,UP,LOWER_UP> mtu 65536 qdisc noqueue state UNKNOWN group default qlen 1000
    link/loopback 00:00:00:00:00:00 brd 00:00:00:00:00:00
    inet 127.0.0.1/8 scope host lo
        valid_lft forever preferred_lft forever
    inet6 ::1/128 scope host
        valid_lft forever preferred_lft forever
2: ens3: <BROADCAST,MULTICAST,UP,LOWER_UP> mtu 1500 qdisc fq_codel state UP group default qlen 1000
    link/ether 0c:ca:16:2b:a0:00 brd ff:ff:ff:ff:ff:ff
    inet 192.168.10.10/24 brd 192.168.10.255 scope global noprefixroute ens3
        valid_lft forever preferred_lft forever
    inet6 fe80::2016:94c5:7365:bd5f/64 scope link noprefixroute
        valid_lft forever preferred_lft forever
```

```
gns3@gns3:~$ ping www.google.com
PING www.google.com (142.250.78.36) 56(84) bytes of data.
64 bytes from bog02s15-in-f4.1e100.net (142.250.78.36): icmp_seq=1 ttl=117 time=17.8 ms
64 bytes from bog02s15-in-f4.1e100.net (142.250.78.36): icmp_seq=2 ttl=117 time=18.1 ms
64 bytes from bog02s15-in-f4.1e100.net (142.250.78.36): icmp_seq=3 ttl=117 time=20.1 ms
64 bytes from bog02s15-in-f4.1e100.net (142.250.78.36): icmp_seq=4 ttl=117 time=17.2 ms
64 bytes from bog02s15-in-f4.1e100.net (142.250.78.36): icmp_seq=5 ttl=117 time=18.9 ms
^C
--- www.google.com ping statistics ---
5 packets transmitted, 5 received, 0% packet loss, time 4007ms
rtt min/avg/max/mdev = 17.265/18.465/20.141/0.991 ms
gns3@gns3:~$ █
```

**Figura C – 3 Direccionamiento Ipv4 y Conexión a Internet – Servidor Ubuntu (Cliente NETCONF)**  
Fuente: Autor

Cabe decir, que tanto en el *router* como en el servidor se usó como *DNS-Server* a Cisco Umbrella (Cisco Systems - Cisco Umbrella) a través de las Dir. IPs: 208.67.222.222 / 208.67.220.220 por motivos de seguridad.

### Establecimiento del Canal de comunicación NETCONF entre Servidor Ubuntu (Cliente NETCONF) y equipo de red (Router CSR1000v)

Con el fin de generar el canal de comunicación, es necesario establecer un programa en *Python* que permitirá obtener y configurar el equipo de red desde un cliente NETCONF.

- Habilitar credenciales de acceso (por motivos del PoC son simples) y NETCONF en CSR1000v

```
CSR1KV_GSALAZAR1(config)#
CSR1KV_GSALAZAR1(config)#username UNLP-GUS privilege 15 secret PHD-THESIS
CSR1KV_GSALAZAR1(config)#
CSR1KV_GSALAZAR1(config)#netconf-yang
CSR1KV_GSALAZAR1(config)#
CSR1KV_GSALAZAR1(config)#
*Dec 13 19:00:39.534: %PSD_MOD-5-DMI_NOTIFY_NETCONF_START: R0/0: psd: PSD/DMI: netconf-yang server has been notified to start
CSR1KV_GSALAZAR1(config)#
CSR1KV_GSALAZAR1(config)#
*Dec 13 19:01:55.069: %NDBMAN-5-ACTIVE: R0/0: ndbmand: All data providers active.
*Dec 13 19:02:07.003: %DMI-5-NACM_INIT: R0/0: dmiauthd: NACM configuration has been set to its initial configuration.
*Dec 13 19:02:17.055: %DMI-5-SYNC_COMPLETE: R0/0: dmiauthd: The running configuration has been synchronized to the NETCONF running data store.
```

**Script 61 Credenciales de acceso y habilitación de NETCONF – CSR1000v**  
Fuente: Autor

- Instalar *Python* y PIP (herramienta para administrar bibliotecas y módulos en los programas escritos en Python) en el Servidor Ubuntu en caso de no tenerlo instalado

```
gns3@gns3:~$ python3 --version
Python 3.6.8
gns3@gns3:~$
gns3@gns3:~$ python3.8 --version
Python 3.8.6
```

```
gns3@gns3:~$ pip3 --version
pip 9.0.1 from /usr/lib/python3/dist-packages (python 3.6)
```

Figura C - 4 Confirmación de instalación de Python3 y PIP3

Fuente: Autor

- Instalar el Cliente NETCONF (*ncclient package*<sup>76</sup>)

```
gns3@gns3:~$ pip3 install ncclient
Collecting ncclient
  Downloading https://files.pythonhosted.org/packages/72/fd/ccae38393c22099229b68e8cdf061408b824e09ee207e2401c224398c5b0/ncclient-0.6.9.tar.gz (118kB)
    100% |#####| 122kB 882kB/s
Collecting lxml>=3.3.0 (from ncclient)
  Downloading https://files.pythonhosted.org/packages/bd/78/56a7c88a57d0d14945472535d0df9fb4bbad7d34ede658ec7961635c790e/lxml-4.6.2-cp36-cp36m-manylinux1_x86_64.whl (5.5MB)
    100% |#####| 5.5MB 83kB/s
Collecting paramiko>=1.15.0 (from ncclient)
  Downloading https://files.pythonhosted.org/packages/95/19/124e9287b43e6ff3ebb9cdea3e5e8e88475a873c05ccdf8b7e20d2c4201e/paramiko-2.7.2-py2.py3-none-any.whl (206kB)
    100% |#####| 215kB 127kB/s
```

Figura C - 5 Instalación de ncclient (Cliente NETCONF)

Fuente: Autor

- Crear un nuevo programa escrito en Python (**NETCONF-PoC-GSALAZAR.py**) teniendo como mánager a *ncclient* y usando un *template* Jinja2 junto con los parámetros de la sesión NETCONF

```
#Prueba de Concepto (PoC) de NETCONF
#Autor: Gustavo Salazar-Chacon

#Dependencias requeridas
from ncclient import manager
from jinja2 import Template

#Parametros Sesion NETCONF
m = manager.connect(host='192.168.10.1', port=830,
                    username='UNLP-GUS', password='PHD-THESIS',
                    device_params={'name': 'csr'})
```

Script 62 Definición de parámetros para la Sesión NETCONF

Fuente: Elaboración Propia

## Selección del modelo YANG para NETCONF y CSR1000v

Para enviar una configuración desde un Cliente hacia el equipo de red o quizá realizar tareas de telemetría (recibir datos e información a distancia sobre un equipo), se debe establecer la estructura de los datos a emplear en el intercambio de mensajes durante la sesión de NETCONF.

<sup>76</sup> Ncclient: <https://github.com/ncclient/ncclient>

Los modelos YANG se emplean en las estructuras de datos de NETCONF. De igual manera, el equipo CSR1000v con su IOS-XE soporta diferentes modelos de estructuras de datos, entre ellos, modelos *OpenConfig*<sup>77</sup>, *YANG IETF-Models (RFC 8343)*<sup>78</sup> y el formato *IOS-XE native YANG model*<sup>79</sup>

Para el caso del PoC del Anexo C, se usará el formato **IOS-XE native YANG Model** de la siguiente manera para obtener información de una interfaz, de forma similar para ejecutar el comando **#show running-config interface gig1**

```
#Filtro de informacion de Configuracion con IOS-XE Native YANG Model
interface_filter = '''
    <filter>
        <native xmlns="http://cisco.com/ns/yang/Cisco-IOS-XE-native">
            <interface>
                <GigabitEthernet>
                    <name>1</name>
                </GigabitEthernet>
            </interface>
        </native>
    </filter>
'''

#Ejecucion del programa para obtener informacion tipo Show runn int gig1
result = m.get_config('running', interface_filter)
print(result)
```

*Script 63 Estructura IOS-XE Native YANG Model para telemetría simple*  
Fuente: Autor

### Uso del *output* de la consulta como *Jinja2 Template* para configurar una interfaz de *CSR1000v*

Al correr el programa con el comando **python3 NETCONF-PoC-GSALAZAR.py**, se obtiene este resultado:

```
gns3@gns3:~$ python3 NETCONF-PoC-GSALAZAR.py
<?xml version="1.0" encoding="UTF-8"?>
<rpc-reply xmlns="urn:ietf:params:xml:ns:netconf:base:1.0" message-id="urn:uuid:bc6ed427-8267-419
1-9538-6232d6fa4130" xmlns:nc="urn:ietf:params:xml:ns:netconf:base:1.0"><data><native xmlns="http
://cisco.com/ns/yang/Cisco-IOS-XE-native"><interface><GigabitEthernet><name xmlns:nc='urn:ietf:pa
rams:xml:ns:netconf:base:1.0'>1</name><ip><address><primary><address>192.168.10.1</address><mask>
255.255.255.0</mask></primary></address><igmp xmlns="http://cisco.com/ns/yang/Cisco-IOS-XE-igmp">
<explicit-tracking>false</explicit-tracking><proxy-service>false</proxy-service><unidirectional-l
ink>false</unidirectional-link><v3lite>false</v3lite></igmp><nat xmlns="http://cisco.com/ns/yang/
Cisco-IOS-XE-nat"><inside/></nat></ip><mop><enabled>false</enabled><sysid>false</sysid></mop><neg
otiation xmlns="http://cisco.com/ns/yang/Cisco-IOS-XE-ethernet"><auto>true</auto></negotiation></
GigabitEthernet></interface></native></data></rpc-reply>
gns3@gns3:~$
```

*Script 64 Output del programa para telemetría simple – NETCONF*  
Fuente: Autor

<sup>77</sup> OpenConfig Models: <https://github.com/openconfig>

<sup>78</sup> IETF Models: <https://tools.ietf.org/html/rfc8343>

<sup>79</sup> IOS-XE YANG Models: <https://github.com/YangModels/yang/tree/master/vendor/cisco/xe>

Para entender de mejor manera el *output*, se lo abre con VS-CODE:

```
<?xml version="1.0" encoding="UTF-8"?>
<rpc-reply xmlns="urn:ietf:params:xml:ns:netconf:base:1.0" me
xmlns:nc="urn:ietf:params:xml:ns:netconf:base:1.0">
  <data>
    <native xmlns="http://cisco.com/ns/yang/Cisco-IOS-XE-nati
      <interface>
        <GigabitEthernet>
          <name xmlns:nc='urn:ietf:params:xml:ns:netconf:base
            <ip>
              <address>
                <primary>
                  <address>192.168.10.1</address>
                  <mask>255.255.255.0</mask>
                </primary>
              </address>
              <igmp xmlns="http://cisco.com/ns/yang/Cisco-IOS-X
                <explicit-tracking>false</explicit-tracking>
                <proxy-service>false</proxy-service>
                <unidirectional-link>false</unidirectional-link
                <v3lite>false</v3lite>
              </igmp>
              <nat xmlns="http://cisco.com/ns/yang/Cisco-IOS-XE
                <inside/>
              </nat>
            </ip>
            <mop>
              <enabled>false</enabled>
              <sysid>false</sysid>
            </mop>
            <negotiation xmlns="http://cisco.com/ns/yang/Cisco-
              <auto>true</auto>
            </negotiation>
          </GigabitEthernet>
```

*Script 65 Output del programa para telemetría simple en VS CODE – NETCONF*  
Fuente: Autor

El *Output* del *script* en VS-CODE servirá como un *Jinja2 Template* para configurar mediante NETCONF otra interfaz del *router CSR1000v*. Lo que se requiere, es copiar dicho *output* en otro archivo con extensión XML (**CONFIGNETCONF-PoC-GSALAZAR.xml**) bajo el *tag* **<config>** y reemplazando la dir. IP y máscara de subred con variables Jinja dentro de llaves **{{}}**, similar a la siguiente configuración:

```
<config>
  <native xmlns="http://cisco.com/ns/yang/Cisco-IOS-XE-native">
    <interface>
      <GigabitEthernet>
        <name
xmlns:nc='urn:ietf:params:xml:ns:332ocker332:base:1.0'>{{
INTERFACE_INDEX }}</name>
        <ip>
          <address>
            <primary>
              <address>{{ IP_ADDRESS }}</address>
              <mask>{{ SUBNET_MASK }}</mask>
            </primary>
```

```
        </address>
    </ip>
    <mop>
        <enabled>>false</enabled>
        <sysid>>false</sysid>
    </mop>
    <negotiation xmlns="http://cisco.com/ns/yang/Cisco-IOS-XE-
ethernet">
        <auto>>true</auto>
    </negotiation>
</GigabitEthernet>
</interface>
</native>
</config>
```

**Script 66 Jinja2 Template de nombre CONFIGNETCONF-PoC-GSALAZAR.xml para Configuración de interfaz mediante NETCONF**  
Fuente: Autor

Finalmente, para comprobar la configuración mediante NETCONF, se definirán las variables antes de la corrida del *script* en el mismo archivo de Python, pero generando un nuevo *output*, ya no de telemetría, sino de cambio en el *running-config* del equipo *CSR1000v*:

```
GNU nano 2.9.3 NETCONF-PoC-GSALAZAR.py

#Ejecucion del programa para obtener informacion tipo Show runn int gig1
#result = m.get_config('running', interface_filter)
#print(result)

#Variables para el Jinja2 Template - Configuracion de Gig4
interface_template = Template(open('CONFIGNETCONF-PoC-GSALAZAR.xml').read())
interface_rendered = interface_template.render(
    INTERFACE_INDEX='4',
    IP_ADDRESS='172.16.100.100',
    SUBNET_MASK='255.255.255.240'
)

# Ejecutar la configuracion
result = m.edit_config(target='running', config=interface_rendered)
print(result)
```

**Script 67 Modificación del Archivo en Python para correr junto con Jinja2 Template - NETCONF**  
Fuente: Autor

El resultado de la ejecución del programa del *script* anterior es la configuración mediante programabilidad NETCONF de la interfaz Gig4 del *router*.

```
gns3@gns3:~$ python3 NETCONF-PoC-GSALAZAR.py
<?xml version="1.0" encoding="UTF-8"?>
<rpc-reply xmlns="urn:ietf:params:xml:ns:netconf:base:1.0" message-id="urn:uuid:7d99fcee-6567-4d8f-b938-c6dae28fa058" xmlns:nc="urn:ietf:params:xml:ns:netconf:base:1.0"><ok/></rpc-reply>
```

**Script 68 Ejecución exitosa (ok) del Archivo en Python - lectura de Jinja2 Template - NETCONF**  
Fuente: Autor

En el *router* se puede observar los logs de la autenticación del cliente NETCONF y la posterior configuración mediante programabilidad NETCONF:

```
*Dec 13 23:47:57.994: %DMI-5-AUTH_PASSED: R0/0: dmiauthd: User 'UNLP-GUS' authenticated successfully from 192.168.10.10:48208 and was authorized for netconf over ssh. External groups: PRIV15
*Dec 13 23:47:58.724: %SYS-5-CONFIG_P: Configured programmatically by process ios_p_vty_100001_dmi_syncfd_fd_179 from console as NETCONF on vty63
*Dec 13 23:47:58.726: %DMI-5-CONFIG_I: R0/0: dmiauthd: Configured from NETCONF/RESTCONF by UNLP-GUS, transaction-id 23
CSR1KV_GSALAZAR1>
CSR1KV_GSALAZAR1>ena
CSR1KV_GSALAZAR1#show ip int brief | e ass
Interface          IP-Address      OK? Method Status          Protocol
GigabitEthernet1  192.168.10.1   YES NVRAM  up              up
GigabitEthernet2  192.168.1.113  YES DHCP   up              up
GigabitEthernet4  172.16.100.100 YES other  administratively down down
```

**Figura C - 6 Comprobación de configuración programática mediante NETCONF en router CSR1000v**  
*Fuente: Autor*

Con este Anexo es posible comprobar la factibilidad de uso de NETCONF en la Era de la programabilidad, dando la posibilidad de realizar telemetría, monitoreo, adquisición de datos de equipos, así como la configuración de un equipo mediante estructura de datos tipo YANG.

Para más información sobre la configuración, filtraje, selección de modelos de datos YANG en equipos Cisco con IOS XE 16.X/17.X, puede ingresar al siguiente link:

**<https://www.cisco.com/c/en/us/support/docs/storage-networking/management/200933-YANG-NETCONF-Configuration-Validation.html>**

## Anexo D: Ansible para entornos *NetDevOps* en infraestructuras de Red

Ansible es sin duda una de las mejores y más conocidas herramientas empleadas en la Era de la Programabilidad y en entornos *NetDevOps* debido a su facilidad de uso y entorno sin agente.

Esta prueba de concepto (PoC), la cual ha sido publicada en (Salazar-Chacón, Naranjo, & Marrone, 2020), permite comprobar la factibilidad de Ansible en entornos *OpenNetworking* con Cumulus Linux, implementando de forma programática y automática un entorno **VXLAN** entre dos sedes que comparten el mismo segmento L2, a pesar de estar separados un entorno L3, quitando así los límites tradicionales de una VLAN.

La topología tipo *Spine-Leaf* (Aruba - A Hewlett Packard Enterprise Company, n.d.) emulada es la siguiente:

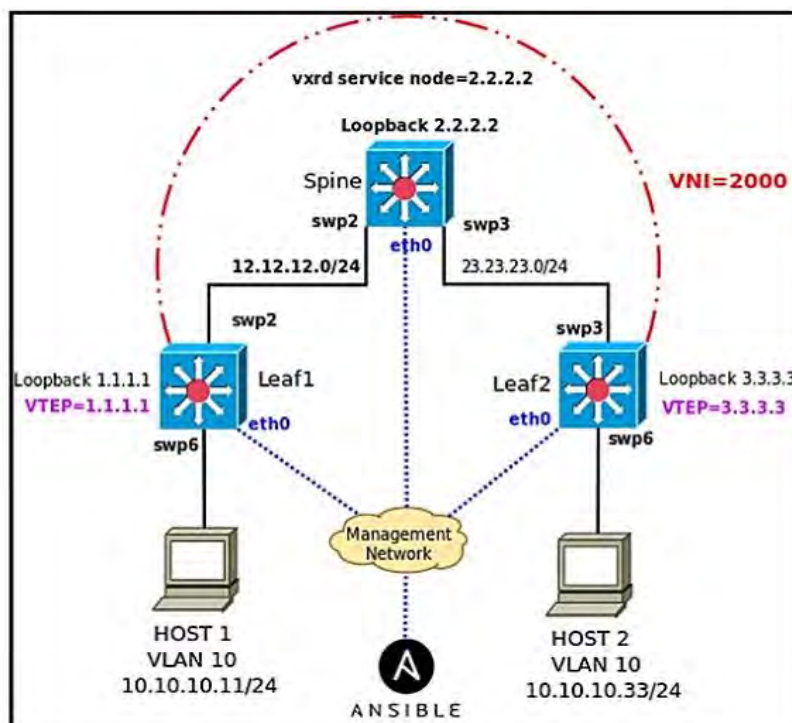


Figura D - 1 Topología para PoC de Ansible para configurar VXLAN en entornos Open Networking  
Recuperado de (Salazar-Chacón, Naranjo, & Marrone, 2020)

La infraestructura de la Figura D - 1 Topología para PoC de Ansible para configurar VXLAN en entornos Open Networking, se emula en la GNS3-VM junto con el *appliance* denominado *Network\_Automation* de GNS3 Marketplace creado por Julien Duponchelle como dispositivo que cuenta con Ansible y otras herramientas de automatización de redes como Netmiko, NAPALM, entre otros. Este *appliance* es un Docker de Linux que contiene esas herramientas.



Figura D - 2 Network Automation Appliance - GNS3-VM Marketplace  
Recuperado de (GNS3 Marketplace, 2017)

La topología emulada en GNS3-VM es la siguiente:

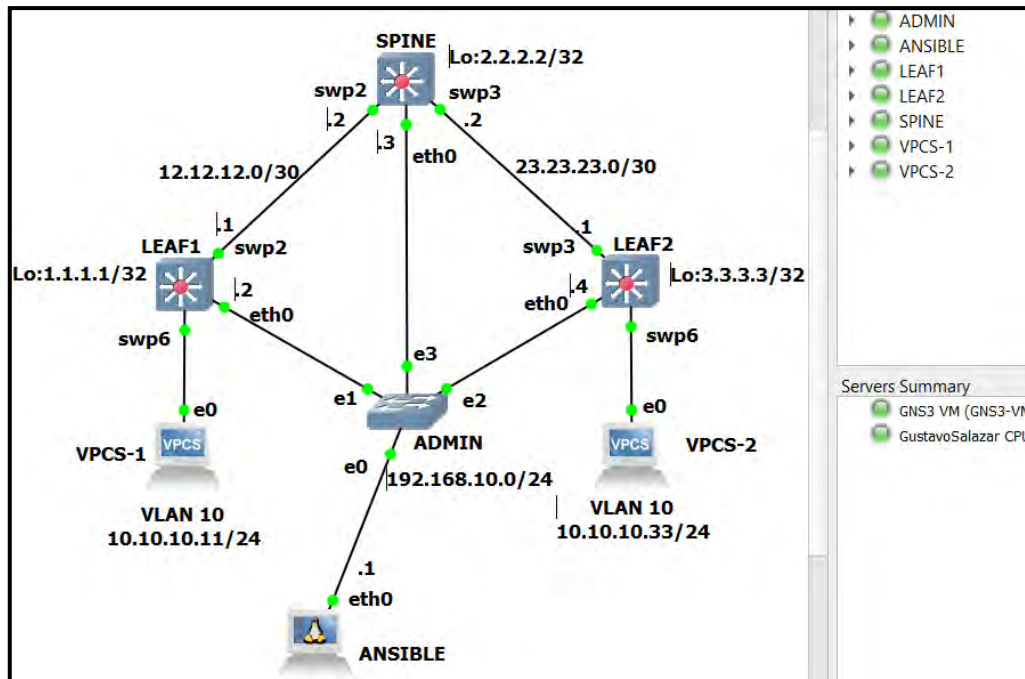


Figura D - 3 Topología emulada en GNS3-VM – Ansible para VXLAN en entornos OpenSource (Cumulus Linux) con Network Automation Docker

Fuente: Autor

### Direccionamiento IP de Red de Administración

La red de Administración, donde se encuentra el equipo con Ansible, así como las interfaces *ethx* de los Cumulus Linux, está bajo la Dir. IP 192.168.10.0/24.

Se ingresa a los tres *switches Cumulus Linux* y se configura sus interfaces **eth0** con la dirección IP de administración correspondiente.

Para LEAF1

```
cumulus@cumulus:/etc/network$ net add interface eth0 ip address 192.168.10.2/24
cumulus@cumulus:/etc/network$
cumulus@cumulus:/etc/network$ net commit
--- /etc/network/interfaces      2019-05-03 05:39:38.000000000 +0000
+++ /run/nclu/ifupdown2/interfaces.tmp 2019-09-03 05:03:39.789000000 +0000
```

Para SPINE

```
cumulus@cumulus:~$ net add interface eth0 ip address 192.168.10.3/24
cumulus@cumulus:~$
cumulus@cumulus:~$ net commit
--- /etc/network/interfaces      2019-05-03 05:39:38.000000000 +0000
+++ /run/nclu/ifupdown2/interfaces.tmp 2019-09-03 05:05:55.175000000 +0000
```

Para LEAF2

```
cumulus@cumulus:~$ net add interface eth0 ip address 192.168.10.4/24
cumulus@cumulus:~$
cumulus@cumulus:~$ net commit
--- /etc/network/interfaces      2019-05-03 05:39:38.000000000 +0000
+++ /run/nclu/ifupdown2/interfaces.tmp 2019-09-03 05:07:18.053000000 +0000
```

*Script 69 Configuración de Direcccionamiento Ipv4 en equipos Cumulus Linux (OpenNetworking)*  
*Fuente: Autor*

Se prueba la conectividad entre Ansible con Spine, Leaf1 y Leaf2:

```
root@ANSIBLE:~# ping 192.168.10.2
PING 192.168.10.2 (192.168.10.2) 56(84) bytes of data.
64 bytes from 192.168.10.2: icmp_seq=1 ttl=64 time=0.783 ms
64 bytes from 192.168.10.2: icmp_seq=2 ttl=64 time=0.474 ms
^C
--- 192.168.10.2 ping statistics ---
2 packets transmitted, 2 received, 0% packet loss, time 1001ms
rtt min/avg/max/mdev = 0.474/0.628/0.783/0.156 ms
root@ANSIBLE:~# ping 192.168.10.3
PING 192.168.10.3 (192.168.10.3) 56(84) bytes of data.
64 bytes from 192.168.10.3: icmp_seq=1 ttl=64 time=2.14 ms
64 bytes from 192.168.10.3: icmp_seq=2 ttl=64 time=0.376 ms
^C
--- 192.168.10.3 ping statistics ---
2 packets transmitted, 2 received, 0% packet loss, time 1000ms
rtt min/avg/max/mdev = 0.376/1.259/2.142/0.883 ms
root@ANSIBLE:~# ping 192.168.10.4
PING 192.168.10.4 (192.168.10.4) 56(84) bytes of data.
64 bytes from 192.168.10.4: icmp_seq=1 ttl=64 time=2.14 ms
64 bytes from 192.168.10.4: icmp_seq=2 ttl=64 time=0.335 ms
64 bytes from 192.168.10.4: icmp_seq=3 ttl=64 time=0.897 ms
^C
--- 192.168.10.4 ping statistics ---
3 packets transmitted, 3 received, 0% packet loss, time 1999ms
rtt min/avg/max/mdev = 0.335/1.126/2.147/0.757 ms
root@ANSIBLE:~#
```

*Figura D - 4 Prueba de conectividad entre Ansible, Spine y Leaf1-Leaf2*  
*Fuente: Autor*

### Llaves SSH en equipos Cumulus Linux

Una vez que se ha comprobado la conectividad en la red de administración, se debe generar **llaves SSH** en cada equipo de la red para la adecuada conexión entre Ansible y la red programable. Para este PoC, no se generará un passphrase.

```
cumulus@cumulus:~$ ssh-keygen
Generating public/private rsa key pair.
Enter file in which to save the key (/home/cumulus/.ssh/id_rsa):
Created directory '/home/cumulus/.ssh'.
Enter passphrase (empty for no passphrase):
Enter same passphrase again:
Your identification has been saved in /home/cumulus/.ssh/id_rsa.
Your public key has been saved in /home/cumulus/.ssh/id_rsa.pub.
The key fingerprint is:
74:84:7e:f8:61:21:b9:c8:e0:48:04:f6:a8:27:7d:7e cumulus@cumulus
The key's randomart image is:
+---[RSA 2048]-----+
|.+.      o.
|. + .   +..
|o + o o.+..
|... . o.+ +
|o o .   S+ .
|o o     .
|.      . E
|.      .
+-----+
cumulus@cumulus:~$
```

*Script 70 Generación de llaves SSH para conexión entre Ansible y equipos Cumulus Linux*  
*Fuente: Autor*

\*Realice este paso en los equipos Spine, Leaf1 y Leaf2, no en Ansible.

## Configuración de Ansible en *Network Automation Appliance*

Para configurar Ansible, se debe crear/editar tanto el archivo **hosts** como el *playbook*, que en este caso se llamará **vxlan.yml**

### Hosts File

En el dispositivo con Ansible (*Network Automation Docker*) se debe ingresar al *path* **/etc/ansible** y editar el archivo **hosts** mediante *nano* para que quede de la siguiente manera:

```
root@ANSIBLE:~# cd /etc/ansible/
root@ANSIBLE:/etc/ansible#
root@ANSIBLE:/etc/ansible# ls
ansible.cfg hosts roles
root@ANSIBLE:/etc/ansible#
root@ANSIBLE:/etc/ansible# nano hosts
```

*Figura D - 5 Creación del archivo host*  
Fuente: Autor

Una vez creado el archivo *Hosts*, es necesario configurarlo así:

```
[Spine]
192.168.10.3

[Leaf1]
192.168.10.2

[Leaf2]
192.168.10.4

[cumulus:children]
Spine
Leaf1
Leaf2

[cumulus:vars]
ansible_connection=ssh
ansible_ssh_pass=CumulusLinux!
ansible_user=cumulus
ansible_ssh_key_private_file=home/cumulus/.ssh/id_rsa
```

*Script 71 Configuración de Host File (Inventory File) - Ansible*  
Fuente: Autor

En el archivo *Hosts* se especifica el direccionamiento IPv4 de la red de Administración de los equipos a configurar mediante Ansible, así como el establecimiento de conexión SSH.

### **Llaves SSH en *NetAdmin Docker* (Ansible)**

Ansible, para enviar las configuraciones a cada equipo usa SSH como protocolo de transporte, por lo que, para facilitar el proceso de comunicación, se generaron llaves en cada Cumulus Linux (en el *Spine* y en los dos *Leaf*), pero Ansible debe tener dicha relación de llaves SSH de forma activa.

Para lograr ello, se debe incluir estos comandos, una sola vez, en Ansible:

```
root@ANSIBLE:~# ssh-keyscan -H 192.168.10.2 >> ~/.ssh/known_host
# 192.168.10.2:22 SSH-2.0-OpenSSH_6.7p1 Debian-5+deb8u8
# 192.168.10.2:22 SSH-2.0-OpenSSH_6.7p1 Debian-5+deb8u8
# 192.168.10.2:22 SSH-2.0-OpenSSH_6.7p1 Debian-5+deb8u8
root@ANSIBLE:~#
root@ANSIBLE:~# ssh-keyscan -H 192.168.10.3 >> ~/.ssh/known_host
# 192.168.10.3:22 SSH-2.0-OpenSSH_6.7p1 Debian-5+deb8u8
# 192.168.10.3:22 SSH-2.0-OpenSSH_6.7p1 Debian-5+deb8u8
# 192.168.10.3:22 SSH-2.0-OpenSSH_6.7p1 Debian-5+deb8u8
root@ANSIBLE:~#
root@ANSIBLE:~# ssh-keyscan -H 192.168.10.4 >> ~/.ssh/known_host
# 192.168.10.4:22 SSH-2.0-OpenSSH_6.7p1 Debian-5+deb8u8
# 192.168.10.4:22 SSH-2.0-OpenSSH_6.7p1 Debian-5+deb8u8
# 192.168.10.4:22 SSH-2.0-OpenSSH_6.7p1 Debian-5+deb8u8
```

*Script 72 Obtención de llaves SSH entre Ansible y dispositivos a configurar (Cumulus Linux)  
Fuente: Autor*

En caso que no se desee verificar la conexión SSH mediante las llaves, se puede editar el archivo **ansible.cfg** del *path /etc/ansible* mediante *nano* e incluir la siguiente línea de comando bajo [defaults]:

```
GNU nano 2.5.3 File: ansible.cfg
# config file for ansible -- https://ansible.com/
# =====
# nearly all parameters can be overridden in ansible-playbook
# or with command line flags. ansible will read ANSIBLE_CONFIG,
# ansible.cfg in the current working directory, .ansible.cfg in
# the home directory or /etc/ansible/ansible.cfg, whichever it
# finds first

[defaults]
host_key_checking=false
```

*Script 73 Edición del archivo ansible.cfg para evitar el chequeo de las llaves SSH  
Fuente: Autor*

Una vez guardado el archivo, ejecute el comando **ansible -m ping all** y visualice que la conexión sea exitosa hacia el SPINE (192.168.10.3) y los dos LEAF (192.168.10.2 y 192.168.10.4):

```
root@ANSIBLE:/etc/ansible# ansible -m ping all
192.168.10.2 | SUCCESS => {
  "changed": false,
  "ping": "pong"
}
192.168.10.3 | SUCCESS => {
  "changed": false,
  "ping": "pong"
}
192.168.10.4 | SUCCESS => {
  "changed": false,
  "ping": "pong"
}
root@ANSIBLE:/etc/ansible# █
```

*Figura D - 6 Prueba de conectividad desde Ansible a los equipos a configurar (Cumulus Linux)  
Fuente: Autor*

## Playbook VXLAN.yml

El *playbook* de Ansible permite definir las tareas a realizar de forma automatizada en cada equipo a ser configurado.

Para el caso del PoC, se creará un **archivo de extensión yml con nombre VXLAN** en el *path /etc/ansible*, ya que en él se definirán todas las configuraciones necesarias para tener VXLAN en la infraestructura.

### Configuración de VXLAN.yml (Playbook)

Un *playbook* enfocado a automatizar equipos con Cumulus Linux empieza con tres guiones (---). Se emplearán los comandos de NCLU (*Network Command Line Utility*) para las configuraciones pero sin **net**.

#### Tarea 1: Direccionamiento IPv4

```
GNU nano 2.5.3 File: VXLAN.yml
---
- hosts: Spine
  tasks:
    - name: Direccionamiento IP Spine
      nclu:
        commands:
          - add loopback lo ip address 2.2.2.2/32
          - add interface swp2 ip address 12.12.12.2/30
          - add interface swp3 ip address 23.23.23.2/30
          - commit

- hosts: Leaf1
  tasks:
    - name: Direccionamiento IP Leaf1
      nclu:
        commands:
          - add loopback lo ip address 1.1.1.1/32
          - add interface swp2 ip address 12.12.12.1/30
          - commit

- hosts: Leaf2
  tasks:
    - name: Direccionamiento IP Leaf2
      nclu:
        commands:
          - add loopback lo ip address 3.3.3.3/32
          - add interface swp3 ip address 23.23.23.1/30
          - commit
```

*Script 74 Direccionamiento IP de equipos Cumulus Linux (NCLU) mediante Ansible Playbook*  
*Fuente: Autor*

#### Tarea 2: Enrutamiento Underlay (OSPF de una sola área)

La siguiente tarea es la configuración de OSPF como protocolo de enrutamiento *Underlay* de VXLAN.

```
GNU nano 2.5.3 File: VXLAN.yml
- hosts: Spine
  tasks:
    - name: Configuracion OSPF Spine
      nclu:
        commands:
          - add ospf router-id 2.2.2.2
          - add loopback lo ospf area 0
          - add interface swp2 ospf area 0
          - add interface swp3 ospf area 0
          - add interface swp2 ospf network broadcast
          - add interface swp3 ospf network broadcast
          - commit
```

```

- hosts: Leaf1
  tasks:
    - name: Configuración OSPF Leaf1
      nclu:
        commands:
          - add ospf router-id 1.1.1.1
          - add loopback lo ospf area 0
          - add interface swp2 ospf area 0
          - add interface swp2 ospf network broadcast
          - commit

- hosts: Leaf2
  tasks:
    - name: Configuración OSPF Leaf2
      nclu:
        commands:
          - add loopback lo ospf area 0
          - add interface swp3 ospf area 0
          - add interface swp3 ospf network broadcast
          - add ospf router-id 3.3.3.3
          - commit

```

**Script 75 Configuración de OSPF en equipos Cumulus Linux (NCLU) mediante Ansible Playbook - Underlay**  
Fuente: Autor

## Configuración de VXLAN

### Tarea 3: SNV (Service Node Functionality de VXLAN) y VTEPs (Virtual Tunnel Endpoints).

VXLAN es una técnica *underlay-overlay* empleada en entornos de DCs modernos, pues permite extender el dominio L2 a través de una infraestructura L3 mediante túneles, cuyos extremos se denominan VTEPs, equipos que realizan el proceso de encapsulación y desencapsulación de VXLAN (*tunnel pairs*).

De igual manera, VXLAN elimina las limitaciones que tienen las VLANs en cuanto a capacidad de segmentación de la red, pues es posible generar más de 16 millones de segmentos L2.

```

GNU nano 2.5.3 File: VXLAN.yml Mo
- hosts: Spine
  tasks:
    - name: Configure Service Node functionality, junto con Anycast IP
      nclu:
        commands:
          - add lnv service-node source 2.2.2.2
          - add lnv service-node anycast-ip 2.2.2.2
          - commit

- hosts: Leaf1
  tasks:
    - name: Configure VTEP y Service Node IP en Leaf 1
      nclu:
        commands:
          - add loopback lo vxrd-src-ip 1.1.1.1
          - add loopback lo vxrd-svcnode-ip 2.2.2.2
          - commit

- hosts: Leaf2
  tasks:
    - name: Configure VTEP y Service Node IP en Leaf 2
      nclu:
        commands:
          - add loopback lo vxrd-src-ip 3.3.3.3
          - add loopback lo vxrd-svcnode-ip 2.2.2.2
          - commit

```

**Script 76 Configuración de VXLAN (SNV y VTEP) en el Playbook VXLAN.yml**  
Fuente: Autor

Un *Leaf* dentro de la terminología de VXLAN es el equipo encargado de conectar los servidores en un DC, mientras los SPINES son los encargados de la conexión *underlay* entre cada *Leaf*.

Para que exista una mejor coordinación en la creación de los túneles, existe lo que se conoce como *Service Node*, el cual es el equipo que permite que el *fabric* L3 funcione adecuadamente. En el caso de la topología, sería el SPINE con dirección Ipv4 2.2.2.2 en su interfaz *Loopback*.

Cabe decir que en este PoC se plantea una configuración mediante VXRD en lugar de EVPN para VXLAN.

#### Tarea 4: Creación de VLAN10 en los LEAVES

Con el fin de extender el dominio L2 sobre un *fabric* L3, más allá del túnel VXLAN, se crea una misma VLAN, para el caso del PoC, la VLAN10 bajo la red 10.10.10.0/24. Las interfaces de los *Leaves* que apuntan a los equipos finales, serán puertos de acceso asignados a esa VLAN.

```
- hosts: Leaf1
  tasks:
    - name: host VLAN configs
      nclu:
        commands:
          - add vlan 10 ip address 10.10.10.1/24
          - add interface swp6 bridge access 10
          - commit

- hosts: Leaf2
  tasks:
    - name: host VLAN configs
      nclu:
        commands:
          - add vlan 10 ip address 10.10.10.3/24
          - add interface swp6 bridge access 10
          - commit
```

**Script 77 Configuración de VXLAN (Asignación de VLANs en Leaf1 y Leaf2) en el Playbook VXLAN.yml**  
Fuente: Autor

#### Tarea 5: Mapeo de VXLAN con VLAN y VTEP (VNID 1010)

En los *Leaves* se deberá generar una correspondencia entre VLANs y VXLAN mediante su identificador denominado VNID o VXLAN-ID, que para el PoC es 1010.

De igual forma, se establece el origen y fin del túnel VXLAN (*local-tunnelip* y *remoteip*).

```
- hosts: Leaf1
  tasks:
    - name: VLAN-VxLAN Mapping
      nclu:
        commands:
          - add vxlan vni1010 vxlan id 1010
          - add vxlan vni1010 vxlan local-tunnelip 1.1.1.1
          - add vxlan vni1010 vxlan remoteip 3.3.3.3
          - add vxlan vni1010 bridge access 10
          - commit

- hosts: Leaf2
  tasks:
    - name: VLAN-VxLAN Mapping
      nclu:
        commands:
          - add vxlan vni1010 vxlan id 1010
          - add vxlan vni1010 bridge access 10
          - add vxlan vni1010 vxlan local-tunnelip 3.3.3.3
          - add vxlan vni1010 vxlan remoteip 1.1.1.1
          - commit
```

**Script 78 Configuración de VXLAN (Mapeo VLAN-ID a VNID) en el Playbook VXLAN.yml**  
Fuente: Autor

### Corrida (Play) de *Playbook* VXLAN.yml

Una de las ventajas de contar con Ansible, es su capacidad de monitoreo y observación de procesos.

Para correr todas las tareas configuradas en el *playbook* de Ansible, use el comando **ansible-playbook VXLAN.yml** (VXLAN.yml es el nombre dado en el PoC al *playbook*) dentro del path **/etc/ansible**.

Se verá el avance del proceso de configuración de cada tarea

```
root@ANSIBLE:/etc/ansible# ansible-playbook VXLAN.yml
PLAY [Spine] *****
TASK [Gathering Facts] *****
ok: [192.168.10.3]
TASK [Direccionamiento IP Spine] *****
ok: [192.168.10.3]
PLAY [Leaf1] *****
TASK [Gathering Facts] *****
ok: [192.168.10.2]
TASK [Direccionamiento IP Leaf1] *****
ok: [192.168.10.2]
PLAY [Leaf2] *****
TASK [Gathering Facts] *****
ok: [192.168.10.4]
```

**Figura D - 7** Corrida de Ansible *Playbook* para la configuración programática de VXLAN  
Fuente: Autor

Al finalizar debe ver el reporte como OK y sin errores en cada equipo:

```
PLAY RECAP *****
192.168.10.2      : ok=10   changed=0    unreachable=0    failed=0
192.168.10.3      : ok=6    changed=0    unreachable=0    failed=0
192.168.10.4      : ok=10   changed=0    unreachable=0    failed=0
root@ANSIBLE:/etc/ansible#
```

**Figura D - 8** Resumen del resultado de la corrida de Ansible *Playbook*  
Fuente: Autor

No se debe olvidar la activación de servicios para VXLAN y enrutamiento en SPINE, LEAF1 y LEAF2 (*Free Range Routing* o FRR y VXRD).

```
cumulus@cumulus:~$ sudo systemctl restart frr.service
[sudo] password for cumulus:
cumulus@cumulus:~$ sudo systemctl restart vxrd.service
```

**Figura D - 9** Activación de servicios FRR y VXRD en Cumulus Linux  
Fuente: Autor

Configuración de hosts (vPCs) y prueba de conectividad de extremo a extremo.

```

VPCS-1> ip 10.10.10.11/24
Checking for duplicate address...
PC1 : 10.10.10.11 255.255.255.0

VPCS-1> ping 10.10.10.33
84 bytes from 10.10.10.33 icmp_seq=1 ttl=64 time=2.779 ms
84 bytes from 10.10.10.33 icmp_seq=2 ttl=64 time=1.618 ms
84 bytes from 10.10.10.33 icmp_seq=3 ttl=64 time=2.561 ms
84 bytes from 10.10.10.33 icmp_seq=4 ttl=64 time=1.448 ms
84 bytes from 10.10.10.33 icmp_seq=5 ttl=64 time=1.725 ms

VPCS-2>
VPCS-2> ip 10.10.10.33/24
Checking for duplicate address...
PC1 : 10.10.10.33 255.255.255.0

VPCS-2> ping 10.10.10.11
84 bytes from 10.10.10.11 icmp_seq=1 ttl=64 time=2.620 ms
84 bytes from 10.10.10.11 icmp_seq=2 ttl=64 time=2.079 ms
84 bytes from 10.10.10.11 icmp_seq=3 ttl=64 time=2.946 ms
84 bytes from 10.10.10.11 icmp_seq=4 ttl=64 time=1.607 ms
84 bytes from 10.10.10.11 icmp_seq=5 ttl=64 time=1.570 ms
    
```

**Figura D – 10 Prueba de conectividad de extremo a extremo**

Fuente: Autor

Para verificar que los protocolos (OSPF y VXLAN) en SPINE y LEAF1 están funcionando bien respectivamente:

```

SPINE
cumulus@cumulus:~$
cumulus@cumulus:~$ net show route
show ip route
=====
Codes: K - kernel route, C - connected, S - static, R - RIP,
       O - OSPF, I - IS-IS, B - BGP, E - EIGRP, N - NHRP,
       T - Table, v - VNC, V - VNC-Direct, A - Babel, D - SHARP,
       F - PBR,
       > - selected route, * - FIB route

O>* 1.1.1.1/32 [110/100] via 12.12.12.1, swp2, 00:06:33
O  2.2.2.2/32 [110/0] is directly connected, lo, 00:08:48
C>* 2.2.2.2/32 is directly connected, lo, 00:08:50
O>* 3.3.3.3/32 [110/100] via 23.23.23.1, swp3, 00:05:28
O  12.12.12.0/30 [110/100] is directly connected, swp2, 00:06:45
C>* 12.12.12.0/30 is directly connected, swp2, 00:08:50
O  23.23.23.0/30 [110/100] is directly connected, swp3, 00:05:46
C>* 23.23.23.0/30 is directly connected, swp3, 00:08:50
C>* 192.168.10.0/24 is directly connected, eth0, 00:08:50
    
```

**Figura D – 11 Prueba de conectividad de extremo a extremo**

Fuente: Autor

Leaf1:

```

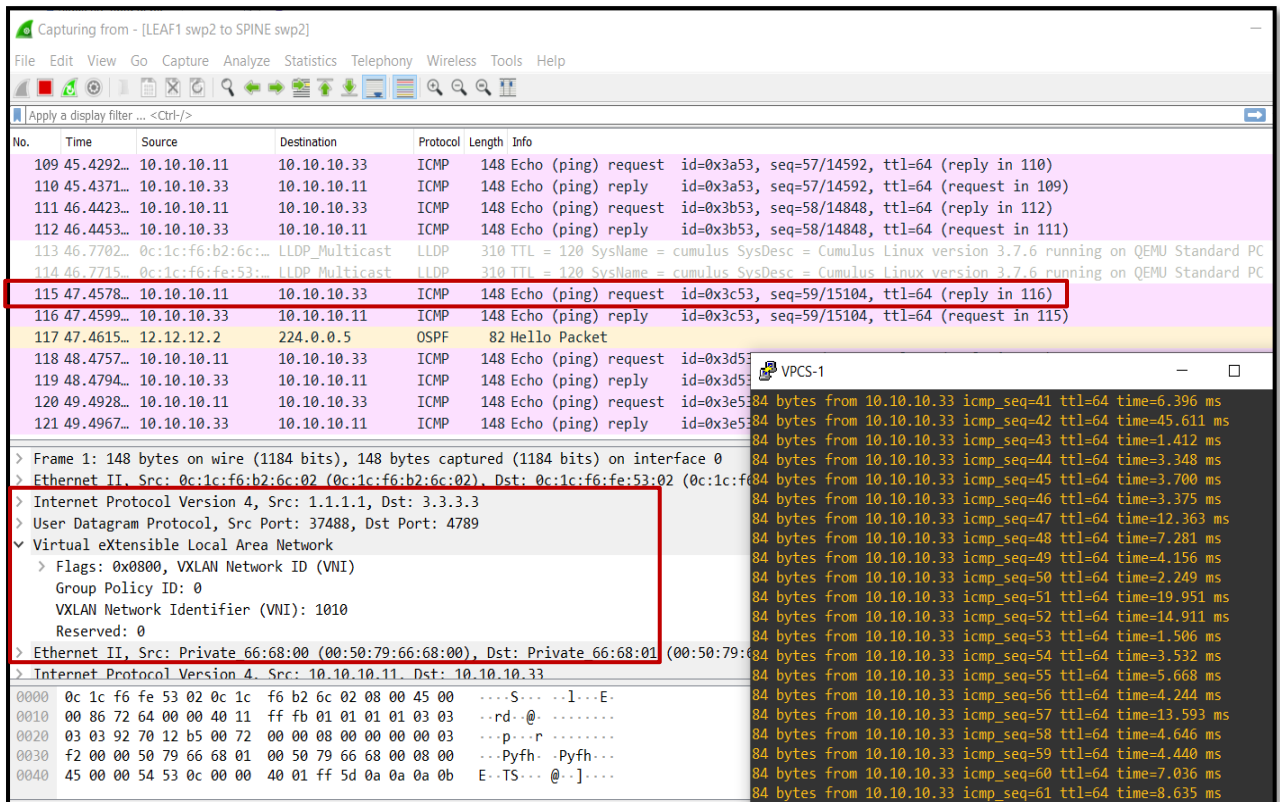
cumulus@cumulus:~$ net show bridge macs

VLAN      Master  Interface  MAC                    TunnelDest  State      Flags  LastSeen
-----  -
10        bridge  bridge     0c:1c:f6:b2:6c:06      permanent
10        bridge  swp6       00:50:79:66:68:00
10        bridge  vni1010    00:50:79:66:68:01
10        bridge  vni1010    0c:1c:f6:56:82:06      3.3.3.3    permanent self    00:04:32
untagged  vni1010    00:00:00:00:00:00      3.3.3.3    permanent self    00:08:13
untagged  vni1010    00:50:79:66:68:01      3.3.3.3    permanent self    00:04:33
untagged  vni1010    0c:1c:f6:56:82:06      3.3.3.3    permanent self    00:04:49
untagged  bridge  swp6       0c:1c:f6:b2:6c:06      permanent
untagged  bridge  vni1010    16:20:2f:22:b5:65      permanent
cumulus@cumulus:~$
    
```

**Figura D – 12 Aprendizaje de direccionamiento MAC mediante ARP de extremo a extremo (L2 sobre L3)**

Fuente: Autor

Finalmente, se realiza una captura con Wireshark mientras hay un ping extendido entre vPC1 y vPC2.



**Figura D – 13 Captura Wireshark: Encapsulación VXLAN (VNID-VLAN mapping)**  
Fuente: Autor

\*Nota: Al ser el *appliance Network Automation* de GNS3 un *Docker*, cada vez que se reinicie el emulador, pierde su contenido, por lo que es mejor guardar la configuración de los archivos de ANSIBLE en un bloc de notas adicional o hacerlo persistente.

Para complementar este estudio y análisis, el *paper* titulado “*VXLAN-IPSec Dual-Overlay as a Security Technique in Virtualized Datacenter Environments*” (Vaca & Salazar-Chacón, 2020), enfatiza en la parte tanto teórica como práctica de VXLAN, pero mediante un enfoque de dotar de mayor seguridad en los datos en tránsito de este tipo de tecnología *underlay-overlay* a través de IPSec.

## Anexo E: Pruebas de Concepto de Netmiko y Napalm – Telemetría

Con el fin de poner a prueba a Netmiko y Napalm como herramientas para programabilidad en Redes, se realizó dos PoC con equipos tradicionales Cisco (IOS) reales y así evidenciar la interacción entre el mundo de la automatización con las redes tal como las hemos conocido hasta el momento de escribir la presente tesis.

Son PoCs que ejemplifican el uso de este tipo de herramientas como librerías de *Python*, comprobando así su eficacia en entornos híbridos (Infraestructuras tradicionales con Programabilidad) pero enfocados en el camino hacia SDN e *Infrastructure-as-Code*.

### Envío de Comandos a través de Netmiko a una infraestructura tradicional

Tal como se conceptualizó en *Netmiko, NAPALM y Nornir: Herramientas tipo Python Library*, Netmiko es una herramienta basada en Paramiko que permite la conexión sencilla de un equipo “Central de configuraciones” a una infraestructura subyacente mediante SSH y así enviarle configuraciones de manera programática y automatizada.

Para este PoC, se utilizará tres de equipos Cisco tradicionales:

- Router Cisco 2851
- L3 Switch Cisco 3560
- L2 Switch Cisco 2950 para conexión entre la Central de Configuraciones y la infraestructura

El objetivo de este PoC es el de crear un *script* en Python empleando la librería de Netmiko y enviar comandos de forma programática, desde el *Configuration-Server* a los dos equipos tradicionales, para así crear interfaces *loopbacks* y presentar la tabla de interfaces y direccionamiento IP de cada equipo confirmado la creación de dichas interfaces en la Central de configuraciones.

La topología lógica es la siguiente:

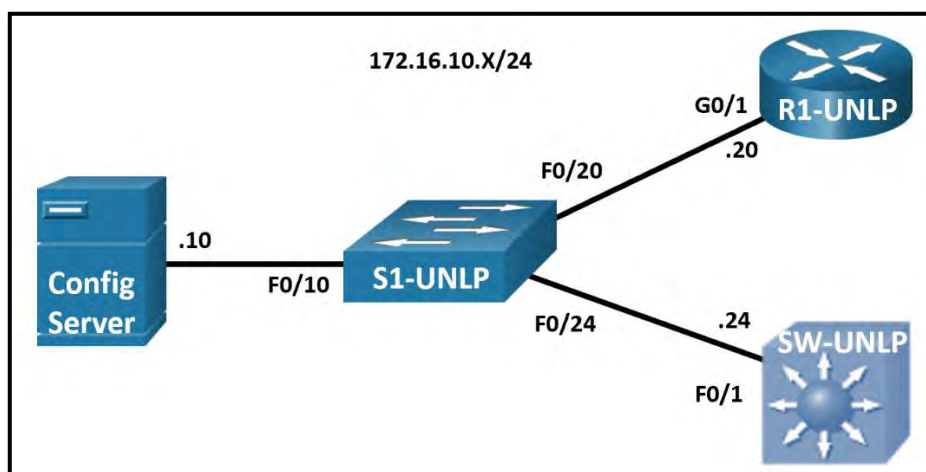
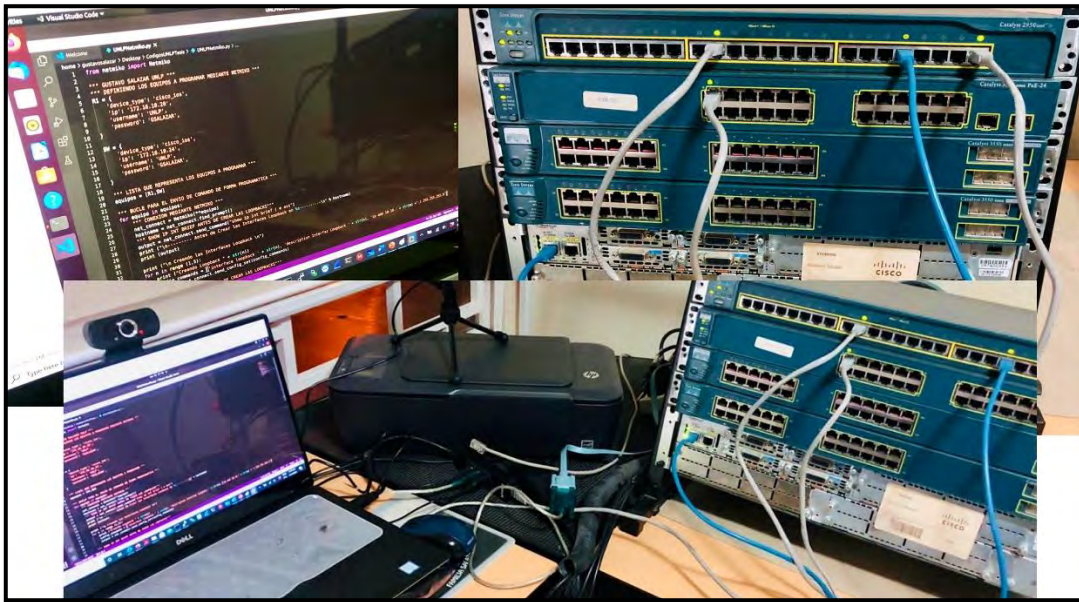


Figura E - 1 Topología Lógica PoC de Netmiko  
Fuente: Autor

La topología física es la siguiente:



**Figura E - 2 Topología Física PoC de Netmiko**  
Fuente: Autor

El primer paso es configurar las direcciones IP de los equipos con el fin de que tengan conexión entre ellos:

```
SW-UNLP(config)#ip routing
SW-UNLP(config)#int f0/1
SW-UNLP(config-if)#descrip SW->S1
SW-UNLP(config-if)#no switchport
SW-UNLP(config-if)#ip add 172.16.10.24 255.255.255.0
SW-UNLP(config-if)#no shut
```

```
R1-UNLP(config)#int g0/1
R1-UNLP(config-if)#descript R1->S1
R1-UNLP(config-if)#ip add 172.16.10.20 255.255.255.0
R1-UNLP(config-if)#no shut
```

**Script 79 Configuración IP de la Infraestructura para conectividad SSH con Config-Server (Netmiko)**  
Fuente: Autor

El *Config-Server* está montado en un equipo con Ubuntu 20.04 bajo la dirección IP 172.16.10.10/24, el cual tiene conexión con toda la infraestructura de red:

Wired				
Details	Identity	IPv4	IPv6	Security
Link speed	1000 Mb/s			
IPv4 Address	172.16.10.10			
IPv6 Address	fe80::69ab:afe9:bde3:342			
Hardware Address	00:0C:29:38:45:FB			
DNS				

```
gustavosalazar@ubuntu: ~/Desktop
gustavosalazar@ubuntu:~/Desktop$ ping 172.16.10.20
PING 172.16.10.20 (172.16.10.20) 56(84) bytes of data.
64 bytes from 172.16.10.20: icmp_seq=1 ttl=255 time=1.18 ms
64 bytes from 172.16.10.20: icmp_seq=2 ttl=255 time=1.33 ms
64 bytes from 172.16.10.20: icmp_seq=3 ttl=255 time=1.81 ms
64 bytes from 172.16.10.20: icmp_seq=4 ttl=255 time=1.56 ms
^C
--- 172.16.10.20 ping statistics ---
4 packets transmitted, 4 received, 0% packet loss, time 3005ms
rtt min/avg/max/mdev = 1.179/1.470/1.814/0.240 ms
gustavosalazar@ubuntu:~/Desktop$ ping 172.16.10.24
PING 172.16.10.24 (172.16.10.24) 56(84) bytes of data.
64 bytes from 172.16.10.24: icmp_seq=1 ttl=255 time=1.47 ms
64 bytes from 172.16.10.24: icmp_seq=2 ttl=255 time=1.54 ms
64 bytes from 172.16.10.24: icmp_seq=3 ttl=255 time=1.92 ms
64 bytes from 172.16.10.24: icmp_seq=4 ttl=255 time=2.39 ms
^C
--- 172.16.10.24 ping statistics ---
4 packets transmitted, 4 received, 0% packet loss, time 3007ms
rtt min/avg/max/mdev = 1.469/1.828/2.386/0.365 ms
```

**Figura E - 3 Configuración IP del Config-Server y prueba de conectividad**  
Fuente: Autor

El siguiente paso es la configuración de SSH en los equipos de red (R1-UNLP y SW-UNLP).

```
R1-UNLP(config)#ip domain-name unlp.edu.ec
R1-UNLP(config)#enable secret UNLP-GSALAZAR
R1-UNLP(config)#crypto key generate rsa
The name for the keys will be: R1-UNLP.unlp.edu.ec
Choose the size of the key modulus in the range of 360 to 2048 for your
  General Purpose Keys. Choosing a key modulus greater than 512 may take
  a few minutes.

How many bits in the modulus [512]: 1024
% Generating 1024 bit RSA keys, keys will be non-exportable...[OK]
```

```
R1-UNLP(config)#username UNLP pass GSALAZAR
R1-UNLP(config)#username UNLP privilege 15
R1-UNLP(config)#
R1-UNLP(config)#line vty 0 4
R1-UNLP(config-line)#transport input ssh
R1-UNLP(config-line)#login local
R1-UNLP(config-line)#
R1-UNLP(config-line)#exit
```

**Figura E - 4 Configuración SSH en R1-UNLP**  
Fuente: Autor

En el *Config-Server*, se debe instalar mediante pip3 Netmiko. Cabe decir que en Ubuntu 20.04 se tiene instalado Python 3.8.5 y se realizó previamente un *update (apt-get update)*.

```
gustavosalazar@ubuntu: ~/Desktop
gustavosalazar@ubuntu:~/Desktop$ pip3 install netmiko
Collecting netmiko
  Downloading netmiko-3.3.2-py2.py3-none-any.whl (165 kB)
    |-----| 165 kB 963 kB/s
Collecting tenacity
  Downloading tenacity-6.3.1-py2.py3-none-any.whl (36 kB)
Requirement already satisfied: setuptools>=38.4.0 in /usr/lib/python3/dist-packages (from netmiko) (45.2.0)
Collecting pyserial
  Downloading pyserial-3.5-py2.py3-none-any.whl (90 kB)
    |-----| 90 kB 1.1 MB/s
```

**Figura E - 5 Instalación de Netmiko mediante pip3 en Config-Server**  
Fuente: Autor

En *Visual Studio Code* o cualquier IDE de su elección, se escribe el siguiente *script* para cumplir el objetivo de crear interfaces Loopbacks (bajo el formato 10.10.X.1/24, donde X representa el número de la interfaz) y presentar la Tabla de direccionamiento IP de las interfaces en los equipos antes y después de correr el código.

```
1  from netmiko import Netmiko
2
3  """ GUSTAVO SALAZAR UNLP """
4  """ DEFINIENDO LOS EQUIPOS A PROGRAMAR MEDIANTE NETMIKO """
5  R1 = {
6      'device_type': 'cisco_ios',
7      'ip': '172.16.10.20',
8      'username': 'UNLP',
9      'password': 'GSALAZAR',
10 }
11
12 SW = {
13     'device_type': 'cisco_ios',
14     'ip': '172.16.10.24',
15     'username': 'UNLP',
16     'password': 'GSALAZAR',
17 }
18
19 """ LISTA QUE REPRESENTA LOS EQUIPOS A PROGRAMAR """
20 equipos = [R1,SW]
21
```

```
22 """ BUCLE PARA EL ENVIO DE COMANDO DE FORMA PROGRAMATICA """
23 for equipo in equipos:
24     """ CONEXION MEDIANTE NETMIKO """
25     net_connect = Netmiko(**equipo)
26     hostname = net_connect.find_prompt()
27     """ SHOW IP INT BRIEF ANTES DE CREAR LAS LOOPBACKS"""
28     output = net_connect.send_command("show ip int brief | e ass")
29     print ("\n----- Antes de Crear las Interfaces Loopback en %s-----\n" % hostname)
30     print (output)
31
32     print ("\n Creando las Interfaces Loopback \n")
33     for n in range (1,5):
34         print ("Creando Loopback " + str(n))
35         config_commands = ['interface loopback ' + str(n), 'description Interfaz Loopback ' + str(n),
36                             'ip add 10.10.' + str(n) + '.1 255.255.255.0']
37         output = net_connect.send_config_set(config_commands)
38
39     """ SHOW IP INT BRIEF ANTES DE CREAR LAS LOOPBACKS"""
40     print ("\n----- Resultado Despues de Crear las Interfaces Loopback en %s-----\n" % hostname)
41     output = net_connect.send_command("show ip int brief | e ass")
42     print (output)
43
44     """ DESCONEXION DE NETMIKO """
45
46     net_connect.disconnect()
```

**Script 80 Configuración de script (UNLPNetmiko.py) para envío de comandos a equipos Cisco IOS**

*Fuente: Autor*

El resultado de correr el *script* mediante el comando **python3 UNLPNetmiko.py** es:

```

gustavosalazar@ubuntu: ~/Desktop/CodigosUNLPTesis
gustavosalazar@ubuntu:~/Desktop/CodigosUNLPTesis$ python3 UNLPNetmiko.py
----- Antes de Crear las Interfaces Loopback en R1-UNLP#-----
Interface                IP-Address      OK? Method Status      Protocol
GigabitEthernet0/1      172.16.10.20   YES manual up          up

Creando las Interfaces Loopback

Creando Loopback 1
Creando Loopback 2
Creando Loopback 3
Creando Loopback 4

----- Resultado Despues de Crear las Interfaces Loopback en R1-UNLP#-----

Interface                IP-Address      OK? Method Status      Protocol
GigabitEthernet0/1      172.16.10.20   YES manual up          up
Loopback1                10.10.1.1      YES manual up          up
Loopback2                10.10.2.1      YES manual up          up
Loopback3                10.10.3.1      YES manual up          up
Loopback4                10.10.4.1      YES manual up          up

----- Antes de Crear las Interfaces Loopback en SW-UNLP#-----

Interface                IP-Address      OK? Method Status      Protocol
FastEthernet0/1         172.16.10.24   YES manual up          up

Creando las Interfaces Loopback

Creando Loopback 1
Creando Loopback 2
Creando Loopback 3
Creando Loopback 4

----- Resultado Despues de Crear las Interfaces Loopback en SW-UNLP#-----

Interface                IP-Address      OK? Method Status      Protocol
FastEthernet0/1         172.16.10.24   YES manual up          up
Loopback1                10.10.1.1      YES manual up          up
Loopback2                10.10.2.1      YES manual up          up
Loopback3                10.10.3.1      YES manual up          up
Loopback4                10.10.4.1      YES manual up          up
gustavosalazar@ubuntu:~/Desktop/CodigosUNLPTesis$

```

**Figura E - 6 Resultado de PoC Netmiko**  
Fuente: Autor

Resultado que se corrobora con el *output* de **show ip int brief** en SW-UNLP:

```

SW-UNLP#show ip int brief | e ass
Interface                IP-Address      OK? Method Status
FastEthernet0/1         172.16.10.24   YES manual up
Loopback1                10.10.1.1      YES manual up
Loopback2                10.10.2.1      YES manual up
Loopback3                10.10.3.1      YES manual up
Loopback4                10.10.4.1      YES manual up

```

**Figura E - 7 Corroboración de Resultado de PoC Netmiko**  
Fuente: Autor

## Uso de NAPALM para configurar un equipo desde un Archivo y generar procesos de Telemetría y comparación de cambios de configuración

NAPALM (*Network Automation and Programmability Abstraction Layer with Multivendor support*) es una librería de Python que implementa un conjunto de funciones para interactuar con equipos de red de diversas marcas a través de una API unificada a través de Netmiko

Para este PoC, se comprobará la factibilidad de uso de NAPALM para configurar el *router* Cisco 2851 usado en el PoC de Netmiko, pero a través de un archivo con los comandos de dicha configuración sencilla (activación de OSPF de área única y la creación de una interfaz Loopback adicional a las ya creadas en el PoC de Netmiko).

La topología y los equipos son los mismos del PoC de Netmiko (*Figura E - 1 Topología Lógica PoC de Netmiko*), pero solamente R1-UNLP será configurado mediante NAPALM.

Para tener claro el escenario, se debe tomar en cuenta estos datos de la infraestructura:

- Usuario SSH: UNLP / Contraseña SSH: GSALAZAR
- Dir. IP R1-UNLP: 172.16.10.20/24
- Dir. IP *Config-Server*: 172.16.10.10/24

El primer paso es la instalación de NAPALM en el *Config-Server* (equipo Ubuntu 20.04) luego de haber realizado un *update* a Ubuntu:

```
gustavosalazar@ubuntu:~/Desktop/CodigosUNLPTesis$ pip3 install napalm
Collecting napalm
  Downloading napalm-3.2.0-py2.py3-none-any.whl (230 kB)
    | 230 kB 807 kB/s
Requirement already satisfied: netmiko>=3.1.0 in /home/gustavosalazar/.local/lib/python3.8/site-packages (from napalm) (3.3.2)
```

**Figura E - 8 Instalación de NAPALM mediante pip3 en Config-Server**  
Fuente: Autor

Para probar que la conexión entre el equipo donde correrá el *script* en Python con NAPALM y el *router* R1-UNLP es correcto, se usó un código de (Álvarez, 2020) pero con las credenciales SSH del equipo, así como su dirección IP.

```
Welcome UNLPNetmiko.py CheckNAPALM.py X
home > gustavosalazar > Desktop > CodigosUNLPTesis > CheckNAPALM.py > main
1 import napalm
2
3 def main():
4
5     driver_ios = napalm.get_network_driver("ios")
6
7     ios_router = driver_ios(
8         hostname = "172.16.10.20",
9         username = "UNLP",
10        password = "GSALAZAR"
11    )
12
13    print("Connecting to IOS Router...")
14    ios_router.open()
15    print("Checking IOS Router Connection Status:")
16    print(ios_router.is_alive())
17
18    ios_router.close()
19    print("Test Completed")
20
21 if __name__ == "__main__":
22    main()
```

**Script 81 Script para comprobar conexión NAPALM-Equipo**  
Basado de (Álvarez, 2020)

El resultado de la ejecución del *script* fue exitoso:

```
gustavosalazar@ubuntu:~/Desktop/CodigosUNLPTesis$ ls
CheckNAPALM.py UNLPNetmiko.py
gustavosalazar@ubuntu:~/Desktop/CodigosUNLPTesis$ python3 CheckNAPALM.py
Connecting to IOS Router...
Checking IOS Router Connection Status:
{'is_alive': True}
Test Completed
gustavosalazar@ubuntu:~/Desktop/CodigosUNLPTesis$
```

**Figura E - 9 Ejecución exitosa de CheckNAPALM.py**  
Fuente: Autor

Con la comprobación exitosa del funcionamiento de NAPALM, se creará el archivo de extensión .cfg con los comandos de R1-UNLP que se incluirán (OSPF y creación de nueva Interfaz Loopback):

```
Welcome UNLPNetmiko.py CheckNAPALM.py R1-UNLP-Config.cfg X
home > gustavosalazar > Desktop > CodigosUNLPTesis > R1-UNLP-Config.cfg
1 interface Lo10
2   description Loopback creada usando NAPALM
3   ip add 192.168.100.1 255.255.255.0
4   ip ospf net point-to-point
5
6 router ospf 1
7   router-id 1.1.1.1
8   network 172.16.10.0 0.0.0.255 area 0
9   network 192.168.100.0 0.0.0.255 area 0
10  passive-interface Lo10
11
12  do wr
13  end
14
```

**Script 82 Configuración mediante comandos Cisco IOS para enviar mediante NAPALM (archivo .cfg)**  
Fuente: Elaboración Propia

Antes de empezar a configurar el *script*, para que NAPALM interactúe correctamente con R1-UNLP, se debe activar el servicio de SCP en dicho equipo (R1-UNLP tiene la configuración del PoC de Netmiko) y así enviar de forma segura las configuraciones.

```
R1-UNLP(config)#ip scp server enable
R1-UNLP(config)#
```

**Figura E - 10 Activación de SCP en R1-UNLP para la buena comunicación con NAPALM**  
Fuente: Elaboración Propia

El script en Python usando NAPALM es el siguiente:

```
Welcome UNLPNetmiko.py CheckNAPALM.py R1-UNLP-Config.cfg R1-UNLP-NAPALM.py x
home > gustavosalazar > Desktop > CodigosUNLPTesis > R1-UNLP-NAPALM.py > ...
1 from napalm import get_network_driver
2 import json
3
4 """GUSTAVO SALAZAR UNLP"""
5
6 """SELECCION DEL TIPO DE NOS A CONFIGURAR"""
7 NOS = get_network_driver("ios")
8
9 """CREDENCIALES DE CONEXION NAPALM - R1-UNLP (SSH) Y APERTURA DE SESION"""
10 R1 = NOS('172.16.10.20', 'UNLP', 'GSALAZAR')
11 R1.open()
12
13 """USAR EL ARCHIVO .cfg PARA CONFIGURACION DE R1-UNLP"""
14 config_commands = R1.load_merge_candidate(filename='R1-UNLP-Config.cfg')
15
16 """COMPARAR LOS COMANDOS INGRESADOS CON EL RUNNING-CONFIG DE R1-UNLP"""
17 compare = R1.compare_config()
18 print("\n---RESULTADOS DE COMPARACION DE RUNNING-CONFIG CON ENVIO DE COMANDOS----\n")
19 print(compare)
20
21 """CONDICIONAL PARA VERIFICAR SI SE NECESITA CAMBIO O NO"""
22 if len(compare) < 1:
23     print("\n.....NO SE DETECTARON CAMBIOS.....\n")
24     R1.discard_config()
25     output1 = R1.get_interfaces_ip()
26     listacomandos = ['show ip route']
27     output2 = R1.cli(listacomandos)
28     """CONVERSION DE STRING A OBJETO JSON PARA UNA MEJOR VISUALIZACION"""
29     output1_json = json.dumps(output1, sort_keys=True, indent=4)
30     print("\n***** LISTADO DE INTERFACES EN FORMATO JSON ***** \n")
31     print(output1_json)
32     output2_json = json.dumps(output2, sort_keys=True, indent=4)
33     print("\n***** TABLA DE ENRUTAMIENTO EN FORMATO JSON ***** \n")
34     print(output2_json)
35
36     R1.close()
37     print("\n.....Cerrando la conexion NAPALM.....\n")
38     exit()
```

```
39
40 """ CONFIRMAR LOS CAMBIOS """
41 try:
42     eleccion = input("\n Desea aplicar los cambios? s/n \n")
43 except NameError:
44     eleccion = input("\n Desea aplicar los cambios? s/n \n")
45
46 if eleccion == "s":
47     print("\n.....CONFIGURANDO R1-UNLP.....")
48     R1.commit_config()
49     output1 = R1.get_interfaces_ip()
50     output1_json = json.dumps(output1, sort_keys=True, indent=4)
51
52     output2 = R1.get_route_to('172.16.10.0/24')
53     #listacomandos = ['show ip route']
54     #output2 = R1.cli(listacomandos)
55     output2_json = json.dumps(output2, sort_keys=True, indent=4)
56
57     print(output1_json)
58     #print(output2_json)
59     print(output2_json)
60 else:
61     print("\n.....DESCARTANDO CONFIGURACION.....")
62     R1.discard_config()
63
64 """CERRANDO LA CONEXION NAPALM"""
65 R1.close()
```

**Script 83 Script en Python usando NAPALM para configurar OSPF, crear una interfaz Lo10 y comparar cambios en las configuraciones**

**Fuente: Autor**

El resultado exitoso de la ejecución de ese *script* mediante el comando **R1-UNLP-NAPALM.py**, el cual permite confirmar si se desea enviar la configuración es:

```
gustavosalazar@ubuntu:~/Desktop/CodigosUNLPTesis$
gustavosalazar@ubuntu:~/Desktop/CodigosUNLPTesis$ python3 R1-UNLP-NAPALM.py

---RESULTADOS DE COMPARACION DE RUNNING-CONFIG CON ENVIO DE COMANDOS---

+interface Lo10
+ description Loopback creada usando NAPALM
+ ip add 192.168.100.1 255.255.255.0
+ ip ospf net point-to-point
+router ospf 1
+ router-id 1.1.1.1
+ network 172.16.10.0 0.0.0.255 area 0
+ network 192.168.100.0 0.0.0.255 area 0
+ passive-interface Lo10

Desea aplicar los cambios? s/n
s

.....CONFIGURANDO R1-UNLP.....
{
  "GigabitEthernet0/1": {
    "ipv4": {
      "172.16.10.20": {
        "prefix_length": 24
      }
    }
  },
  "Loopback10": {
    "ipv4": {
      "192.168.100.1": {
        "prefix_length": 24
      }
    }
  }
}
{
  "172.16.10.0/24": [
    {
      "age": "",
      "current_active": true,
      "inactive_reason": "",
      "last_active": true,
      "next_hop": "",
      "outgoing_interface": "GigabitEthernet0/1",
      "preference": 0,
      "protocol": "connected",
      "protocol_attributes": {},
      "routing_table": "default",
      "selected_next_hop": true
    }
  ]
}
gustavosalazar@ubuntu:~/Desktop/CodigosUNLPTesis$
```

**Figura E - 11 Ejecución exitosa de script con NAPALM**

*Fuente: Autor*

Para tener más información sobre los métodos y funciones a usar con NAPALM, se puede ver este link:

**<https://napalm.readthedocs.io/en/latest/base.html>**

Las interfaces Loopback en R1-UNLP fueron eliminadas previo a la ejecución del *script*, así como se configuró en SW-UNLP OSPF para comprobar el funcionamiento del protocolo de enrutamiento, logrando resultados exitosos.

```
SW-UNLP#show ip route ospf
O    192.168.100.0/24 [110/2] via 172.16.10.20, 00:21:03,
SW-UNLP#
```

**Figura E - 12 Funcionamiento correcto de OSPF en SW-UNLP**  
*Fuente: Autor*

## Anexo F: Scripts para la Implementación de PoC NG-SDN

**D**urante el desarrollo del PoC de NG-SDN (Ver *4.4.2 Topología del PoC de NG-SDN*), se requirió de ciertos *scripts* para que corra adecuadamente, *scripts* que definen parámetros, dependencias y la topología en sí.

De igual manera, la VM del PoC NG-SDN utiliza comandos *make* para su adecuado funcionamiento. Un resumen de los más importantes se aprecia en la siguiente tabla:

Tabla F-1 Comandos *make* usado en Poc NG-SDN

Comando make	Descripción
<b>make pull-deps</b>	Descarga y actualiza todas las dependencias de la VM
<b>make p4-build</b>	Compila y construye un programa P4
<b>make start</b>	Inicializa Mininet y contenedores ONOS
<b>make stop</b>	Para todos los contenedores
<b>make reset</b>	Para los contenedores y remueve cualquier estado asociado
<b>make onos-cli</b>	Permite acceder a ONOS CLI (contraseña: rocks, Ctrl+D para salir)
<b>make onos-log</b>	Muestra los logs de ONOS
<b>make mn-cli</b>	Permite acceder a Mininet CLI (Ctrl+D para salir)
<b>make mn-log</b>	Muestra los logs de Mininet
<b>make app-build</b>	Construye las app de ONOS
<b>make app-reload</b>	Instala y activa app de ONOS
<b>make netcfg</b>	Envía <i>netcfg.json</i> (configuración de red) a ONOS

Fuente: (Cascone, 2019)

Los parámetros de Mininet se establecieron en el siguiente *script*:

```
1  version: "3"
2
3  services:
4    mininet:
5      image: opennetworking/mn-stratum
6      hostname: mininet
7      container_name: mininet
8      privileged: true
9      tty: true
10     stdin_open: true
11     volumes:
12       - ./tmp:/tmp
13       - ./mininet:/mininet
```

```

14     ports:
15         - "50001:50001"
16         - "50002:50002"
17         - "50003:50003"
18         - "50004:50004"
19     entrypoint: "/mininet/topo.py"
20     onos:
21         image: onosproject/onos:2.2.2
22         hostname: onos
23         container_name: onos
24         ports:
25             - "8181:8181" # HTTP
26             - "8101:8101" # SSH (CLI)
27         volumes:
28             - ./tmp/onos:/root/onos/apache-karaf-4.2.8/data/tmp
29         environment:
30             - ONOS_APPS=gui2,drivers.bmv2,lldpprovider,hostprovider
31         links:
32             - mininet

```

**Script 84 Parámetros Mininet – Docker-compose.yml**  
*Basado en* (Cascone & Condon, 2020)

Mientras el *script* en Python de la topología del PoC de SDN es el siguiente:

```

1  import argparse
2
3  from mininet.cli import CLI
4  from mininet.log import setLogLevel
5  from mininet.net import Mininet
6  from mininet.node import Host
7  from mininet.topo import Topo
8  from stratum import StratumBmv2Switch
9
10 CPU_PORT = 255
11
12
13 class IPv6Host(Host):
14
15     def config(self, ipv6, ipv6_gw=None, **params):
16         super(IPv6Host, self).config(**params)
17         self.cmd('ip -4 addr flush dev %s' % self.defaultIntf())
18         self.cmd('ip -6 addr flush dev %s' % self.defaultIntf())
19         self.cmd('ip -6 addr add %s dev %s' % (ipv6, self.defaultIntf()))
20         if ipv6_gw:
21             self.cmd('ip -6 route add default via %s' % ipv6_gw)
22         # Disable offload
23         for attr in ["rx", "tx", "sg"]:
24             cmd = "/sbin/ethtool --offload %s %s off" % (self.defaultIntf(), attr)
25             self.cmd(cmd)
26
27         def updateIP():
28             return ipv6.split('/')[0]
29
30         self.defaultIntf().updateIP = updateIP
31
32     def terminate(self):
33         super(IPv6Host, self).terminate()

```

```

36 class TutorialTopo(Topo):
37     """2x2 fabric topology"""
38
39     def __init__(self, *args, **kwargs):
40         Topo.__init__(self, *args, **kwargs)
41
42         # Leaves
43         # gRPC port 50001
44         leaf1 = self.addSwitch('leaf1', cls=StratumBmv2Switch, cpuport=CPU_PORT)
45         # gRPC port 50002
46         leaf2 = self.addSwitch('leaf2', cls=StratumBmv2Switch, cpuport=CPU_PORT)
47
48         # Spines
49         # gRPC port 50003
50         spine1 = self.addSwitch('spine1', cls=StratumBmv2Switch, cpuport=CPU_PORT)
51         # gRPC port 50004
52         spine2 = self.addSwitch('spine2', cls=StratumBmv2Switch, cpuport=CPU_PORT)
53
54         # Switch Links
55         self.addLink(spine1, leaf1)
56         self.addLink(spine1, leaf2)
57         self.addLink(spine2, leaf1)
58         self.addLink(spine2, leaf2)
59
60         # IPv6 hosts attached to leaf 1
61         h1a = self.addHost('h1a', cls=IPv6Host, mac="00:00:00:00:00:1A",
62                             ipv6='2001:1:1::a/64', ipv6_gw='2001:1:1::ff')
63         h1b = self.addHost('h1b', cls=IPv6Host, mac="00:00:00:00:00:1B",
64                             ipv6='2001:1:1::b/64', ipv6_gw='2001:1:1::ff')
65         h1c = self.addHost('h1c', cls=IPv6Host, mac="00:00:00:00:00:1C",
66                             ipv6='2001:1:1::c/64', ipv6_gw='2001:1:1::ff')
67         h2 = self.addHost('h2', cls=IPv6Host, mac="00:00:00:00:00:20",
68                             ipv6='2001:1:2::1/64', ipv6_gw='2001:1:2::ff')
69         self.addLink(h1a, leaf1) # port 3
70         self.addLink(h1b, leaf1) # port 4
71         self.addLink(h1c, leaf1) # port 5
72         self.addLink(h2, leaf1) # port 6
73
74         # IPv6 hosts attached to leaf 2
75         h3 = self.addHost('h3', cls=IPv6Host, mac="00:00:00:00:00:30",
76                             ipv6='2001:2:3::1/64', ipv6_gw='2001:2:3::ff')
77         h4 = self.addHost('h4', cls=IPv6Host, mac="00:00:00:00:00:40",
78                             ipv6='2001:2:4::1/64', ipv6_gw='2001:2:4::ff')
79         self.addLink(h3, leaf2) # port 3
80         self.addLink(h4, leaf2) # port 4
81
82
83     def main():
84         net = Mininet(topo=TutorialTopo(), controller=None)
85         net.start()
86         CLI(net)
87         net.stop()
88
89
90     if __name__ == "__main__":
91         parser = argparse.ArgumentParser(
92             description='Mininet topology script for 2x2 fabric with stratum_bmv2 and IPv6 hosts')
93         args = parser.parse_args()
94         setLogLevel('info')
95
96         main()

```

**Script 85 Topología para Mininet – PoC NG-SDN**  
*Basado en* (Cascone, 2019)

NG-SDN tiene la ventaja de usar modelos YANG para representar la infraestructura como código. En el caso del PoC de NG-SDN (*Topología del PoC de NG-SDN: Programación en P4, YANG, OpenConfig-gNMI (Telemetría) y ONOS*), el modelo YANG fue planteado en el Tutorial de NG-SDN para la ONF y se lo denominó yang/demo-port.yang, el cual se observa a continuación:

```
// A module is a self-contained tree of nodes
module demo-port {

  // YANG Boilerplate
  yang-version "1";
  namespace "https://opennetworking.org/yang/demo";
  prefix "demo-port";
  description "Demo model for managing ports";
  revision "2019-09-10" {
    description "Initial version";
    reference "1.0.0";
  }

  // Identities and Typedefs
  identity SPEED {
    description "base type for port speeds";
  }

  identity SPEED_10GB {
    base SPEED;
    description "10 Gbps port speed";
  }

  typedef port-number {
    type uint16 {
      range 1..32;
    }
    description "New type for port number that ensure the number is between 1 and 32, inclusive";
  }

  // Reusable groupings for port config and state
  grouping port-config {
    description "Set of configurable attributes / leaves";
    leaf speed {
      type identityref {
        base demo-port:SPEED;
      }
    }
  }
}
```

```

description "Configurable speed of a switch port";
}
}

grouping port-state {
description "Set of read-only state";
leaf status {
type boolean;
description "Number";
}
}

// Top-level model definition
container ports {
description "The root container for port configuration and state";
list port {
key "port-number";
description "List of ports on a switch";

leaf port-number {
type port-number;
description "Port number (maps to the front panel port of a switch); also the key for the port list";
}

// each individual will have the elements defined in the grouping
container config {
description "Configuration data for a port";
uses port-config; // reference to grouping above
}

container state {
config false; // makes child nodes read-only
description "Read-only state for a port";
uses port-state; // reference to grouping above
}
}
}
}

```

**Script 86 Módulo YANG para PoC NG-SDN**  
**Basado en** (Cascone, 2019)

```
{
  "devices": {
    "device:leaf1": {
      "basic": {
        "managementAddress": "grpc://mininet:50001?device_id=1",
        "driver": "stratum-bmv2",
        "pipeconf": "org.onosproject.ngsdn-tutorial",
        "locType": "grid",
        "gridX": 200,
        "gridY": 600
      },
      "fabricDeviceConfig": {
        "myStationMac": "00:aa:00:00:00:01",
        "isSpine": false
      }
    },
    "device:leaf2": {
      "basic": {
        "managementAddress": "grpc://mininet:50002?device_id=1",
        "driver": "stratum-bmv2",
        "pipeconf": "org.onosproject.ngsdn-tutorial",
        "locType": "grid",
        "gridX": 800,
        "gridY": 600
      },
      "fabricDeviceConfig": {
        "myStationMac": "00:aa:00:00:00:02",
        "isSpine": false
      }
    },
    "device:spine1": {
      "basic": {
        "managementAddress": "grpc://mininet:50003?device_id=1",
        "driver": "stratum-bmv2",
        "pipeconf": "org.onosproject.ngsdn-tutorial",
        "locType": "grid",
        "gridX": 400,
        "gridY": 400
      },
    },
  }
}
```

```

"fabricDeviceConfig": {
  "myStationMac": "00:bb:00:00:00:01",
  "isSpine": true
}
},
"device:spine2": {
  "basic": {
    "managementAddress": "grpc://mininet:50004?device_id=1",
    "driver": "stratum-bmv2",
    "pipeconf": "org.onosproject.ngsdn-tutorial",
    "locType": "grid",
    "gridX": 600,
    "gridY": 400
  },
  "fabricDeviceConfig": {
    "myStationMac": "00:bb:00:00:00:02",
    "isSpine": true
  }
},
"ports": {
  "device:leaf1/3": {
    "interfaces": [
      {
        "name": "leaf1-3",
        "ips": ["2001:1:1::ff/64"]
      }
    ]
  },
  "device:leaf1/4": {
    "interfaces": [
      {
        "name": "leaf1-4",
        "ips": ["2001:1:1::ff/64"]
      }
    ]
  },
  "device:leaf1/5": {
    "interfaces": [

```

```
{
  "name": "leaf1-5",
  "ips": ["2001:1:1::ff/64"]
}
],
"device:leaf1/6": {
  "interfaces": [
    {
      "name": "leaf1-6",
      "ips": ["2001:1:2::ff/64"]
    }
  ],
},
"device:leaf2/3": {
  "interfaces": [
    {
      "name": "leaf2-3",
      "ips": ["2001:2:3::ff/64"]
    }
  ],
},
"device:leaf2/4": {
  "interfaces": [
    {
      "name": "leaf2-4",
      "ips": ["2001:2:4::ff/64"]
    }
  ],
},
"hosts": {
  "00:00:00:00:00:1A/None": {
    "basic": {
      "name": "h1a",
      "locType": "grid",
      "gridX": 100,
      "gridY": 700
    }
  }
}
```

```
},
"00:00:00:00:00:1B/None": {
  "basic": {
    "name": "h1b",
    "locType": "grid",
    "gridX": 100,
    "gridY": 800
  }
},
"00:00:00:00:00:1C/None": {
  "basic": {
    "name": "h1c",
    "locType": "grid",
    "gridX": 250,
    "gridY": 800
  }
},
"00:00:00:00:00:20/None": {
  "basic": {
    "name": "h2",
    "locType": "grid",
    "gridX": 400,
    "gridY": 700
  }
},
"00:00:00:00:00:30/None": {
  "basic": {
    "name": "h3",
    "locType": "grid",
    "gridX": 750,
    "gridY": 700
  }
},
"00:00:00:00:00:40/None": {
  "basic": {
    "name": "h4",
    "locType": "grid",
    "gridX": 850,
    "gridY": 700
  }
}
```

```
}  
}  
}  
}
```

**Script 87 Netcfg.json<sup>80</sup> (ONOS) para PoC NG-SDN**  
**Basado en** (Cascone, 2019)

```
/*  
 * Copyright 2019-present Open Networking Foundation  
 *  
 * Licensed under the Apache License, Version 2.0 (the "License");  
 * you may not use this file except in compliance with the License.  
 * You may obtain a copy of the License at  
 *  
 * http://www.apache.org/licenses/LICENSE-2.0  
 *  
 * Unless required by applicable law or agreed to in writing, software  
 * distributed under the License is distributed on an "AS IS" BASIS,  
 * WITHOUT WARRANTIES OR CONDITIONS OF ANY KIND, either express or implied.  
 * See the License for the specific language governing permissions and  
 * limitations under the License.  
 */  
  
package org.onosproject.ngsdn.tutorial.pipconf;  
  
import com.google.common.collect.ImmutableList;  
import com.google.common.collect.ImmutableMap;  
import org.onlab.packet.DeserializationException;  
import org.onlab.packet.Ethernet;  
import org.onlab.util.ImmutableByteSequence;  
import org.onosproject.net.ConnectPoint;  
import org.onosproject.net.DeviceId;  
import org.onosproject.net.Port;  
import org.onosproject.net.PortNumber;  
import org.onosproject.net.device.DeviceService;  
import org.onosproject.net.driver.AbstractHandlerBehaviour;  
import org.onosproject.net.flow.TrafficTreatment;  
import org.onosproject.net.flow.criteria.Criterion;  
import org.onosproject.net.packet.DefaultInboundPacket;
```

---

<sup>80</sup> Netcfg: <https://github.com/opennetworkinglab/ngsdn-tutorial/blob/master/mininet/netcfg.json>

```

import org.onosproject.net.packet.InboundPacket;
import org.onosproject.net.packet.OutboundPacket;
import org.onosproject.net.pi.model.PiMatchFieldId;
import org.onosproject.net.pi.model.PiPacketMetadataId;
import org.onosproject.net.pi.model.PiPipelineInterpreter;
import org.onosproject.net.pi.model.PiTableId;
import org.onosproject.net.pi.runtime.PiAction;
import org.onosproject.net.pi.runtime.PiPacketMetadata;
import org.onosproject.net.pi.runtime.PiPacketOperation;

import java.nio.ByteBuffer;
import java.util.Collection;
import java.util.List;
import java.util.Map;
import java.util.Optional;

import static java.lang.String.format;
import static java.util.stream.Collectors.toList;
import static org.onlab.util.ImmutableByteSequence.copyFrom;
import static org.onosproject.net.PortNumber.CONTROLLER;
import static org.onosproject.net.PortNumber.FLOOD;
import static org.onosproject.net.flow.instructions.Instruction.Type.OUTPUT;
import static org.onosproject.net.flow.instructions.Instructions.OutputInstruction;
import static org.onosproject.net.pi.model.PiPacketOperationType.PACKET_OUT;
import static org.onosproject.ngsdn.tutorial.AppConstants.CPU_PORT_ID;

/**
 * Interpreter implementation.
 */
public class InterpreterImpl extends AbstractHandlerBehaviour
implements PiPipelineInterpreter {

    // From v1model.p4
    private static final int V1MODEL_PORT_BITWIDTH = 9;

    // From P4Info.
    private static final Map<Criterion.Type, String> CRITERION_MAP =
new ImmutableMap.Builder<Criterion.Type, String>()
.put(Criterion.Type.IN_PORT, "standard_metadata.ingress_port")
.put(Criterion.Type.ETH_DST, "hdr.ethernet.dst_addr")
.put(Criterion.Type.ETH_SRC, "hdr.ethernet.src_addr")

```

```

.put(Criterion.Type.ETH_TYPE, "hdr.ethernet.ether_type")
.put(Criterion.Type.IPV6_DST, "hdr.ipv6.dst_addr")
.put(Criterion.Type.IP_PROTO, "hdr.ipv6.next_hdr")
.put(Criterion.Type.ICMPV6_TYPE, "hdr.icmpv6.type")
.build();

/**
 * Returns a collection of PI packet operations populated with metadata
 * specific for this pipeconf and equivalent to the given ONOS
 * OutboundPacket instance.
 *
 * @param packet ONOS OutboundPacket
 * @return collection of PI packet operations
 * @throws PiInterpreterException if the packet treatments cannot be
 * executed by this pipeline
 */
@Override
public Collection<PiPacketOperation> mapOutboundPacket(OutboundPacket packet)
throws PiInterpreterException {
    TrafficTreatment treatment = packet.treatment();

    // Packet-out in main.p4 supports only setting the output port,
    // i.e. we only understand OUTPUT instructions.
    List<OutputInstruction> outInstructions = treatment
.allInstructions()
.stream()
.filter(i -> i.type().equals(OUTPUT))
.map(i -> (OutputInstruction) i)
.collect(toList());

    if (treatment.allInstructions().size() != outInstructions.size()) {
        // There are other instructions that are not of type OUTPUT.
        throw new PiInterpreterException("Treatment not supported: " + treatment);
    }

    ImmutableList.Builder<PiPacketOperation> builder = ImmutableList.builder();
    for (OutputInstruction outInst : outInstructions) {
        if (outInst.port().isLogical() && !outInst.port().equals(FLOOD)) {
            throw new PiInterpreterException(format(
                "Packet-out on logical port '%s' not supported",
                outInst.port()));
        }
    }
}

```

```

    } else if (outInst.port().equals(FLOOD)) {
        // To emulate flooding, we create a packet-out operation for
        // each switch port.
        final DeviceService deviceService = handler().get(DeviceService.class);
        for (Port port : deviceService.getPorts(packet.sendThrough())) {
            builder.add(buildPacketOut(packet.data(), port.number().toLong()));
        }
    } else {
        // Create only one packet-out for the given OUTPUT instruction.
        builder.add(buildPacketOut(packet.data(), outInst.port().toLong()));
    }
}
return builder.build();
}

/**
 * Builds a pipeconf-specific packet-out instance with the given payload and
 * egress port.
 *
 * @param pktData packet payload
 * @param portNumber egress port
 * @return packet-out
 * @throws PiInterpreterException if packet-out cannot be built
 */
private PiPacketOperation buildPacketOut(ByteBuffer pktData, long portNumber)
throws PiInterpreterException {

    // Make sure port number can fit in v1model port metadata bitwidth.
    final ImmutableByteSequence portBytes;
    try {
        portBytes = copyFrom(portNumber).fit(V1MODEL_PORT_BITWIDTH);
    } catch (ImmutableByteSequence.ByteSequenceTrimException e) {
        throw new PiInterpreterException(format(
            "Port number %d too big, %s", portNumber, e.getMessage()));
    }

    // Create metadata instance for egress port.
    // TODO EXERCISE 3: modify metadata names to match P4 program
    // ---- START SOLUTION ----
    final String outPortMetadataName = "egress_port";

```

```

// ---- END SOLUTION ----
final PiPacketMetadata outPortMetadata = PiPacketMetadata.builder()
    .withId(PiPacketMetadataId.of(outPortMetadataName))
    .withValue(portBytes)
    .build();

// Build packet out.
return PiPacketOperation.builder()
    .withType(PACKET_OUT)
    .withData(copyFrom(pktData))
    .withMetadata(outPortMetadata)
    .build();
}

/**
 * Returns an ONS InboundPacket equivalent to the given pipeconf-specific
 * packet-in operation.
 *
 * @param packetIn packet operation
 * @param deviceId ID of the device that originated the packet-in
 * @return inbound packet
 * @throws PilInterpreterException if the packet operation cannot be mapped
 * to an inbound packet
 */
@Override
public InboundPacket mapInboundPacket(PiPacketOperation packetIn, DeviceId deviceId)
    throws PilInterpreterException {

    // Find the ingress_port metadata.
    // TODO EXERCISE 3: modify metadata names to match P4 program
    // ---- START SOLUTION ----
    final String inportMetadataName = "ingress_port";
    // ---- END SOLUTION ----

    Optional<PiPacketMetadata> inportMetadata = packetIn.metadataas()
        .stream()
        .filter(meta -> meta.id().id().equals(inportMetadataName))
        .findFirst();

    if (!inportMetadata.isPresent()) {
        throw new PilInterpreterException(format(
            "Missing metadata '%s' in packet-in received from '%s': %s",

```

```

importMetadataName, deviceId, packetIn));
}

// Build ONOS InboundPacket instance with the given ingress port.

// 1. Parse packet-in object into Ethernet packet instance.
final byte[] payloadBytes = packetIn.data().toArray();
final ByteBuffer rawData = ByteBuffer.wrap(payloadBytes);
final Ethernet ethPkt;
try {
    ethPkt = Ethernet.deserializer().deserialize(
        payloadBytes, 0, packetIn.data().size());
} catch (DeserializationException dex) {
    throw new PiInterpreterException(dex.getMessage());
}

// 2. Get ingress port
final ImmutableByteSequence portBytes = inportMetadata.get().value();
final short portNum = portBytes.asReadOnlyBuffer().getShort();
final ConnectPoint receivedFrom = new ConnectPoint(
    deviceId, PortNumber.portNumber(portNum));

return new DefaultInboundPacket(receivedFrom, ethPkt, rawData);
}

@Override
public Optional<Integer> mapLogicalPortNumber(PortNumber port) {
    if (CONTROLLER.equals(port)) {
        return Optional.of(CPU_PORT_ID);
    } else {
        return Optional.empty();
    }
}

@Override
public Optional<PiMatchFieldId> mapCriterionType(Criterion.Type type) {
    if (CRITERION_MAP.containsKey(type)) {
        return Optional.of(PiMatchFieldId.of(CRITERION_MAP.get(type)));
    } else {
        return Optional.empty();
    }
}
}

```

```
@Override
public PiAction mapTreatment(TrafficTreatment treatment, PiTableId piTableId)
throws PiInterpreterException {
    throw new PiInterpreterException("Treatment mapping not supported");
}

@Override
public Optional<PiTableId> mapFlowRuleTableId(int flowRuleTableId) {
    return Optional.empty();
}
}
```

**Script 88 InterpreterImpl.java<sup>81</sup> (ONOS) para PoC NG-SDN**  
**Basado en** (Cascone, 2019)

---

<sup>81</sup> InterpreterImpl.java: <https://github.com/opennetworkinglab/ngsdn-tutorial/blob/master/solution/exercise3/InterpreterImpl.java>

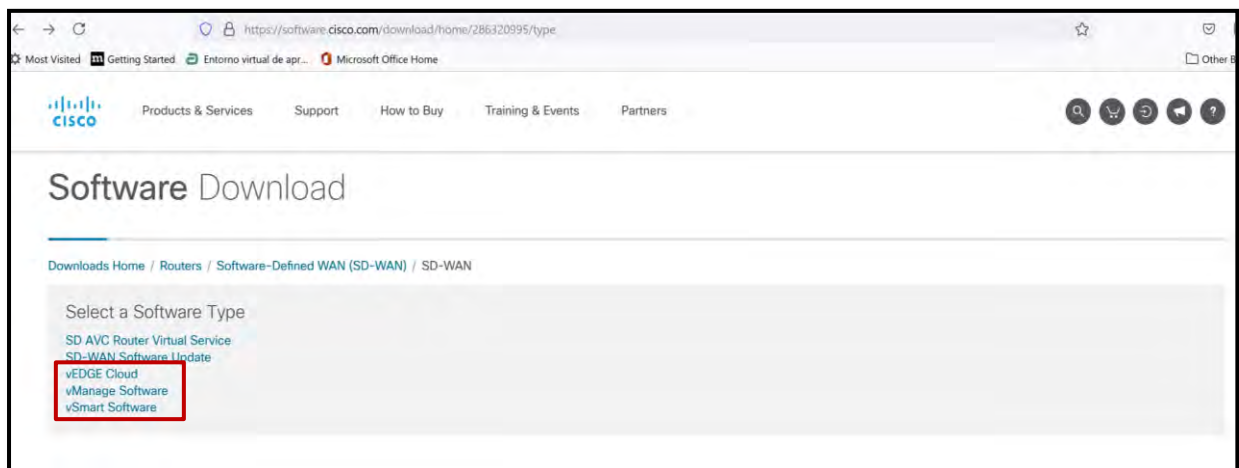
## Anexo G: Proceso de Instalación de SDWAN Viptela en EVE-ng

El PoC de SD-WAN Viptela se desarrolla en EVE-ng, además de una breve explicación de la implementación de un laboratorio en un *Sandbox* de DevNet y *dCloud* para comprender de mejor manera este entorno de redes de nueva generación.

En primer lugar, hay que descargarse las imágenes necesarias de los equipos que serán parte de la red SD-WAN de la página oficial de Cisco. Para ello, se requiere ser *partner*, cliente o empleado de Cisco para una descarga legal de dichas imágenes.

La URL para las descargas es:

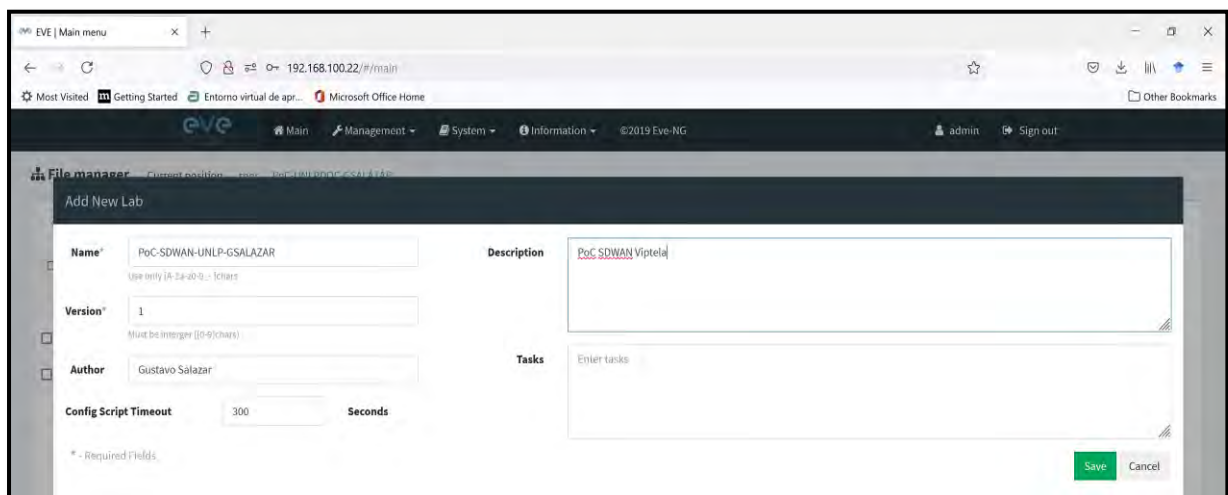
<https://software.cisco.com/download/home/286320995/type>



**Figura G - 1** Página de descarga de las Imágenes de equipos – PoC SDWAN  
Fuente: Autor

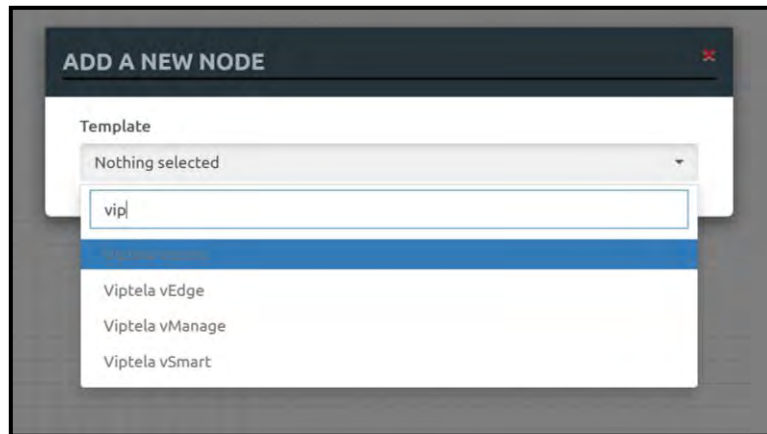
La versión actual en el momento de la escritura de esta tesis es la **19.2.4(ED)**. Todas las versiones de los equipos a descargar (*vEdge/vBond*, *vManage* y *vSmart*) deben tener la misma versión para su funcionamiento correcto. La extensión de los archivos debe ser **.qcow2**

Una vez descargados, abriremos EVE-ng y creamos un nuevo laboratorio.



**Figura G - 2** Creación de nuevo Lab en EVE-ng – PoC SDWAN  
Fuente: Autor

Al tratar de incluir los elementos básicos del entorno SDWAN Viptela, se puede verificar que aún no están activos, por lo que debemos incluirlos.



**Figura G - 3 Equipos aún no habilitados – PoC SDWAN**  
Fuente: Autor

No hay que olvidar que para cargar las imágenes en EVE-ng, se deben ubicar en una carpeta con un nombre en específico. Como referencia es posible visualizar el *QEMU Image Naming* de EVE-ng:

vtbond-	Viptela vBond	virtioa
vtedge-	Viptela vEdge	virtioa
vtsmart-	Viptela vSmart	virtioa
vtmgmt-	Viptela vManage	virtioa, virtiob

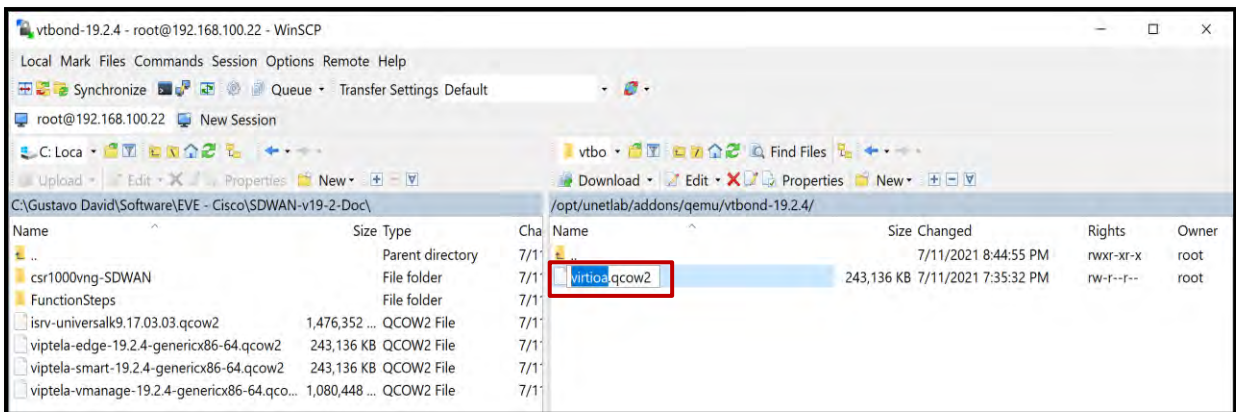
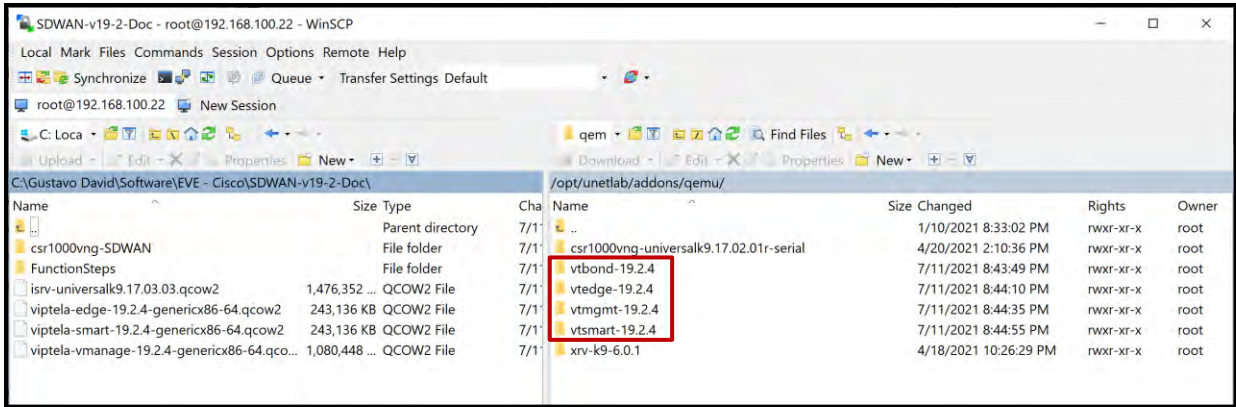
**Figura G - 4 Nombres específicos para emulación EVE-ng – PoC SDWAN**  
Fuente: Autor

La primera columna de la *Fig. G-4* indica el nombre de la carpeta y la tercera columna el nombre del archivo en sí.

Como se ha realizado en anteriores PoCs, se debe utilizar un *software* que permita la transferencia de archivos desde la PC *host* hacia la VM de EVE-ng, por ejemplo, WinSCP.

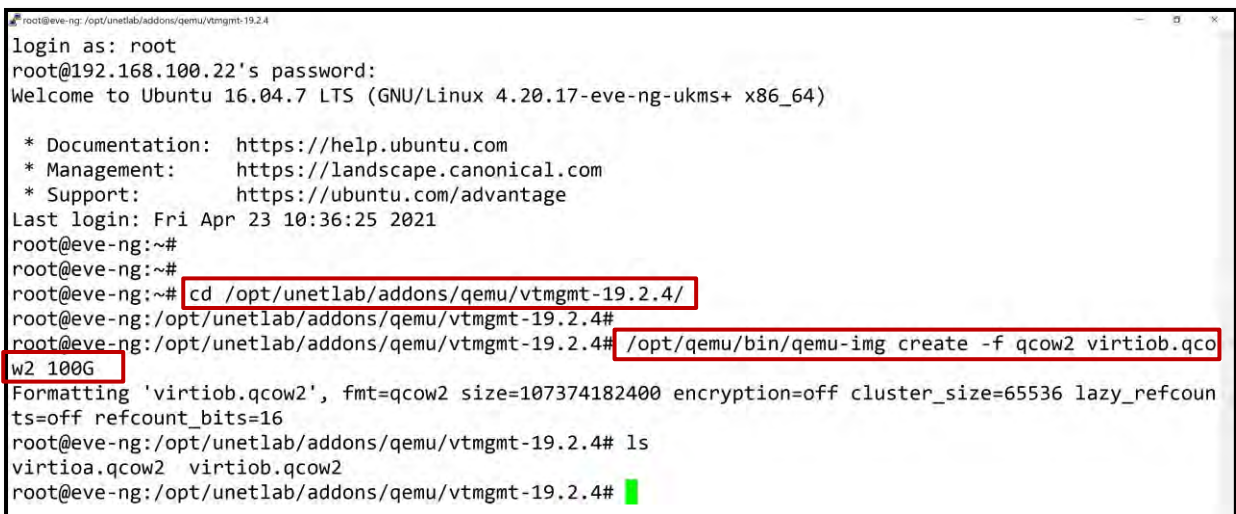
Realizamos la conexión mediante WinSCP a la VM y creamos las carpetas respectivas con su nombre indicado en la *Fig. G-4*. El *path* para la creación de los *folders* es **/opt/unetlab/addons/qemu/**.

Cabe recordar que la misma imagen de *vEdge* servirá para *vBond*. Una vez las imágenes están en las carpetas respectivas, todas deben llamarse **virtioa.qcow2**



**Figura G - 5 Carga de Imágenes a EVE-ng - PoC SDWAN**  
Fuente: Autor

Para el funcionamiento del *vManage* se requiere de un disco duro de 100GB creado en EVE-ng que servirá como Base de Datos para los equipos parte de a infraestructura SD-WAN, para lo cual ingresamos al emulador y creamos dicho disco de nombre **virtioa.qcow2** en la carpeta **vtmgmt-19.2.4** de la siguiente manera:



**Figura G - 6 Creación de disco para vManage en EVE-ng - PoC SDWAN**  
Fuente: Autor

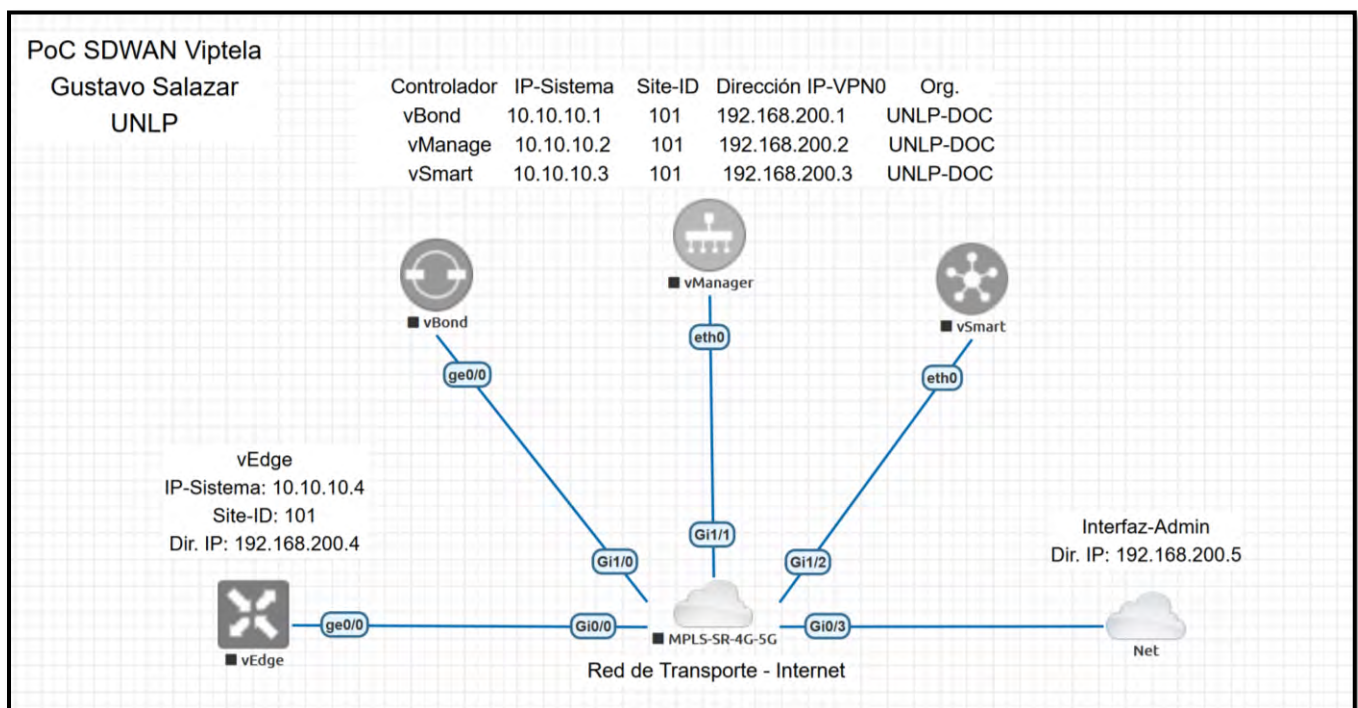
El paso final para a carga de las imágenes es arreglar los permisos de ejecución de dichas imágenes en EVE-ng:

```

root@eve-ng:~#
root@eve-ng:~# /opt/unetlab/wrappers/unl_wrapper -a fixpermissions
root@eve-ng:~# █
    
```

**Figura G - 7 Arreglo de permisos en EVE-ng – PoC SDWAN**  
Fuente: Autor

Realizado esos pasos, es factible incluir los nodos a la topología de EVE-ng, dejando la cantidad de RAM por defecto a cada uno (Se requiere al menos de 16 GB de RAM, donde el *vManage* al menos requiere 12GB de RAM). Se requiere también de una nube de transporte (puede usarse una red tipo ISP con *Segment-Routing*/MPLS que permita conectividad entre Plano de Control y Datos) y un acceso para la interfaz vía Web desde la PC *host* (*cloud*).



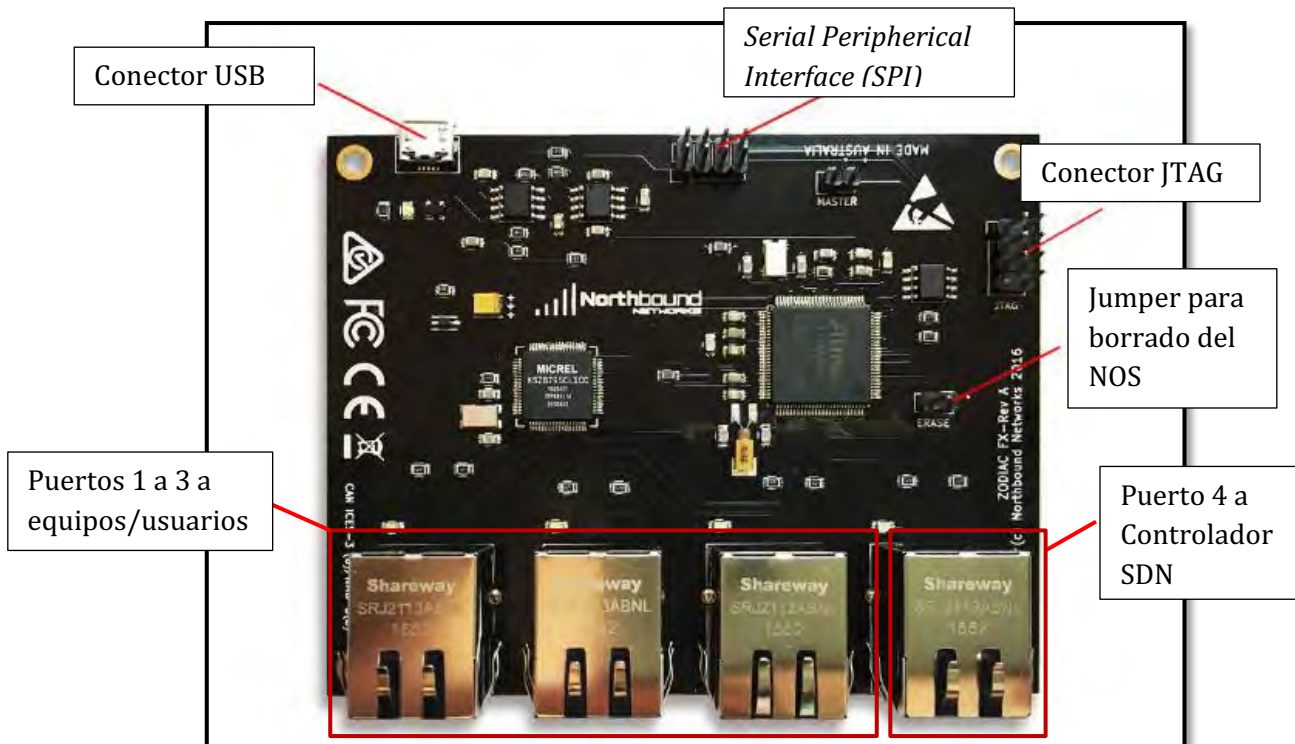
**Figura G - 8 Equipos SDWAN en EVE-ng – PoC SDWAN**  
Fuente: Autor

Una vez se tiene la topología base, se encenderán los equipos uno a uno, comenzando por el *vManage*. Los demás pasos se indican en **4.5 PoC de SD-WAN en EVE-ng**

## Anexo H: Entrada en Funcionamiento de *Zodiac FX* y *Zodiac WX* – SDN en infraestructura física con *Aruba VAN SDN Controller* y *RYU-FlowManager*

El primer paso para el funcionamiento adecuado de los equipos de la red física SDN es la conocer sus elementos principales y cómo conectarlo para su administración, para lo cual se debe seguir los pasos mostrados a continuación:

### Configurando a *Zodiac FX*



**Figura H - 1 Zodiac FX**  
Basado en (Northbound Networks, 2017)

- Encienda el dispositivo y conéctelo al Puerto 4 por defecto (puerto *Controller-Non OpenFlow Enabled*) hacia la PC donde estará ubicado el controlador SDN. Conecte además mediante el puerto USB a la PC/Laptop, recibiendo así la energización. En caso de que el dispositivo no sea reconocido por la computadora, se debe descargar los *drivers* los cuales se encuentran en:

**<https://forums.northboundnetworks.com/index.php?topic=52.0>**

Al ser reconocido, se le asignará un puerto COM para la conexión mediante un emulador de terminal, para el caso de este PoC es el puerto COM4.

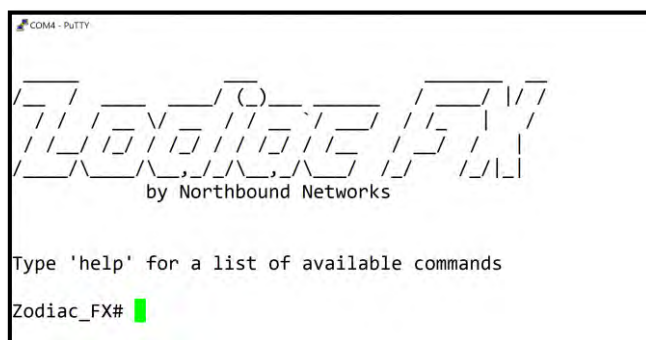
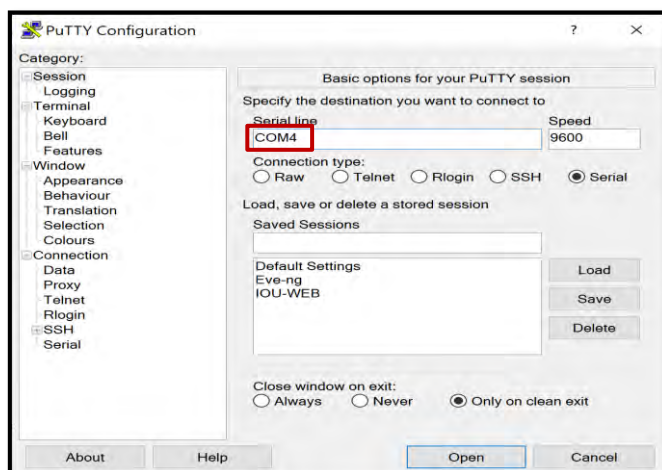


**Figura H - 2 Puerto COM4 asignado a Zodiac FX – Administrador de Dispositivos**  
Fuente: Autor



**Figura H - 3 Conexión y encendido inicial - Zodiac FX**  
Fuente: Autor

A través de *Putty* (o cualquier emulador de terminal de su elección), ingrese mediante comunicación serial a *Zodiac FX* a su CLI:



**Figura H - 4 Acceso a CLI de Zodiac FX**  
Fuente: Autor

No tiene usuario/contraseña para acceso por defecto. El primer comando a usar es **help**, el cual no muestra los comandos disponibles agrupados en sus cuatro categorías o modos de configuración: *Base*, *Config*, *OpenFlow* y *Debug*.

Para más información sobre dichos modos acceda a (Northbound Networks, 2017).

```
COM4 - PuTTY
Zodiac_FX# help

The following commands are currently available:

Base:
config
openflow
debug
update
show status
show version
show ports
restart
help

Config:
save
restart
show config
show vlans
set name <name>
set mac-address <mac address>
set ip-address <ip address>
set netmask <netmasks>
```

**Figura H - 5 Comando help y modos de configuración - Zodiac FX**  
*Fuente: Autor*

➤ Unos comandos básicos **show** en *Zodiac FX* son:

```
Zodiac_FX# show version
Firmware version: 0.84

Zodiac_FX# show status

-----
Device Status
CPU UID: 1396125952-960050744-892351793-959655989
Firmware Version: 0.84
CPU Temp: 30 C
Uptime: 00:15:02
-----
```

```
Zodiac_FX# show ports

-----

Port 1
Status: DOWN
VLAN type: OpenFlow
VLAN ID: 100

Port 2
Status: DOWN
VLAN type: OpenFlow
VLAN ID: 100

Port 3
Status: DOWN
VLAN type: OpenFlow
VLAN ID: 100

Port 4
Status: DOWN
VLAN type: Native
VLAN ID: 200
```

**Figura H - 6 Comandos show básicos - Zodiac FX**  
*Fuente: Autor*

La configuración por defecto de *Zodiac FX* se observa con los siguientes comandos **show**:

```
Zodiac_FX# config
Zodiac_FX(config)# show config

-----

Configuration
Name: Zodiac_FX
MAC Address: 70:B3:D5:6C:DF:0D
IP Address: 10.0.1.99
Netmask: 255.255.255.0
Gateway: 10.0.1.1
OpenFlow Controller: 10.0.1.8
OpenFlow Port: 6633
Openflow Status: Enabled
Failstate: Secure
Force OpenFlow version: Disabled
EtherType Filtering: Disabled
```

```
Zodiac_FX(config)# show vlans
```

VLAN ID	Name	Type	Tag
100	'OpenFlow'	OpenFlow	Untagged
200	'Controller'	Native	Untagged

**Figura H - 7 Configuración por defecto - Zodiac FX**  
Fuente: Autor

La Fig. H-7 indica que el equipo viene con la Dir. IP **10.0.1.99/24**, *Gateway* por defecto **10.0.1.1**, Dir. IP del controlador *OpenFlow* **10.0.1.8** y puerto *OpenFlow* **6633**.

Además, se aprecia que tiene dos VLANs por defecto, utilizadas para segmentar tráfico: hacia el Controlador SDN (VLAN 200 – asignada al puerto 4) y hacia los equipos/usuarios finales (VLAN 100 – asignada a los puertos 1-3).

- Con el fin de adecuar la configuración de los equipos *Zodiac FX* al PoC del Capítulo 5, se requiere de cambiar su direccionamiento IP, *Gateway* y dirección de Controlador *OpenSDN*, por ejemplo, para uno de los *switches* sería:

```
Zodiac_FX(config)# set ip-address 192.168.85.10
IP Address set to 192.168.85.10
Zodiac_FX(config)# set gateway 192.168.85.1
Gateway set to 192.168.85.1
Zodiac_FX(config)# set of-controller 192.168.85.100
OpenFlow Server address set to 192.168.85.100
Zodiac_FX(config)# save
Writing Configuration to EEPROM (197 bytes)
Zodiac_FX(config)#
```

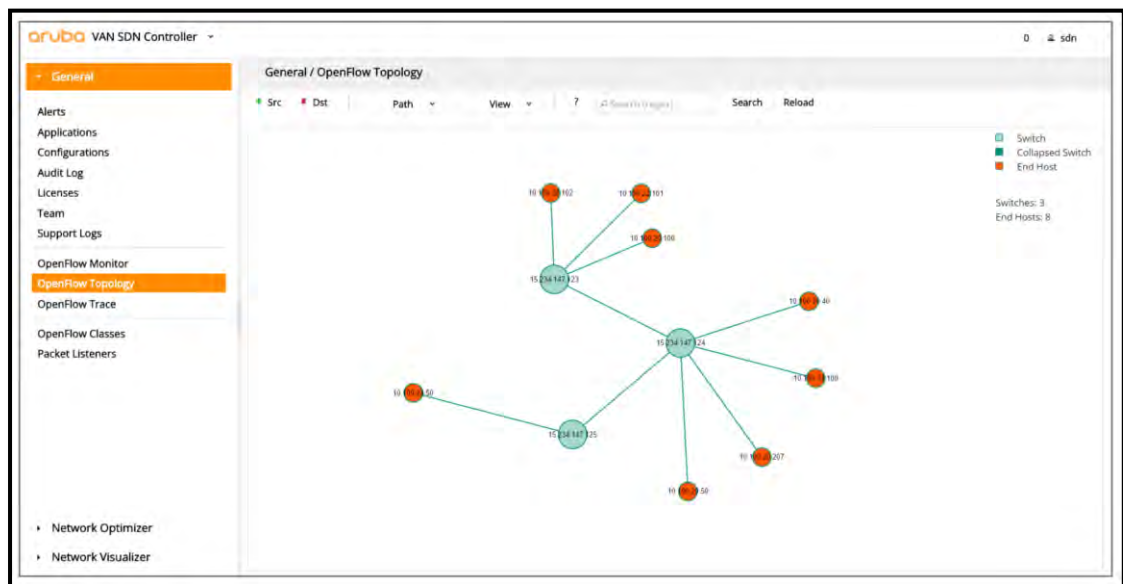
```
Zodiac_FX(config)# show config
-----
Configuration
Name: Zodiac_FX
MAC Address: 70:B3:D5:6C:DF:0D
IP Address: 192.168.85.10
Netmask: 255.255.255.0
Gateway: 192.168.85.1
OpenFlow Controller: 192.168.85.100
OpenFlow Port: 6633
Openflow Status: Enabled
Failstate: Secure
Force OpenFlow version: Disabled
EtherType Filtering: Disabled
```

**Figura H - 8 Cambio de Dir. IP, Gateway y Dir. De Controlador OpenSDN - Zodiac FX**  
Fuente: Autor

Conectando Zodiac FX a un controlador OpenSDN

*Aruba VAN SDN Controller*

- En el PoC con equipos físicos se usará a *Aruba VAN (Virtual Application Networks) Controller* como Controlador *OpenSDN* virtualizado en una VM.



**Figura H - 9 GUI – Aruba VAN SDN Controller**  
Fuente: Autor

Las características principales de este controlador SDN son:

**Tabla H-2 Características de Aruba VAN SDN Controller**

Características	Descripción
<b>Plataforma</b>	Empresarial enfocada a la innovación
<b>Openflow</b>	Soporta OF 1.0 y OF 1.3
<b>Nodos</b>	<50 dispositivos para <i>OpenSDN</i> . Con licencia <4000
<b>APIs</b>	Abiertas (RESTful) y parte del ecosistema <i>Aruba Open SDN</i>
<b>Implementación</b>	En VM o <i>Bare-Metal</i>

<b>Bases de Datos</b>	Abiertas como <i>Hazelcast</i> , <i>Cassandra</i> y <i>PostgreSQL</i>
<b>Escalabilidad</b>	Provee un entorno 2n+1 (tres controladores)
<b>Seguridad</b>	HTTPS (REST APIs), TLS (hacia el <i>Southbound</i> ) y llaves de autenticación
<b>Servicios de Monitoreo</b>	<i>Topology Service Module</i> (visibilidad de la infraestructura)
<b>NOS</b>	Basado en Ubuntu 14.04 LTS-64bits
<b>Flujos OF</b>	Hasta 2.3 millones por segundo y 6.5 millones con redundancia (licencia E-LTU – J9863AAE)

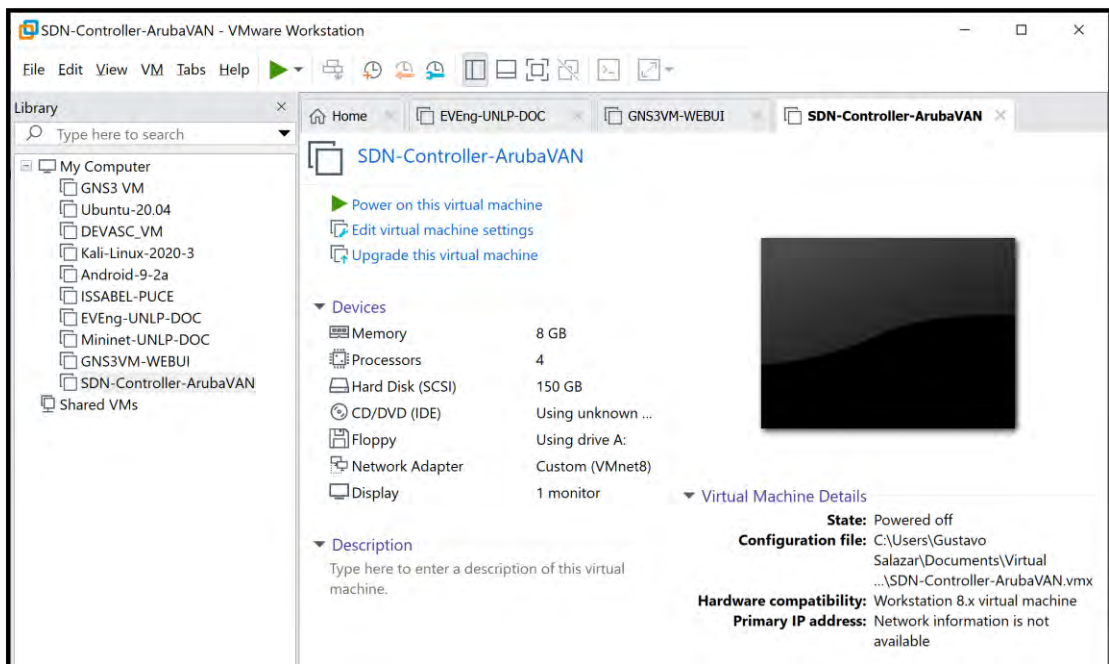
Fuente: (Aruba Networks, 2017)

Para más información sobre el controlador:

- [https://support.hpe.com/hpesc/public/docDisplay?docId=a00003658en-us&docLocale=en\\_US](https://support.hpe.com/hpesc/public/docDisplay?docId=a00003658en-us&docLocale=en_US)
- <https://community.arubanetworks.com/blogs/gregory-weaver1/2019/08/14/installing-hpe-van-sdn-controller>
- [https://h20195.www2.hpe.com/v2/GetDocument.aspx?docname=c04111355&doctype=quickspecs&doclang=EN\\_US&searchquery=&cc=ar&lc=es#](https://h20195.www2.hpe.com/v2/GetDocument.aspx?docname=c04111355&doctype=quickspecs&doclang=EN_US&searchquery=&cc=ar&lc=es#)

HPE mantiene el soporte de dicho controlador SDN, sin embargo, desde el año 2017 no ha lanzado una nueva actualización, de todas maneras, es ideal para realizar PoCs que se orienten a comprobar la factibilidad de uso con equipos totalmente reales y comercialmente viables.

Una vez se tiene la imagen del controlador, la cual requiere de 8-16 GB de RAM y un procesador de 4-8 núcleos para su virtualización, cárguelo a un hipervisor (como *VMWare Workstation*) y arránquelo:



**Figura H - 10 Arranque en VM – Araba VAN SDN Controller**  
Fuente: Autor

Configure su dirección IP de forma estática a **192.168.85.1/24**:

```
GNU nano 2.2.6 File: interfaces Modified
# This file describes the network interfaces available on your system
# and how to activate them. For more information, see interfaces(5).

# The loopback network interface
auto lo
iface lo inet loopback

# The sw-mgmt network interface
# auto eth1
# iface eth1 inet dhcp
#Configured from installation
#The mgmt network interfaces
auto eth0
#iface eth0 inet dhcp
iface eth0 inet static
    address 192.168.85.100
    netmask 255.255.255.0
    gateway 192.168.85.1_

^G Get Help ^O WriteOut ^R Read File ^Y Prev Page ^K Cut Text ^C Cur Pos
^X Exit ^J Justify ^W Where Is ^V Next Page ^U UnCut Text ^T To Spell
```

```
PING 192.168.85.1 (192.168.85.1) 56(84) bytes of data.
^C
--- 192.168.85.1 ping statistics ---
6 packets transmitted, 0 received, 100% packet loss, time 5000ms

sdn@medium-hLinux:~$ ifconfig
eth0    Link encap:Ethernet  HWaddr 00:0c:29:06:93:03
        inet addr:192.168.85.100 Bcast:192.168.85.255 Mask:255.255.255.0
        inet6 addr: fe80::20c:29ff:fe06:9303/64 Scope:Link
        UP BROADCAST RUNNING MULTICAST  MTU:1500  Metric:1
        RX packets:183 errors:0 dropped:0 overruns:0 frame:0
        TX packets:44 errors:0 dropped:0 overruns:0 carrier:0
        collisions:0 txqueuelen:1000
        RX bytes:17291 (16.8 KiB)  TX bytes:4500 (4.3 KiB)

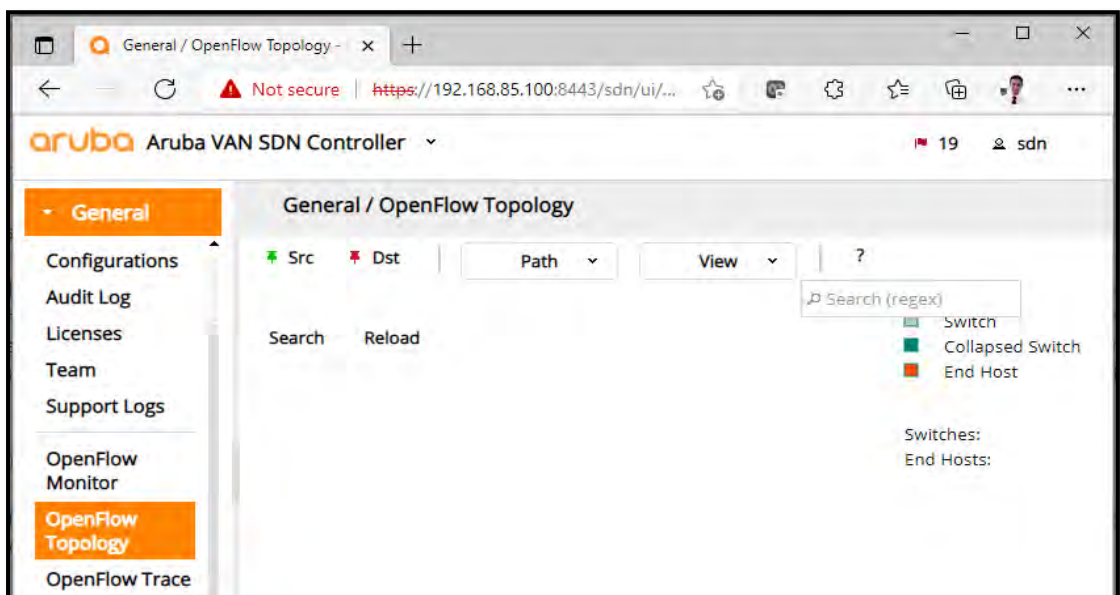
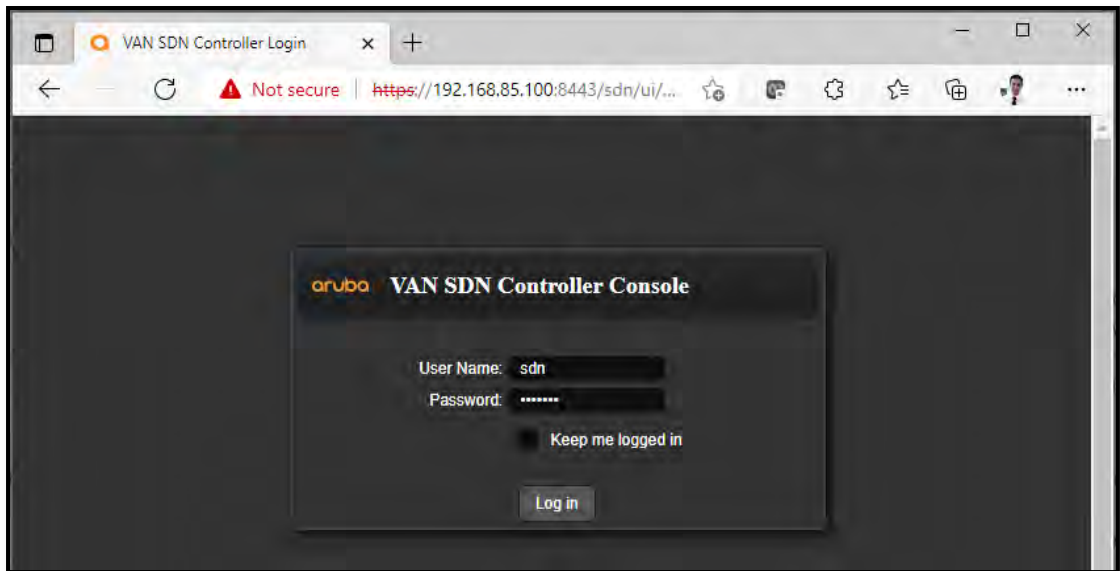
lo      Link encap:Local Loopback
        inet addr:127.0.0.1  Mask:255.0.0.0
        inet6 addr: ::1/128 Scope:Host
        UP LOOPBACK RUNNING  MTU:65536  Metric:1
        RX packets:1039 errors:0 dropped:0 overruns:0 frame:0
        TX packets:1039 errors:0 dropped:0 overruns:0 carrier:0
        collisions:0 txqueuelen:1
        RX bytes:176787 (172.6 KiB)  TX bytes:176787 (172.6 KiB)

sdn@medium-hLinux:~$
```

**Figura H - 11 Configuración IP estática – Aruba VAN SDN Controller**  
Fuente: Autor

Abra un navegador Web e ingrese a la dir. IP del Controlador SDN usando https y el puerto 8443.

El usuario y contraseña de ingreso para *Aruba VAN SDN Controller* es **sdn/skyline**



**Figura H - 12 Ingreso a interfaz GUI – Aruba VAN SDN Controller**  
Fuente: Autor

Es momento de conectar *Zodiac FX* al Controlador SDN mediante su puerto 4. Una vez conectado, se prueba la conectividad de la máquina huésped de la VM del controlador hacia el *Switch OpenFlow*.

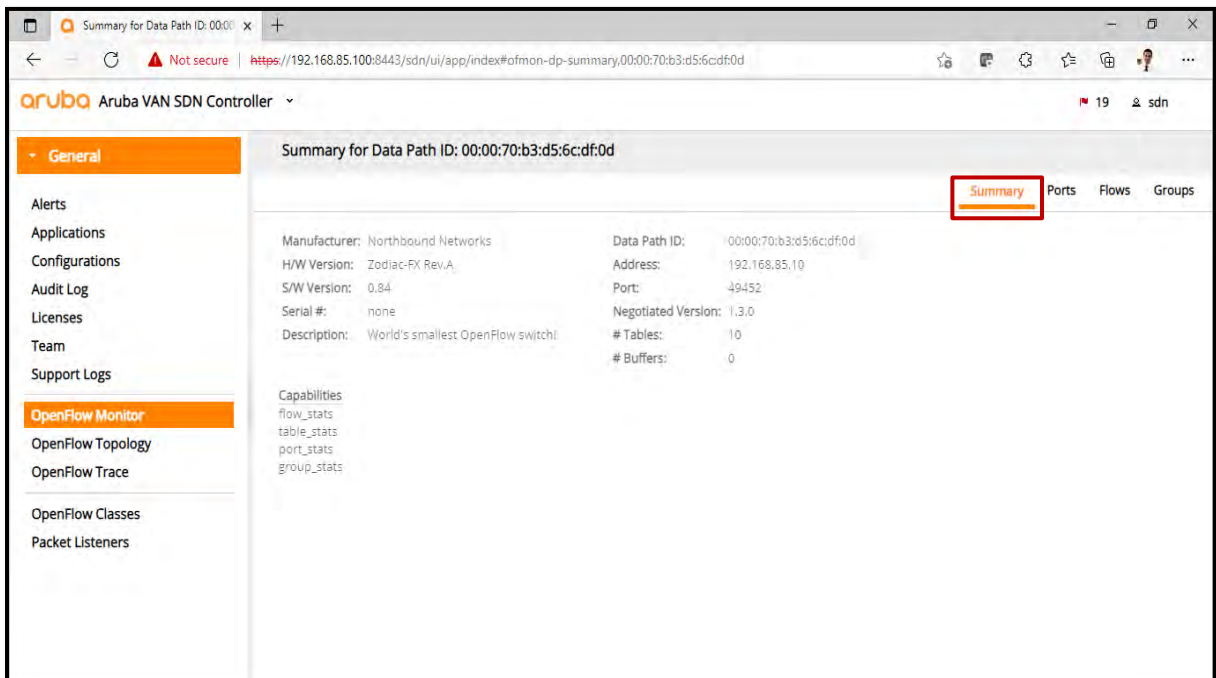
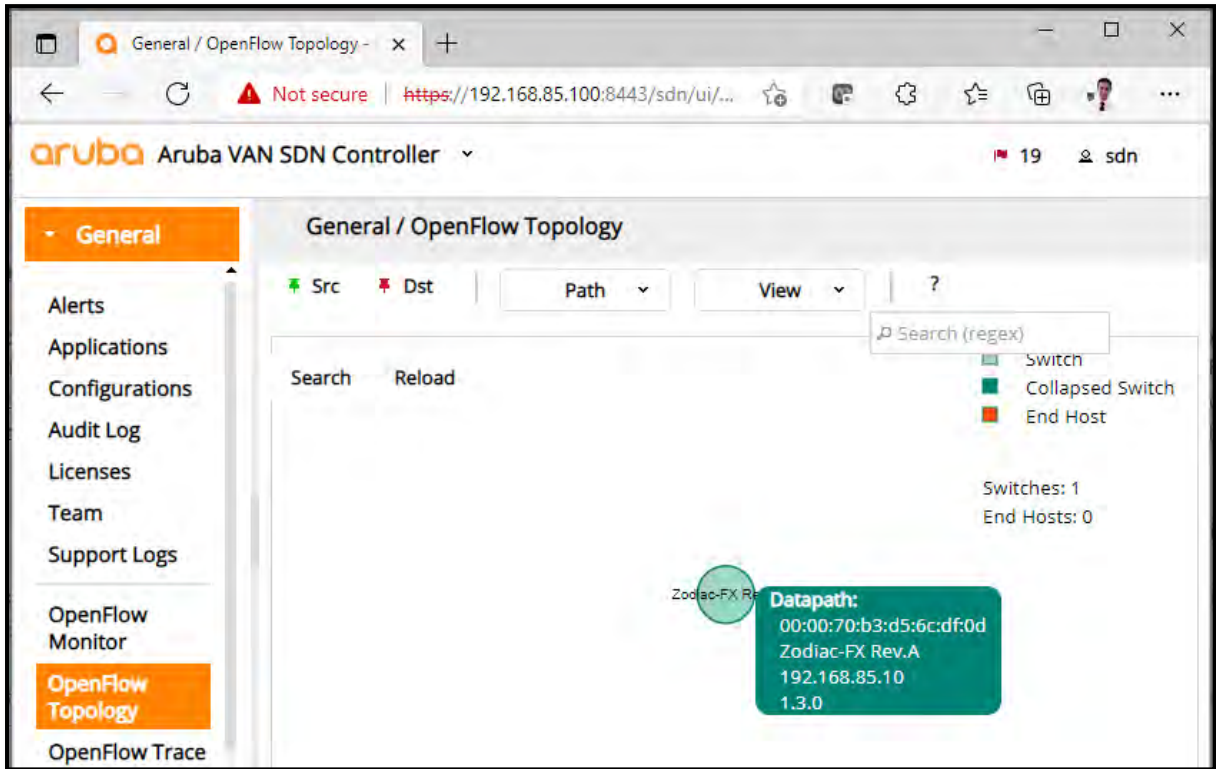
```
C:\Users\Gustavo Salazar>ping 192.168.85.10

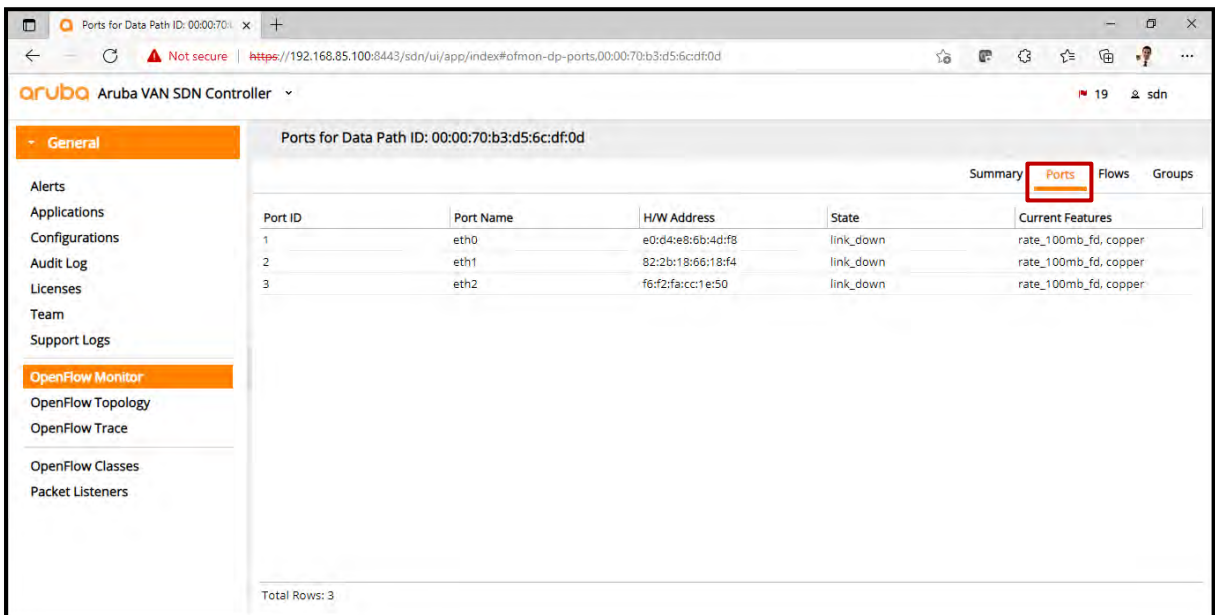
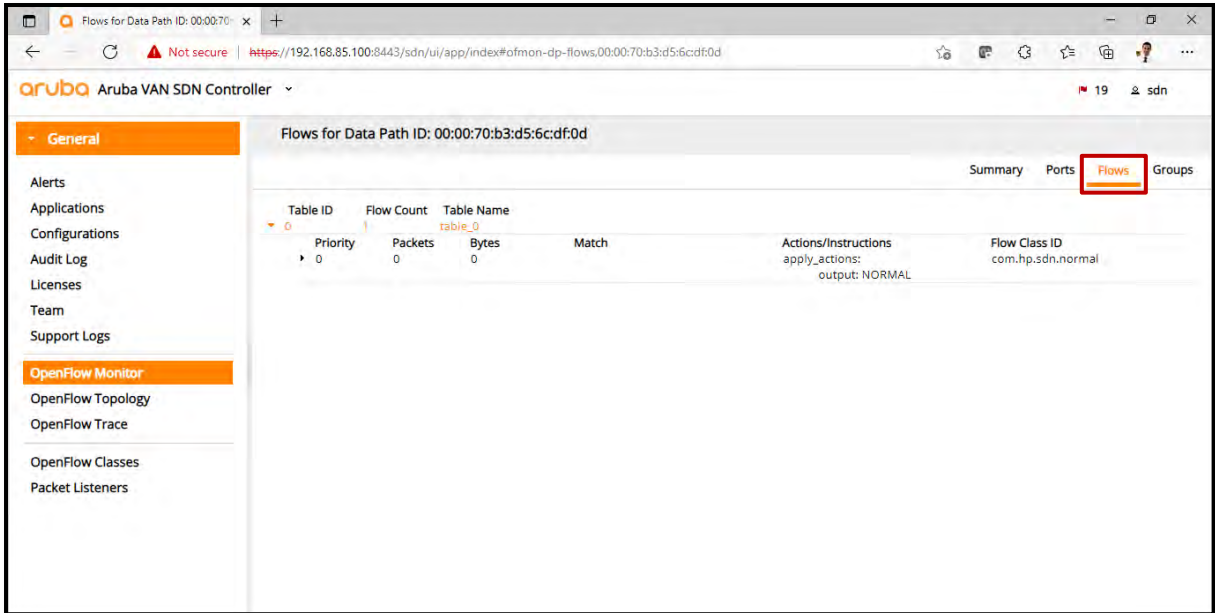
Pinging 192.168.85.10 with 32 bytes of data:
Reply from 192.168.85.10: bytes=32 time<1ms TTL=255
Reply from 192.168.85.10: bytes=32 time=1ms TTL=255
Reply from 192.168.85.10: bytes=32 time=1ms TTL=255
Reply from 192.168.85.10: bytes=32 time=16ms TTL=255

Ping statistics for 192.168.85.10:
    Packets: Sent = 4, Received = 4, Lost = 0 (0% loss),
    Approximate round trip times in milli-seconds:
        Minimum = 0ms, Maximum = 16ms, Average = 4ms
```

**Figura H - 13 Prueba conectividad máquina huésped a Switch OpenFlow**  
Fuente: Autor

Al ingresar nuevamente a *Aruba VAN* y recargar la topología es factible observar al *Switch Zodiac FX*.





**Figura H - 14 Reconocimiento de Zodiac FX – Aruba VAN SDN Controller**  
Fuente: Autor

La última imagen de Fig. H-14 muestra la existencia de los tres puertos de usuario aún no conectados.

En la siguiente figura se puede corroborar la conexión por *OpenFlow* exitosa:

```
Zodiac_FX(openflow)# show status
-----
Status: Connected
Version: 1.3 (0x04)
No tables: 1
No flows: 1
Total Lookups: 0
Total Matches: 0
```

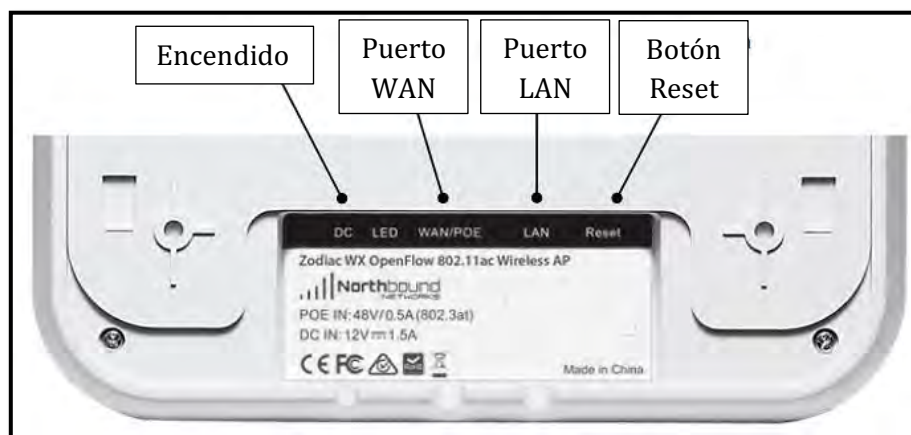
```
Zodiac_FX(openflow)# show flows
-----
Flow 1
Match:
Attributes:
  Table ID: 0                               Cookie:0xffff000000000000
  Priority: 0                               Duration: 844 secs
  Hard Timeout: 0 secs                     Idle Timeout: 0 secs
  Byte Count: 0                             Packet Count: 0
  Last Match: 00:14:04
Instructions:
Apply Actions:
```

**Figura H - 15 Conexión exitosa entre Zodiac FX y Araba VAN SDN Controller por OpenFlow**  
Fuente: Autor

### Configurando a Zodiac WX

Zodiac WX por defecto tiene deshabilitado *OpenFlow*, por lo que para su funcionamiento como AP no necesita de un Controlador SDN.

Zodiac WX tiene configurado por defecto dos redes inalámbricas, una para redes a 2.4GHz (SSID: **ZodiacWX\_24GHz**) y otra a 5GHz (SSID: **ZodiacWX\_5GHz**), ambas con contraseña **66666666**.



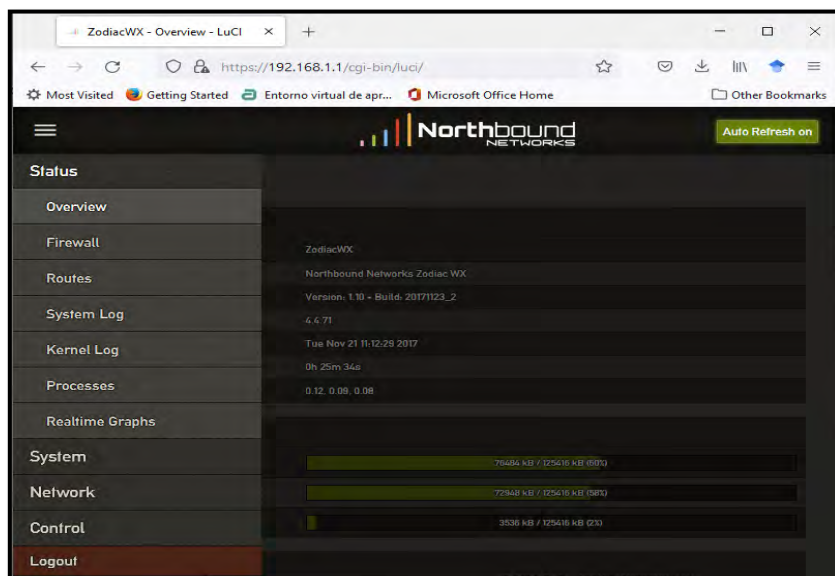
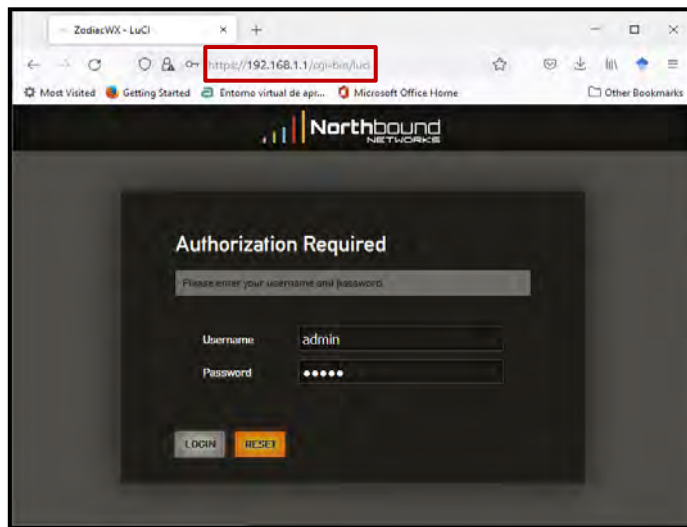
**Figura H - 16 Puerto en Zodiac WX**  
Recuperado de (Northbound Networks, 2017)

Encienda el equipo y conecte al Controlador vía Puerto LAN. La dir. IP por defecto de Zodiac WX es **192.168.1.1/24**. Ingrese a su GUI a través de un navegador Web mediante **https** (Zodiac WX rechaza conexiones no seguras). El usuario y contraseña por defecto son **admin/admin**.

Una de las primeras tareas será cambiar la contraseña por defecto. Para el PoC será **UNLPDOC**.

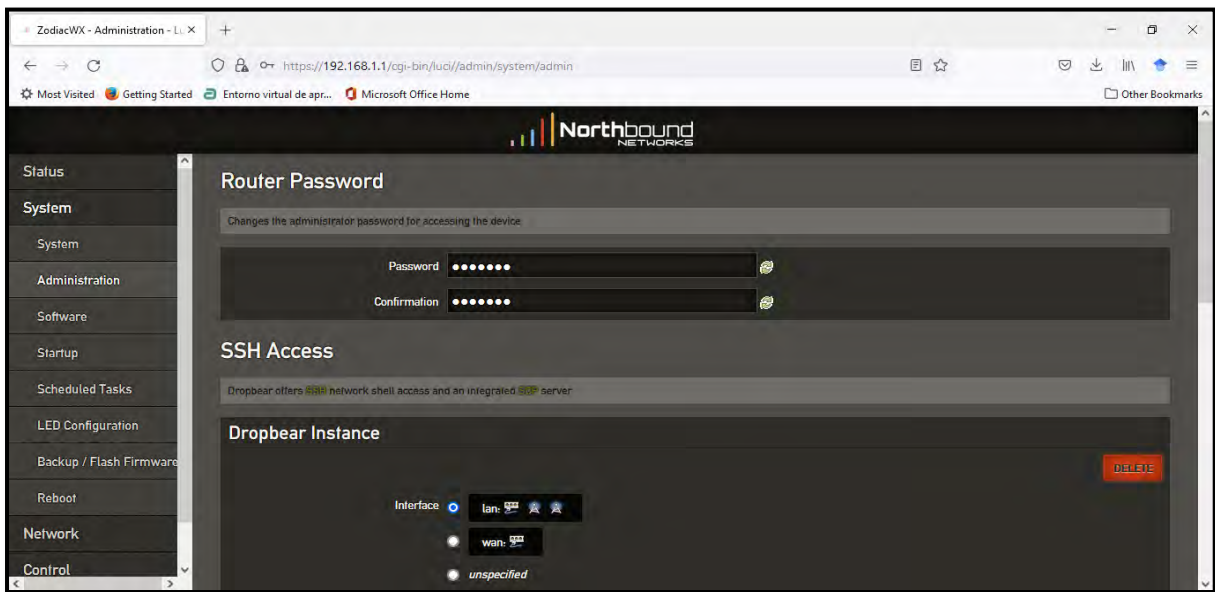


**Figura H - 17 Encendido y conexión inicial de Zodiac WX**  
Fuente: Autor



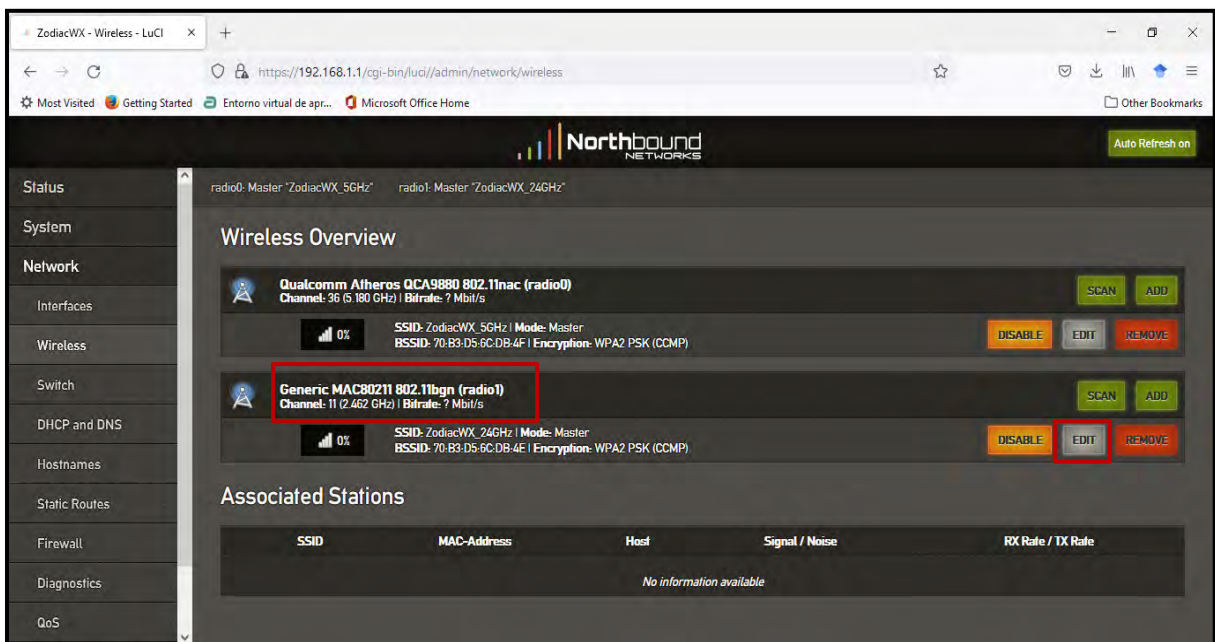
**Figura H - 18 Ingreso a GUI de Zodiac WX - LuCI (LUA Configuration Interface)**  
Fuente: Autor

Para cambiar las credenciales de ingreso, es posible hacerlo en *System-Administration*.



**Figura H - 19 Cambio de Contraseñas – Zodiac WX**  
Fuente: Autor

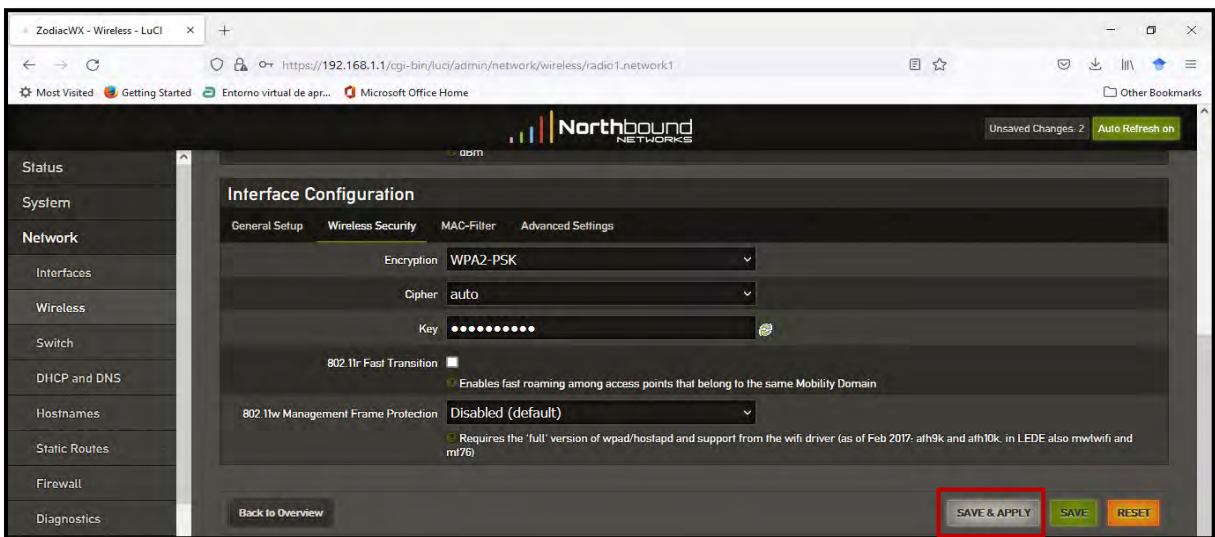
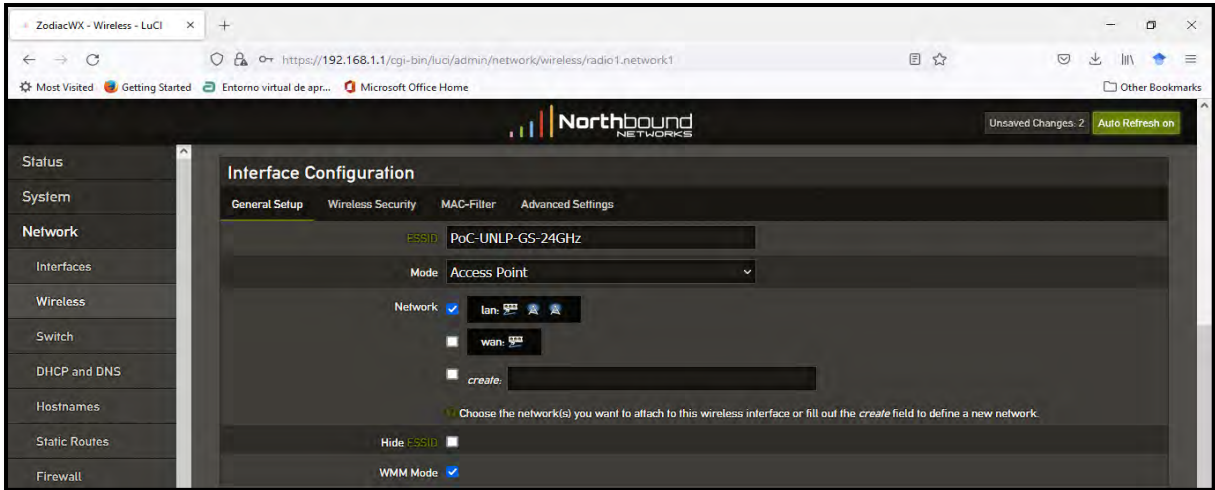
Para configurar parámetros de la red inalámbrica (SSID y Contraseña de acceso WPA2-PSK), se debe dirigir a *Network-Wireless*. En esa primera pantalla se observará los dos SSIDs:



**Figura H - 20 Redes Inalámbricas por defecto – Zodiac WX**  
Fuente: Autor

Para el PoC del Capítulo 5 se usará la SSID de 2.4 GHz. Para hacer cambios a dicha red, se ingresará a *Edit* tal como se observa en la Fig. H-20.

El SSID es: **PoC-UNLP-GS-24GHz** y su contraseña: **UNLPDOC-GS**

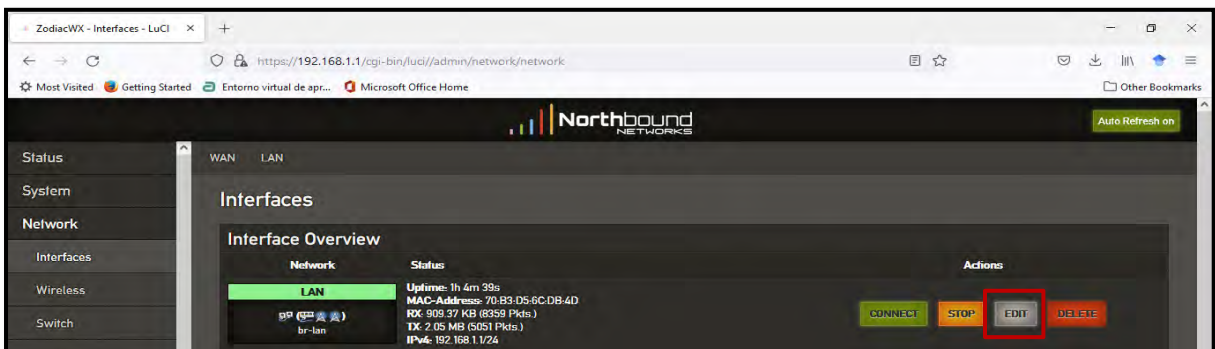


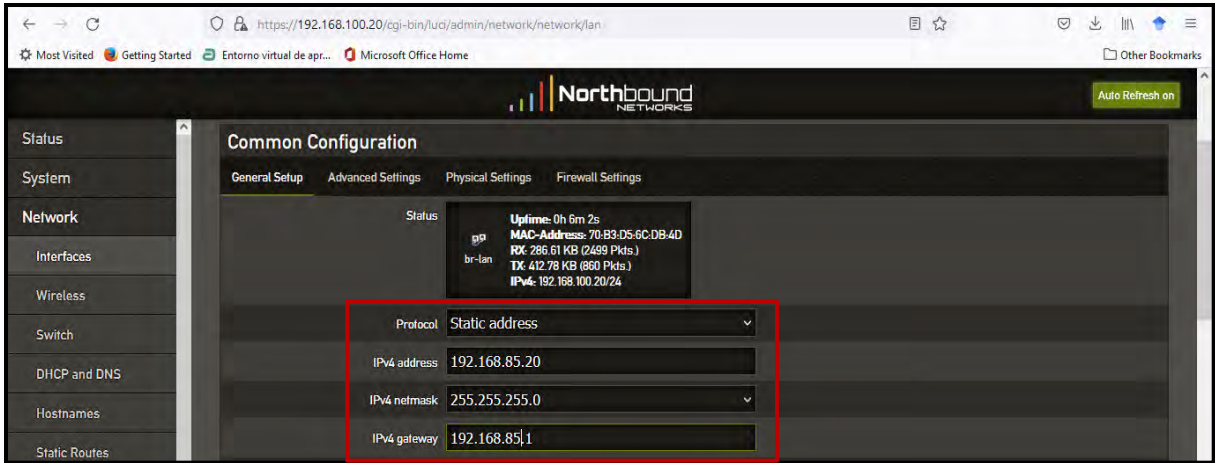
**Figura H - 21 Cambios Configuración Red Inalámbrica – Zodiac WX**  
Fuente: Autor

### Activación de OpenFlow en Zodiac WX

Al estar deshabilitado por defecto *OpenFlow*, se requiere siga estos pasos:

- Cambiar la dir. IP del equipo a **192.168.85.20/24**  
Ingrese a *Network – Interfaces – Edit* en la interfaz LAN





**Figura H - 22 Cambio de Dir. IP - Zodiac WX**  
Fuente: Autor

Es importante mencionar que *Zodiac WX* tiene capacidad *dual-stack* (soporta IPv4 e IPv6).

- Vuelva a ingresar a la GUI de *Zodiac WX* cambiando la dir. IP de la tarjeta de red de la PC/Laptop huésped de la VM del controlador a una que permita tener conectividad

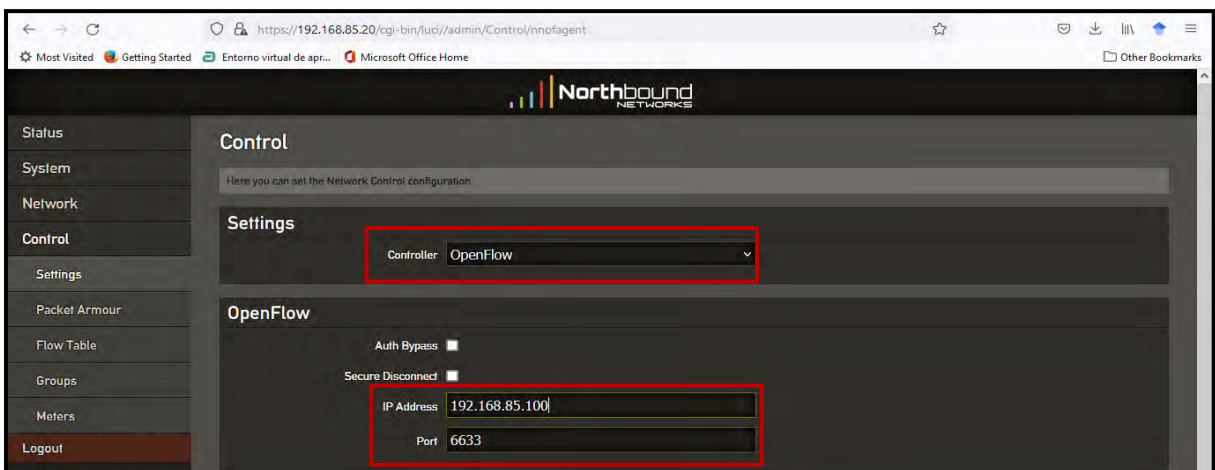
```
C:\Users\Gustavo Salazar>ping 192.168.85.20

Pinging 192.168.85.20 with 32 bytes of data:
Reply from 192.168.85.20: bytes=32 time=1ms TTL=64

Ping statistics for 192.168.85.20:
    Packets: Sent = 4, Received = 4, Lost = 0 (0% loss),
    Approximate round trip times in milli-seconds:
        Minimum = 1ms, Maximum = 1ms, Average = 1ms
```

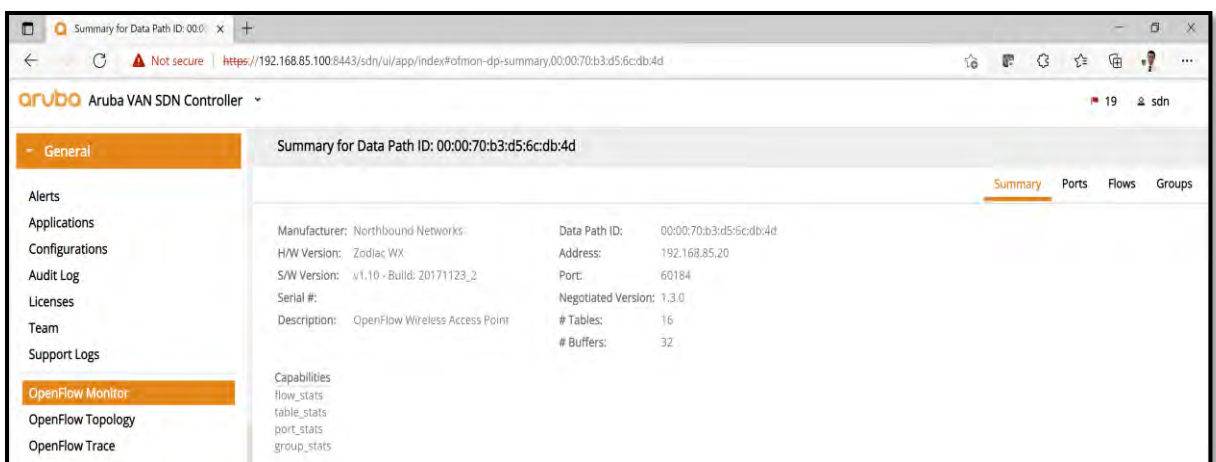
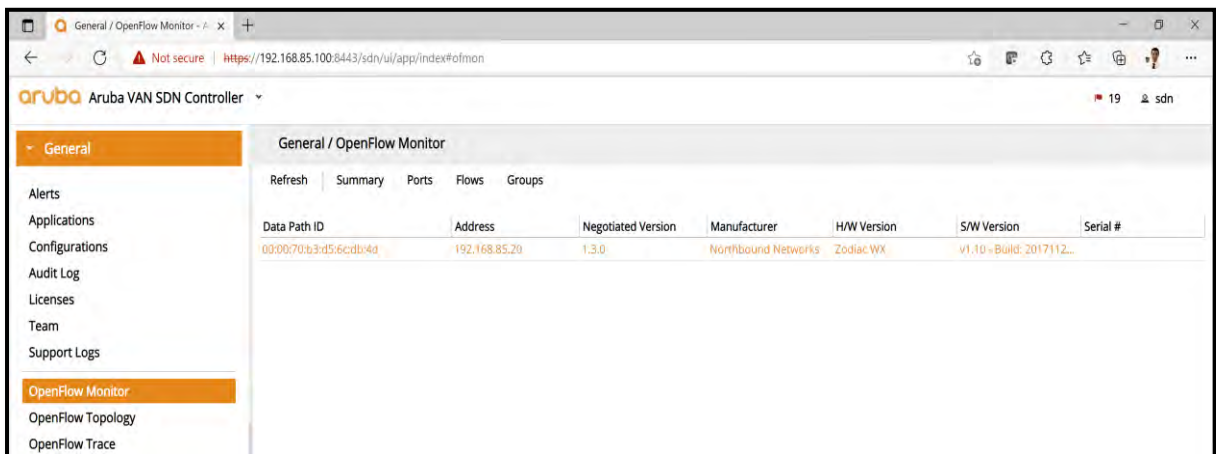
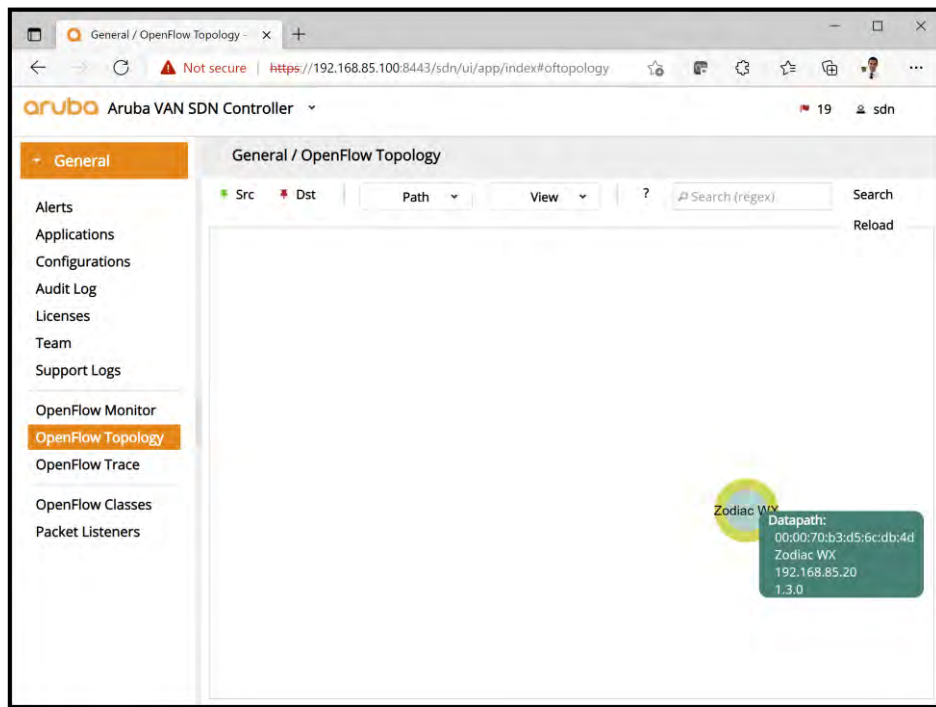
**Figura H - 23 Cambio de Dir. IP - Zodiac WX**  
Fuente: Autor

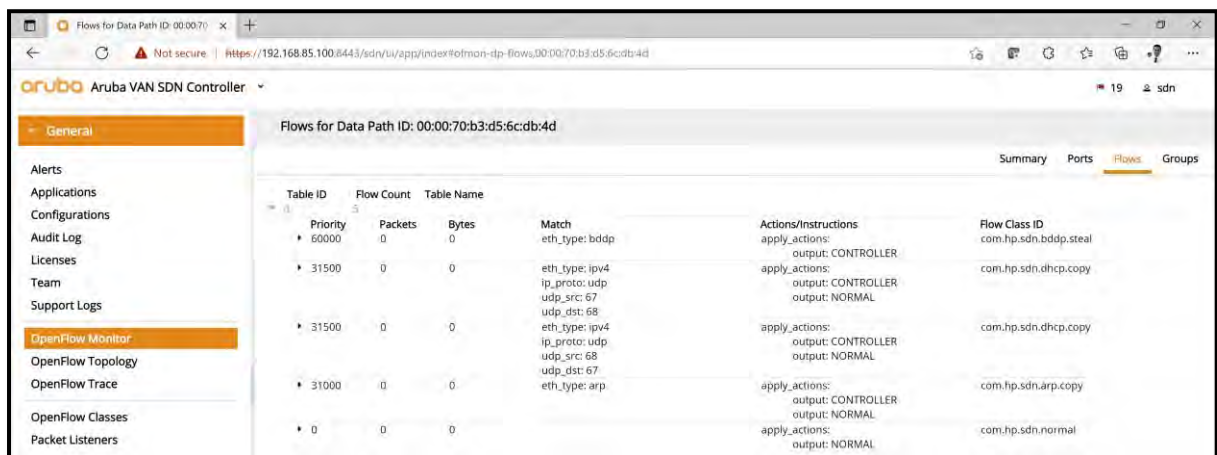
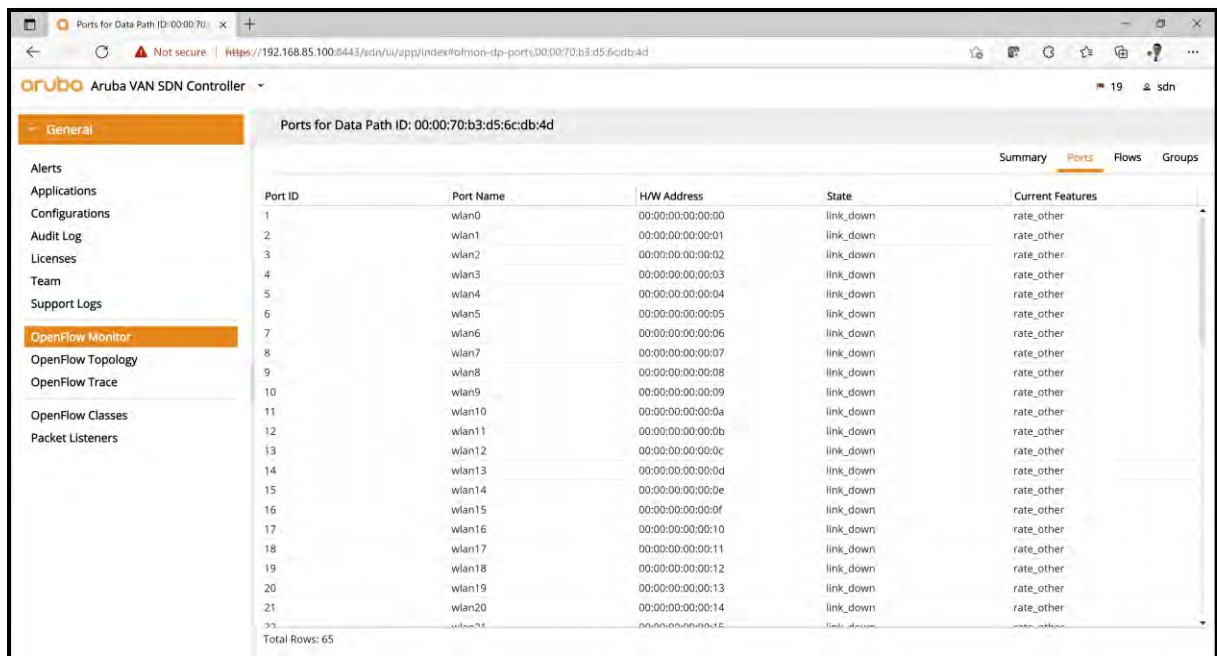
- Habilitar *OpenFlow* y configure la dir. IP del controlador SDN  
Ingrese a *Control - Settings*



**Figura H - 24 Activar OpenFlow - Zodiac WX**  
Fuente: Autor

Si Aruba VAN SDN Controller está funcional, el controlador podrá reconocer a Zodiac WX





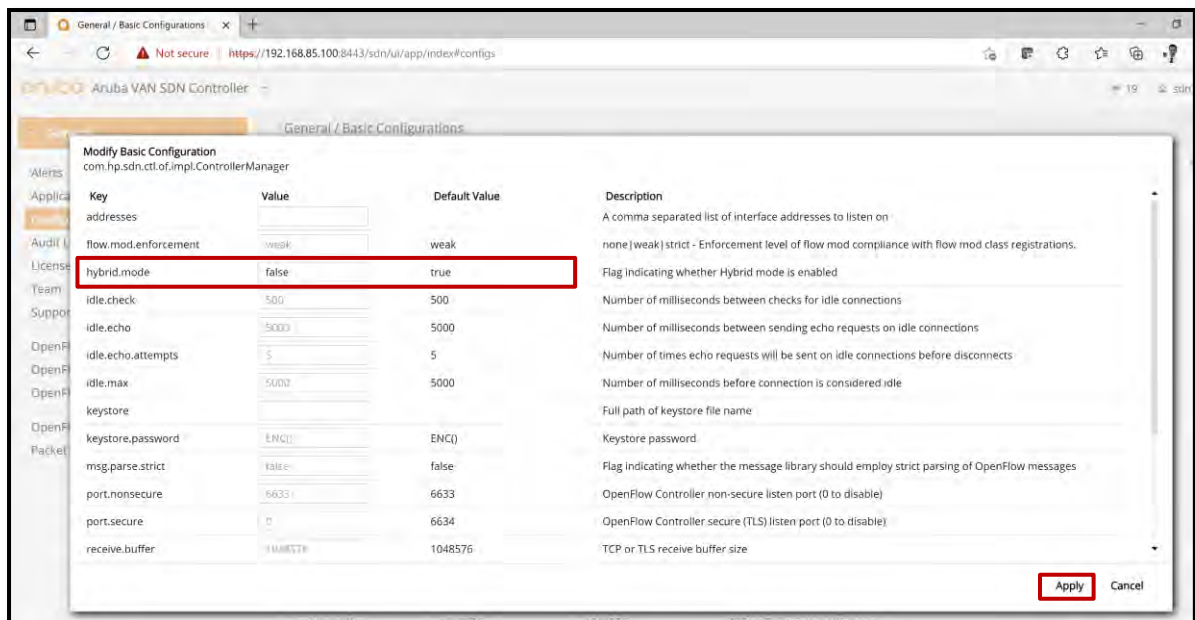
**Figura H - 25 Reconocimiento de Zodiac WX por Aruba VAN SDN Controller**  
Fuente: Autor

La penúltima imagen de la Fig. H-25 indica que es posible conectar hasta 64 hosts inalámbricos.

### Limitaciones de Aruba VAN SDN Controller

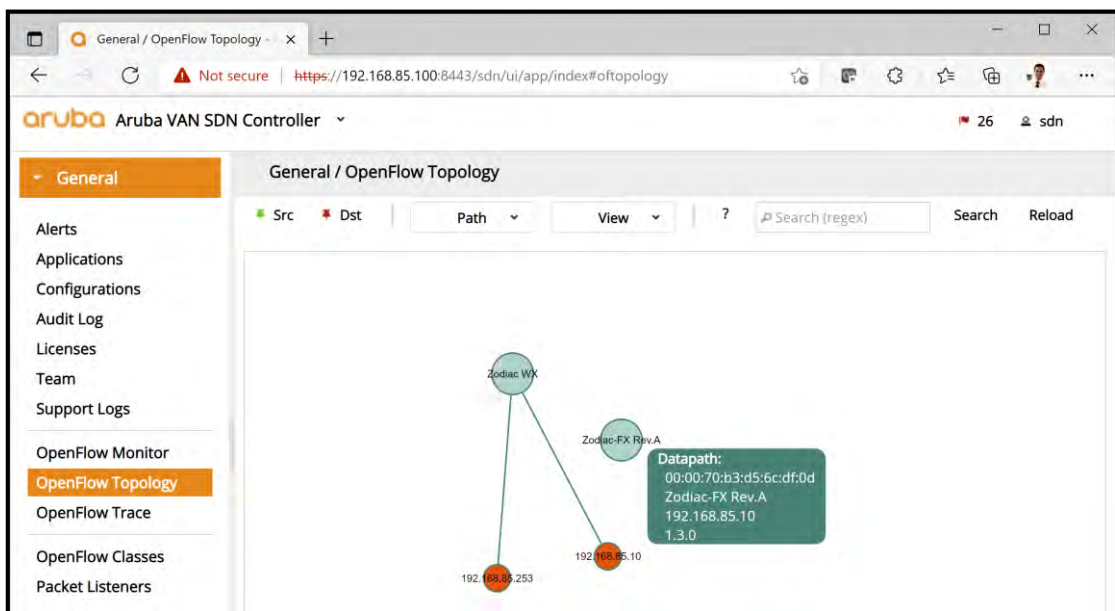
Para el adecuado funcionamiento del Controlador Aruba VAN, es necesario deshabilitar el mode *Hybrid Mode* para escribir flujos y controlar la comunicación.

Para quitar ese modo, se ingresa al controlador en *Configuration - Controller Manager - Modify - Hybrid Mode - false*



```
sdn@medium-hLinux:~$ sudo service sdnc stop
sdnc stop/waiting
sdn@medium-hLinux:~$ sudo service sdnc start
sdnc start/running, process 5679
sdn@medium-hLinux:~$
```

**Figura H - 26 Deshabilitar modo Híbrido – Aruba VAN SDN Controller**  
Fuente: Autor



**Figura H - 27 Visualización de Zodiac FX, Zodiac WX y hosts – Aruba VAN SDN Controller**  
Fuente: Autor

A través de *Aruba VAN SDN Controller* se aprecia el descubrimiento de los equipos, sin embargo, el manejo de flujos no cuenta aún con una aplicación compatible capaz de permitir la manipulación de la comunicación entre usuarios, por ello, se plantea el uso de *RYU* y *FlowManager*, controlador que es capaz de convertir el *switch Zodiac FX* en *Firewall*, *Router* y por supuesto en *Switch*.

## Ryu SDN Controller y FlowManager

Instalación de RYU.

RYU es NOS abierto licenciado bajo *Apachev2.0* que soporta *OpenFlow* como protocolo de comunicación *Southbound*, el cual escucha el puerto 6633 por defecto.

Para la adecuada instalación del Controlador SDN RYU, se lo hará en un VM con **Ubuntu 20.04**.

- Realizar una actualización de Ubuntu Linux (**sudo apt-get update**)
- Para instalar RYU existen dos maneras, una a través de **pip3** y otra clonando el repositorio (forma manual). En el PoC del Capítulo 5 se usa la forma manual con los siguientes comandos:

```
Update apt-git: sudo apt-get update
Install git: sudo apt-get install git
Install pip: sudo apt-get install python3-pip
Update pip: sudo pip3 install --upgrade pip
Download the ryu source code: git clone git://github.com/osrg/ryu.git
Enter the folder: cd ryu
Install ryu dependent environment: sudo pip3 install -r tools/pip-requirements
Install ryu: python3 setup.py install
```

**Figura H - 28 Comandos para instalación de RYU Controller**  
Recuperado de (ProgrammerSought, 2021)

En caso de que algún error aparezca al verificar la versión instalada de RYU (con el comando **ryu-manager --version**), es necesario bajar la versión de eventlet:

```
gustavosalazar@ubuntu:~/ryu$
gustavosalazar@ubuntu:~/ryu$ pip3 install eventlet==0.30.2
gustavosalazar@ubuntu:~/ryu$
gustavosalazar@ubuntu:~/ryu$
gustavosalazar@ubuntu:~/ryu$ ryu-manager --version
ryu-manager 4.34
gustavosalazar@ubuntu:~/ryu$
```

**Figura H - 29 Verificación de instalación de RYU**  
Fuente: Autor

Entre las Apps que tiene RYU para el manejo de mensajes en un equipo están:

```
gustavosalazar@ubuntu:~/ryu$ ryu-manager --version
ryu-manager 4.34
gustavosalazar@ubuntu:~/ryu$ ls ryu/app/
bmpstation.py          simple_switch_13.py
cbench.py              simple_switch_14.py
conf_switch_key.py     simple_switch_15.py
example_switch_13.py  simple_switch_igmp_13.py
gui_topology           simple_switch_igmp.py
__init__.py            simple_switch_lacp_13.py
ofctl                  simple_switch_lacp.py
ofctl_rest.py          simple_switch.py
rest_conf_switch.py   simple_switch_rest_13.py
rest_firewall.py      simple_switch_snort.py
rest_qos.py            simple_switch_stp_13.py
rest_router.py         simple_switch_stp.py
rest_topology.py       simple_switch_websocket_13.py
rest_vtep.py           wsgi.py
simple_monitor_13.py   ws_topology.py
simple_switch_12.py    _
```

**Figura H - 30 Aplicaciones en RYU**  
Fuente: Autor

➤ Instalación de *FlowManager*

*FlowManager* es una aplicación adicional de RYU que permite tener visibilidad y control de flujo de paquetes enviados en la infraestructura *OpenSDN* fácil de instalar y de usar. Para su instalación se debe clonar *FlowManager* de *GitHub*

```
gustavosalazar@ubuntu:~/ryu$ git clone https://github.com/martiny/flowmanager
Cloning into 'flowmanager'...
remote: Enumerating objects: 881, done.
remote: Counting objects: 100% (8/8), done.
remote: Compressing objects: 100% (5/5), done.
remote: Total 881 (delta 3), reused 8 (delta 3), pack-reused 873
Receiving objects: 100% (881/881), 2.31 MiB | 4.14 MiB/s, done.
Resolving deltas: 100% (583/583), done.
```

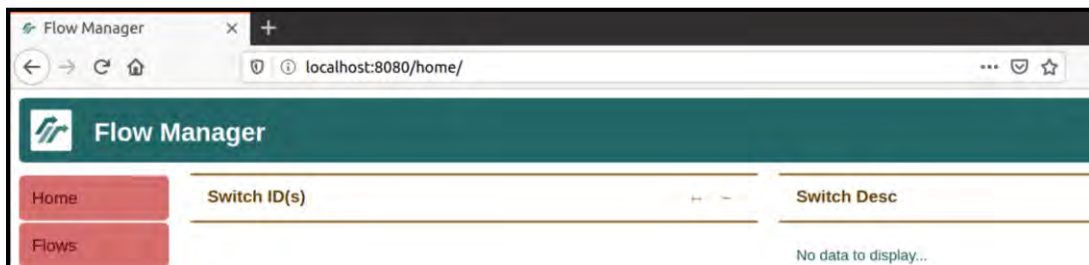
**Figura H - 31 Instalación *FlowManager* - RYU**  
Fuente: Autor

➤ Arranque de RYU y *FlowManager*

Para que RYU corra junto con *FlowManager* es necesario el uso del comando ***sudo ryu-manager --observe-links ~/ryu/flowmanager/flowmanager.py***

Abra un navegador Web e ingrese esta URL para abrir *FlowManager*:

**<http://localhost:8080/home/>**



**Figura H - 32 GUI de *FlowManager* - RYU**  
Fuente: Autor

➤ Control del Plano de Datos por RYU SDN *Controller*

Verifique exista conectividad entre el Controlador SDN y la infraestructura de prueba:

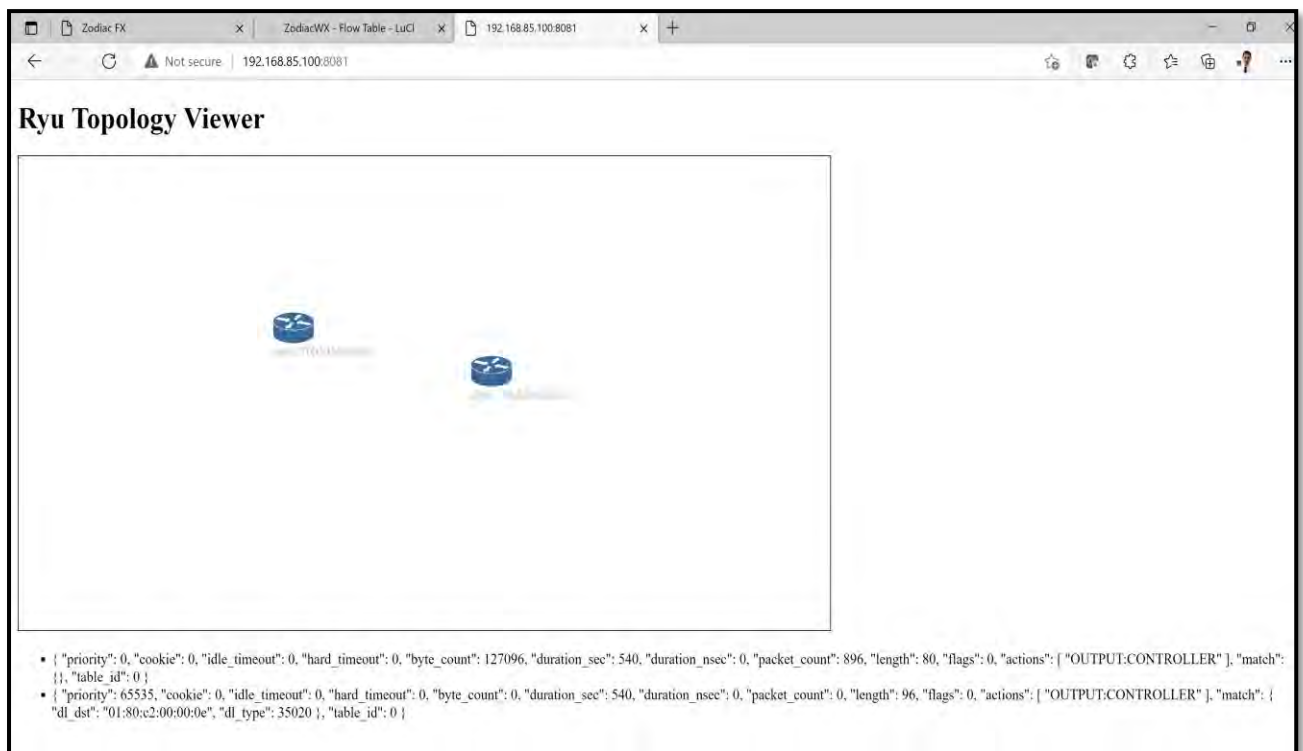
```
gustavosalazar@ubuntu:~/ryu$ ping 192.168.85.10
PING 192.168.85.10 (192.168.85.10) 56(84) bytes of data.
64 bytes from 192.168.85.10: icmp_seq=1 ttl=255 time=0.644 ms
64 bytes from 192.168.85.10: icmp_seq=2 ttl=255 time=0.667 ms
^C
--- 192.168.85.10 ping statistics ---
2 packets transmitted, 2 received, 0% packet loss, time 1031ms
rtt min/avg/max/mdev = 0.644/0.655/0.667/0.011 ms
gustavosalazar@ubuntu:~/ryu$
gustavosalazar@ubuntu:~/ryu$ ping 192.168.85.20
PING 192.168.85.20 (192.168.85.20) 56(84) bytes of data.
64 bytes from 192.168.85.20: icmp_seq=1 ttl=64 time=0.833 ms
64 bytes from 192.168.85.20: icmp_seq=2 ttl=64 time=0.825 ms
64 bytes from 192.168.85.20: icmp_seq=3 ttl=64 time=0.773 ms
^C
--- 192.168.85.20 ping statistics ---
3 packets transmitted, 3 received, 0% packet loss, time 2034ms
rtt min/avg/max/mdev = 0.773/0.810/0.833/0.026 ms
```

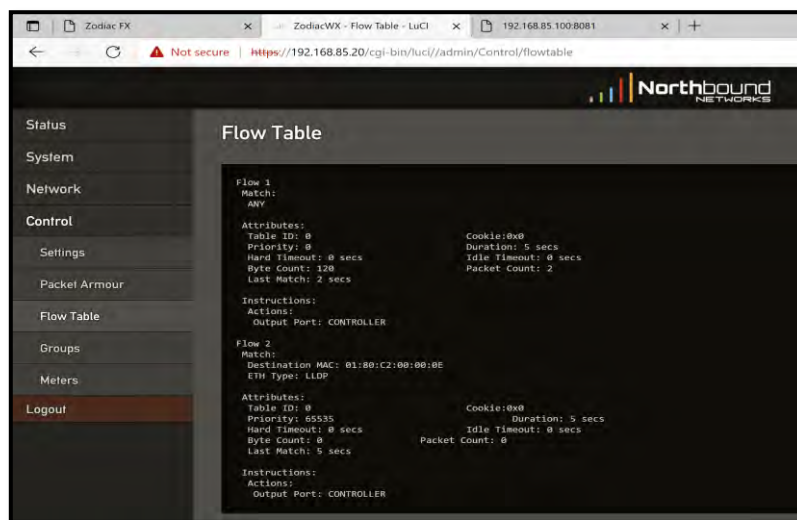
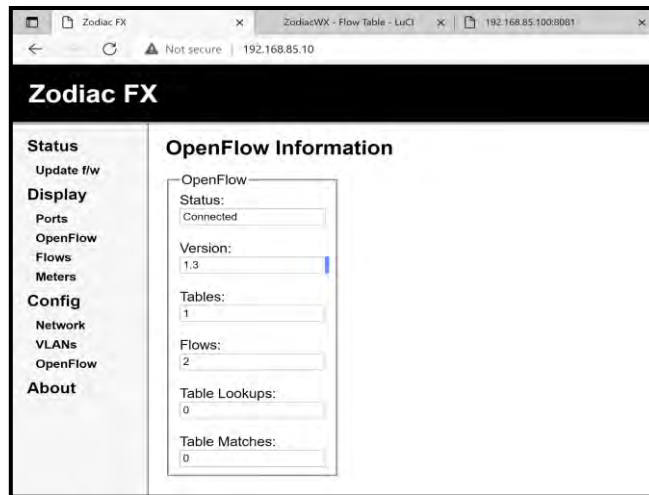
**Figura H - 33 Conectividad entre RYU y equipos *OpenFlow* (*Zodiac FX/WX*)**  
Fuente: Autor

Para activar al controlador RYU, se usa el comando **ryu-manager** junto con el uso de una aplicación que le dotará a los equipos la funcionalidad de *Switches L2*: **simple\_switch\_13**, aplicación que hace referencia al *Switch* que se comunica con el controlador con *OpenFlow 1.3*.

Antes de usar *FlowManager* RYU también cuenta con un visualizador de redes basado en el servicio WSGI (*Web Server Gateway Interface*) conocido como *RYU Topology Viewer*.

```
gsalazar@ubuntu: ~/ryu
gsalazar@ubuntu:~/ryu$
gsalazar@ubuntu:~/ryu$ sudo ryu-manager --ofp-tcp-listen-port 6633 --wsapi-port 8081 --observe-links
--app-lists ryu.app.simple_switch_13 ryu.app.ofctl_rest ryu.app.gui_topology.gui_topology
[sudo] password for gsalazar:
loading app ryu.app.simple_switch_13
loading app ryu.app.ofctl_rest
loading app ryu.app.gui_topology.gui_topology
loading app ryu.controller.ofp_handler
loading app ryu.app.rest_topology
loading app ryu.app.ofctl_rest
loading app ryu.app.ws_topology
loading app ryu.controller.ofp_handler
instantiating app None of DPSet
creating context dpset
creating context wsgi
instantiating app None of Switches
creating context switches
instantiating app ryu.app.simple_switch_13 of SimpleSwitch13
instantiating app ryu.app.ofctl_rest of RestStatsApi
instantiating app ryu.app.gui_topology.gui_topology of GUIServerApp
instantiating app ryu.controller.ofp_handler of OFPHandler
instantiating app ryu.app.rest_topology of TopologyAPI
instantiating app ryu.app.ws_topology of WebSocketTopology
(11912) wsgi starting up on http://0.0.0.0:8081
(11912) accepted ('127.0.0.1', 34146)
127.0.0.1 - - [26/Jul/2021 16:23:12] "GET / HTTP/1.1" 200 515 0.008096
127.0.0.1 - - [26/Jul/2021 16:23:12] "GET /ryu.topology.css HTTP/1.1" 200 514 0.000571
(11912) accepted ('127.0.0.1', 34148)
127.0.0.1 - - [26/Jul/2021 16:23:12] "GET /ryu.topology.js HTTP/1.1" 200 8652 0.000476
```





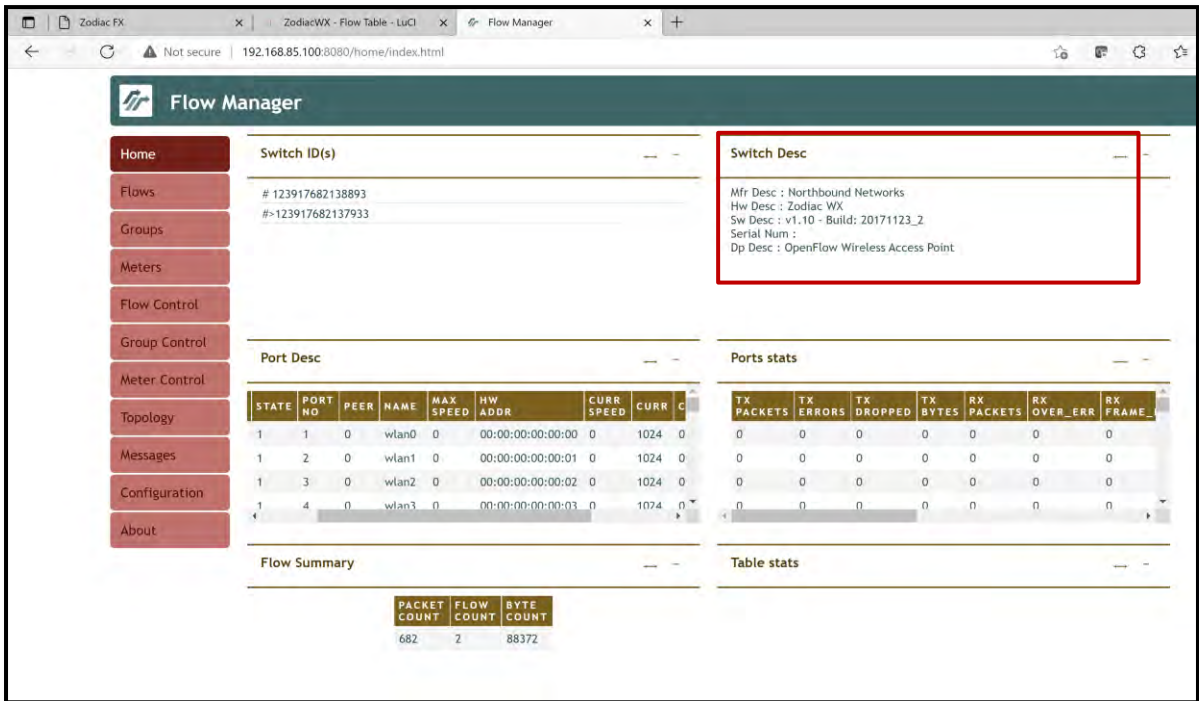
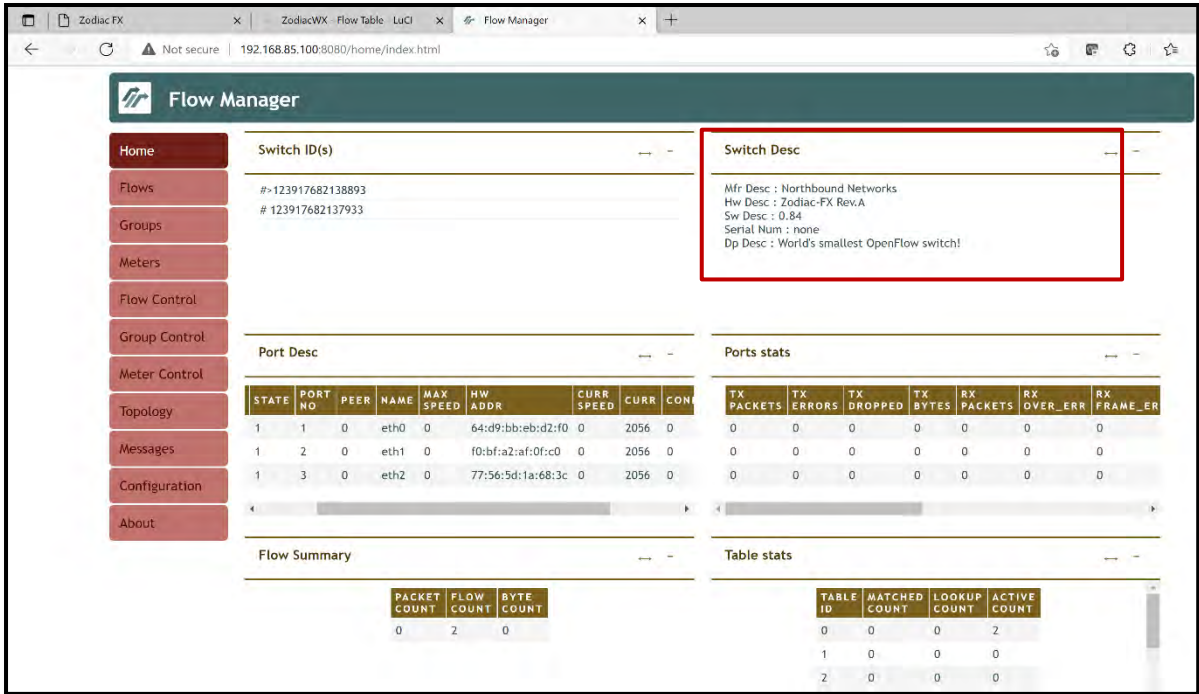
**Figura H - 34 RYU Topology Viewer de Zodiac FX/WX**  
Fuente: Autor

Para activar RYU junto con FlowManager se requiere del siguiente comando:

```

gsalazar@ubuntu:~/ryu$ sudo ryu-manager --ofp-tcp-listen-port 6633 --observe-links --app-lists ~/ryu/
flowmanager/flowmanager.py ryu.app.simple_switch_13
[sudo] password for gsalazar:
loading app /home/gsalazar/ryu/flowmanager/flowmanager.py
You are using Python v3.8.10.final.0
loading app ryu.app.simple_switch_13
loading app ryu.topology.switches
loading app ryu.controller.ofp_handler
creating context wsgi
instantiating app None of DPSet
creating context dpset
instantiating app /home/gsalazar/ryu/flowmanager/flowmanager.py of FlowManager
instantiating app ryu.app.simple_switch_13 of SimpleSwitch13
instantiating app ryu.topology.switches of Switches
instantiating app ryu.controller.ofp_handler of OFPHandler
(12533) wsgi starting up on http://0.0.0.0:8080
(12533) accepted ('192.168.85.253', 52173)
(12533) accepted ('192.168.85.253', 60108)
192.168.85.253 - - [26/Jul/2021 19:08:54] "GET /home/ HTTP/1.1" 200 1162 0.002203
192.168.85.253 - - [26/Jul/2021 19:08:54] "GET /home/css/style.css?v2 HTTP/1.1" 200 4550 0.002564
192.168.85.253 - - [26/Jul/2021 19:08:54] "GET /home/css/cards.css?v2 HTTP/1.1" 200 2652 0.003429
(12533) accepted ('192.168.85.253', 50930)
(12533) accepted ('192.168.85.253', 63969)
(12533) accepted ('192.168.85.253', 57960)
(12533) accepted ('192.168.85.253', 56475)
192.168.85.253 - - [26/Jul/2021 19:08:54] "GET /home/css/table.css?v2 HTTP/1.1" 200 2582 0.001997
192.168.85.253 - - [26/Jul/2021 19:08:54] "GET /home/css/menu.css?v2 HTTP/1.1" 200 1688 0.000610
192.168.85.253 - - [26/Jul/2021 19:08:54] "GET /home/js/jquery-3.3.1.min.js HTTP/1.1" 200 87068 0.005

```



**Figura H - 35 Flow Manager RYU SDN Controller - Zodiac FX/WX**  
Fuente: Autor

Las Fig. H-34 y H-35 para que pueda observarse adecuadamente la topología del Plano de Datos se sugiere un navegador distinto a Mozilla Firefox (para RYU Topology Viewer y FlowManager).

*Página intencionalmente en blanco*